

Violeta Georgescu Mardarie Sorohan

FIZICĂ MOLECULARĂ

Facultatea de Fizica

www.phys.uaic.ro

Universitatea “Alexandru Ioan Cuza”

IASI, 1996

Referenți științifici:

PROF. DR. ILIE D. BURSUC
PROF. DR. GHEORGHE ZET

VIOLETA GEORGESCU

M. SOROHAN

FIZICĂ MOLECULARĂ

ISBN 973-9149-56-1

© Toate drepturile asupra acestei ediții aparțin
Editurii Universității «Al. I. Cuza» Iași



135385
B.C.U. - IASI

**Editura Universității «Al. I. Cuza»
Iași – 1996**

Coperta:
DRAGOŞ BUJDEI

Redactor:
EUGENIA MACOVEI

Culegere de texte:
DIANA ALEXANDRESCU
Tehnoredactare computerizată:
DRAGOŞ BUJDEI

Format: 70x100/16
Coli tipă: 24,25
Apărut: 1996
Comanda: 820



Tiparul executat la
Imprimeria Universității
«Al. I. Cuza» Piatrari 9
032/114947

CUVÂNT ÎNAINTE

Sub titlul *Fizică moleculară* sunt cuprinse, după cum ne-o confirmă literatura de specialitate, studiul fenomenelor și proprietățile corpurilor determinate de caracteristicile moleculelor constitutive, precum și de interacțiunile lor. Este un domeniu foarte vast al fizicii clasice cuprinzând în primul rând caracteristicile mecanice și termice ale corpurilor, dar și legile generale ce le guvernează, legile termodinamicii și ale fizicii statistice care sunt esențiale în studiul tuturor proceselor fizice. Stabilirea unor relații corecte între lumea microscopica și cea macroscopica face posibilă înțelegerea fenomenelor fizice și permite utilizarea rezultatelor teoretice în domeniul aplicativ.

Autorii nu și-au propus tratarea exhaustivă a acestor probleme, ci au urmarit o prezentare cât mai clara a fenomenelor și o orientare a cititorului astfel pregătit spre lucrări cu caracter teoretic mai accentuat, utilizând un aparat matematic adecvat. Bibliografia indicată vine să sprijine orientarea cititorului.

Nu au fost omise fenomenele ce stau la baza unor procese tehnologice sau pe care se sprijina funcționarea unor aparate și instalații industriale (de exemplu: difuzia, efuzia, termodifuzia, frecarea internă, efectul Joule-Thomson, schimbari de stare de agregare). De asemenea, au fost incluse notiuni despre cristalele lichide și despre materialele amorfice, materiale care au capitat o largă utilizare în tehnica contemporană.

În abordarea oricărui capitol din fizica, tehnica sau chiar biologie și medicina, cunoștințele de Fizică moleculară sunt indispensabile. Aceasta face ca lucrarea de față să prezinte interes atât pentru studentii care urmează un curs de fizica, dar și pentru specialistii din domeniul fizicii sau din diferite domenii conexe.

AUTORII

C U P R I N S

CAPITOLUL 1. TEMPERATURA. TERMOMETRIE	1
1.1. <i>Noțiuni fundamentale</i>	1
1.1.1. Sistem	1
1.1.2. Stare. Parametri de stare	1
1.1.3. Contact. Izolare	2
1.1.4. Echilibru	3
1.1.5. Procese sau transformare	4
1.1.6. Procese reversibile și procese ireversibile	4
1.2. <i>Temperatura</i>	5
1.2.1. Echilibru termic. Principiul zero al termodinamicii	5
1.2.2. Relații între temperatură și ceilalți parametri de stare	6
1.2.3. Legile gazului ideal - legi limită	7
1.2.4. Ecuația de stare a gazului ideal	10
1.3. <i>Termometrie. Scări termometrice</i>	12
1.3.1. Tipuri de termometre	13
1.3.2. Scări termometrice. Puncte fixe	15
CAPITOLUL 2. CĂLDURA. CALORIMETRIE	21
2.1. <i>Coeficienți calorici</i>	21
2.1.1. Căldura specifică	21
2.1.2. Unități de măsură	23
2.2. <i>Schimbul de căldură</i>	24
2.2.1. Schimbul prin conduction	25
2.2.2. Convecția	26
2.2.3. Schimbul de căldură prin radiație	27
2.3. <i>Calorimetrie</i>	30
2.3.1. Principiile calorimetriei	30
2.3.2. Determinarea căldurii specifice la gaze	33
CAPITOLUL 3. PRIMUL PRINCIPIU AL TERMODINAMICII	36
3.1. <i>Schimbul de energie între un sistem și mediul exterior</i>	36
3.1.1. Lucrul mecanic efectuat la variația volumului	37
3.1.2. Alte moduri de transmitere a energiei sub formă de lucru mecanic	38
3.1.3. Schimbul de căldură	40
3.2. <i>Energia internă</i>	40
3.2.1. Energia internă - funcție de stare	41
3.2.2. Diferențiale totale exakte	43

3.3. Diferite formulări (enunțuri) ale primului principiu al termodinamicii	44
3.3.1. Expresia matematică a primului principiu	44
3.4. Aplicarea primului principiu al termodinamicii la gazul ideal	46
3.4.1. Transformări izocore și transformări izobare. Entalpia	46
3.4.2. Energia internă a gazului ideal. Efectul Joule-Thomson	47
3.4.3. Lucrul mecanic în transformările reversibile ale gazului ideal	49
3.4.4. Determinarea raportului C_p/C_v	52
3.4.5. Procese politrope	54
3.4.6. Mașini termice. Principii de funcționare	55
CAPITOLUL 4. AL DOILEA PRINCIPIU AL TERMODINAMICII	60
4.1. Diferite formulări ale principiului al doilea al termodinamicii	60
4.1.1. Enunțul lui Carnot	61
4.1.2. Formulările lui Kelvin și Clausius. Echivalența lor	61
4.1.3. Teorema lui Carnot	62
4.1.4. Temperatura termodinamică	65
4.2. Entropia	66
4.2.1. Căldura redusă - funcție de stare. Entropia	67
4.2.2. Procese ireversibile. Inegalitatea lui Clausius	68
4.2.3. Legea creșterii entropiei. Expressia generală a principiului al doilea al termodinamicii	69
4.2.4. Metode de calcul a variației entropiei	71
CAPITOLUL 5. POTENȚIALE TERMODINAMICE	74
5.1. Metoda potențialelor termodinamice (a funcțiilor caracteristice)	74
5.1.1. Energia internă, U(S,V)	75
5.1.2. Entalpia, H(S,P)	76
5.1.3. Energia liberă, F(T,V)	77
5.1.4. Entalpia liberă, G(P,T)	79
5.2. Unele aplicații ale metodei funcțiilor caracteristice	81
5.2.1. Ecuatiile Gibbs-Helmholtz	81
5.2.2. Expressia generală a energiei interne, U(T,V)	81
5.2.3. Expressia generală a entalpiei, H(T,P)	82
5.2.4. Entropia, S(T,V); S(T,P)	83
5.2.5. Relații între coeficienții termodinamici	83
5.2.6. Raportul coeficienților de compresibilitate izotermă și adiabatică	87
5.3. Noțiuni de termodinamica sistemelor cu număr variabil de particule	87
5.3.1. Dependența funcțiilor caracteristice de masa sistemului	88
5.3.2. Echilibrul fazelor unei substanțe pure	89

5.4. Principiul al treilea al termodinamicii	92
5.4.1. Teorema lui Nernst sau principiul al treilea	92
5.4.2. Consecințe	93
CAPITOLUL 6. TEORIA CINETICO-MOLECULARĂ A GAZELOR	95
6.1. Structura substanței	95
6.1.1. Particule constitutive. Stări de agregare	96
6.1.2. Mărimi și unități atomice și moleculare	98
6.2. Formula fundamentală a teoriei cinetico-moleculare	100
6.2.1. Ipoteze. Modele	100
6.2.2. Presiunea gazului ideal	101
6.2.3. Ecuația de stare a gazului ideal	102
6.2.4. Viteză termică. Experimentul lui Stern	103
6.2.5. Semnificația cinetică a echilibrului termic și a legilor gazului ideal	105
6.3. Gazul ideal sub acțiunea unui câmp de forțe	109
6.3.1. Distribuția barometrică. Factorul lui Boltzmann	109
6.3.2. Confirmarea experimentală a distribuției Boltzmann. Experimentele lui J. Perrin	113
6.4. Distribuția moleculelor după viteză	115
6.4.1. Probabilități. Valori medii. Funcții de distribuție	116
6.4.2. Distribuția moleculelor după o componentă a vitezei	118
6.4.3. Distribuția Maxwell. Viteze medii	121
6.4.4. Confirmarea experimentală a legii de distribuție a moleculelor după viteză	125
6.5. Teoria cinetică a căldurilor specifice	127
6.5.1. Echipartitia energiei pe grade de libertate	127
6.5.2. Căldura specifică (molară) a gazelor	129
CAPITOLUL 7. ELEMENTE DE FIZICĂ STATISTICĂ	132
7.1. Noțiuni de calculul probabilităților	133
7.2. Distribuția Maxwell-Boltzmann	136
7.2.1. Numărul de microstări compatibil cu o macrostare dată	136
7.2.2. Relația lui Boltzmann între entropie și ponderea termodinamică	140
7.2.3. Distribuția cea mai probabilă. Suma de stare	142
7.2.4. Aplicații. Gazul ideal monoatomic	145
CAPITOLUL 8. FENOMENE DE TRANSPORT ÎN GAZE	151
8.1. Ciocniri intermoleculare	152
8.1.1. Drum liber mediu. Secțiunea efectivă de ciocnire	153
8.1.2. Distribuția drumului liber	156

8.1.3. Metodă de măsurare a drumului liber mediu	158	9.3.2. Efectul Joule-Thomson	219
8.2. <i>Difuzia în gaze. Legea lui Fick</i>	159	9.3.3. Obținerea temperaturilor joase. Lichefierea gazelor	222
8.2.1. Legea lui Fick	159	CAPITOLUL 10. STAREA SOLIDĂ	228
8.2.2. Difuzia în regim staționar. Calculul coeficientului de difuzie	160	10.1. <i>Noțiuni generale</i>	228
8.2.3. Difuzia nestaționară. Ecuația difuziei. Timp de relaxare	163	10.2. <i>Solid ideal. Rețea cristalină</i>	230
8.2.4. Difuzia reciprocă (în amestecuri de gaze)	168	10.3. <i>Sisteme cristalografice</i>	233
8.2.5. Măsurarea coeficientului de difuzie	170	10.4. <i>Direcții și plane cristaline în rețele Bravais</i>	240
8.2.6. Termodifuzia	172	10.5. <i>Legătura cristalină. Tipuri de legături</i>	243
8.3. <i>Conductibilitatea termică. Legea lui Fourier</i>	173	10.6. <i>Împachetarea particulelor în cristal</i>	244
8.3.1. Legea lui Fourier	173	10.7. <i>Solide reale. Defecte cristaline</i>	250
8.3.2. Calculul coeficientului de conductibilitate termică în gaze	174	10.8. <i>Studiul experimental al structurii cristaline</i>	256
8.3.3. Conductibilitatea termică nestaționară	175	10.9. <i>Energia de coeziune a solidelor</i>	260
8.3.4. Măsurarea coeficientului de conductibilitate termică a gazelor	176	10.9.1. Semnificația fizică a energiei de coeziune (de rețea)	260
8.4. <i>Viscozitatea gazelor. Legea lui Newton</i>	177	10.9.2. Energia de coeziune și căldura de sublimare	261
8.4.1. Legea lui Newton	177	10.9.3. Energia de coeziune și modulul de compresibilitate	262
8.4.2. Calculul coeficientului de viscozitate	179	10.9.4. Calculul energiei de rețea a cristalelor moleculare	264
8.4.3. Măsurarea coeficientului de viscozitate a gazelor	179	10.9.5. Energia de rețea a cristalelor ionice	267
8.5. <i>Concordanța rezultatelor teoretice cu datele experimentale</i>	181	10.9.6. Energia de rețea a cristalelor covalente	272
8.6. <i>Fenomene de transport în gaze rarefiate</i>	184	10.9.7. Energia de rețea a cristalelor metalice	275
8.6.1. Efuzia (difuzia prin orificii mici a gazelor rarefiate)	185	10.9.8. Legătura de hidrogen	276
8.6.2. Conductibilitatea termică	186	10.9.9. Clasificarea solidelor	278
8.6.3. Fenomenul de viscozitate în gaze rarefiate	187	10.10. <i>Proprietăți termice ale solidelor</i>	278
8.6.4. Alte fenomene specifice gazelor rarefiate	188	10.10.1. Aspecte fenomenologice	278
8.7. <i>Obținerea și măsurarea presiunilor joase</i>	189	10.10.2. Oscilațiile termice ale atomilor în rețea	280
8.7.1. Obținerea presiunilor joase	190	10.10.3. Oscilații armonice. Călduri specifice	283
8.7.2. Măsurarea presiunilor joase	191	10.10.4. Oscilații anarmonice. Dilatarea solidelor	293
CAPITOLUL 9. GAZE REALE	194	10.11. <i>Proprietăți mecanice ale solidelor</i>	301
9.1. <i>Interacțiuni moleculare</i>	194	10.11.1. Generalități	301
9.1.1. Compresibilitatea izotermă a gazelor reale	194	10.11.2. Elasticitatea solidelor. Legea lui Hooke	302
9.1.2. Natura forțelor de interacțiune moleculară	196	10.11.3. Curbe tensiune-deformație	306
9.1.3. Potențiale empirice de interacțiune moleculară	199	10.11.4. Interpretarea cinetico-moleculară a deformațiilor mecanice ale solidelor	308
9.2. <i>Ecuații de stare ale gazelor reale</i>	201	10.12. <i>Solide necristaline</i>	311
9.2.1. Ecuația Van der Waals	202	10.12.1. Proprietăți generale și structura substanțelor amorfice	311
9.2.2. Izotermele Van der Waals. Parametri critici	207	10.12.2. Polimeri. Substanțe biologice	313
9.2.3. Ecuația Van der Waals în coordonate reduse. Teorema stărilor corespondente	212	CAPITOLUL 11. STAREA LICHIDĂ	315
9.2.4. Ecuația Van der Waals și concordanța cu datele experimentale	212	11.1. <i>Noțiuni generale</i>	315
9.3. <i>Energia internă a gazelor reale</i>	217	11.1.1. Proprietăți caracteristice ale lichidelor	315
9.3.1. Energia internă a gazului Van der Waals. Calculul diferenței $C_p - C_v$	217		

11.1.2. Clasificarea lichidelor	316
11.1.3. Modele de lichide. Mișcarea termică a moleculelor în lichide în modelul Frenkel	316
11.2. Lichidele ca gaze comprimate	318
11.2.1. Prințipiu continuătii stărilor de lichid și gaz. Ecuări de stare	318
11.2.2. Proprietăți volumetrice ale lichidelor	321
11.2.3. Caracteristicile volumetrice anomale ale apei	323
11.2.4. Capacitatea calorică a lichidelor	326
11.3. Presiunea internă în lichide	327
11.4. Fenomene de suprafață. Tensiunea superficială și interfacială	330
11.4.1. Energia de coeziune și energia de suprafață la lichide	330
11.4.2. Noțiuni de termodinamica stratului superficial	333
11.4.3. Presiunea internă sub o suprafață de lichid curbă. Formula Laplace	335
11.4.4. Fenomene capilare. Ascensiunea și depresiunea capilară	338
11.4.5. Fenomene de contact la suprafața de separație a trei medii	340
11.5. Vaporizarea lichidelor	342
11.5.1. Aspecte fenomenologice privind vaporizarea	342
11.5.2. Explicația cinetică a fenomenului de vaporizare	343
11.5.3. Dependența de temperatură a presiunii vaporilor saturanți	345
11.5.4. Dependența presiunii vaporilor saturanți de curbura suprafeței lichidului	346
11.6. Lichidele ca solide dezordonate	348
11.6.1. Structura lichidelor. Modelul celular	348
11.6.2. Fenomene de transport în lichide	351
11.7. Cristale lichide (Starea mezomorfă)	356
11.8. Soluții	360
11.8.1. Clasificarea soluțiilor	360
11.8.2. Soluții ideale	361
11.8.3. Soluții reale	364
11.8.4. Ebulioscopie. Crioscopie	365
11.8.5. Osmoza. Presiunea osmotică	367
11.9. Transformări de fază	369
ANEXA 1	370
ANEXA 2	372
BIBLIOGRAFIE	373

C A P I T O L U L 1

TEMPERATURA. TERMOMETRIE

1.1. Noțiuni fundamentale

Termodinamica studiază proprietățile fizice ale unor *sisteme macroscopice*, urmărind stabilirea unor relații între variațiile *parametriilor* ce caracterizează starea acestora. Neluând în considerare structura sistemelor studiate, relațiile care se stabilesc au un caracter foarte general, consecințele lor fiind valabile pentru orice sistem macroscopic. Caracterul foarte general al legilor și noțiunilor utilizate în termodinamică (ca de exemplu: sistem, parametru, stare etc.) îi conferă acesteia o situație aparte, fiind numită "un fel de gramatică a fizicii". Precizarea termenilor folosiți în expunerea termodinamicii este de cea mai mare însemnatate.

1.1.1. Sistem

În abordarea unei probleme de termodinamică un lucru foarte important este precizarea obiectului de studiu: un corp, un număr oarecare de corperi, o substanță chimic pură, un amestec de substanțe, un câmp de radiații, etc. Generalizând, putem afirma că Termodinamica studiază părți macroscopice *finite* ale Universului, numite *sisteme*. Restul Universului constituie mediul exterior. În practică, se consideră drept mediu exterior acea parte din Univers care este mai aproape de sistem, permitând exercitarea unor influențe reciproce. Separarea mintală a sistemului de studiat de restul Universului nu presupune izolarea lui. Termodinamica studiază în primul rând interacțiunile dintre sistem și mediul exterior.

Uneori este necesar ca un sistem să fie descompus (mintal) în subsisteme, unul devenind sistem, iar celelalte mediul înconjurător. Alteori este util ca două sisteme să fie reunite în unul singur pentru a putea rezolva problema propusă.

1.1.2. Stare. Parametri de stare

Descrierea unui sistem se poate face prin precizarea tuturor proprietăților lui. Totalitatea proprietăților sistemului la un moment dat

definesc *starea* sistemului. Pentru o caracterizare cantitativă a stării sistemului trebuie să dispunem de o unitate de măsură, bine definită, pentru fiecare proprietate și să putem măsura toate proprietățile sistemului.

Din cele de mai sus ar rezulta că un sistem este caracterizat printr-un mare număr de mărimi, de parametri corespunzători proprietăților sistemului. Dar, nu toți *parametrii* pot lua valori independente, între ei existând diferite relații. De exemplu pentru descrierea stării unei bare metalice paralelipipedice, încălzite la roșu, am putea folosi proprietățile mecanice, termice și optice, precizând următorii parametri: masa, densitatea, lungimea, lățimea, înălțimea, volumul, temperatura, culoarea. Este evident că între parametrii geometrici există relațiile cunoscute, deci nu toți sunt independenți, iar dacă se cunosc masa și volumul nu mai e nevoie și de densitate.

Deci, există un anumit număr de parametri independenți care determină starea sistemului, ceilalți putând fi determinați, pe baza relațiilor presupuse cunoscute, funcție de parametrii independenți. Împărțirea în parametri independenți și parametri dependenți este oarecum arbitrară și poate fi diferită de la o situație la alta. Alegerea parametrilor independenți, pentru un sistem dat, este una dintre cele mai importante probleme cu care începe de fapt studiul sistemului respectiv. După cum vom vedea și în capitolele următoare, fiecarei modalități prin care sistemul schimbă energie cu mediul exterior îi corespunde un parametru macroscopic independent. Dacă un sistem este supus unei presiuni exterioare (schimbă energie mecanică cu mediul exterior) parametrul independent corespunzător este *presiunea* sau *volumul*, între ei existând o relație care se presupune cunoscută.

Din alt punct de vedere, parametrii de stare pot fi grupați în parametri intensivi și parametri extensivi. Parametrii intensivi, ca presiunea, intensitatea câmpului electric sau a câmpului magnetic, nu depind de întinderea spațială a sistemului, în timp ce parametrii extensivi sau de poziție, ca volumul, energia, depind de întinderea sistemului. Dacă fiecare parametru intensiv, sau de forță, are aceeași valoare pe toată întinderea sistemului, atunci se spune că sistemul este *omogen*.

1.1.3. Contact. Izolare

Cu toate că un sistem nu poate fi izolat complet de mediul înconjurător, pentru simplificarea unor probleme se poate presupune că sistemul este izolat. De exemplu, dacă într-un vas cilindric, închis la ambele capete, separăm printr-un perete fix două cantități de gaz la presiuni diferite, presiunea celor două mase de gaz va rămâne diferită, oricât timp am așteptat. Se spune că cele două sisteme sunt *izolate* unul de altul în ceea ce privește parametrul intensiv presiune. Dacă peretele despărțitor devine un piston mobil fără frecare, presiunea celor două sisteme se egalează și spunem că s-a realizat un *contact* mecanic între ele.

Deci, starea de contact sau izolare a unui sistem cu alt sistem (sau cu mediul exterior) se apreciază după valoarea parametrilor intensivi. Când un parametru intensiv al sistemului își păstrează valoarea un timp oricât de întindut, sistemul este izolat în privința acestui parametru. Când parametrul respectiv capătă aceeași valoare în sistem ca și în mediul înconjurător, sistemul este în contact (mecanic, termic, electric) cu mediul exterior.

Izolarea unui sistem de mediul exterior, din punct de vedere mecanic, se realizează cu ajutorul unui înveliș cu pereți nedeformabili. Un înveliș care înconjoară sistemul și îl separă de mediul exterior astfel încât starea sistemului nu poate fi modificată decât prin efectuarea de lucru mecanic, nu și prin transfer de căldură, se numește înveliș *adiabatic*. Un înveliș care nu este adiabatic se numește înveliș *diatermic* (transparent pentru căldură). Izolarea perfectă a unui sistem fiind o idealizare, o ipoteză de lucru, în practică nu există învelișuri perfect adiabatice sau perfect diaterme, ci doar învelișuri care aproximiază cu o anumită precizie pe cele definite mai sus.

1.1.4. Echilibru

Când proprietățile unui sistem, caracterizate prin parametrii respectivi, nu variază în timp spunem că sistemul este în stare de *echilibru*. O astfel de stare nu poate exista decât dacă și parametrii respectivi ai mediului exterior nu variază în timp, sau dacă sistemul este izolat.

Se poate întâmpla ca proprietățile (parametrii) unui sistem să varieze în timp chiar dacă aceiași parametri ai mediului exterior sunt constanți, sau sistemul se află într-un înveliș izolator. Experiența arată că, în aceste condiții, după un timp suficient de lung sistemul atinge o stare de echilibru termodinamic, parametrii intensivi având aceeași valoare, constantă, independentă de timp, în tot volumul sistemului. Această constatare se mai numește uneori și primul postulat al termodinamicii (principiul echilibrului).

O măsură a vitezei cu care un sistem ajunge în starea de echilibru termodinamic este timpul de relaxare, definit ca intervalul de timp necesar pentru ca deviația de la valoarea de echilibru a unui parametru de stare să scadă de e ori ($e =$ baza logaritmilor naturali). Altfel spus, în intervalul de timp numit timp de relaxare, deviația de la valoarea de echilibru a unui parametru de stare scade la $1/e$ din valoarea inițială. Acest timp variază în limite foarte largi; de la 10^{-6} secunde, timpul necesar pentru egalizarea presiunii într-un gaz omogen, până la câteva ore, zile sau săptămâni în cazul unor procese de difuzie în substanțe neomogene.

Stările de echilibru sunt ușor de caracterizat deoarece parametrii intensivi au aceeași valoare în tot cuprinsul sistemului. De aceea, mult

timp, termodinamica a studiat numai aceste stări, ceea ce ne determină și pe noi să ne limităm, pentru început, numai la termodinamica stărilor de echilibru.

1.1.5. Proces sau transformare

Schimbarea stării unui sistem se numește transformare sau *proces*. Dacă transformarea are loc în intervalul de timp de la t_1 la t_2 ($t_1 < t_2$), starea la momentul t_1 se numește *stare inițială*, iar starea la momentul t_2 se numește *stare finală* a sistemului. O stare intermediară la un moment dat oarecare t ($t_1 < t < t_2$) poate fi de echilibru sau de neechilibru. Ca exemplu, să considerăm un gaz la presiunea P_1 închis într-un balon de volum V_1 . Punând balonul în legătură cu un altul, vidat, gazul se va destinde și va ocupa volumul total V_2 având presiunea P_2 . Stările, inițială și finală, pot fi descrise prin cei doi parametri P_1, V_1 și respectiv P_2, V_2 , dar pentru a descrie o stare intermediară de neechilibru este necesar să cunoaștem viteza, presiunea și densitatea fiecărui element de volum din jurul oricărui punct situat în interiorul celor două baloane.

1.1.6. Procese reversibile și procese ireversibile

Prin proces *reversibil* se înțelege o asemenea schimbare în starea sistemului, care fiind efectuată în sens invers îl reduce în starea inițială, astfel ca sistemul să treacă prin aceeași stări intermediare ca și în procesul direct, dar în ordine inversă, prin aceasta starea corpurilor înconjurătoare rămânând neschimbată. Un asemenea proces este o idealizare, toate procesele reale, ce au loc în sisteme macroscopice, sunt ireversibile. Orice stabilire de echilibru este un proces ireversibil. Procesele reversibile nu sunt realizabile în natură, dar ele pot fi aproximare oricât de bine prin procese reale suficient de lente.

Să considerăm un gaz într-un cilindru cu piston, starea lui inițială fiind caracterizată prin volumul V_i și presiunea P_i . Dând o mică deplasare pistonului, gazul va suferi o transformare trecând dintr-o stare de echilibru într-o altă stare de echilibru, dar prin intermediul unor stări de neechilibru.

Repetând operația, în același sens, de un număr de ori, gazul ajunge la volumul final V_f și presiunea finală P_f , trecând succesiv prin stări de echilibru și stări de neechilibru. Făcând deplasările intermediare foarte mici și numărul lor foarte mare, la limită, toate stările intermediare pot fi considerate stări de echilibru, iar transformarea se numește *cvasistatică* (aproape statică).

Pentru a realiza o transformare reversibilă, cât mai apropiată de sensul definiției date mai sus, trebuie să ne asigurăm că stările prin care trece sistemul în timpul transformării diferă foarte puțin de stările de

echilibru. Deci, o transformare reversibilă se poate realiza numai prin procese cvasistaticice. Timpul de relaxare a sistemului ne permite să distingem procesele nestatice de cele cvasistaticice. Dacă intervalul de timp în care se desfășoară procesul este mai lung decât timpul de relaxare, procesul poate fi socotit cvasistatic. Transformările suferite de amestecul gazos din cilindrul unui motor cu explozie pot fi considerate, în primă aproximație, transformări cvasistaticice, deși decurg foarte repede, dar durează mult mai mult decât timpul de relaxare pentru egalarea presiunii.

Un proces, reversibil sau ireversibil, în urma căruia starea finală coincide cu starea inițială a sistemului se numește *proces ciclic*, spre deosebire de procesele deschise, neciclice.

Pentru ușurința urmăririi transformărilor suferite de sisteme, se utilizează reprezentările grafice sau diagramele. Din exemplele discutate mai sus se poate vedea că numai stările de echilibru pot fi reprezentate grafic prin valorile parametrilor ce le characterizează. Într-o stare de neechilibru presiunea gazului are diferite valori în diferite puncte ale sistemului, deci nu putem reprezenta starea lui printr-un punct în planul P-V. În schimb, în cazul comprimării lente a gazului prin deplasarea pistonului, fiecare stare de echilibru este determinată de valorile parametrilor P și V. La limită, când numărul stărilor de echilibru intermediar este foarte mare, punctele lor reprezentative fiind foarte apropriate formează curba ce descrie transformarea cvasistatică din starea P_iV_i în starea P_fV_f .

1.2. Temperatura

Exemplele discutate în paragrafele anterioare au fost alese astfel încât să utilizăm, pe cât posibil, numai noțiunile introduse în cadrul mecanicii. Pentru a caracteriza efectele termice am văzut că trebuie să introducem noțiunea de temperatură. Ca noțiune primară, temperatura este legată de senzația de cald sau rece pe care ne-o dau corpurile pe care le atingem. Cu toate că simțurile noastre ne permit o ordonare a corpurilor după gradul lor de încălzire, această ordonare este absolut subiectivă după cum se poate verifica, și de aceea este necesar să se dea o definiție obiectivă temperaturii.

1.2.1. Echilibru termic. Principiul zero al termodinamicii

Să analizăm din nou un fenomen mecanic, revenind la experimentul cu cele două cantități de gaz introduse într-un cilindru închis la capete și separate printr-un piston care se poate mișca fără frecare. Pistonul fiind confectionat dintr-un material izolator, cele două sisteme (gazul din cele două compartimente) se consideră a avea învelișuri adiabatice, fiind doar în contact mecanic unul cu celălalt. Experiența arată că, dacă presiunea în cele

două sisteme (cele două compartimente) este aceeași, sistemele sunt în echilibru mecanic.

Să vedem dacă experiența decurge în același mod și când peretele despărțitor (pistonul) dintre cele două sisteme nu este adiabatic, ci diaterm. Deci, pistonul nu este confectionat dintr-un material bun izolator termic (ebonită, material plastic etc.) ci dintr-un bun conductor termic (argint, cupru etc). În cazul anterior nu avea importanță dacă gazul dintr-un compartiment era mai cald decât în celălalt. Se realiza doar un echilibru mecanic. În cazul al doilea (perete diaterm) chiar dacă presiunea în cele două compartimente este egală de la început, pistonul se va deplasa dinspre compartimentul mai rece spre cel mai cald până ce se va realiza starea de echilibru mecanic și termic a celor două sisteme la o presiune diferită de cea inițială. Deci, realizarea echilibrului mecanic nu este suficientă pentru a se realiza echilibrul termodinamic a două sau mai multe sisteme. Egalitatea parametrului intensiv de natură mecanică, în cele două sisteme, nu este suficientă pentru a asigura echilibrul termic. Este necesar să aibă aceeași valoare și un alt parametru intensiv, de natură termică, pe care îl vom numi temperatură empirică.

Tot ca rezultat al unui număr mare de experiențe s-a constatat că, dacă atât sistemul A cât și sistemul B sunt în echilibru termic cu al treilea sistem C, atunci primele două sunt în echilibru termic între ele. Deci, echilibrul termic are proprietatea de tranzitivitate. Această constatare este numită uneori al doilea postulat al termodinamicii (iar după R.H. Fowler se numește principiul zero al termodinamicii). Deci există un parametru de stare intensiv, numit temperatură empirică, prin a cărui valoare, aceeași în tot volumul, se determină starea de echilibru termic a unui sistem izolat.

1.2.2. Relații între temperatură și ceilalți parametri de stare

Am văzut că starea de echilibru termodinamic a unui sistem este complet determinată de parametrii de poziție (de ex. volumul gazului) și de temperatură empirică. Starea sistemului este caracterizată prin valoarea parametrilor de stare, ceea ce presupune cunoașterea metodei de măsură pentru fiecare parametru. Dacă parametrii de poziție (volumul unui gaz, lungimea unui fir etc.) sunt relativ ușor de măsurat direct, temperatura nu poate fi măsurată în același mod.

Experimental s-a constatat că modificarea temperaturii unui corp, înregistrată chiar numai prin simțurile noastre, este însotită de modificarea altor caracteristici ale corpului (volumul sau presiunea unui gaz, lungimea unui fir, rezistența electrică a unui conductor, culoarea unui corp adus la incandescență etc.). Aceasta constituie dovada existenței unei relații între temperatură și ceilalți parametri de stare ai sistemului, ceea ce ne permite

să măsurăm temperatura prin măsurarea altor parametri de stare. Relația existentă între parametrii de stare se numește ecuația de stare (termică sau calorică) și se stabilește fie pe cale experimentală, fie în cadrul fizicii statistice (teorie cinetico-moleculară, pentru gazul ideal).

Pentru măsurarea temperaturii nu este necesară utilizarea ecuației de stare ci numai o relație între temperatură și un parametru de stare convenabil ales. Relația cea mai convenabilă este cea care exprimă o dependență liniară. Notând cu X valoarea parametrului de stare direct accesibil măsurătorii, temperatura va fi dată de relația $t = a \cdot X + b$, în care a și b sunt două constante ce urmează să fie determinate. Alegerea valorilor coeficienților a și b este o problemă de convenție. Constanta a determină unitatea de măsură, iar constanta b fixează originea scării alese.

1.2.3. Legile gazului ideal - legi limită

Studiind gazele prin măsurarea presiunii, volumului și temperaturii, s-a constatat că la presiuni mici toate gazele se comportă la fel. Pentru a desemna această stare a gazelor s-a introdus noțiunea de gaz ideal sau gaz perfect. Un gaz poate fi considerat perfect când între presiunea, volumul și temperatura lui există o relație în care nu intră vreo constantă particulară, specifică aceluia gaz. În teoria cinetico-moleculară se precizează condițiile de structură, la scară atomică, pe care trebuie să le îndeplinească un gaz pentru a fi considerat perfect sau ideal.

Prin măsurarea presiunii, volumului și temperaturii unei cantități date de gaz s-au stabilit legile cunoscute sub denumirea de legile gazului ideal.

Legea compresibilității izoterme, descoperită de R. Boyle (1627-1691) în anul 1664 și studiată de E. Mariotte (1620-1684) în anul 1676, exprimă constanța produsului dintre presiune și volumul unei mase m de gaz la temperatură constantă,

$$(1.1) \quad PV = P_0 V_0 = \text{const.} \quad (t \text{ și } m = \text{const.})$$

Legea dilatării izobare, descoperită de Gay-Lussac (1778-1850) în anul 1802, exprimă dependența liniară a volumului unei mase m de gaz de temperatură, când presiunea rămâne constantă

$$(1.2) \quad V = V_0(1 + \alpha t) \quad (P \text{ și } m = \text{const.})$$

S-a notat cu V_0 volumul gazului la temperatura $t = 0^\circ\text{C}$.

Legea de variație a presiunii la volum constant (J.A. Charles, 1746-1823) exprimă dependența liniară a presiunii unei mase de gaz când volumul este păstrat constant

$$(1.3) \quad P = P_0(1 + \beta t) \quad (V \text{ și } m = \text{const.})$$

Și aici P_0 reprezintă presiunea la $t = 0^\circ\text{C}$.

Pentru măsurarea temperaturii t care intervine în aceste relații se poate utiliza un termometru cu mercur sau cu alcool, etalonat în raport cu temperatura de topire a gheții și cea de fierbere a apei, la presiune normală. Atribuind temperaturii de topire a gheții valoarea $T_0 = 273,15$ K obținem o scară cu un singur punct fix (vezi § 1.3.2) și cu ajutorul relației $T = t + T_0$ legile gazului ideal se scriu sub forma

$$(1.2') \quad \frac{V}{T} = \frac{V_0}{T_0}$$

$$(1.3') \quad \frac{P}{T} = \frac{P_0}{T_0}.$$

Experiențele efectuate cu diferite gaze, la diferite presiuni, au pus în evidență caracterul limită al acestor legi. Dacă ne referim la legea Boyle-Mariotte, în coordonate P-V, ecuația $PV=\text{const.}$ se reprezintă printr-o hiperbolă echilateră și sunt greu de observat eventualele abateri de la această lege. În coordonatele Amagat, izotermele $PV=f(P)$ sunt drepte cu o mică pantă pozitivă sau negativă (Fig.1.1). Pe măsură ce presiunea gazului scade, toate dreptele converg spre o valoare unică, bine determinată, a produsului PV. Este evident că legea Boyle-Mariotte este un caz limită al legii compresibilității izoterme a gazelor reale.

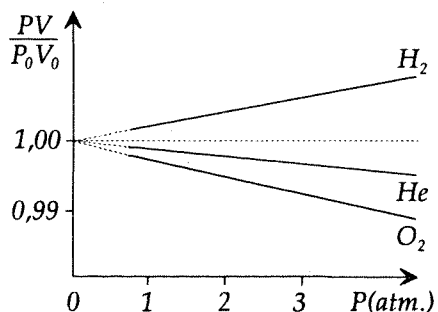


Fig. 1.1

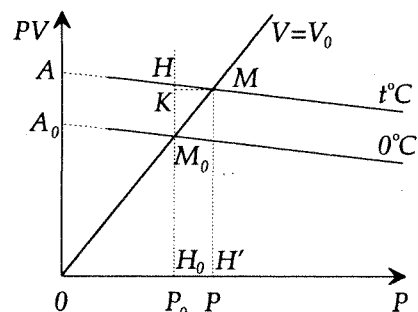


Fig. 1.2

La temperatură constantă, pentru o masă dată de gaz, produsul PV tinde la o valoare limită, constantă, când presiunea gazului tinde la zero

$$\lim_{P \rightarrow 0} (PV) = \text{const.} \quad (t \text{ și } m = \text{const.})$$

Caracterul de legă limită poate fi evidențiat și pentru celelalte două legi, a lui Gay-Lussac și a lui Charles. Reprezentând grafic produsul PV funcție de P, la diferite temperaturi, obținem izotermele din figura 1.2. Starea inițială a gazului la temperatura 0°C este reprezentată prin punctul de abscisă M_0 pe izoterma 0°C . O încălzire de la 0°C la $t^\circ\text{C}$, la presiunea

constantă P_0 este reprezentată prin segmentul M_0H , limitat de cele două izoteme, 0°C și $t^\circ\text{C}$.

Raportul

$$\frac{V_t - V_0}{V_0} \frac{1}{t} = \alpha_0^t$$

definește coeficientul mediu de dilatare la presiune constantă, între 0°C și $t^\circ\text{C}$, și poate fi exprimat astfel:

$$(1.4) \quad \alpha_0^t = \frac{1}{t} \frac{P_0 V_t - P_0 V_0}{P_0 V_0} = \frac{1}{t} \frac{HH_0 - M_0 H_0}{M_0 H_0} = \frac{1}{t} \frac{HM_0}{M_0 H_0}.$$

O transformare a aceleiași mase de gaz prin încălzire la *volum constant* va fi reprezentată prin segmentul M_0M de-a lungul dreptei de volum constant, $V = V_0$. În punctul M, masa de gaz este caracterizată prin coordonatele PV_0 , abscisa P și temperatura t. Raportul

$$\frac{1}{t} \frac{P_t - P_0}{P_0} = \beta_0^t$$

definește coeficientul mediu de variație a presiunii la volum constant între 0°C și $t^\circ\text{C}$, putând fi exprimat și astfel

$$(1.5) \quad \beta_0^t = \frac{P_t V_0 - P_0 V_0}{P_0 V_0} = \frac{1}{t} \frac{KH_0 - M_0 H_0}{M_0 H_0} = \frac{1}{t} \frac{KM_0}{M_0 H_0}.$$

În concluzie, coeficientul α_0^t este diferit de coeficientul β_0^t , pentru gaze reale (la presiuni diferite de zero). Diferența poate fi reprezentată prin diferența între segmentele HM_0 și KM_0 . Făcând presiunea P_0 să tindă la zero, punctul M_0 tinde spre A_0 , iar punctele K, H și M tind să se suprapună cu punctul A. Deci segmentele HM_0 și KM_0 au aceeași limită comună, AA₀. Coeficienții α_0^t și β_0^t (rel. 1.4 și 1.5) devin egali când presiunea tinde la zero, luând valoarea

$$(1.6) \quad \alpha_0 = \beta_0 = \frac{1}{t} \frac{A_0 A}{O A_0}.$$

Coeficientul de dilatare α măsurat la presiunea de o atmosferă pentru diferite gaze are valori diferite, dar foarte apropiate. De exemplu, pentru hidrogen are valoarea $0,0036600 \text{ K}^{-1}$, iar pentru azot $0,0036700 \text{ K}^{-1}$.

Un mare număr de experiențe efectuate cu diferite gaze și la diferite presiuni initiale P_0 au arătat că atunci când presiunea tinde spre zero, coeficienții medii de variație a presiunii și coeficienții medii de dilatare tind spre o aceeași limită, independent de gaz și temperatură. Valoarea lor admisă în prezent este

$$(1.7) \quad \alpha_0 = \beta_0 = 0,0036609 = \frac{1}{273,15} \text{ K}^{-1}.$$

Observăm că această valoare este cuprinsă între valorile măsurate pentru hidrogen și azot.

1.2.4. Ecuația de stare a gazului ideal

În coordonatele P-V starea gazului ideal în punctul M_0 este caracterizată prin parametrii P_0 , V_0 și T_0 . Schimbarea stării acestei mase de gaz, ca să ajungă în punctul reprezentativ M (Fig.1.3) se poate realiza în mai multe moduri, pe mai multe căi. De exemplu, o destindere izotermă până în M' și apoi o încălzire izobară până în M , sau o încălzire izobară și apoi o destindere izotermă, sau o destindere izotermă urmată de o încălzire izocoră. În scopul stabilirii ecuației de stare, să urmărim primul caz, scriind legile după care se fac transformările. Pentru transformarea izotermă $M_0 \rightarrow M'$ scriem legea Boyle-Mariotte

$$P_0 V_0 = P' V'$$

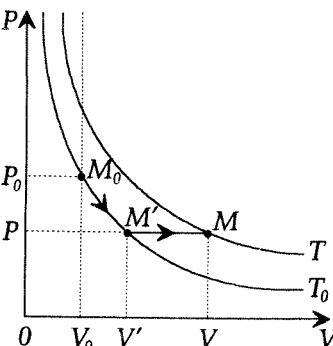


Fig. 1.3

iar pentru transformarea $M' \rightarrow M$ scriem legea Gay-Lussac sub forma

$$\frac{V'}{T_0} = \frac{V}{T} \text{ sau } V = V'(1 + \alpha t)$$

Eliminând pe V' între cele două relații obținem *legea transformării generale*

$$(1.8) \quad \frac{PV}{T} = \frac{P_0 V_0}{T_0} \text{ sau } PV = P_0 V_0 (1 + \alpha t).$$

Mărimile P_0 , V_0 , T_0 (sau α) fiind constante pentru o masă dată de gaz, înseamnă că am obținut o relație între P , V și T , ceea ce constituie *ecuația de stare a gazului ideal*, relația 1.8.

Valorile constantelor se determină luând în considerare condițiile în care se află gazul în starea M_0 . Temperatura este 0°C , deci $T_0 = 273,15 \text{ K}$, presiunea este presiunea atmosferică normală, deci $P_0 = 760 \text{ torr} = 1,01325 \cdot 10^5 \text{ N/m}^2$. Volumul V_0 al unei mase de gaz la temperatura T_0 și presiunea P_0 este o mărime ce trebuie măsurată.

Amintim că legea Boyle-Mariotte, legea volumelor constante a lui Gay-Lussac și legea proporțiilor multiple a lui Dalton i-au permis lui Avogadro să facă ipoteza că *volumul egale de gaze, măsurate în aceleași condiții de presiune și temperatură, conțin același număr de molecule*. Deci, în condiții normale, volumul molar are aceeași valoare pentru orice gaz. Întradevăr, numeroase experiențe, efectuate cu câte un mol din diferite gaze, au arătat că, la aceeași temperatură, izotermele trasate au aceeași ordonată în origine (Fig.1.1). Alt sir de experiențe efectuate cu un mol dintr-un gaz oarecare, dar la diferite temperaturi, au arătat că izotermele $\frac{PV}{vT} = f(P)$

intersectează axa $\frac{PV}{vT}$ într-un singur punct, unul și același pentru toate gazele (fig.14). Cu alte cuvinte, cantitatea PV/T pentru un mol de gaz sau PV/vT pentru v moli este aceeași pentru toate gazele când presiunea tinde spre zero.

Această cantitate se notează cu R și se numește *constanta universală a gazelor*. Universală - în sensul că este aceeași pentru toate gazele

$$(1.9) \quad R = \frac{PV}{vT} = \frac{PV_\mu}{T} \text{ sau } PV = vRT$$

Pentru gazul ideal raportul PV/vT este egal cu R la orice presiune (Fig.1.3). Dacă determinăm pe cale experimentală valoarea lui R putem calcula valoarea volumului molar V_μ pentru gazul ideal, la $T_0 = 273,15 \text{ K}$ și $P_0 = 1,01325 \cdot 10^5 \text{ N/m}^2$

$$(1.10) \quad V_\mu = \frac{RT}{P_0} = \frac{8,314 \text{ J} \cdot \text{mol}^{-1} \cdot \text{K}^{-1} \cdot 273,15 \text{ K}}{1,01325 \cdot 10^5 \text{ N} \cdot \text{m}^{-2}} = \\ = 22,41 \cdot 10^{-3} \cdot \text{m}^3 \cdot \text{mol}^{-1} = 22,41 \text{ m}^3 \cdot \text{kmol}^{-1}.$$

De exemplu, să presupunem că experiențele efectuate cu un mol de hidrogen au dat următoarele rezultate la temperatura de 0°C . La presiunea $P_1 = 0,969 \cdot 10^5 \text{ N} \cdot \text{m}^{-2}$ volumul molar este $V_1 = 23,438 \cdot 10^{-3} \text{ m}^3$ iar la presiunea $P_2 = 1,326 \cdot 10^5 \text{ N} \cdot \text{m}^{-2}$, volumul molar corespunzător este $V_2 = 17,129 \cdot 10^{-3} \text{ m}^3$. Se verifică ușor că este o abatere de la comportarea gazului ideal deoarece $P_1 V_1 < P_2 V_2$, în concordanță cu graficul pentru hidrogen din figura 1.4. Presupunând că variația produsului PV este liniară în acest interval de presiune, îl putem exprima prin relația $(PV) = A + B \cdot P$. Panta dreptei se poate calcula din datele de mai sus:

$$B = \frac{P_2 V_2 - P_1 V_1}{P_2 - P_1},$$

iar ordonata în origine este $A = P_1 V_1 - B \cdot P_1$. Înlocuind valorile experimentale aflăm: $B = 2,82 \cdot 10^6 \text{ m}^3$ și $A = 2270,945 \text{ J/mol}$.

Dacă la o temperatură dată produsul PV ar avea o valoare constantă, independentă de presiune, atunci gazul ar fi ideal și izoterma $PV = f(P)$ ar fi reprezentată printr-o dreaptă orizontală (Fig.1.1). În aceste condiții, volumul unui mol de gaz ideal în condiții normale se obține din raportul

$$(1.11) \quad \frac{PV}{P_0} = V_\mu = \frac{A}{P_0} = 22,413 \cdot 10^{-3} \text{ m}^3.$$

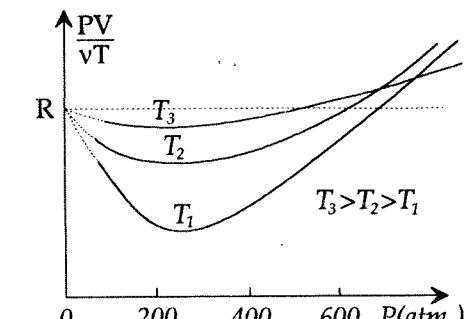


Fig. 1.4

Volumul unui mol de hidrogen la aceeași presiune și temperatură este ceva mai mare și rezultă din relația $P_0 V_0 = A + B P_0$ prin înlocuirea valorilor experimentale de mai sus: $V = 22,415 \cdot 10^{-3} \text{ m}^3$. Valorile apropiate ale volumelor molare arată că hidrogenul la presiunea atmosferei este foarte aproape de starea gazului ideal. Volumul molar al gazelor reale, în condiții normale de presiune și temperatură, diferă cu puțin, în plus sau în minus, față de valoarea volumului molar al gazului ideal în aceleași condiții.

Dacă sistemul studiat este constituit dintr-un amestec de gaze perfecte care nu reacționează chimic între ele, atunci *presiunea P a amestecului este egală cu suma presiunilor parțiale ale constituenților*. Această afirmație este cunoscută ca *legea lui Dalton*. Presiunea parțială P_i a unui constituent format din v_i moli, într-un amestec de gaze perfecte la presiunea P , volumul V și temperatura T , este presiunea pe care ar avea-o acel constituent dacă cei v_i moli ar ocupa singuri întreg volumul V al amestecului la temperatura T . Pentru fiecare constituent putem scrie ecuația de stare:

$$P_1 V = v_1 RT, P_2 V = v_2 RT, \dots P_k V = v_k RT.$$

Făcând sumă acestor relații obținem ecuația de stare a amestecului format din numărul total de moli și având presiunea egală cu suma presiunilor parțiale.

Pe lângă *ecuația de stare termică* discutată mai sus, există și o *ecuație de stare calorică* în care intervine energia internă a sistemului. În cazul gazului ideal, această ecuație ne spune că energia internă depinde numai de temperatură, fiind independentă de volum. Problema va fi discutată când vom vorbi mai pe larg despre energia internă.

1.3. Termometre. Scări termometrice

Măsurarea temperaturii se bazează pe relațiile existente între temperatură și alte proprietăți ale corpurilor, accesibile direct măsurătorii. Cele mai răspândite termometre se bazează pe dilatarea corpurilor, pe variația rezistenței electrice, variația tensiunii electromotoare a termocoplurilor sau pe modificările în radiația corpurilor incandescente. Pentru construirea unui termometru trebuie să alegem o *substanță termometrică* și o *mărime termometrică* ce depinde de temperatură printr-o relație cunoscută, de preferință liniară. Unitatea de măsură se stabilește prin alegerea unor fenomene ușor reproductibile cărora li se atribuie o anumită temperatură. Calitatea unui termometru se apreciază prin caracteristicile lui: sensibilitatea, acuratețea și reproductibilitatea. Alegerea unui anumit tip de termometru este dictată de condițiile concrete în care urmează să fie utilizat.

1.3.1. Tipuri de termometre

Termometrul cu gaz, prezentat schematic în figura 1.5, poate avea diferite forme ale balonului B și diferite sisteme de a păstra gazul la același volum, sau la aceeași presiune, pentru a măsura presiunea, sau volumul și, pe baza legilor gazului ideal să cunoaștem temperatură. Păstrând volumul constant, prin ridicarea sau coborârea vasului V, presiunea gazului este dată de presiunea atmosferică la care se adaugă diferența de nivel h între coloanele de mercur (Fig.1.5). Limita superioară de utilizare este impusă de temperatura de topire a materialului (sticlă, cuarț, platini) din care se construiește balonul. Gazul utilizat este hidrogenul între -200°C și $+300^\circ\text{C}$, azotul la temperaturi înalte și heliul la temperaturi joase, putându-se atinge 1,4 K dacă se lucrează la presiuni reduse (12 torr la 0°C). Măsurările comportă un număr însemnat de corecții care se fac numai în laboratoarele specializate.

Termometrele cele mai răspândite sunt cele cu lichid, termometrele cu rezistență și termolelementele. Termometrele cu lichid (pentan, alcool, mercur) se utilizează între -200°C și 600°C , limitele fiind impuse de solidificarea lichidului, pe de o parte și de topirea sticlei, pe de altă parte.

Termometrele cu rezistență, utilizând fir de platină, se folosesc într-un interval mai larg de temperaturi ($10\text{ K} - 1300\text{ K}$), iar dacă se folosește un fir de cupru domeniul de măsură este mai redus. Cel mai des utilizat este termometrul cu platină, cu care se asigură o bună reproducibilitate și o sensibilitate ridicată, dar se folosesc și alte metale pure, mai rar aliaje. Termometrele cu semiconductori (cu termistori) sunt mult mai sensibile decât cele cu fire metalice, dar domeniul de temperaturi în care pot fi utilizate este mai îngust și cu sensibilități diferite. Pentru temperaturi joase, sub 20 K , se utilizează termometre cu plumb, carbon sau germaniu.

Termometrele termoelectricice au o largă răspândire, mai ales pentru măsurarea diferențelor de temperatură. Două fire din metale diferite, sudate la capete formează un termocuplu. Tensiunea electromotoare care apare în circuit când între cele două suduri se menține o diferență de temperatură este aproximativ proporțională cu diferența de temperatură. Pentru unele perechi de metale abaterea de la liniaritate poate fi foarte mare. Ca urmare, termocoplurile din anumite metale se utilizează în anumite

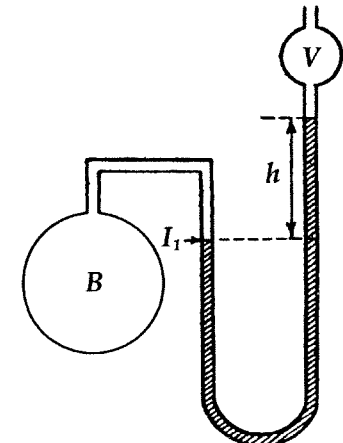


Fig. 1.5

intervale de temperatură, restricția fiind impusă și de eventualele transformări ce pot apărea în metale la temperaturi înalte:

cupru - constantan	între -200°C și +350°C
fier - constantan	între 0°C și +750°C
chromel - alumel	între -200°C și +1100°C
chromel - constantan	între 20°C și +1000°C
platină - platină + rhodiu 10%	până la 1400 - 1600°C.

La temperaturi înalte se mai utilizează și termocupluri din platină cu iridiu, sau ambele fire din platină cu rhodiu dar în diferite proporții. Termocuplul din wolfram și wolfram aliat cu rheniu (26%) se poate utiliza, în atmosferă neutră, până la 2600°C.

Termometrele termoelectrice au marele avantaj că permit măsurarea cu precizie a unor mici diferențe de temperatură, dar pentru măsurarea temperaturii unui corp este necesară utilizarea unui termostat în care să se afle sudura de referință. În domeniul temperaturilor mai mari de 1500°C, atât termocuplurile, cât și termorezistoarele trebuie protejate de acțiunea mediului în care se află, pentru a nu le schimba proprietățile și în consecință legea de variație a mărimii termometrice cu temperatura.

Pirometrele optice sunt destinate măsurării temperaturilor înalte și se bazează pe legile radiației corpului negru (vezi § 2.2.3.). Etalonarea se face în raport cu temperatura de solidificare a aurului, punct fix stabilit cu ajutorul termometrului cu gaz. Un pirometru monocromatic simplu este cel bazat pe fenomenul de dispariție a imaginii filamentului unui bec cu incandescență. Un sistem de lentile ne permite să privim în același timp imaginea corpului incandescent O (Fig. 1.6), a cărui temperatură dorim să o măsurăm, suprapusă cu filamentul incandescent L, încălzit prin trecerea unui curent electric. Dacă inițial filamentul este la o temperatură mai joasă, el apare negru pe un fond luminos. Mărind intensitatea curentului prin filament, la un moment dat imaginea filamentului dispare, nu mai poate fi distinsă. Curba de etalonare trasată pentru un anumit filtru F, ne dă temperatura corpului O funcție de curentul prin filament. Un pirometru optic de calitate superioară permite măsurarea unor temperaturi de ordinul a 2000°C cu o eroare de numai 3-5°C.

Măsurarea temperaturilor foarte joase întâmpină serioase dificultăți. Măsurarea tensiunii vaporilor de heliu constituie mijlocul cel mai la

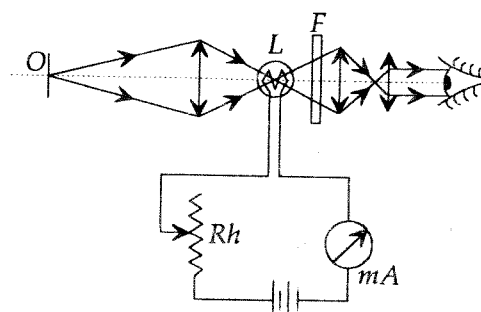


Fig. 1.6

îndemână, până la 0,3 K, iar la temperaturi mai joase se utilizează demagnetizarea adiabatică a unor săruri paramagnetice, aceasta fiind și metoda de obținere a temperaturilor foarte joase.

1.3.2. Scări termometrice. Puncte fixe

Toate termometrele descrise mai sus permit indicarea egalității temperaturii a două corpi sau constanța temperaturii unui corp. Măsurarea temperaturii presupune cunoașterea relației între temperatura t și mărimea termometrică aleasă X . O relație liniară de forma $t = aX + b$ este cea mai avantajoasă pentru stabilirea unei scări de temperaturi. În scopul realizării practice a unei scări termometrice general valabilă s-au ales diferite substanțe termometrice (alcool, mercur, hidrogen, azot, heliu, etc.) dar valorile constantelor a și b , din relația de mai sus, s-au determinat utilizând cea mai răspândită substanță, apa. Diferența între temperatura de fierbere t_f și temperatura de solidificare t_s a apei, în condiții normale, a fost aleasă ca interval standard de temperatură. Gradul Celsius, unitatea de măsură, a fost ales ca fiind a suta parte din acest interval, construindu-se astfel scara centesimală sau scara Celsius, în memoria suedezului Celsius (1701-1744). În această scară, temperatura de solidificare a apei se consideră zero, $t_s = 0^\circ\text{C}$, iar temperatura de fierbere $t_f = 100^\circ\text{C}$. În scara Fahrenheit, $t_s = 32^\circ\text{F}$ și $t_f = 212^\circ\text{F}$, iar în scara Réaumur $t_s = 0^\circ\text{R}$ și $t_f = 80^\circ\text{R}$.

Alegând cele două puncte fixe în scara Celsius și măsurând valorile corespunzătoare, X_0 și X_{100} , ale mărimii termometrice alese (lungimea coloanei de mercur, presiunea gazului la volum constant, rezistența firului de platină etc.) obținem trei ecuații: $t = a \cdot X + b$; $0 = a \cdot X_0 + b$ și $100 = a \cdot X_{100} + b$. Eliminând constantele a și b putem determina temperatura prin relația

$$(1.12) \quad t = 100 \frac{X - X_0}{X_{100} - X_0}$$

În acest mod s-a stabilit *scara empirică* de temperaturi care a stat la baza *scării practice internaționale* adoptată în 1927 de Comitetul Internațional de Măsuri și Greutăți.

Încă din anul 1854, W.T. Thomson (lord Kelvin, 1824-1907) a arătat că alegerea a două puncte fixe este o problemă convențională, necesară pentru termometria practică și acceptabilă pentru acel stadiu de dezvoltare a științei, dar pentru scopuri teoretice trebuie să se stabilească o scară cu un singur punct fix. În anul 1954, a 10-a Conferință Generală de Măsuri și Greutăți a hotărât introducerea *scării absolute* de temperaturi, alegând ca punct fix temperatura punctului triplu al apei. Prin scară absolută înțelegem o scară care este independentă de proprietățile vreunei substanțe oarecare. Definirea și realizarea ei în practică vor fi discutate în paginile următoare. Asupra noțiunii de scară termodinamică vom reveni cu ocazia expunerii principiului al doilea al termodinamicii.

Dacă în relația dintre temperatură și mărimea termometrică alegem constanta $b=0$, ecuația devine $T=a \cdot X$ și cu valorile corespunzătoare punctului triplu al apei $T_{tr}=a \cdot X_{tr}$, ceea ce ne permite să determinăm temperatura în raport cu un singur punct fix

$$(1.13) \quad T = \frac{X}{X_{tr}} T_{tr}.$$

Temperatura punctului triplu este temperatura la care gheata, apa și vapo-rii ei coexistă în stare de echilibru. Această temperatură se poate măsura cu o eroare de $\pm 10^{-4}$ °C, în timp ce temperatura de topire a gheții se măsoară cu o eroare de $\pm 2 \cdot 10^{-4}$ °C, iar temperatura de fierbere a apei cu o eroare minimă de $\pm 2 \cdot 10^{-3}$ °C. Starea triplă a apei este bine determinată și se obține la presiunea de 4,58 torr. Valoarea acestei temperaturi s-a ales $T_{tr} = 273,15$ K (Kelvinul fiind unitatea de măsură) cu scopul de a nu afecta cu nimic scara practică internațională utilizată în toate laboratoarele din lume. În această scară temperatura de topire a gheții este de 273,15 K, iar temperatura de fierbere a apei este de 373,15 K. Deci gradul Celsius, ca interval de temperatură, este egal cu Kelvinul.

Pe baza legilor gazului ideal s-a stabilit scara normală de temperaturi, alegându-se ca substanță termometrică hidrogenul, păstrându-se ca unitate de temperatură gradul Celsius și convenindu-se ca termometrul cu gaz utilizat să funcționeze la volum constant. Măsurând presiunea gazului P_{100} la temperatura de fierbere T_{100} apei și presiunea P_0 la temperatura de topire a ghetii T_0 , din relațiile

$$\frac{P}{T} = \frac{P_0}{T_0} = \frac{P_{100}}{T_{100}} \quad \text{si} \quad T_{100} - T_0 = 100$$

rezultă relația după care se calculează temperatura T_0 a gazului la presiunea P :

$$(1.14) \quad T_g = \frac{100 \cdot P}{P_{100} - P_0}.$$

Această relație este valabilă pentru orice valoare a presiunii P_0 , dar scara normală de temperaturi se definește pentru $P_0=1$ atm.

Temperatura T_g definită prin relația (1.14) nu este o temperatură absolută deoarece depinde de substanța termometrică, hidrogen sau heliu și de presiunea inițială P_0 . Înlăturarea acestor neajunsuri se face prin trecere la limită. Făcând presiunea P_0 să

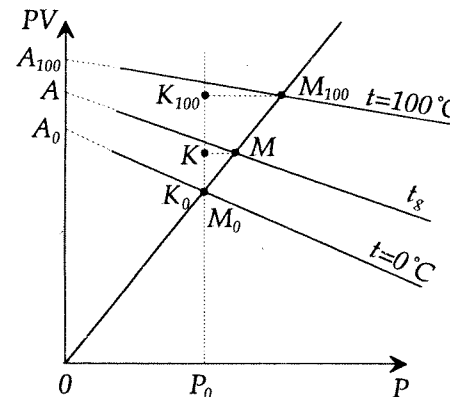


Fig. 1.7

tindă spre zero, gazul tinde spre starea lui ideală și astfel vom defini o scară absolută de temperaturi, independentă de natura gazului. Trecerea la limită poate fi urmărită prin reprezentarea procesului în coordonate Amagat (Fig.1.7).

Izotermele corespunzătoare temperaturilor de 0°C , 100°C și $t^{\circ}\text{C}$ sunt drepte de pantă mică, dacă ne limităm la presiuni de 1-2 atmosfere. Transformarea izocoră este reprezentată prin dreapta $V_0 = \text{const}$. Dacă presiunea de umplere a termometrului cu gaz este P_0 la 0°C , starea gazului la diferite temperaturi va fi dată de punctele de pe dreapta OM. Pe baza relațiilor

$$P = P_0(1 + \beta \cdot t_g) \quad \text{si} \quad P_{100} = P_0(1 + \beta \cdot 100)$$

temperatura gazului măsurată cu acest termometru este dată de relația

$$(1.15) \quad t_g = \frac{P - P_0}{P_{100} - P_0} \cdot 100 = \frac{PV_0 - P_0V_0}{P_{100}V_0 - P_0V_0} \cdot 100.$$

Produsele PV_0 , P_0V_0 și $P_{100}V_0$ sunt ordonatele punctelor M , M_0 și M_{100} , încât relația (1.15) se poate scrie

$$(1.16) \quad t_g = \frac{KK_0}{K_{100}K_0} \cdot 100$$

fiind valabilă pentru orice valoare a presiunii P_0 , dar depinzând de această valoare după natura gazului folosit. Când presiunea P_0 tinde la zero relația (1.16) devine

$$(1.17) \quad t = \frac{AA_0}{A_{100}A_0} \cdot 100$$

La presiuni reduse, izotermele se reprezintă prin ecuații liniare de forma $PV=A+B\cdot P$. Coeficienții A și B, care depind de temperatură, au fost determinați cu o eroare mai mică de 10^{-6} , încât extrapolarea la presiune zero permite determinarea ordonatei în origine cu o precizie suficient de bună. Astfel scara absolută a gazului ideal este experimental accesibilă cu o mare precizie.

Luând în considerare independența scării gazului ideal de o anumită substanță și comparând relația (1.17) cu relația (1.13) observăm că scara gazului ideal poate fi construită pe baza unui singur punct fix. Temperatura t în scara Celsius a gazului ideal este dată de relația (1.17), iar coeficientul de variație a presiunii la volum constant, în acord cu relația (1.6) este

$$\beta_0^t = \beta_0^{100} = \frac{A_0 A_{100}}{O A_0} \cdot \frac{1}{100}$$

Rezultāti

$$AA_0 = \frac{t \cdot (A_{100}A_0)}{100} = t \cdot \beta_0 \cdot OA_0 = OA - OA_0$$

Deci $\bar{O}A = OA_0(1+\beta_0 t)$, ceea ce reprezintă legea de variație a presiunii la volum constant, dar prin reprezentarea grafică din figura 1.8 s-a subliniat

caracterul limită al acestei legi. Notând temperatura absolută cu $T = t + \frac{1}{\beta_0}$, iar temperatura absolută de topire a gheții ($t=0^\circ\text{C}$) cu $T_0 = \frac{1}{\beta_0}$ rezultă o relație de tipul

$$(1.18) \quad T = \frac{\text{OA}}{\text{OA}_0} \cdot T_0$$

care ne permite să utilizăm un singur punct fix, care din motivele arătate mai sus s-a ales punctul triplu al apei. De fapt, în acord cu graficul din figura 1.7, această relație se poate scrie și sub forma

$$T = \frac{PV}{(PV)_0} \cdot T_0 \quad \text{și dacă volumul este păstrat constant rezultă}$$

$$T = \frac{P}{P_0} T_0.$$

Alegând ca reper nu temperatura de topire a gheții, ci temperatura punctului triplu al apei, temperatura este dată de relația

$$T = \frac{P}{P_{tr}} \cdot T_{tr}$$

Scara extrapolată a gazului ideal, în care temperatura este definită prin relația

$$T = 273,16 \text{ K} \cdot \lim_{P \rightarrow 0} \frac{P}{P_{tr}}$$

este identică cu scara absolută de temperaturi, în tot intervalul de temperaturi în care se poate utiliza un termometru cu gaz. Folosirea termometrelor cu gaz în practică este imposibilă în afara laboratoarelor specializate, unde se utilizează pentru determinarea cu mare precizie a punctelor fixe, a reperelor termometrice.

Deci, se impune stabilirea unor procedee de măsură a temperaturii cu o precizie suficient de bună și utilizabile în practica de laborator sau industrială. Pentru aceasta, Conferințele Generale de Măsuri și Greutăți, în special cea din 1948, au ales termometrele corespunzătoare, fixând pentru fiecare domeniul de temperatură și condițiile de utilizare. Domeniile sunt determinate (delimitate) prin două puncte fixe primare și între ele se prezintă formula de interpolare, astfel încât fiecare termometru să indice o temperatură cât mai apropiată de temperatura absolută definită prin scara gazului ideal. Prin această precizare a aparatelor și metodelor de determinare (de măsurare) a temperaturii se definește *scara practică internațională de temperaturi* (Scara Internațională Practică de Temperatură, 1968). Punctele fixe sau reperele termometrice (ale căror valori sunt indicate în tabelul 1.1) sunt măsurate cu precizie din ce în ce mai bună și corecțiile aduse se adoptă în cadrul Conferințelor Generale de Măsuri și Greutăți.

TABELUL 1.1.

Puncte fixe termometrice

Starea sistemului	Temperatura	
	°C	K
Temperatura punctului triplu al apei (la 4,58 torr)	0,01	273,16
Temperatura punctului triplu al hidrogenului	-259,34	13,81
Temperatura de fierbere a hidrogenului	-252,87	20,28
Temperatura punctului triplu al oxigenului	-218,789	54,361
Temperatura de fierbere a oxigenului	-182,962	90,188
Temperatura de fierbere a apei	100	373,15
Temperatura de solidificare a staniului	231,9681	505,1181
Temperatura de solidificare a zincului	419,58	692,73
Temperatura de solidificare a argintului	961,93	1235,08
Temperatura de solidificare a aurului	1064,43	1337,58
Temperatura de fierbere a heliului	-268,935	4,215
Temperatura de fierbere a azotului	-195,802	77,348
Temperatura de solidificare a mercurului	-38,862	234,288
Temperatura de înghețare a apei	0	273,15
Temperatura de solidificare a stibiului	630,74	903,89
Temperatura de solidificare a platinei	1772	2045
Temperatura de solidificare a iridiului	2447	2720
Temperatura de solidificare a wolframului	3387	3660

Obs. Toate temperaturile, cu excepția punctelor triple, sunt măsurate la presiunea atmosferică normală (101325 N/m^2).

În intervalul de la $-259,34^\circ\text{C}$ la $630,74^\circ\text{C}$ temperatura se măsoară cu ajutorul termometrului cu fir de platiniă, firul utilizat având caracteristici standard bine precizate. Intervalul de temperaturi fiind destul de larg, a fost împărțit în cinci subintervale mai înguste, pentru fiecare precizându-se legea de variație a rezistenței cu temperatura.

În intervalul de la $630,74^\circ\text{C}$ la $1064,43^\circ\text{C}$, scara internațională practică de temperatură se stabilește cu ajutorul termometrului termoelectric utilizând un termocuplu din platiniă și platiniă cu 10% rhodiu. Când o suflare este menținută la 0°C și cealaltă la $t^\circ\text{C}$, tensiunea electromotoare ce apare pe circuit este dată de relația $E = a + b \cdot t + c \cdot t^2$, constantele a , b și c

fiind determinate cu ajutorul temperaturilor de solidificare a stibiului, argintului și aurului.

În domeniul temperaturilor înalte scara internațională practică se extinde cu ajutorul pirometrelor optice, bazate pe legile radiației corpului negru (vezi § 2.2.3).

C A P I T O L U L 2

CĂLDURA. CALORIMETRIE

2.1. Coeficienți calorici

Din experiența noastră zilnică și din experiențe mai pretențioase efectuate în laborator, constatăm că două coruri, cu temperaturi inițiale diferite, puse în contact și izolate de mediul înconjurător ajung, după un timp suficient de lung, la aceeași temperatură, în stare de echilibru (primul postulat al termodinamicii). Corpul a cărui temperatură a scăzut spunem că a cedat căldură celuilalt corp, a cărui temperatură a crescut. Astfel s-a introdus noțiunea de căldură, considerând că scădere sau creștere temperatura unui corp este însoțită de un schimb de căldură. Deci s-a admis existența unui "fluid", existența a ceva numit căldură, care se transmite de la un corp la altul, dar nu se putea spune nimic despre natura căldurii. Acest "fluid" era considerat "nedistructibil", dar încălzirea coruprilor prin frecare a arătat că putea fi "creat". Astfel s-a ajuns la formularea primului principiu al termodinamicii.

Expresia "cantitate de căldură" are sens numai în cazul când vorbim despre un transfer de căldură. Nu se poate spune că un anumit sistem conține o anumită cantitate de căldură. După ce un corp a fost încălzit nu se poate sătăcui cum a fost încălzit: prin schimb de căldură sau prin schimb de lucru mecanic.

2.1.1. Căldura specifică

Transmițând căldură unui corp de masă M , la temperatura t_0 , observăm creșterea temperaturii corpului până la valoarea t . Dacă în interiorul corpului nu au loc și alte procese care să absoarbă sau să elibereze căldură, putem aprecia intuitiv că între căldura cedată corpului și diferența de temperatură ($t-t_0$) există o relație de proporționalitate. Este de așteptat că, pentru aceeași cantitate de căldură transmisă, variația de temperatură să depindă de masa M și de natura corpului încălzit. Precizând natura corpului încălzit, de exemplu dacă luăm o cantitate de apă cu masa M , cantitatea de căldură transmisă apei este proporțională cu variația de temperatură $t-t_0$, dar și cu masa M ,

$$(2.1) \quad Q \sim M(t - t_0).$$

Se poate observa că două cantități de căldură Q_1 și Q_2 sunt egale dacă încălzesc mase egale de substanță de la t_0 la t . Dacă două cantități de căldură Q_1 și Q_2 încălzesc masele M_1 și respectiv M_2 de la t_0 la t , atunci cantitatea de căldură care încălzește masa totală $M_1 + M_2$ de la t_0 la t este $Q_1 + Q_2$. Deci cantitatea de căldură este o mărime aditivă.

Pentru a pune în evidență influența naturii substanței pe care o încălzim asupra cantității de căldură necesară pentru a-i ridica temperatura de la t_1 la t_2 se introduce o caracteristică de material, ca o constantă de proporționalitate, în relația (2.1), devenind astfel o egalitate

$$(2.2) \quad Q = M \cdot c (t_2 - t_1)$$

Această caracteristică se numește căldură specifică și se definește prin căldura necesară pentru a încălzi un kilogram din substanța respectivă cu un grad. Observându-se că valoarea căldurii specifice depinde de temperatură, pentru intervale mai largi de temperatură se introduce căldura specifică medie

$$(2.3) \quad \bar{c} = \frac{1}{M} \frac{Q}{(t_2 - t_1)},$$

iar căldura specifică la o temperatură dată se obține îngustând intervalul de temperatură

$$(2.4) \quad c = \frac{1}{M} \cdot \frac{dQ}{dt}.$$

Prin dQ se înțelege o cantitate de căldură care, transmisă masei M , determină o variație elementară de temperatură dt . Produsul $M \cdot c$ din relația (2.2) se numește capacitate calorică a corpului sau echivalentul în apă al corpului respectiv, dacă se consideră căldura specifică a apei egală cu unitatea (vezi § 2.1.2.).

Uneori este avantajos să ne referim nu la masa substanței, ci la numărul de particule sau la numărul de moli conținut în corpul ce urmează să fie încălzit. În acest caz se definește căldura molară și egală cu cantitatea de căldură necesară pentru a ridica cu un grad temperatura unui mol¹ de substanță

$$(2.5) \quad C = \frac{1}{V} \frac{dQ}{dt} = c \cdot \frac{M}{V} = c\mu.$$

¹ Mol-ul, unitatea de cantitate de substanță se definește astfel:

1. - Mol-ul este cantitatea de substanță a unui sistem care conține atâtea entități elementare câtă atomi există în 0,012 kilograme de carbon 12.

2. - De câte ori se întrebuiuțează molul, entitățile elementare trebuie specificate, ele putând fi atomi, molecule, ioni, electroni, alte particule sau grupuri specificate de particule.

Căldura transmisă unui corp servește la ridicarea temperaturii corpului dar, prin dilatarea termică, și la efectuarea unui lucru mecanic. De aceea se face distincția între căldura specifică la volum constant c_v și căldura specifică la presiune constantă c_p .

Când unui sistem i se transmite căldura dQ , fără a-i se impune vreo condiție (izocor, izobar etc.) atunci sistemul își modifică toți parametrii de stare; presiunea cu dP , volumul cu dV și temperatura cu dT . O astfel de tranziție, între punctele M și N , ar putea fi reprezentată ca în figura 2.1. Cantitatea elementară de căldură transmisă sistemului se poate exprima ca funcție de variația a numai doi parametrii de stare, variația celui de al treilea fiind determinată de ecuația de stare a sistemului. Ca urmare, aceeași cantitate de căldură poate fi exprimată în trei moduri diferite

$$dQ = v \cdot C_v dT + v \cdot \lambda_v dV$$

$$(2.6) \quad dQ = v \cdot C_p dT + v \cdot \lambda_p dP$$

$$dQ = v \cdot k \cdot dP + v \cdot l \cdot dV$$

În aceste relații am introdus pe lângă căldurile molare C_v și C_p , încă patru coeficienți calorici: λ_v , λ_p , k și l care pot fi priviți și ca niște călduri latente molare. Semnificația fiecărui rezultă chiar din relațiile (2.6). La temperatură constantă $v\lambda_v = \left(\frac{dQ}{dV}\right)_T$ și $v\lambda_p = \left(\frac{dQ}{dP}\right)_T$, iar din a treia relație se deduce în același mod $vk = \left(\frac{dQ}{dP}\right)_V$ și $vl = \left(\frac{dQ}{dV}\right)_P$. Cu ajutorul unor relații termodinamice (§ 5.2.5) se pot calcula acești coeficienți dacă se cunoaște ecuația de stare a sistemului.

Căldura absorbită sau degajată în cursul unei transformări la presiune și temperatură constantă, raportată la unitatea de masă, se numește căldura latentă (specifică), $Q = M \cdot \lambda$. Căldura latentă, specifică sau molară, este o caracteristică a fiecărei substanțe și transformări.

2.1.2. Unități de măsură

Pe baza relației (2.2) putem stabili unitatea de măsură pentru cantitatea de căldură dacă precizăm valoarea masei $M=1\text{kg}$ și natura ei, deci

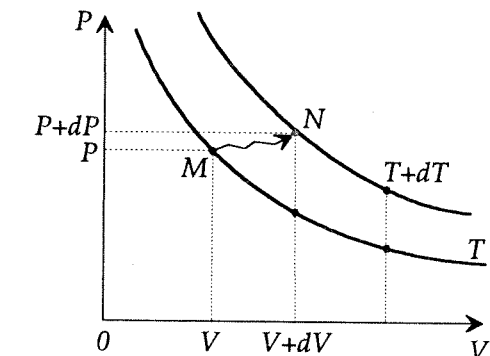


Fig. 2.1

valoarea lui c , iar variația de temperatură se alege egală cu unitatea, 1°C . Înainte de a se fi enunțat primul principiu al termodinamicii, prin care s-a stabilit echivalența dintre căldură și lucru mecanic, s-a convenit că valoarea căldurii specifice a apei să fie considerată o unitate și astfel s-a definit *caloria*. Deci, *caloria (kilocaloria)* este cantitatea de căldură necesară pentru a ridica temperatura unui gram (kilogram) de apă de la $14,5^\circ\text{C}$ la $15,5^\circ\text{C}$, sub presiunea normală. Precizarea intervalului de temperatură este necesară deoarece căldura specifică, inclusiv a apei, variază cu temperatura (așa ca în fig.2.2). Dacă ne mulțumim cu o precizie de 1%, în definiția caloriei putem alege intervalul de temperatură între 1°C și 100°C , dar pentru o precizie de 0,1% trebuie să ne limităm la un interval mai îngust.

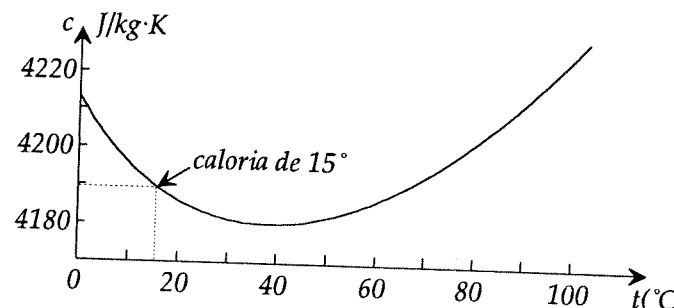


Fig.2.2

Trecerea de la *calorie*, unitate tolerată, la *joule*, unitatea de măsură pentru energie, se face prin intermediul echivalentului mecanic al caloriei, adică valoarea unei calorii exprimată în jouli. Determinarea acestui raport a constituit obiectul unui întreg sir de experiențe efectuate de J.P. Joule (1843) care au confirmat ideile lui J. Robert Mayer (1842) privind echivalența căldurii cu lucrul mecanic. Printre alți fizicieni care s-au preocupat de stabilirea unei valori cât mai exacte a raportului dintre *calorie* și *joule* se numără și C. Miculescu¹ (1891) cu o metodă de zero. Valoarea găsită de Miculescu, o medie a 31 de măsurători, este foarte apropiată de valoarea actuală admisă: $4186,8 \text{ J/kcal}$, cu o eroare relativă de $5 \cdot 10^{-5}$.

2.2 Schimbul de căldură

Între un sistem termodinamic (ce nu se află într-un înveliș adiabatic) și mediul exterior poate avea loc un schimb de căldură, transferul făcându-se de la sistemul cu temperatură mai ridicată spre cel cu temperatură mai coborâtă, prin trei procese: conducție, convecție și radiație.

¹ C.Miculescu (1863-1937) a fost profesor la Universitatea din București

2.2.1. Schimbul prin conducție

Din practica zilnică ne este cunoscut faptul că putem ține în mână o bucată de lemn scurtă care arde la un capăt, dar o bucată de fier înrărită la un capăt o putem ține în mână, de celălalt capăt, numai dacă este suficient de lungă. Dacă vergeaua metalică e scurtă și o introducem cu un capăt în flacără, constatăm că și celălalt capăt se încălzește, o simțim din ce în ce mai fierbinte deși este înafară flăcării. Procesul prin care căldura ajunge la capătul pe care îl ținem în mână se numește *conducție termică*. Atomii din capătul vergelei metalice care se află în flacără au o energie de agitație termică mai mare și aceasta se transmite din aproape în aproape atomilor vecini, până la capătul celălalt al vergelei.

Să considerăm o bară de lungime l ale cărei capete sunt menținute la temperaturi diferite, $T_2 > T_1$ (Fig.2.3).

Suprafața laterală a barei fiind acoperită cu un strat din material izolator, transmiterea căldurii are loc de-a lungul barei. Temperaturile T_1 și T_2 fiind constante și temperaturile intermediare pe toată lungimea barei vor avea valori diferite, dar constante în timp. În aceste condiții spunem că transferul de căldură are loc în regim staționar. Experimental se constată că

între cantitatea de căldură transmisă în unitatea de timp Q , aria secțiunii transversale a barei S , lungimea barei l și diferența de temperatură $T_2 - T_1$ există relația sau *legea lui Fourier*

$$(2.7) \quad \dot{Q} = -K \frac{S(T_2 - T_1)}{l}$$

în care constanta K este specifică fiecărei substanțe și se numește *conductivitate termică a substanței*. Dacă materialul prin care are loc propagarea căldurii nu este o bară cu secțiune constantă ci o placă, sau cu o altă formă oarecare, atunci relația (2.7) se poate scrie

$$(2.8) \quad \dot{Q} = \frac{dQ}{dT} = -SK \frac{dT}{dx},$$

unde dT este diferența de temperatură între două plane, perpendiculare pe axa x , la distanța dx unul de altul. Semnul minus exprimă faptul că transferul de căldură se face de la temperatura mai înaltă spre cealaltă, mai coborâtă (joasă), în sensul pozitiv al lui x dacă temperatura descrește în acest sens și invers. În sistemul internațional, unitatea de măsură pentru căldură este unitatea de energie, iar unitatea pentru constanta K rezultă din relația

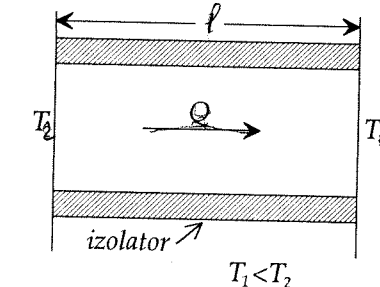


Fig. 2.3

$$(2.9) \quad K = -\frac{1}{S} \frac{dQ}{dt} \frac{dx}{dT}$$

Deci unitatea pentru K este

$$\frac{1J \cdot 1m}{1m^2 \cdot 1s \cdot 1K} = \frac{1J}{s \cdot m \cdot K}$$

Conductivitatea termică diferă foarte mult de la un material la altul (Tabelul 2.1) și crește foarte puțin cu creșterea temperaturii. În general vorbind, metalele sunt cele mai bune conducătoare de căldură, iar gazele au conductivitatea termică cea mai scăzută.

TABELUL 2.1

Materialul	$K(J/m \cdot s \cdot K)$	Materialul	$K(J/m \cdot s \cdot K)$
Argint	406	Stică	0,8
Cupru	383	Cărămidă roșie	0,6
Aluminiu	205	Cărămidă izolatoare	0,15
Otel	50	Lemn	0,12-0,04
Gheață	1,6	Plută	0,04
Beton	0,8	Aer	0,024

2.2.2 Convecția

Conductivitatea termică a lichidelor, și mai ales a gazelor, având valori mici, rezultă că transmiterea căldurii prin aceste medii se face foarte greu. Într-adevăr, aerul închis între două geamuri constituie un bun izolațor termic. Deși ne așteptăm ca încălzirea lichidelor și gazelor să se facă foarte greu, în realitate procesul de încălzire a fluidelor decurge ceva mai repede deoarece pe lângă fenomenul de conductie mai apare și fenomenul de convecție. Aerul dintr-o cameră venind în contact cu radiatorul (sau soba) se încălzește și devenind mai puțin dens se ridică, făcând loc aerului rece, care se va încălzi la rândul lui în contact cu radiatorul. Același fenomen are loc și în orice lichid pus într-un vas și încălzit în partea de jos. Prin formarea curenților de convecție se transportă în același timp substanță și căldură. Favorizarea sau împiedicarea formării curenților de convecție este determinată de condițiile în care are loc încălzirea fluidului. Dacă fluidul încălzit este pus în mișcare cu o pompă, procesul este numit convecție forțată; dacă circulația fluidului se face datorită diferenței de densitate, atunci convecția este naturală sau liberă. Pe baza fenomenului de convecție se explică tirajul coșurilor, circulația apei în instalațiile de încălzire fără pompe etc.

Pentru schimbul de căldură prin convecție nu există o ecuație atât de simplă și generală ca în cazul conductiei. Teoria matematică se face

pentru cazuri concrete, pentru diferite forme geometrice și anumite poziții ale corpurilor calde cu care vine în contact fluidul.

Căldura transmisă prin convecție în unitate de timp este dată de relația

$$(2.10) \quad \dot{Q} = h \cdot S \cdot \Delta T$$

în care S este aria suprafeței prin care se face transferul și ΔT este diferența de temperatură între suprafața încălzită și corpul principal al fluidului. Coeficientul de convecție h este o mărime ce depinde de: forma și poziția suprafeței, natura și caracteristicile fluidului, mișcarea fluidului (laminară sau turbulentă) etc. Pentru cazul cel mai des întâlnit al convecției naturale de la un perete sau conductă, care se află la o temperatură constantă și care sunt înconjurate de aer la presiunea atmosferică și având temperatura inferioară temperaturii peretelui cu ΔT , valorile coeficienților de convecție sunt date în tabelul 2.2.

TABELUL 2.2

Geometria sistemului	$h (J \cdot s^{-1} \cdot m^{-2} \cdot K^{-1})$
Placă orizontală cu față în sus	$2,49 \cdot (\Delta T)^{1/4}$
Placă orizontală cu față în jos	$1,31 \cdot (\Delta T)^{1/4}$
Placă verticală	$1,77 \cdot (\Delta T)^{1/4}$
Conductă orizontală sau verticală (de diametru d)	$4,185 \cdot \left(\frac{\Delta T}{d}\right)^{1/4}$

2.2.3. Schimbul de căldură prin radiație

Pământul primește de la Soare, în timp de un an, energia enormă de $10^{25} J$, ceea ce reprezintă mai mult decât energia care s-ar obține prin arderea tuturor rezervelor de cărbune ale globului terestru. Această energie provine de la Soare sub formă de unde electromagnetice care străbat spațiul vid interplanetar, deci se transmite prin radiație. Pe o suprafață orizontală Pământul primește de la Soare un flux energetic mediu de $350 W/m^2$. La partea superioară a atmosferei fluxul energetic ajunge la $1350 W/m^2$, dar, până la nivelul mării, scade, din cauza absorbției în atmosferă, la numai $1060 W/m^2$, și aceasta se întâmplă când Soarele este la zenit și cerul senin. Dacă Soarele este la 20° deasupra orizontului și cerul este acoperit, fluxul energetic scade la $100 W/m^2$.

Energia solară produce vânturile, evaporă apă mărilor și prin ploi alimentează râurile, determină fenomenul de fotositeză prin care se produce substanță organică, dar poate fi utilizată și în alte scopuri, după ce este transformată în energie electrică cu ajutorul bateriilor solare.

De fapt, de la orice corp încălzit, energia se transmite corpurilor din jur și prin radiație. *Energia radiantă emisă de pe o unitate de suprafață a unui corp în timp de o secundă* depinde de temperatura corpului, dar și de natura suprafeței. Cu creșterea temperaturii corpului puterea radiantă crește foarte repede, iar maximul energiei radiante se deplasează spre lungimi de undă mai mici (Fig. 2.4.a). De exemplu, puterea radiată de un centimetru pătrat din suprafața unui bloc de cupru este 0,03 W la 100°C, 0,54 W la 500°C și 4 W la 1000°C. Evident că și distribuția pe lungimi de undă se schimbă cu creșterea temperaturii. Puterea radiantă totală la o anumită temperatură este reprezentată prin aria cuprinsă între curba de distribuție la acea temperatură și axa orizontală (Fig. 2.4.a). Se observă că la temperaturi joase aproape toată energia este emisă prin unde infraroșii, cu lungimea de undă mai mare decât a radiației roșii.

Relația între energia emisă prin radiație și temperatura corpului care o emite a fost stabilită empiric, pe baza datelor experimentale, de Josef Stefan (1835-1893) în anul 1879 și dedusă teoretic de Boltzmann (1844-1906), în anul 1884, ambii formulând legea

$$(2.11) \quad \varphi = \epsilon \cdot \sigma \cdot T^4,$$

cunoscută ca *legea Stefan-Boltzmann*. Am notat cu φ - densitatea de energie radiantă (puterea radiantă pe unitatea de arie), T - temperatura absolută a corpului care radiază, σ - constanta Stefan-Boltzmann, având valoarea $5,6696 \cdot 10^{-8} \frac{W}{m^2 K^4}$, iar ϵ - este un coeficient având valoarea între 0 și 1, depinzând de natura suprafeței și se numește *emisivitatea suprafeței*. În general emisivitatea este mai mică pentru suprafețele lucioase, lustruite și mai mare pentru suprafețele cu asperități, rugoase.

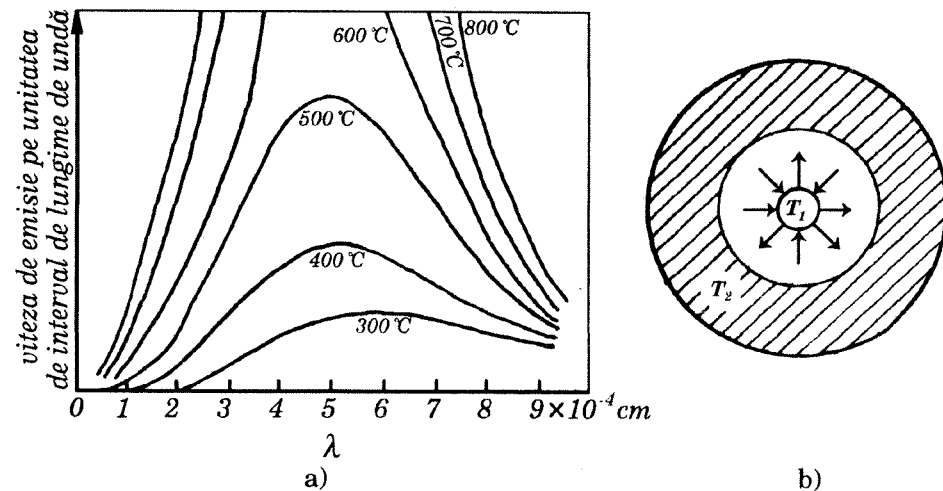


Fig. 2.4

Apare firească întrebarea: dacă un corp radiază continuu, cât de jos poate coborî temperatura lui? Pentru a răspunde la această întrebare să ne imaginăm un corp, având emisivitatea ϵ și temperatura T_1 , înconjurat complet de o incintă cu pereții la temperatura $T_2 < T_1$. Între corp și pereții care îl înconjoară se va stabili un schimb de energie radiantă, în ambele sensuri, dar ca rezultat corpul mai cald se va răci, iar cel mai rece se va încălzi. În acest caz puterea radiantă netă pe unitatea de arie, pierdută prin radiație este

$$(2.12) \quad \varphi_1 - \varphi_2 = \epsilon\sigma \cdot T_1^4 - \epsilon\sigma \cdot T_2^4$$

Observăm că am notat cu φ_1 puterea emisă și cu φ_2 puterea absorbită pe unitate de arie, ceea ce înseamnă că și puterea de absorbție a energiei radiante se exprimă prin aceeași lege Stefan-Boltzmann, cuprindând un coeficient de absorbție egal cu emisivitatea suprafeței. Acest lucru rezultă mai clar dacă ne imaginăm următoarea experiență. În interiorul aceleiași incinte, cu pereții la temperatura T_2 , sunt suspendate mai multe corpuși cu diferite emisivități. Se constată că, indiferent la ce temperatură au fost introduse, în final ele capătă aceeași temperatură T_2 . Din acest moment temperatura corpurilor din incintă nu se mai schimbă, ceea ce înseamnă că fiecare corp emite tot atâta energie câtă absoarbe. De aceea, un bun absorbant este și un bun emițător. Dar energia ce cade pe suprafața unui corp trebuie să fie sau absorbită, sau reflectată. De aceea un corp slab absorbant trebuie să fie un bun reflector și, implicit, un slab emițător. În tabelul 2.3 sunt date câteva valori ale coeficientului de absorbție.

TABELUL 2.3

Coefficientul de absorbție (emisivitatea) pentru diferite materiale

Funingine	0,95	Apă	0,67
Cretă	0,85	Gheăță	0,64
Otel	0,8	Cupru	0,5
Tencuială	0,8	Cupru șlefuit	0,13
Nisip	0,75	Fier șlefuit	0,3

Observăm că funinginea (negrul de fum) are cea mai mare emisivitate, deci este cel mai bun absorbant. Absorbantul ideal ar fi acela care nu reflectă nimic din energia radiantă ce cade pe el, deci apare ca un *corp (absolut) negru* (dacă temperatura lui nu e atât de înaltă încât să fie luminos). O astfel de suprafață nu există în natură. Și negrul de fum reflectă aproximativ 1%. Condiția de *corp negru* se poate realiza practicând o mică deschidere în pereții unei incinte închise. Energia radiantă care intră prin această deschidere este absorbită parțial de pereți, iar partea reflectată

suferă atât de multe reflexii successive încât o fracție foarte mică ar mai putea scăpa în exterior prin acea deschidere. Deci acea deschidere ar fi un absorbant ideal și, în consecință, un emițător ideal.

Emisivitatea ε a unei suprafețe negre ideale este egală cu unitatea, pentru toate suprafețele reale fiind subunitară.

Pirometrele optice se bazează pe legea Stefan-Boltzmann, deci pentru etalonarea lor, între punctele fixe din scara absolută, trebuie să se utilizeze radiația unui corp negru. Când utilizăm pirometrul optic pentru măsurători, citirile vor fi corecte dacă filamentul va fi proiectat pe fondul unui corp negru. Temperatura unui lingou de fier încălzit la roșu și scos din cuptor nu va fi indicată corect, dar, dacă este în cuptor, atunci poate fi considerat corp negru deoarece pirometrul va înregistra atât radiația emisă de lingou, cât și cea reflectată de el.

2.3. Calorimetrie

Scopul calorimetriei este de a măsura căldura schimbată de corpuri în diferite fenomene. Astfel de măsurători s-au făcut încă în secolul al XVIII-lea (Black, 1762; Lavoisier și Laplace 1780). Termodinamica s-a constituit ca știință utilizând în primul rând rezultatele experimentale obținute de Henri-Victor Regnault (1847). Importanța măsurătorilor calorimetrice n-a scăzut niciodată, rezultatele experimentale necesitând explicații care au condus spre fizica cuantică. În prezent, când cunoștințele despre structura atomică a substanțelor sunt bine consolidate, măsurările calorimetrice se dovedesc foarte utile pentru aprofundarea în continuare a procesului de cunoaștere. Măsurători ale căldurilor specifice permit determinarea energiei de interacțiune moleculară în sisteme complexe, mai puțin accesibile altor metode. Calorimetria furnizează datele termice necesare pentru calculul funcțiilor termodinamice și determinarea condițiilor de echilibru în cazul unor procese fizice sau chimice. În activitatea practică, atât proiectarea cât și optimizarea unor instalații din industria chimică sau energetică se bazează în mare parte pe măsurători calorimetrice.

2.3.1. Principiile calorimetriei

Toate măsurările calorimetrice se bazează pe următoarele două principii fundamentale.

a) Cantitatea de căldură primită de un corp este egală cu cantitatea de căldură cedată de celelalte corpi aflate în interiorul aceluiași înveliș adiabatic.

b) În transformările pur termice, cantitatea de căldură care intervine în procesul direct este egală cu cantitatea de căldură ce intervine în procesul invers. Cu alte cuvinte, căldura primită de un corp la încălzirea cu un număr de grade este egală cu căldura eliberată la răcirea aceluiași corp cu același număr de grade.

Toate metodele de măsurare a căldurii specifice se bazează pe aceste două principii, deși aparatul, dispozitivele și procedeele folosite sunt diferite. Pentru exemplificare vom descrie cel mai simplu *calorimetru adiabatic*, un *calorimetru izoterm* și *calorimetru cu flux continuu*.

Pentru determinarea căldurii specifice a unui corp solid putem utiliza calorimetru simplu construit de Regnault (Fig.2.5). Aceasta constă dintr-un vas A, din alamă sau aluminiu, cu pereti subțiri și bine lustruiți pentru a reduce transmiterea căldurii prin radiație. În vas se introduce o anumită cantitate de apă, un termometru și un agitator. Pentru a împiedica schimbul de căldură cu mediul exterior, vasul A se introduce în vasul B, de care este izolat prin suporti din lemn, plută sau alt izolator termic. În vasul B are suprafața peretilor bine lustruită, tot pentru a limita transferul de căldură prin radiație. Măsurătoarea începe prin înregistrarea temperaturii T_0 a apei din calorimetru. Corpul de masă M a cărui căldură specifică c_x dorim să măsurăm este încălzit (de obicei într-un vas cu apă) la temperatura T_f , măsurată suficient de precis. Prin introducerea acestui corp în apă din calorimetru se realizează un schimb de căldură, corpul răcindu-se și apa împreună cu vasul A, agitatorul și termometrul, încălzindu-se până la temperatură finală T_f . Corpul cedează cantitatea de căldură

$$(2.13) \quad Q_c = M \cdot c_x \cdot (T_f - T_0)$$

iar calorimetru primește cantitatea de căldură

$$(2.14) \quad Q_p = \sum m_i \cdot c_i \cdot (T_f - T_0)$$

unde prin $\sum m_i \cdot c_i$ am notat suma capacităților calorice ale apei, vasului A, termometrului și agitatorului. Presupunând că izolarea calorimetrelui este perfect adiabatică rezultă că, pe baza principiilor enunțate mai sus, căldura specifică a corpului are expresia

$$(2.15) \quad c_x = \frac{\sum m_i \cdot c_i (T_f - T_0)}{M(T_f - T_0)} \cdot \frac{Q_p}{Q_c}$$

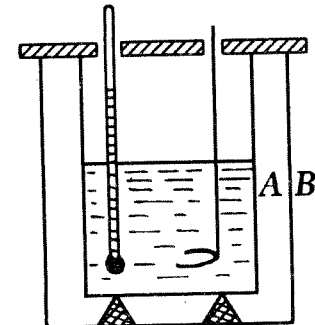


Fig. 2.5

Utilizarea apei ca lichid calorimetric are avantajul că se cunoaște foarte precis căldura ei specifică și permite un contact foarte bun cu corpul de studiat, agitația fiind usoară, echilibrul termic se atinge destul de repede. În schimb, are dezavantajul că domeniul de utilizare este relativ îngust, între 0°C și 100°C.

Această metodă, a amestecurilor, presupune cunoscute cădurile specifice ale apei, vasului calorimetric, agitatorului și termometrului. Determinarea lor se face printr-o măsurătoare suplimentară, introducând în calorimetru o cantitate de căldură cunoscută (o cantitate de apă caldă, pentru care presupunem cunoscută căldura specifică sau prin trecerea unui curent electric). În toate cazurile diferențele de temperatură înregistrate sunt mici, pentru a nu favoriza schimbările de căldură cu exteriorul și ca urmare se impune o măsurare cât mai precisă a temperaturii.

Deoarece schimbările de căldură cu mediul exterior nu poate fi eliminat complet, sunt necesare unele corecții dacă dorim să efectuăm o măsurătoare de precizie. Pentru a micșora erorile introduse prin schimbările de căldură între calorimetru și mediul exterior se urmărește compensarea acestor procese. Printr-o experiență preliminară, se determină diferența de temperatură $\Delta T = T_f - T_0$, iar apoi se începe experiența la o temperatură cu $\Delta T/2$ sub temperatura camerei și se încheie la o temperatură cu $\Delta T/2$ deasupra temperaturii camerei. În prima fază calorimetru primește căldură de la mediul exterior, iar în a doua cedează. Durata celor două faze nefiind egale, compensarea nu este perfectă. Un rezultat mai bun se obține înregistrând temperatura apei din calorimetru, din minut în minut, atât înainte cât și după introducerea corpului în calorimetru. Se obține graficul din fig.2.6, din care se vede că în regiunea AB calorimetru primește căldură din exterior, iar în regiunea CD, cedează căldură mediului exterior. Pentru a afla valoarea corectată a temperaturii finale și a temperaturii inițiale, ducem o verticală prin punctul N astfel încât aria hășurată din figură să fie egale. Astfel se obțin punctele B' și C', care ne permit să citim corect temperatura inițială și temperatura finală a calorimetrlui.

Deoarece un calorimetru cu o izolație perfect adiabatică nu se poate realiza, s-au construit și calorimetre izoterme. Acestea se bazează pe

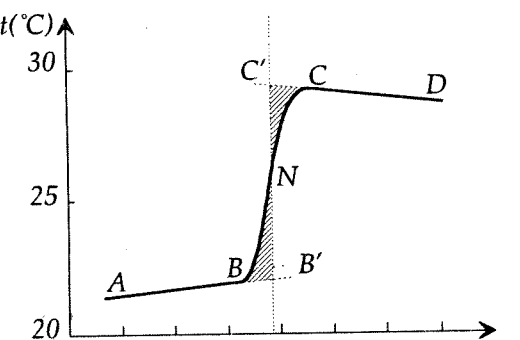


Fig.2.6

schimbarea stărilor de agregare. De exemplu un corp încălzit, așezat pe un bloc de gheăță la 0°C, va topi o parte din gheăță până ce se va răci și el la 0°C. Măsurând cantitatea de apă rezultată și cunoscând căldura latentă de topire a gheții se determină căldura specifică a corpului studiat.

În majoritatea metodelor de măsurare a căldurii specifice în condiții apropiate de cele normale, intervine căldura specifică a apei. Ca urmare s-a acordat o atenție deosebită metodelor de măsurare a căldurii specifice a apei, care sunt aplicabile și în cazul altor lichide. Metoda electrică este cea mai comodă. Într-un calorimetru adiabatic (Fig.2.5) se introduce o cantitate de apă și se încălzește cu un încălzitor electric a cărui energie o putem măsura. Repetând experiența cu o altă cantitate de apă, dar încălzind-o între aceleași limite de temperatură, vom determina capacitatea calorică a calorimetrlui.

O variantă perfecționată a calorimetrlui electric este calorimetru cu flux continuu. Energia electrică este furnizată tot de o rezistență electrică parcursă de curent și introdusă într-un înveliș adiabatic. Această energie este preluată de un curent de apă, al cărui debit constant poate fi măsurat suficient de precis. În aceste condiții (curent constant și debit constant) temperatura apei la intrarea în calorimetru, T_1 , și temperatura la ieșire, T_2 , rămân constante. Căldura specifică medie, la temperatura $\frac{T_1 + T_2}{2}$, rezultă din relația

$$(2.16) \quad U \cdot I \cdot t = M \cdot c (T_2 - T_1)$$

$$\text{sau introducând debitul } D = \frac{M}{t}$$

$$(2.17) \quad U \cdot I = D \cdot c (T_2 - T_1)$$

Cu această metodă se determină căldura specifică a apei, sau a altui lichid, fără să fie necesară cunoașterea căldurii specifice a altiei substanțe. Pentru a elimina pierderile prin pereți izolatori, care nu sunt perfect adiabatici, se fac două măsurători între aceleași temperaturi T_1 și T_2 dar cu debite și intensități ale curentului diferite. Din cele două relații obținute se elimină căldura transferată mediului exterior.

2.3.2. Determinarea căldurii specifice la gaze

Având în vedere densitatea mică a gazelor și valoarea mare a coeficientului lor de dilatare în raport cu lichidele și solidele, s-au imaginat metode specifice pentru determinarea căldurii specifice la presiune constantă și la volum constant. În cazul gazelor această diferență ($C_p - C_v$) nu poate fi neglijată.

Pentru determinarea directă a căldurii specifice izobare se pot folosi două metode: metoda cu flux continuu și metoda amestecurilor, pe care o

vom descrie în varianta realizată de Regnault. Gazul de studiat este furnizat de un rezervor A, la un debit reglat de robinetul R și la o presiune constantă indicată de manometrul M. Gazul trece printr-o serpentină S din cupru (bun conductor de căldură), menținută la temperatura constantă T_1 cu ajutorul termostatului B, apoi intră în calorimetru C unde cedează o parte din căldura primită și ieșe în atmosferă la temperatura T_2 . Temperatura inițială a apei din calorimetru este T_0 , iar la sfârșitul experienței este T_2 . Deci, apa și calorimetru primesc cantitatea de căldură

$$(2.18) \quad Q_p = m_a \cdot c_a (T_2 - T_0) + m_c c_c (T_2 - T_0),$$

iar gazul cedează cantitatea de căldură

$$(2.19) \quad Q_c = m \cdot c_p \cdot \left(T_1 - \frac{T_0 + T_2}{2} \right)$$

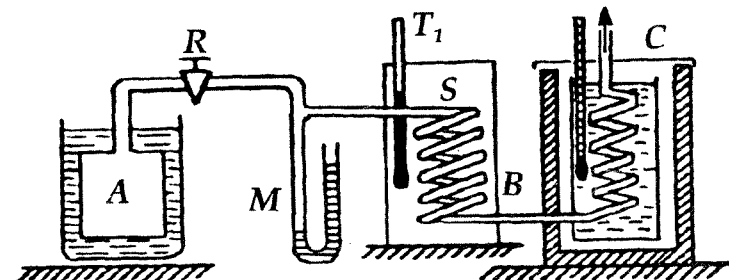


Fig. 2.7

în care $\frac{T_0 + T_2}{2}$ este temperatura medie a apei din calorimetru. Deci, din egalitatea relațiilor (2.18) și (2.19) rezultă valoarea căldurii specifice la presiune constantă a gazului studiat. Masa m a gazului ce trece prin calorimetru se determină măsurând presiunea gazului în recipientul A la începutul și la sfârșitul experienței.

Determinarea căldurii specifice a gazelor la volum constant se poate face cu metoda Joly (1890), bazată pe fenomenul de condensare a vaporilor.

Aparatul constă dintr-o balanță sensibilă (Fig. 2.8) de platanele căreia sunt atașate două sfere identice din cupru, una vidată, iar cealaltă conținând gazul de studiat. Ambelor sfere sunt introduse într-o incintă adiabatică, stabilindu-se echilibrul mecanic al balanței și echilibrul termic al sferelor la temperatura T . În incinta adiabatică, unde se află sferele, se introduc vaporii de apă la temperatura $T_1 > T$. Aceștia

condensează pe cele două sfere încălzindu-le până la temperatura T' ($T_1 > T' > T$), cantitatea de vaporii condensați fiind mai mare pe sferă plină. Lichidul rezultat prin condensare este colectat în taviile fixate în partea de jos a sferelor și diferența de masă $m_2 - m_1$ este indicată de balanță. Dacă λ este căldura latentă specifică de condensare a apei, pe sferă S_1 se eliberează cantitatea de căldură $m_1 \lambda$, iar pe sferă S_2 cantitatea $m_2 \lambda$. Cele două sfere fiind identice au capacitatea calorică C_s . Deci pentru sfera care conține gazul de masă m putem scrie

$$(2.20) \quad (m c_v + C_s)(T' - T) = m_2 \cdot \lambda,$$

iar pentru sferă goală

$$(2.21) \quad C_s(T' - T) = m_1 \cdot \lambda,$$

din care rezultă

$$(2.22) \quad c_v = \frac{m_2 - m_1}{m(T' - T)} \lambda.$$

Pentru a obține o precizie (ridicată) înaltă, sunt necesare unele corecții pentru a elimina efectul dilatației sferelor, a creșterii volumului sub acțiunea presiunii gazului, neidentitatea sferelor și altele.

O cale mai comodă de determinare a căldurii specifice la volum constant se bazează pe măsurarea lui c_p și a raportului c_p/c_v .

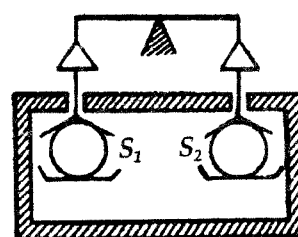


Fig. 2.8

C A P I T O L U L 3

PRIMUL PRINCIPIU AL TERMODINAMICII

A.S.A - Q.L.

În esență, primul principiu al termodinamicii este principiul conservării energiei în sensul cel mai general. Inițial a constituit o extindere a legii conservării energiei mecanice și asupra energiei termice, dar ulterior s-a extins și asupra celorlalte forme de energie, electrică, magnetică, nucleară, etc. Primul principiu s-ar putea enunța afirmând că variația energiei unui sistem în timpul unei transformări oarecare este egală cu energia pe care sistemul o primește, sau o cedează, mediului înconjurător.

3.1. Schimbul de energie între un sistem și mediul exterior

În cazul unui sistem pur mechanic energia lui este dată de suma dintre energia cinetică și energia potențială. Dacă nu există forțe exterioare care să acționeze asupra sistemului energia lui rămâne constantă. Suma dintre energia cinetică și energia potențială a unui pendul elastic este aceeași, indiferent în ce fază de oscilație se află pendul.

Când există forțe exterioare care acționează asupra sistemului, energia lui se schimbă prin trecerea dintr-o stare în alta. Lucrul mechanic efectuat de sistem asupra mediului exterior (un resort ce se destinde din starea *a* până în starea *b*) este egal cu diferența dintre energiile sistemului în cele două stări

$$(3.1) \quad E_a - E_b = L.$$

Din această egalitate rezultă că lucrul mechanic efectuat în timpul transformării (transformare pur mechanică sau transformare adiabatică) nu depinde de modul cum s-a efectuat transformarea ci numai de starea inițială și starea finală a sistemului.

Valoarea energiei este definită până la o constantă arbitrară, deoarece prin măsurarea lucrului mechanic nu putem determina decât variația energiei. Pentru a determina această constantă și a da o definiție empirică energiei sistemului, se alege o "stare de referință", atribuindu-i în mod

convențional energia zero, $E_0 = 0$. Acceptând această convenție, fiecărei stări a sistemului îi corespunde o anumită energie. Dacă sistemul se află inițial în starea zero, aplicându-i forțe exterioare convenabil alese îl putem duce, de exemplu, în starea *a*, efectuând lucru mecanic $-L_a$ (cu convenția că lucru efectuat asupra sistemului este negativ). Deci $E_a - E_0 = -L_a$ sau $E_a = -L_a$, prin aceasta definind energie sistemului în starea *a*. Definiția este arbitrară pentru că starea de referință a fost aleasă arbitrar, dar importante sunt variațiile de energie, care pot fi evaluate independent de reperul ales. *Relația de mai sus, între energie și lucru mecanic, este valabilă numai în cazul când sistemul schimbă energie cu exteriorul numai sub formă de lucru mecanic.*

3.1.1. Lucrul mecanic efectuat la variația volumului

În condițiile unei transformări cvasistaticice putem exprima lucru mecanic cu ajutorul parametrilor de stare ai sistemului studiat. Să considerăm o anumită cantitate de gaz închisă într-un cilindru cu ajutorul unui piston care se mișcă fără frecări (Fig.3.1.). Forță exterioară F_e acționează asupra pistonului de arie S , deplasându-l pe distanță dx . Cunoscând presiunea exterioară P_e egală cu presiunea interioară P în procese cvasistaticice, putem calcula lucru mecanic efectuat de forțele exterioare,

$$(4.1) \quad dL_m = P_e \cdot S \cdot dx = P_e \cdot dV.$$

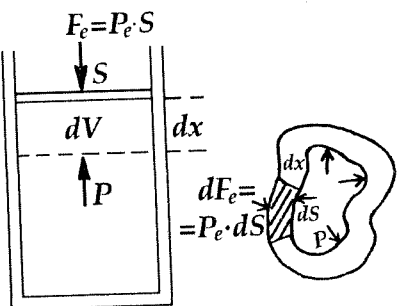


Fig. 3.1

Această relație poate fi generalizată și pentru cazul când suprafața mobilă care delimită sistemul are o formă oarecare. Lucrul mecanic efectuat prin deplasarea tuturor elementelor de suprafață se obține prin integrarea expresiei $P_e \cdot dS \cdot dx$ pe toată suprafața sistemului, în raport cu dS și cu dx . Deci și în cazul general expresia lucrului mecanic elementar este dată de relația

$$(3.2) \quad dL = P \cdot dV.$$

Observăm că în procesele cvasistaticice lucrul mecanic efectuat de forțele exterioare asupra sistemului este egal și de semn contrar cu lucrul mecanic efectuat de sistem împotriva forțelor exterioare. Convențional, vom considera pozitiv ($L > 0$) lucrul mecanic efectuat de sistem împotriva forțelor exterioare (la o creștere a volumului va corespunde un lucru mecanic pozitiv).

În cazul când trecerea sistemului din starea inițială 1 în starea finală 2 se realizează printr-un proces cvasistatic, transformarea poate fi reprezentată grafic, iar lucrul mecanic total, evaluat prin integrală

$$(3.3) \quad L = \int_{V_1}^{V_2} P \cdot dV$$

între limitele V_1 și $V_2 > V_1$, se reprezintă prin aria $V_1 M 2 V_2 V_1$ (Fig.3.2). Integrala are o valoare bine determinată și mereu aceeași numai dacă presiunea P este funcție de volumul V și nu depinde de temperatură sau de alt parametru de stare. Deci, lucrul mecanic L nu este determinat de starea inițială și starea finală a sistemului ci depinde și de "drumul" pe care s-a făcut transformarea. O astfel de mărime cum este lucrul mecanic se spune că este funcție de proces și nu este funcție de stare. Afirmația generală de mai sus se confirmă ușor în cazul gazului ideal, pentru care este ușor de arătat că lucrul mecanic schimbat de sistem cu mediul exterior într-o transformare izotermă este diferit de lucrul mecanic schimbat într-o transformare izobară (3.3) urmată de una izocoră (3.2), care duc sistemul în aceeași stare finală (Fig.3.2).

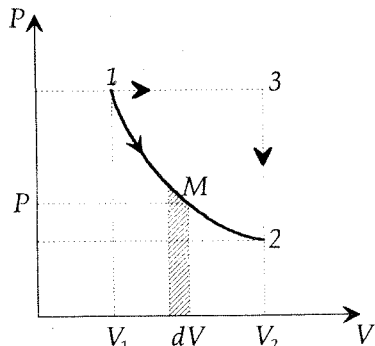


Fig. 3.2

3.1.2. Alte moduri de transmitere a energiei sub formă de lucru mecanic

Schimbul de energie, sub formă de lucru mecanic, între un sistem și mediul exterior se poate realiza și în alte moduri decât prin modificarea volumului. În mod analog cu expresia lucrului mecanic efectuat la variația

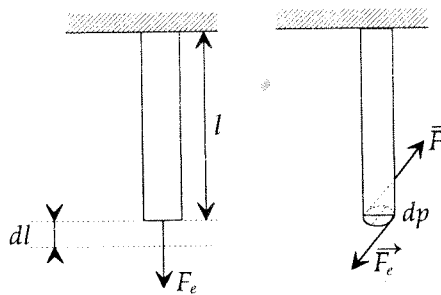


Fig. 3.3

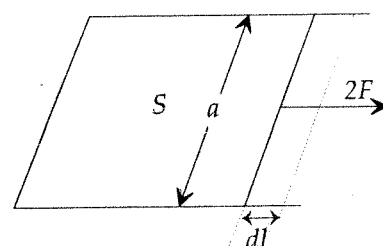


Fig. 3.4

volumului se scrie și relația care exprimă lucrul mecanic de alungire efectuat de o forță exterioară F_e care întinde, sau comprimă, cu dl o bară elastică de lungime 1 (Fig.3.3.)

$$(3.4) \quad dL_e = F_e \cdot dl.$$

Luerul mecanic de răsucire a unei bare fixate la un capăt este

$$(3.5) \quad dL_e = M \cdot d\phi$$

unde am notat cu $M = 2 \cdot r \cdot F_e$ momentul cuplului de forțe care răsucește cu unghiul $d\phi$ capătul de jos al barei de rază r (Fig.3.3.).

Lucrul mecanic necesar pentru a mări suprafața unui lichid este dat de expresia

$$(3.6) \quad dL_e = \sigma \cdot dS$$

în care σ este coeficientul de tensiune superficială, iar cu S am notat aria suprafeței libere a lichidului (Fig.3.4).

Dacă sistemul studiat este un dielectric plasat între armăturile unui condensator, prin aplicarea unui câmp electric de intensitate E dielectricul se polarizează, capătă un moment electric dipolar. Această stare se poate caracteriza prin inducția electrică D . Lucrul de natură electrică primit de sistem este egal cu

$$(3.7) \quad dL_{el} = v \cdot \vec{E} \cdot d\vec{D}$$

unde am notat cu v volumul constant al regiunii din spațiu cuprinsă între plăcile condensatorului.

Lucrul de natură magnetică efectuat în cursul procesului de magnetizare a unei substanțe are o expresie asemănătoare

$$(3.8) \quad dL = v \cdot \vec{H} \cdot d\vec{B}$$

în care am notat cu v volumul substanței din interiorul solenoïdului care produce câmpul magnetic de intensitate H , iar B este inducția magnetică din interiorul substanței magnetizate.

Se impune observația că în toate cazurile, lucrul mecanic se exprimă printr-un produs în care intervin parametrii intensivi P , F , M , σ etc. și parametrii extensivi V , l , ϕ , S etc. Expressia poate fi generalizată dacă notăm cu X parametrii intensivi și cu Y parametrii extensivi și dacă presupunem că lucrurile mecanice, schimbate de sistem cu exteriorul în diferite moduri, sunt independente unul față de altul. Expressia generală a lucrului mecanic se poate scrie astfel

$$(3.9) \quad dL = X_1 dY_1 + X_2 dY_2 + \dots = \sum_i X_i dY_i$$

3.1.3. Schimbul de căldură

În paragrafele anterioare am văzut că în cazul când sistemul considerat se află într-un înveliș adiabatic lucrul mecanic schimbat de sistem cu mediul exterior nu depinde de modul în care se face schimbul. Cu alte cuvinte, pentru un sistem a cărui stare nu poate fi schimbată decât prin efectuarea de lucru mecanic, valoarea lucrului mecanic transmis depinde numai de starea inițială și de starea finală a sistemului și nu depinde de modul cum s-a făcut transformarea. Pentru un sistem neizolat adiabatic, deci care poate schimba și căldură cu mediul exterior, lucrul mecanic efectuat de sistem în destindere depinde de volumul inițial și de cel final (rel.3.3), dar poate depinde și de temperatura sistemului, de exemplu. Ca urmare, pentru un sistem neizolat adiabatic, lucrul mecanic schimbat de sistem cu mediul încunjurător nu depinde numai de starea inițială și de starea finală ci și de stările intermediare prin care trece sistemul. De exemplu, încălzind cu o flacără o cantitate de apă de la temperatura inițială t_i , până la temperatura finală $t_f > t_i$, lucru mecanic efectuat de apă este extrem de mic deoarece dilatarea apei este foarte mică. Pentru a încalzi aceeași cantitate de apă de la temperatura t_i până la aceeași temperatură t_f , dar utilizând fenomenul de frecare, prin rotirea unor palete în vasul cu apă, trebuie să efectuăm un lucru mecanic considerabil. Aceasta este încă o dovadă că lucru mecanic nu depinde numai de starea sistemului ci și de procesul prin care se trece de la o stare la alta.

În general vorbind, când un sistem schimbă energie cu mediul exterior atât sub formă de lucru mecanic cât și sub formă de căldură atunci lucrul mecanic, dar și căldura schimbată depind de procesul prin care se face schimbul. Numai precizând procesul, putem evalua cantitatea de căldură transmisă sistemului. Sistemul este comparabil cu un vas care conține o cantitate de apă, dar nu putem să cătă apă provinție de la un robinet și cătă apă de la un altul. Pentru aceasta trebuie să știm procedeul de umplere.

3.2. Energia internă

Deși în termodinamică se utilizează uneori termenul "rezervor de căldură" niciodată nu vom evalua cantitatea de căldură conținută de un corp. Prin "rezervor de căldură" se înțelege un sistem, un corp, care posedă o anumită "rezervă de căldură" o energie internă de natură termică, legată de agitația moleculară. Putem evalua numai căldura pe care un alt corp o primește de la "rezervorul de căldură", dar nu căldura conținută de acel "rezervor". Energia internă are anumite proprietăți care o deosebesc net de lucrul mecanic și de căldură.

3.2.1. Energia internă-funcție de stare

Să considerăm un sistem termodinamic neizolat adiabatic, deci care poate schimba cu mediul exterior atât lucru mecanic cât și căldură. Dacă acest sistem primește lucru mecanic $-L$ (lucru mecanic efectuat de forțele exterioare este considerat negativ, $L < 0$) și cantitatea de căldură $+Q$, starea lui se schimbă. Măsura acestei schimbări se poate face prin evaluarea diferenței ce există între starea finală și starea inițială a sistemului. La trecerea din starea inițială în starea finală sistemul a primit energia $(-L + Q)$. Se constată că, deși atât L cât și Q depind de procesul prin care au fost transmise sistemului, funcția $(-L + Q)$ nu depinde decât de starea finală și de starea inițială a sistemului, deci este variația unei funcții de stare pe care o numim energie internă (Clausius, 1850).

În cazul particular când schimbul de energie între sistem și mediul exterior se face cu variația parametrilor de stare externi (adică cei determinați de poziția corpurilor exterioare) se spune că sistemul absoarbe (sau produce) lucru mecanic. Dacă sistemul este izolat adiabatic atunci el nu schimbă căldură. Notând cu L lucru mecanic (pozitiv) efectuat de sistem asupra mediului exterior și cu U_1 și respectiv U_2 valoarea energiei interne a sistemului în starea inițială și în starea finală, putem scrie relația

$$(3.10) \quad \Delta U = U_2 - U_1 = -L.$$

Dacă transferul de energie se face fără variația parametrilor externi, atunci sistemul absoarbe (sau cedează) căldură. Păstrând convenția cu privire la semnul cantității de căldură (Q este pozitiv când e primit de sistem) variația energiei interne este

$$(3.11) \quad \Delta U = U_2 - U_1 = Q$$

În cazul general când sistemul schimbă cu mediul exterior atât căldură cât și lucru mecanic variația energiei interne este dată de

$$(3.12) \quad \Delta U = U_2 - U_1 = (-L + Q).$$

Un sistem termodinamic cuprinde o parte macroscopică din Univers constituită din particule în mișcare și interacțiune, deci posedând o anumită energie. Energia internă cuprinde toate energiile tuturor formelor de mișcare și de interacțiune a particulelor din sistem: energia de agitație termică a microparticulelor (atomi, molecule, ioni, etc.), energia de interacțiune a acestor particule, energia electronilor din atom, energia nucleară, etc. Pentru a distinge energia internă de energia totală a unui sistem (care cuprinde și interacțiunea cu alte sisteme) se precizează că energia internă este raportată la centrul de masă al sistemului. Valoarea absolută a energiei interne nu poate fi determinată deoarece un sistem termodinamic nu poate fi adus într-o stare lipsită complet de energie. Determinarea energiei interne

se face până la o constantă arbitrară, care nu poate fi evaluată prin metode termodinamice. Uneori această constantă se poate alege egală cu zero.

Energia internă a unui sistem omogen este o mărime aditivă, egală cu suma energiilor interne ale tuturor părților macroscopice ale sistemului. În cazul unui sistem eterogen trebuie să se ia în considerație și energia stratului de separație între părțile componente.

Deosebirea dintre energia internă, pe de o parte, și lucrul mecanic și căldură, pe de altă parte, se poate evidenția și analizând o transformare în ciclu închis. Sistemul revenind în starea lui inițială, variația energiei interne trebuie să fie zero, la trecerea din starea a în starea b , ΔU trebuie să aibă aceeași valoare indiferent de drumul urmat. Dacă variația energiei interne într-o transformare ciclică ar fi diferită de zero s-ar încalcă principiul conservării energiei. De exemplu, presupunând că variația energiei interne pe drumul $a \rightarrow 1 \rightarrow b$ (Fig.3.5) este mai mare decât variația energiei interne pe drumul $a \rightarrow 2 \rightarrow b$, parcurgând drumul $a \rightarrow 1 \rightarrow b$ energia internă ar crește cu ΔU_1 , iar revenind în starea inițială pe drumul $b \rightarrow 2 \rightarrow a$ energia internă ar scădea numai cu $\Delta U_2 < \Delta U_1$. Deci, sistemul ar câștiga energie din nimic. Rezultă că energia internă este o funcție de starea sistemului, iar variația ei într-un ciclu închis este zero și într-un ciclu deschis nu depinde de drumul pe care se face transformarea.

Referindu-ne la două stări infinit apropiate dintr-o transformare (de exemplu transformarea ciclică reprezentată în Fig.3.5), variația elementară a energiei interne a sistemului ce evoluează între aceste stări o vom nota cu dU , reprezentând diferențiala lui U . Variația energiei interne într-o transformare deschisă, de la a la b , se va obține prin însumarea (integrarea) tuturor variațiilor de la a la b

$$(3.13) \quad \Delta U = \int_a^b dU = U_b - U_a$$

Exținzând integrala pe întreg ciclul închis (marcând aceasta cu un cerc peste simbolul integralei), valoarea ei va fi zero,

$$(3.14) \quad \oint dU = 0 .$$

Aceste relații sunt valabile numai dacă U este o funcție de stare. În acest caz diferențiala dU este o diferențială totală exactă. Afirmând că diferențiala energiei interne este o diferențială totală exactă afirmăm că energia internă este o funcție de stare.

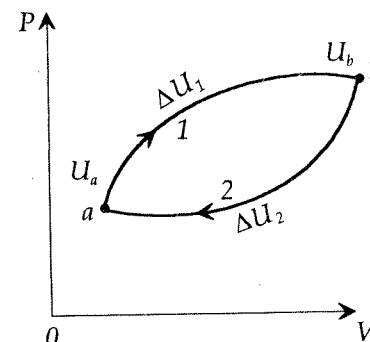


Fig. 3.5

3.2.2. Diferențiale totale exacte

Considerând energia internă U ca o funcție de două variabile x și y , deci $U = F(x,y)$, diferențiala acestei funcții va fi tot o funcție de x și y , care poate fi adusă la forma

$$(3.15) \quad dF = X(x, y)dx + Y(x, y)dy$$

Variația acestei funcții, la trecerea sistemului din starea 1 în starea 2, trebuie să depindă numai de starea inițială și de starea finală, și se evaluatează prin integrare de-a lungul curbei pe care are loc transformarea,

$$(3.16) \quad \int_{x_1}^{x_2} dF(x, y) = F(x_2, y_2) - F(x_1, y_1)$$

Integrala extinsă pe un drum închis va fi zero, $\oint dF = 0$. Dacă funcția $F(x,y)$ nu este o funcție de stare ci o funcție oarecare, depinzând și de drumul urmat, atunci $\oint dF \neq 0$.

În Matematică se demonstrează că, dacă integrala de-a lungul unei curbe are o valoare care nu depinde decât de punctul inițial și cel final, și nu de drumul urmat, atunci diferențiala acelei funcții este o diferențială totală exactă. Aceasta înseamnă că relația (3.15) se poate scrie sub forma

$$(3.17) \quad dF = \left(\frac{\partial F}{\partial x} \right)_y dx + \left(\frac{\partial F}{\partial y} \right)_x dy .$$

Identificând coeficienții lui dx și dy din ecuațiile (3.15) și (3.17) obținem

$$(3.18) \quad X(x, y) = \left(\frac{\partial F}{\partial x} \right)_y \quad ; \quad Y(x, y) = \left(\frac{\partial F}{\partial y} \right)_x .$$

Acstea expresii reprezintă derivatele parțiale ale funcției $F(x,y)$ în raport cu x , păstrând pe y constant și în raport cu y , păstrând pe x constant. Se mai poate arăta că: dacă $dF(x,y)$ este diferențială totală exactă, atunci derivatele mixte de ordinul al doilea nu depind de ordinea derivării. În cazul nostru, derivând relațiile (3.18), prima în raport cu y și a doua în raport cu x , obținem

$$(3.19) \quad \left(\frac{\partial X}{\partial y} \right)_x = \frac{\partial^2 F}{\partial y \partial x} \quad \text{si} \quad \left(\frac{\partial Y}{\partial x} \right)_y = \frac{\partial^2 F}{\partial x \partial y},$$

iar în baza afirmației de mai sus rezultă egalitatea

$$(3.20) \quad \left(\frac{\partial X}{\partial y} \right)_x = \left(\frac{\partial Y}{\partial x} \right)_y .$$

În cazul când funcția studiată depinde de trei variabile, x , y , z , diferențiala ei se poate scrie sub forma

$$(3.21) \quad dF(x, y, z) = X(x, y, z)dx + Y(x, y, z)dy + Z(x, y, z)dz .$$

Dacă dF este diferențială totală exactă, atunci putem scrie

$$(3.22) \quad dF(x, y, z) = \left(\frac{\partial F}{\partial x} \right)_{y,z} dx + \left(\frac{\partial F}{\partial y} \right)_{x,z} dy + \left(\frac{\partial F}{\partial z} \right)_{x,y} dz ,$$

iar prin identificarea coeficienților lui dx , dy , dz din relațiile (3.21) și (3.22) rezultă

$$(3.23) \quad X = \left(\frac{\partial F}{\partial x} \right)_{y,z} ; \quad Y = \left(\frac{\partial F}{\partial y} \right)_{x,z} ; \quad Z = \left(\frac{\partial F}{\partial z} \right)_{x,y} .$$

Derivând căte două din aceste egalități, succesiv, în raport cu y și x , z și y , x și z , obținem relațiile

$$(3.24) \quad \frac{\partial X}{\partial y} = \frac{\partial Y}{\partial x} , \quad \frac{\partial Y}{\partial z} = \frac{\partial Z}{\partial y} , \quad \frac{\partial Z}{\partial x} = \frac{\partial X}{\partial z} .$$

care reprezintă condițiile ca $dF(x,y,z)$ să fie diferențială totală exactă, adică funcția $F(x,y,z)$ să nu depindă decât de starea inițială și de starea finală a drumului parcurs în transformare.

3.3. Diferite formulări (enunțuri) ale primului principiu al termodinamicii

În paragrafele anterioare am precizat proprietățile mărimilor fizice care intervin în exprimarea (enunțarea) primului principiu al termodinamicii: lucrul mecanic, căldura și energia internă. Am scris chiar și o relație între aceste mărimi (rel.3.12), care poate fi considerată ca o formulare a primului principiu. Enunțul primului principiu se poate face prin propoziții sintetice, dar mai important e să avem o relație care să stea la baza evaluărilor cantitative.

3.3.1. Expresia matematică a primului principiu

Pe baza constatării experimentale că lucrul mecanic este echivalent cu căldura, pentru o transformare în ciclu închis, principiul întâi al termodinamicii se poate enunța ca principiul echivalenței: *într-un proces ciclic, variația căldurăi primărită de sistem este egală cu lucrul mecanic efectuat de sistem asupra mediului exterior*.

Dacă sistemul este izolat adiabatic, lucrul mecanic efectuat de sistem asupra mediului exterior este egal cu variația (scădere) energiei interne (rel.3.10). Presupunând că procesul este elementar, sistemul efectuând lucru mecanic elementar dL , forma diferențială a principiului întâi este

$$(3.25) \quad dU = dL$$

în care am utilizat simbolul d pentru a sublinia că nu e vorba de o diferențială ci de o cantitate elementară de lucru mecanic.

În cazul general, când sistemul schimbă cu exteriorul atât căldură cât și lucru mecanic, primul principiu poate fi enunțat astfel: *în orice transformare, variația energiei interne este egală cu suma algebrică dintre căldura și lucrul mecanic schimbate de sistem cu mediul exterior*. Această afirmație nu este altceva decât conținutul relației (3.12), care, pentru un proces elementar, când stările între care evoluează sistemul sunt infinit apropiate, se poate scrie și sub formă

$$(3.26) \quad dQ = dU + dL .$$

Un enunț mai general pentru principiul întâi se poate da evidențind principala caracteristică a energiei interne: *în orice transformare, variația energiei interne depinde numai de starea inițială și de starea finală a sistemului și nu depinde de stările intermediare prin care trece sistemul în timpul transformării*. Acest enunț al primului principiu al termodinamicii se pretează la o formulare matematică utilizabilă în evaluările cantitative. Pentru aceasta este suficient să scriem condiția ca dU să fie diferențială totală exactă, adică

$$(3.27) \quad dU = \left(\frac{\partial U}{\partial x} \right)_y dx + \left(\frac{\partial U}{\partial y} \right)_x dy \quad și \quad \frac{\partial^2 U}{\partial x \partial y} = \frac{\partial^2 U}{\partial y \partial x}$$

Principiul întâi al termodinamicii se referă în primul rând la conservarea energiei în cazul proceselor mecanice și termice. Pentru a cuprinde și alte fenomene, trebuie să introducем expresia generalizată a lucrului mecanic (rel.3.9), încât principiul întâi se scrie (pentru sisteme cu masă constantă)

$$(3.28) \quad dQ = dU + \sum X_i dY_i$$

Când lucrul mecanic schimbă cu exteriorul se face numai prin variația volumului, principiul întâi se scrie

$$(3.29) \quad dQ = dU + PdV$$

Primul principiu al termodinamicii se bazează pe observațiile experimentale privind echivalența căldurii cu lucrul mecanic și cele privind imposibilitatea realizării unui perpetuum mobile de speță întâia. Însenătatea și generalitatea principiului a fost excelent subliniată de profesorul Stefan Procopiu. "Principiul are o generalitate mai mare decât o lege, căci cuprinde mai multe legi. Principiul și-a căpătat certitudine din numărul mare de experiențe care-l verifică. Fiind așa de general, un principiu conține ceva dintr-o definiție sau dintr-un postulat,... principiul este o lege experimentală destul de generală pentru a ajunge să devină postulat... Aproape fiecare lege din fizică este o relație între două energii de formă

deosebită. Deasupra tuturor acestor legi particulare se ridică o propoziție mai generală, care cuprinde toate legile particulare, este principiul conservării energiei. Certitudinea acestui principiu crește cu numărul legilor particulare care-l verifică.

O generalizare mai mare decât legile particulare care i-au dat naștere, o propoziție care afiră existența a ceva comun, găsindu-se în toate experiențele și întrând implicit în toate legile, poartă numele de Principiu. Principiul este o relație generală care trebuie satisfăcută de orice lege științifică. Valoarea lui provine din aceea că derivă din mii de experiențe, din toate experiențele de până acum, nu lipsește de la baza nici unei legi, e totdeauna subînțeles. Aceasta e baza lui empirică și experimentală. Dar, principiul fiind așa de general, el constituie un element al bunului simț și al bunului înțeles al lumii. Mintea, odată pregătită prin maturizarea cugetării, îl primește cu necesitate; adică principiul are și elemente raționaliste...

Azi acest principiu pare așa de simplu și este așa de general că este aproape un loc comun". (Termodinamica, 1948).

3.4. Aplicarea primului principiu al termodinamicii la gazul ideal

Plecând de la expresia matematică a primului principiu al termodinamicii și de la ecuația de stare a gazului ideal vom obține o serie de relații importante, care sunt consecințe firești ale acestui principiu atât de general. Astfel se stabilește legătura organică, internă, între unele constatări experimentale, aparent independente, făcute înainte de descoperirea primului principiu al termodinamicii.

3.4.1. Transformări izocore și transformări izobare. Entalpia

Există câteva cazuri particulare în care primul principiu al termodinamicii capătă o expresie matematică foarte simplă. În cazul când sistemul studiat este complet izolat, neputând schimba cu exteriorul nici căldură nici lucru mecanic, energia lui internă nu variază, deci $dQ = 0$, $dL = 0$ și $dU = 0$. Când sistemul se află într-un înveliș adiabatic rezultă că $dQ = 0$ și ca urmare $dU = -dL$. Este cazul unui sistem în care au loc numai procese în care lucrul mecanic schimbă cu exteriorul este o funcție de stare.

Și cantitatea de căldură schimbată de sistem cu exteriorul poate fi o funcție de stare în cazurile particulare când procesele cvasistatiche care au loc în sistem se petrec la presiune constantă sau la volum constant. În

procesele izocore expresia generală a primului principiu al termodinamicii (3.29) devine $dQ_v = dU$, iar după integrare $Q_v = U_2 - U_1$. Deci cantitatea de căldură ce intervine într-o transformare izocoră nu depinde de stările intermediare ci numai de starea inițială și starea finală a sistemului.

În transformările izobare, presiunea fiind constantă, expresia (3.29) a primului principiu poate fi scrisă sub formă

$$(3.30) \quad dQ_p = dU + d(PV) = d(U + PV),$$

care după integrare între starea inițială 1 și starea finală 2 devine

$$(3.31) \quad Q_p = (U_2 + PV_2) - (U_1 + PV_1).$$

Suma din paranteze a fost notată cu $\underline{H} = U + PV$ și numită funcție de căldură (Gibbs) sau entalpie (K. Onnes). Termenul este derivat de la grecescul entalpeen care înseamnă a se încălzi. Cu această notație, putem scrie

$$(3.32) \quad \underline{Q}_p = H_2 - H_1 = \Delta H,$$

ceea ce ne spune că într-o transformare izobară cantitatea de căldură schimbată cu mediul exterior este egală cu variația entalpiei, depinzând numai de starea inițială și starea finală a sistemului, fiind independentă de stările intermediare.

3.4.2. Energia internă a gazului ideal. Efectul Joule-Thomson

Pentru ca din relațiile termodinamice generale să obținem rezultate verificabile experimental trebuie să cunoaștem ecuația de stare a sistemului studiat, o relație între parametrii de stare, $f(P, V, T) = 0$. Această ecuație se numește ecuația de stare termică deoarece pentru stabilirea ei se cer măsurători mecanice și de temperatură. Uneori este necesar să cunoaștem și ecuația de stare calorică, în care intervine energia internă a sistemului, și pentru stabilirea căreia trebuie să efectuăm și măsurători calorimetrice pe lângă cele mecanice. Stabilirea relației de dependență a energiei interne de parametrii de stare este o problemă de fizică statistică (teorie cinetică). În cazul gazului ideal putem obține unele informații plecând de la ecuația de stare termică și utilizând unele observații experimentale.

Starea gazului ideal este determinată numai de două variabile independente, de exemplu temperatura și volumul, căci presiunea este și ea determinată prin intermediul ecuației de stare. Deci, ne putem aștepta ca și energia internă a gazului ideal să depindă de temperatură și de volum. Experiențele lui Joule au arătat că depinde numai de temperatură.

Încă în anul 1807 Gay-Lussac a studiat dependența energiei interne a gazelor de volumul lor. Două recipiente, unul pînă cu gaz și celălalt vidat,

introduce într-un calorimetru (Fig.3.6), au fost conectate între ele cu ajutorul robinetului R. La deschiderea robinetului gazul se destinde și ocupă ambele recipiente. Termometrul nu arată nici o variație de temperatură, deci gazul a suferit o transformare la temperatură constantă în cursul căreia n-a schimbat nici căldură, nici lucru mecanic cu mediul exterior. Energia lui internă rămâne constantă, nedepinzând nici de presiune nici de volumul gazului, parametri care s-au schimbat.

Experiența lui Gay-Lussac, reluată de Joule în anul 1843, a condus la același rezultat: temperatura gazului rămâne constantă în urma destinderii în vid. Neschimbând nici lucru mecanic nici căldură cu exteriorul, din primul principiu rezultă că energia internă rămâne neschimbată, ca și temperatura

$$(3.33) \quad U_1(V_1, T_1) = U_2(V_2, T_2) \text{ și } T_1 = T_2 .$$

Evident că această relație nu poate fi adevărată decât dacă U nu depinde de V.

Experiențele lui Gay-Lussac și Joule au fost considerate insuficient de sensibile pentru a pune în evidență variații de temperatură presupuse foarte mici și, ca urmare, Joule împreună cu W. Thomson au întreprins un nou săr de experiențe, între anii 1852 - 1862. Pentru a mări sensibilitatea au recurs la un proces staționar, gazul destinzându-se printr-un dop poros, o supapă de laminare, de la presiunea P_1 la presiunea $P_2 < P_1$. Totul se petrece într-un tub încunjurat de un înveliș adiabatic. O anumită cantitate de gaz ocupă valumul V_1 la presiunea P_1 și, după destindere, valumul V_2 la presiunea P_2 . În cursul procesului, volumul din stânga dopului (Fig.3.7) scade de la V_1 la zero, iar cel din dreapta crește de la zero la V_2 . Lucrul mecanic efectuat de gaz este

$$(3.34) \quad L = \int_{V_1}^0 P_1 dV + \int_0^{V_2} P_2 dV = P_2 V_2 - P_1 V_1$$

Procesul fiind adiabatic, din primul principiu al termodinamicii rezultă

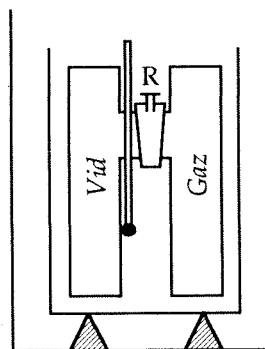


Fig. 3.6

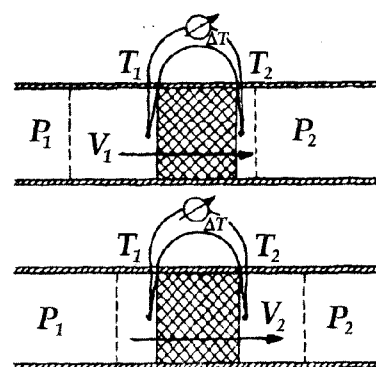


Fig. 3.7

$$(3.35) \quad U_2 - U_1 + P_2 V_2 - P_1 V_1 = 0$$

și grupând termenii după indici avem

$$(3.36) \quad U_1 + P_1 V_1 = U_2 + P_2 V_2 \text{ sau } H_1 = H_2 .$$

Deci, în procesul Joule-Thomson entalpia gazului nu variază, procesul este izentalpic.

Cu ajutorul a două termometre, se măsoară temperatura gazului de o parte și de alta a dopului poros. În timpul scurgerii staționare a unui gaz real s-a constatat o ușoară răcire a gazelor (efect pozitiv), cu excepția a câtorva printre care și hidrogenul, care se încălzește (efect negativ). S-a mai constatat că diferența de temperatură înregistrată ($\Delta T = T_2 - T_1$) este cu atât mai mică cu cât gazul este mai rarefiat, deci mai aproape de starea ideală. La limită înseamnă că $\Delta T = 0$, iar gazul supunându-se legii Boyle-Mariotte, din relația (3.36) rezultă

$$(3.37) \quad U_1 = U_2 \text{ sau } U(T, V_1) = U(T, V_2) .$$

Deci, pentru gazul ideal energia internă nu poate fi funcție de volum ci numai de temperatură, $U = U(T)$. Forma explicită a acestei funcții, care constituie ecuația de stare calorică a gazului ideal, se stabilește fie experimental, prin măsurarea capacității calorice, fie cu metodele fizice statistice (teorie cinetică).

3.4.3. Lucrul mecanic în transformările reversibile ale gazului ideal

Lucrul mecanic efectuat prin variația volumului unui fluid se calculează cu relația cunoscută

$$(3.38) \quad L = \int pdV ,$$

în care se presupune că valorile presiunii și volumului sunt cunoscute în orice moment, ceea ce este posibil în cazul transformărilor cvasistatiche. Pentru a putea integra expresia (3.47) se mai cere să cunoaștem relația între presiune și volum, după care are loc transformarea.

Transformarea izotermă reversibilă a gazului ideal este guvernată de legea lui Boyle-Mariotte, $P_1 V_1 = P_2 V_2 = PV$. Să considerăm o cantitate de gaz ideal în echilibru și în contact cu un termostat la aceeași temperatură T_1 . Printr-o creștere dP infinit mică a presiunii exterioare volumul gazului scade cu dV și gazul primește lucrul mecanic $-dL = -PdV$. Energia lui internă ar trebui să crească, deci și temperatura, dar fiind în contact cu un termostat cedează cantitatea de căldură $-dQ = -dL$, astfel energia internă, deci și temperatura gazului ideal, rămânând constantă.

Transformarea izotermă reversibilă finită, din starea 1 în starea 2, se compune dintr-o succesiune de transformări izoterme reversibile elementare. Lucrul mecanic total se calculează prin integrare conform relației (3.47) și utilizând legea Boyle-Mariotte.

$$(3.39) \quad L = \int_{V_1}^{V_2} P dV = \int_{V_1}^{V_2} \frac{P_1 V_1}{V} dV = P_1 V_1 \int_{V_1}^{V_2} \frac{dV}{V}.$$

Dacă apelăm și la ecuația de stare $P_1 V_1 = RT_1$ lucrul mecanic are expresia

$$(3.40) \quad L = vRT_1 \int_{V_1}^{V_2} \frac{dV}{V} = vRT_1 \ln \frac{V_2}{V_1} = vRT_1 \left(\ln \frac{P_1}{P_2} \right).$$

Fiind vorba de o transformare izotermă a gazului ideal, calculând lucrul mecanic schimbat de sistem cu mediul exterior am calculat și cantitatea de căldură schimbată, căci are aceeași valoare.

Transformarea adiabatică reversibilă a gazului ideal este guvernată de legea lui Poisson, pe care urmează să o deducem.

O demonstrație frecvent întâlnită se bazează pe principiul întâi, ecuația de stare și relația lui Robert Mayer. Pentru un proces adiabatic principiul întâi se scrie

$$(3.41) \quad 0 = dU + PdV$$

și având în vedere că $dU = vC_v dT$ relația (3.41) devine

$$(3.42) \quad vC_v dT = -PdV.$$

Diferențiind ecuația de stare a gazului ideal obținem relația

$$(3.43) \quad PdV + VdP = vRdT$$

care ne permite să eliminăm pe dT din relația (3.42). Eliminând și pe R cu ajutorul relației $v(C_p - C_v) = vR$ și notând $\frac{C_p}{C_v} = \gamma$, obținem

$$(3.44) \quad \frac{dP}{P} = \gamma \frac{dV}{V} = 0$$

ceea ce constituie ecuația lui Poisson sub formă diferențială. Efectuând integrala de la P_1 la P_2 și de la V_1 la V_2 se obține

$$(3.45) \quad P_1 V_1^\gamma = P_2 V_2^\gamma = PV^\gamma = \text{const.}$$

relație cunoscută ca legea lui Poisson (1781-1840) sau legea compresibilității adiabatice a gazului ideal.

Dacă dorim să punem în evidență variația de temperatură ce însățește o transformare adiabatică trebuie să apelăm și la ecuația de stare a gazului ideal. În starea 1 (Fig.3.8) ecuația de stare a gazului se scrie $P_1 V_1 = vRT_1$, iar în starea 2, $P_2 V_2 = vRT_2$. Făcând raportul lor obținem

$$(3.46) \quad \frac{P_2}{P_1} = \frac{T_2}{T_1} \cdot \frac{V_1}{V_2}$$

și având în vedere că punctele 1 și 2 sunt pe aceeași adiabată, din ecuația lui Poisson obținem altă expresie a raportului P_2/P_1 , ceea ce ne permite să eliminăm presiunea din relația (3.46). Astfel se ajunge la relația $TV^{\gamma-1} = \text{const.}$, sau, dacă se elimină volumul, se obține $TP^{(1-\gamma)/\gamma} = \text{const.}$ Exponentul adiabatic $\gamma = C_p/C_v$ fiind supraunitar, rezultă că o dilatare adiabatică este însoțită de o răcire a gazului, iar o comprimare adiabatică duce la încălzirea gazului.

Lucrul mecanic efectuat de gaz într-o destindere adiabatică se calculează în același mod ca în cazul transformării izoterme, dar utilizând legea lui Poisson, sub forma (3.45).

$$(3.47) \quad L = \int_{V_1}^{V_2} P dV = \int_{V_1}^{V_2} \frac{P_1 V_1^\gamma}{V^\gamma} dV = P_1 V_1^\gamma \int_{V_1}^{V_2} \frac{dV}{V^\gamma}$$

și după integrare

$$(3.48) \quad L = \frac{P_1 V_1^\gamma}{\gamma - 1} (V_2^{1-\gamma} - V_1^{1-\gamma}).$$

Această relație se mai poate scrie și sub forma

$$(3.49) \quad L = \frac{1}{1-\gamma} (P_2 V_2 - P_1 V_1)$$

dacă ținem seama de relația $P_1 V_1^\gamma \cdot V_2^{1-\gamma} = P_2 V_2^\gamma \cdot V_1^{1-\gamma} = P_2 V_2$.

Dacă se scoate în factor $(-V_1^{1-\gamma})$ în relația (3.48), obținem altă expresie a lucrului mecanic

$$(3.50) \quad L = \frac{P_1 V_1}{\gamma - 1} \left[1 - \left(\frac{V_2}{V_1} \right)^{1-\gamma} \right]$$

și având în vedere că la temperatura T_1 putem scrie $P_1 V_1 = vRT_1$ rezultă

$$(3.51) \quad L = \frac{vRT_1}{\gamma - 1} \left[1 - \left(\frac{V_2}{V_1} \right)^{1-\gamma} \right].$$

Conform principiului întâi al termodinamicii, în transformarea adiabatică lucrul mecanic este egal cu variația energiei interne, cu semn schimbat, iar conform legii lui Joule, pentru gazul ideal, energia depinde numai de temperatură. Într-adevăr, din relația (3.42) integrată între T_1 și T_2 obținem

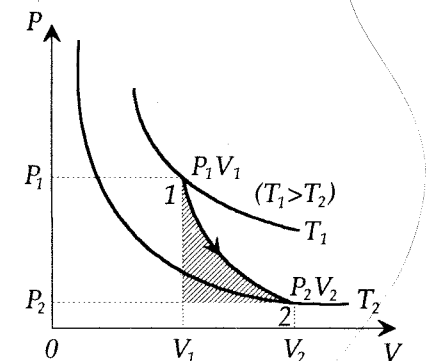


Fig. 3.8

$$(3.52) \quad \Delta U = \int_{T_1}^{T_2} vC_v dT = vC_v(T_2 - T_1).$$

Cu ajutorul relației lui Robert Mayer, sub forma $(\gamma-1)C_v = R$, expresia variației energiei interne devine

$$(3.53) \quad \Delta U = \frac{vR}{\gamma-1}(T_2 - T_1) = -L.$$

Același rezultat se poate obține transformând relația (3.49) cu ajutorul ecuației de stare a gazului ideal, având în vedere relația dintre lucrul mecanic și variația energiei interne în procesele adiabatice; $L = -\Delta U$.

3.4.4. Determinarea raportului C_p/C_v

Raportul C_p/C_v , sau coeficientul adiabatic, are un rol important în termodinamică. Pe de o parte pentru că intervine în procesele adiabatice, iar pe de altă parte pentru că permite calcularea căldurii molare la volum constant, dacă se cunoaște căldura molară la presiune constantă, aceasta fiind mai ușor de măsurat. Ca urmare vom prezenta două metode de determinare a coeficientului adiabatic.

a) Metoda Clément și Désormes (1819) constă în forțarea unei mase de gaz să efectueze o transformare adiabatică și apoi una izocoră, care să aducă gazul la temperatura inițială. Dispozitivul experimental constă dintr-un balon în legătură cu un manometru M și închis cu două robinete, R_1 și R_2 . Robinetul R_2 fiind închis, prin R_1 se introduce o cantitate de gaz la o presiune superioară presiunii atmosferice P_0 . Gazul din balon atinge starea de echilibru termodinamic la presiunea $P_1 = P_0 + h_1$ și la temperatură T_0 . Deschizând robinetul R_2 pentru un timp scurt, o parte din gaz ieșe și presiunea devine P_0 , adică presiunea atmosferică ($h_1 \rightarrow 0$). Gazul rămas în balon s-a dilatat adiabatic și efectuând lucru mecanic, energia lui internă a scăzut, deci și temperatura, care devine $T < T_0$. Procesul adiabatic se produce în timpul scurt cât robinetul R_2 este deschis. După închiderea robinetului R_2 gazul schimbă căldură cu mediul exterior, prin pereții balonului, și se încălzește încet atingând temperatura T_0 a mediului ambient. Dacă volumul gazului din balon este mult mai mare decât volumul gazului din corpul manometrului, încălzirea este practic izocoră. Presiunea finală este $P_2 = P_0 + h_2$.

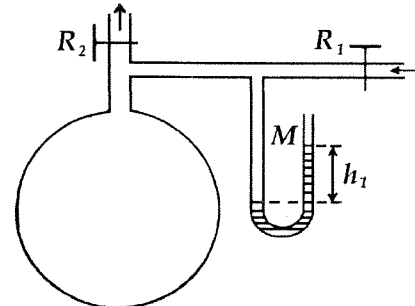


Fig. 3.9

Pentru a stabili o relație între indicațiile manometrului, h_1 și h_2 , și coeficientul adiabatic, să reprezentăm grafic transformările suferite de gazul din balon. În starea inițială (A, Fig.3.10) gazul este caracterizat prin parametrii (P_1, T_0, V_1) , iar după transformarea adiabatică ajunge în starea B cu parametrii (P_0, T, V_2) . Transformarea izocoră aduce gazul la temperatura inițială în punctul C de parametrii (P_2, T_0, V_2) . Eliminând volumele V_1 și V_2 între legea transformării adiabatice și legea transformării izoterme obținem

$$(3.54) \quad \frac{P_1}{P_2} = \left(\frac{P_1}{P_0} \right)^{1/\gamma}$$

Cunoscând presiunea atmosferică P_0 și presiunile P_1 și P_2 , prin măsurarea lui h_1 și h_2 se poate calcula valoarea lui γ . Calculele devin greoale deoarece γ intervine la exponent.

Lucrurile se simplifică mult dacă analizăm condițiile experimentale. Volumul balonului fiind mare, variațiile de volum ce apar prin schimbarea nivelului lichidului din manometru sunt neglijabile. Deci tranziția B→C este izocoră. Presiunea gazului în balon este foarte apropiată de presiunea atmosferică, diferențele de nivel h_1 și h_2 fiind de ordinul a 10-20 cm coloană de mercur (20 mmHg ≈ 760 mmHg). În aceste condiții destinderea adiabatică poate fi considerată un proces elementar guvernă de legea lui Poisson sub formă diferențială (3.44) pe care o scriem sub forma

$$(3.55) \quad \gamma = -\frac{V}{P} \cdot \left(\frac{dP}{dV} \right)_a.$$

Observăm că $(dP/dV)_a$ este panta adiabatei în punctul A și poate fi calculată cu suficientă precizie din raportul $\frac{(P_0 - P_1)}{(V_2 - V_1)}$, iar panta izotermei în punctul A rezultă din diferențierea legii Boyle Mariotte și are expresia $(dP/dV)_i = - (P/V)$, putând fi exprimată, la rândul ei, prin raportul $\frac{P_2 - P_1}{V_2 - V_1}$. Introducând în relația (3.55) aceste expresii ale pantelor izotermei și adiabatei obținem

$$(3.56) \quad \gamma = \frac{(V_2 - V_1)}{(P_2 - P_1)} \cdot \frac{(P_0 - P_1)}{(V_2 - V_1)}.$$

Amintindu-ne că $P_1 = P_0 + h_1$ și $P_2 = P_0 + h_2$, expresia (3.56) devine

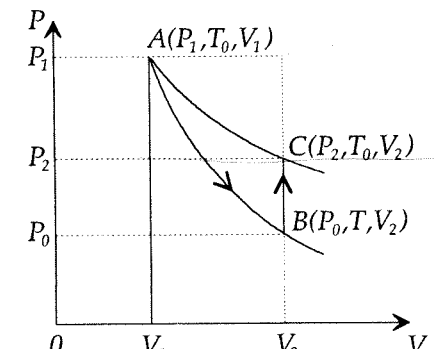


Fig. 3.10

$$(3.57) \quad \gamma = \frac{h_1}{h_1 - h_2},$$

sugérând simplitatea metodei de măsură.

b). Raportul C_p/C_v poate fi determinat și prin măsurarea vitezei de propagare a sunetului în gazul respectiv. Într-un mediu elastic cu densitatea ρ și modulul de elasticitate E , viteza sunetului este dată de formula lui Newton (1687) $v_s = \sqrt{\frac{E}{\rho}}$. Pentru gaze formula devine

$$(3.58) \quad v_s = \sqrt{\frac{K}{\rho}}$$

în care $K = -V \frac{dP}{dV}$ este modulul de compresibilitate în volum. Pentru a evalua modulul de compresibilitate trebuie să precizăm dacă gazul este comprimat izoterm sau adiabatic. În primul caz, pentru gazul ideal, rezultă $K=P$, iar în al doilea caz, plecând de la legea lui Poisson, rezultă $K=\gamma P$, deci viteza sunetului are expresia

$$(3.59) \quad v_s = \sqrt{\gamma \frac{P}{\rho}} = \sqrt{\gamma \frac{RT}{\mu}}.$$

Am introdus modulul de compresibilitate adiabatică deoarece vibrațiile sonore sunt suficient de rapide pentru a putea presupune că ele au loc în mod adiabatic, iar, pe de altă parte, fenomenul este destul de lent în comparație cu timpul necesar pentru uniformizarea presiunii într-un gaz, ceea ce ne permite să considerăm procesul cvasistatic. Deci, pentru a calcula coeficientul adiabatic trebuie să cunoaștem temperatura și masa moleculară a gazului, iar viteza sunetului se măsoară cu metodele cunoscute din Mecanică.

3.4.5. Procese politrope

Procesul termodinamic în care capacitatea calorică C rămâne constantă se numește proces politropic (poli - mult; tropos - cale, direcție). Toate procesele discutate mai sus sunt procese politrope deoarece în toate cazurile am considerat capacitatea calorică constantă. Ecuația unui proces politropic într-un gaz ideal este asemănătoare cu ecuația lui Poisson pentru procesele adiabatice.

Plecând de la expresia primului principiu al termodinamicii

$$(3.60) \quad dQ = dU + PdV$$

și impunând numai condiția $C = \text{constant}$, obținem

$$(3.61) \quad CdT = C_v dT + PdV$$

și cu ajutorul ecuației de stare, împreună cu relația lui Robert Mayer (ca și în cazul transformării adiabatice) se obține

$$(3.62) \quad (C - C_p)PdV + (C - C_v)VdP = 0$$

Făcând notația $n = \frac{C - C_p}{C - C_v}$, introducem exponentul politropic n și prin integrare se ajunge la ecuația transformării politrope,

$$(3.63) \quad PV^n = \text{constant}.$$

Dând valori particolare coeficientului politropic obținem ecuațiile transformărilor deja studiate. Pentru $n = 0$ procesul este izobar și $C = C_p$ (Fig.3.11). Dacă $n = \infty$ ecuația politropei se scrie $V \cdot P^{1/n} = \text{const.}$ și rezultă că procesul este izocor, iar $C = C_v$. Transformarea izotermă se obține dacă $n = 1$ și, implicit, $C = \infty$. În fine, pentru transformarea adiabatică $n = \gamma$ și capacitatea calorică este zero (Fig.3.11), căci sistemul nu schimbă căldură cu exteriorul, $dQ = 0$. În figura alăturată sunt date curbele ce descriu diferite procese politrope, în coordinatele P-V, precum și curba $C = f(n)$.

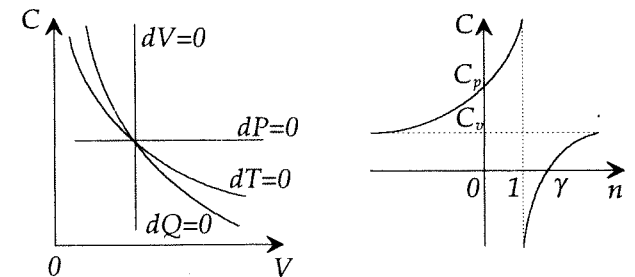


Fig. 3.11

3.4.6. Mașini termice. Principii de funcționare

Prin generalitatea lui, primul principiu al termodinamicii guvernează toate transformările de energie dintr-o formă în alta. Aplicând legile termodinamicii în studiul echilibrului și evoluției proceselor chimice s-a constituit termodinamica chimică, iar prin studierea problemelor legate de îmbunătățirea randamentului motoarelor termice s-a dezvoltat termodinamica tehnică. De fapt, motorul cu vaporii a apărut înainte de a se cunoaște principiile termodinamicii, iar încercările de a-l perfecționa au stimulat dezvoltarea termodinamicii. Unele idei privind construirea unor mașini cu vaporii sunt semnalate încă în secolul al XVII-lea, iar la sfârșitul secolului al XVIII-lea James Watt (1737- 1819) construiește o mașină cu vaporii perfecționată.

Substanța de lucru este apă care se transformă în vaporii și apoi din nou în apă, ciclul fiind închis. În căldarea B (Fig.3.12) apă este transformată în vaporii la temperatura T_1 primind cantitatea de căldură Q_1 , proces

reprezentat prin tranziția B - C pe diagrama din Figura 3.13. În cilindru, vaporii se destind practic adiabatic, punând în mișcare pistonul. Răcirea, prin destindere (tranziția C - D') și prin contactul cu condensorul R, transformă vaporii în apă la temperatura $T_2 < T_1$ (tranziția D' - A). Ciclul se închide cu ajutorul unei pompe care duce apă din nou în căldarea B (transformarea A - B). Punctat s-a trasat curba de saturare a vaporilor de apă.

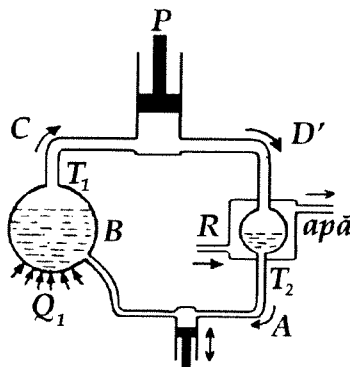


Fig. 3.12

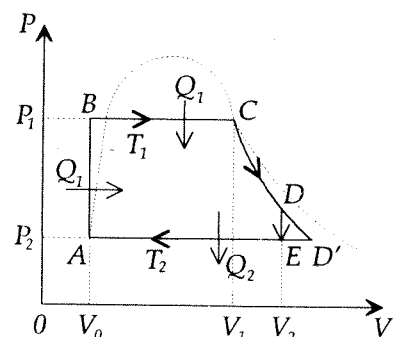


Fig. 3.13

Procesul ciclic la care este supusă apă este prezentat în figura 3.13 într-o formă idealizată propusă de Rankine. Ciclul ABCD'A ca și ciclul tehnic ABCDEA, mai apropiat de funcționarea reală a mașinilor cu vaporii, sunt ireversibile și substanța de lucru nu se păstrează aceeași, vaporii fiind evacuați după efectuarea lucrului mecanic.

Presupunând că vaporii se comportă ca un gaz ideal, se poate calcula ușor randamentul ciclului tehnic prin calculul lucrului mecanic efectuat pe ramurile BC, CD și EA,

$$L = Q_1 - Q_2 = L_{BC} + L_{CD} + L_{EA} .$$

Evident, nu toată cantitatea de căldură primită se transformă în lucru mecanic. Randamentul mașinii, conform definiției, este $\eta = L/Q_1$, dar având în vedere și căldura cedată Q_2 , rezultă $L = |Q_1| - |Q_2|$ (conform principiului I) și randamentul capătă expresia $\eta = \frac{|Q_1| - |Q_2|}{Q_1}$. Valoarea randamentului obținut în acest fel este ceva mai mare decât cel real, deoarece nu s-au luat în considerație fenomenele secundare. Un ciclu Carnot între temperaturile $T_1 = 473$ K și $T_2 = 303$ K are randamentul 36%, în timp ce o mașină cu vaporii, cu toate îmbunătățirile aduse, dar luând în considerare și pierderile de căldură, are randamentul numai 18%.

În principiu, dacă facem ca o mașină cu vaporii să funcționeze în sens invers, parcurgând ciclul în sens invers, aceasta devine o mașină frigorifică. Schematic cele două sensuri de funcționare pot fi reprezentate ca în fig.3.14. Ca substanță de lucru se utilizează un gaz ușor compresibil ca amoniacul, clorura de metil sau anhidrida sulfuroasă.

În timpul comprimării temperatura gazului crește și de aceea, pentru a-l aduce la temperatura camerei T_1 , este trecut prin schimbătorul de căldură S_1 (Fig.3.15). Presiunea fiind relativ înaltă și temperatura joasă, gazul condensează devenind în întregime lichid. Trebuie prin supapa de destindere SD, lichidul se evaporă, temperatura lui scăzând repede la T_2 . Amestecul de lichid și vaporii, la temperatura T_2 , trecând prin schimbătorul de căldură S_2 răcesc corpul pe care dorim să-l răcim. Pentru ca o anumită cantitate de gaz (NH_3 sau CCl_2F_2) să parcurgă transformarea ciclică descrisă, compresorul C efectuează un lucru mecanic L mai mic decât căldura Q_1 cedată schimbătorului de căldură S_1 . Transformarea fiind ciclică, variația energiei interne este nulă și ca urmare

$$|Q_1| = |L| + |Q_2| \text{ sau } |L| = |Q_1| - |Q_2| .$$

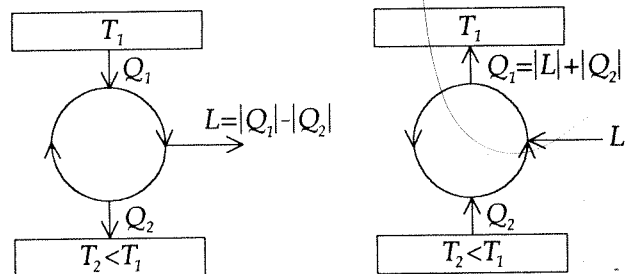


Fig. 3.14

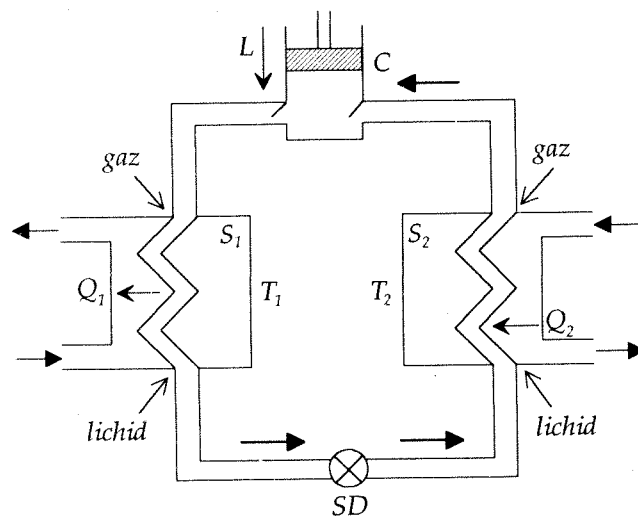


Fig. 3.15

Deci sursei calde i se cedează o cantitate de căldură egală cu suma dintre lucrul mecanic transmis mașinii frigorifice și căldura luată de la izvorul rece. Eficacitatea unei mașini frigorifice se definește prin raportul dintre efectul produs și energia consumată, ($E_f = Q_2/L$), care este supraunitar (între 2 și 6).

Caracteristica generală a tuturor mașinilor frigorifice este necesitatea cheltuirii unui lucru mecanic pentru a trece o cantitate de căldură de la un corp rece la unul cald, lucrul mecanic cheltuit transformându-se în căldură, la temperatura cea mai înaltă.

Spre deosebire de mașina cu văpori în care arderea combustibilului are loc în exteriorul cilindrului, în alte motoare (cu explozie sau Diesel) arderea amestecului carburant gazos are loc chiar în cilindrul cu piston care efectuează lucrul mecanic. Cele mai cunoscute motoare cu ardere internă sunt motorul cu explozie și motorul Diesel. Ciclul teoretic al motorului cu explozie în patru timpi este reprezentat în figura 3.16 (Ciclul Beau de Rochas sau ciclul Otto). În timpul I are loc aspirația (1 - 2), în timpul II compresia adiabatică (2 - 3)

și arderea foarte rapidă (motor cu explozie) la volum constant (3 - 4), în timpul III gazele execută lucrul mecanic prin destindere adiabatică (4 - 5) și în timpul IV are loc evacuarea la volum constant (5 - 1), continuată și la presiune constantă, (1 - 2). Acest ciclu este o idealizare, în realitate trecerea de la izocoră la adiabată se face treptat (a racordare mai lentă), iar adiabatele sunt de fapt politrope.

Randamentul ciclului se calculează ușor presupunând că schimbul de căldură se face numai în transformările izocore. Rezultă

$$\eta = 1 - \frac{Q_2}{Q_1} = 1 - \left(\frac{V_2}{V_1} \right)^{1-\gamma}$$

în care V_2/V_1 se numește raport de compresie, atingând valoarea 8 - 9 dacă în benzină se introduce etilură de plumb pentru a împiedica aprinderea fără scânteie. O altă cale de creștere a randamentului constă în mărirea turăției, deci scurtarea timpului în care se pierde căldură prin peretii cilindrilor. Un motor cu explozie având randamentul termodinamic 30% și un randament mecanic de 85% poate atinge un randament total de 25%. Randamentul termodinamic este mai mic decât cel teoretic (al ciclului Carnot între aceleași temperaturi) din cauza arderilor incomplete și a pierderilor de căldură.

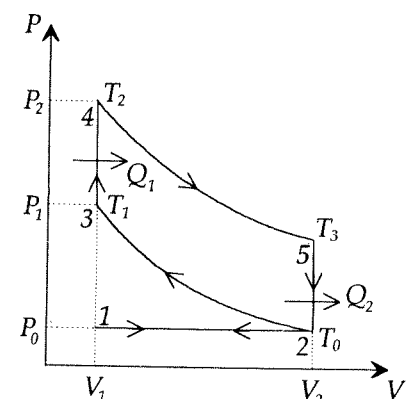


Fig. 3.16

Funcționarea motorului Diesel nu se deosebește prea mult de funcționarea motorului cu explozie în patru timpi. Diferența constă în utilizarea unui raport de compresie foarte ridicat ($V_2/V_1 = 16 - 20$), ceea ce permite utilizarea unui combustibil "greu" și mai ieftin, motorina, în locul benzinei. Aprinderea se face prin încălzirea aerului, în urma compresiei adiabatice, în care se injecteză combustibilul pulverizat. Acesta se aprinde și arde aproape complet, (cu o viteză bine determinată), chiar dacă este eterogen, datorită presiunii și temperaturii ridicate. Pentru calculul randamentului motorului Diesel putem utiliza în primă aproximație ciclul lui Joule format din două adiabate și două izobare. Randamentul teoretic poate atinge 60%, dar randamentul global industrial nu depășește 40%. Motoarele Diesel de mare putere au greutate specifică mare (20 kg/CP; 1 CP = 375 W), dar în ultimii ani s-au construit și motoare Diesel cu greutatea specifică comparabilă cu a motoarelor cu explozie (0,6 - 1,0 kg/CP).

Atât mașina cu văpori cât și motoarele cu combustie au fost perfecționate prin înlocuirea pistoanelor, cu turbine. Fără a intra în detaliu constructive care aparțin termotehnicii vom menționa doar că randamentul unei turbine cu văpori perfecționată¹ poate ajunge la 30%. Randamentul turbinei cu combustie este și mai ridicat, iar cel al turbinei cu explozie ar fi, teoretic, mai ridicat, dar acest avantaj este în mare parte anulat de construcția și exploatarea supapelor. Motoarele cu jet de gaze ca turboreactoare, pulsoreactoare, statoreactoare și motoarele rachetă sunt utilizate în aviație sau zboruri cosmice, randamentul lor putând ajunge la 60%.

¹ Traian Vuia (1872-1953)

C A P I T O L U L 4

AL DOILEA PRINCIPIU AL TERMODINAMICII

Primul principiu al termodinamicii exprimă echivalența între lucru mecanic și căldură, dar nu face nici o precizare cu privire la sensul în care se face transformarea în mod natural. După primul principiu este posibilă atât transformarea integrală a căldurii în lucru mecanic cât și invers, a lucrului mecanic în căldură. Experimental se constată că numai lucru mecanic se transformă integral în căldură. Transformarea căldurii în lucru mecanic se face doar parțial. Prin frecare, mișcarea ordonată, lucru mecanic, se transformă în mișcare dezordonată, în căldură, dar procesul invers nu are loc în mod natural.

Pentru un sistem izolat, primul principiu al termodinamicii afirmă doar că energia sistemului rămâne aceeași indiferent în ce stare se află, dar nu dă nici o indicație cu privire la posibilitatea sau imposibilitatea trecerii sistemului dintr-o stare în alta. Dacă într-un înveliș adiabatic se află două corpuri în contact termic, unul mai cald și unul mai rece, primul principiu al termodinamicii afirmă egalitatea în valoare absolută a cantității de căldură cedată de un corp și primită de celălalt. După primul principiu al termodinamicii este la fel de posibilă trecerea căldurii de la corpul rece la cel暖 ca și de la cel暖 la cel rece.

Deci pentru a cunoaște sensul în care evoluează procesele termice, pe lângă primul principiu al termodinamicii, trebuie să cunoaștem și alte caracteristici ale proceselor termice. Formularea concisă a acestor observații experimentale constituie enunțul principiului al doilea al termodinamicii.

4.1. Diferite formulări ale principiului al doilea al termodinamicii

Lucrarea lui Sadi Carnot (1796 - 1832) "Réflexions sur la puissance motrice du feu et sur les machines propres à développer cette puissance" publicată în anul 1824 (o broșură de 118 pagini), nu a fost cunoscută în lumea științifică decât după ce Clausius o descoperă în anul 1850 și transpunе în termeni energetici formulările lui Carnot. Cu această ocazie, și mai

târziu, au fost formulate diferite enunțuri ale principiului al doilea al termodinamicii.

✓ 4.1.1. Enunțul lui Carnot

Prin analogie cu mașinile care produc lucru mecanic utilizând căderele de apă, Carnot precizează condițiile de funcționare a mașinilor termice. El afirmă că: fără o diferență de temperatură căldura nu poate fi transformată în lucru mecanic. Cu alte cuvinte, un motor termic nu poate funcționa decât cu cel puțin două surse de căldură, substanța de lucru primind căldură de la sursa caldă și cedând căldură sursei reci. Prin sursă sau rezervor de căldură se înțelege un corp care poate ceda căldură, dar nu poate efectua singur lucru mecanic. Privind procesul invers (analog ridicării apei la o anumită diferență de nivel), Carnot precizează că pentru a crea o diferență de temperatură, prin intermediul unui proces ciclic, trebuie să se efectueze lucru mecanic.

✓ 4.1.2. Formulările lui Kelvin și Clausius. Echivalența lor

Mașinile termice descrise în paragraful 3.4.6, ca și aceea la care ne-am referit în formularea dată de Carnot, se numesc mașini biterme, substanța de lucru suferă o transformare bitermă deoarece schimbă căldură cu două surse (izvoare) de căldură. Dacă schimbul de căldură se face numai cu un singur izvor atunci transformarea se numește monotermă. De exemplu, o cantitate de apă este încălzită prin frecare, iar apoi cedează căldură mediului exterior, revenind la temperatura inițială. Ciclul este închis, apă a primit lucru mecanic și a cedat căldură. Asemenea transformări sunt ușor de realizat și chiar sunt inevitabile.

În schimb, procesele ciclice monotermă în care sistemul să primească căldură și să efectueze lucru mecanic sunt imposibile. Această observație l-a condus pe W. Thomson (Lord Kelvin) la următoarea formulare a principiului al doilea al termodinamicii: este imposibil să se realizeze un proces ciclic monoterm cu producere de lucru mecanic (exterior) sau altfel exprimat, o mașină termică monotermă este irealizabilă. De exemplu, nu se poate pune în mișcare un vapor cu ajutorul unui motor care să ia apa caldă din ocean și să o restituie mai rece. Introducând noțiunea de perpetuum mobile de speță a două, înțelegând prin aceasta o mașină termică monotermă, Ostwald enunță principiul al doilea al termodinamicii prin altă negație: mișcarea perpetuă de speță a două este imposibilă.

Planck a dat o formulare identică în conținut cu a lui Kelvin: nu este posibilă construcția unei mașini cu acțiune periodică (ciclică) al cărei singur rezultat să fie ridicarea unei greutăți pe seama răcirii unui rezervor de căldură.

Enunțurile de mai sus nu exclud posibilitatea unor transformări monoterme cu efectuare de lucru mecanic, dar acestea nu sunt transformări ciclice, sau sunt însotite de alte fenomene de compensare. De exemplu un gaz închis într-un cilindru cu piston, fiind încălzit va ridica pistonul efectuând lucru mecanic, dar gazul nu revine în starea inițială, procesul nu e ciclic.

O formulare echivalentă cu cea dată de Kelvin, deși pare diferită, este aceea a lui Clausius: *nu este posibil un proces al cărui singur rezultat să fie trecerea căldurii de la un corp mai rece la unul mai cald*. Evident că putem realiza trecerea căldurii de la un corp rece la unul mai cald utilizând mașini frigorifice, dar aceasta înseamnă că are loc și un alt proces suplimentar prin efectuarea unui lucru mecanic asupra substanței de lucru utilizate.

Echivalența celor două formulări, a lui Kelvin și a lui Clausius, rezultă din faptul că, infirmând una, rezultă și infirmarea celeilalte. Într-adevăr, să presupunem că ar fi posibilă trecerea căldurii de la un corp rece la unul mai cald, contrar formulării lui Clausius. În acest caz cantitatea de căldură Q_2 , transmisă sursei reci prin funcționarea unui motor termic, se poate întoarce la sursa caldă cu temperatură $T_1 > T_2$. Deci motorul termic primește căldura Q_1 de la sursa caldă și furnizează lucru mecanic $L = |Q_1| - |Q_2|$, utilizând un singur izvor de căldură și fără a produce alte modificări în mediul exterior. Ar însemna că am realizat o mașină termică monotermă, ceea ce interzice formularea lui Kelvin. În concluzie, infirmând formularea lui Clausius, se infirmă și formularea lui Kelvin, ceea ce dovedește echivalența celor două formulări.

Pe lângă aceste formulări primare, principiul al doilea al termodinamicii se enunță mai riguros cu ajutorul noțiunii de entropie (paragraful 4.2).

✓ 4.1.3. Teorema lui Carnot

O importanță deosebită în formularea principiului al doilea al termodinamicii a avut-o noțiunea de motor termic reversibil, ca și ciclul reversibil introdus de Carnot, deși sunt numai idealizări, cazuri limită nerealizabile în practică. Pentru ca un motor termic să funcționeze reversibil trebuie să satisfacă atât condiția de reversibilitate termică, precum și condițiile de reversibilitate mecanică. Condițiile de reversibilitate termică

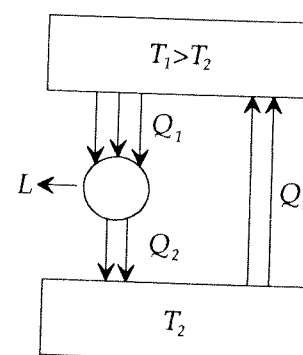


Fig. 4.1

sunt îndeplinite de ciclul biterm reversibil, propus de Carnot, format din două transformări izoterme reversibile unite prin două transformări adiabatic reversibile. Ciclul Carnot (Fig. 4.2) poate fi parcurs atât într-un sens cât și în celălalt. În sensul motor (12341) corespunde unui motor termic, iar în sensul receptor (14321) corespunde unei mașini frigorifice. Toate mărimile care intervin în ciclul motor sunt egale în valoare absolută cu cele ce intervin în ciclul receptor, fiind vorba de unul și același ciclu Carnot corespunzător unei mașini termice ideale, reversibile. Lucrul mecanic efectuat de substanța de lucru care se transformă parcurgând acest ciclu este

$$(4.1) \quad L = |Q_1| - |Q_2| = L_{12} + L_{23} + L_{34} + L_{41} .$$

Presupunând că substanța de lucru este gazul ideal, randamentul ciclului Carnot se calculează ușor obținându-se expresia

$$(4.2) \quad \eta = \frac{L}{Q_1} = \frac{|Q_1| - |Q_2|}{Q_1} = \frac{T_1 - T_2}{T_1}$$

Utilizând noțiunea de mașină termică reversibilă, Carnot a dat următoarea teoremă: *toate motoarele termice reversibile care funcționează între două izvoare de căldură cu temperaturi date au același randament, indiferent de natura substanței de lucru*. A doua parte a teoremei se enunță astfel: *nici un motor termic ireversibil care funcționează între două temperaturi date nu poate avea un randament mai mare decât randamentul unui motor reversibil (Carnot) care funcționează între aceleași temperaturi*.

Demonstrarea acestei teoreme

se face pe baza enunțurilor principiului al doilea. Pentru aceasta ne vom referi la două mașini termice reversibile pe care să le notăm cu A și B. Parcugând n cicluri, mașina A primește căldura nQ_1 și cedează căldura nQ_2 . Dacă funcționează în sens invers, ca mașină frigorifică, va ceda căldura nQ_1 și va primi căldura nQ_2 . Referindu-ne la mașina B, aceasta după m cicluri primește căldura mQ'_1 și cedează căldura mQ'_2 , iar în funcționarea inversă va ceda mQ'_1 și va primi mQ'_2 . Reunind cele două mașini termice, ele vor primi

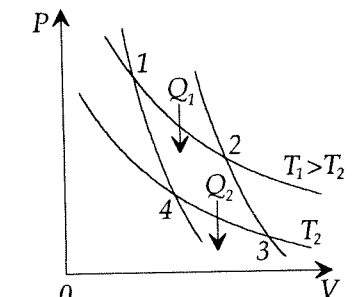


Fig. 4.2

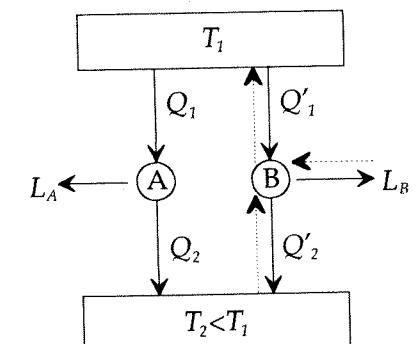


Fig. 4.3

de la sursa caldă cantitatea de căldură $nQ_1 + mQ'_1$ și vor ceda căldura $nQ_2 + mQ'_2$. Dacă facem ca mașina B să funcționeze invers, ca mașină frigorifică, atunci de la sursa caldă se va primi căldura $nQ_1 - mQ'_1$ și sursei reci i se va ceda căldura $-nQ_2 + mQ'_2$. Potrivind lucrul mecanic dat mașinii frigorifice astfel încât $-nQ_2 + mQ'_2 = 0$, înseamnă că ansamblul celor două mașini devine o mașină monotermă, dar aceasta, conform principiului al doilea (formularea Kelvin), nu poate produce lucru mecanic: $L_A + L_B = 0$ sau

$$(4.4) \quad (nQ_1 - mQ'_1) - (-nQ_2 + mQ'_2) = 0$$

Având în vedere relația (4.3) rezultă $nQ_1 - mQ'_1 = 0$ sau

$$(4.5) \quad \frac{n}{m} = \frac{Q'_1}{Q_1}$$

și din relația (4.3) obținem același raport

$$(4.6) \quad \frac{n}{m} = \frac{Q'_2}{Q_2}$$

de unde rezultă egalitatea

$$(4.7) \quad \frac{Q_1}{Q_2} = \frac{Q'_1}{Q'_2}.$$

În concluzie, cele două sisteme (cele două mașini A și B) fiind arbitrar alese rezultă că raportul căldurilor schimbate de sistem cu cele două termostate este același indiferent de natura sistemului, depinzând numai de temperatura celor două izvoare,

$$(4.8) \quad \frac{Q_1}{Q_2} = f(t_1, t_2).$$

Funcția $f(t_1, t_2)$ este o funcție universală, aceeași pentru toate sistemele, depinzând numai de scara de temperaturi aleasă pentru a măsura pe t_1 și t_2 .

A doua parte a teoremei se demonstrează utilizând același procedeu de reunire a două mașini termice care funcționează între aceleași temperaturi. Presupunând că mașina A, ireversibilă, are randamentul mai mare decât al mașinii B, reversibile, rezultă $\eta_A > \eta_B$ sau $\frac{L_A}{Q_1} > \frac{L_B}{Q'_1}$.

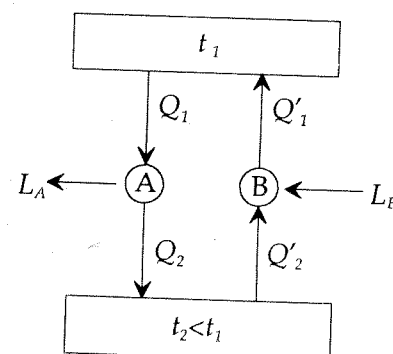


Fig. 4.4

Potrivind lucrul mecanic furnizat mașinii reversibile astfel încât $Q'_1 = Q_1$ rezultă că ansamblul celor două mașini formează o mașină monotermă care efectuează lucru mecanic $L_A - L_B > 0$, ceea ce contrazice principiul al doilea. Deci $L_A = L_B$ și $\eta_A = \eta_B$, conform teoremei lui Carnot.

4.1.4. Temperatura termodinamică

Teorema lui Carnot spune că randamentul unei mașini termice care lucrează după un ciclu reversibil este maxim și depinde numai de temperaturile t_1 și t_2 , a izvorului cald și a izvorului rece. Această afirmație este adevărată indiferent ce scară alegem pentru măsurarea temperaturii și indiferent ce substanță de lucru utilizăm, demonstrația bazându-se numai pe principiul al doilea al termodinamicii. Chiar mai mult, Kelvin a arătat încă în 1848 că teorema lui Carnot poate fi utilizată pentru definirea unei scări rationale de temperaturi care să nu depindă nici de substanță termometrică și nici de modul cum este construit termometrul.

Teorema lui Carnot, exprimată prin relația (4.8), afirmă că randamentul unui ciclu Carnot depinde numai de temperaturile izotermelor pe care se desfășoară. Forma funcției $f(t_1, t_2)$ nu este precizată. Putem afla ceva mai mult despre această funcție dacă vom considera un ciclu Carnot mărginit de izotermele cu temperaturile t_1 și t_2 variabile în raport cu temperatura t_3 fixă, luată ca parametru arbitrar (Fig. 4.5). Scriind relația (4.8) pentru ciclurile 1234, 4356, și 1256 rezultă

$$\frac{Q_1}{Q_2} = f(t_1, t_2) ; \quad \frac{Q_2}{Q_3} = f(t_2, t_3) ; \quad \frac{Q_1}{Q_3} = f(t_1, t_3)$$

$$\text{și în final } f(t_1, t_2) = \frac{Q_1}{Q_2} = \frac{f(t_1, t_3)}{f(t_2, t_3)}$$

Această relație este valabilă pentru orice valoare a parametrului t_3 , căci dacă membrul stâng nu depinde de t_3 nici membrul drept nu depinde de acest parametru. Ca urmare putem scrie

$$(4.9) \quad \frac{Q_1}{Q_2} = \frac{\rho(t_1)}{\rho(t_2)}$$

Scara de temperaturi definită în acest mod depinde numai de forma funcției (t) , pe care Kelvin a ales-o drept temperatură termodinamică absolută: $\theta_1 = \rho(t_1)$ și $\theta_2 = \rho(t_2)$. Adică

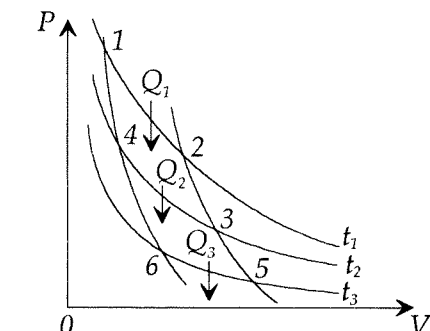


Fig. 4.5

$$(4.10) \quad \frac{Q_1}{Q_2} = \frac{\theta_1}{\theta_2}$$

Deci raportul a două temperaturi în scara termodinamică este egal cu raportul cantităților de căldură schimbate cu sursa caldă și cu sursa rece de o mașină termică reversibilă care lucrează între acele temperaturi. Fenomenul termic, un ciclu biterm reversibil, și termometrul, constituie dintr-o mașină termică reversibilă, nu fac să intervină în nici un fel proprietățile substanței de lucru. Prin relația (4.10) temperatura nu este încă definită complet, deoarece prin măsurarea lui Q_1 și Q_2 putem afla numai raportul a două temperaturi. Pentru determinarea temperaturii trebuie să alegem un reper în scara temperaturilor, un punct fix, sau să fixăm valoarea intervalului între două puncte fixe, prin aceasta definind gradul ca unitate de măsură.

Măsurarea temperaturii absolute prin măsurători calorimetrice este irealizabilă, ca și mașina termică reversibilă care funcționează pe un ciclu Carnot, un ciclu ideal. Dar, observăm că scara termodinamică absolută coincide cu scara gazului ideal, fapt confirmat de coincidența expresiei randamentului ciclului Carnot rezultată pe baza relației (4.10), care exprimă de fapt teorema lui Carnot, cu expresia dedusă prin utilizarea legilor de transformare ale gazului ideal. Deci temperatura termodinamică absolută este identică cu temperatura definită pe baza legilor gazului ideal. Punctul fix sau reperul ales este același, temperatura punctului triplu al apei $T_{tr} = 273,16$ K (A 10-a Conferință Generală de Măsuri și Greutăți din 1954). Alegerea este determinată de faptul că temperatura punctului triplu se poate măsura cu precizie mai mare decât temperatura de topire a gheții ($\Delta T_{topire} \approx 0,01^\circ\text{C}$, $\Delta T_{tr} \approx 0,0001^\circ\text{C}$). Scara termodinamică absolută fiind identică cu scara absolută a gazului ideal devine realizabilă în măsura în care aceasta din urmă este realizabilă. Scara de temperaturi stabilită cu ajutorul termometrului cu heliu (în loc de gaz ideal!) se abate de la scara absolută cu 0,05K pentru $T < 100$ K și cu mai puțin de 0,01 K pentru $T > 100$ K.

✓ 4.2. Entropia

Formulările menționate ale principiului al doilea al termodinamicii nu cuprind relații cantitative ci numai afirmații de interdicții pentru anumite procese. Singura relație, care degurge din teorema lui Carnot se referă la egalitatea rapoartelor temperaturilor surselor de căldură și a cantităților de căldură schimbate cu acele surse de o mașină bitermă reversibilă

$$(4.11) \quad \frac{T_1}{T_2} = \frac{|Q_1|}{|Q_2|}.$$

Această relație este echivalentă cu afirmația că randamentul ciclului Carnot depinde numai de temperatura izvoarelor de căldură, adică

$$(4.12) \quad \eta_r = 1 - \frac{|Q_2|}{|Q_1|} = 1 - \frac{T_2}{T_1}.$$

Generalizând relația (4.11) vom ajunge la un alt enunț al principiului al doilea al termodinamicii.

4.2.1. Căldura redusă - funcție de stare. Entropia

Din relația (4.12) rezultă imediat egalitatea căldurilor reduse

$$(4.13) \quad \frac{|Q_1|}{T_1} = \frac{|Q_2|}{T_2}$$

adică a căldurilor schimbate cu sursele de căldură raportate la temperaturile acestor surse. Pentru un ciclu Carnot se vede ușor că, indiferent de drum, 1-2-3 sau 1-4-3 (Fig.4.2.) căldura redusă schimbată de sistem la trecerea din starea 1 în starea 3 este aceeași. Ca urmare căldura redusă este o funcție de stare, nu o funcție de proces.

Relația (4.13) se poate scrie ca o sumă algebrică dacă se consideră pozitivă căldura primită de sistem și negativă căldura cedată de sistem. Astfel obținem egalitatea lui Clausius pentru un proces biterm reversibil

$$\frac{Q_1}{T_1} + \frac{Q_2}{T_2} = 0.$$

În cazul unui proces politerm, în care sistemul schimbă căldură cu n surse, aria ciclului poate fi împărțită în cicluri Carnot mărginite de n izoterme și n adiabate (Fig.4.6). Dacă aceste cicluri sunt suficient de mici pot acoperi cu suficientă precizie aria ciclului politerm. Sistemul se destinde pe izotermele T_1, T_2, \dots, T_n , primind cantitățile de căldură $\Delta Q_1, \Delta Q_2, \dots, \Delta Q_n$, și se comprimă pe izotermele T'_1, T'_2, \dots, T'_n , cedând cantitățile de căldură $\Delta Q'_1, \Delta Q'_2, \dots, \Delta Q'_n$. Pentru fiecare ciclu Carnot putem scrie:

$$\frac{|\Delta Q_1|}{T_1} = \frac{|\Delta Q'_1|}{T'_1}, \quad \frac{|\Delta Q_2|}{T_2} = \frac{|\Delta Q'_2|}{T'_2} \quad \text{etc.}$$

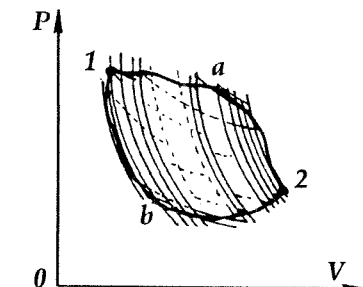


Fig. 4.6

Observăm că scriind aceste egalități pentru toate ciclurile Carnot și însumându-le, o parte din termeni se vor reduce reciproc deoarece pe toate laturile (izotermele) comune a două cicluri căldura cedată de un ciclu este

egală cu cea primită de celălalt. Ca urmare vor rămâne numai termenii necompensați reprezentând căldurile reduse de pe izotermele ce mărginesc ciclul corespunzător procesului politerm. Considerând negative căldurile cedate, rezultatul însumării se poate scrie astfel

$$(4.14) \quad \sum_{i=1}^n \left(\frac{\Delta Q_i}{T_i} \right)_{rev} = 0$$

ceea ce reprezintă *egalitatea lui Clausius* pentru un ciclu politerm reversibil. Pentru un număr foarte mare de surse (termostate) suma se transformă în integrală pe un contur închis și egalitatea lui Clausius capătă expresia

$$(4.15) \quad \oint \left(\frac{dQ}{T} \right)_{rev} = 0.$$

După cum am mai menționat, dacă integrala unei funcții de-a lungul unui drum închis este zero, acea funcție nu depinde de drum ci este o funcție de stare. Funcția de stare ce intervine în relația (4.15) a fost numită entropie (de la cuvântul grecesc "en-tropein", care înseamnă a transforma) și s-a notat cu litera S. Ca urmare

$$(4.16) \quad dS = \left(\frac{dQ}{T} \right)_{rev} \quad \text{și} \quad \oint dS = 0$$

Prin relațiile (4.16) am definit entropia ca o funcție de stare a sistemului, dar ea este determinată numai până la o constantă arbitrară, ca și în cazul energiei interne. Diferența între entropiile corespunzătoare la două stări de echilibru este egală cu căldura redusă pe care trebuie să o schimbe sistemul cu mediul exterior pentru a trece din starea 1 în starea 2 prin orice proces reversibil. Aceasta ne permite să calculăm variația entropiei în procesele reversibile

$$(4.17) \quad S_2 - S_1 = \int_1^2 \left(\frac{dQ}{T} \right)_{rev} .$$

✓ 4.2.2. Procese ireversibile. Inegalitatea lui Clausius

Teorema lui Carnot afirmă că randamentul unei mașini termice ireversibile este mai mic decât randamentul unei mașini termice reversibile care funcționează între aceleași surse de căldură. Adică

$$(4.18) \quad \frac{|Q_1| - |Q_2|}{Q_1} < \frac{T_1 - T_2}{T_1}$$

de unde se ajunge la expresia

$$(4.19) \quad \frac{|Q_1|}{T_1} - \frac{|Q_2|}{T_2} < 0$$

și considerând negativă căldura cedată și pozitivă cea primită relația (4.19) se poate scrie ca sumă algebraică

$$(4.20) \quad \frac{Q_1}{T_1} + \frac{Q_2}{T_2} < 0,$$

ceea ce constituie inegalitatea lui Clausius pentru un proces biterm. Ea poate fi generalizată și pentru un proces politerm, urmând același raționament ca în cazul generalizării egalității lui Clausius (rel.4.14). Ca urmare, pentru un sistem care schimbă căldură cu n surse vom obține relația

$$(4.21) \quad \sum_{i=1}^n \left(\frac{\Delta Q_i}{T_i} \right)_{rev} < 0$$

sau, pentru un număr foarte mare de surse cu temperaturi foarte apropiate, trecând la limită, suma se transformă în integrală pe un contur închis

$$(4.22) \quad \oint \left(\frac{dQ}{T} \right)_{rev} < 0.$$

Temperaturile care intervin în inegalitatea lui Clausius sunt temperaturile surselor cu care sistemul schimbă căldură. Ele coincid cu temperatura sistemului numai în cazul proceselor reversibile.

4.2.3. Legea creșterii entropiei. Expresia generală a principiului al doilea al termodinamicii

Raționamentele expuse în paragrafele anterioare, pe baza cărora am introdus noua funcție de stare numită entropie, s-au referit numai la procese reversibile, ciclice sau deschise. Noua funcție de stare, entropia, deținând numai de starea finală și starea inițială este definită prin relațiile (4.16) numai pentru procese reversibile. Pe de altă parte inegalitatea lui Clausius (4.22) se referă la procesele ireversibile.

Pentru a vedea ce se întâmplă cu entropia unui sistem care suferă o transformare ireversibilă, să presupunem că sistemul trece din starea 1 în starea 2 printr-un proces ireversibil, 1-i-2. Revenirea în starea 1 se face printr-un proces reversibil pe drumul 2-r-1. Transformarea ciclică 1-i-2-r-1 este o transformare ireversibilă. Pentru o transformare ciclică reversibilă sau ireversibilă inegalitatea lui Clausius (4.22), combinată cu egalitatea (4.15), se scrie sub formă generală $\oint \frac{dQ}{T} \leq 0$, semnul egal corespunzând proceselor reversibile.

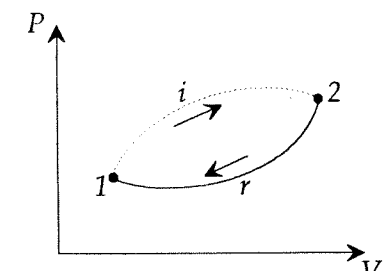


Fig. 4.7

În cazul procesului ciclic descris mai sus, integrala pe curba închisă poate fi descompusă în două integrale, evidențiind cele două porțiuni de drum, reversibil și ireversibil

$$(4.23) \quad \int_1^2 \left(\frac{dQ}{T} \right)_{\text{rev}} + \int_2^1 \left(\frac{dQ}{T} \right)_{\text{rev}} \leq 0$$

Integrala pe drumul reversibil poate fi înlocuită cu variația entropiei, conform relației (4.17)

$$(4.24) \quad \int_1^2 \left(\frac{dQ}{T} \right)_{\text{rev}} + S_1 - S_2 < 0 \quad \text{sau}$$

$$S_2 - S_1 = \Delta S \geq \int_1^2 \left(\frac{dQ}{T} \right)_{\text{rev}}.$$

Relația (4.24) exprimă faptul că variația entropiei la trecerea unui sistem dintr-o stare de echilibru în alta nu poate fi mai mică decât suma căldurilor reduse schimbate de sistem cu mediul exterior. Pentru un sistem izolat adiabatic, deoarece $dQ = 0$, rezultă

$$(4.25) \quad S_2 - S_1 = \Delta S > 0 \quad \text{sau} \quad S_2 > S_1.$$

Aceasta reprezintă *legea creșterii entropiei* în sistemele izolate adiabatic, exprimând sensul de evoluție a proceselor. Pe baza acestei relații putem enunța principiul al doilea al termodinamicii astfel: *în sisteme izolate adiabatic, entropia crește în procesele ireversibile și rămâne constantă în procesele reversibile*. Orice proces care are loc într-un sistem izolat adiabatic se desfășoară în sensul în care entropia crește. Entropia atinge o valoare maximă când sistemul ajunge în echilibru.

Într-un sistem deschis, care schimbă căldură și lucru mecanic cu mediul exterior, procesele se desfășoară tot în sensul creșterii entropiei, dar în acest caz trebuie să luăm în considerare entropia sistemului și a mediului exterior împreună.

Expresia matematică a principiului al doilea, sau principiul entropiei, se poate scrie sub formă integrală

$$(4.26) \quad \oint \left(\frac{dQ}{T} \right) \leq 0 : \quad \oint dS = 0$$

sau sub formă diferențială

$$(4.27) \quad dS \geq \frac{dQ}{T}.$$

Combinând această relație cu expresia principiului întâi se obține ecuația fundamentală a termodinamicii

$$(4.28) \quad T \cdot dS \geq dU + dL$$

Principiul al doilea al termodinamicii are un caracter foarte general, dar el nu poate fi extins dincolo de limitele experienței care l-a generat. Clausius a încercat să-l aplique întregului Univers și a ajuns la concluzia inevitabilității morții termice a Universului (uniformizarea temperaturii în Univers). Greșeala constă în utilizarea unor noțiuni ca "sistem izolat" sau "sistem în echilibru" care nu au sens în cazul Universului, dar sunt esențiale în enunțarea legii creșterii entropiei.

4.2.4. Metode de calcul al variației entropiei

Entropia este o mărime care, în general, nu poate fi măsurată direct. De aici decurge și importanța metodelor de calcul al variației entropiei. În cazul proceselor reversibile apelăm la legile care guvernează aceste procese. Determinarea variației entropiei într-un proces ireversibil este o operație mai complicată. În unele cazuri simple se poate determina variația entropiei imaginând un proces reversibil care duce sistemul din starea inițială în aceeași stare finală ca și procesul ireversibil. Entropia depinzând numai de stările sistemului, variația ei va fi aceeași atât în procesul reversibil cât și în procesul ireversibil.

a) Schimbarea stării de agregare a unei substanțe are loc la temperatură constantă, dacă presiunea este constantă. Procesul este și reversibil dacă temperatura celor două faze (de exemplu solidă și lichidă) rămâne foarte apropiată de temperatura de transformare. În acest caz variația de entropie este

$$(4.29) \quad \Delta S = S_{\text{lie}} - S_{\text{sol}} = \int_0^Q \frac{dQ}{T_{\text{rev}}} = \frac{Q}{T}$$

Cantitatea de căldură Q se exprimă funcție de căldura latentă specifică λ și de masa sistemului M , încât

$$(4.30) \quad S_{\text{lie}} - S_{\text{sol}} = \frac{M\lambda}{T}.$$

Observăm că entropia este o mărime extensivă, depinzând de masa sistemului, și se măsoară în J/kg . Mai observăm că, deși procesul este reversibil, entropia sistemului crește deoarece primește căldură din exterior.

b) Pentru transformările reversibile ale gazului ideal, calculul variației entropiei este de asemenea o operație relativ simplă. Ecuația fundamentală a termodinamicii pentru procese reversibile ne dă variația elementară a entropiei

$$(4.31) \quad dS = \frac{dU}{T} + \frac{PdV}{T}$$

iar în urma integrării și utilizării ecuației de stare obținem

$$(4.32) \quad \Delta S = vC_v \ln \frac{T_2}{T_1} + vR \ln \frac{V_2}{V_1} \quad \text{sau}$$

$$\Delta S = vC_p \ln \frac{T_2}{T_1} - vR \ln \frac{P_2}{P_1}.$$

Pentru procesele adiabatice este evident $\Delta S = 0$, iar pentru celelalte procese relațiile (4.32) se simplifică impunând condițiile: $V_1=V_2$, $P_1=P_2$ sau $T_1=T_2$.

c) Destinderea liberă în vid a gazului ideal, în condiții adiabatice, este un proces ireversibil. Pentru a calcula variația de entropie în acest proces trebuie să găsim un proces reversibil prin care sistemul să ajungă în aceeași stare finală.

Să ne referim la o masă de gaz închisă într-un vas de volum $V_1 = \frac{V_2}{2}$, având posibilitatea să se destindă în vid până la volumul total V_2 . Sistemul fiind izolat adiabatic nu schimbă căldură cu exteriorul, iar destinderea făcându-se în vid, gazul nu efectuează lucru mecanic. Deci variația energiei interne este zero. Pentru gazul ideal aceasta înseamnă că temperatura lui nu se modifică. Deci starea inițială și starea finală se află pe aceeași izotermă. Ca urmare, variația de entropie se va calcula ca în cazul unui proces izoterm reversibil, obținând expresia

$$(4.33) \quad S_2 - S_1 = vR \ln \frac{V_2}{V_1}.$$

Deci entropia crește în acest proces adiabatic ireversibil, în conformitate cu legea creșterii entropiei.

d) Uniformizarea temperaturii într-un sistem izolat adiabatic duce la creșterea entropiei. Să considerăm două corpuri, unu la temperatura T_1 mai mare decât temperatura T_2 a celuilalt. Punând cele două corpuri în contact într-o incintă adiabatică, ele vor ajunge la o temperatură finală T_f . Procesul este ireversibil, nu mai poate fi controlat prin prezența mediului exterior. Pentru calculul variației entropiei trebuie să găsim un proces reversibil care să lege cele două stări, inițială și finală. Să ne imaginăm un rezervor de căldură cu temperatură reglabilă în așa fel încât să putem lua de la corpul cu temperatura T_1 căldura Q și să o dăm corpului cu temperatura T_2 prin procese reversibile, temperatura rezervorului fiind mereu egală cu a corpului cu care este în contact. În acest proces entropia corpului care inițial are temperatura T_1 scade cu

$$(4.34) \quad \Delta S_1 = -\left(\frac{\Delta Q}{T_1} + \frac{\Delta Q'}{T'_1} + \frac{\Delta Q''}{T''_1} + \dots + \frac{\Delta Q^i}{T_f} \right) = -\frac{Q}{T_{1m}}$$

în care T_{1m} este o temperatură intermediară cuprinsă între T_1 și T_f . În același mod putem evalua și variația de entropie a corpului mai rece, care primește aceeași cantitate de căldură Q ,

$$(4.35) \quad \Delta S_2 = +\frac{Q}{T_{2m}}$$

cu aceeași semnificație pentru T_{2m} ca temperatură medie cuprinsă între T_2 și T_f (Fig.4.9). Variația totală a entropiei sistemului format din cele două corpuri este

$$(4.36) \quad \Delta S = \Delta S_1 + \Delta S_2 = -\frac{Q}{T_{1m}} + \frac{Q}{T_{2m}}$$

Observăm că $T_{1m} > T_{2m}$ și ca urmare $\Delta S > 0$, adică procesul de egalizare a temperaturii într-un sistem izolat adiabatic duce la creșterea entropiei.

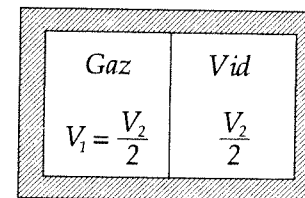


Fig. 4.8

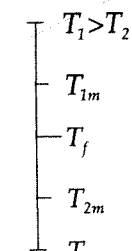


Fig. 4.9

CAPITOLUL 5

POTENȚIALE TERMODINAMICE

Pentru definirea stării de echilibru termodinamic a unui sistem, am introdus parametrul de stare numit *temperatură* și cu acest prilej am formulat principiul zero al termodinamicii. Între temperatură și ceilalți parametri de stare existând o relație de interdependență, *ecuația de stare termică*

$$(5.1) \quad T = T(P, V, \dots),$$

avem posibilitatea să stabilim metodele de măsurare a temperaturii.

Cu ocazia formulării principiului întâi al termodinamicii am definit *energia internă* ca funcție de stare, deci putând fi exprimată ca funcție de parametrii de stare ai sistemului

$$(5.2) \quad U = U(V, T, \dots).$$

Această relație se numește *ecuația de stare calorică* a sistemului deoarece pentru stabilirea ei sunt necesare și măsurători calorimetrice.

Ecuațiile de stare (5.1) și (5.2) nu se pot obține prin metode termodinamice, ele se stabilesc experimental sau se deduc în cadrul fizicii statistice, făcându-se unele ipoteze cu privire la structura și legile de interacțiune a moleculelor din sistem. Dacă se cunosc cele două ecuații de stare, cu ajutorul ecuației fundamentale a termodinamicii (4.28) se pot deduce toate proprietățile sistemului studiat, dar nu aceasta este metoda utilizată în termodinamică, ci metoda potențialelor termodinamice.

5.1. Metoda potențialelor termodinamice (a funcțiilor caracteristice)

Noțiunea de potențial termodinamic este o extindere a noțiunii de potențial din alte capitulo ale fizicii și ca urmare trebuie să-și păstreze și caracteristica de a lua valori extremele în stările de echilibru. Metoda

potențialelor termodinamice se bazează pe utilizarea unor funcții de stare care, pentru a fi potențiale termodinamice, trebuie să îndeplinească următoarele condiții:

- variația funcției într-un proces oarecare să fie egală cu lucrul mecanic schimbat de sistem cu mediul exterior.
- derivatele parțiale ale funcției în raport cu unele variabile de stare să exprime alte variabile ale sistemului.
- starea de echilibru a sistemului să fie definită prin condiția de extremum pe care o satisfacă funcția considerată. Deci, un potențial termodinamic, împreună cu derivatele sale, determină complet starea sistemului.

Nu orice funcție de stare poate fi și potențial termodinamic. De exemplu entropia este o funcție de stare dar, nesatisfăcând prima dintre condițiile de mai sus, nu este potențial termodinamic. O funcție de stare poate fi potențial termodinamic dacă este exprimată funcție de anumite variabile independente, numite variabile naturale, dar nu mai este potențial termodinamic dacă se exprimă funcție de alte variabile. De exemplu, energia internă este potențial termodinamic dacă se exprimă funcție de entropie și volum, dar nu mai este potențial termodinamic dacă se exprimă funcție de temperatură și volum. Pentru a defini potențialele termodinamice se aleg căte două variabile independente, pentru fiecare potențial, din următoarele patru: entropie, volum, temperatură și presiune, cu condiția ca o variabilă să fie de natură mecanică și una de natură termică.

5.1.1. Energia internă, $U(S, V)$

Ecuația fundamentală a termodinamicii (4.28) ne dă direct diferențiala energiei interne

$$(5.3) \quad dU = TdS - PdV,$$

ca funcție de două variabile de stare, una termică S și una mecanică V , acestea fiind variabilele naturale ale energiei interne.

Presupunând că avem expresia funcției caracteristice $U = U(S, V)$, obținută din date experimentale sau în cadrul fizicii statistice, atunci derivatele prime ale funcției caracteristice $U(S, V)$ ne dau ceilalți doi parametri: presiunea și temperatura. Într-adevăr, scriind că energia internă, care este funcție de stare, admite diferențială totală exactă

$$(5.4) \quad dU = (\partial U / \partial S)_V dS + (\partial U / \partial V)_S dV$$

și identificând această expresie cu expresia (5.3), obținem

$$(5.5) \quad T(S, V) = (\partial U / \partial S)_V \quad \text{și} \quad P(S, V) = -(\partial U / \partial V)_S.$$

Eliminând pe S din aceste două relații căpătăm ecuația de stare termică.

Derivatele de ordinul al doilea ne dău alte caracteristici ale sistemului: capacitatea calorică la volum constant C_v și coeficientul de compresibilitate adiabatică κ_s .

$$(\partial^2 U / \partial S^2)_V = (\partial T / \partial S)_V = T(\partial T / \partial Q)_V = T/vC_v, \text{ sau}$$

$$(5.6) \quad vC_v = T / (\partial^2 U / \partial S^2)_V,$$

iar din $(\partial^2 U / \partial V^2)_S = -(\partial P / \partial V)_S = \frac{1}{V\kappa_s}$, sau

$$(5.7) \quad \kappa_s = \frac{1}{V(\partial^2 U / \partial V^2)_S}.$$

Egalitatea derivatelor mixte de ordinul al doilea, consecință a faptului că energia internă fiind funcție de stare admite diferențială totală exactă, ne conduce la una din relațiile lui Maxwell,

$$(5.8) \quad (\partial^2 U / \partial V \partial S) = \left(\frac{\partial T}{\partial V} \right)_S = - \left(\frac{\partial P}{\partial S} \right)_V = (\partial^2 U / \partial S \partial V)$$

Deoarece una dintre condițiile pe care trebuie să le îndeplinească potențialele termodinamice (variația funcției caracteristice să fie egală cu lucru mecanic) pentru energia internă se realizează în condiții adiabatice, uneori se utilizează și denumirea de potențial adiabatic.

Faptul că starea de echilibru a sistemului se realizează când energia internă capătă valoarea minimă se vede ușor chiar din relația (5.3) căci la echilibru atât variația entropiei cât și variația volumului sunt zero, deci și variația energiei interne.

5.1.2. Entalpia, H(S, P)

Dacă exprimăm entalpia, definită prin relația

$$(5.9) \quad H = U + PV,$$

ca funcție de S și P, atunci aceasta îndeplinește condițiile pentru a fi potențial termodinamic. Diferențiind relația (5.9) și cu ajutorul ecuației fundamentale a termodinamicii eliminând energia internă, obținem diferențiala entalpiei ca funcție de S și P

$$(5.10) \quad dH = TdS + VdP.$$

Entalpia fiind funcție de stare diferențială ei se scrie

$$(5.11) \quad dH = (\partial H / \partial S)_P dS + (\partial H / \partial P)_S dP$$

și prin identificare cu relația (5.10) se obțin expresiile celorlalți doi parametri de stare

$$(5.12) \quad T(S, P) = (\partial H / \partial S)_P \quad \text{și} \quad V(S, P) = (\partial H / \partial P)_S.$$

Și de data aceasta se poate obține ecuația termică de stare a sistemului dacă se elimină entropia între relațiile (5.12).

Derivatele de ordinul al doilea, ca și în cazul energiei interne, conduc la expresia capacității calorice

$$(5.13) \quad vC_p = \frac{T}{(\partial^2 H / \partial S^2)_P}$$

și la expresia coeficientului de compresibilitate adiabatică

$$(5.14) \quad \kappa_s = - \frac{(\partial^2 H / \partial P^2)_S}{V}.$$

A doua relație a lui Maxwell rezultă din

$$(5.15) \quad (\partial^2 H / \partial P \partial S) = \left(\frac{\partial T}{\partial P} \right)_S = \left(\frac{\partial V}{\partial S} \right)_P = (\partial^2 H / \partial S \partial P).$$

Entalpia este funcția caracteristică foarte mult utilizată în termochimie și în tehnica compresoarelor de gaze, în care gazul este admis și evacuat la presiunea practică constantă.

5.1.3. Energia liberă, F(T, V)

Primele două funcții characteristic, energia internă și entalpia, derivă direct din primul principiu al termodinamicii, iar următoarele două, energia liberă și entalpia liberă, sunt legate mai mult de principiul al doilea al termodinamicii. Faptul că primele două sunt exprimate funcție de entropie le face mai puțin practicabile față de ultimele două care se exprimă funcție de parametri direct măsurabili (T și V sau T și P).

Pentru un sistem pur mecanic sau izolat adiabatic, lucru mecanic efectuat de sistem este egal cu variația energiei interne luată cu semn schimbător, $L = -\Delta U$. Pentru un sistem termodinamic care poate schimba și căldură cu mediul exterior, lucru mecanic poate fi mai mic sau mai mare decât variația energiei interne, după cum sistemul cedează sau primește căldură, $L = -\Delta U + Q$. Să considerăm că sistemul termodinamic se află în contact cu mediul exterior care are peste tot temperatura T, și să presupunem că are loc o transformare din starea inițială în starea finală. Transformarea este monotonă și sistemul schimbă căldură cu o singură sursă, mediul exterior. Legea creșterii entropiei pentru acest proces se scrie

$$(5.16) \quad \int_i^f \frac{dQ}{T} \leq S_f - S_i$$

Deoarece sistemul primește căldură la temperatură constantă putem scoate de sub semnul integrală factorul $1/T$ și prin integrare obținem limita superioară a cantității de căldură pe care sistemul o poate primi de la corpuurile înconjurătoare.

$$(5.17) \quad Q = \int_i^f dQ \leq T(S_f - S_i).$$

Această limită se atinge numai în cazul proceselor reversibile. Dacă ținem seama că pentru această transformare $\Delta U = U_f - U_i$, iar cantitatea de căldură este dată de relația (5.17), din principiul întâi rezultă valoarea lucrului mecanic maxim efectuat de sistem în timpul acestei transformări

$$(5.18) \quad L \leq -(U_f - U_i) + T(S_f - S_i).$$

Valoarea maximă a lucrului mecanic se obține tot numai în transformările reversibile.

Grupând, în relația (5.18), termenii care se referă la starea inițială și cei care se referă la starea finală obținem

$$(5.19) \quad L \leq -(U_f - TS_f) + (U_i - TS_i)$$

ceea ce evidențiază că lucrul mecanic este dat de variația unei noi funcții de stare numită *energie liberă*, notată cu F :

$$(5.20) \quad F = U - TS.$$

Numai această energie este liberă să se transforme în lucru mecanic, nu toată energia internă a sistemului. Relația (5.19) poate fi scrisă mai concis sub forma

$$(5.21) \quad L \leq -F_f + F_i = -\Delta F$$

ceea ce exprimă că într-o transformare reversibilă izotermă lucrul mecanic efectuat de sistemul care schimbă căldură numai cu mediul ambiant este egal cu micșorarea energiei libere a sistemului. În procesele ireversibile micșorarea energiei libere este numai limita superioară a lucrului mecanic efectuat de sistem.

Din comparația relației (5.21) cu relația ce exprimă primul principiu pentru procese adiabatice, se observă că în procesele izoterme energia liberă joacă rolul energiei interne în procesele adiabatice. Energia liberă poate să varieze, să scadă, fără să fie însotită de efectuarea unui lucru mecanic. De exemplu, destinderea gazului ideal în vid se face ireversibil, fără efectuare de lucru mecanic, dar capacitatea gazului de a efectua lucru mecanic, energia lui liberă, scade.

Chiar prin definiție se precizează că energia liberă este funcție de stare și că descreșterea ei reprezintă lucrul mecanic efectuat de sistem în

procese izoterme. Dacă impunem transformării și condiția ca lucrul mecanic să schimbe cu exteriorul să fie nul, din relația (5.21) rezultă

$$(5.22) \quad F_f \leq F_i.$$

Deci în condiții de izolare dinamică, dacă sistemul este în contact termic la temperatura T cu mediul exterior, energia liberă a sistemului nu poate să crească. În consecință, dacă energia liberă este minimă, sistemul se află în stare de echilibru, ceea ce justifică denumirea de potențial termodinamic.

Diferențiala energiei libere rezultă din diferențierea relației (5.20) de definiție din care se elimină energia internă cu ajutorul ecuației fundamentale a termodinamicii. Rezultă

$$(5.23) \quad dF = -SdT - PdV$$

temperatura și volumul fiind variabilele naturale ale energiei libere. Scriind expresia diferențialei totale exacte a funcției $F(T, V)$ și identificând-o cu relația (5.23) rezultă

$$(5.24) \quad S(T, V) = -\left(\frac{\partial F}{\partial T}\right)_V \quad \text{și} \quad P(T, V) = -\left(\frac{\partial F}{\partial V}\right)_T$$

iar derivatele de ordinul al doilea dau

$$(5.25) \quad vC_V = -T\left(\frac{\partial^2 F}{\partial T^2}\right)_V \quad \text{și} \quad \kappa_T = \frac{1}{V(\partial^2 F / \partial P^2)_V}.$$

Egalitatea derivatelor mixte de ordinul doi ne conduce la a treia relație a lui Maxwell

$$(5.26) \quad -\frac{\partial^2 F}{\partial V \partial T} = \left(\frac{\partial S}{\partial V}\right)_T = \left(\frac{\partial P}{\partial T}\right)_V = -\frac{\partial^2 F}{\partial T \partial V}.$$

✓ 5.1.4. Entalpia liberă, $G(P, T)$

În paragrafele anterioare am definit funcțiile caracteristice $U(S, V)$, $H(S, P)$ și $F(T, V)$, arătând că sunt și potențiale termodinamice. Variabila independentă S fiind o mărime ce nu poate fi măsurată direct, se preferă utilizarea energiei libere care depinde de T și V . Pentru procesele în care starea sistemului este determinată de temperatură și presiune, se definește o altă funcție caracteristică având ca variabile naturale tocmai acești parametri.

Să considerăm o transformare izotermă și izobară (de exemplu o schimbare a stării de agregare), deci o transformare care are loc la T constant și P constant. Prin această transformare sistemul trece din starea inițială în care are volumul V_i în starea finală caracterizată prin volumul V_f . Lucrul mecanic efectuat în cursul transformării este

$$(5.27) \quad L = P(V_f - V_i)$$

Transformarea fiind izotermă, putem utiliza relația (5.21) în care înlocuind expresia lucrului mecanic obținem

$$(5.28) \quad P \cdot V_f - P \cdot V_i \leq -F_f + F_i.$$

Grupând termenii referitori la starea inițială și la starea finală

$$(5.29) \quad F_f + P \cdot V_f \leq F_i + P \cdot V_i$$

suntem conduși la introducerea unei noi funcții de stare

$$(5.30) \quad G = F + P \cdot V.$$

notată cu G și numită *funcția lui Gibbs* sau *entalpia liberă*. Ultima denumire rezultă din faptul că introducând în relația de definiție expresia energiei libere se obține o expresie asemănătoare cu relația de definiție a energiei libere

$$(5.31) \quad G = H - TS$$

Din relația (5.29) se vede că într-o transformare izotermă și izobară entalpia liberă nu poate să crească

$$(5.32) \quad G_f \leq G_i.$$

Deci starea de echilibru a sistemului este caracterizată prin minimul entalpiei libere.

Diferențiala entalpiei libere se obține prin diferențierea relației de definiție (5.30) în care introducem expresia diferențialei energiei libere

$$(5.33) \quad dG = dU - TdS - SdT + PdV + VdP$$

și cu ajutorul ecuației fundamentale a termodinamicii

$$(5.34) \quad dG = -SdT + VdP.$$

Dacă se cunoaște expresia entalpiei libere $G(T, P)$, primele deriveate ne dau ceilalți doi parametri de stare

$$(5.35) \quad S(T, P) = -\left(\frac{\partial G}{\partial T}\right)_P \quad \text{și} \quad V(T, P) = \left(\frac{\partial G}{\partial P}\right)_T$$

iar deriveatele de ordinul al doilea conduc la

$$(5.36) \quad C_p = -T\left(\frac{\partial^2 G}{\partial T^2}\right)_P \quad \text{și} \quad \kappa_T = -\frac{1}{V}\left(\frac{\partial^2 G}{\partial P^2}\right)_T.$$

Derivatele mixte ne conduc la a patra relație a lui Maxwell

$$(5.37) \quad \frac{\partial^2 G}{\partial T \partial P} = \left(\frac{\partial V}{\partial T}\right)_P = -\left(\frac{\partial S}{\partial P}\right)_T = \frac{\partial^2 G}{\partial P \partial T}.$$

5.2. Unele aplicații ale metodei funcțiilor caracteristice

Am văzut că pentru a defini complet un sistem termodinamic este suficient să cunoaștem unul din cele patru potențiale termodinamice care împreună cu deriveatele lui caracterizează starea sistemului. Pe de altă parte, energia internă și entalpia fiind funcții de entropie, inaccesibilă măsurătorilor, se preferă utilizarea energiei libere și entalpiei libere, iar energia internă și entalpia se exprimă funcție de aceste potențiale termodinamice. În cele ce urmează vom stabili câteva relații generale cu aplicabilitate frecventă în studiul proceselor termodinamice.

✓ 5.2.1. Ecuațiile Gibbs - Helmholtz

Energia internă se poate exprima funcție de energia liberă dacă relația (5.20) o scriem $U = F + TS$, iar entropia o înlocuim cu expresia ei din relația (5.24), deci

$$(5.38) \quad U = F - T\left(\frac{\partial F}{\partial T}\right)_V.$$

A doua ecuație Gibbs - Helmholtz dă legătura dintre entalpia și entalpia liberă. Cu același procedeu ca mai sus, din relația (5.37) și expresia entropiei din (5.35) se obține

$$(5.39) \quad H = G - T\left(\frac{\partial G}{\partial T}\right)_P.$$

Pe baza acestor relații se vede că energia internă se poate exprima funcție de temperatură și volum, iar entalpia funcție de temperatură și presiune.

5.2.2. Expresia generală a energiei interne, $U(T, V)$

Din prima ecuație a lui Gibbs - Helmholtz se vede că energia internă se poate exprima funcție de temperatură și de volum, ceea ce putem intui deoarece energia internă este compusă din energia cinetică, determinată de temperatură, și din energia potențială, determinată de distanța între particulele ce interacționează, deci de volumul sistemului. Pentru a stabili această expresie derivăm prima ecuație Gibbs - Helmholtz în raport cu volumul, păstrând temperatura constantă

$$(5.40) \quad \left(\frac{\partial U}{\partial V}\right)_T = \left(\frac{\partial F}{\partial V}\right)_T - T\left(\frac{\partial^2 F}{\partial V \partial T}\right)$$

și având în vedere expresiile derivatelor energiei libere din relațile (5.24) și (5.26) obținem

$$(5.41) \quad \left(\frac{\partial U}{\partial V}\right)_T = -P + T\left(\frac{\partial P}{\partial T}\right)_V.$$

Pe de altă parte derivata energiei interne în raport cu temperatura este tocmai capacitatea calorică la volum constant

$$(5.42) \quad \left(\frac{\partial U}{\partial T}\right)_V = vC_V.$$

Înlocuind aceste expresii în diferențiala energiei interne scrisă sub forma

$$(5.43) \quad dU = \left(\frac{\partial U}{\partial T}\right)_V dT + \left(\frac{\partial U}{\partial V}\right)_T dV,$$

obținem

$$(5.44) \quad dU = vC_V dT + \left[T \left(\frac{\partial P}{\partial T}\right)_V - P\right] dV.$$

Deci variația energiei interne se poate calcula dacă se cunoaște căldura molară la volum constant C_V , temperatura, presiunea și ecuația termică de stare din care să se calculeze $(\partial P / \partial T)_V$. Prin integrare, ecuația (5.44) devine

$$(5.45) \quad U(T, V) = \int vC_V dT + \int \left[T \left(\frac{\partial P}{\partial T}\right)_V - P\right] dV + U_0.$$

Dacă integrarea se face între două limite date, se calculează variația energiei interne corespunzătoare acelei transformări.

5.2.3. Expresia generală a entalpiei, $H(T, P)$

Procedând ca în cazul energiei interne, și entalpia poate fi exprimată ca funcție de doi parametri direct măsurabili: temperatura și presiunea. Pentru a stabili această expresie derivăm a doua ecuație Gibbs - Helmholtz în raport cu presiunea, păstrând temperatură constantă

$$(5.46) \quad \left(\frac{\partial H}{\partial P}\right)_T = \left(\frac{\partial G}{\partial P}\right)_T - T \left(\frac{\partial^2 G}{\partial P \partial T}\right)$$

și înlocuind expresiile derivatelor entalpiei libere din relațiile (5.35) și (5.37) obținem

$$(5.47) \quad \left(\frac{\partial H}{\partial P}\right)_T = V - T \left(\frac{\partial V}{\partial T}\right)_P.$$

Amintindu-ne că $\left(\frac{\partial H}{\partial T}\right)_P = vC_P$ și înlocuind aceste expresii ale derivatelor parțiale în expresia diferențialei totale a entalpiei

$$(5.48) \quad dH = \left(\frac{\partial H}{\partial T}\right)_P \cdot dT + \left(\frac{\partial H}{\partial P}\right)_T \cdot dP$$

obținem relația căutată

$$(5.49) \quad dH = vC_P dT + \left[-T \left(\frac{\partial V}{\partial T}\right)_P + V\right] dP$$

și sub formă integrală

$$(5.50) \quad H(T, P) = \int vC_P dT + \int \left[-T \left(\frac{\partial V}{\partial T}\right)_P + V\right] dP + H_0.$$

5.2.4. Entropia, $S(T, V); S(T, P)$

Cu toate că entropia nu îndeplinește condițiile pentru a fi potențial termodinamic (variația ei nu este egală cu lucrul mecanic), ea este o funcție caracteristică mult întrebunțată. Pentru a stabili formula de calcul a variației entropiei funcție de parametrii de stare T și V sau T și P , plecăm de la ecuația fundamentală a termodinamicii în care vom înlocui variația energiei interne (rel.5.44) sau a entalpiei (rel.5.49). Deci,

$$(5.51) \quad TdS = dU + pdV$$

și prin înlocuirea amintită

$$(5.52) \quad TdS = vC_V dT + \left[T \left(\frac{\partial P}{\partial T}\right)_V - P\right] dV + PdV$$

de unde

$$(5.53) \quad dS = vC_V \frac{dT}{T} + \left(\frac{\partial P}{\partial T}\right)_V dV$$

sau prin integrare

$$(5.54) \quad S(T, V) = \int vC_V \frac{dT}{T} + \int \left(\frac{\partial P}{\partial T}\right)_V dV + S_{ov}.$$

Dacă în ecuația fundamentală trecem de la dU la dH obținem

$$(5.55) \quad TdS = dH - VdP,$$

și cu expresia lui dH din relația (5.49) ajungem la expresia entropiei ca funcție de T și P ,

$$(5.56) \quad S(T, P) = \int vC_P \frac{dT}{T} - \int \left(\frac{\partial V}{\partial T}\right)_P dP + S_{op}.$$

În cazul când cunoaștem energia internă, entalpia și entropia sistemului, celelalte funcții caracteristice (F și G) se calculează ușor chiar după relațiile de definiție.

5.2.5. Relații între coeficienții termodinamici

Deoarece coeficienții termodinamici definiți în paragraful 2.1., prin relațiile

$$dQ = vC_V dT + v\Lambda_V dV$$

$$(5.57) \quad dQ = vC_P dT + v\Lambda_P dP$$

$$dQ = vkdP + vldV,$$

nu sunt toți accesibili experienței, trebuie să stabilim niște relații pe baza cărora să-i putem calcula. Pentru aceasta scriem primul principiu al termodinamicii utilizând expresia cantității de căldură dată de prima dintre relațiile (5.57)

$$(5.58) \quad dU = C_v dT + v\Lambda_v dV - P \cdot dV$$

și identificăm această relație cu diferențiala energiei interne

$$(5.59) \quad dU = \left(\frac{\partial U}{\partial T} \right)_v dT + \left(\frac{\partial U}{\partial V} \right)_T dV.$$

Ca rezultat obținem

$$(5.60) \quad v\Lambda_v - P = \left(\frac{\partial U}{\partial V} \right)_T = T \left(\frac{\partial P}{\partial T} \right)_V - P$$

dacă luăm în considerare relația (5.41). Astfel am stabilit prima formulă a lui Clapeyron - Clausius care ne dă posibilitatea să calculăm căldura latentă de dilatare

$$(5.61) \quad v\Lambda_v = T \left(\frac{\partial P}{\partial T} \right)_V.$$

A doua formulă se deduce în mod similar, dar introducând în expresia primului principiu diferențiala entalpiei, ceea ce conduce la relația

$$(5.62) \quad dH = dQ + VdP$$

în care înlocuim pe dQ cu expresia lui din a doua relație (5.57)

$$(5.63) \quad dH = vC_p dT + v\Lambda_p dP + VdP.$$

Prin identificare cu diferențiala totală a entalpiei și utilizând relația (5.47) obținem expresia căldurii latente de variație a presiunii

$$(5.64) \quad v\Lambda_p = -T \left(\frac{\partial V}{\partial T} \right)_p.$$

A treia formulă a lui Clapeyron - Clausius se referă la căldura latentă de transformare, de schimbare de stare de agregare. Cum schimbările de stare de agregare au loc la presiune și la temperatură constantă, prima relație (5.57) ne dă cantitatea de căldură egală cu lucrul mecanic necesar pentru variația volumului

$$(5.65) \quad \begin{aligned} dQ &= v\Lambda_v dV \\ Q &= \int_{V_1}^{V_2} v\Lambda_v dV = v\Lambda_v (V_2 - V_1). \end{aligned}$$

Având în vedere că Q nu este altceva decât căldura latentă de transformare $v\Lambda$ și înlocuind expresia lui Λ_v din (5.61) rezultă

$$(5.66) \quad \frac{\partial P}{\partial T} = \frac{v\Lambda}{T(V_2 - V_1)}$$

O deducere mai generală și mai riguroasă a acestei formule va fi dată în capitolul următor.

Pentru a calcula expresiile celorlalți doi coeficienți termodinamici k și l apelăm la ecuația de stare sub formă $P = P(V, T)$ a cărei diferențială este

$$(5.67) \quad dP = \left(\frac{\partial P}{\partial V} \right)_T dV + \left(\frac{\partial P}{\partial T} \right)_V dT.$$

Introducând expresia 1ui dP în a treia relație (5.57) și identificând-o cu prima, ajungem la relațiile căutate.

Cunoscând expresiile coeficienților termodinamici putem exprima cantitatea de căldură (5.57) funcție de căldurile molare și de variațiile parametrilor de stare P, V și T .

Capacitățile calorice la volum constant și la presiune constantă sunt exprimate, chiar prin definiție, prin variația energiei interne și variația entalpiei cu temperatura. La volum constant $dQ_v = dU$ și rezultă

$$(5.68) \quad vC_v = \frac{dU}{dT},$$

iar la presiune constantă

$$(5.69) \quad vC_p = \left(\frac{dQ}{dT} \right)_p = \left(\frac{dU + PdV}{dT} \right)_p = \frac{dH}{dT}.$$

Pentru a calcula diferența $C_p - C_v$ scriem diferențiala energiei interne ca funcție de T și V

$$(5.70) \quad dU = \left(\frac{\partial U}{\partial T} \right)_V dT + \left(\frac{\partial U}{\partial V} \right)_T dV$$

și introducând această expresie în relația (5.69) rezultă

$$(5.71) \quad v(C_p - C_v) = \left[\left(\frac{\partial U}{\partial V} \right)_T + P \right] \left(\frac{\partial V}{\partial T} \right)_p.$$

Această relație este valabilă pentru orice sistem, dar pentru un calcul efectiv trebuie să cunoaștem atât ecuația de stare calorică $U = U(T, V)$, cât și ecuația de stare termică $f(P, V, T) = 0$.

O relație mai practică se obține dacă utilizăm expresia derivatei energiei interne în raport cu volumul din relația (5.41)

$$(5.72) \quad v(C_p - C_v) = T \left(\frac{\partial P}{\partial T} \right)_V \left(\frac{\partial V}{\partial T} \right)_p.$$

Uneori, pentru aplicații este mai comod să exprimăm această diferență prin derivatele parțiale ale altor parametri de stare. Pentru aceasta se apelează la relația

$$(5.73) \quad \left(\frac{\partial P}{\partial V} \right)_T \left(\frac{\partial V}{\partial T} \right)_p \left(\frac{\partial T}{\partial P} \right)_V = -1,$$

a cărei demonstrație se obține imediat. Cunoscând ecuația de stare $P = P(V, T)$, diferențiala presiunii este

$$(5.74) \quad dP = \left(\frac{\partial P}{\partial V} \right)_T dV + \left(\frac{\partial P}{\partial T} \right)_V dT$$

și dacă explicităm pe V din ecuația de stare, diferențiala volumului este

$$(5.75) \quad dV = \left(\frac{\partial V}{\partial P} \right)_T dP + \left(\frac{\partial V}{\partial T} \right)_P dT.$$

Introducând expresia lui dV în relația (5.75) obținem egalitatea

$$(5.76) \quad dP = \left(\frac{\partial P}{\partial V} \right)_T \left(\frac{\partial V}{\partial P} \right)_T dP + \left(\frac{\partial P}{\partial V} \right)_T \left(\frac{\partial V}{\partial T} \right)_P dT + \left(\frac{\partial P}{\partial T} \right)_V dT$$

care este satisfăcută dacă

$$(5.77) \quad \left(\frac{\partial P}{\partial V} \right)_T \left(\frac{\partial V}{\partial P} \right)_T = 1 \quad și \quad \left(\frac{\partial P}{\partial V} \right)_T \left(\frac{\partial V}{\partial T} \right)_P + \left(\frac{\partial P}{\partial T} \right)_V = 0.$$

Din prima egalitate rezultă că

$$(5.78) \quad \left(\frac{\partial P}{\partial V} \right)_T = \frac{1}{\left(\frac{\partial V}{\partial P} \right)_T},$$

cu observația că această relație este valabilă și pentru alte perechi de variabile de stare. Din a doua egalitate (5.77) rezultă

$$(5.79) \quad \left(\frac{\partial P}{\partial V} \right)_T \left(\frac{\partial V}{\partial T} \right)_P = - \left(\frac{\partial P}{\partial T} \right)_V$$

și având în vedere că $\left(\frac{\partial P}{\partial T} \right)_V = \frac{1}{\left(\frac{\partial T}{\partial P} \right)_V}$ se obține relația (5.73).

Ca urmare relația (5.72) se poate scrie și sub forma

$$(5.80) \quad v(C_p - C_v) = T \left(\frac{\partial P}{\partial T} \right)_V \left(\frac{\partial V}{\partial T} \right)_P = -T \left(\frac{\partial V}{\partial T} \right)^2 \left(\frac{\partial P}{\partial V} \right)_T = -T \frac{\left(\frac{\partial P}{\partial T} \right)_V}{\left(\frac{\partial P}{\partial V} \right)_T}$$

Introducând coeficientul de dilatare $\alpha = \frac{1}{V} \left(\frac{\partial V}{\partial T} \right)_P$, coeficientul de variație a presiunii cu temperatura $\beta = \frac{1}{P} \left(\frac{\partial P}{\partial T} \right)_V$ și coeficientul de compresibilitate izotermă $\kappa_T = -\frac{1}{V} \left(\frac{\partial V}{\partial P} \right)_T$ relația (5.80) se transformă în

$$(5.81) \quad v(C_p - C_v) = T \beta^2 P^2 \cdot \alpha \cdot V = \frac{T \alpha^2 V}{\kappa_T}$$

În particular, dacă se utilizează ecuația de stare a gazului ideal relația (5.72) devine cunoscuta formulă a lui Robert Mayer

$$(5.82) \quad C_p - C_v = R.$$

5.2.6. Raportul coeficienților de compresibilitate izotermă și adiabatică

Pentru a stabili o relație între coeficientul de compresibilitate izotermă $\kappa_T = -\frac{1}{V} \left(\frac{\partial V}{\partial P} \right)_T$ și cel de compresibilitate adiabatică $\kappa_S = -\frac{1}{V} \left(\frac{\partial V}{\partial P} \right)_S$ vom pleca de la expresia cantității de căldură dată de a treia relație (5.57) în care introducând expresiile coeficienților k și l , devine

$$(5.83) \quad dQ = \frac{vC_V}{\left(\frac{\partial P}{\partial T} \right)_V} dP + \left[T \left(\frac{\partial P}{\partial T} \right)_V - vC_V \frac{\left(\frac{\partial P}{\partial V} \right)_T}{\left(\frac{\partial P}{\partial T} \right)_V} \right] dV.$$

Utilizând ultima relație, din (5.72) obținem

$$(5.84) \quad dQ = \frac{vC_V}{\left(\frac{\partial P}{\partial T} \right)_V} dP + \left[-v(C_p - C_v) \frac{\left(\frac{\partial P}{\partial V} \right)_T}{\left(\frac{\partial P}{\partial T} \right)_V} - vC_V \frac{\left(\frac{\partial P}{\partial V} \right)_T}{\left(\frac{\partial P}{\partial T} \right)_V} \right] dV.$$

Pentru un sistem izolat adiabatic $dQ = 0$ și rezultă

$$vC_V dp = vC_P \left(\frac{\partial P}{\partial V} \right)_T dV$$

ceea ce se poate exprima prin $\left(\frac{\partial P}{\partial V} \right)_S = \gamma \left(\frac{\partial P}{\partial V} \right)_T$ sau prin

$$(5.85) \quad \kappa_T = \gamma \kappa_S$$

Această relație generală se verifică ușor în cazul gazului ideal.

5.3. Noțiuni de termodinamica sistemelor cu număr variabil de particule

Definiția dată sistemului termodinamic precizează că acesta conține un număr mare de particule (atomi, molecule, etc.) separate doar mintal de mediul exterior, interacțiunile cu acesta nefiind excluse. Aceste interacțiuni se pot realiza prin schimb de căldură și de lucru mecanic, dar și prin schimb de substanță. Pentru studiul acestor fenomene trebuie să dăm o formulare adecvată ecuației fundamentale a termodinamicii și relațiilor ce exprimă

variația potențialelor termodinamice. Pentru simplificare ne vom referi numai la stările de echilibru ale unor sisteme omogene, compuse dintr-o singură substanță chimic pură aflată în stările de agregare gazoasă, lichidă sau solidă. Starea solidă o considerăm supusă doar unor presiuni izostatice.

5.3.1. Dependența funcțiilor caracteristice de masa sistemului

Pentru a evidenția efectul variației numărului de particule din sistem, în expresia primului principiu al termodinamicii trebuie să introducem un termen care să exprime lucrul mecanic cheltuit pentru a crește masa sistemului (numărul de moli v , sau numărul de particule)

$$(5.86) \quad dQ = dU + PdV - \mu dv.$$

Lucrul mecanic corespunzător variației de volum (PdV) este considerat pozitiv când volumul crește, dar lucrul mecanic cheltuit pentru variația numărului de moli este considerat pozitiv când este efectuat pentru a crește numărul de moli (de particule) din sistem. Mărimea intensivă μ , sau "variabilă de forță" se numește potențial chimic, iar v este numărul de moli, sau "variabilă de poziție". Deci lucrul mecanic total se poate scrie $dL_{rev} = PdV - \mu dv$. Ca urmare ecuația fundamentală a termodinamicii se scrie

$$(5.87) \quad TdS = dU + PdV - \mu dv$$

iar variațile potențialelor termodinamice capătă expresia

$$(5.88) \quad \begin{aligned} dU &= TdS - PdV + \mu dv \\ dH &= TdS + VdP + \mu dv \\ dF &= -SdT - PdV + \mu dv \\ dG &= -SdT + VdP + \mu dv. \end{aligned}$$

Aceste relații ne permit să definim potențialul chimic. Dacă ne referim la variația energiei interne, rezultă că la entropie și volum constant potențialul chimic se exprimă prin

$$(5.89) \quad \mu = \left(\frac{\partial U}{\partial v} \right)_{S,V}$$

ceea ce ne permite să-l definim ca energia necesară pentru a adăuga sistemului un mol de substanță printr-un proces cvasistatic la entropie și volum constant. În mod analog se poate defini potențialul chimic și din expresia variației entalpiei libere

$$(5.90) \quad \mu = \left(\frac{\partial G}{\partial v} \right)_{P,T}.$$

Din relațiile (5.88) se vede că potențialele termodinamice depind de masa sau de numărul de particule cuprinse în sistem. Variația numărului de moli (de particule) duce la variația potențialelor termodinamice. Având în vedere că entropia și volumul sunt mărimi extensive, deci depind de masa sistemului, rezultă că entalpia liberă, spre deosebire de celelalte potențiale termodinamice, are o dependență mai simplă de masa sistemului. Această funcție este proporțională cu numărul de moli deoarece presiunea și temperatura sunt mărimi intensive. Într-adevăr, notând mărimile molare (pentru un mol $v = 1$) cu litere mici, putem scrie: $V = vv$, $S = vs$, $U = vu(S, V)$, $H = vh(S, P)$, $F = vf(T, V)$, dar pentru entalpia liberă avem

$$(5.91) \quad G = vg(T, P).$$

Deci entalpia liberă pentru un kmol de substanță nu depinde de numărul de moli (prin intermediul altelui funcții ca S sau V). Observăm că potențialul chimic este egal cu entalpia liberă pentru un kmol de substanță, după cum reiese din comparația relațiilor (5.90) și (5.91).

5.3.2. Echilibrul fazelor unei substanțe pure

După Gibbs, prin fază se înțelege o parte din sistemul termodinamic omogenă din punct de vedere al proprietăților macroscopice (deci caracterizată de aceiași parametri termodinamici) și separată de alte părți ale sistemului prin suprafețe de separație distințe. Pe baza acestei definiții, spunem că o anumită substanță trece din fază de gaz în cea de lichid sau în fază solidă. Să considerăm, spre exemplificare, un sistem format din două faze, una lichidă (1, Fig.5.1) și una gazoasă (2, Fig.5.1), formată din vaporii lichidului.

La echilibru, entalpia liberă a sistemului întreg va avea o valoare minimă (vezi rel.5.34), această condiție realizându-se la o anumită presiune și temperatură. Dacă creștem temperatura, sistemul ieșe din echilibru și, pentru a reveni în stare de echilibru, o parte din lichid se evaporă. Numărul de moli din fază lichidă va scădea cu dv_1 , iar numărul de moli din fază de vaporii va crește cu aceeași cantitate ($dv_2 = -dv_1$), în condiția în care numărul total de moli ai sistemului se conservă ($v = v_1 + v_2 = \text{const.}$) Entalpia liberă a întregului sistem, scrisă ca sumă a entalpiilor libere ale celor două faze,

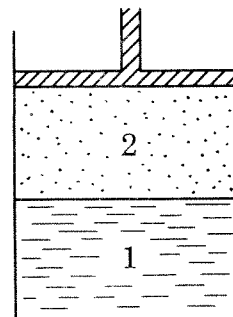


Fig. 5.1

$$(5.92) \quad G(P, T) = G_1(P, T) + G_2(P, T) = v_1g_1(P, T) + v_2g_2(P, T)$$

capătă o valoare minimă. Variația entalpiei libere, la presiune și temperatură constantă

$$(5.93) \quad dG(P, T) = g_1(P, T) \cdot dv_1 + g_2(P, T) \cdot dv_2$$

trebuie să se anuleze, ceea ce conduce la relația

$$(5.94) \quad g_1(P, T) = g_2(P, T), \text{ deoarece } dv_1 = -dv_2.$$

De aici rezultă că, punând în contact o cantitate de lichid cu o cantitate de vapozi ai același lichid, într-un volum dat, la o presiune și o temperatură date, echilibrul se va realiza prin trecerea unui număr de moli din fază cu g mai mare în fază cu g mai mic. Dacă numai temperatura este menținută constantă, prin vaporizare crește presiunea vaporilor (și a lichidului) și aceasta determină creșterea lui $g_2(P, T)$ și scăderea lui $g_1(P, T)$, până capătă aceeași valoare, la echilibru. Astfel se atinge minimul lui G (rel. 5.92). Condiția de echilibru este exprimată de relația (5.94). Această condiție poate fi exprimată și ca o condiție de egalitate a potențialelor chimice corespunzătoare celor două faze, $\mu_1(P, T) = \mu_2(P, T)$, dacă ținem cont de relația de definiție a potențialului chimic (§ 5.3.1).

Reprezentând grafic dependența entalpiei libere de presiune și temperatură (Fig. 5.2) se observă că această condiție este îndeplinită numai pe curba de echilibru, dată de intersecția celor două suprafete, a cărei proiecție în planul (P, T) este tocmai cunoscuta curbă de echilibru între fazele de lichid și de vapozi (curba $T_{tr}K$ din fig. 5.2,b).

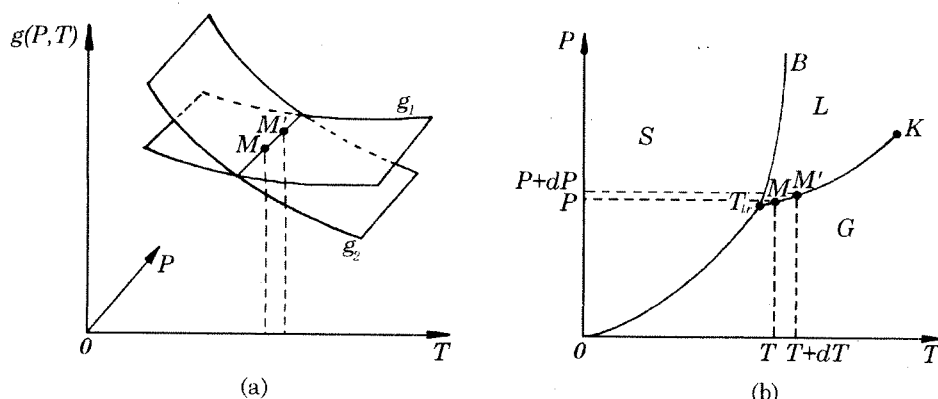


Fig. 5.2

Relația (5.94) este adevarată în orice punct de pe curba de echilibru. Dacă e adevarată în punctul $M(P, T)$, ea va fi adevarată și într-un punct imediat vecin $M'(P+dP, T+dT)$ (vezi fig. 5.2,b), ceea ce ne permite să scriem

$$g_1(P, T) + dg_1(P, T) = g_2(P, T) + dg_2(P, T).$$

De aici rezultă că în starea de echilibru termodinamic a celor două faze trebuie să fie îndeplinită nu numai condiția (5.94) ci și condiția

$$(5.95) \quad dg_1(P, T) = dg_2(P, T).$$

Plecând de la această relație vom obține ecuația Clapeyron - Clausius care guvernează tranzițiile de fază de ordinul I (adică tranzițiile în care trecerea de la o fază la alta este însoțită de absorbție sau de cedare de căldură latentă).

În condiții de echilibru termodinamic, variația entalpiei libere molare pe curba de echilibru a celor două faze se poate exprima în funcție de variabilele P și T (utilizând 5.93 și 5.34),

$$(5.96) \quad -s_1 dT + v_1 dP = -s_2 dT + v_2 dP,$$

în care s_1 , s_2 și v_1 , v_2 reprezintă, respectiv, entropiile și volumele corespunzătoare unui kmol de substanță în cele două faze. Rezultă că:

$$(5.97) \quad \frac{dP}{dT} = \frac{s_2 - s_1}{v_2 - v_1} = \frac{\Delta S}{v_2 - v_1}$$

și cum $\Delta S = \Delta Q/T$, iar ΔQ nu este altceva decât căldura latentă molară de transformare (vaporizare), notată cu Λ , obținem ecuația Clapeyron - Clausius

$$(5.98) \quad \frac{dP}{dT} = \frac{\Lambda}{T(v_2 - v_1)}$$

în care, în cazul vaporizării, v_2 este volumul unui kmol de vapozi, v_1 volumul unui kmol de lichid, iar T este temperatura de fierbere a lichidului. Această relație ne dă panta curbei de echilibru între două faze (curba $T_{tr}K$, Fig. 5.2,b) funcție de variația entropiei și de variația volumului, ambele variabile prezentând o discontinuitate la trecerea dintr-o fază în alta. Deoarece entropia și volumul sunt derivatele de ordinul întâi ale entalpiei libere (rel. 5.35), acest tip de tranziții de fază se numesc *tranziții de fază de ordinul întâi* sau de *specă întâia*. Pentru a avea loc aceste tranziții, sistemul absoarbe sau eliberează căldură latentă de transformare. Schimbările de stare de agregare sunt exemple tipice pentru astfel de tranziții.

În figura 5.2.b se reprezintă și curba de echilibru între faza solidă și cea de vapozi (curba de sublimare OT_{tr}) precum și curba $T_{tr}B$ - de echilibru între faza solidă și cea lichidă (curba de echilibru topire-solidificare).

Punctul T_{tr} , în care se intersectează cele trei curbe de echilibru bifazic, se numește punct triplu. În acest punct e posibilă coexistența fazelor solid-lichid-vapozi ale unei substanțe pure, deoarece sunt îndeplinite simultan condițiile de echilibru termic ($T = \text{const.}$, același pentru toate fazele), mecanic ($P = \text{const.}$) și de echilibru chimic al fazelor substanței respective:

$$(5.99) \quad g_1(P, T) = g_2(P, T) = g_3(P, T)$$

sau

$$(5.100) \quad \mu_1(P, T) = \mu_2(P, T) = \mu_3(P, T)$$

Deci, echilibrul termodinamic al fazelor unei substanțe pure, în punctul triplu, presupune atât realizarea condițiilor de echilibru termic și mecanic, cât și realizarea condiției de egalitate a potențialelor chimice ale tuturor fazelor. Menționăm că e posibilă coexistența într-un punct triplu și a altor faze (de exemplu, două faze de solid cristalin și faza lichidă, în cazul substanțelor ce prezintă transformări alotropice). Asupra acestor aspecte vom reveni în paragrafele 9.3.3. și 11.5.

Punctul K (fig.5.2,b) este punctul critic de pe curba de echilibru între fazele de lichid și de gaz; semnificația fizică a acestuia va fi aprofundată în 9.2.2.

5.4. Principiul al treilea al termodinamicii

La baza termodinamicii clasice stau cele două principii: principiul întâi, sau principiul energiei interne și principiul al doilea, sau principiul entropiei. Ele sunt reunite în ecuația fundamentală a termodinamicii. După cum am văzut chiar din formula de definiție, entropia este determinată până la o constantă arbitrară, și tot așa vor fi determinate și celelalte funcții caracteristice în expresia cărora intră entropia. În cazul când ne interesează doar variația funcțiilor caracteristice aceasta nu constituie un impediment, dar uneori se impune să cunoaștem, să calculăm, valoarea absolută a unei funcții. Atunci se impune determinarea acelei constante.

5.4.1. Teorema lui Nernst sau principiul al treilea

De această problemă, a evaluării unei funcții caracteristice, s-a lovit Walther Nernst (1864-1941) când a încercat să dea o interpretare termodinamică rezultatelor experimentale obținute prin studierea proprietăților corpurilor la temperaturi foarte joase. El constată că la temperaturi foarte joase, tînzând spre zero absolut, căldura specifică a corpurilor solide tinde spre zero. Ca urmare el trage concluzia că pentru entropie se poate scrie relația

$$(5.101) \quad \lim_{T \rightarrow 0} (S - S_0) = \int_0^T \frac{C_p dT}{T} = 0.$$

La acest rezultat a ajuns Nernst și colaboratorii săi încă în anul 1905, iar în 1906 el formulează rezultatul enunțându-l ca principiu. În sistemele condensate, solide sau lichide, căldura specifică C_p , cât și variația de entropie ΔS , pentru orice reacție chimică din aceste sisteme, tind către valoarea zero, când temperatura tinde către zero absolut. De aici rezultă că pentru $T \rightarrow 0$

entropia sistemului tinde spre o valoare constantă care nu poate fi modificată prin nici un fel de acțiune (de ex. variația volumului sau a presiunii). Atât rezultatele experimentale cât și principiul enunțat de Nernst au stat la baza studiilor teoretice ulterioare ale lui Einstein din 1907 și ale lui Debye din 1912, care utilizând teoria cuantelor au dat relația de dependență a căldurii specifice a solidelor de temperatură. Nernst și-a bazat concluziile și pe rezultatele obținute prin măsurările efectuate asupra căldurii de reacție și a energiei libere, ca măsură a afinității chimice.

În anul 1912, Max Planck, pe baza studiilor întreprinse asupra teoremei lui Nernst, propune ca pentru $T \rightarrow 0$ valoarea constantă pe care o ia entropia să fie aleasă chiar zero. Deci principiul al treilea al termodinamicii s-ar putea formula astfel: când temperatura sistemului tinde la zero absolut, entropia sistemului tinde la zero.

Trebuie să precizăm că principiul al treilea nu are aceeași generalitate ca primele două. El poate fi dedus din considerente de fizică statistică cuantică. De aceea se consideră teoremă, dar faptul că se deduce din considerente cuantice arată că în el se reflectă proprietăți cuantice ale sistemului, proprietăți ce se manifestă mai pregnant la temperaturi joase. Pentru ca o afirmație să fie ridicată la rang de principiu trebuie să nu admită excepții. Unii cercetători, la un moment dat, au propus ca principiul al treilea să fie restrâns numai la corpușile solide cristaline, excluzându-le pe cele amorf. Dar s-a constatat că exceptarea substanțelor amorf nu era justificată, ele aflându-se într-o stare metastabilă, nu în stare de echilibru pentru care se aplică principiul al treilea.

Importanța principiului al treilea constă în faptul că, deși nu introduce o nouă funcție termodinamică, el permite calculul valorilor absolute a funcțiilor caracteristice.

5.4.2. Consecințe

Pe baza principiului al treilea al termodinamicii se pot trage unele concluzii privind proprietățile substanțelor la temperaturi foarte joase, când $T \rightarrow 0K$. Evident că din principiul al treilea trebuie să rezulte anularea căldurii specifice a corpurilor solide când temperatura tinde la zero, deoarece pe baza acestei observații a ajuns Nernst la enunțarea principiului. Dacă se consideră principiul al treilea ca teoremă, demonstrată în fizica statistică, atunci comportarea căldurii specifice a corpurilor solide la temperaturi foarte joase este o consecință a principiului. Fenomenologic am putea spune că în imediata apropiere a temperaturii zero absolut este suficient să transmitem sistemului o cantitate de căldură foarte mică pentru a-i ridica temperatura cu un grad.

Din faptul că pentru $T \rightarrow 0K$, entropia sistemului devine constantă, nemaiputând fi modificată prin nici o acțiune, decurg și alte consecințe

privind comportarea substanțelor în apropiere de zero absolut. Din relația (5.37), $(\partial V/\partial T)_P = -(\partial S/\partial P)_T$ rezultă că la limită avem

$$(5.102) \quad \lim_{T \rightarrow 0} \left(\frac{\partial V}{\partial T} \right)_P = \lim_{T \rightarrow 0} \left(-\frac{\partial S}{\partial P} \right)_T = 0,$$

deoarece entropia nu variază cu presiunea când $T \rightarrow 0K$. Deci nici volumul nu variază cu temperatură, ceea ce conduce la anularea coeficientului de dilatare izobară

$$(5.103) \quad \lim_{T \rightarrow 0} \alpha = \frac{1}{V} \cdot \lim_{T \rightarrow 0} \left(\frac{\partial V}{\partial T} \right)_P = 0.$$

În mod analog, plecând de la relația (5.26), $(\partial P/\partial T)_V = (\partial S/\partial V)_T$ la limită avem

$$(5.104) \quad \lim_{T \rightarrow 0} \left(\frac{\partial P}{\partial T} \right)_V = \lim_{T \rightarrow 0} \left(\frac{\partial S}{\partial V} \right)_T = 0,$$

ceea ce înseamnă că și coeficientul de variație a presiunii cu temperatura devine zero când temperatura sistemului se apropie de zero absolut.

Din principiul al treilea al termodinamicii mai rezultă că atingerea temperaturii de zero absolut este imposibilă. Pentru a demonstra acest lucru să ne imaginăm că s-ar putea atinge temperatura $0 K$ și să analizăm care este variația entropiei pe un ciclu Carnot mărginit de izotermele T_1 și $T_2 = 0 K$. În coordonatele T - S acest ciclu se reprezintă ca în figura 5.3. Pe adiabate sistemu nu schimbă căldură cu exteriorul, deci variația de entropie este zero. La zero absolut, conform principiului al treilea entropia este constantă, deci putem scrie $S_2 = 0$. Ca urmare variația de entropie pe acest ciclu Carnot este S_1 și diferită de zero, în contradicție cu faptul că entropia este funcție de stare și variația ei pe un drum închis trebuie să fie zero. Contradicția apare din faptul că am presupus posibilă atingerea temperaturii zero absolut.

Pe baza acestei observații se poate da principiului al treilea al termodinamicii o formulare exprimată printr-o interdicție, cum s-a dat și pentru celelalte două principii. Atingerea temperaturii zero absolut este imposibilă.

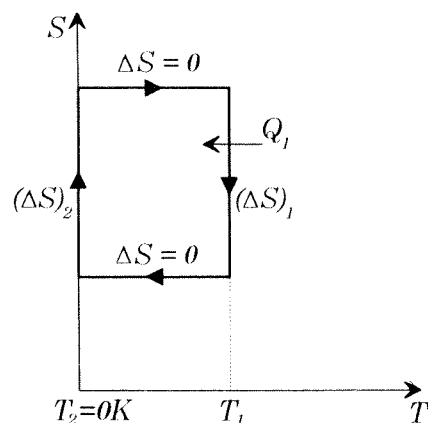


Fig. 5.3

CAPITOLUL 6

TEORIA CINETICO - MOLECULARĂ A GAZELOR

Starea gazoasă este cea mai simplă stare de agregare a substanței, caracterizată printr-o dispunere absolut haotică a particulelor constitutive și prin distanțele mari între aceste particule, ceea ce permite neglijarea, în primă aproximație, a interacțiunilor moleculare. Aceste caracteristici ale gazelor fac mai ușoară explicarea proprietăților lor macroscopice prin proprietățile moleculelor constitutive.

Pentru măsurarea caracteristicilor macroscopice se utilizează instrumente relativ masive, acestea nefiind capabile să înregistreze efectele moleculelor individuale. Când măsurăm presiunea unui gaz, măsurăm o valoare medie a efectului ciocnirilor moleculare, care se repetă cu o frecvență foarte mare. De asemenea, când se măsoară densitatea unui gaz se măsoară masa unui volum foarte mare în raport cu spațiile intermoleculare. Utilizarea unor volume foarte mici ar pune în evidență variații de densitate de la un loc la altul. Termometrele de asemenea înregistrează valoarea medie a energiei cinetice a moleculelor.

Deoarece caracteristicile moleculare nu sunt direct observabile, pentru a le corela cu mărimile macroscopice trebuie să construim, să alegem, un model al sistemului studiat și să facem anumite ipoteze privind comportarea lui. Pe baza acestor ipoteze, în cadrul modelului considerat, se calculează unele caracteristici macroscopice, rezultatele fiind verificabile experimental. Dacă rezultatele calculelor concordă cu datele experimentale și ne permit să prevedem și alte fenomene neobservabile direct, aceasta înseamnă că modelul ales este bun. În caz contrar trebuie corectat sau chiar înlocuit.

6.1. Structura substanței

La dezvoltarea teoriei cinetico - moleculare au contribuit în primul rând fizicienii R. Clausius (1822 - 1888), J.C. Maxwell (1831 - 1879) și L. Boltzman (1844 - 1906), care au pus bazele teoriei cinetice a gazelor. Despre structura internă a atomilor și moleculelor nu se știau prea multe lucruri și

în consecință au fost necesare unele ipoteze simplificatoare, idealizând structura particulelor (sfere rigide) și neglijând interacțiunile. Succesul teoriei se datorează utilizării mecanicii clasice fundamentată de Newton și teoriei matematice a probabilităților, și nu modelului simplificat utilizat.

6.1.1. Particule constitutive. Stări de agregare

Astăzi cunoștințele noastre despre atomi și molecule sunt mult mai complete. Atomii nu sunt particule elementare, indivizibile, dar, în cadrul fizicii moleculare nu vom lua în considerare decât cel mult fenomenele de disociere și în nici un caz procesele de ionizare, acestea necesitând energii mult mai mari. Pentru unele substanțe moleculele își păstrează identitatea în stare gazoasă, lichidă și solidă, iar pentru altele numai în starea gazoasă. La temperatură ordinară, hidrogenul este format din molecule biatomice, acestea păstrându-și identitatea și în stare lichidă, la temperaturi joase. Unele elemente metalice, cum este litiul, se prezintă sub formă moleculară numai în stare gazoasă, litiul metallic, în stare solidă, constând din ioni. La fel se prezintă și unele substanțe cu molecule compuse din atomi diferenți. Clorura de litiu gazoasă este moleculară, dar în stare lichidă, în soluție sau în stare solidă este formată din ioni. Moleculele organice își păstrează identitatea în toate stările de agregare.

Este aproape imposibil de dat o definiție riguroasă pentru cele trei stări de agregare, deoarece există corpurile cu structură neomogenă care sunt greu de încadrat într-o anumită regulă. Pentru caracterizarea calitativă a celor trei stări de agregare ne vom referi la compresibilitatea, rigiditatea și viscozitatea lor, corelând aceste caracteristici macroscopice cu structura lor moleculară.

Când o presiune dată, acționând asupra unei substanțe, produce o variație relativă de volum mai mare decât cea produsă când acționează asupra altrei substanțe, se spune că prima substanță este mai compresibilă decât a doua.

Rigiditatea este însușirea corpurilor de a se opune forțelor care tind să le schimbe formă, chiar dacă volumul lor rămâne constant, procesul desfășurându-se lent.

Viscozitatea este o măsură a rezistenței corpurilor la schimbarea formei lor în regim dinamic. Cu cât forță necesară pentru a mișca un corp solid printr-un fluid este mai mare, cu atât fluidul este mai vâscos.

Gazele au o densitate mică, sunt foarte compresibile, nu au rigiditate și sunt puțin vâscoase. Acestea se explică prin distanțele mari între molecule în raport cu dimensiunile lor, ceea ce face ca forțele de interacțiune moleculară să fie neglijabile.

Lichidele au o densitate de aproximativ 10^3 ori mai mare decât gazele, în condiții normale de presiune și temperatură. Compresibilitatea

este mică, rigiditatea zero, dar viscozitatea este de ~ 10^2 ori mai mare decât a gazelor. Structura lichidelor, adică aranjarea moleculelor, este mai apropiată de a gazelor, deci dezordonată, cum se vede și din figurile 6.1. și 6.2. Viteza de mișcare a moleculelor este de același ordin de mărime ca în cazul gazelor, dar ciocnirile cu moleculele vecine explică viscozitatea ridicată. Continua nearanjare a moleculelor, deși sunt foarte apropiate una de alta, face ca rigiditatea lichidelor să fie zero.

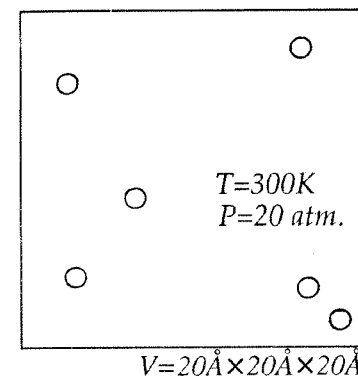


Fig. 6.1

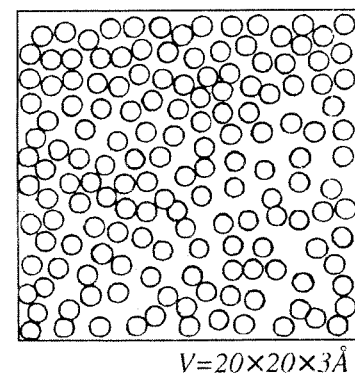


Fig. 6.2

Solidele au aproximativ aceeași densitate și compresibilitate ca și lichidele, dar în plus sunt rigide. Solidele cristaline au atomii distribuiți într-o anumită ordine în rețeaua cristalină, pe când solidele amorfice au o structură asemănătoare cu a lichidelor, dar moleculele sunt mai puțin mobile. Privind tangențial figura 6.3 putem observa ordonarea moleculelor în solide comparativ cu starea lor dezordonată în lichide (Fig. 6.2). Într-un solid, la aceeași temperatură cu un lichid, moleculele se mișcă cu aceeași viteză dacă au aceeași masă, dar mișcarea lor este limitată la vibrații în jurul poziției de echilibru.

În toate considerentele de mai sus nu a intervenit factorul timp în aprecierea rigidității și viscozității. Se știe că ghețarii alpini curg încet, mișcarea lor observându-se într-o perioadă de câțiva ani. În ceea ce privește lichidele și gazele, forța lor de opozitie la mișcarea prin ele a unui corp solid depinde de viteza cu care se mișcă acel corp. Apa se comportă ca un solid dacă este lovită și nu spintecată, cum fac săritorii de la trambulină. Gazele

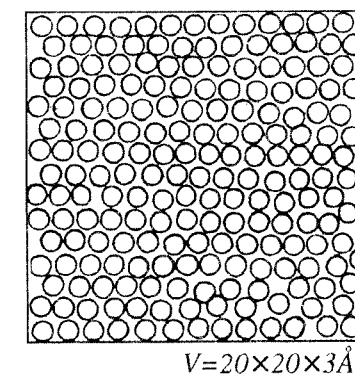


Fig. 6.3

se opun cu o rezistență foarte mare solidelor care se mișcă cu viteze comparabile cu viteza sunetului, care este de același ordin de mărime cu viteza de agitație termică.

Aspectele calitative prezentate mai sus arată că studiul proprietăților corpurilor, în corelație cu structura lor moleculară, trebuie să înceapă cu studiul gazelor, starea de agregare cea mai simplă, pe care o vom approxima prin ipoteze și mai simplificate, utilizând modelul gazului ideal.

6.1.2. Mărimi și unități atomice și moleculare

Principala caracteristică a unui atom (sau molecule) este masa lui. În unele probleme, cum ar fi studiul fenomenelor de ciocnire între două particule, luăm în considerare chiar masa particulelor, dar în altele ne putem limita la precizarea numărului de particule din sistem, adică a "cantității de substanță" și nu a masei sistemului.

Definiția unității de cantitate de substanță se face raportându-ne la masa celui mai răspândit izotop al carbonului, ^{12}C ales prin convenție. Cea de a 14-a Conferință Generală de Măsuri și Greutăți (1971) a adoptat următoarea definiție:

1) *Molul* este cantitatea de substanță a unui sistem care conține atâtea entități elementare câtă atomi există în 0,012 kilograme de carbon 12; simbolul său este "mol"

2) Ori de câte ori se întrebunează molul, entitățile elementare trebuie specificate, ele putând fi atomi, molecule, ioni, electroni, alte particule sau grupări specificate de asemenea particule.

3) Molul este unitate fundamentală a Sistemului Internațional de Unități.

Din definiție rezultă că un mol din orice substanță conține același număr de particule. Acest număr poartă numele lui Avogadro (1776 - 1856), și se notează cu N_A , având valoarea $6,023 \cdot 10^{23} \text{ mol}^{-1}$, ca rezultat al mai multor serii de măsurători. Pe de altă parte, măsurătorile au arătat că masa atomului de hidrogen m_H este aproximativ de 12 ori mai mică decât masa atomului de carbon 12, pe care s-o notăm cu m_C . Deci $m_H \approx \frac{m_C}{12}$ și aceasta justifică alegerea masei de 0,012 kg pentru definirea molului. Dacă măsurăm masa atomilor (moleculelor) nu în kilograme (grame) ci în mase ale celui mai mic atom, atomul de hidrogen, vom obține un sir de numere supraunitare reprezentând *masele relative* ale atomilor. De exemplu notând cu m_X masa atomului X, atunci masa relativă a atomului X, pe care o notăm cu m_{rX} se va exprima astfel

$$\frac{m_X}{m_H} \approx \frac{m_X}{\frac{m_C}{12}} = 12 \frac{m_X}{m_C} = m_{rX}.$$

Așadar putem defini masa atomică relativă prin numărul care arată de câte ori masa unui atom este mai mare decât a 12-a parte din masa atomului de carbon 12. și în mod analog se definește și masa moleculară relativă.

Să notăm cu μ masa unui mol de substanță; de exemplu, pentru carbon 12, $\mu_C = 0,012 \text{ kg} = 12 \text{ g}$. Pe de altă parte, conform definiției molului $\mu_C = m_C \cdot N_A$, iar pentru o substanță X, $\mu_X = m_X \cdot N_A$. Exprimând pe m_X prin masa atomică relativă rezultă

$$\mu_X = m_{rX} \frac{m_C}{12} \cdot N_A$$

Dar $m_C \cdot N_A = \mu_C = 12 \text{ g}$. Deci, exprimând masa molară (a unui mol) în grame rezultă $\mu_X = m_{rX}$ ceea ce permite o altă definiție pentru unitatea de cantitate de substanță.

Molul este cantitatea de substanță a unui sistem omogen a cărui masă exprimată în grame este numeric egală cu masa moleculară (atomică) relativă a substanței. Dacă masa se exprimă în kilograme se obține unitatea numită kilomol, care conține un număr de particule de o mie de ori mai mare decât molul.

În fizica atomică și nucleară se utilizează o unitate de masă adecvată la scară acestor fenomene, numită unitate atomică de masă, cu simbolul "u", definită pe baza definiției dată molului. Unitatea atomică de masă este egală cu a 12-a parte din masa unui atom de carbon 12. Având în vedere că într-un mol de carbon, adică în 0,012 kg, se află un număr de atomi egal cu numărul lui Avogadro, unitatea atomică de masă are valoarea

$$1 \text{ u} = \frac{1}{12} \frac{12 \text{ g}}{6,023 \cdot 10^{23}} = 1,66 \cdot 10^{-24} \text{ g} = 1,66 \cdot 10^{-27} \text{ kg}.$$

Volumul ocupat de un mol de substanță, indiferent de starea de agregare în care se află, se numește volum molar, notat cu V_μ . Pentru starea gazoasă, Avogadro a enunțat legea care-i poartă numele afirmând că în aceleași condiții de presiune și temperatură un mol dintr-un gaz oarecare ocupă același volum. Am văzut în primul capitol (§1.2.4.) că în condiții normale ($T = 273,15 \text{ K}$ și $P = 101325 \text{ N/m}^2$) volumul molar al gazului ideal are valoarea $22,42 \text{ dm}^3/\text{mol}$. Cunoscând această valoare este ușor să calculăm numărul de molecule din unitatea de volum (numărul lui Loschmidt) care este $2,6872 \cdot 10^{25} \text{ m}^{-3}$.

Cantitatea de substanță dintr-un sistem se poate exprima și prin numărul de moli, v , care este dat de raportul $v = M/\mu$ unde M este masa sistemului.

6.2. Formula fundamentală a teoriei cinetico-moleculare

Noțiunea de gaz ideal a fost introdusă în tratarea macroscopică pentru a desemna o stare limită a gazelor reale, când presiunea lor tinde la zero. A spune că un gaz este foarte rarefiat este echivalent cu a spune că volumul propriu al tuturor moleculelor este neglijabil față de volumul ocupat de gaz și că interacțiunile moleculare sunt neglijabile, date fiind distanțele foarte mari între ele. Această stare a gazului este reprezentată prin modelul gazului ideal în care moleculele sunt considerate puncte materiale.

6.2.1. Ipoteze. Modele

Studiul cinetico - molecular al gazelor se bazează pe anumite ipoteze care conduc la elaborarea unui model. Cea mai importantă ipoteză se referă la structura moleculară a corpurilor. La aceasta se adaugă ipoteza că moleculele sunt într-o continuă mișcare.

A doua ipoteză se referă la interacțiunile moleculare, pe care le presupunem a fi guvernate de legile mecanicii clasice: legea conservării energiei și legea conservării impulsului.

A treia este ipoteza haosului molecular. Dat fiind numărul mare de molecule, chiar și în volume mici de gaz, și presupunând că mișcarea lor este absolut întâmplătoare, putem utiliza metodele statistice de studiu.

Pe baza acestor ipoteze evaluarea cantitativă a unor proprietăți ale unui gaz real este o problemă foarte complicată și de aceea, pentru început, trebuie să idealizăm problema alegând un model simplificat. Cel mai simplu model ar fi un gaz ale cărui molecule sunt considerate puncte materiale caracterizate prin masă și viteză și care se ciocnă între ele și numai cu peretei vasului. Ciocnirile sunt considerate perfect elastice. Evident că reducerea atomilor și moleculelor la puncte materiale este o ipoteză nerealistă, dar vom vedea că chiar în aceste condiții putem obține unele rezultate în concordanță cu experiența: presiunea, ecuația de stare, căldura specifică pentru gazele monoatomice.

Pentru a obține alte rezultate trebuie să complicăm modelul. În primul rând trebuie să admitem că moleculele au o anumită structură internă și că există posibilitatea unor mișcări ale atomilor constituvenți. Aceasta permite explicarea căldurii specifice pentru gazele ale căror molecule sunt formate din mai mulți atomi. Modelul se complică și mai mult, admitând că moleculele au dimensiuni (volum) și se pot ciocni între ele. Astfel putem explica fenomenele de transport în gaze. Luând în considerare interacțiunile moleculare (nu numai ciocnirile), vom reuși să stabilim ecuația de stare a gazelor reale, ecuație ce descrie mult mai complet comportarea gazului, dar numai a unui anumit gaz, nu a tuturor gazelor.

6.2.2. Presiunea gazului ideal

Să considerăm un gaz format din particule caracterizate numai prin masă și viteză, având toate aceeași masă dar viteze diferite. Gazul este închis într-un cilindru cu piston de arie S și având lungimea pe direcția $0x$ egală cu 1. (Fig.6.4). Presupunem că moleculele se mișcă dezordonat, fără vreo direcție preferențială. Pentru o moleculă de masă m și viteză \vec{v}_1 care ciocnește elastic peretele situat în planul yOz , componenta vitezei v_{1x} va deveni $-v_{1x}$, iar componentelete pe celelalte axe vor rămâne neschimbate. În ipoteza că moleculele nu se ciocnesc între ele, viteză fiecărei molecule rămâne constantă ca valoare, schimbându-și sensul în urma ciocnirii.

Variația impulsului moleculei (componenta pe $0x$) în urma ciocnirii este $\Delta P = -mv_{1x} - (+m_{1x}) = -2mv_{1x}$. Între două ciocniri consecutive cu același perete, o moleculă va parcurge distanța $2l$ în timpul $\Delta t_1 = \frac{2l}{v_{1x}}$. Numărul de ciocniri ale moleculei cu peretele de arie S, în timpul $\Delta t_2 >> \Delta t_1$, este dat de raportul $\frac{\Delta t_2}{\Delta t_1} = \Delta t_2 \frac{v_{1x}}{2l}$. Variația totală a impulsului (ΔP), în urma ciocnirii cu peretele a unei singure molecule, în intervalul de timp Δt_2 este

$$(\Delta P)_z = 2mv_{1x}\Delta t_2 \frac{v_{1x}}{2l} = mv_{1x}^2 \frac{\Delta t_2}{l}.$$

Presupunem că în vas există N molecule având componentele vitezelor pe axa $0x$ notate cu $v_{1x}, v_{2x}, \dots, v_{ix}, \dots, v_{Nx}$. Pe baza ipotezei că moleculele nu interacționează în nici un fel, urmând raționamentul de mai sus pentru fiecare moleculă, vom afla contribuția fiecărei la variația impulsului ca rezultat al ciocnirilor, în timpul Δt_2 . Pentru toate moleculele variația impulsului în timpul Δt_2 este

$$\sum_i (\Delta P)_i = \frac{m\Delta t_2}{l} (v_{1x}^2 + \dots + v_{ix}^2 + \dots + v_{Nx}^2).$$

Introducând viteza patratică medie a componentei pe direcția x , definită prin

$$(6.1) \quad \sqrt{v_x^2} = \sqrt{\frac{v_{1x}^2 + v_{2x}^2 + \dots + v_{Nx}^2}{N}}$$

rezultă că variația totală a impulsului în timpul t_2 se poate scrie astfel

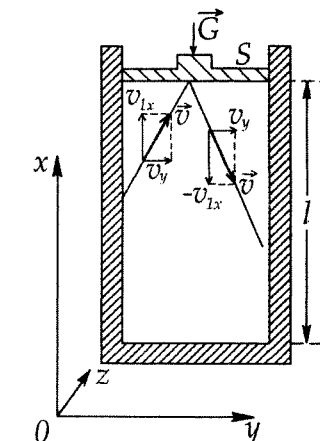


Fig. 6.4

$$\Sigma(\Delta P)_t = \frac{m \cdot \Delta t_2}{1} \cdot N \cdot \overline{v_x^2}$$

Conform legii lui Newton, forța cu care acționează gazul asupra peretelui va fi dată de raportul

$$\frac{\Sigma(\Delta P)_t}{\Delta t_2} = F = \frac{m \cdot N}{1} \cdot \overline{v_x^2}.$$

Această forță este rezultatul efectelor unui număr foarte mare de ciocniri ale moleculelor cu peretele și se înregistrează macroscopic drept presiunea exercitată asupra peretelui de arie S orientat perpendicular pe direcția Ox:

$$P = \frac{F}{S} = \frac{m}{1 \cdot S} \cdot N \overline{v_x^2}$$

Introducând volumul ocupat de cele N molecule, presiunea gazului capătă expresia

$$P = \frac{N}{V} \cdot m \overline{v_x^2} = n \cdot m \cdot \overline{v_x^2},$$

în care am notat cu n numărul de molecule din unitatea de volum. Am fi ajuns la aceeași expresie dacă ne-am fi oprit atenția asupra peretelui perpendicular pe axa Oy sau Oz, ceea ce arată că mișcarea moleculelor este complet dezordonată, fără vreo direcție preferențială, exercitând aceeași presiune în toate direcțiile, în concordanță cu datele experimentale. Ca urmare putem scrie egalitatea

$$(6.2) \quad \overline{v_x^2} = \overline{v_y^2} = \overline{v_z^2}.$$

Având în vedere relațiile evidente

$$v^2 = v_x^2 + v_y^2 + v_z^2 \quad și \quad \overline{v^2} = \overline{(v_x^2 + v_y^2 + v_z^2)} = \overline{v_x^2} + \overline{v_y^2} + \overline{v_z^2}$$

putem exprima presiunea funcție de modulul vitezei, căci $\overline{v_x^2} = \frac{1}{3} \overline{v^2}$

$$(6.3) \quad P = \frac{1}{3} \frac{N}{V} m \overline{v^2}.$$

Această relație este cunoscută ca formula fundamentală a teoriei cinetice a gazelor.

6.2.3. Ecuația de stare a gazului ideal

Teoria cinetico-moleculară ne-a condus la formula fundamentală, din care rezultă

$$PV = \frac{1}{3} N m \overline{v^2},$$

dar produsul PV este dat și de ecuația de stare a gazului ideal stabilită pe baza datelor experimentale

$$PV = \nu RT.$$

Pentru aceeași cantitate de gaz, la aceeași presiune și același volum, cele două relații trebuie să fie identice, deci

$$\frac{1}{3} N m \overline{v^2} = \nu RT.$$

De aici rezultă că între viteza pătratică medie a moleculelor și temperatura gazului există o relație bine determinată. Cum masa unei molecule diferă de la un gaz la altul, este mai semnificativ să stabilim o legătură între energia cinetică medie a unei molecule și temperatură

$$\frac{2}{3} N \frac{m \overline{v^2}}{2} = \nu RT$$

și introducând numărul lui Avogadro $N_A = \frac{N}{v}$ obținem relația cunoscută

$$(6.4) \quad \frac{m \overline{v^2}}{2} = \frac{3}{2} kT$$

în care intervine constanta lui Boltzmann, definită prin

$$k = \frac{R}{N_A} = \frac{8314 \text{ J} \cdot \text{K}^{-1} \text{kmol}^{-1}}{6,023 \cdot 10^{26} \text{ kmol}^{-1}} = 1,38 \cdot 10^{-23} \text{ J} \cdot \text{K}^{-1}.$$

Din cele de mai sus rezultă că dacă am putea stabili pe altă cale relația dintre energia cinetică medie a unei molecule și temperatura gazului atunci am putea deduce ecuația de stare a gazului ideal din formula fundamentală a teoriei cinetice. Unele argumente în sprijinul existenței unei relații de proporționalitate între energia cinetică medie și temperatură sunt prezentate în cele ce urmează.

6.2.4. Viteza termică. Experimentul lui Stern

Relația între energia cinetică medie a unei molecule E_c și temperatura gazului, T,

$$(6.5) \quad E_c = \frac{m \overline{v^2}}{2} = \frac{3}{2} kT$$

permite estimarea valorii vitezei pătratice medii a moleculelor gazului, utilizând date experimentale macroscopice. Din (6.5) rezultă:

$$(6.6) \quad V_{Termică} = \sqrt{\overline{v^2}} = \sqrt{\frac{3kT}{m}} = \sqrt{\frac{3RT}{\mu}}.$$

Cunoscând pe R, T și μ putem calcula valoarea vitezei pătratice medii.

Făcând o comparație între relația (6.6) și relația $V_s = \sqrt{\frac{\gamma RT}{\mu}}$ (vezi 3.68) constatăm că viteza de agitație termică a moleculelor este de același ordin de mărime cu viteza de propagare a sunetului în gazul respectiv la aceeași temperatură. Calculele efectuate pentru $T = 273$ K și masa

moleculară variind între 2 și 200, de la elementele cele mai ușoare la cele mai grele, arată că aceste viteze medii au valori între 10^2 și 10^3 m/s, independent de starea de agregare a substanței. Pe de altă parte undele sonore nu sunt altceva decât o mișcare ordonată a moleculelor, însotită de o propagare a energiei și impulsului. Mișcarea ordonată este suprapusă mișcării de agitație termică existentă în gaz, lichid sau solid. Viteza de propagare a sunetului este comparabilă cu viteza pătratică medie evaluată mai sus. De exemplu, în aer viteza medie la 300 K este de 470 m/s, iar viteza sunetului 350 m/s. În cupru, la aceeași temperatură, viteza medie este de 316 m/s, iar viteza undelor elastice longitudinale este de 456 m/s și a celor transversale este de 225 m/s. Aceasta constituie o confirmare indirectă a teoriei cinetico-moleculare valabile pentru toate substanțele indiferent de starea lor de agregare.

Măsurarea directă a vitezei de agitație termică a moleculelor este o problemă de cea mai mare importanță pentru verificarea valabilității teoriei cinetico-moleculare. Primul experiment reușit în acest sens (1920) este cel al lui Otto Stern (1888-1970) în care se măsoară vitezele atomilor de argint evaporat în vid.

Evaporarea unui metal în vid duce la formarea unui gaz din atomi metalici, care se comportă ca moleculele oricărui gaz. În plus prezintă avantajul că, pe un perete rece, atomii metalici condensează și astfel pot fi captați, iar masa (și numărul) lor poate fi evaluată cu precizie. Dacă presiunea gazului este suficient de redusă, distanța parcursă de un atom între două ciocniri succesive, adică drumul liber, poate deveni mai mare decât dimensiunile vasului; deci atomii ciocnesc numai pereții vasului. La o presiune de aproximativ 10^{-4} torr, drumul liber mediu este 50 cm. În aceste condiții se pot obține fascicule de atomi care au vitezele corespunzătoare temperaturii la care sunt evaporati.

Stern a utilizat următorul dispozitiv pentru obținerea unui fascicul de atomi de argint. Un fir de platină F, acoperit cu un strat de argint este fixat pe axul cilindrului E concentric cu cilindrul C. Între cilindrul E și cilindrul C se întreține o presiune de 10^{-5} - 10^{-4} torr. Prin trecerea unui curent electric, firul de platină este încălzit și argintul se vaporă împreștiindu-se în toate direcțiile în interiorul cilindrului E. În peretele cilindrului E există un orificiu B cu diametrul de aproximativ 0,2 mm. Atomii de argint care străbat acest orificiu formează un fascicul liniar care ajunge pe cilindrul C, formând o pată metalică în D.

Dacă întregul sistem (cilindrii E și C) este rotit în jurul axei cu viteza unghiulară ω (aproximativ 200 rot/min) se constată că pată metalică formată prin

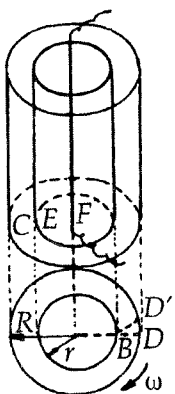


Fig. 6.5

condensarea vaporilor de argint nu se mai formează în D ci în D'. Adică, în timp ce atomii parcurg distanța BD, cilindrul C se rotește cu arcul DD'. Viteza liniară a cilindrului fiind $v_0 = \omega \cdot R$, rezultă $DD' = v_0 \cdot t$ iar $BD = v \cdot t$, în care v este viteza medie a atomilor de argint. Luăm în considerare o vitează medie (corect ar fi viteza cea mai probabilă) deoarece atomii de argint au viteze diferite. Acest lucru se vede și prin faptul că pată metalică din D' este alungită în direcția mișcării și nu are marginile nete ca aceea din D, obținută în stare de repaus.

Eliminând timpul din cele două relații obținem:

$$(6.7) \quad v = \frac{BD}{DD'} \omega \cdot R = \frac{R - r}{DD'} \omega \cdot R.$$

Cunoscând razele celor doi cilindri, viteza unghiulară de rotație și distanța DD' între centrele petelor metalice (una obținută în repaus și una în mișcare) se poate calcula viteza medie a atomilor de argint. Menținând temperatura firului de platină la $1200^\circ C$ s-a găsit că viteza atomilor de argint este cuprinsă între 560 și 640 m/s, interval în care este cuprinsă și valoarea vitezei termice la această temperatură, $\sqrt{v^2} = 584$ m/s. Experiențe efectuate la diferite temperaturi ale firului de platină au arătat că între viteza termică și \sqrt{T} există o relație de proporționalitate.

6.2.5. Semnificația cinetică a echilibrului termic și a legilor gazului ideal

Am văzut că din punct de vedere macroscopic două sisteme sunt în echilibru termodinamic dacă parametrii de stare intensivi, presiunea P și temperatura T au aceleași valori, peste tot, în ambele sisteme. Cunoscând semnificația cinetică a presiunii, exprimată prin ecuația fundamentală a teoriei cinetice, să analizăm din punct de vedere cinetico-molecular procesul de stabilire a echilibrului termic, pentru a vedea care este semnificația cinetică a egalizării temperaturilor celor două sisteme.

Să considerăm două gaze diferite, într-un cilindru și separate printr-un piston foarte ușor care se poate deplasa fără frecare. Presiunea primului gaz este

$$P_1 = \frac{2}{3} n_1 \frac{m_1 v_1^2}{2} \text{ iar presiunea celui de al}$$

doilea este $P_2 = \frac{2}{3} n_2 \frac{m_2 v_2^2}{2}$. Dacă cele două presiuni nu sunt egale, pistonul despărțitor se va deplasa până când se va realiza egalitatea lor prin variația volumelor celor două compartimente.

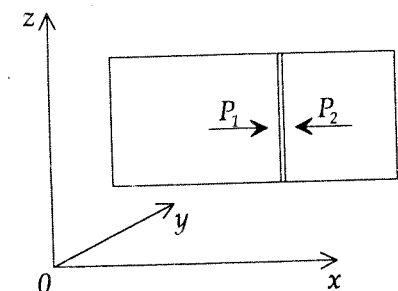


Fig. 6.6

Dacă și temperaturile sunt diferite, de exemplu, $T_1 > T_2$, atunci începe un proces de egalizare a temperaturilor, gazul mai rece se va încălzi și ca urmare se va dilata deplasând pistonul separator până ce se va realiza $P_1 = P_2$ și $T_1 = T_2$. Încălzirea unui gaz și răcirea celuilalt se realizează în urma schimbului de energie care are loc. Cum energia internă a unui gaz ideal este formată numai din energie cinetică, rezultă că cele două gaze schimbă între ele energie cinetică prin intermediul pistonului separator.

Viteza cu care se face schimbul de căldură depinde de natura materialului și de dimensiunile pistonului separator, dar rezultatul final este independent de aceste caracteristici. De aceea, putem idealiza problema considerând pistonul format dintr-o foaie subțire și perfect lucioasă (netedă) cu care moleculele gazului suferă ciocniri perfect elastice. Numărul ciocnirilor dintr-o parte și din cealaltă a pistonului, în medie se echilibrează, dar forțele ce acționează asupra pistonului în urma ciocnirilor nu se echilibrează în orice moment. Ca urmare, pistonul va executa o mișcare de vibrație dezordonată pe direcția paralelă cu axa cilindrului. În aceste condiții idealizate presupunem că pistonul este lovit dintr-o parte și din cealaltă, doar de către o singură moleculă. Dacă gazul este destul de rarefiat ciocnirea simultană a două molecule cu peretele este un eveniment atât de rar încât poate fi neglijat.

Să considerăm o moleculă din primul gaz care ciocnește pistonul. Înainte de ciocnire molecula are viteza v_{1x} iar pistonul de masă M are viteza u . După ciocnire, vitezele devin v'_{1x} și u' . Pistonul se poate mișca numai pe direcția x , iar moleculele se mișcă haotic, însă numai componenta pe direcția x a vitezelor intervine în considerentele noastre. Moleculele care se deplasează paralel cu suprafața pistonului nu contribuie la procesul de schimb de căldură deci nici componentele v_y și v_z ale unei molecule care lovește pistonul cu un anumit unghi, nu contribuie la schimbul de căldură.

Ciocnirea fiind perfect elastică, legile de conservare a impulsului și a energiei ne dau

$$m_1 v_{1x} + M u = m_1 v'_{1x} + M u'$$

$$(6.8) \quad \frac{m_1 v_{1x}^2}{2} + \frac{M u^2}{2} = \frac{m_1 v'^2_{1x}}{2} + \frac{M u'^2}{2}.$$

Din prima ecuație obținem

$$M u' = m_1 (v_{1x} - v'_{1x}) + M u \quad \text{sau}$$

$$M^2 u'^2 = m_1^2 (v_{1x} - v'_{1x})^2 + 2m_1 M (v_{1x} - v'_{1x}) u + M^2 u^2$$

și înlocuind în a doua, după câteva transformări avem

$$v'_{1x} = \frac{2M u - (M - m_1) v_{1x}}{M + m_1}$$

și energia cinetică a moleculei după ciocnire este

$$(6.9) \quad \frac{m_1 v'^2_{1x}}{2} = \frac{m_1}{2} \cdot \frac{4M^2 u^2 - 4M(M - m_1) u v_{1x} + (M - m_1)^2 v_{1x}^2}{(M + m_1)^2}.$$

O astfel de relație se poate scrie pentru fiecare moleculă a gazului care lovește pistonul. Dacă până la atingerea echilibrului termic macroscopic se efectuează N ciocniri vom scrie N relații și suma lor împărțită la N ne va da valoarea medie a energiei cinetice a moleculelor după ciocnire. Observăm că, în condițiile de echilibru, valoarea medie a vitezei pistonului este zero, deoarece el efectuează oscilații în jurul poziției de echilibru. Deci $\bar{u} \cdot v_{1x} = 0$ și rezultă:

$$(6.10) \quad \frac{m_1 \bar{v}_{1x}^2}{2} = \frac{m_1}{2} \cdot \frac{4M^2 \bar{u}^2 + (M - m_1)^2 \bar{v}_{1x}^2}{(M + m_1)^2}.$$

Odată stins echilibrul termic înseamnă că nu mai are loc schimb de căldură între cele două gaze. Dacă nu are loc un schimb de căldură înseamnă că energia lor internă rămâne aceeași. Cum energia internă a gazului este formată numai din energie cinetică de translație, la echilibru, aceasta va fi aceeași înainte și după ciocnire cu pistonul.

Deci

$$\begin{aligned} \frac{m_1 \bar{v}_{1x}^2}{2} &= \frac{m_1}{2} \bar{v}_{1x}^2 \\ \text{sau} \quad \bar{v}_{1x}^2 &= \frac{4M^2 \bar{u}^2 + (M - m_1)^2 \bar{v}_{1x}^2}{(M + m_1)^2} \\ (M + m_1)^2 \bar{v}_{1x}^2 &= (M - m_1)^2 \bar{v}_{1x}^2 + 4M^2 \bar{u}^2 \\ 4Mm_1 \bar{v}_{1x}^2 &= 4M^2 \bar{u}^2 \end{aligned}$$

de unde

$$(6.11) \quad \frac{m_1 \bar{v}_{1x}^2}{2} = \frac{M \bar{u}^2}{2}.$$

Calculul de mai sus se poate face și pentru gazul al doilea și se obține

$$(6.12) \quad \frac{m_2 \bar{v}_{2x}^2}{2} = \frac{M \bar{u}^2}{2},$$

ceea ce duce la concluzia că la echilibru termic, când cele două gaze au aceeași temperatură

$$\frac{m_1 \bar{v}_{1x}^2}{2} = \frac{m_1 \bar{v}_{2x}^2}{2}.$$

Un calcul analog se poate face și pentru direcțiile Oy și Oz obținând egalitățile

$$\frac{m_1 \bar{v}_{1y}^2}{2} = \frac{m_2 \bar{v}_{1y}^2}{2} \quad \text{și} \quad \frac{m_1 \bar{v}_{1z}^2}{2} = \frac{m_2 \bar{v}_{1z}^2}{2}$$

Sumând membru cu membru cele trei egalități obținem

$$(6.13) \quad \frac{1}{2}m_1\overline{v^2}_1 = \frac{1}{2}m_2\overline{v^2}_2$$

Deci în stare de echilibru termic, energia cinetică medie de translație a unei molecule este aceeași pentru toate moleculele independent de masa lor și de structura lor internă.

Aceste rezultate constituie încă o confirmare a valabilității relației între energia cinetică medie și temperatură. Relația demonstrează că energia cinetică medie corespunzătoare mișcării de translație nu depinde numai de masa particulei și este aceeași chiar și pentru corpuri macroscopice (pistonul separator) care se află în echilibru termic cu gazul sau alt sistem cu care este în contact. Stabilirea echilibrului termic se face printr-un schimb de energie cinetică, până când toate moleculele sau grupările de molecule au aceeași energie cinetică medie corespunzătoare mișcării de translație (de agitație termică).

Cele afirmate mai sus au fost dovedite și prin explicația cinetico-moleculară dată mișcării browniene. Firicelele de polen care se mișcă haotic în lichid sunt particule macroscopice în raport cu moleculele, dar energia lor cinetică medie este aceeași cu a moleculelor lichidului în care se află. Teoria fenomenului bazată pe aceste ipoteze a fost confirmată de experiențele lui J. Perrin. Dând presiunii și temperaturii o interpretare cinetică s-a putut stabili ecuația de stare a gazului ideal cu toate consecințele ce decurg din ea. În plus, pe baza ecuației fundamentale a teoriei cinetice se explică și alte legi ale gazelor.

a) Legea lui Avogadro, care afirmă că în aceleași condiții de presiune și temperatură în volume egale de gaze diferite există același număr de molecule, rezultă din relația (6.3) scrisă pentru două gaze diferite

$$(6.14) \quad \begin{aligned} PV_1 &= \frac{2}{3}N_1 \frac{m_1\overline{v^2}_1}{2} = N_1 kT \\ PV_2 &= \frac{2}{3}N_2 \frac{m_2\overline{v^2}_2}{2} = N_2 kT \end{aligned}$$

Dacă $V_1 = V_2$ rezultă și $N_1 = N_2$.

b) Legea presiunilor parțiale, a lui Dalton, rezultă din egalitatea energiei cinetice a două sau mai multe gaze aflate la aceeași temperatură

$$P_1 = \frac{2}{3} \frac{N_1 m_1 \overline{v^2}_1}{V} ; \quad P_2 = \frac{2}{3} \frac{N_2 m_2 \overline{v^2}_2}{V} ; \quad P_3 = \frac{2}{3} \frac{N_3 m_3 \overline{v^2}_3}{V}.$$

Suma presiunilor parțiale ne conduce la expresia presiunii totale de aceeași formă

$$P = P_1 + P_2 + P_3 = \frac{2}{3} \frac{1}{V} E_0 (N_1 + N_2 + N_3) \text{ sau}$$

$$(6.15) \quad P = \frac{2}{3} \frac{N}{V} E_0$$

$$\text{unde } N = N_1 + N_2 + N_3 \text{ și } E_0 = \frac{m_1 \overline{v^2}_1}{2} = \frac{m_2 \overline{v^2}_2}{2} = \frac{m_3 \overline{v^2}_3}{2}.$$

Urmărind cu consecvență aplicarea ecuației fundamentale a teoriei cinetico-molecularare, în cadrul modelului propus putem stabili și alte legi macroscopice ale gazelor ideale, cunoscute direct din experiență sau deduse din legile generale ale termodinamicii. De exemplu putem deduce ecuația lui Poisson care explică variația temperaturii gazului ideal supus unei transformări adiabatice.

6.3. Gazul ideal sub acțiunea unui câmp de forțe

Formula fundamentală a teoriei cinetice a gazelor, care ne dă expresia presiunii, a fost stabilită în absența acțiunii vreunei forțe exterioare asupra moleculelor gazului. Prezența câmpului gravitațional, de exemplu, face ca gazul din partea inferioară a vasului să fie supus acțiunii greutății gazului din partea superioară și ca urmare presiunea gazului să fie diferită în puncte situate la diferite înălțimi. Același lucru se produce și sub acțiunea unor forțe de altă natură.

6.3.1. Distribuția barometrică. Factorul lui Boltzmann

În cele ce urmează, pentru a stabili legea de variație a presiunii cu altitudinea, vom considera o coloană verticală de gaz ideal în echilibru termodinamic la temperatura T și supus acțiunii unui câmp potențial de forțe externe. Energia totală a unei molecule este dată de suma între energia ei cinetică și cea potențială

$$(6.16) \quad E = E_c + E_p = \frac{mv^2}{2} + mgh.$$

Asupra fiecărei molecule acționează forța $\vec{F} = -\text{grad } E_p$. În condiții de echilibru termodinamic forțele potențiale, care acționează asupra unui volum de gaz, sunt echilibrate de forțele de presiune care se exercită asupra pereților acestui volum. Pe direcția z , asupra moleculelor din volumul elementar $dx \cdot dy \cdot dz$ acționează forța $dF_{1z} = -n \cdot dx \cdot dy \cdot dz \frac{\partial E_p}{\partial z}$ în care

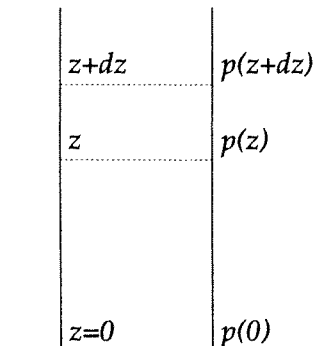


Fig. 6.7

n este numărul de molecule din unitatea de volum (concentrația). Dar, având în vedere că la o creștere a înălțimii cu dz corespunde o scădere a presiunii cu dp , în virtutea relației $p(z, dz) = p(z) - \frac{\partial p}{\partial z} \cdot dz$, diferența de presiune asupra fețelor cubului elementar, perpendicular pe direcția z și situate la distanța dz este $\frac{\partial p}{\partial z} dz$. Ca urmare va apărea o forță ce acționează asupra cubului elementar pe direcția axei z

$$(6.17) \quad dF_{zz} = -\left(\frac{\partial p}{\partial z}\right) dz \cdot dx dy.$$

La echilibru suma forțelor trebuie să fie zero, deci $dF_{xz} + dF_{yz} = 0$, sau

$$(6.18) \quad -n\left(\frac{\partial E_p}{\partial z}\right) dz - \left(\frac{\partial p}{\partial z}\right) dz = 0$$

și în final

$$(6.19) \quad \left(\frac{\partial p}{\partial z}\right) dz = -n\left(\frac{\partial E_p}{\partial z}\right) dz.$$

Relații asemănătoare se pot scrie și pe celelalte două direcții, x și y , care adunate membru cu membru conduc la

$$(6.20) \quad \left(\frac{\partial p}{\partial x}\right) dx + \left(\frac{\partial p}{\partial y}\right) dy + \left(\frac{\partial p}{\partial z}\right) dz = -n\left[\left(\frac{\partial E_p}{\partial x}\right) dx + \left(\frac{\partial E_p}{\partial y}\right) dy + \left(\frac{\partial E_p}{\partial z}\right) dz\right].$$

Adică $dp(x,y,z) = -n dE_p(x,y,z)$, unde am notat cu dp și dE_p diferențialele totale ale presiunii și energiei potențiale. Cu ajutorul relației $p = n kT$ sau $dp = kT dn$ obținem

$$\frac{dp}{p} = -\frac{n dE_p}{nkT}$$

sau

$$(6.21) \quad \frac{dn}{n} = -\frac{dE_p}{kT}.$$

Integrând această relație între punctele de coordonate (x_0, y_0, z_0) și (x, y, z) , pe o direcție oarecare, obținem

$$(6.22) \quad n(x, y, z) = n(x_0, y_0, z_0) e^{-[E_p(x, y, z) - E_p(x_0, y_0, z_0)]/kT}$$

Considerând că în punctul de coordonate (x_0, y_0, z_0) energia potențială este zero, rezultă *formula lui Boltzmann*

$$(6.23) \quad n = n_0 \cdot e^{-E_p/kT}$$

în care am notat: $n(x_0, y_0, z_0) = n_0$, $n(x, y, z) = n$ și $E_p(x, y, z) = E_p$. Cu această relație putem calcula fracțiunea n/n_0 de molecule, în echilibru termic la temperatură T , care au energia potențială E_p .

În cazul când nu cunoaștem concentrația moleculelor în nici un punct din sistem, dar cunoaștem numărul total de molecule N , atunci formula lui Boltzmann se scrie astfel

$$(6.24) \quad n(x, y, z) = A \cdot e^{-E_p(x, y, z)/kT}$$

iar constanta A se determină din condiția de normare (vezi § 7.2.4), adică prin integrarea expresiei $n(x, y, z) \cdot dx dy dz$ pe întreg volumul sistemului trebuie să obținem numărul total de molecule

$$\int_v n(x, y, z) dx \cdot dy \cdot dz = N = \int_v A \cdot e^{-E_p/kT} \cdot dx \cdot dy \cdot dz$$

De unde

$$(6.25) \quad A = \frac{N}{\int_v e^{-E_p(x, y, z)/kT} \cdot dx \cdot dy \cdot dz}$$

iar

$$(6.26) \quad n(x, y, z) = \frac{N e^{-E_p/kT}}{\int_v e^{-E_p/kT} \cdot dx \cdot dy \cdot dz}$$

În cazul când gazul ideal este supus unui câmp gravitațional omogen caracterizat prin accelerația g , energia potențială a unei molecule devine mgz , iar formula lui Boltzmann se scrie

$$(6.27) \quad n = n_0 \cdot e^{-mgz/kT}.$$

Aceasta ne permite să calculăm concentrația moleculelor la diferite înălțimi z în coloana de gaz ideal în echilibru termic la temperatură T .

Înmulțind ambii membri ai egalității (6.27) cu produsul kT obținem formula barometrică

$$(6.28) \quad p = p_0 e^{-mgz/kT} = p_0 \cdot e^{-\mu g z / RT}$$

cu care putem calcula presiunea gazului la diferite înălțimi z . Distribuția Boltzmann, prezentată în figura 6.8 este rezultatul acțiunii a doi factori: energia potențială și energia cinetică a moleculelor. Acest lucru se înțelege foarte bine dacă ne referim la cazurile limită: când energia cinetică este zero și când energia potențială este zero. În primul caz, anularea energiei cinetice, la $T=0$ K, înseamnă anularea exponentialei din relația (6.27) ceea ce ne spune că nici o moleculă nu se află la o înălțime $z > 0$, toate fiind la

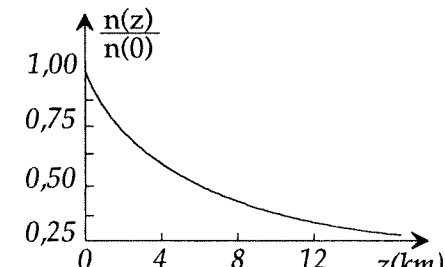


Fig. 6.8

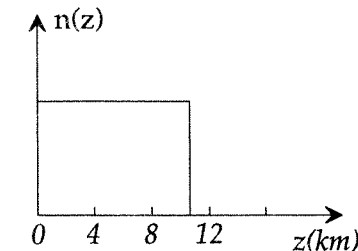


Fig. 6.9

înăltimea $z = 0$. În cazul al doilea, anularea energiei potențiale este echivalentă cu a considera $g = 0$, deci la orice înăltime moleculele au energia potențială egală cu zero. Probabilitatea de a găsi o moleculă într-un anumit volum elementar este aceeași în tot volumul și funcția $n(z)$ este o constantă. Schimbarea distribuției Boltzmann în distribuția uniformă din figura 6.9 (pentru un gaz în echilibru termic, având volumul V) s-a produs prin reducerea la unitate a factorului lui Boltzmann.

Factorul lui Boltzmann are o valabilitate mult mai generală, nu numai în cazul moleculelor distribuite în câmp gravitațional. Dacă în locul unei molecule dintr-un gaz în echilibru termic vom considera un subsistem (o particulă macroscopică formată din mai multe molecule) în echilibru termic cu un sistem cu care se află în contact, vom ajunge la același rezultat. Exemplul cel mai cunoscut este fenomenul de mișcare browniană în care particulele de polen sau din alt material, sunt grupări relativ mari de molecule în echilibru termic cu lichidul în care se află. Dacă acest sistem este supus unui câmp gravitațional, particulele în suspensie se distribuie în înăltime conform legii de distribuție a lui Boltzmann. Verificarea a fost făcută de J. Perrin, care a reușit să măsoare pe această cale numărul lui Avogadro, obținând valori concordante cu cele obținute pe alte căi.

Distribuția Boltzmann conduce la concluzia că moleculele unui gaz în echilibru termic nu pot avea toate aceeași viteză. De fapt noi am făcut această ipoteză când am introdus viteza pătratică medie. Să presupunem că o coloană de gaz ideal, ale cărui molecule nu se ciocnesc între ele, se află în echilibru termic la temperatura T și este supusă acțiunii unui câmp gravitațional caracterizat prin accelerarea g . Prin ciocnire cu suprafața de la baza coloanei, moleculele capătă o viteză cu componenta v_z orientată pe verticală în sus. Valoarea ei este $\frac{mv_z^2}{2} = \frac{kT}{2}$ în care T este temperatura suprafeței cu care s-au ciocnit, iar v_z are aceeași valoare pentru toate moleculele. În această ipoteză moleculele se vor ridica până la înăltimea z_{\max} dată de egalitatea $mgz_{\max} = \frac{mv_z^2}{2}$ de unde rezultă

$$(6.29) \quad z_{\max} = \frac{v_z^2}{2g} = \frac{kT}{2mg} = \frac{RT}{2\mu g}.$$

Considerând $T = 300$ K și $\mu = 30$ obținem $z_{\max} \approx 4,1$ km, adică la înăltimi mai mari de 4,1 km nu ar exista molecule. Concluzia este contrazisă de experiență. Dacă toate moleculele ar avea aceeași componentă v_z a vitezei după ciocnirea cu baza coloanei, pe măsură ce se ridică, energia lor cinetică se transformă în energie potențială și ca urmare temperatura gazului ar trebui să scadă cu aproximativ 75 K/km atingând temperatură 0 K la 4,1 km. Își această concluzie este greșită, fiind în contradicție cu ipoteza echilibrului termic. Contradicțiile dispar dacă admitem că moleculele au viteze diferite, cele mai rapide ajungând la înăltimi mai mari.

O metodă de stabilire a legii de distribuție a moleculelor după viteze va fi prezentată în paragrafele următoare. Pentru aceasta este suficient să punem condiția ca, la temperatură constantă, distribuția vitezelor să fie astfel încât la orice înăltime moleculele să aibă aceeași viteză pătratică medie. Ipoteza inițială privind lipsa ciocnirilor între molecule nu schimbă cu nimic valabilitatea concluziilor noastre. Prin ciocnirea moleculelor se realizează doar un schimb de impuls, dar nu se schimbă distribuția vitezelor. De asemenea, introducerea componentelor v_x și v_y ale vitezelor nu modifică cu nimic situația deoarece, aşa cum a presupus Maxwell, distribuția moleculelor după o componentă a vitezelor este independentă de distribuția după celelalte componente. Boltzmann a confirmat corectitudinea rezultatelor obținute de Maxwell pe baza acestei ipoteze.

6.3.2. Confirmarea experimentală a distribuției Boltzmann. Experimentele lui J. Perrin

Între anii 1908-1911, J. Perrin (1870-1942) a efectuat un sir de experiențe pentru măsurarea numărului lui Avogadro (sau a constantei lui Boltzmann) bazându-se pe relația lui Boltzmann (6.27) care exprimă variația cu înăltimea numărului de particule din unitatea de volum a unui gaz în echilibru termodinamic și supus unui câmp gravitațional constant și uniform. Măsurările nu se pot efectua asupra unei coloane de aer atmosferic deoarece nu este în echilibru termic și în plus nu se pot număra moleculele din unitatea de volum.

Perrin a observat că particulele mici, dar observabile la microscop, cu densitatea puțin diferită de a lichidului în care sunt în suspensie, pe lângă faptul că execută mișcarea browniană ele se distribuie în înăltime în același mod ca și moleculele unui gaz, deci după o lege de forma (6.27). Pentru a verifica și cantitativ această observație, Perrin a preparat emulsii (două lichide nemiscibile dintre care unul formează picături în celălalt), conținând particule aproape sférici și de dimensiuni aproape identice.

Asupra particulelor în emulsie acționează, ca și asupra moleculelor gazului, pe de o parte agitația termică, iar pe de altă parte forța gravitațională. În plus apare forța arhimedică opusă forței gravitaționale. Dacă masa particulei este m și densitatea substanței din care provine (gumă sau mastic) este ρ , iar densitatea lichidului, respectiv a apei este ρ_a , forța care acționează asupra particulei este

$$(6.30) \quad mg - m_a g = mg \left(1 - \frac{m_a}{m} \right) = mg \left(1 - \frac{\rho_a}{\rho} \right).$$

Deci formula lui Boltzmann devine

$$(6.31) \quad n(z) = n(0) \cdot \exp \left[- \frac{mg \left(1 - \frac{\rho_a}{\rho} \right) z}{KT} \right]$$

Cu toate că acționează și o forță arhimedecă, particulele în suspensie se vor distribui în înălțime pe o distanță foarte mică (zecimi de milimetri) doarece au masa relativ mare și densitatea mai mare decât a lichidului în care se află. Pentru a determina numărul de particule la diferite înălțimi, Perrin a introdus emulsia într-o cuvă cu înălțimea de ordinul zecimilor de milimetru și cu un microscop cu profunzimea mică (care permite observarea clară a obiectelor situate într-un strat foarte îngust, câțiva microni, perpendicular pe direcția de observare) a numărat particule din câmpul vizual al microscopului la diferite înălțimi, determinate chiar de surubul micrometric al microscopului. Măsurarea densității lichidului (a apei) și a temperaturii T nu constituie probleme dificile, încât dacă am cunoaște masa particulei și densitatea ei am putea calcula constanta lui Boltzmann din rel. (6.31), după ce am numărat pe $n(z)$ la două înălțimi z_1 și z_2 separate prin distanța cunoscută $z = z_2 - z_1$

$$(6.32) \quad \frac{n(z_1)}{n(z_2)} = \exp \left[-\frac{mg \left(1 - \frac{\rho_a}{\rho} \right)}{kT} (z_1 - z_2) \right].$$

Pentru a determina densitatea și masa particulelor în suspensie, Perrin a utilizat mai multe metode, comparând rezultatele. Densitatea particulelor poate fi măsurată prin măsurarea densității substanței din care sunt constituite, dar Perrin a măsurat-o și făcând unele măsurători chiar asupra emulsiei studiate. A determinat masa unui volum bine delimitat de emulsie și apoi evaporând apa a evaluat, prin cântărire, masa tuturor particulelor din acel volum de emulsie și astfel a reușit să determine densitatea particulelor.

Determinarea volumului (a razei) particulelor considerate sferice a constituit de asemenea o problemă dificilă. În primul rând, pentru a obține particule cu aceleași dimensiuni, Perrin a preparat mari cantități de emulsie din care prin centrifugare a separat o cantitate foarte mică (căteva picături) în care s-a asigurat că particulele au aceleași dimensiuni. Diame-trul particulelor poate fi apreciat și prin observarea la microscop a unui sir liniar de particule a cărui lungime măsurată la microscop, se împarte la numărul moleculelor din sir. Altă metodă se bazează pe faptul că o particulă sferică, în emulsie, cade cu o viteza constantă v , din cauza viscozității lichidului. O sferă de rază r , căzând cu viteza v într-un lichid al cărui coeficient de viscozitate este η este supusă unei forțe de frecare opusă mișcării și datează de relația lui Stokes:

$$(6.33) \quad F_f = 6\pi\eta \cdot r \cdot v.$$

Asupra sferei mai acționează și greutatea G minus forța arhimedecă F_a , rezultanta fiind dirijată în jos:

$$(6.34) \quad \frac{4\pi r^3}{3}\rho g - \frac{4\pi r^3}{3}\rho_a g - 6\pi\eta rv = 0.$$

Forța de frecare crește mereu pe măsură ce crește viteza v a particulei sferice și îi frânează mișcarea până când rezultanta tuturor forțelor ce acționează asupra particulei se anulează, iar particula cade cu viteza constantă v .

$$(6.35) \quad v = \frac{2r^2g(\rho - \rho_a)}{g\eta}.$$

Măsurând viteza de cădere a particulei sferice, Perrin a reușit să determine raza particulei

$$(6.36) \quad r = \sqrt{\frac{g\eta v}{2g(\rho - \rho_a)}}.$$

Astfel s-a calculat masa particulei și din relația (6.32) valoarea constantei lui Boltzmann

$$(6.37) \quad k = \frac{m \left(1 - \frac{\rho_a}{\rho} \right) g (z_2 - z_1)}{T [\ln n(z_1) - \ln n(z_2)]},$$

iar cu ajutorul constantei universale a gazelor R , se calculează numărul lui Avogadro.

În urma unui mare număr de experiențe Perrin a ajuns la câteva concluzii importante care constituie o strălucită confirmare a teoriei cinetico-moleculară privind structura substanței. El constată că particulele se distribuie în înălțime după legea (6.31), variația temperaturii având efectul prevăzut de această lege. Valoarea lui k , deci și a lui N_A , este în concordanță cu valorile obținute prin alte metode și nu depinde de temperatură, de mărimea sau densitatea particulelor, de viscozitatea și densitatea lichidului în care sunt în suspensie.

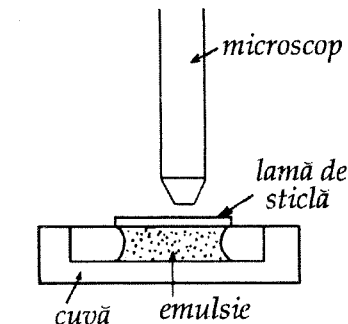


Fig.6.10

6.4. Distribuția moleculelor după viteze

Moleculele unui gaz, chiar când este în echilibru termodinamic, se află într-o continuă mișcare dezordonată, schimbându-și mereu poziția și viteza. Temperatura gazului fiind constantă și viteza termică va rămâne constantă. În aceste condiții, nu are sens să ne propunem să determinăm precis viteza și poziția unei molecule la un moment dat ci, numai probabilitatea ca o molecule să aibă o anumită viteză sau o anumită poziție. Aceasta înseamnă să utilizăm metoda statistică. Evident, această metodă se folosește în orice împrejurare când trebuie să facem o apreciere globală asupra unui fenomen rezultat al unui număr mare de evenimente. Legile statistice care guvernează un ansamblu format dintr-un număr mare de

elemente (atomi, molecule etc.) nu sunt determinate de comportarea elementelor individuale ci de prezența numărului foarte mare de elemente.

6.4.1. Probabilități. Valori medii. Funcții de distribuție

Legile fizicii statistice nu ne dau informații "riguros exacte", cum ne dau legile mecanicii, ci numai probabilitatea ca un anume eveniment să aibă loc. Utilizarea acestor noțiuni ne sugerează că fizica statistică va utiliza și legile calculului probabilităților. Ca exemplu ilustrator pentru fixarea regulilor ce intervin în calculul probabilităților se poate alege aruncarea zarului perfect cubic, sau a monedei perfect simetrice. Aruncând odată o monedă, probabilitatea de a cădea pe o anumită față este de $1/2$, dar aruncând moneda de două ori nu mai suntem siguri că moneda va cădea o dată pe o față și a doua oară pe cealaltă față. În schimb dacă aruncăm moneda de 1000 de ori, sau dacă aruncăm simultan 1000 de monede, se va obține cu foarte bună precizie de 500 de ori o față a monedei și de 500 de ori cealaltă față. Deci putem spune că probabilitatea de a cădea moneda pe o anumită față este

$\frac{500}{1000} = \frac{1}{2}$. Încât, putem defini probabilitatea ca un anume experiment să aibă loc, prin raportul numărului n de apariții ale acelui eveniment și numărul total N de încercări, când numărul de încercări este suficient de mare.

$$(6.38) \quad \mathcal{P} = \lim_{N \rightarrow \infty} \frac{n}{N}.$$

Rezultă că $0 \leq \mathcal{P} \leq 1$, iar probabilitatea ca acel eveniment să nu aibă loc este $\frac{N-n}{N} = 1-\mathcal{P}$.

Să presupunem că aruncăm de un număr mare de ori o pereche de monede sau de zaruri. Comportarea unei monede nu este influențată de comportarea celeilalte. Deci evenimentele întâmplătoare, apariția unei anumite fețe a monedei A sau B, sunt evenimente întâmplătoare independente. Prin urmare probabilitatea de a obține o anumită față pentru ambele monede va fi dată de produsul probabilităților independente $\frac{1}{2} \cdot \frac{1}{2} = \frac{1}{4}$. Dacă aruncăm N monede, probabilitatea de a cădea toate pe aceeași față este $\left(\frac{1}{2}\right)^N$. Aceasta este *regula de înmulțire a probabilităților independente*.

În cazul aruncării zarului, probabilitatea de a cădea pe o anumită față este $1/6$. Care este probabilitatea de a cădea fie pe față "cinci" fie pe față "șase"? Această probabilitate va fi dată de suma probabilităților: $\frac{1}{6} + \frac{1}{6} = \frac{2}{6}$. În cazul unei monede, probabilitatea de a cădea fie pe o față fie pe cealaltă este o certitudine: $\frac{1}{2} + \frac{1}{2} = 1$. Pentru un zar probabilitatea de a cădea pe una, oarecare din cele 6 fețe este de asemenea o certitudine.

Dacă evenimentul întâmplător (aleator) este caracterizat printr-o mărime fizică ce ia o anumită valoare, acea mărime fizică se numește *variabilă aleatorie*. De exemplu, măsurând înălțimea celor N persoane dintr-un anumit colectiv constatăm că N_1 au înălțimea h_1 , N_2 au înălțimea h_2 etc. Înălțimea medie se calculează făcând media statistică,

$$(6.39) \quad \bar{h} = \frac{N_1 h_1 + N_2 h_2 + \dots + N_k h_k}{N}$$

unde $N_1 + N_2 + \dots + N_k = N$.

Dacă numărul N este foarte mare putem utiliza calculul probabilităților, scriind pe \bar{h} sub forma:

$$(6.40) \quad \bar{h} = \mathcal{P}_1 h_1 + \mathcal{P}_2 h_2 + \dots + \mathcal{P}_k h_k$$

în care am introdus probabilitățile conform definiției. Deci valoarea medie a lui h se va exprima prin suma:

$$(6.41) \quad \bar{h} = \sum \mathcal{P}_i h_i.$$

Dacă dorim să știm mai mult decât valoarea medie a înălțimii persoanelor din colectivitatea studiată trebuie să analizăm distribuția persoanelor după înălțime. În același mod se pune problema distribuției moleculelor unui gaz după viteza. Ne propunem să aflăm numărul de molecule ΔN care au viteza între v și $v + \Delta v$. Acest număr va fi proporțional cu intervalul Δv

$$\Delta N = \text{const. } \Delta v,$$

dar constanta de proporționalitate este dependentă de viteza. Pentru același interval de viteza Δv numărul de molecule va fi foarte mic la viteze mici și la viteze mari, intuitiv apreciind că există puține molecule cu viteze foarte mici sau foarte mari. Deci

$$\Delta N = f(v) \cdot \Delta v.$$

În plus, este evident că numărul de molecule cu viteza între v și $v + \Delta v$ va fi cu atât mai mare cu cât numărul total de molecule este mai mare. Astfel,

$$(6.42) \quad \Delta N = N \cdot f(v) \cdot \Delta v,$$

pe care scriind-o sub forma

$$(6.43) \quad \frac{\Delta N}{N} = f(v) \cdot \Delta v$$

exprimăm probabilitatea ca o moleculă să aibă viteze între v și $v + \Delta v$. Funcția $f(v)$ se numește *funcție de distribuție* sau *densitate de probabilitate*, deoarece

$$f(v) = \frac{\Delta N}{N} \quad \text{pentru } \Delta v = 1.$$

Trecând la limită, pentru intervale mici de viteză, în care se află totuși un număr mare de molecule, putem scrie relația (6.43) sub forma

$$(6.44) \quad \frac{dN}{N} = f(v) \cdot dv$$

putându-i-se aplica regulile calculului diferențial.

Pe baza acestei relații și a definiției (6.41), valoarea medie a vitezei moleculelor se poate calcula nu prin însumare ci prin integrare.

Principala problemă a fizicii statistice este determinarea formei explicită a funcției de distribuție, care trebuie să îndeplinească condiția de normare: adică probabilitatea ca o moleculă să aibă viteza cuprinsă între zero și infinit este o certitudine

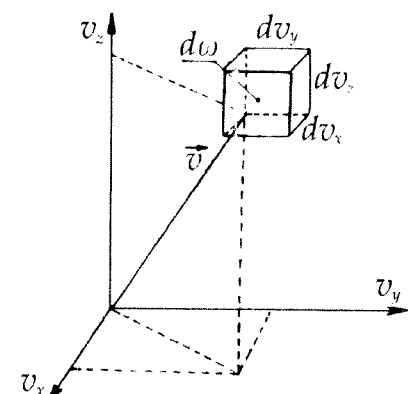
$$(6.45) \quad \int_0^{\infty} \frac{dN}{N} = \int_0^{\infty} f(v)dv = 1.$$

6.4.2. Distribuția moleculelor după o componentă a vitezei

Am văzut că distribuția barometrică și alte fapte experimentale ne conduc la ipoteza că moleculele unui gaz în echilibru termic au viteze diferite. Numărul mare de molecule în unitatea de volum ne permite utilizarea metodelor statistice sau cunoștințelor noastre de teoria probabilităților. Ne propunem deci să aflăm *probabilitatea ca o moleculă să aibă componenta vitezei pe Ox cuprinsă în intervalul v_x și $v_x + dv_x$* . Dacă se cunoaște funcția de distribuție sau densitatea de probabilitate $f(v_x)$, această probabilitate se exprimă prin

$$(6.46) \quad \frac{dN}{N} = f(v_x) \cdot dv_x$$

Fig. 6.11



Forma explicită a funcției de distribuție $f(v_x)$ a fost stabilită prin mai multe metode, mai mult sau mai puțin riguroase. Noi vom urma calea menționată la sfîrșitul paragrafului 6.31, căutând o funcție $f(v_z)$ care să fie compatibilă cu distribuția barometrică într-o coloană de gaz în echilibru termic. Pentru simplificare vom lua în considerare numai mișcarea moleculelor pe direcția verticală Oz și vom neglija ciocnirile între molecule. O moleculă care părăsește planul $z = 0$ cu viteza v_{zo} va urca până la înălțimea

$$z = \frac{v_{zo}^2}{2g}$$

atingând planul $z = 0$ și în urma unei ciocniri elastice se va ridica din nou la aceeași înălțime. Dacă toate moleculele gazului ar părăsi planul $z=0$ cu aceeași viteza v_{zo} densitatea gazului ar deveni zero deasupra înălțimii $z = \frac{v_{zo}^2}{2g}$. În aceleași condiții temperatura gazului ar scădea liniar cu înălțimea atingând 0 K la înălțimea $z = \frac{v_{zo}^2}{2g}$ unde moleculele au viteza zero. Aceste concluzii fiind în contradicție cu experiența, rezultă că moleculele părăsesc planul $z=0$ cu viteze diferite.

Să notăm cu $f(v_{zo}) \cdot dv_{zo}$ probabilitatea ca o moleculă din planul $z=0$ să aibă componenta vitezei pe axa z cuprinsă între v_{zo} și $v_{zo} + dv_{zo}$.

Numărul de molecule din unitatea de volum, care au viteza în acest interval este $dn = n(0) \cdot f(v_{zo})dv_{zo}$. Numărul de molecule care părăsesc *unitatea de suprafață* din planul $z=0$, în *unitatea de timp* și având viteza cuprinsă între v_{zo} și $v_{zo} + dv_{zo}$ este:

$$(6.47) \quad dN = dn \cdot v_{zo} = n(0)f(v_{zo}) \cdot v_{zo} \cdot dv_{zo}$$

în care $n(0)$ este numărul de particule din unitatea de volum la nivelul $z=0$, iar v_{zo} reprezintă spațiul parcurs în unitatea de timp.

Acest grup de molecule se va ridica până la înălțimile cuprinse între $z = \frac{v_{zo}^2}{2g}$ și $z + dz = \frac{(v_{zo} + dv_{zo})^2}{2g}$. Deci, dintre toate moleculele care pleacă de jos, din planul $z=0$, unele vor depăși planul $z+dz$, unele nu vor ajunge nici la planul z , iar altele, numărul dN , vor depăși planul z și se vor întoarce înainte de a atinge planul $z+dz$. Diferența dintre numărul de molecule care traversează (în sus) unitatea de arie a planului z în unitatea de timp și numărul de molecule care traversează (tot în sus) unitatea de arie a

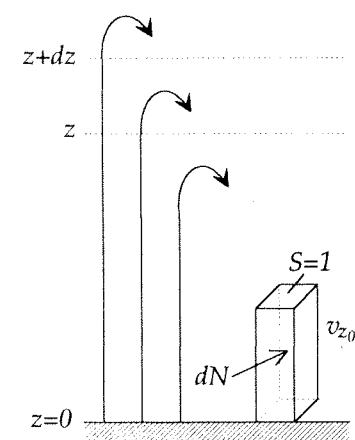


Fig. 6.12

planului $z+dz$ în unitatea de timp ne dă numărul de molecule care se ridică până la înălțimile cuprinse între planele z și $z+dz$, adică tocmai numărul dN , pe care îl vom evalua acum pe această cale.

În unitatea de timp, unitatea de arie a planului z este traversată în sus de $n(z) \cdot \bar{v}_z(z)$ molecule, în care am notat cu $n(z)$ numărul de molecule din unitatea de volum la înălțimea z și cu $\bar{v}_z(z)$ o viteza medie (determinată de temperatură) a moleculelor la nivelul aceluiasi plan z . Numărul de molecule care în unitatea de timp traversează unitatea de arie a planului $z+dz$ este, în mod analog $n(z+dz) \cdot \bar{v}_z(z+dz)$. Dar viteza medie este determinată de temperatură și temperatura este aceeași pe toată înălțimea coloanei de gaz considerată în echilibru termic. Rezultă că viteza medie nu depinde de z , adică

$$\bar{v}_z(z+dz) = \bar{v}_z(z) = \bar{v}_z.$$

Astfel numărul de molecule care în unitatea de timp traversează unitatea de arie a planului z , dar nu ating planul $z+dz$ este:

$$(6.48) \quad dN = [n(z) - n(z+dz)] \cdot \bar{v}_z.$$

Observăm că în paranteză avem diferențială, cu semn schimbăt, a funcției $n(z)$. Utilizând relația (6.27) obținem forma explicită a diferențialei

$$(6.49) \quad dn(z) = -n(0) \frac{mg}{kT} \cdot \exp\left(-\frac{mgz}{kT}\right) dz$$

și prin înlocuire, relația (6.48) devine

$$(6.50) \quad dN = n(0) \cdot \frac{mg}{kT} \cdot \bar{v}_z \cdot \exp\left(-\frac{mgz}{kT}\right) dz.$$

Această relație exprimă același număr de molecule ca și relația (6.47), adică numărul de molecule care, în planul $z=0$, au viteza cuprinsă între v_{zo} și $v_{zo} + dv_{zo}$. Prin egalarea lor rezultă

$$(6.51) \quad n(0) \cdot f(v_{zo}) \cdot v_{zo} \cdot dv_{zo} = n(0) \frac{mg}{kT} \cdot \bar{v}_z \cdot \exp\left(-\frac{mgz}{kT}\right) dz.$$

Din legea conservării energiei, $mgz = mv_{zo}^2/2$ și $mg \cdot dz = mv_{zo} dv_{zo}$ ceea ce ne permite reducerea relației (6.51) la forma:

$$(6.52) \quad f(v_{zo}) = \frac{m\bar{v}_z}{kT} \exp\left(-\frac{mv_{zo}^2}{2kT}\right).$$

Astfel am obținut forma explicită a *densității de probabilitate sau a funcției de distribuție* $f(v_{zo})$ pe care o căutam. Singura mărime nedefinită precis cuprinsă în expresia funcției de distribuție $f(v_{zo})$ este viteza medie \bar{v}_z . Noi am introdus-o doar ca mărime determinată numai de temperatura gazului, fără a preciza relația concretă între viteza medie v_z și temperatură.

Determinarea constantei din fața exponentialei se face punând condiția de normare. O moleculă oarecare are cu siguranță viteza v_z cuprinsă între $-\infty$ și $+\infty$, deci probabilitatea de a avea viteza în acest interval este egală cu 1,

$$(6.53) \quad \int_{-\infty}^{+\infty} f(v_{zo}) dv_{zo} = \int_{-\infty}^{+\infty} \frac{m\bar{v}_z}{kT} \cdot e^{-mv_{zo}^2/2kT} \cdot dv_{zo} = 1$$

La temperatură constantă și v_z este o mărime constantă, deci integrala devine (vezi anexa 1):

$$\frac{m\bar{v}_z}{kT} \left(\frac{2\pi kT}{m} \right)^{1/2} = 1,$$

ceea ce ne permite să calculăm valoarea lui \bar{v}_z , dar aceasta nu ne interesează, încât explicităm întreaga constantă din expresia funcției de distribuție

$$\frac{m\bar{v}_z}{kT} = \left(\frac{m}{2\pi kT} \right)^{1/2}$$

și astfel probabilitatea ca o moleculă să aibă viteza cuprinsă între v_{zo} și $v_{zo} + dv_{zo}$ este

$$(6.54) \quad f(v_{zo}) \cdot dv_{zo} = \left(\frac{m}{2\pi kT} \right)^{1/2} \cdot e^{-mv_{zo}^2/2kT} \cdot dv_{zo}.$$

Condițiile inițiale simplificatoare nu limitează generalitatea rezultatului. Ciocnirile între molecule, pe care le-am neglijat, nu modifică distribuția vitezelor. În urma ciocnirilor a două molecule de mase egale se produce doar un schimb de viteze, ca și cum cele două molecule și-ar schimba locul. De aceea cu toate că expresia obținută pentru funcția de distribuție se referă la planul $z=0$, ea este valabilă la orice înălțime z .

Vitezele moleculare fiind distribuite teoretic între $v_z = 0$ și $v_z = \infty$, putem explica atât faptul că atmosfera nu se termină brusc la o anumită înălțime cât și mecanismul prin care temperatura gazului rămâne aceeași la orice înălțime. Moleculele care ajung foarte sus pierd energie cinetică, temperatura scade, dar acestea sunt moleculele care au plecat de jos cu energia cinetică cea mai mare. În schimb jos rămân moleculele cu energie cinetică mică. Moleculele care au urcat, la coborâre câștigă energie cinetică și prin aceasta compensează lipsa de energie cinetică a moleculelor de jos. Astfel se realizează echilibrul termic.

6.4.3. Distribuția Maxwell. Viteze medii

În paragraful anterior am stabilit funcția de distribuție a moleculelor după componentele vitezelor pe direcția Oz. Această relație s-a dedus ne luând în considerație mișcarea moleculelor în planul xOy, paralel cu suprafața pământului. Prin aceasta nu am restrâns valabilitatea rezultatului, fapt dovedit de concordanța cu experiența (vezi §6.4.4.). De fapt, una dintre

ipotezele de bază utilizate de Maxwell în demonstrarea legii de distribuție este tocmai presupunerea că vitezele moleculare au o distribuție independentă a componentelor lor pe cele trei direcții. Deci distribuția componentelor vitezelor pe direcția Oz este independentă de distribuția componentelor vitezelor pe direcția Ox și de distribuția pe direcția Oy. În consecință, dacă orientarea câmpului gravitațional ar fi pe direcția Ox sau pe direcția Oy, am găsi expresii asemănătoare. Pentru cele trei direcții putem scrie:

$$(6.55) \quad \begin{aligned} f(v_x)dv_x &= \left(\frac{m}{2\pi kT} \right)^{1/2} \cdot e^{-mv_x^2/2kT} \cdot dv_x \\ f(v_y)dv_y &= \left(\frac{m}{2\pi kT} \right)^{1/2} \cdot e^{-mv_y^2/2kT} \cdot dv_y \\ f(v_z)dv_z &= \left(\frac{m}{2\pi kT} \right)^{1/2} \cdot e^{-mv_z^2/2kT} \cdot dv_z. \end{aligned}$$

Reprezentarea grafică a acestei funcții este dată de figura 6.13. Curba prezintă un maxim pentru $v_x = 0$ și tinde la zero pentru $v_x \rightarrow \pm\infty$. Probabilitatea ca o moleculă să aibă viteza cuprinsă între v_x și $v_x + dv_x$, adică

$$\frac{dN}{N} = f(v_x) \cdot dv_x$$

este reprezentată prin aria hașurată cuprinsă între v_x și $v_x + dv_x$. În acest sens funcția $f(v_x)$ are semnificația unei densități unidimensionale de probabilitate.

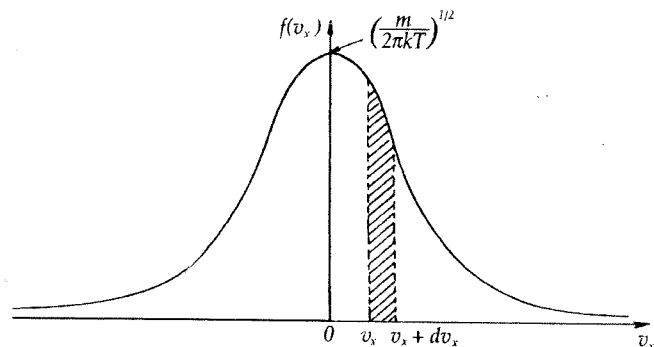


Fig. 6.13

Dacă dorim să aflăm probabilitatea ca o moleculă să aibă extremitatea vectorului viteză în interiorul "volumului" $d\omega = dv_x dv_y dv_z$ (fig. 6.11) trebuie să scriem probabilitatea ca aceeași moleculă să aibă simultan componentele vitezei în intervalele $v_x, v_x + dv_x; v_y, v_y + dv_y$ și $v_z, v_z + dv_z$. Aceste probabilități fiind independente, conform ipotezei lui Maxwell, probabilitatea ca o moleculă să aibă extremitatea vectorului viteză în "volumul" $d\omega$ va fi dată de produsul lor:

$$(6.56) \quad \begin{aligned} f(v_x)dv_x \cdot f(v_y)dv_y \cdot f(v_z)dv_z &= F(v_x, v_y, v_z)dv_x dv_y dv_z = \\ &= \left(\frac{m}{2\pi kT} \right)^{3/2} \cdot e^{-mv^2/2kT} \cdot dv_x dv_y dv_z. \end{aligned}$$

Dacă dorim să aflăm probabilitatea ca o moleculă să aibă viteza cuprinsă între v și $v+dv$, indiferent de orientarea vitezei, înseamnă că nu trebuie să mai luăm în seamă componentele vitezei. În spațiul vitezelor am reprezentat prin puncte situate în volumul elementar $dv_x dv_y dv_z$ toate moleculele care au vitezele cuprinse între v_x și $v_x + dv_x$, v_y și $v_y + dv_y$, v_z și $v_z + dv_z$. Aceste puncte constituie extremitățile vectorilor \vec{v} , ca "vectori de poziție" în spațiul vitezelor. Dacă luăm în considerație toți vectorii de poziție cu modulul cuprins între v și $v + dv$ indiferent de orientare, extremitățile lor se vor afla într-o pătură sferică delimitată de razele v și $v + dv$. Deci volumul elementar $d\omega = dv_x dv_y dv_z$ trebuie înlocuit cu volumul elementar al păturii sferice

$$d\omega = S \cdot dv = 4\pi v^2 \cdot dv,$$

Prin această înlocuire funcția de distribuție devine:

$$(6.57) \quad f(v) \cdot dv = 4\pi \left(\frac{m}{2\pi kT} \right)^{3/2} \cdot v^2 \cdot e^{-mv^2/2kT} \cdot dv$$

și exprimă probabilitatea ca o moleculă să aibă modulul vitezei cuprins între v și $v+dv$. Aceasta este *funcția de distribuție* a lui Maxwell. Este ușor de verificat că

$$(6.58) \quad \int_0^\infty f(v)dv = 1$$

ceea ce constituie *condiția de normare*. Probabilitatea ca o moleculă oarecare să aibă viteza cuprinsă între 0 și $+\infty$ este o certitudine. Numărul de molecule dN , din numărul total N (dintr-un volum oarecare sau din unitatea de volum), care au viteza cuprinsă între v și $v+dv$ este

$$dN = 4\pi N \cdot \left(\frac{m}{2\pi kT} \right)^{3/2} v^2 \cdot e^{-mv^2/2kT} \cdot dv$$

Reprezentarea grafică a funcției $f(v)$ este dată în figura (6.15). Această reprezentare se obține obișnuit căutând extremele prin anularea derivatei, ceea ce conduce la trei valori ale vitezei $v_1=0$; $v_2=\infty$ și $v_3=\frac{2kT}{m}$. Anularea derivatei de ordinul doi a funcției $f(v)$ în raport cu v , ne spune că pentru

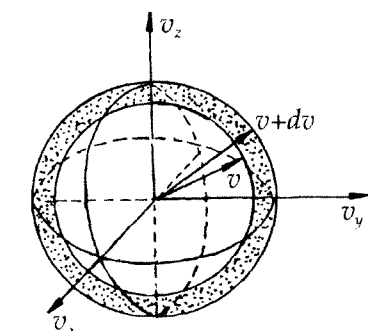


Fig. 6.14

$v=v_3$ funcția are valoarea maximă, iar pentru $v=v_1$ și $v=v_2$ funcția se anulează. Viteza pentru care funcția de distribuție are valoarea maximă se numește viteza cea mai probabilă și se notează cu v_p :

$$(6.59) \quad v_p = \sqrt{\frac{2kT}{m}}$$

și reprezintă viteza pe care o au cele mai multe molecule. Valoarea acestei viteze crește cu temperatura după cum se vede din relația (6.59) și din deplasarea maximului curbei din figura 6.15.

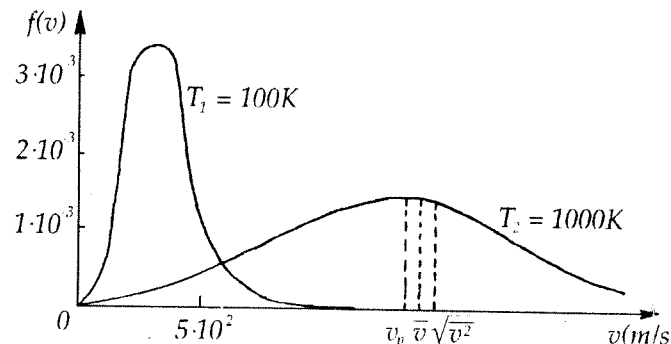


Fig. 6.15

Viteza medie \bar{v} se calculează, conform definiției, cu ajutorul relației (6.41)

$$(6.60) \quad \bar{v} = \sum \mathcal{P} \cdot v \quad \text{sau} \quad \bar{v} = \int_0^\infty v \cdot f(v) \cdot dv = 4\pi \left(\frac{m}{2\pi kT} \right)^{3/2} v^{3/2} \cdot e^{-mv^2/2kT} \cdot dv$$

care integrată cu ajutorul integralelor din anexa 1 conduce la

$$(6.61) \quad \bar{v} = \sqrt{\frac{8kT}{\pi m}} = 1.128 \cdot v_p.$$

Viteza medie este cu aproximativ 13% mai mare decât viteza cea mai probabilă și are aceeași dependență de temperatură și de masa moleculei.

Utilizând aceeași metodă de calcul, regăsim expresia vitezei pătratice medii \bar{v}^2 :

$$(6.62) \quad \bar{v}^2 = \int_0^\infty v^2 \cdot f(v) \cdot dv = 4\pi \left(\frac{m}{2\pi kT} \right)^{3/2} \int_0^\infty v^4 \cdot e^{-mv^2/2kT} \cdot dv$$

și

$$(6.63) \quad v_T = \sqrt{\bar{v}^2} = \sqrt{\frac{3kT}{m}} = 1.225 \cdot v_p,$$

ceea ce ne spune că viteza termică este cu aproximativ 22% mai mare decât viteza cea mai probabilă.

Uneori este mai utilă forma redusă a funcției de distribuție, care se obține introducând viteza redusă, u , definită prin

$$(6.64) \quad u = \frac{v}{v_p} = \sqrt{\frac{mv^2}{2kT}}.$$

Cu aceste notări, funcția de distribuție (6.57) devine

$$(6.65) \quad \frac{dN}{N} = f(u) \cdot du = \frac{4}{\sqrt{\pi}} \cdot e^{-u^2} \cdot u^2 \cdot du$$

Deoarece u^2 reprezintă pătratul raportului dintre energia cinetică și produsul kT , funcția de distribuție sub formă redusă redă distribuția moleculelor având orice masă și orice temperatură, reprezentată printr-o singură curbă. Este interesant de observat că maximul funcției de distribuție în forma redusă se obține când energia cinetică a moleculelor este egală cu energia caracteristică kT .

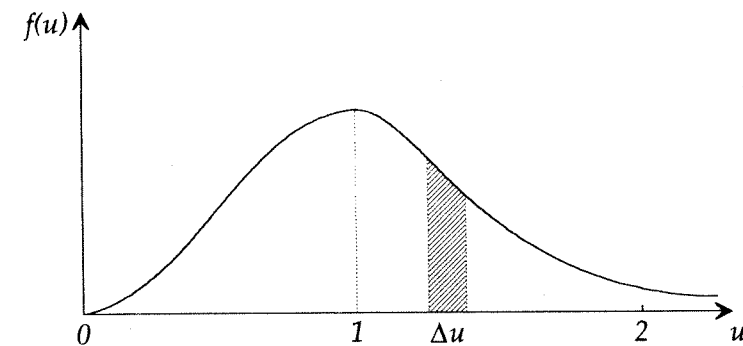


Fig. 6.16

6.4.4. Confirmarea experimentală a legii de distribuție a moleculelor după viteze

Legea lui Maxwell de distribuție a vitezelor poate fi considerată ca o lege experimentală ce se verifică prin experiențe directe sau indirecte. În prezent există un număr mare de date experimentale care confirmă direct sau indirect valabilitatea legii lui Maxwell. Unele semne de întrebare cu privire la domeniul de valabilitate a legii lui Maxwell au apărut din cauza neconcordanței dintre teoria clasnică a căldurilor specifice și rezultatele experimentale. Ca urmare s-au efectuat un sir de experiențe din ce în ce mai perfectionate care au confirmat legea distribuției lui Maxwell.

a) Condițiile pentru verificarea experimentală a legii de distribuție a vitezelor, dată de Maxwell, s-au creat prin dezvoltarea și perfecționarea tehnicii fasciculelor moleculare. Pe baza acestor tehnici s-au imaginat mai

multe metode de studiu a distribuției vitezelor moleculare, dintre care deja cunoaștem experiențele lui O. Stern. Rezultatele lui dă posibilitatea cunoașterii relației între viteză și temperatură și indică, doar calitativ, existența unei distribuții a vitezelor.

b) Legea lui Maxwell de distribuție a vitezelor pentru gazele atomice și moleculare a fost verificată de J.A. Eldrige (1927) și Lamert (1929) utilizând un selector de viteze care este analog cu cel folosit de Fizeau (1819-1895) pentru măsurarea vitezei luminii.

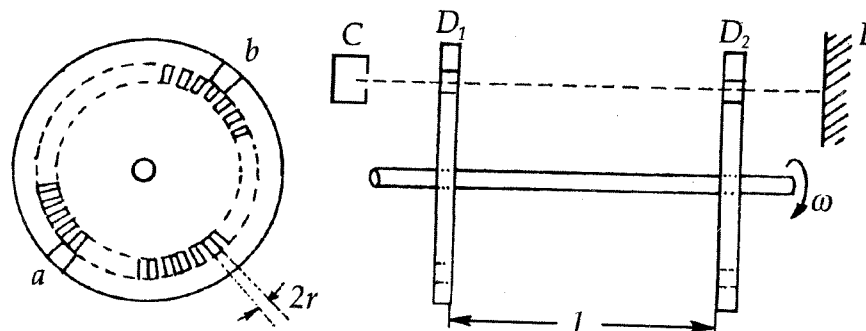


Fig. 6.17

Lamert a folosit vaporii de mercur obținuți într-un cuptor încălzit la 100°C, din care ies printr-o deschidere îngustă. În tot spațiul din interiorul cuptorului temperatura este de 100°C, deoarece numărul de molecule care ies din cuptor este foarte mic, formând un fascicul îngust care se propagă în vid de la cuptorul C până la ecranul E. În drum întâlneste selectorul de viteze format din două discuri D_1 și D_2 fixate pe același ax, paralel cu fascicul atomic. Pe fiecare disc există câte 50 de fante radiale. Discul D_2 este fixat pe ax și rotit cu un unghi δ față de discul D_1 . O moleculă care trece printr-o fanta a primului disc, având viteza v , va ajunge la celălalt disc în timpul $t = l/v$, necesar pentru a parcurge distanța dintre două discuri. Dacă viteza de rotație a discului este ω rad/s, fascicul va întâlni o fanta pe discul D_2 dacă $\delta = \omega t = \omega \frac{l}{v}$. Dar, dacă deschiderea unghiulară a fiecărei fante este 2γ , prin ambele discuri vor trece moleculele cu viteza cuprinsă între $v_1 = \frac{\omega l}{\delta + \gamma}$ și $v_2 = \frac{\omega l}{\delta - \gamma}$ în timp ce toate celelalte molecule vor fi opriate. Prin modificarea vitezei unghiulare ω de rotație a discurilor se pot selecta diferite intervale de viteză. În marginea discurilor sunt practicate două orificii a și b cu deschiderea unghiulară egală cu a tuturor fantelor împreună și fiind atât de largi încât să treacă toate moleculele indiferent de viteza lor. Ambele fascicule, selectat și neselectat, cad pe ecranul răcit E, unde condensează formând un strat vizibil într-un timp dat. Într-o experiență, $l = 6$ cm,

$\delta = 4,18^\circ$, $2\gamma = 1/100$ rad, $\frac{\omega}{2\pi} = 70$ rot/sec, încât au fost selectate moleculele cu vitezele între 340 și 390 m/s. Fasciculul neselectat a produs un depozit abia vizibil în 4 min 40s, iar fasciculul selectat în 51 min 45s. Deci 9,0% din molecule aveau viteza în acest interval. Figura completă este dată în grafic (fig. 6.18). Neajunsul principal al acestei metode constă în faptul că același fascicul molecular poate fi selectat și cu viteza unghiulară 2ω , 3ω , 4ω , ... Miller și Kussch (1955) au evitat acest neajuns înlocuind cele două discuri cu un cilindru pe care au trasat canale înguste formând unghiuri mici cu generatoarea cilindrului.

Experiențele lui Eldrige cu vaporii de cadmiu, ale lui Lamert cu vaporii de Hg, ale lui Miller și Kussch cu vaporii de K și Th și cele ale lui Zartmann cu vaporii de Bi au dovedit concordanța cu distribuția lui Maxwell pentru gaze și vaporii metalici.

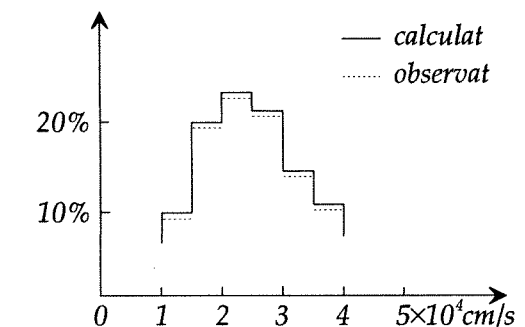


Fig. 6.18

6.5. Teoria cinetică a căldurilor specifice

Am amintit în paragraful 6.4.4. că neconcordanța între teoria clasică a căldurilor specifice (molare) și rezultatele experimentale a ridicat unele semne de întrebare privind validitatea legii de distribuție a lui Maxwell, ceea ce a determinat verificările experimentale directe. În acest paragraf vom prezenta pe scurt teoria cinetică a căldurilor specifice, evidențiind cauzele neconcordanțelor amintite.

6.5.1. Echipartiția energiei pe grade de libertate

În paragraful 6.2.2. am arătat că admînd mișcarea haotică a moleculelor ajungem la concluzia că vitezele pătratice medii pe cele trei direcții sunt egale între ele; $\overline{v_x^2} = \overline{v_y^2} = \overline{v_z^2}$ (rel. 6.2.), fapt confirmat prin măsurarea presiunii pe suprafețele perpendiculare pe cele trei direcții. De aici rezultă că și energia cinetică medie a moleculelor are aceeași valoare pentru mișcarea pe cele trei direcții

$$(6.66) \quad \frac{1}{2}mv_x^2 = \frac{1}{2}mv_y^2 = \frac{1}{2}mv_z^2 = \frac{1}{2}kT$$

ultima egalitate rezultând din relația (6.4). Aceasta ne spune că *energia cinetică medie de translație se distribuie în mod egal pe cele trei moduri de mișcare a moleculelor, cu alte cuvinte pe cele trei grade de libertate a moleculelor*. Din cele de mai sus reiese că numărul gradelor de libertate este dat de numărul coordonatelor care fixează poziția moleculei în spațiu. Pentru o moleculă monoatomică, considerată punct material, sunt suficiente 3 coordinate. Dar o moleculă cu mai mulți atomi poate executa și o mișcare de rotație, poziția ei în spațiu fiind determinată de cele 3 coordinate ale centrului de masă și încă 3 coordinate, 3 unghiuri, care îi fixează poziția în raport cu cele trei axe în jurul căror se poate roti. Energia cinetică de rotație se exprimă, de asemenea, prin suma unor termeni pătratici

$$(6.67) \quad \frac{1}{2}I_x\omega_x^2 + \frac{1}{2}I_y\omega_y^2 + \frac{1}{2}I_z\omega_z^2,$$

în care am notat cu I_x , I_y și I_z momentele de inerție în raport cu cele trei axe și cu ω_x , ω_y și ω_z componentele vitezei unghiulare. Dar, în general, o moleculă formată din doi sau mai mulți atomi nu este rigidă, distanța dintre atomi putând să varieze. În acest caz în expresia energiei moleculei trebuie să includem și termenii pătratici corespunzători energiei cinetice și potențiale de vibrație. Reprezentând moleculă ca un oscilator armonic linear (pe direcția Ox) acești termeni au expresiile

$$(6.68) \quad \frac{1}{2}mv_x^2 + \frac{1}{2}\alpha x^2$$

unde α este constanta cvasielastică ($f = -\alpha x$).

În cazul oscilatorului liniar apare o abatere de la regula de mai sus. Pentru a fixa poziția unui punct material care oscilează în jurul unei poziții de echilibru este suficientă o singură coordonată, deci oscilatorul liniar ar avea un singur grad de libertate. Dar energia cinetică a oscilatorului se transformă progresiv în energie potențială, și energia potențială în energie cinetică. Cum *energia cinetică medie* pe un grad de libertate este $\frac{1}{2}kT$, iar *energia potențială medie* este egală cu energia cinetică medie a oscilatorului, rezultă că *energia totală medie* a oscilatorului este egală cu suma dintre energia cinetică și energia potențială, adică $\frac{1}{2}kT + \frac{1}{2}kT = kT$.

Principiul echipartiției energiei medii pe grade de libertate, (care afirmă că pentru un sistem în echilibru la temperatura T , energia lui medie este dată de produsul dintre numărul gradelor de libertate și mărimea $\frac{1}{2}kT$), poate fi demonstrat plecând de la legea de distribuție a moleculelor după energii. Calculând valoarea medie a oricărui termen pătratic independent din expresia energiei se constată că aceasta este $\frac{1}{2}kT$. Deci, în expresia energiei oscilatorului liniar fiind prezenți doi termeni pătratici, energia cinetică și energia potențială, rezultă că energia medie a oscilatorului este kT .

6.5.2. Căldura specifică (molară) a gazelor

Rezultatele experimentale, obținute cu metodele descrise în capitolul 2 și prezentate în tabelul 6.1. atrag atenția prin valorile aproape identice ale căldurii molare la volum constant pentru gazele ale căror molecule conțin același număr de atomi. Ca urmare, pentru a calcula căldura molară a unui gaz vom fi obligați să luăm în considerare structura moleculelor, care nu mai pot fi considerate puncte materiale. Având în vedere relația termodinamică $C_v = \frac{dU}{dT}$ trebuie să evaluăm, în primul rând, energia internă a gazului.

TABELUL 6.1.

Căldura molară la volum constant pentru diferite gaze, la temperatura camerei

Gazul (simbolul)	$C_v (J \cdot mol^{-1} K^{-1})$
He	12,45
Ne	12,60
Ar	12,45
H_2	20,44
N_2	20,73
O_2	21,02
Cl_2	25,70
CO_2	28,40
SO_2	31,00

Dacă energia medie a unei molecule o notăm cu \bar{E} , energia internă a unui mol de gaz este

$$(6.69) \quad U = N_A \cdot \bar{E} = N_A \cdot \frac{1}{2}kT = \frac{1}{2}RT$$

considerând că molecula are i grade de libertate. Moleculele unui gaz monoatomic pot fi considerate puncte materiale, deci având numai 3 grade de libertate. Astfel

$$(6.70) \quad C_v = \frac{3}{2}R = 12,5 J \cdot mol^{-1} K^{-1}.$$

După cum se vede din tabelul 6.1, concordanța cu datele experimentale este suficient de bună.

Pentru gazele biatomice, ca să obținem o concordanță multumitoare cu datele experimentale, trebuie să luăm în considerare și rotația moleculelor în jurul axelor Ox și Oz (fig.6.19), dar nu și în jurul axei Oy . Deci având 3

grade de libertate de translație a centrului de masă și 2 grade de libertate de rotație, energia internă pentru un mol este $U = \frac{5}{2}RT$, iar căldura molară la volum constant $C_v = \frac{5}{2}R \approx 20 \frac{\text{J}}{\text{mol} \cdot \text{K}}$.

În acest caz concordanța cu datele experimentale din tabelul 6.1 nu mai este atât de bună, după cum se vede mai ales pentru clor. Rezultatul ar fi fost mai aproape de cel experimental dacă am fi luat în considerare și rotirea în jurul axei Oy (3 grade de libertate de rotație), dar n-am fi fost consecvenți, căci în cazul moleculelor monoatomice nu am luat în considerare rotirea unui atom în jurul unei axe ce trece prin centrul lui. Neconcordanța rezultatului teoretic cu cel experimental, în cazul clorului de exemplu, ne atrage atenția că numărul gradelor de libertate excitate nu este totdeauna egal cu numărul gradelor de libertate posibile, conform structurii moleculare.

Teoria cuantică arată că pentru a imprima o mișcare de rotație unui atom de heliu ar trebui să i se transmită o energie de $\sim 10 \text{ eV}$, iar în cazul unui atom de mercur, $\sim 0,1 \text{ eV}$. Energia de agitație termică, la temperatura camerei, este de ordinul $kT \approx \frac{1}{40} \text{ eV}$, deci insuficientă pentru a imprima o mișcare de rotație moleculelor monoatomice. Astfel explicăm și absența rotației moleculelor biatomice în jurul axei ce unește cele două atomi. Discordanța dintre teorie și experiență în cazul clorului ne spune că la temperatura camerei numărul gradelor de libertate excitate nu este același pentru toate moleculele, rezultând pentru căldura molară la volum constant o valoare intermedieră, între 20 și $29 \frac{\text{J}}{\text{mol} \cdot \text{K}}$.

Faptul că numărul gradelor de libertate depinde de temperatură se vede foarte bine din valorile căldurii molare măsurate pentru hidrogen (Tabelul 6.2). Figura 6.20 ilustrează faptul că pe măsură ce temperatura crește, hidrogenul gaz biatomic trece de la 3 grade de libertate la 5 și chiar mai multe. La 35 K se comportă ca un gaz monoatomic, iar la 290 K ca un gaz biatomic. La temperaturi foarte înalte (3000 K) hidrogenul disociază.

TABELUL 6.2
Căldura molară a hidrogenului la diferite temperaturi

T(K)	35	100	290	600	800	1000	1200	1600	1800
$C_v \left(\frac{\text{J}}{\text{mol} \cdot \text{K}} \right)$	12,45	12,95	20,48	21,23	21,81	22,40	22,94	24,07	24,74

Analiza de mai sus arată atât succesul cât și limitele teoremei echipartiției energiei pe grade de libertate. Pentru a o pune în acord cu constatărilor experimentale trebuie să o formulăm un pic diferit, conținând și referiri la cuantificarea energiei. Într-un sistem în echilibru termic la temperatura T , fiecare grad de libertate este excitat și contribuie cu $1/2 kT$ la energia totală, dacă valoarea produsului kT este mare în comparație cu saltul de energie (a cărui existență este dovedită în mecanica cuantică).

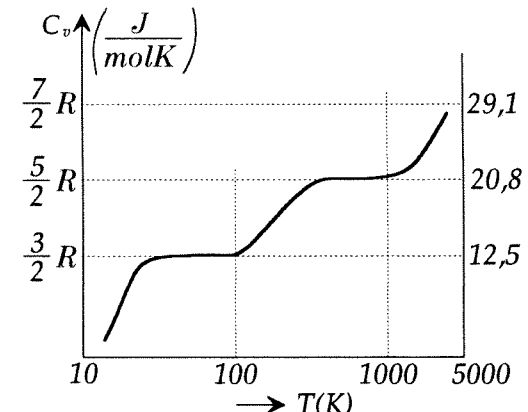


Fig. 6.20

CAPITOLUL 7

ELEMENTE DE FIZICĂ STATISTICĂ

Marea varietate a proprietăților corpurilor din natură este determinată, în primul rând, de aranjarea atomilor, de mișcarea și interacțiunile lor. Numărul speciilor de atomi (109) este extrem de mic față de nesfârșita varietate a corpurilor. Deci, pentru a explica proprietățile corpurilor macroscopice trebuie să studiem, în primul rând, structura lor atomică. Aceasta presupune să cunoaștem un număr enorm de parametri; în special pozițiile și vitezele tuturor atomilor sau moleculelor constitutive. Plecând de la aceste date, cu ajutorul legilor mecanicii vom putea afla pozițiile și vitezele lor în orice moment ulterior. Chiar dacă am putea utiliza această metodă tot n-am obține prea multe informații despre caracteristicile macroscopice ale sistemului studiat. Fizica statistică permite stabilirea unor relații între caracteristicile macroscopice (termodinamice) și cele microscopice (moleculare). Obiectivul principal al fizicii statistice este să stabilească legile de comportare macroscopică a corpurilor pe baza cunoașterii legilor care guvernează mișcarea individuală a particulelor constitutive.

Cunoașterea stării microscopice implică, într-un anume fel, cunoașterea stării macroscopice, dar reciproca nu este adevărată. Fiind dată starea macroscopică prin valoarea parametrilor macroscopici (de ex. p, V, T) nu sunt determinate valorile parametrilor microscopici pentru fiecare particulă din sistem. Există o largă varietate de stări microscopice compatibile cu o stare macroscopică dată. Repetând un experiment în aceleași condiții (de exemplu cristalizarea unei substanțe) realizăm aceeași stare macroscopică, dar starea microscopică este mereu diferită, realizându-se de fiecare dată una din stările posibile. Ca urmare, din punct de vedere atomic nu putem aborda studiul proprietăților sistemului pornind de la o anumită microstare bine determinată ci trebuie să luăm în considerare totalitatea microstărilor posibile, deși într-un experiment dat se realizează numai una. Astfel se ajunge la noțiunea de *colectiv* sau *ansamblu de stări*, adică *totalitatea stărilor microscopice compatibile cu anumite condiții macroscopice*, acest număr de stări se mai numește și *pondere termodinamică*. Ansamblul de stări este virtual deoarece există doar posibilitatea ca oricare dintre aceste stări să fie efectiv realizate în condițiile de experiență (macroscopice) date.

Mecanica statistică studiază ansamblurile virtuale, alcătuite din stările sistemelor mecanice, și evoluția în timp a acestor ansambluri. Un ansamblu este complet definit dacă se dă structura mecanică a sistemului (natura particulelor și a forțelor care se exercită asupra lor) precum și condițiile exterioare impuse sistemului. Analogia cu jocurile de noroc evidențiază caracterul aleator¹ (întâmplător) al realizării uneia sau alteia dintre microstăriile compatibile cu o macrostare dată. Regula jocului constituie analogul condițiilor macroscopice în care se desfășoară un anumit experiment, ea determinând în mod univoc rezultatul jocului. Sunt posibile, în principiu, mai multe rezultate. Rezultatul jocului este un fenomen aleatoriu. Cu studiul fenomenelor aleatorii se ocupă calculul probabilităților, iar mecanica statistică folosește noțiunile fundamentale și rezultatele calculului probabilităților.

7.1. Noțiuni de calculul probabilităților

Metoda statistică de studiu a sistemelor macroscopice fiind foarte generală presupune cunoștințe din alte domenii ale fizicii ca termodinamica, teoria cinetico-moleculară, fizică atomică, mecanică, teoria cuantelor și noțiuni de calculul probabilităților. O parte din aceste cunoștințe strict necesare au fost expuse în capitolele anterioare, iar altele vor fi prezentate sumar în paragrafele următoare. Mai întâi să ne amintim câteva elemente de calculul probabilităților.

Termenul "probabil" sau "probabilitate" este utilizat frecvent și în limbajul cotidian. Nu ezităm să spunem despre un eveniment (ce urmează să aibă loc) că este puțin probabil sau că este foarte probabil să (aibă loc) se petreacă. Chiar mai mult, în cazul aruncării unui zar putem face previziuni de felul următor. Probabilitatea ca în 10 aruncări succesive să cadă "șase" de 2 ori este mult mai mare decât probabilitatea ca în trei aruncări consecutive să se obțină "șase" de două ori. Tacit am admis că zarul este un cub perfect, adică probabilitatea de a cădea pe oricare din cele sase fețe este aceeași. Un alt exemplu cu ajutorul căruia se pot fixa principalele reguli ce intervin în calculul probabilităților este și extragerea bilelor colorate, dar identice, dintr-o urnă.

Să admitem că urna conține n_1 bile de culoare 1, n_2 bile de culoarea 2, etc., în total fiind N culori, iar bilele diferind între ele numai prin culoare. Bila extrasă se introduce din nou în urnă, pentru ca extragerea următoare să se facă în aceleași condiții. În felul acesta am fixat condițiile experimentului precizând compoziția conținutului urnei și regula de extragere. Deci, extragând o bilă, aceasta poate avea una din cele N culori diferite, adică

alea (l.latină) = zar

sunt posibile N rezultate diferite. Fiecare rezultat se numește un *eveniment*, iar totalitatea acestor rezultate constituie un *colectiv* sau un *ansamblu*.

Să presupunem că repetăm operația de extragere de v ori, exact în aceleași condiții. În cele v extrageri se va obține de v_1 ori culoarea 1, de v_2 ori culoarea 2, etc. Operația de înregistrare a acestor numere se numește *efectuarea unei statistică a rezultatelor*. Numărul v_i se numește *frecvență absolută* de apariție a rezultatului cu numărul i. Raportul $\frac{v_i}{v}$ se numește *frecvență relativă* de apariție a aceluiși eveniment. Având în vedere definițiile, este evident că

$$(7.1) \quad v_1 + v_2 + \dots + v_N = v \quad și \quad \frac{v_1}{v} + \frac{v_2}{v} + \dots + \frac{v_N}{v} = 1$$

și observăm că $0 \leq \frac{v_i}{v} \leq 1$.

Să ne imaginăm acum că repetăm sirul de experimente, efectuând v^9 extrageri pentru primul sir, v^{99} extrageri pentru al doilea, v^{999} pentru al treilea, etc. Ca rezultat se vor înregistra statisticile: $v_1^9, v_2^9, v_3^9, \dots, v_N^9$ pentru primul sir, $v_1^{99}, v_2^{99}, \dots, v_N^{99}$ pentru al doilea, $v_1^{999}, v_2^{999}, \dots, v_N^{999}$ pentru al treilea, etc. Dacă $v^9, v^{99}, v^{999}, \dots$ sunt suficient de mari se constată că frecvențele relative de apariție a unui eveniment, în diferite siruri de experimente, nu diferă mult între ele. Adică

$$(7.2) \quad \frac{v_1^9}{v^9} \approx \frac{v_1^{99}}{v^{99}} \approx \frac{v_1^{999}}{v^{999}} ; \quad \frac{v_2^9}{v^9} \approx \frac{v_2^{99}}{v^{99}} \approx \frac{v_2^{999}}{v^{999}} ; \quad \text{etc.}$$

Deci, pentru numere mari de experimente, se constată o *stabilitate a frecvențelor relative*. Această caracteristică fundamentală permite aplicarea calculului probabilităților la fenomenele naturii. *Numai ansamblurilor pentru care această stabilitate este realizată li se pot aplica metodele calculului probabilităților*. Pe baza acestei constatări se poate enunța primul postulat al calculului probabilităților. Există un sistem de numere $P_1, P_2, P_3, \dots, P_N$, perfect determinat de structura sistemului considerat și de condițiile de experiență, astfel încât dacă se repetă experimentul de un număr mare v de ori, frecvența relativă $\frac{v_i}{v}$ de apariție a evenimentului cu numărul i nu diferă mult de P_i ($P_i \approx \frac{v_i}{v}$). Cu alte cuvinte putem defini probabilitatea P_i de apariție a evenimentului cu numărul i, ca limita la care tinde raportul dintre numărul v_i de cazuri favorabile (de apariție a evenimentului i) și numărul total v de încercări, când acesta din urmă tinde la infinit

$$(7.3) \quad P_i = \lim_{v \rightarrow \infty} \frac{v_i}{v}.$$

Având în vedere relațiile între frecvențele relative, rezultă că

$$(7.4) \quad 0 \leq P_i \leq 1 \quad și \quad P_1 + P_2 + \dots + P_N = 1$$

ultima egalitate reprezentând *condiția de normare*.

Dacă o mărime fizică ia valori depinzând de un eveniment întâmplător, care apare ca rezultat al unui experiment, acea mărime se numește *variabilă aleatorie*. Dacă există N evenimente ca rezultate posibile ale experimentului, atunci variabila aleatorie x poate lua una din valorile x_1, x_2, \dots, x_N , adică mărimea x va lua de v_1 ori valoarea x_1 , de v_2 ori valoarea x_2 , etc. *Valoarea medie* luată de mărimea x în sirul de experimente este dată de expresia

$$\bar{x} = \frac{v_1 x_1 + v_2 x_2 + \dots + v_N x_N}{v} = \frac{v_1}{v} x_1 + \frac{v_2}{v} x_2 + \dots + \frac{v_N}{v} x_N.$$

Având în vedere definiția probabilității, dată mai sus, putem scrie

$$(7.5) \quad \bar{x} = P_1 x_1 + P_2 x_2 + \dots + P_N x_N.$$

Acest număr, numit *valoare medie statistică*, este perfect determinat de structura sistemului și de condițiile experimentului dat.

Nu toate evenimentele aleatorii sunt simple. Există și *evenimente complexe*. Să presupunem că valorile x_1, x_2, x_3 sunt egale între ele și le notăm cu $x' = x_1 = x_2 = x_3$. În acest caz media statistică a lui x se scrie

$$(7.6) \quad x = (P_1 + P_2 + P_3)x' + P_4x_4 + \dots + P_N x_N.$$

Aceasta înseamnă că probabilitatea ca mărimea x să ia valoarea x' , adică x_1 sau x_2 sau x_3 , este suma probabilităților de a lua fiecare valoare separat; $P' = P_1 + P_2 + P_3$. Aceasta este *legea de adunare a probabilităților*.

Dacă două, sau mai multe, evenimente sunt *independente* (de exemplu apariția unei anumite cifre la aruncarea a două zaruri) atunci probabilitatea coincidenței a două, sau mai multe, evenimente este egală cu *produsul probabilităților* de apariție a fiecărui dintre ele. Afirmația devine evidentă dacă ne referim la aruncarea a două zaruri identice independente. Probabilitatea ca un zar să cadă cu față "patru" este $\frac{1}{6}$, iar probabilitatea ca și al doilea să cadă cu față "patru" este din nou $\frac{1}{6}$. Deci probabilitatea ca ambele zaruri să cadă cu aceeași față în sus este $P = P_1 \cdot P_2 = \frac{1}{6} \cdot \frac{1}{6}$.

Pentru analiza unor rezultate experimentale este util, uneori, să se calculeze diferențele dintre valorile unei variabile aleatorii și valoarea ei medie

$$\Delta x_1 = x_1 - \bar{x} ; \quad \Delta x_2 = x_2 - \bar{x} ; \quad \dots ; \quad \Delta x_N = x_N - \bar{x}.$$

Această mărime Δx se numește *abaterea* mărimii x de la valoarea ei medie. Observăm că valoarea medie a abaterii se anulează

$$(7.7) \quad \bar{\Delta x} = \overline{(x - \bar{x})} = \bar{x} - \bar{x} = 0.$$

Mai importantă este valoarea medie a pătratului abaterii, cantitate care se numește *abatere pătratică medie* și o definim prin rel. (7.5)

$$(7.8) \quad \overline{(\Delta x)^2} = \sum_{i=1}^N P_i (\Delta x_i)^2 = \sum_{i=1}^N P_i (x_i - \bar{x})^2 = \sum_{i=1}^N P_i (x_i^2 - 2x_i \bar{x} + \bar{x}^2) = \\ = \sum_{i=1}^N P_i x_i^2 - 2\bar{x} \sum_i P_i x_i + \bar{x}^2 \sum_i P_i = \bar{x}^2 - 2\bar{x} \cdot \bar{x} + \bar{x}^2 = \bar{x}^2 - \bar{x}^2.$$

Prima expresie a lui $\overline{(\Delta x)^2}$ ne arată că este o mărime prin definiție pozitivă, $\overline{(\Delta x)^2} \geq 0$. *Dispersia*, $\overline{(\Delta x)^2}$, se poate anula numai când toate valorile lui x sunt egale cu \bar{x} . De aceea dispersia constituie o măsură convenabilă a împrăștierii valorilor lui x . Uneori se utilizează (pentru că are dimensiunile unei lungimi) rădăcina pătrată a dispersiei, adică mărimea $\Delta x = \sqrt{\overline{(\Delta x)^2}}$ numită *abatere standard*. Aceste noțiuni sunt frecvent utilizate în prelucrarea datelor experimentale, în cadrul erorilor întâmplătoare.

7.2. Distribuția Maxwell - Boltzmann

După cum am menționat în introducerea la acest capitol, pentru studiul statistic al unui ansamblu acesta trebuie definit prin precizarea structurii lui mecanice; natura particulelor și a forțelor ce se exercită asupra lor. În primul rând trebuie să facem distincție între sistemele formate din particule independente (gaz ideal) și cele formate din particule ce interacționează (gaze reale și celealte stări de agregare). Ne limităm, pentru început, la studiul sistemelor formate din *particule independente* precizând mai în detaliu particularitățile acestora.

Dacă presupunem particulele identice și cu toate acestea discernabile (le putem deosebi unele de altele), fără a lăua în considerare alte caracteristici (de ex.nr. cuantic de spin) vom stabili legea de distribuție Maxwell - Boltzmann. Dacă particulele identice sunt indiscernabile și au numărul cuantic de spin zero sau un număr întreg, se ajunge la distribuția Bose - Einstein. Dacă particulele identice sunt indiscernabile, dar au numărul cuantic de spin semiîntreg, se ajunge la distribuția Fermi - Dirac.

În cele ce urmează vom prezenta o metodă de stabilire a legii de distribuție Maxwell - Boltzmann, pornind de la ideea discernabilității particulelor identice, cu toate că această ipoteză a lui Boltzmann conduce la unele contradicții observate pentru prima dată de Gibbs.

7.2.1. Numărul de microstări compatibil cu o macrostare dată

Ne propunem să studiem un sistem format din N particule identice, dar discernabile. Presupunem că se cunosc pozițiile și impulsurile (vitezele) inițiale ale tuturor celor N particule (molecule) ce formează sistemul. Dacă

fiecare molecule are f grade de libertate (translație, rotație, interne), starea ei va fi determinată prin f coordonate generalizate, q_1, q_2, \dots, q_f (în cazul punctelor materiale numai 3) și f impulsuri conjugate $p_1, p_2, p_3, \dots, p_f$. Starea fiecărei molecule poate fi reprezentată printr-un punct într-un spațiu cu $2f$ dimensiuni. Acest spațiu $2f$ -dimensional se numește spațiul mic al fazelor sau spațiul μ . O microstare a sistemului va fi reprezentată în spațiul μ printr-un ansamblu (un roi) de N puncte reprezentative.

Moleculele fiind independente (nu interacționează între ele), înseamnă că fiecare are o energie bine determinată. Energia mecanică totală a fiecărei molecule este determinată de coordonate (energia potențială) și de impulsuri (energia cinetică). Deci moleculele care vor fi reprezentate în spațiul μ prin puncte situate în "volumul elementar" $dq_1, dq_2, \dots, dq_f, dp_1, dp_2, \dots, dp_f$ (în particular $dx, dy, dz, dp_x, dp_y, dp_z$) situat în jurul punctului de coordonate $q_1, q_2, \dots, q_f, p_1, p_2, \dots, p_f$ vor avea energie cuprinsă în intervalul dintre ϵ și $\epsilon + d\epsilon$. Alegerea acestui "volum elementar" din spațiul mic al fazelor (spațiul μ) se face având în vedere două condiții contradictorii: trebuie să fie destul de mic pentru a putea considera că oricărui punct reprezentativ din acest volum îi corespunde cu o bună aproximare energia ϵ , și să fie destul de mare pentru a cuprinde un număr mare de puncte reprezentative, ca să putem utiliza metoda statistică. De aici rezultă că spațiul μ va fi împărțit în celule inegale.

Dacă sistemul considerat este format din N molecule, atunci în celula nr.1 se vor afla N_1 puncte reprezentative ale moleculelor având fiecare energie ϵ_1 , în celula nr.2 se vor afla N_2 puncte reprezentând N_2 molecule, fiecare cu energie ϵ_2 , etc. Această repartizare a celor N puncte reprezentative în celule de energie constantă trebuie să satisfacă două condiții: a) sistemul fiind considerat complet izolat, numărul de particule trebuie să rămână constant

$$(7.9) \quad N = N_1 + N_2 + \dots = \text{constant},$$

b) moleculele neinteracționând între ele, energia sistemului se evaluatează prin

$$(7.10) \quad E = N_1 \epsilon_1 + N_2 \epsilon_2 + \dots = \text{constant}$$

și este constantă în virtutea izolării complete a sistemului.

Problema fundamentală a fizicii statistice constă în stabilirea modului cum se distribuie moleculele după energii. Cu alte cuvinte, cum se distribuie cele N puncte reprezentative în spațiul mic al fazelor, adică afarea funcției de distribuție, sau a probabilității ca un punct reprezentativ să se afle într-un anumit volum elementar (cu o anumită energie ϵ_i) din spațiul μ . Problema pare foarte complicată deoarece bănuim că funcția de distribuție va depinde de un număr foarte mare de parametri – toate coordonatele și impulsurile ce caracterizează poziția volumului elementar. Simplificarea se bazează pe un *postulat* ce poate fi formulat plecând de la unele constatări

experimentale, și anume: proprietățile unui sistem care se află în stare de echilibru termodinamic sunt perfect determinate dacă, în afara condițiilor exterioare impuse sistemului se mai cunoaște și valoarea E a energiei sale totale. Ca urmare funcția de distribuție căutată va depinde numai de energie (condițiile exterioare impuse fiind constante), iar dependența de coordonate și impulsuri are loc numai prin intermediul energiei.

O altă afirmație cu caracter de postulat în mecanica statistică se referă la numărul de microstări prin care se realizează starea de echilibru termodinamic, starea macroscopică a sistemului. *Postulatul* afirmă că *starea de echilibru a sistemului macroscopic se realizează printr-un număr maxim de microstări*. Pentru a face afirmația mai intuitivă și pentru a-i da o oarecare justificare să ne referim la cazul particular al distribuției moleculelor unui gaz ideal în cele două jumătăți ale vasului în care se află. Existența haosului molecular face ca poziția unei molecule să fie absolut întâmplătoare, deci putem utiliza regulile calculului probabilităților. Absența interacțiunilor face ca mișcarea unei molecule să fie independentă de mișcarea celorlalte. Deci vom proceda la distribuirea moleculelor identice, dar discernabile, în cele două jumătăți ale vasului, aruncând o monedă.

TABELUL 7.1

Cele 16 moduri de distribuire a 4 bile ($N=4$) în două cutii

Cutia din stînga	Cutia din dreapta	Nr. de microstări prin care se realizează o macrostare
1 2 3 4		1
1 2 3	4	
1 2 4	3	
1 3 4	2	4
2 3 4 1		
1 2	3 4	
1 3	2 4	
1 4	2 3	
2 3 1	4	6
2 4 1	3	
3 4 1 2		
1	2 3 4	
2	1 3 4	
3 1 2	4	4
4 1 2 3		
1 2 3 4		1

Ne putem imagina un număr mare de perechi de cutii identice și același număr mare de seturi de bile (reprezentând moleculele). Aruncând moneda (o dată pentru fiecare bilă) distribuim fiecare set de bile în câte două cutii. În final facem statistică numărând bilele din cutiile din dreapta, de exemplu, și înregistrând rezultatele. Dacă numărul de seturi de bile și de cutii este mare vom constata o regularitate în distribuție, care, pentru un sistem format din $N = 4$ molecule este reprezentat în Tabelul 7.1. Constatăm că există 16 posibilități de distribuire a celor 4 bile în cele două cutii egale. Observăm că *starea macroscopică de echilibru* (două bile într-o cutie și două în cealaltă) se realizează prin cel mai mare număr de microstări. Generalizând, se vede ușor că numărul de microstări prin care se realizează o macrostare (numerele 1, 4, 6, 4, 1) sunt de fapt coeficienții binomului lui Newton și sunt exprimați prin formula pentru combinări de N obiecte luate câte n

$$(7.11) \quad w = \frac{N!}{n!(N-n)!} = C_N^n.$$

Acest număr w , care se mai numește și probabilitate sau *pondere termodinamică* (nu este o probabilitate matematică, fiind supraunitar) are valoarea maximă pentru o distribuție uniformă ($n = \frac{N}{2}$). Este evident că la echilibru cele N molecule se vor distribui în mod egal în cele două jumătăți ale vasului. În plus, *numărul de microstări w prin care se realizează starea de echilibru crește foarte repede când crește numărul de particule în sistem* (Tabelul 7.2). Pentru o valoare a lui N de ordinul de mărime al numărului lui Avogadro este evident că diferența între numărul de microstări corespunzătoare distribuției uniforme (de echilibru) și numărul total de microstări devine foarte mică.

TABELUL 7.2

Numărul modurilor în care se pot distribui N molecule
în cele două jumătăți ale unui vas

N	Numărul de microstări $w = \frac{N!}{n!(N-n)!}$		
	$n = N$ sau $= 0$	$n = \frac{N}{2}$	$\sum_n w_n$ ($n = 0, 1, 2, \dots, N$)
4	2×1	6	16
10	2×1	252	1024
20	2×1	184756	1048576
100	2×1	$1,01 \times 10^{29}$	$1,27 \times 10^{30}$

Atragem atenția că în alcătuirea tabelului 7.2 am considerat moleculele (bilele) discernabile. Dacă, de exemplu, numai două din cele 4 bile ar fi indiscernabile (1=2) numărul grupelor distincte care s-ar putea face cu cele 4 bile ar fi mai mic. (Microstarea 1 3 4 ar fi identică cu microstarea 2 3 4).

7.2.2. Relația lui Boltzmann între entropie și ponderea termodinamică

Pentru a determina proprietățile macroscopice ale unui sistem, utilizând legile fizicii statistice, trebuie să calculăm numărul de microstări compatibile cu o macrostare a sistemului considerat, adică ponderea termodinamică, pentru ca apoi să ajungem la legea de distribuție a particulelor după energii. Să ne referim la un sistem izolat, format din N particule care nu interacționează între ele și având energia totală E_0 . Considerând că toate particulele cu energia cuprinsă în intervalul $\varepsilon + \delta \varepsilon$ au aceeași energie, putem împărți numărul total de molecule (particule) în grupe de particule cu aceeași energie. Astfel N_1 particule vor avea fiecare energie ε_1 , N_2 vor avea fiecare energie ε_2 , etc. A stabili legea de distribuție a moleculelor (particulelor) după energii ar însemna să aflăm aceste numere: N_1 , N_2 , N_3 , etc. Pentru aceasta vom afla mai întâi numărul modurilor în care se pot repartiza cele N particule în m grupe cu energiile ε_1 , ε_2 , ε_3 , ... ε_m . Acest număr e dat de formula care exprimă numărul permutărilor când între cele N elemente există N_1 egale și de un fel, N_2 egale și de alt fel etc. Astfel aflăm ponderea termodinamică

$$(7.12) \quad w = \frac{N!}{N_1! N_2! \dots N_m!}$$

cu precizarea că $N_1 + N_2 + N_3 + \dots + N_m = N$.

În conformitate cu postulatul prezentat în paragraful 7.2.1, starea de echilibru a sistemului este caracterizată prin valoarea maximă a ponderii termodinamice, iar din termodinamică știm că starea de echilibru este caracterizată prin maximul entropiei sistemului izolat. Deci putem bănuî existența unei relații între ponderea termodinamică w și entropia S a sistemului, relație a cărei expresie ne propunem s-o aflăm.

Să considerăm două sisteme termodinamice izolate, caracterizate fiecare prin entropia S_1 , respectiv S_2 și ponderea termodinamică w_1 , respectiv w_2 . (Nu impunem condiția de gaz ideal). Pe baza observației de mai sus putem admite că între entropie și ponderea termodinamică există o relație funcțională de forma

$$(7.13) \quad S = f(w)$$

ceea ce ne permite ca pentru cele două sisteme să scriem

$$(7.14) \quad S_1 = f_1(w_1) \text{ și } S_2 = f_2(w_2).$$

Ansamblul format din cele două sisteme va fi caracterizat prin entropia

$$(7.15) \quad S = S_1 + S_2 = f(w)$$

și ponderea termodinamică

$$(7.16) \quad w = w_1 \cdot w_2$$

Ca urmare putem scrie

$$(7.17) \quad f_1(w_1) + f_2(w_2) = f(w).$$

Derivând relația (7.17) în raport cu w_1 obținem

$$\frac{df_1}{dw_1} = \frac{df}{dw} \left(\frac{dw}{dw_1} \right)_{w_2} = w_2 \frac{df}{dw}$$

sau

$$(7.18) \quad \frac{df_1}{dw_1} = w_2 \frac{df}{dw}.$$

Derivând acum relația (7.18) în raport cu w_2 , având în vedere că w_1 nu depinde de w_2 putem scrie

$$\frac{df}{dw} + w_2 \frac{d^2f}{dw^2} \left(\frac{dw}{dw_2} \right)_{w_1} = \frac{df}{dw} + w_1 w_2 \frac{d^2f}{dw^2} = 0$$

sau

$$(7.19) \quad \frac{df}{dw} + w \frac{d^2f}{dw^2} = 0.$$

Făcând notația $\rho = \frac{df}{dw}$, relația (7.19) devine

$$\rho + w \frac{d\rho}{dw} = 0 \text{ sau } \frac{d\rho}{\rho} = -\frac{dw}{w}$$

care prin integrare conduce la

$$(7.20) \quad \ln \rho = -\ln w + \ln k$$

unde k este o constantă de integrare a cărei semnificație urmează să o precizăm.

Renunțând la logaritm în relația (7.20) și revenind la funcția $f(w)$, obținem

$$\rho = \frac{k}{w} = \frac{df}{dw}$$

de unde $df = k \frac{dw}{w}$ și prin integrare

$$(7.21) \quad f(w) = k \ln w + C,$$

iar în baza relației (7.13) putem scrie

$$(7.22) \quad \boxed{S = k \ln w}$$

constantă C putând fi lăsată la o parte deoarece entropia este definită până la o constantă arbitrară. Astfel (dacă $C \neq 0$), relația (7.22) nu ar fi compatibilă cu relația (7.17).

Relația (7.22) constituie famoasa *formulă a lui Boltzmann*, stabilind legătura între termodinamică (entropie) și fizică statistică (ponderea termodinamică). Constanta k nu este alta decât constanta lui Boltzmann, cum va rezulta din consecințele ce decurg din această formulă. Relația lui Boltzmann permite extinderea noțiunii de entropie, care a fost definită pentru procese reversibile, sistemul fiind considerat în echilibru în orice moment. Ponderea termodinamică se poate defini și pentru stările sistemului care nu corespund echilibrului termodinamic.

7.2.3. Distribuția cea mai probabilă. Suma de stare

Importanța extraordinară a formulei lui Boltzmann constă în faptul că permite calcularea și a expresiilor celorlalte funcții caracteristice (energia liberă, entalpia liberă), nu numai a entropiei, plecând de la considerente statistice. În primul rând să transformăm, cu ajutorul formulei lui Stirling ($\ln x! \approx x \ln x - x$ sau $x! \approx x^x e^{-x}$), relația (7.12) care exprimă ponderea termodinamică

$$(7.23) \quad w = \frac{N!}{N_1! \dots N_m!} = \frac{N^N e^{-N}}{\prod_i N_i^{N_i} e^{-(N_1 + \dots + N_m)}} = \frac{N^N}{\prod_i N_i^{N_i}}$$

Introducând această expresie în formula lui Boltzmann (7.22) rezultă expresia entropiei

$$(7.24) \quad S = k \ln w = k \left(N \ln N - \sum_{i=1}^m N_i \ln N_i \right)$$

reprezentând entropia unui sistem izolat format din N particule ce nu interacționează între ele.

Acum ne putem pune problema stabilirii legii de distribuție a particulelor după energii, adică stabilirea numărului de particule N_i care au energia ϵ_i . Pentru aceasta trebuie să scriem că entropia (ca și ponderea termodinamică) a unui sistem izolat, în stare de echilibru, are valoarea maximă. Dar, în plus, trebuie să mai scriem că numărul de particule din sistem rămâne constant și energia totală (neglijând energia de interacțiune a particulelor) rămâne constantă

$$(7.25) \quad \begin{aligned} \sum_{i=1}^m N_i &= N = \text{const.} \\ \sum_{i=1}^m N_i \epsilon_i &= E = \text{const.} \end{aligned}$$

OBSERVAȚIE: Ultima condiție limitează posibilitățile de distribuție a particulelor, după cum se vede în cazul particular prezentat în tabelul 7.3. Cele 4 molecule pe care le notăm cu a,b,c,d se pot distribui pe cele 4 nivele energetice cu energiile $\epsilon_1 = 0$, $\epsilon_2 = \epsilon$, $\epsilon_3 = 2\epsilon$ și $\epsilon_4 = 3\epsilon$ numai în aşa fel încât energia totală a celor patru particule să rămână $E_0 = 3\epsilon$. Observăm că cele patru

particule au fost considerate discernabile, deși pot fi moleculele aceluiași gaz. Dacă nu ar fi discernabile, cele patru microstări, de exemplu, ar coincide, formând o singură microstare.

TABELUL 7.3

$\epsilon_1 = 0$			$\epsilon_2 = \epsilon$		$\epsilon_3 = 2\epsilon$		$\epsilon_4 = 3\epsilon$	
a	b	c						d
a	b		d					c
a		c	d				b	
	b	c	d				a	
a	b			c		d		
a	b				d	c		
a		c		b		d		
a		c			d	b		
a		d	b	c		c		
a		d		c	b			→ etc.

Problemele de extremum condiționat, ca aceea menționată mai sus, se rezolvă utilizând metoda lui Lagrange. Mai întâi se calculează variația relației de bază (7.24) și a condițiilor (7.25)

$$\partial S = k \{ \partial N \ln N + N \partial (\ln N) - \sum_{i=1}^m [\partial N_i \ln N_i + N_i \partial (\ln N_i)] \} = 0$$

sau

$$-k \sum_{i=1}^m (\ln N_i + 1) \partial N_i = 0 ; \quad k \neq 0 \quad \text{și}$$

$$(7.26) \quad \sum_i \partial N_i = 0$$

$$\sum_i E_i \partial N_i = 0$$

Înmulțind prima din relațiile (7.26) cu -1 , a doua cu $\alpha - 1$ și a treia cu β , și adunându-le obținem

$$(7.27) \quad \sum_{i=1}^m (\ln N_i + \alpha + \beta E_i) \partial N_i = 0$$

Cum ∂N_i este diferit de zero și logaritmul este pozitiv indiferent de indice, rezultă că paranteza din sumă trebuie să se anuleze pentru fiecare indice

$$\ln N_i + \alpha + \beta E_i = 0 \quad \text{sau}$$

$$(7.28) \quad N_i = e^{-(\alpha + \beta E_i)}$$

Am obținut astfel numerele de particule N_i ($i = 1, 2, \dots, m$), deci *legea de distribuție a particulelor după energii*. Constantele α și β se determină din condițiile impuse sistemului. Din prima relație (7.25) rezultă expresia constantei α

$$N = \sum_{i=1}^m N_i = e^{-\alpha} \cdot \sum_{i=1}^m e^{-\beta E_i} \quad \text{și de aici} \quad e^{-\alpha} = \frac{N}{\sum_{i=1}^m e^{-\beta E_i}}.$$

Ca urmare legea de distribuție (7.28) se poate scrie sub formă

$$(7.29) \quad N_i = \frac{N e^{-\beta E_i}}{\sum_{i=1}^m e^{-\beta E_i}}.$$

Pentru determinarea constantei β vom calcula variația entropiei plecând de la expresia (7.24) și o vom identifica cu expresia corespunzătoare din termodinamică. Introducând pe N_i din (7.29) în (7.24) obținem

$$S = k \left\{ N \ln N - \sum_{i=1}^m \left[\frac{N e^{-\beta E_i}}{\sum_{i=1}^m e^{-\beta E_i}} \cdot \left(\ln N - \beta E_i - \ln \sum_{i=1}^m e^{-\beta E_i} \right) \right] \right\}$$

și în final

$$(7.30) \quad S = k\beta E + kN \ln \sum_{i=1}^m e^{-\beta E_i}.$$

Până aici sistemul considerat de noi a fost presupus izolat, deci energia lui E și numărul de particule N rămâneau constante. În cazul mai general, când sistemul poate schimba energie și particule cu mediul exterior, putem calcula variația entropiei funcție de variația energiei și a numărului de particule

$$(7.31) \quad dS = k\beta dE + kNd \left(\ln \sum_{i=1}^m e^{-\beta E_i} \right) + k \ln \sum_{i=1}^m e^{-\beta E_i} dN.$$

Această expresie a variației entropiei trebuie să fie identică cu cea dată de relația termodinamică

$$(7.32) \quad dS = \frac{dU + pdV - \zeta dN}{T}$$

în care $\zeta = \frac{\mu}{N_A}$ este potențialul chimic raportat la o singură particulă, iar U are aceeași semnificație ca și E în relația (7.31). Prin identificarea coeficienților variabilelor din cele două relații rezultă

$$k\beta = \frac{1}{T} \quad \text{sau} \quad \beta = \frac{1}{kT}$$

$$(7.33) \quad \frac{pdV}{T} = kNd \left(\ln \sum_{i=1}^m e^{-\beta E_i} \right)$$

$$-\frac{\zeta}{T} = k \ln \sum_{i=1}^m e^{-\beta E_i}.$$

Din prima relație (7.33) se determină constanta $\beta = \frac{1}{kT}$ și se constată, dimensional, că în relația (7.20) am introdus, de fapt, constanta lui Boltzmann. Din a treia relație se poate stabili o legătură între potențialul chimic ζ și constanta α . Într-adevăr

$$(7.34) \quad \zeta = -kT(\ln N + \alpha) \quad \text{și} \quad e^{-\alpha} = Ne^{\zeta/kT}$$

ceea ce ne permite să scriem legea de distribuție (7.55) sub formă

$$(7.35) \quad N_i = Ne^{\zeta/kT} \cdot e^{-E_i/kT}.$$

Observăm că în expresia entropiei (7.30), ca și în relațiile următoare, apare suma $Z = \sum_{i=1}^m e^{-E_i/kT}$ numită *sumă de stare sau funcție de partiție*. Dacă se cunoaște suma de stare se pot calcula expresiile funcțiilor caracteristice definite în termodinamică. Entropia devine

$$(7.36) \quad S = \frac{U}{T} + kN \ln Z$$

iar energia liberă capătă expresia

$$(7.37) \quad F = -kNT \ln Z.$$

7.2.4. Aplicații. Gazul ideal monoatomic

Pentru a sublinia generalitatea metodei statistice prezentată mai sus vom arăta cum din relația (7.29) scrisă sub formă

$$(7.38) \quad \frac{N_i}{N} = \frac{e^{-E_i/kT}}{\sum e^{-E_i/kT}}$$

se pot deduce legile ce guvernează comportarea gazului ideal: distribuția Maxwell, adică distribuția moleculelor după viteze, formula lui Boltzman care ne dă distribuția moleculelor într-un câmp de forțe omogen, ecuația de stare a gazului ideal, funcțiile caracteristice - energia liberă, entropia, etc.

a) *Distribuția Maxwell*. Legea de distribuție a moleculelor după energii (rel.7.38) ne dă probabilitatea ca o moleculă să aibă energia E_i , ceea

ce înseamnă că punctul ei reprezentativ să se afle în celula μ din spațiul μ . Pentru sistemele macroscopice, nivelele energetice (energiile) pe care le poate ocupa (avea) o particulă sunt atât de apropiate între ele încât putem considera că variația energiei este continuă. (Numărul de nivele energetice pe care se distribuie moleculele este mai mare decât numărul moleculelor). Ca urmare relația (7.38) trebuie scrisă sub altă formă, înlocuind *suma de stare* de la numitor cu *integrala stărilor*. Pentru *gazul ideal monoatomic* știm că energia particulelor depinde de cele trei componente ale impulsului (energia cinetică) și de cele trei coordonate (energia potențială de interacție cu câmpul exterior). Deci relația (7.38) devine

$$(7.39) \quad \frac{dN}{N} = \frac{e^{-\epsilon(x,y,z,p_x,p_y,p_z)/kT} \cdot dx dy dz dp_x dp_y dp_z}{\int \dots \int e^{-\epsilon(x,y,z,p_x,p_y,p_z)/kT} \cdot dx dy dz dp_x dp_y dp_z}$$

în care dN este numărul de particule care au punctul reprezentativ în volumul elementar $dx dy dz dp_x dp_y dp_z$, în spațiul μ , cu 6 dimensiuni. Scriind energia ca funcție de coordonate și impulsuri

$$(7.40) \quad \epsilon = \frac{p_x^2}{2m} + \frac{p_y^2}{2m} + \frac{p_z^2}{2m} + \epsilon_{(p)}(x, y, z)$$

expresia (7.39) se poate separa într-un produs de doi factori; unul care depinde numai de impulsuri și unul care depinde numai de coordonate.

$$(7.41) \quad \frac{dN}{N} = \frac{e^{-(p_x^2+p_y^2+p_z^2)/2mkT} \cdot dp_x dp_y dp_z}{\iiint_{-\infty}^{+\infty} e^{-(p_x^2+p_y^2+p_z^2)/2mkT} \cdot dp_x dp_y dp_z} \cdot \frac{e^{-E_p(x,y,z)/kT} \cdot dx dy dz}{\iiint_{-\infty}^{+\infty} e^{-E_p(x,y,z)/kT} \cdot dx dy dz}.$$

Dacă ne intereseză numai distribuția moleculelor după impulsuri, indiferent de poziția lor în spațiu, vom integra expresia (7.41) în raport cu coordonatele x, y, z pe întreg spațiul și obținem

$$(7.42) \quad \frac{dN_p}{N} = \frac{e^{-(p_x^2+p_y^2+p_z^2)/2mkT} \cdot dp_x dp_y dp_z}{\iiint_{-\infty}^{+\infty} e^{-(p_x^2+p_y^2+p_z^2)/2mkT} \cdot dp_x dp_y dp_z}.$$

Calculând integralele de la numitor (conform anexei A1) obținem distribuția după impulsuri

$$(7.43) \quad \frac{dN_p}{N} = \frac{1}{(2\pi mkT)^{3/2}} \cdot e^{-(p_x^2+p_y^2+p_z^2)/2mkT} \cdot dp_x dp_y dp_z.$$

Înlocuind elementul de volum $dp_x dp_y dp_z$ prin elementul de volum în coordinate sferice, $4\pi p^2 dp = 4\pi m^2 v^2 d(mv)$, obținem expresia cunoscută a distribuției Maxwell,

$$(7.44) \quad \frac{dN_v}{N} = 4\pi \left(\frac{m}{2\pi kT} \right)^{3/2} v^2 e^{-mv^2/2kT} \cdot dv$$

b) *Distribuția spațială a moleculelor*. Dacă pentru același gaz ideal în echilibru termodinamic nu ne interesează distribuția moleculelor după impulsuri ci numai distribuția lor spațială în câmpul de forțe extern, atunci integrăm relația (7.41) în raport cu impulsurile și obținem distribuția după coordonate

$$(7.45) \quad \frac{dN_{(x,y,z)}}{N} = \frac{e^{-E_p(x,y,z)/kT} dx dy dz}{\iiint_{-\infty}^{+\infty} e^{-E_p(x,y,z)/kT} dx dy dz}.$$

În cazul particular al gazului ideal în câmpul gravitațional de accelerare g , energia potențială a particulei are expresia mgz și relația (7.45) devine

$$(7.46) \quad \frac{dN_z}{N} = \frac{mg}{kT} \cdot e^{-mgz/kT} \cdot dz.$$

Deoarece concentrația moleculelor este proporțională cu probabilitatea de a găsi o moleculă în acel loc (acea regiune) din spațiu, putem scrie

$$(7.47) \quad \frac{n(z)}{n(0)} = \frac{\frac{dN_z}{N}}{\frac{dN_0}{N}}$$

și ca urmare obținem *formula lui Boltzmann* care ne dă distribuția moleculelor în înălțime

$$(7.48) \quad n(z) = n(0) e^{-mgz/kT}.$$

c) *Ecuația de stare a gazului ideal*. Plecând de la relația termodinamică $p = -\left(\frac{\partial F}{\partial V}\right)_T$ și calculând energia liberă conform relației (7.37) se poate stabili ecuația de stare a gazului ideal. Energia particulelor variind continuu, vom înlocui suma de stare $\sum_{i=1}^m e^{-E_i/kT}$ cu integrala stărilor și energia liberă capătă expresia

$$(7.49) \quad F = -kNT \ln \left[\iiint_V dx dy dz \int_{-\infty}^{+\infty} e^{-p_x^2/2mkT} dp_x \int_{-\infty}^{+\infty} e^{-p_y^2/2mkT} dp_y \int_{-\infty}^{+\infty} e^{-p_z^2/2mkT} dp_z \right].$$

Calculând integralele (conform anexei A1.) obținem

$$(7.50) \quad F = -kNT \ln [V \cdot (2\pi mkT)^{3/2}]$$

și prin derivare în raport cu volumul se ajunge la ecuația de stare

$$(7.51) \quad p = kNT \frac{1}{V} = nkT = \frac{vRT}{V}.$$

Rezultatele obținute în aceste aplicații sunt încă o dovedă că în relația (7.20) am introdus, prin integrare, constanta lui Boltzmann, k .

d) *Entropia gazului ideal. Paradoxul lui Gibbs*

Pentru a calcula entropia gazului ideal se utilizează relația $S = -\left(\frac{\partial F}{\partial T}\right)_V$, iar energia liberă o avem deja calculată (v.rel.7.50). Deci

$$(7.52) \quad S = -\left(\frac{\partial F}{\partial T}\right)_V = kN \ln V + \frac{3}{2}kNT + \frac{3}{2}kN + \frac{3}{2}kN \cdot \ln(2\pi mk);$$

cu observația că ultimii doi termeni reprezintă o constantă. Introducând constanta universală a gazelor, $R = k \frac{N}{V}$, expresia entropiei devine:

$$(7.53) \quad S = vR \ln V + \frac{3}{2}vR \ln T + \text{const.}$$

Rezultatul coincide cu cel obținut în termodinamică, ceea ce ar confirma corectitudinea metodei utilizate, dar este limitată la sistemul de particule independente. În plus, așa cum a arătat Gibbs (1876), utilizarea expresiei entropiei dată de relația (7.52) conduce la un rezultat paradoxal. Deci metoda nu este corectă. Acest paradox se referă la calculul variației entropiei în urma difuziei gazelor.

În procesul de difuzie reciprocă a două gaze diferite este de așteptat o creștere a entropiei, procesul fiind ireversibil. Pre-supunând că luăm câte un mol din fiecare gaz aflat la presiunea p și temperatura T , ocupând volume V egale, dar separate din peretele 1-2, entropia fiecărui gaz, înainte de difuzie, va fi dată de relația

$$S^i = R \ln V + \frac{3}{2}R \ln T + \text{Const.}$$

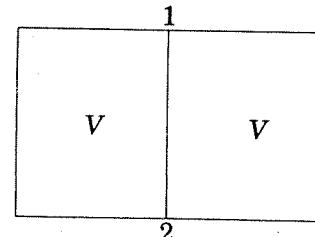


Fig. 7.1

Entropia întregului sistem format din cei doi moli de gaz, tot înainte de difuzie este

$$(7.54) \quad S_t^i = 2S^i = 2R \ln V + 2 \cdot \frac{3}{2}R \ln T + 2 \cdot \text{Const.}$$

Îndepărând peretele 1-2, gazele difuzează și fiecare va ocupa volumul $2V$. Entropia pentru fiecare din cele două gaze, după difuzie va fi

$$S^d = R \ln 2V + \frac{3}{2}R \ln T + \text{Const.}$$

iar entropia totală, pentru ambele gaze, după difuzie este

$$(7.55) \quad S_t^d = 2S^d = 2R \ln 2V + 2 \cdot \frac{3}{2}R \ln T + 2 \cdot \text{Const.}$$

Creșterea entropiei în urma procesului de difuzie este dată de diferența relațiilor (7.54) și (7.55)

$$(7.56) \quad S_t^d - S_t^i = \Delta S = 2R \ln 2 > 0.$$

Acest rezultat este în concordanță cu experiența. Paradoxul apare în momentul când cele două gaze considerate, și lăsate să difuzeze, sunt identice. În acest caz, starea sistemului înainte și după difuzie este aceeași, deci va avea aceeași entropie, iar diferența ΔS trebuie să fie nulă. Singura explicație a acestei neconcordanțe este aceea că am greșit ceva la deducerea expresiei entropiei (rel. 7.52).

Gibbs a arătat că paradoxul se datorează faptului că am considerat particulele (moleculele) *discernabile*. Dacă particulele *nu sunt discernabile*, prin permutearea lor nu se obțin microstări distincte ale sistemului. Deci numărul de microstări w trebuie redus, eliminând pe cele obținute prin permutearea celor N molecule între ele. Adică vom împărți cu $N!$ și obținem

$$(7.57) \quad w = \frac{1}{N_1! N_2! \dots N_m!}.$$

Să deducem expresia entropiei gazului ideal plecând de la această expresie a ponderii termodinamice.

Urmând aceeași cale, utilizând aproximarea lui Stirling și formula lui Boltzmann obținem expresia entropiei

$$(7.58) \quad S = k \left[N - \sum_{i=1}^m N_i \cdot \ln N_i \right].$$

Introducând expresia lui N_i din relația (7.28) și având în vedere condiția (7.25), expresia entropiei devine

$$(7.59) \quad S = kN + kN\alpha + \frac{E}{T}$$

în care am înlocuit pe β cu expresia lui, $1/kT$.

Pentru a calcula entropia gazului ideal monoatomic, funcție de volum și temperatură, utilizăm același procedeu ca mai sus.

Scriem relația (7.59) sub forma

$$(7.60) \quad TS = kNT + kN\alpha T + E$$

și de aici avem expresia energiei libere

$$(7.61) \quad F = -kNT - kNT\alpha.$$

Introducând expresia lui α din relația (7.28) obținem forma finală a energiei libere

$$(7.62) \quad F = -kNT + kNT \ln N - kNT \ln \sum e^{-F_i/kT}.$$

Suma de stare, adică integrala de stare pentru gazul ideal a fost calculată anterior (rel. 7.49), și înlocuind rezultatul avem

$$F = -kNT + kNT \ln N - kNT \ln [V \cdot (2\pi mkT)^{3/2}]$$

și entropia are expresia dată de $S = -\left(\frac{\partial F}{\partial T}\right)_V$

$$(7.63) \quad S = kN \ln \frac{V}{N} + \frac{3}{2}kN \ln T + \frac{5}{2}kN + \frac{3}{2}kN \ln (2\pi mk).$$

Cu această expresie a entropiei gazului ideal în locul relației (7.52), să procedăm la calculul variației entropiei de difuzie a doi moli din același gaz. Înainte de difuzie, entropia gazului din fiecare volum V (la aceeași presiune și temperatură) este

$$S^i = kN_A \ln \frac{V}{N_A} + \frac{3}{2}kN_A \ln T + \frac{5}{2}kN_A + \frac{3}{2}kN_A \ln (2\pi mk).$$

Entropia întregului sistem, înainte de difuzie este

$$S_t^i = 2S^i = 2kN_A \ln \frac{V}{N_A} + 2\frac{3}{2}kN_A \ln T + 2 \cdot \text{Const.}$$

După difuzie scriem entropia a doi moli de gaz în volumul $2V$, conform relației (7.63)

$$S_t^d = k2N_A \cdot \ln \frac{2V}{2N_A} + \frac{3}{2}k2N_A \ln T + \frac{5}{2}k2N_A + \frac{3}{2}k2N_A \ln (2\pi mk).$$

Rezultă evident,

$$S = S_t^d - S_t^i = 0.$$

Deci considerând moleculele indiscernabile, am eliminat paradoxul lui Gibbs.

Rezolvarea riguroasă a acestei probleme, ca și cea privind evaluarea constantei din expresia entropiei, se va face în cadrul statisticii cuantice.

CAPITOLUL 8

FENOMENE DE TRANSPORT ÎN GAZE

Sistemele fizice la care ne-am referit până acum, atât din punct de vedere cinetico-molecular cât și din punct de vedere termodinamic erau sisteme omogene în stare de echilibru, adică toți parametrii de stare rămâneau constanti în timp și egali cu valorile lor medii. În astfel de sisteme nu există fluxuri staționare. Cunoașterea funcției de distribuție a moleculelor permite calculul parametrilor macroscopici ai sistemului în stare de echilibru dată.

În acest capitol ne vom referi la sisteme care nu sunt în echilibru. De exemplu, dacă un sistem prezintă neuniformități, de temperatură sau densitate, atunci sistemul va evoluă din această stare de neechilibru într-o stare de echilibru sau către o stare staționară. În starea de echilibru neuniformitățile dispar, dar în starea staționară acestea capătă valori constante în timp. Evoluția sistemului dintr-o stare de neechilibru spre starea de echilibru se face în sensul scăderii neuniformităților.

Dacă neuniformitatea este de densitate, apare un transport de masă, de molecule, până ce densitatea se uniformizează. Dacă există o neuniformitate de temperatură, apare un transport de energie în sensul uniformizării temperaturii, iar dacă există o neuniformitate de mișcare ordonată, de impuls, atunci se produce un transport de impuls până ce dispare neuniformitatea. Procesele acestea în care apare un transport de masă, energie sau impuls în sensul eliminării neomogenităților sistemului termodinamic, poartă numele de fenomene de transport.

Neuniformitățile care provoacă fenomenele de transport determină forțele termodinamice. Sub acțiunea forței termodinamice în sistemul termodinamic apare un flux sau un curent al parametrului care variază. Prin densitatea curentului de difuzie se înțelege cantitatea de substanță transportată în unitatea de timp prin unitatea de suprafață dispusă perpendicular pe direcția de transport.

$$(8.1) \quad J = \frac{1}{S} \cdot \frac{dM}{dt}.$$

Fenomenele de transport au loc cu intensități diferite în orice substanță, în stare solidă, lichidă sau gazoasă. Noi ne vom ocupa în primul rând de starea gazoasă pentru care calculele sunt mai simple.

A studia fenomenele de transport din punct de vedere cinetico-molecular înseamnă a stabili o legătură între coeficienții de transport, mărimi macroscopice măsurabile, și mărimile microscopice caracteristice moleculelor sistemului. Pentru aceasta trebuie să cunoaștem proprietățile moleculelor constitutive și legile lor de mișcare în ansamblu, legile de distribuție statistică.

Cu toate că în cazul fenomenelor de transport, sistemul nu este uniform și nu este în echilibru termic, deci nu se supune statisticii Maxwell, noi vom presupune că abaterea de la starea de echilibru nu este mare și că aplicând statistică Maxwell nu vom face o eroare inadmisibilă.

8.1. Ciocniri intermoleculare

În teoria cinetico-moleculară simplă se pot obține unele rezultate corecte fără a lua în considerare, în mod direct, ciocnirile între molecule, cum am procedat la deducerea formulei fundamentale $P = n k T$. În realitate noi am presupus existența ciocnirilor prin care se realizează starea de echilibru a gazului. Dacă într-un gaz în stare de echilibru am introduce un număr de molecule cu viteza mai mare (venind dinspre un perete cu temperatură mai ridicată) atunci se strică starea de echilibru căci moleculele nu mai sunt distribuite după viteze conform legii lui Maxwell. După un număr de ciocniri cu alte molecule se produce un schimb de energie și în final se ajunge la o nouă stare de echilibru. S-a produs un transport (sau un transfer) de căldură.

Din experiență știm că transportul de căldură, dintr-o regiune cu temperatură gazului ridicată într-o regiune cu temperatură mai coborâtă, se face destul de lent, deși moleculele au viteze de ordinul sutelor de metri pe secundă. Fenomenul se explică prin faptul că o moleculă se ciocnește de un număr mare de ori în timp de o secundă, din cauza distanțelor relativ mici între molecule. În același mod se explică și viteza redusă a fenomenului de difuzie. Întrepătrunderea a două gaze este împiedicată de ciocnirile frecvente între molecule urmate de schimbarea direcției de mișcare a moleculelor. Deci ciocnirile intermoleculare joacă un rol esențial în fenomenele de transport și numai luându-le în considerare vom reuși să dăm o explicație acestor fenomene.

Pentru a lua în considerare și ciocnirile între molecule trebuie să aducem unele completări modelului gazului ideal, în care moleculele sunt considerate puncte materiale. Vom considera moleculele ca având dimensiuni, în primă aproximație fiind sferice. Rezultatul ciocnirii a două molecule identice este schimbarea direcției lor de mișcare. Aceasta se datorează existenței forțelor de respingere care se manifestă la distanțe foarte mici.

Distanța minimă până la care se pot apropiă centrele a două molecule identice o considerăm drept diametru al moleculei. Mai presupunem că la distanțe mai mari decât $2r$ moleculele nu interacționează. Astfel am introdus modelul sferelor rigide, asemănând moleculele cu niște bile care se ciocnesc între ele după legile mecanicii clasice.

Dat fiind că toate moleculele se află într-o mișcare haotică și continuă, în studiu proceselor de ciocnire vom lua în considerație viteza mișcării relative, una față de alta, a moleculelor.

8.1.1. Drum liber mediu. Secțiune efectivă de ciocnire

În condițiile haosului molecular, toate moleculele se ciocnesc între ele parcurgând traiectorii rectilinii ale căror direcții se modifică după fiecare ciocnire. Între două ciocniri successive moleculele parcurg drumuri libere de lungimi diferite $\lambda_1, \lambda_2, \dots, \lambda_n$.

Valoarea medie a drumului liber se definește prin media aritmetică a drumurilor libere parcuse de moleculă. Dacă molecula parcurge în unitatea de timp, un număr mediu \bar{v} de drumuri libere, egal cu numărul mediu de ciocniri în unitatea de timp, $\bar{Z} = \bar{v} + 1$, rezultă că viteza medie a moleculelor este

$$\bar{v} = \bar{v}\bar{\lambda} = \bar{Z} \cdot \bar{\lambda}.$$

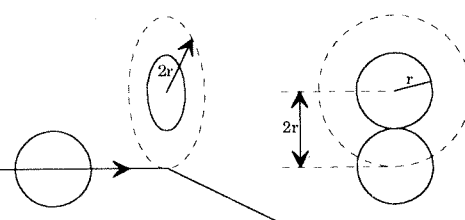


Fig. 8.1

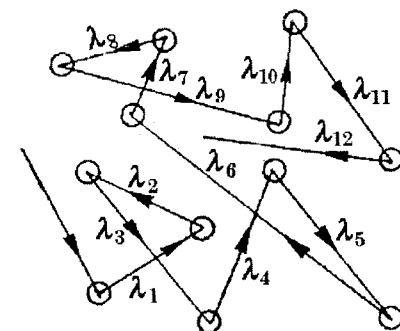


Fig. 8.2

Calculul drumului liber mediu se reduce la calculul numărului mediu de ciocniri în unitate de timp \bar{Z} . Presupunem că toate moleculele sunt imobile cu excepția uneia pe care o urmărim noi și care se mișcă cu viteza relativă medie \bar{v}_r . Gazul ideal este suficient de rarefiat pentru ca apariția ciocnirilor multiple să fie foarte puțin probabilă.

Ciocnirea între două molecule se consideră că are loc dacă aceasta se apropie la o distanță mai mică de $2r$, r fiind raza efectivă a moleculei, iar distanța $2r$ se numește diametru efectiv de ciocnire a moleculelor.

Dacă o moleculă se deplasează cu viteza relativă medie \bar{v}_r , ea va parcurge într-o secundă spațiul $\bar{v}_r \cdot (1s)$, în raport cu celelalte molecule. În acest timp va ciocni toate moleculele care se află cu centrul în interiorul cilindrului de lungime \bar{v}_r și raza $2r$.

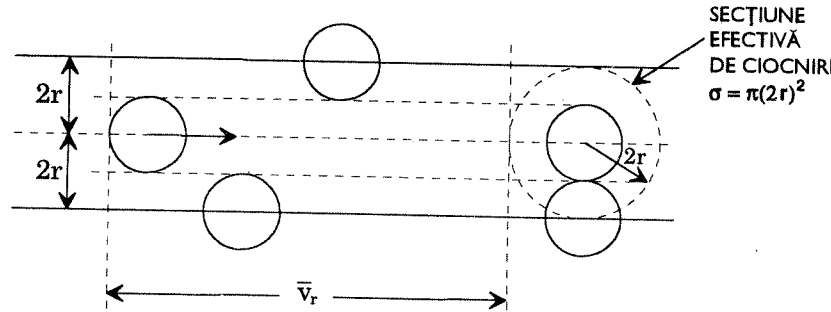


Fig. 8.3

Presupunem că traекторia rămâne rectilinie în acest timp deși este modificată prin ciocniri. Notând cu n numărul de molecule în unitatea de volum, numărul de ciocniri în unitatea de timp este

$$\bar{Z} = n \cdot \pi \cdot (2r)^2 \cdot \bar{v}_r.$$

Deci drumul liber mediu este

$$(8.2) \quad \bar{\lambda} = \frac{\bar{v}}{\bar{Z}} = \frac{\bar{v}}{n \cdot \pi (2r)^2 \cdot \bar{v}_r}.$$

Dacă luăm în considerare mișcarea relativă a moleculelor, viteza relativă a moleculei 1 față de moleculă 2 are expresia

$$v_r^2 = v_1^2 + v_2^2 - 2v_1 \cdot v_2 \cos \theta_{12}.$$

Mediind pe toate moleculele în mișcare dezordonată obținem

$$\bar{v}_r^2 = \bar{v}_1^2 + \bar{v}_2^2 - 2\bar{v}_1 \bar{v}_2 \cos \theta_{12} = \bar{v}_1^2 + \bar{v}_2^2 \approx 2\bar{v}^2.$$

În limita aproximăției $\bar{v}^2 \approx \bar{v}^2$ putem scrie că

$$\bar{v}_r \approx \sqrt{2} \cdot \bar{v}.$$

Exprimând (în 8.2) viteza relativă medie prin viteza medie, obținem

$$\bar{\lambda} = \frac{1}{\sqrt{2} n \cdot \pi \cdot (2r)^2}.$$

Notând secțiunea efectivă de ciocnire cu $\sigma = \pi \cdot (2r)^2$ expresia drumului liber mediu devine:

$$(8.3) \quad \bar{\lambda} = \frac{1}{\sqrt{2} \cdot n \cdot \sigma}$$

cunoscută ca relație a lui Maxwell, care permite calculul valorii secțiunii efective pe baza măsurătorilor de drum liber mediu.

Această relație ne permite să evaluăm ordinul de mărime al drumului liber mediu dacă facem unele ipoteze cu privire la diametrul moleculelor. De exemplu, considerând diametrul unei molecule ca fiind $4 \cdot 10^{-8}$ cm, secțiunea efectivă de ciocnire este aproximativ $5 \cdot 10^{-15}$ cm². În condiții normale de presiune și temperatură, într-un centimetru cub de gaz există $2,7 \cdot 10^{19}$ molecule. Deci drumul liber mediu este de ordinul a $5,10^{-6}$ cm, ceea ce reprezintă aproximativ 200 diametre moleculare.

Deoarece la temperatură constantă presiunea este proporțională cu numărul de particule din unitatea de volum ($P = nkT$), rezultă că $\bar{\lambda}$ variază invers proporțional cu presiunea. La presiunea de 1 torr, drumul liber mediu va fi de 760 ori mai mare decât la presiunea atmosferică, adică $3,8 \cdot 10^{-3}$ cm. La o presiune de ordinul 10^{-4} torr, drumul liber mediu devine de ordinul a 40 cm. Aceste evaluări nu sunt decât niște aproximări ale ordinului de mărime al drumului liber mediu, deoarece valoarea secțiunii efective este greu de apreciat. Dacă moleculele ar fi sfere rigide aşa cum am presupus tacit în evaluările de mai sus, atunci n-ar mai fi nici o problemă. În realitate interacțiunile moleculare se manifestă și înainte de momentul ciocnirii, a schimbării sensului de mișcare, și aceasta duce la apariția unor efecte suplimentare care nu pot fi explicate în cadrul modelului sferelor rigide.

La temperaturi joase, când energia cinetică medie a moleculelor (kT) este comparabilă cu energia potențială (ε) de interacție în timpul ciocnirii, se manifestă forțele de atracție între molecule. Dacă două molecule trec la o distanță mică una față de alta (totuși distanța între centrele lor fiind mai mare decât $2r$) ele se vor atrage, deci se ciocnesc, ceea ce nu s-ar fi întâmplat între două molecule care nu interacționează. Ca rezultat secțiunea efectivă de ciocnire este mai mare; drumul liber mediu devine mai scurt.

La temperaturi ridicate, energia cinetică a moleculelor este mare și în timpul ciocnirii moleculele se apropiu la distanțe mai mici decât $2r$ între centrele lor. Moleculele pot fi considerate ca sfere elastice. Deci nu putem atribui o valoare precisă diametrului moleculei, ci vom vorbi de distanță minimă la care se pot apropiu ca o măsură a diametrului efectiv. În evaluarea acestor corecții se ia în considerare faptul că nu toate ciocnirile sunt centrale, deci în timpul ciocnirii moleculele se vor apropiu la distanțe diferite.

Rezultatul acestor două acțiuni, de atracție și de respingere între molecule, duce la o reducere a secțiunii efective de ciocnire cu creșterea temperaturii ($kT > \varepsilon$), deci la o creștere a drumului liber mediu.

8.1.2. Distribuția drumului liber

Distanța parcursă de moleculele unui gaz între două ciocniri successive, deci drumul liber, nu este același pentru toate moleculele la un moment dat și nici pentru o moleculă dată nu este mereu același. În considerentele anterioare am utilizat un drum liber mediu.

Intuitiv ne așteptăm ca drumurile cele mai probabile să fie cele scurte, iar cele lungi să fie foarte puțin probabile, cu alte cuvinte un număr mare de molecule vor parcurge distanțe scurte fără ciocnire, dar numai un număr foarte mic vor parcurge distanțe lungi fără ciocnire cu alte molecule. În aceste condiții este natural să ne punem întrebarea câte molecule din numărul total, parcurg fără ciocniri o anumită distanță? Răspunzând la această întrebare vom stabili legea de distribuție a drumului liber.

Să presupunem că N_0 molecule de gaz se mișcă paralel cu axa $0x$ străbătând suprafața AB perpendiculară pe axa $0x$ (fig. 8.4). Dintre acestea numai N molecule vor străbate distanța x fără ciocniri. Pe unitatea de lungime, o moleculă în mișcare va ciocni în medie $1/\bar{\lambda}$ molecule, dacă $\bar{\lambda}$ este drumul liber mediu. Pe distanța infinitezimală dx , va produce $\frac{1}{\bar{\lambda}} \cdot dx$ ciocniri. Ca urmare numărul de ciocniri produse de N molecule pe distanță dx va fi $N \frac{dx}{\bar{\lambda}}$.

Deoarece prin ciocnire moleculele sunt scoase din fascicul, scăderea intensității fasciculului (numărul de molecule) după parcurgerea unei distanțe dx va fi:

$$(8.4) \quad +dN = -N \cdot \frac{dx}{\bar{\lambda}}$$

semnul (-) arătând că numărul de particule care nu suferă ciocniri pe distanță dx este cu atât de mic cu cât dx este mai mare.

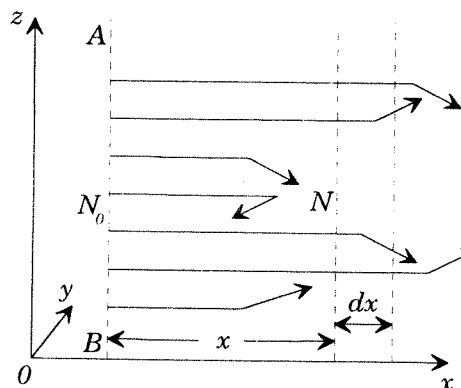


Fig. 8.4

Integrând expresia (8.4) de la $x = 0$ la x obținem numărul de molecule care străbat distanța x fără ciocniri

$$(8.5) \quad \int_{N_0}^N \frac{dN}{N} = - \int_0^x \frac{dx}{\bar{\lambda}} \quad \text{sau} \quad N = N_0 \cdot e^{-x/\bar{\lambda}}.$$

Deci din numărul de molecule N_0 care pleacă din planul AB, numai $N < N_0$ străbat distanța x fără ciocniri.

Pe de altă parte noi am evaluat numărul de ciocniri care au loc pe distanță dx ca fiind $N \cdot \frac{dx}{\bar{\lambda}}$, deci produsul dintre numărul de molecule N care

se deplasează pe distanța dx și raportul $\frac{dx}{\bar{\lambda}}$. Considerând că moleculele care se ciocnesc își schimbă direcția de deplasare, ieșind din fascicul considerat că se deplasează pe direcția $0x$, rezultă că numai moleculele care parcurg distanța x fără ciocniri ajung la distanța dx , unde vor putea produce ciocniri (fig. 8.4). Deci este justificat să înlocuim pe N din (8.4) cu expresia lui din (8.5) obținând:

$$(8.6) \quad dN = N_0 \cdot e^{-x/\bar{\lambda}} \cdot \frac{dx}{\bar{\lambda}}.$$

Această expresie reprezintă *numărul de molecule care produc ciocniri în intervalul dintre x și $x+dx$* . Scrisă altfel, relația

$$(8.7) \quad \frac{dN}{N_0} = \frac{1}{\bar{\lambda}} \cdot e^{-x/\bar{\lambda}} \cdot dx$$

poate fi interpretată ca fiind probabilitatea ca o moleculă să aibă drumul liber cuprins între x și $x+dx$.

Dacă ultima ciocnire a avut loc în planul AB, următoarea va avea loc în intervalul dintre x și $x+dx$ cu probabilitatea dată de expresia (8.7).

Deci *funcția de distribuție sau densitatea de probabilitate* este $\frac{1}{\bar{\lambda}} e^{-x/\bar{\lambda}}$ în care $\bar{\lambda}$ este drumul liber mediu. Aplicând metoda cunoscută putem calcula valoarea medie a distanței x parcursă de molecule

$$\bar{x} = \int_0^\infty x \cdot \frac{1}{N_0} \cdot \frac{1}{\bar{\lambda}} \cdot e^{-x/\bar{\lambda}} dx = \bar{\lambda}.$$

Acest calcul nu este decât o confirmare a faptului că legea de distribuție stabilă este corectă. Factorul $\frac{1}{\bar{\lambda}}$ din expresia (8.7) nu este altceva decât constanta A pe care am determinat-o, în alte ocazii, prin condiția de normalare. Procedând analog, scriem că o moleculă trebuie să suferă cu siguranță o ciocnire undeva între $x = 0$ și $x = \infty$.

$$\int_0^\infty A \cdot e^{-x/\bar{\lambda}} dx = 1,$$

ceea ce conduce la $A = 1/\bar{\lambda}$ cum era de așteptat.

8.1.3. Metodă de măsurare a drumului liber mediu

Relația stabilită între drumul liber mediu și dimensiunile moleculelor arată importanța măsurării drumului liber pentru determinarea valorii secțiunii efective, care nu poate fi măsurată direct. Această legătură se realizează de obicei prin măsurarea coeficienților de transport, dar există și metode directe de măsurare a drumului liber, utilizând fasciculele moleculare.

Schema de principiu a instalației lui Born și Borman pentru măsurarea drumului liber mediu este redată în figura 8.5. Din cuptorul C ieșe un fascicul îngust de atomi de argint dirijat pe verticală. În drumul lui, fasciculul de atomi de argint străbate patru discuri așezate la distanțe egale unul de altul ($\Delta x = 1\text{cm}$) și prevăzute cu un orificiu circular central. Pe fiecare disc (1,2,3,4) este așezat câte un sfert de disc (unghiul la centru de 90°) din sticlă, obturând astfel $1/4$ din orificiul central și așezate astfel încât toate împreună să obtureze orificiul central prin cele 4 discuri. Deci atomii de argint vor întâlni vârfurile centrale ale celor 4 sectoare pe care vor condensa. În urma ciocnirilor cu moleculele de gaz existente în vas la o anumită presiune, atomii de argint vor fi împărățiați și pe sectorul de pe discul 4 vor ajunge mai puțini atomi decât pe cel de pe discul 1. Măsurând densitatea relativă a depozitului de argint pe cele patru cadrane vom ști și numărul relativ de atomi de argint care au ajuns la cadrane. Densitățile d_1, d_2, d_3, d_4 sunt între ele în același raport ca și numerele de atomi n_1, n_2, n_3, n_4 . Densitatea d_1 de pe primul cadrans, așezat la distanța x_1 față de cuptor se poate exprima funcție de drumul liber cu ajutorul relației (8.5)

$$d_1 = d_0 \cdot e^{-x_1/\lambda}$$

d_0 fiind densitatea depozitului, aceeași pe toate cele patru cadrane când vidul este atât de înaintat încât nici un atom nu suferă ciocniri până ce ajunge pe cadransul 4. În același mod se exprimă și densitatea depozitului de pe cadransul 2

$$d_2 = d_0 \cdot e^{-x_2/\lambda}.$$

Din raportul acestor relații rezultă

$$\lambda = \frac{x_2 - x_1}{\ln d_2 - \ln d_1}$$

deci valoarea lui la diferite presiuni ale gazului.

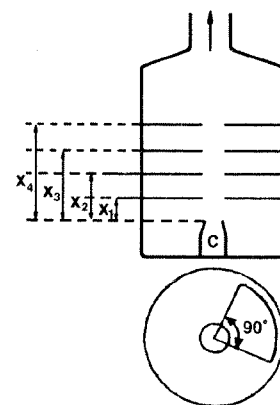


Fig. 8.5

8.2. Difuzia în gaze. Legea lui Fick

Mișcarea moleculelor dintr-o regiune, unde concentrația lor este mai mare, spre o regiune unde concentrația este mai mică constituie fenomenul de transport numit difuzie. Sensul de mișcare a moleculelor este astfel încât diferența de concentrație scade. Difuzia are loc atât în gaze cât și în solide și lichide. Fenomenul de difuzie este diferit și independent de alte fenomene macroscopice cum sunt curenții de convecție sau vânturile, cauzate tot de diferențele de densitate, presiune și temperatură. Aceste mișcări macroscopice maschează adesea fenomenul de difuzie.

Pe de altă parte un gaz difuzează în alt gaz și atunci când densitățile lor sunt egale. De exemplu, oxidul de carbon și azotul sunt două gaze cu aceeași masă moleculară, 28, deci nu există o diferență de densitate la aceeași presiune și totuși gazele se amestecă prin fenomenul de difuzie.

Difuzia are loc și împotriva câmpului gravitațional, când un strat de fluid mai dens se găsește inițial sub stratul de fluid mai ușor. Între un strat superior de hidrogen în contact cu un strat inferior de azot are loc fenomenul de difuzie, în urma căruia vom găsi azot în stratul superior și hidrogen în stratul inferior. După un timp suficient de lung cele două straturi, cu înălțimi nu prea mari, vor avea aceeași compoziție și ca urmare aceeași densitate.

8.2.1. Legea lui Fick

Descrierea macroscopică a fenomenului de difuzie, fără a specifica prezența moleculelor individuale, este dată de ecuația de difuzie în care intră mărimi macroscopice variabile cum este concentrația și fluxul de difuzie.

Concentrația particulelor de tip α se definește ca numărul n de particule (molecule, atomi) din unitatea de volum. Considerând cazul simplu când n variază numai de-a lungul unei singure axe de coordinate pe care o notăm cu x , concentrația la distanța x este n , iar la distanța $(x+dx)$ este $(n+dn)$. Difuzia are loc în sensul scăderii concentrației, de la o concentrație mai mare spre una mai mică. Bineînțeles că toate considerentele se fac în absența curenților macroscopici.

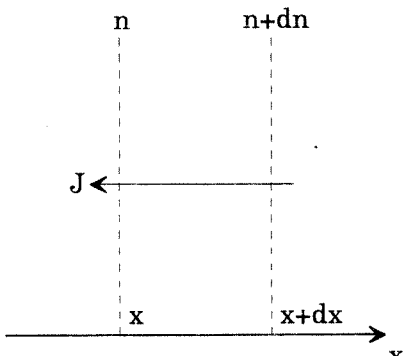


Fig. 8.6

Fluxul de difuzie J (sau fluxul de particule) se definește ca numărul mediu de particule care traversează unitatea de arie în timp de o secundă în direcția pozitivă a axei Ox , (sau masa care traversează unitatea de suprafață în unitatea de timp). Fiind raportat la unitatea de arie, J se mai numește și densitatea curentului de difuzie, sau densitatea fluxului de difuzie.

Densitatea fluxului de difuzie J variază cu poziția x , dar și cu timpul, deci în cazul general putem scrie că este funcție de x și de t , adică $J(x, t)$.

Experimental s-a constatat că fluxul J în orice poziție x este proporțional cu gradientul concentrației în acel punct

$$(8.8) \quad J_n(x, t) = -D \frac{\partial n}{\partial x} \text{ sau } J_p(x, t) = -D \frac{\partial \rho}{\partial x}$$

în care $\rho = n \cdot m$ este densitatea, iar D este coeficientul de difuzie. Această lege a fost formulată de Fick în 1855. Semnul minus (-) marchează faptul că transportul de masă (de particule) se face în sensul descreșterii densității. Când difuzia nu are loc numai pe direcția x ci și pe celelalte direcții atunci utilizăm notația vectorială

$$\vec{J}_p(x, t) = -D \operatorname{grad} \rho$$

sau

$$\vec{J}_p = \vec{i} J_x + \vec{j} J_y + \vec{k} J_z = -D \left(\vec{i} \frac{\partial \rho}{\partial x} + \vec{j} \frac{\partial \rho}{\partial y} + \vec{k} \frac{\partial \rho}{\partial z} \right).$$

Semnificațiile coeficientului de difuzie rezultă din legea lui Fick scrisă astfel

$$(8.9) \quad \frac{1}{S} \cdot \frac{dM}{dt} = -D \frac{\partial S}{\partial x}$$

și considerând $\frac{\partial \rho}{\partial x} = 1$ și $S = 1$, rezultă $D = dM/dt$. Deci coeficientul de difuzie este numeric egal cu cantitatea de substanță transportată în unitatea de timp prin unitatea de suprafață dispusă perpendicular pe direcția fluxului de difuzie, sub acțiunea unui gradient de densitate egal cu unitatea. Din relația (8.9) rezultă pentru coeficientul de difuzie dimensiunile $L^2 \cdot T^{-1}$. Unitatea de măsură nu are o denumire consacrată, în SI fiind m^2/s .

8.2.2. Difuzia în regim staționar. Calculul coeficientului de difuzie

Am văzut că în cazul general fenomenul de difuzie prezintă o variație atât în timp cât și în spațiu. Concentrația (n), definită ca numărul de particule în unitatea de volum și gradientul concentrației $(\frac{dn}{dx})$ depind de timp. În cazul când concentrația, deci și diferența de concentrație între cele

două vase este menținută constantă, spunem că difuzia are loc în regim staționar. Aceasta înseamnă că gradientul concentrației nu variază în timp și ca urmare și fluxul de difuzie este constant.

De exemplu, dacă la capetele unui tub de lungime Δl și secțiune S se păstrează, într-un mod oarecare, o diferență de concentrație constantă Δn , de-a lungul tubului apare un gradient de concentrație constant, $\frac{\Delta n}{\Delta l}$, și numărul de particule care traversează în orice plan secțiunea transversală a tubului, în unitatea de timp, este $-D \cdot S \frac{\Delta n}{\Delta l}$ și nu variază cu timpul.

Utilizând noțiunea de drum liber mediu putem exprima coeficientul de difuzie D funcție de caracteristicile moleculare ale gazului. Chiar dacă ne limităm la cazul staționar când gradientul de concentrație este constant, sistemul tot nu este în echilibru, deci nu se aplică riguros legea distribuției a lui Maxwell. Studiul riguros al fenomenelor de transport, în general, se poate face cu ajutorul ecuației cinetice a lui Boltzman, care descrie evoluția unui sistem, aflat într-o stare de neechilibru.

În cele ce urmează vom presupune că îndepărarea de starea de echilibru și de distribuția Maxwell este mică și că viteza de transport este mică în raport cu viteza de agitație termică. De asemenea se presupune că valoarea gradienților ce intervin este mică.

Pentru a calcula coeficientul de difuzie D trebuie să cunoaștem mai întâi numărul de molecule care ciocnesc peretele vasului (sau o suprafață în interiorul gazului, moleculele venind dintr-o singură parte), în timp de o secundă, pe suprafața S . Acest număr se calculează utilizând expresia distribuției moleculelor după viteze și se găsește expresia:

$$(8.10) \quad N = \frac{1}{4} n \bar{v} \cdot S,$$

n fiind numărul de molecule în unitatea de volum, iar \bar{v} viteza medie.

Utilizând această expresie corectă pentru numărul de molecule care traversează aria S în unitatea de timp, obținem valoarea corectă a coeficientului de difuzie, numai dacă mai facem o corecție privind unghiul de incidență a moleculelor cu suprafața considerată. O expresie mai ușor de stabilit pentru coeficientul de difuzie se obține făcând ipoteza simplificatoare că 1/3 din numărul total de molecule se mișcă pe direcția Ox , iar dintre acestea 1/6 în direcția pozitivă și 1/6 în direcția negativă. Deci expresia numărului de molecule care lovestesc aria S în unitatea de timp, venind dintr-o singură parte devine:

$$(8.11) \quad N = \frac{1}{6} n \bar{v} \cdot S.$$

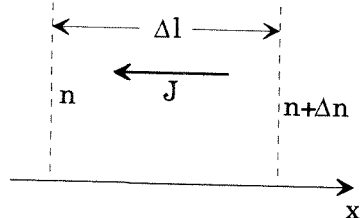


Fig. 8.7

Cu această ipoteză, plauzibilă dar mai puțin riguroasă, se obține factorul numeric corect al coeficientului de difuzie, $1/3$, și nu $1/2$ cum s-ar obține dacă utilizăm relația (8.10), fără corecții.

Pentru a calcula coeficientul de difuzie, să considerăm o suprafață S perpendiculară pe x în interiorul unui gaz și să calculăm numărul de particule care trec prin ea în unitatea de timp venind din ambele părți, dinspre $+x$ și dinspre $-x$.

În condiții de echilibru, câte molecule vin dintr-o parte tot atâtea vin și din partea opusă, dar când apare un gradient de concentrație va apărea și un flux de particule prin aria S . Presupunem că există un gradient de concentrație, dar abaterea de la echilibru nu este prea mare.

În primă aproximare fiecare moleculă care trece prin S a suferit ultima ciocnire la distanța $\bar{\lambda}$, deci un drum liber mediu. Am spus – în primă aproximare – deoarece nu toate moleculele cad perpendicular pe S . Ultima lor ciocnire a avut loc pe o sferă cu raza $\bar{\lambda}$ în jurul suprafeței S . Deoarece pe distanța $\bar{\lambda}$, de o parte și de alta a suprafeței S , nu se produc ciocniri între molecule, vom lua în considerare caracteristicile gazului (concentrația) la distanța $\bar{\lambda}$ față de suprafața S .

Concentrația în planul S este n , la distanța $-\bar{\lambda}$, este $n - \bar{\lambda} \frac{dn}{dx}$, iar la distanța $+\bar{\lambda}$ este $n + \bar{\lambda} \frac{dn}{dx}$.

Fluxul total pe unitatea de suprafață în direcția de creștere a lui x este

$$J = -\frac{1}{6}\bar{v}\left(n + \bar{\lambda} \frac{dn}{dx}\right) + \frac{1}{6}\bar{v}\left(n - \bar{\lambda} \frac{dn}{dx}\right) = -\frac{1}{3}\bar{v} \cdot \bar{\lambda} \frac{dn}{dx}$$

Prin comparație cu legea lui Fick rezultă

$$(8.12) \quad D = \frac{1}{3}\bar{v} \cdot \bar{\lambda}.$$

Observăm că există o proporționalitate a coeficientului de difuzie cu \sqrt{T} (căci $\bar{v} \sim \sqrt{T}$) și o inversă proporționalitate cu P (deoarece $\bar{\lambda} \sim \frac{1}{P}$). O discuție a rezultatelor teoretice în comparație cu datele experimentale, privind coeficientul de difuzie, o vom face la sfârșitul capitolului, împreună cu datele privind ceilalți coeficienți de transport.

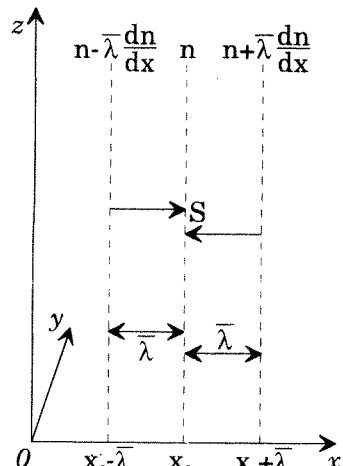


Fig. 8.8

8.2.3. Difuzia nestaționară. Ecuația difuziei. Timp de relaxare

În cazul cel mai general fenomenul de difuzie depinde și de timp. De exemplu, să considerăm două vase pline cu aer și cu un adaos de amoniac în concentrații diferite, pe care le punem în legătură între ele printr-un tub de secțiune S . Prin fenomenul de difuzie, concentrațiile n_1 și n_2 ale amoniacului în cele două vase vor tinde să se egaleze. Deoarece concentrațiile n_1 și n_2 variază în timp și gradientul dn/dx este o funcție de timp. Variația în timp a concentrației face ca numărul de particule care traversează aria S în poziția x_0 să fie diferit de numărul de particule care traversează aceeași arie în poziția x_0+dx . Dacă fluxul de particule care ieșe din volumul $dV=Sdx$ prin S la $x=x_0$, este J_{x_0} , fiind dat de legea lui Fick

$$J_{x_0} = -D \left(\frac{\partial n}{\partial x} \right)_{x=x_0}$$

atunci fluxul de particule care intră în același volum prin S la $x = x_0 + dx$ este

$$J_{x_0+dx} = J_{x_0} + \left(\frac{\partial J}{\partial x} \right)_{x=x_0} \cdot dx + \dots$$

neglijând termenii de ordin superior. Observăm că $|J_{x_0+dx}| > |J_{x_0}|$, dar ambii termeni sunt negativi.

Numărul de particule care rămân în unitatea de timp, în volumul $dV = Sdx$ este egal cu diferența celor două fluxuri înmulțite cu aria S ,

$$-S(J_{x_0+dx} - J_{x_0}) = -S \left(\frac{\partial J}{\partial x} \right)_{x=x_0} \cdot dx$$

și pe de altă parte este egal cu elementul de volum înmulțit cu variația în timp a concentrației, deci $\frac{\partial n}{\partial t} \cdot S \cdot dx$. Egalitatea celor două expresii duce la

$$-\left(\frac{\partial J}{\partial x} \right) \cdot S \cdot dx = \frac{\partial n}{\partial t} \cdot S \cdot dx$$

sau

$$(8.13) \quad \frac{\partial J}{\partial x} = \frac{\partial n}{\partial t}$$

Aceasta nu este altceva decât ecuația de continuitate care exprimă conservarea numărului de particule.

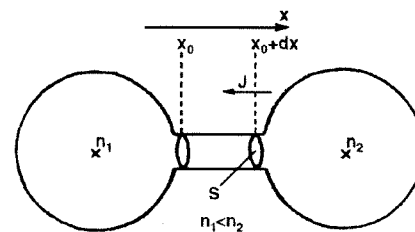


Fig. 8.9

Înlocuind pe J cu expresia lui din legea lui Fick obținem

$$(8.14) \quad \frac{\partial n(x, t)}{\partial t} = D \frac{\partial^2 n(x, t)}{\partial x^2}$$

dacă presupunem că D nu depinde de concentrație, deci și de poziție. Aceasta este ecuația de difuzie în care n depinde și de x și de t și trebuie scris $n(x, t)$, pentru evidențierea acestui lucru.

Studiind soluțiile ecuației de difuzie, în două cazuri particulare, vom avea posibilitatea să tragem unele concluzii importante privind fenomenul de difuzie nestaționară, concluzii valabile și în cazul fenomenului de conductibilitate termică nestaționară, guvernat de legi identice din punct de vedere formal.

a) În primul caz presupunem următoarele condiții inițiale: o coloană semiinfinită dintr-un material (solid, lichid, gaz) care are secțiunea transversală egală cu S , iar lungimea se extinde de la $x=0$ până la $x=\infty$ de-a lungul axei x . Pe față $x=0$ se află N_0 molecule concentrate într-un strat subțire și lăsate să difuzeze în materialul coloanei. Să notăm cu $n(x, t)$ numărul de molecule care la momentul t se află în stratul dintre x și $x+dx$. În aceste condiții soluția ecuației (8.14) este:

$$(8.15) \quad n(x, t) = \frac{N_0}{S(\pi Dt)^{1/2}} \cdot e^{-x^2/4Dt}.$$

Prin simplă substituție în ecuația (8.14) se verifică imediat că expresia (8.15) satisfacă ecuația de difuzie. Reprezentând grafic valoarea concentrației funcție de distanță, la diferite intervale de timp (fig. 8.11), observăm scăderea concentrației cu creșterea distanței, ceea ce era normal de așteptat.

Modul cum am abordat problema este pur macroscopic, dar și pe această cale putem trage unele concluzii interesante. Din punct de vedere cinematico-molecular difuzia este un proces întâmplător și este imposibil să se precizează cât de departe va difuza o anumită moleculă. Curbele din grafic ne dau numai valoarea medie a distanței până la care ajung n molecule în timpul t . Dacă ne referim la o singură moleculă în loc de N_0 , aceste curbe reprezintă funcția de distribuție $f(x)$ a distanțelor parcuse de o singură moleculă la un moment dat.

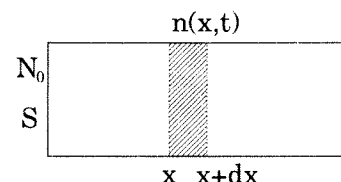


Fig. 8.10

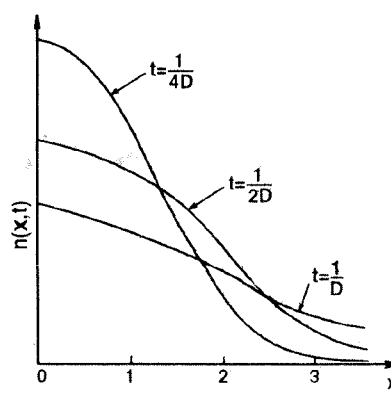


Fig. 8.11

Valoarea medie a distanței nete parcuse de o moleculă în timpul t se calculează cu metodele obișnuite

$$\bar{x}(t) = \frac{S}{N_0} \int_0^\infty x \cdot n(x, t) \cdot dx = \int_0^\infty (\pi \cdot Dt)^{-1/2} \cdot x \cdot e^{-x^2/4Dt} \cdot dx$$

utilizând integrala $\int_0^\infty x \cdot e^{-\alpha x^2} \cdot dx = \frac{1}{2\alpha}$ obținem

$$(8.16) \quad \bar{x}(t) = (\pi Dt)^{-1/2} \cdot \frac{1}{2} \cdot 4D \cdot t = \frac{2}{\sqrt{\pi}} (Dt)^{1/2}.$$

Acest rezultat ne spune că timpul t necesar ca moleculele care difuzează să ajungă la distanța medie \bar{x} este proporțional cu pătratul distanței. Evident că în drumul lor la întâmplare, produs de agitația termică, moleculele se mișcă în toate direcțiile, unele depășind pe x altele neajungând la el, dar distanța medie până la care ajung moleculele în mișcarea lor dirijată, după timpul t , sub acțiunea gradientului de concentrație este dată de relația (8.16) cunoscută și ca legea rădăcinii pătrate din t .

Relația dintre x și t ne permite să evaluăm, într-o primă aproximatie, viteza de înaintare prin difuzie a moleculelor unui gaz în altul. De exemplu să ne referim la o incintă paralelipipedică plină cu azot la presiunea atmosferică și temperatură normală și pe una din fețe facem să apară un strat de oxigen care este lăsat să difuzeze în azot. Ne întrebăm cât timp este necesar pentru ca moleculele de oxigen să parcurgă prin difuzie distanța de 1 m?

Pe baza relației (8.16) avem $t = \frac{\pi \bar{x}^2}{4D}$ și cunoscând coeficientul de difuzie al oxigenului în azot, $D_{O_2 \rightarrow N_2} = 1,7 \cdot 10^{-5} \text{ m}^2/\text{s}$ (la presiune atmosferică) rezultă $t = 4,6 \cdot 10^4 \text{ s} \approx 12 \text{ ore}$. Dar viteza de înaintare nu este constantă. Primul centimetru este parcurs în 4,6 secunde.

b) În al doilea caz să considerăm un vas de lungime l și secțiune transversală S destul de mică pentru a împiedica curenții de convecție.

Într-o jumătate se află n_0 molecule în unitatea de volum și în cealaltă zero molecule de același fel. Pentru a împiedica formarea de curenți macroscopici, în practică vasul gol se umple cu un alt gaz ale cărui molecule au aceeași masă și sunt asemănătoare ca structură cu ale primului gaz, sau chiar cu același gaz, dar având în moleculă atomi radioactivi. Difuzia începe la momentul $t=0$ și după un timp infinit concentrația va fi aceeași, $n_0/2$, în tot vasul.

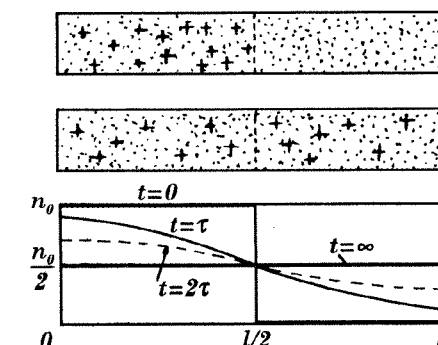


Fig. 8.12

După un interval oarecare t , concentrația este o funcție de distanță (fig. 8.12) fiind descrisă de o serie Fourier.

Inițial concentrația în prima jumătate este n_0 și ea scade, în timp ce în a doua jumătate crește, diferența de concentrație scăzând mereu. Timpul după care diferența de concentrație scade de e ori se numește *temp de relaxare* sau constanta de timp a procesului.

Pentru a stabili o expresie aproximativă a timpului de relaxare să presupunem că cele două jumătăți de vas, A și B, le înlocuim cu două vase, A plin și B gol, conectate printr-un tub îngust care permite procesul de difuzie. Pentru a putea compara situația cu cea anterioară trebuie să păstrăm raportul dintre secțiunea transversală și lungimea tubului de legătură același cu al vasului de secțiune S și lungime l considerat mai sus.

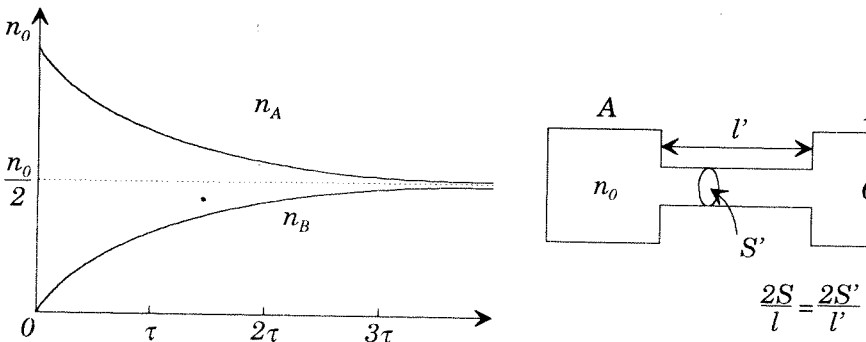


Fig. 8.13

Numărul total de particule este $n_0 S \frac{1}{2}$. Distanța medie pe care trebuie să o parcurgă o moleculă în procesul de difuzie este aproximativ $l/2$, secțiunea transversală fiind S . Dacă și tubul de legătură între A și B va avea același raport între secțiunea transversală și lungime, $2S/l$, viteza de difuzie va fi aceeași. Notând cu $-S \frac{1}{2} \frac{dn_A}{dt}$ numărul moleculelor care ies din A într-o secundă și cu $+S \frac{1}{2} \frac{dn_B}{dt}$ numărul celor care intră în B într-o secundă, fluxul de difuzie J se scrie

$$(8.17) \quad J \cdot S = -S \cdot \frac{1}{2} \frac{dn_A}{dt} = +S \cdot \frac{1}{2} \frac{dn_B}{dt}.$$

Presupunând că prin difuzie se modifică puțin concentrația în A și B, aplicăm legea lui Fick și în primă aproximație avem:

$$J = D \frac{n_A - n_B}{\frac{1}{2}}.$$

Înlocuind în relația (8.17) obținem

$$(8.18) \quad S \cdot D \cdot \frac{n_A - n_B}{\frac{1}{2}} = -S \frac{1}{2} \frac{dn_A}{dt} = +S \frac{1}{2} \frac{dn_B}{dt}.$$

Precizând că $n_A + n_B = n_0$, de unde rezultă că $n_B = n_0 - n_A$, prima egalitate duce la

$$\frac{2D}{l}(2n_A - n_0) = -\frac{1}{2} \frac{dn_A}{dt} \quad \text{sau} \quad 8D \cdot n_A - 4D \cdot n_0 = -l^2 \frac{dn_A}{dt}$$

și separând variabilele

$$\frac{dn_A}{8Dn_A - 4Dn_0} = -\frac{dt}{l^2}.$$

Integrând:

$$\int_{n_0}^{n_A} \frac{dn_A}{n_A - n_0/2} = - \int_0^t \frac{8D}{l^2} dt$$

$$\ln(n_A - n_0/2) - \ln\left(n_0 - \frac{n_0}{2}\right) = -\frac{8D}{l^2} \cdot t$$

$$n_A - \frac{n_0}{2} = \frac{n_0}{2} \cdot e^{-(8Dt/l^2)t}$$

și în final

$$(8.19) \quad n_A = \frac{n_0}{2} (1 + e^{-8Dt/l^2}) = \frac{n_0}{2} (1 + e^{-t/\tau}).$$

A doua egalitate conduce la

$$-\frac{l^2}{8D} \cdot \frac{dn_B}{dt} = n_B - \frac{n_0}{2}$$

$$\text{sau} \int_0^{n_B} \frac{dn_B}{n_B - \frac{n_0}{2}} = - \int_0^t \frac{8D}{l^2} dt \quad ; \quad n_B - \frac{n_0}{2} = \frac{n_0}{2} \cdot e^{-(8Dt/l^2)t}$$

$$(8.20) \quad n_B = \frac{n_0}{2} \cdot (1 - e^{-(8Dt/l^2)t}) = \frac{n_0}{2} \cdot (1 - e^{-t/\tau}).$$

Se verifică ușor că pentru $t = 0$, $n_A = n_0$, iar $n_B = 0$ și că $n_A + n_B = n_0$ pentru orice valoare a lui t .

Expresia timpului de relaxare $\tau = \frac{l^2}{8D}$ este foarte apropiată de expresia corectă $l^2/\pi^2 D$ obținută în cadrul teoriei riguroase. Legea exponențială de variație a concentrației explică definiția dată mai sus timpului de relaxare. Când $t = \tau$, diferența de concentrație devine $n_A - n_B = n_0 \cdot \frac{1}{e}$. În general diferența de concentrație este $\Delta n = n_A - n_B = n_0 e^{-\frac{t}{\tau}}$, n_0 reprezentând diferența de concentrație inițială.

Pentru a estima ordinul de mărime al timpului de relaxare într-un caz concret, să ne referim din nou la difuzia oxigenului în azot. Pentru

aceasta considerăm vasul de lungime $l = 10$ cm umplut cu azot la presiune atmosferică, dar jumătatea A conținând n_0 molecule de oxigen în fiecare cm^3 . Valoarea lui n_0 va scădea de $e = 2,7$ ori în timpul:

$$\tau = \frac{(0,1)^2}{8 \cdot 1,7 \cdot 10^{-5}} = 73\text{s} \approx 1\text{ min},$$

dar dacă vasul are lungimea $l = 1$ m, atunci $\tau = 2$ ore. Am utilizat aceeași valoare $D = 1,7 \cdot 10^{-5} \text{ m}^2/\text{s}$ pentru coeficientul de difuzie a oxigenului în azot.

8.2.4. Difuzia reciprocă (în amestecuri de gaze)

În toate considerentele anterioare ne-am referit numai la difuzia unui anume tip de molecule fără a ține seamă de faptul că în locul lor trebuie să difuzeze în sens invers alte molecule pentru a se păstra aceeași presiune, același număr total de particule în unitatea de volum. Această situație se întâlnește numai în cazul când moleculele studiate difuzează într-un gaz format din același tip de molecule. Pentru a putea distinge moleculele care difuzează de restul gazului se utilizează un izotop radioactiv al gazului respectiv. În aceste condiții coeficientul de difuzie a cărui expresie este dată de relația (8.12) se numește *coeficient de autodifuzie*, iar procesul fizic este numit *autodifuzie*.

În practică are mare importanță fenomenul de difuzie a unui gaz în alt gaz, pentru care trebuie să definim coeficientul de difuzie corespunzător. Este evident că un gaz ușor (cu masa moleculară mică) are, la aceeași temperatură, o viteză medie mai mare și ca urmare un coeficient de difuzie mai mare decât un gaz mai greu. Ca urmare, difuzia unui gaz în amestec este determinată și de caracteristicile gazului în care difuzează. Moleculele acestuia din urmă trebuie să ia locul celor care au difuzat.

Să presupunem că avem un amestec de două gaze A și B, numărul de molecule în unitatea de volum fiind n_A și n_B . La echilibru ele sunt amestecate uniform. Într-o stare de neechilibru va exista un gradient $\frac{dn_A}{dx}$ al concentrației moleculelor de tip A pe direcția x. Dacă presiunea este peste tot constantă atunci suma $n_A + n_B$ este o mărime constantă și ca urmare va exista un gradient egal și de sens contrar $-\frac{dn_B}{dx}$ pentru moleculele de tip B. Deci când $n_A + n_B = \text{const.}$, avem

$$(8.21) \quad \frac{dn_A}{dx} = -\frac{dn_B}{dx}.$$

Prinț-ur plan imaginari care separă în două amestecul nostru de gaze, va trece un flux de molecule de tip A și un flux de molecule de tip B exprimate prin legea lui Fick,

$$J'_A = -\frac{1}{3} \bar{v}_A \bar{\lambda}_A \frac{dn_A}{dx} \quad \text{și} \quad J'_B = -\frac{1}{3} \bar{v}_B \bar{\lambda}_B \frac{dn_B}{dx}$$

în care am introdus expresia coeficientului de autodifuzie pentru fiecare gaz, funcție de viteza medie a moleculelor unui gaz (de exemplu A) în amestec și de drumul liber mijlociu al moleculelor unui gaz în amestec. Dacă cele două gaze ar fi identice, atunci $D_A = D_B$ sau $\frac{1}{3} \bar{v}_A \bar{\lambda}_A = \frac{1}{3} \bar{v}_B \bar{\lambda}_B$ și cele două fluxuri de difuzie se compensează reciproc. Dacă cele două gaze, formând amestecul sunt diferite și dacă presiunea este aceeași în tot volumul gazului atunci trebuie să existe o mișcare a gazului ca un întreg (macroscopic) prin planul separator imaginari. Această mișcare se suprapune mișcării de agitație termică prin care se realizează difuzia. Notând cu v_0 viteza de deplasare a masei de gaz perpendicular pe planul de separație, numărul de molecule care traversează unitatea de arie în unitatea de timp este $n \cdot v_0$ unde $n = n_A + n_B$.

Pentru ca presiunea gazului să rămână constantă în tot volumul, viteza de antrenare macroscopică v_0 trebuie să aibă o astfel de valoare încât transportul macroscopic de masă, $n \cdot v_0$, să fie compensat prin fenomenul de difuzie. Deci

$$J'_A + J'_B + n \cdot v_0 = 0.$$

Înlocuind expresiile fluxurilor de difuzie și având în vedere relația (8.21)

$$n \cdot v_0 = \frac{1}{3} \frac{dn_A}{dx} (\bar{v}_A \cdot \bar{\lambda}_A - \bar{v}_B \cdot \bar{\lambda}_B) = \frac{1}{3} \frac{dn_B}{dx} (\bar{v}_B \cdot \bar{\lambda}_B - \bar{v}_A \cdot \bar{\lambda}_A),$$

și viteza de antrenare a gazului are expresia:

$$v_0 = \frac{1}{3} \cdot \frac{dn_A}{dx} \left(\frac{\bar{v}_A \cdot \bar{\lambda}_A}{n} - \frac{\bar{v}_B \cdot \bar{\lambda}_B}{n} \right) = \frac{1}{3} \cdot \frac{dn_B}{dx} \left(\frac{\bar{v}_B \cdot \bar{\lambda}_B}{n} - \frac{\bar{v}_A \cdot \bar{\lambda}_A}{n} \right).$$

Numărul total de molecule de tip A care traversează unitatea de arie a planului considerat, în unitatea de timp este

$$J_A = J'_A + n_A v_0 = -\frac{1}{3} \frac{dn_A}{dx} \left(\bar{v}_A \cdot \bar{\lambda}_A - \frac{n_A \bar{v}_A \bar{\lambda}_A}{n} + \frac{n_A \bar{v}_B \bar{\lambda}_B}{n} \right)$$

dar din $n = n_A + n_B$ rezultă

$$(8.22) \quad J_A = -\frac{1}{3} \frac{dn_A}{dx} \left(\frac{n_B}{n} \bar{v}_A \cdot \bar{\lambda}_A + \frac{n_A}{n} \bar{v}_B \cdot \bar{\lambda}_B \right).$$

În mod analog se obține fluxul de difuzie pentru moleculele de tip B

$$(8.23) \quad J_B = -\frac{1}{3} \frac{dn_B}{dx} \left(\frac{n_A}{n} \bar{v}_B \cdot \bar{\lambda}_B + \frac{n_B}{n} \bar{v}_A \cdot \bar{\lambda}_A \right).$$

Din comparația ultimelor două relații (8.22-8.23) cu legea lui Fick, observăm că expresia *coeficientului de difuzie reciprocă* este aceeași pentru ambele tipuri de molecule

$$(8.24) \quad D_A = D_B = \frac{1}{3} \left(\frac{n_B}{n} \bar{\lambda}_A \bar{v}_A + \frac{n_A}{n} \bar{\lambda}_B \bar{v}_B \right).$$

Difuzia gazului A în gazul B este caracterizată prin coeficientul de difuzie D_A egal cu coeficientul de difuzie D_B al gazului B în gazul A. La limită, când concentrația relativă a gazului A în amestec, n_A/n , este foarte mică, tindând la zero, atunci concentrația relativă n_B/n tinde către unitate și coeficientul de difuzie reciprocă devine:

$$D_A = \frac{1}{3} \bar{v}_A \cdot \bar{\lambda}_A$$

având expresia coeficientului de autodifuzie.

Faptul că în expresia coeficientului de difuzie reciprocă intervine concentrația relativă $C_A = n_A/n$ sau $C_B = n_B/n$ ne sugerează posibilitatea unei alte definiții a coeficientului de difuzie. Pentru a caracteriza fenomenul de difuzie putem urmări, ca până acum, variația numărului de molecule de un anume tip în unitatea de volum $\left(\frac{dn_A}{dx}\right)$ sau putem urmări variația concentrației relative a moleculelor de un anume tip $\left(\frac{dC_A}{dx}\right)$. Pentru aceasta este suficient să utilizăm relația de definiție $C_A = \frac{n_A}{n}$, de unde $n_A = nC_A$ și $\frac{dn_A}{dx} = n \frac{dC_A}{dx}$, iar expresia fluxului de difuzie devine $J_A = -\frac{1}{3} D_A n \frac{dC_A}{dx}$. Dacă socotim drept coeficient de difuzie produsul $D \cdot n = D'$, observăm că acesta nu depinde de numărul total de particule în unitatea de volum. Altfel spus, produsul $D \cdot \rho$ (ρ = densitatea amestecului) nu depinde de presiune, ceea ce constituie un criteriu pentru verificarea experimentală a teoriei cinetice simple a fenomenului de difuzie în gaze.

8.2.5. Măsurarea coeficientului de difuzie

Determinarea experimentală a coeficientului de difuzie se face utilizând două vase, conținând gaze de concentrații inițiale diferite și măsurând concentrațiile după ce s-a făcut legătura între ele. Dacă este vorba de gaze diferite analiza se face pe cale chimică, prin spectroscopie de masă sau interferometrie.

Se poate determina coeficientul de autodifuzie, când moleculele difuzează în același gaz, dar pentru aceasta se utilizează doi izotopi cu aceeași formă și aceleași dimensiuni moleculare, aceeași masă și același potențial de interacție, însă unul fiind detectabil prin faptul că este radioactiv.

TABELUL 8.1
Valori ale coeficientului de difuzie reciprocă

Gaze	$D_{1-2} \cdot 10^5 (\text{m}^2/\text{s})$
$\text{H}_2 \rightarrow \text{O}_2$	6,79
$\text{O}_2 \rightarrow \text{N}_2$	1,74
$\text{CO} \rightarrow \text{H}_2$	6,42
$\text{CO}_2 \rightarrow \text{O}_2$	1,83
$\text{CO}_2 \rightarrow \text{H}_2$	5,38
$\text{H}_2\text{O} \rightarrow \text{CO}_2$	0,98
$\text{CO}_2 \rightarrow \text{CO}$	1,36

De exemplu, pentru a măsura coeficientul de difuzie a argonului în argon, la temperatura camerei și presiune foarte ridicată, două volume egale ($V = 36 \text{ cm}^3$) se pun în contact printr-o bară de bronz poros ($l = 3,8 \text{ cm}$). Porii din bara de bronz trebuie să aibă diametrul mai mare decât drumul liber mediu la presiunea respectivă (ex. $2 \times 10^{-4} \text{ cm}$). Numărul mare de pori face ca aproape un sfert din aria secțiunii transversale a barei de bronz să fie liberă pentru trecerea gazului (ex. secțiunea transversală totală a porilor poate ajunge la $S = 0,36 \text{ cm}^2$).

Volumul A se umple cu argon ordinat (${}^{40}\text{A}$) iar volumul B cu argon la aceeași presiune conținând o mică concentrație din izotopul radioactiv al argonului ${}^{37}\text{A}$. Prezența izotopului ${}^{37}\text{A}$ este detectată cu ajutorul camerelor de ionizare care constituie chiar cele două volume A și B. Timpul de înjumătățire a izotopului utilizat trebuie să fie mai mare decât timpul necesar pentru experiență.

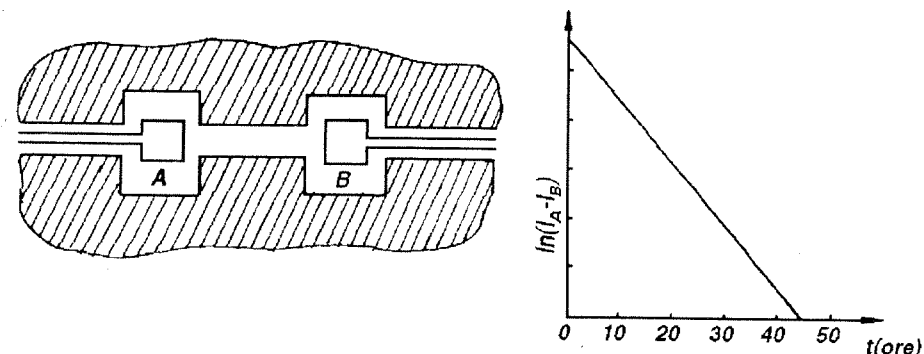


Fig. 8.14

Utilizând relația (8.18) ecuația care descrie fenomenul este:

$$(8.25) \quad -V \frac{dn_A}{dt} = +V \frac{dn_B}{dt} = S D \frac{n_A - n_B}{l}$$

în concordanță cu ecuația (8.18), dar luând în considerare geometria dispozitivului descris (fig. 8.14). Utilizând rezultatul integrării relației (8.25) putem calcula diferența $n_A - n_B$ pe baza relațiilor (8.19 și 8.20)

$$n_A - n_B = \frac{n_0}{2} (1 + e^{-t/\tau}) - \frac{n_0}{2} (1 - e^{-t/\tau}) = n_0 \cdot e^{-t/\tau}$$

$$\text{în care } \tau = \frac{V \cdot l}{2D \cdot S}.$$

Camerele de ionizare înregistrează curentii i_A și i_B cu intensități de ordinul 10^{-14} A , care sunt proporționale cu concentrațiile izotopului ${}^{37}\text{A}$, n_A și n_B . Deci

$$(i_A - i_B) \cdot \text{const.} = n_0 \cdot e^{-t/\tau}$$

Prin logaritmare avem

$$\ln(i_A - i_B) + \ln \text{const.} = \ln n_0 - \frac{t}{\tau}.$$

Reprezentând grafic această ecuație în coordonate semilogaritmice găsim că $\ln(i_A - i_B)$ variază liniar funcție de timp (fig. 8.14). Panta dreptei este negativă și are valoarea $\frac{2S \cdot D}{V \cdot l}$. Măsurând panta dreptei putem calcula coeficiențul de difuzie D , care este de fapt coeficientul de difuzie al argonului radioactiv ^{37}A în argonul obișnuit ^{40}A .

Pentru a obține coeficientul de autodifuzie al argonului ^{40}A se cer unele corecții.

8.2.6. Termodifuzia

Termodifuzia este fenomenul de separare a componentelor unui amestec de gaze sub acțiunea unui gradient de temperatură. Moleculele mai ușoare se vor acumula în regiunea cu temperatură mai ridicată, iar cele mai grele în regiunea cu temperatură mai coborâtă stabilindu-se astfel un gradient de densitate, presiunea fiind aceeași. Dacă masa moleculelor celor două componente este aproximativ aceeași, în regiunea cu temperatură mai ridicată se vor aduna moleculele mai puțin voluminoase. Explicarea fenomenului se bazează pe luarea în considerare a forțelor de respingere între molecule în timpul ciocnirii.

În momentul când apare o separare a celor două componente prin fenomenul de termodifuzie, apare și gradientul de concentrație care determină apariția difuziei reciproce stabilindu-se un echilibru dinamic.

Fenomenul de separare a componentelor prin termodifuzie este foarte mic. Dacă inițial amestecul este de 50% O_2 și 50% N_2 , distribuit omogen, temperatura fiind aceeași, menținând un capăt al tubului la 0°C și celălalt la 500°C , apare următoarea diferență de concentrații: la capătul mai cald 50,27% N_2 și 49,73% O_2 , iar la capătul rece 49,73% N_2 și 50,27% O_2 . Cu toate acestea fenomenul se utilizează în practică pentru separarea izotopilor, dar în combinație cu convecția termică. La peretele cald se adună componenta ușoară, iar la cel rece componenta grea. Diferența de densitate duce la apariția convecției termice și astfel în partea superioară se acumulează gazul ușor iar în partea inferioară cel mai greu. În practică se

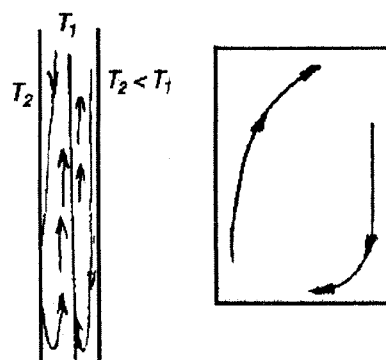


Fig. 8.15

folosesc coloane de 5-10 m cu diametrul până la 10 mm având axial un fir de platină încălzit la $1000-1700^\circ\text{C}$. Gradientul de temperatură se stabilește între firul central și peretele tubului. Trecerea amestecului de mai multe ori prin aceste coloane de termodifuzie permite separarea izotopilor unui element dat.

8.3. Conductibilitatea termică. Legea lui Fourier

Procesul de transmisie a energiei termice, a căldurii, este de asemenea un fenomen de transport. De data aceasta se transportă mișcarea dezordonată a moleculelor, energia lor cinetică de agitație termică, dintr-o regiune mai căldă într-o regiune mai rece. Într-o regiune căldă a unui solid atomii au o amplitudine de vibrație mai mare, într-o regiune mai căldă a unui gaz, moleculele au o energie cinetică suplimentară. Această energie se transmite, prin ciocniri, moleculelor vecine fără ca moleculele să capete o mișcare dirijată.

8.3.1. Legea lui Fourier

Pentru a stabili ecuația de propagare a căldurii vom considera cazul simplu când mediul în care se propagă este omogen și izotrop, curenții de convenție lipsesc și propagarea se face într-o singură direcție fără pierderi laterale.

Ca și în cazul difuziei, notăm cu J fluxul de căldură, adică acea cantitate de căldură care în timp de o secundă străbate unitatea de suprafață orientată perpendicular pe direcția de propagare. Experiența arată că propagarea căldurii se face totdeauna dinspre zona mai căldă spre zona mai rece și că fluxul de căldură J este proporțional cu gradientul de temperatură:

$$(8.26) \quad J(x, t) = -K \cdot \frac{\partial T}{\partial x}$$

În cazul când între două puncte la distanța l se menține o diferență de temperatură constantă $T_2 - T_1$ rezultă că

$$\frac{\partial T}{\partial x} = \frac{T_2 - T_1}{l} \quad \text{și} \quad J(x) = -K \cdot \frac{T_2 - T_1}{l}$$

adică fenomenul este staționar, fluxul de căldură nu depinde de timp.

Constanta de proporționalitate K se numește coeficient de conductibilitate termică. Această lege a fost stabilită în anul 1822 de către Joseph Fourier (1768-1830).

Din legea lui Fourier scrisă sub forma $\frac{dQ}{dt} = -KS \frac{dT}{dx}$ rezultă dimensiunile lui K: $[K] = \frac{[Q]}{[LT\theta]} = \frac{\text{Joule}}{\text{m} \cdot \text{s} \cdot \text{K}} = \frac{\text{Watt}}{\text{m} \cdot \text{K}}$. Sensul fizic al acestui coeficient rezultă dacă se presupune că $dT/dx = 1$ și $dS = 1$. Deci K = dQ/dt reprezintă cantitatea de căldură care în unitatea de timp străbate unitatea de suprafață izotermă când în regiunea acestei suprafete gradientul de temperatură este egal cu unitatea.

8.3.2. Calculul coeficientului de conductibilitate termică în gaze

Utilizând aceeași metodă, ca și în cazul coeficientului de difuzie, putem calcula coeficientul de conductibilitate termică. Mărimea transportată fiind energia cinetică medie de translație a moleculelor, vom lua în considerare nu gradientul de temperatură ci gradientul acestei energii corelată cu temperatura prin relația:

$$(8.27) \quad \frac{1}{2}mv^2 = \frac{3}{2}kT.$$

În regiunea suprafeței S energia cinetică medie a moleculelor este $\frac{3}{2}kT_0$, iar la o distanță egală cu drumul mediu este $\frac{3}{2}k \left(T_0 \pm \bar{\lambda} \frac{\partial T}{\partial x} \right)$. Deci energia termică transportată în unitatea de timp prin unitatea de suprafață, în direcția axei Ox este

$$J_x = -\frac{1}{6}n\bar{v} \left(\frac{3}{2}kT_0 + \bar{\lambda} \frac{3}{2}k \frac{\partial T}{\partial x} \right) + \frac{1}{6}n\bar{v} \left(\frac{3}{2}kT_0 - \bar{\lambda} \frac{3}{2}k \frac{\partial T}{\partial x} \right).$$

Prin comparația cu legea lui Fourier vedem că expresia coeficientului de conductibilitate este

$$(8.28) \quad K = \frac{1}{3}\bar{\lambda} \cdot \bar{v} \cdot n \frac{3}{2}k.$$

Ca să luăm în considerare și alte energii, pe lângă cea de translație (în cazul gazelor poliatomice) este convenabil să introducем căldura specifică la volum constant c_v .

$$C_v = c_v \cdot N_A \cdot m = \frac{3}{2}kN_A \quad ; \quad \frac{3}{2}k = c_v \cdot m$$

Deci

$$(8.29) \quad K = \frac{1}{3}\bar{\lambda} \cdot \bar{v} \cdot n \cdot m \cdot c_v = \frac{1}{3}\bar{\lambda} \cdot \bar{v} \cdot c_v \cdot \rho$$

Se observă imediat independența de presiune (sau de n) a coeficientului de conductibilitate termică a gazelor.

8.3.3. Conductibilitatea termică nestaționară

Și în cazul transportului de căldură ca și în cazul difuziei putem scrie ecuația de continuitate bazându-ne pe legea conservării energiei (a căldurii). Făcând diferență între fluxul de căldură care intră în volumul cuprins între planele A și B (fig. 8.16) și cel care ieșe găsim cantitatea de căldură rămasă în acel volum. Deci

$$(J_{x_0} - J_{x_0+dx}) \cdot S = -\frac{\partial J}{\partial x} \cdot dx \cdot S$$

Aceeași cantitate de căldură, rămasă în volumul dintre planele A și B, se poate exprima și prin ecuația calorimetrică raportată la timpul dt cât durează procesul $\frac{dQ}{dt} = mc_v \frac{dT}{dt}$, în care m este masa de gaz cuprinsă în volumul considerat. Pentru un volum elementar de secțiune S și lungimea dx conținând gaz cu densitatea ρ vom scrie $dm = \rho \cdot S \cdot dx$. Deci

$$\rho \cdot S \cdot dx \cdot c_v \cdot \frac{dT}{dt} = -\frac{\partial J}{\partial x} \cdot dx \cdot S$$

sau

$$\frac{\partial J}{\partial x} = -\rho \cdot c_v \frac{dT}{dt}.$$

Introducând expresia lui J din legea lui Fourier (8.26) obținem:

$$-K \frac{\partial}{\partial x} \left(\frac{\partial T}{\partial x} \right) = -\rho \cdot c_v \cdot \frac{dT}{dt}$$

sau

$$(8.30) \quad \frac{\partial T}{\partial t} = \frac{K}{\rho \cdot c_v} \cdot \frac{\partial^2 T}{\partial x^2}$$

ceea ce reprezintă ecuația de propagare a căldurii, de aceeași formă cu ecuația difuziei.

Constanta $\frac{K}{\rho \cdot c_v}$ se numește difuzivitate termică (cuprinde conductivitatea K, densitatea și căldura specifică la volum constant c_v) și joacă rolul coeficientului de difuzie din legea lui Fick. În practică este mai important să cunoaștem legile procesului tranzitoriu de propagare a căldurii, procese descrise de soluțiile ecuației (8.30) în mod analog cu soluțiile ecuației difuziei.

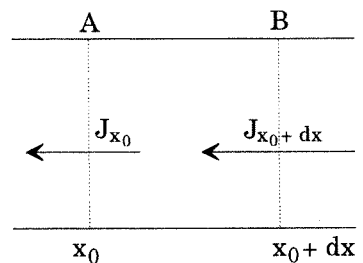


Fig. 8.16

8.3.4. Măsurarea coeficientului de conductibilitate termică a gazelor

Utilizând legea lui Fourier și alegând o geometrie convenabilă a dispozitivului experimental putem măsura, relativ ușor, coeficientul de conductibilitate termică a gazelor.

Gazul de studiat este introdus între doi cilindri metalici concentrici cu razele r_1 , r_2 și înălțimea comună h . Cilindrul interior este de fapt un fir încălzit prin trecerea curentului electric. Diferența de temperatură $T_2 - T_1$ se măsoară direct cu un termocuplu. După un timp scurs de la închiderea circuitului prin firul central diferența de temperatură rămâne constantă indicând un regim staționar. Puterea W consumată pentru încălzirea firului fiind constantă, diferența de temperatură este numai funcție de conductivitatea gazului și de dimensiunile dispozitivului experimental.

În regim staționar cantitatea de căldură Q care pleacă de la firul central străbătând aria laterală S în unitatea de timp este egală cu puterea consumată pentru încălzire

$$Q = W.$$

Legea lui Fourier se scrie:

$$W = -K \frac{\partial T}{\partial r} \cdot S = -K \frac{\partial T}{\partial r} \cdot 2\pi rh.$$

Pentru a calcula diferența de temperatură, această ecuație diferențială o scriem sub formă:

$$dT = -\frac{W}{2\pi K h} \cdot \frac{dr}{r}.$$

Notând temperatura cilindrului de rază r_1 cu T_1 și a celui de rază r_2 cu T_2 prin integrare obținem:

$$\int_{T_1}^{T_2} dT = -\frac{W}{2\pi K h} \int_{r_1}^{r_2} \frac{dr}{r}$$

și de aici

$$(8.31) \quad T_2 - T_1 = -\frac{W}{2\pi K h} \cdot \ln \frac{r_2}{r_1}.$$

Deci, măsurând puterea consumată pentru încălzire și diferența de temperatură se poate calcula valoarea coeficientului de conductibilitate termică a gazului, dacă se cunosc dimensiunile instalației.

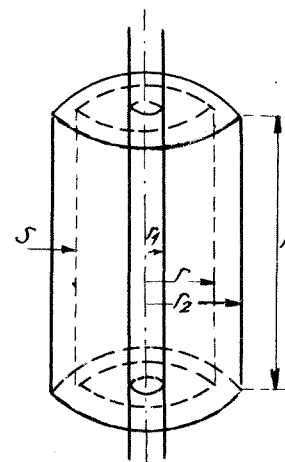


Fig. 8.17

Sunt necesare unele măsuri de precauție pentru a înălțura curentii de convecție și pentru a face corecțiile necesare privind pierderile de căldură prin firele termocuplului și prin suporturile de sprijin ale cilindrului.

8.4. Viscozitatea gazelor. Legea lui Newton

Suntem obișnuiți ca fenomenul de viscozitate sau de frecare internă să-l asociem în primul rând lichidelor, dar el apare în gaze și în solide. Din punct de vedere macroscopic fenomenul este studiat mai ales când se studiază dinamica fluidelor, de aceea ne propunem numai să amintim legea care guvernează fenomenul pentru a arăta că este un proces de transport și apoi să calculăm coeficientul de viscozitate în cadrul teoriei cinetico-moleculare.

8.4.1. Legea lui Newton

Să considerăm un strat de gaz (sau lichid) limitat de două plăci plane paralele una deplasându-se în direcția Ox cu viteza U_x iar cealaltă fiind imobilă ($U_x = 0$). Placa mobilă va antrena moleculele de gaz cu care vine în contact imprimându-le viteza dirijată U_x , suprapusă vitezei de agitație termică. Este evident că o moleculă care datorită agitației termice se ciocnește cu placa în mișcare cu viteza U_x , va căpăta, în urma ciocnirii, o viteză suplimentară pe direcția Ox. Stratul de gaz antrenat în mișcare va antrena și el la rândul lui stratul următor, dar cu o viteză mai mică, în aşa fel încât apare un gradient al vitezei pe direcția Ox perpendicular pe viteza de mișcare.

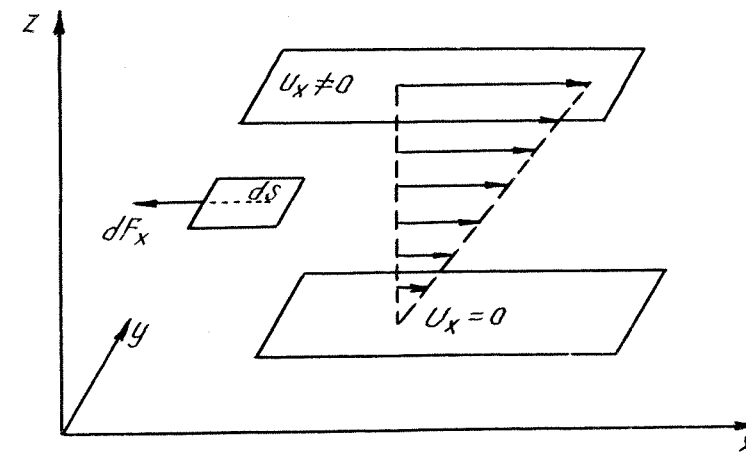


Fig. 8.18

Din punct de vedere cinetico-molecular, explicația (calitativă) a acestui fenomen se bazează pe luarea în considerare a transportului de impuls, dirijat de la stratul cu viteză mai mare spre stratul cu viteză mai mică. Datorită agitației termice, prin suprafața de separație dS a două straturi cu viteze de mișcare diferite, moleculele difuzează în ambele sensuri transportând impulsul lor $m(U_x + dU_x)$ într-un sens și mU_x în sens contrar. Prin aceasta se realizează un transport de impuls de la stratul cu viteză mai mare spre stratul cu viteză mai mică.

Fenomenul de viscozitate, sau de frecare internă poate fi evaluat prin forță de frecare ce se exercită asupra unității de suprafață ce separă două straturi cu viteze diferite. Încă în 1686, Newton a observat că această forță este proporțională cu gradientul vitezei pe direcția perpendiculară pe direcția de mișcare.

$$(8.32) \quad \frac{dF_x}{dS} = -\eta \frac{dU_x}{dz}.$$

Factorul de proporționalitate η se numește coeficient de viscozitate sau coeficient de frecare internă. Semnul minus (-) s-a introdus pentru a preciza că forța de frecare (internă) este îndreptată în sens contrar mișcării și prin aceasta se păstrează aceeași formă pentru legile celor trei fenomene de transport.

Pentru a defini pe η procedăm ca în cazurile precedente; considerând $dS = 1$ și $\frac{dU_x}{dz} = 1$ rezultă că forța de frecare este numeric egală cu coeficientul de viscozitate. Dimensiunile acestui coeficient rezultă din relația:

$$[\eta] = \left[\frac{\frac{dF_x}{dS}}{\frac{dU}{dz}} \right] = L^{-1} \cdot M \cdot T^{-1}.$$

În sistemul internațional, η se măsoară în $N \cdot s/m^2$, unitate numită și decapoise (daP). Denumirea provine de la unitatea de viscozitate în sistemul CGS care este $1 \frac{g}{cm \cdot s} = 1P$ (Poise), după numele lui J.Poiseuille (1799-1869).

Din legea lui Newton în forma de mai sus nu rezultă că viscozitatea este un fenomen de transport. Dar dacă luăm în considerare că $F \cdot dt = d(mv)$, relația (8.32) devine:

$$\frac{d(mv)}{dt \cdot dS} = -\frac{dU_x}{dz}$$

ceea ce arată că impulsul transportat în unitatea de timp prin unitatea de suprafață este proporțional cu gradientul de viteză.

Regimul nestaționar al fenomenului de viscozitate este mai mult o problemă de curgere a fluidelor și fiind o problemă mult mai complicată nu o putem aborda aici. În schimb precizăm că și frecarea internă, ca și celelalte

fenomene de transport, are loc în orice substanță sub orice formă de agregare. În solide nu este posibilă o deplasare a două straturi adiacente pe o distanță prea mare fără a produce o ruptură, o forfecare, dar este posibilă o deplasare osculatorie pe distanțe mici.

Pentru a menține mișcarea de oscilație este necesară cheltuirea unei energii care se transformă în căldură datorită existenței forțelor de frecare internă ce se opun mișcării.

În majoritatea cazurilor coeficientul de viscozitate este o mărime constantă aşa cum am presupus și noi în considerentele de mai sus. Fluidele pentru care η este constant se numesc fluide newtoniene. Există însă și multe excepții. De exemplu o suspensie de ciment are o viscozitate mică la o mișcare cu viteză mare (când este agitat). Unele uleiuri au o comportare asemănătoare, sau complet opusă. Asupra valorii lui η pentru diferite gaze vom reveni în paragraful următor.

8.4.2. Calculul coeficientului de viscozitate

Urmând calea pe care am mers pentru a calcula coeficienții D și K vom stabili și expresia legăturii dintre η și mărimile moleculare caracteristice gazului. Impulsul transportat în unitatea de timp prin unitatea de suprafață, pe direcția gradientului de

$$\frac{d(mv)}{dt \cdot dS} = J_z = -\frac{1}{6} n \bar{v} \left[m \cdot U_0 + \bar{\lambda} \frac{\partial(mU_x)}{\partial z} \right] + \frac{1}{6} n \bar{v} \left[mU_0 - \left(\frac{m \partial U_x}{\partial t} \right) \right]$$

$$J_z = -\frac{1}{3} n \cdot \bar{v} \cdot \bar{\lambda} \frac{\partial(mU_x)}{\partial z}$$

și prin comparație cu legea lui Newton (8.32) rezultă:

$$(8.33) \quad \eta = \frac{1}{3} n \cdot m \cdot \bar{v} \cdot \bar{\lambda} = \frac{1}{3} \bar{v} \cdot \bar{\lambda} \cdot \rho.$$

Măsurarea coeficientului de viscozitate se poate face studiind curgerea gazului printr-un tub de lungime l și rază R, sub acțiunea unei diferențe de presiune ΔP , când volumul gazului scurs în unitatea de timp este dat de formula lui Poiseuille

$$(8.34) \quad V = \frac{\pi \cdot R^4}{8\eta} \cdot \frac{\Delta P}{l}$$

Altă metodă de măsurare a lui η se bazează direct pe legea lui Newton și este analizată în paragraful următor.

8.4.3. Măsurarea coeficientului de viscozitate a gazelor

Metoda clasică este cea folosită de Maxwell. Un număr de discuri din sticlă sunt suspendate cu un fir cu torsione în poziție orizontală. Aceste

discuri sunt făcute să oscileze între alte discuri fixe. Neglijând pierderile de energie în firul de suspensie, sistemul mobil va oscila un timp foarte lung dacă ar fi plasat în vid. Deci amortizarea oscilațiilor se produce numai din cauza viscozității gazului.

Legea de mișcare a echipajului mobil se stabilește în modul următor. Oscilațiile fiind lente se poate considera curgerea laminară și se aplică legea lui Newton. Considerăm pe o față a unui disc un inel circular cuprins între razele r și $r+dr$, aria lui fiind

$$dS = 2\pi r dr.$$

Dacă viteza unghiulară a discului mobil este ω , viteza liniară este $r\omega$ și gradientul de viteză este $\frac{du_x}{dz} = \frac{r\omega}{l}$ unde l este distanța între discul mobil și discul fix vecin. Cu aceste înlocuiri legea lui Newton devine:

$$dF = -\eta \frac{r\omega}{l} \cdot 2\pi r dr.$$

Momentul forței este

$$dM_F = dF \cdot r = -\eta \frac{2\pi\omega}{l} r^3 dr.$$

Momentul total acționând asupra unei singure fețe a unui disc este:

$$M_F = -\frac{2\pi\eta\omega}{l} \int_0^R r^3 dr = -\frac{\pi\eta\omega}{2l} R^4$$

unde am notat cu R raza discului.

Scriind legea a două a dinamicii pentru sistemul mobil în oscilație liberă obținem ecuația de mișcare a sistemului format din n discuri (fiecare cu două fețe)

$$-2n \frac{\pi\eta}{2l} \cdot R^4 \cdot \frac{d\alpha}{dt} - C \cdot \alpha = I \frac{d^2\alpha}{dt^2}.$$

Primul termen reprezintă momentul forțelor de frecare, în care am înlocuit pe ω cu $\frac{d\alpha}{dt}$, al doilea termen reprezintă momentul cuplului de torsiune al firului de suspensie, C fiind constanta de torsiune a firului. Ambii termeni sunt cu semn negativ deoarece se opun mișării. Termenul din dreapta reprezintă produsul dintre momentul de inerție I al întregului sistem mobil și accelerația lui unghiulară. Ordonând altfel termenii ecuației obținem forma cunoscută a ecuației diferențiale a mișării oscilatorii amortizate.

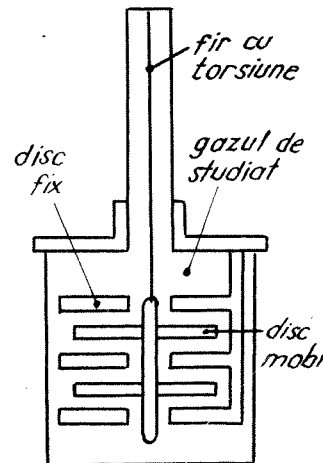


Fig. 8.19

$$I \frac{d^2\alpha}{dt^2} + \frac{n\pi R^4 \eta}{l} \cdot \frac{d\alpha}{dt} + C \cdot \alpha = 0.$$

Împărțind cu I și notând $\frac{n\pi R^4 \eta}{l} = 2\delta$ și $\frac{C}{I} = \omega_0^2$, ecuația capătă forma:

$$(8.35) \quad \frac{d^2\alpha}{dt^2} + 2\delta \frac{d\alpha}{dt} + \omega_0^2 \alpha = 0.$$

În cazul experienței noastre ne interesează numai situația când sistemul oscilează și acest lucru are loc dacă $\delta^2 < \omega_0^2$. Soluția ecuației în acest caz este

$$(8.36) \quad \alpha = M \cdot e^{-\delta t} \cdot \sin(\omega t - \rho)$$

în care M și ρ sunt două constante determinate de condițiile inițiale ale mișării.

Observăm că α , unghiul de rotație a sistemului, variază sinusoidal cu o amplitudine care descrește exponențial în timp. Dacă facem raportul amplitudinilor la două momente ale oscilației separate printr-o perioadă T , obținem:

$$\frac{A_1}{A_2} = \frac{M \cdot e^{-\delta T}}{M \cdot e^{-\delta(t+T)}} = e^{\delta T}$$

De aici, se vede că timpul necesar ca amplitudinea oscilațiilor să scadă de e ori ($\delta T=1$) este tocmai $\tau = \frac{1}{\delta}$. Înlocuind valoarea lui δ , rezultă

$$(8.37) \quad \tau = \frac{2l \cdot l}{n\pi \cdot R^4 \eta}.$$

Măsurând pe τ și cunoscând datele constructive ale aparatului se poate calcula valoarea lui η . Pentru măsurători de precizie sunt necesare corecții privind efectul marginilor și al firului de suspensie.

8.5. Concordanța rezultatelor teoretice cu datele experimentale

În paragrafele anterioare am dedus expresiile celor trei coeficienți de transport în gaze

$$D = \frac{1}{3} \bar{\lambda} \cdot \bar{v} ; \quad K = \frac{1}{3} \bar{\lambda} \cdot \bar{v} \cdot \rho \cdot c_v \quad și \quad \eta = \frac{1}{3} \bar{\lambda} \cdot \bar{v} \cdot \rho.$$

Se observă că între ei există relațiile

$$(8.38) \quad \rho \cdot D = \eta ; \quad K = \rho \cdot c_v \cdot D \quad și \quad \frac{K}{\eta} = c_v,$$

care permit calcularea valorii a doi coeficienți, când se cunosc valorile mărimilor ρ și c_v și se măsoară valoarea celui de al treilea, în aceeași condiție de presiune și temperatură. Ultima dintre relațiile (8.38) ne oferă posibilitatea verificării valabilității teoriei prezentate mai sus. Datele experimentale pentru un număr mare de gaze au arătat că această relație nu este chiar corectă și că trebuie modificată introducând un factor de corecție A, de ordinul unității

$$\frac{K}{\eta} = A \cdot c_v.$$

Valoarea constantei A pentru diferite gaze este dată în tabelul 8.2, iar teoria riguroasă a fenomenelor de transport pentru gaze cu molecule sferice arată că într-adevăr $A \approx 2,5$.

Teoria simplă prezentată de noi are totuși o fundamentare corectă, confirmată de faptul că reușește să prezinte dependența coeficienților de transport D, K și η de presiune și de temperatură, într-un interval destul de larg.

TABELUL 8.2

Gazul	A	Gazul	A	Gazul	A
Heliu	2,51	Kripton	2,54	Azot	1,97
Neon	2,47	Xenon	2,57	Oxigen	1,91
Argon	2,53	Hidrogen	2,02	Clor	1,79

De exemplu, pentru argon, la temperatura de 40°C , viscozitatea rămâne constantă în intervalul de presiune 0,01-50 atmosfere (fig.8.20a). Concordanța este uimitor de bună pe un interval de presiune atât de larg. Aceasta dovedește că modelul în care atomii sunt considerați sfere rigide este adekvat pentru acest interval de presiuni, dar nu mai este bun la presiuni mai mari. La temperatura camerei și 1500 atm. argonul gazos devine mai dens decât apă și drumul liber mediu este comparabil cu diametrul atomic ($2\text{-}3 \text{ \AA}$).

Aceleași considerente se pot face și asupra coeficientului de conductibilitate termică

$$K = \frac{1}{3} \frac{1}{\sqrt{2} n \sigma} \cdot m \cdot n \cdot \bar{v} \cdot c_v = \frac{1}{3} \cdot \frac{1}{\sqrt{2}} m \cdot c_v \cdot \bar{v}.$$

Sau, introducând căldura molară $C_v = N_A \cdot m \cdot C_v$ rezultă

$$K = \frac{1}{3} \frac{1}{\sqrt{2} \sigma N_A} \cdot c_v \cdot \bar{v}.$$

Toate mărimile sunt constante pentru un gaz dat, iar \bar{v} , depinde numai de temperatură, deci și K trebuie să fie independent de presiune.

Rezultatele experimentale au confirmat acest rezultat al teoriei cinetice într-un domeniu larg de temperaturi, ca și pentru η (fig. 8.20 c,d). Atât η cât și K sunt proporționale cu \bar{v} , deci cu \sqrt{T} , ceea ce se constată și experimental (fig.8.20. e,f). Abaterea curbei pline (experimentală) de la cea punctată (calculată) se explică prin scăderea secțiunii efective de ciocnire (creșterea lui η , respectiv K) la temperaturi înalte. Este curios că gazele devin mai vâscoase la temperaturi ridicate. Practica noastră zilnică este limitată la lichide, care la temperaturi înalte sunt mai puțin vâscoase.

Spre deosebire de viscozitate și conductibilitate termică, autodifuzia gazelor este invers proporțională cu densitatea, deci scade cu presiunea

$$D = \frac{1}{3} \bar{\lambda} \cdot \bar{v} = \frac{1}{3} \frac{1}{\sqrt{2} n \sigma} \cdot \bar{v}.$$

Deci

$$D = \frac{1}{3 \sqrt{2} \sigma} \cdot \frac{m}{\rho} \cdot \bar{v}.$$

Deoarece celelalte mărimi nu depind de presiune, la temperatură constantă, produsul $D \cdot \rho$ rămâne constant la orice presiune. Măsurările au confirmat acest lucru pentru presiuni între 1 și 300 atm.

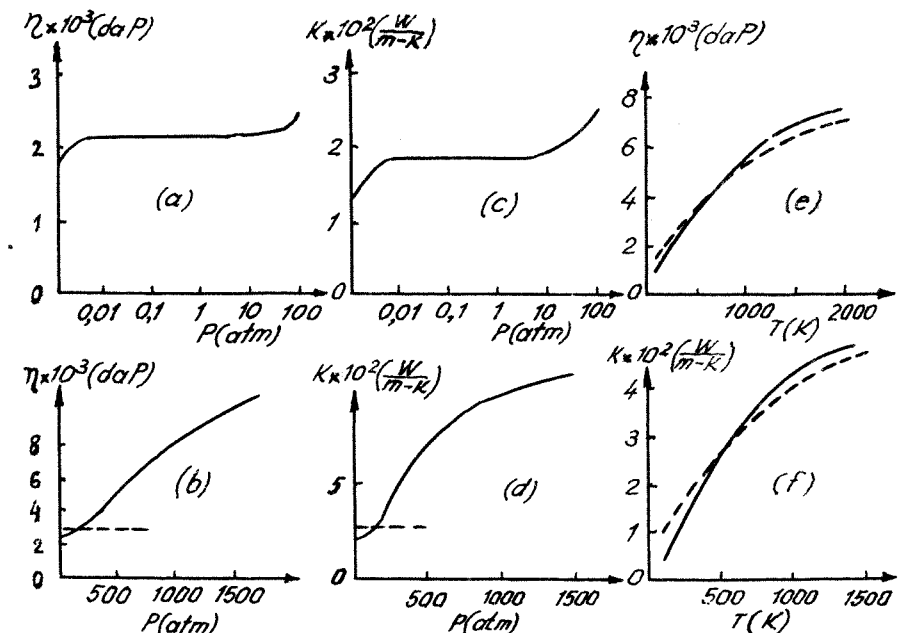


Fig 8.20

În concluzie, din punct de vedere calitativ, rezultatele teoriei cinetice, în condițiile precizate mai sus sunt confirmate de experiență, dar din punct de vedere cantitativ concordanța nu mai este atât de bună, și aceasta se observă dacă ne referim la valorile secțiunii efective de ciocnire. Curba punctată (1) din fig. 8.21 este calculată cu $\sigma = 22 \cdot 10^{-16} \text{ cm}^2$, iar curba (2), luând $\sigma = 8,8 \cdot 10^{-16} \text{ cm}^2$ în timp ce pentru autodifuzie trebuie să se ia $\sigma = 16,10^{-16} \text{ cm}^2$. Diametrul moleculelor corespunzător diferențelor valori ale lui σ sunt: 2,6 Å; 1,7 Å și 2,25 Å față de 3,35 Å cât se deducea din densitatea argonului solid la 0 K. Diferența este în sensul așteptat, dacă ne referim și la alte rezultate experimentale.

Este normal să apară unele diferențe între valorile rezultate pentru diametrul molecular din studiul densității argonului solid și cele rezultate din studiul fenomenelor de transport în gaze. Diferențele între valorile secțiunilor efective de ciocnire în gaze pentru cele trei fenomene pot fi micșorate dacă se fac unele corecții. Un aspect neglijat este următorul.

În calculul numărului de particule care lovesc peretele, sau o suprafață în interiorul gazului, în unitatea de timp și pe unitatea de suprafață am presupus că toate direcțiile de mișcare a moleculelor sunt echivalente. Această presupunere nu este strict corectă. Pentru un gaz în echilibru termodinamic toate direcțiile de mișcare sunt echivalente, dar în cazul când apar fenomenele de transport există o mișcare dirijată (de transport) care creează o direcție privilegiată. În cazul difuziei și a conductibilității termice, direcția privilegiată nu mai este direcția pe care este orientat impulsul. Luând în considerare toate aceste corecții, mare parte din neconcordanțele dintre teorie și experiență dispar.

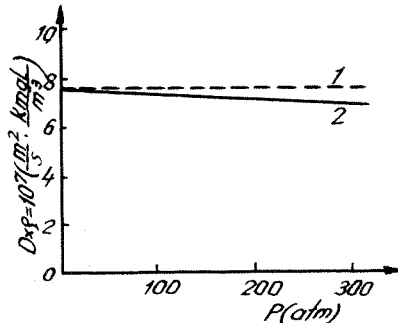


Fig. 8.21

8.6. Fenomene de transport în gaze rarefiate

Am văzut că teoria cinetico-moleculară a fenomenelor de transport conduce la rezultate concordante cu datele experimentale pentru gaze aflate la presiuni între 0,01 și 100 atmosfere. La presiuni mai mari, densitatea gazului se apropie de densitatea lichidelor și caracterul fenomenelor se modifică în mod corespunzător. La presiuni mai mici rarefierea gazelor este atât de accentuată încât drumul liber mediu poate depăși dimensiunile vasului și nu mai putem explica fenomenele de transport prin existența ciocnirilor intermoleculare. În aceste condiții apar fenomene specifice

gazelor rarefiate. Starea de rarefiere a gazelor se mai numește mai puțin corect și vid sau vacuum. Interpretarea teoretică a fenomenelor de transport este mai ușoară în cazul gazelor dense (drumul liber mediu $\bar{\lambda}$ mult mai mic decât dimensiunile liniare d ale vasului) și în cazul gazelor rarefiate numite și "gaze Knudsen" ($\bar{\lambda} \gg d$). În cazul când $\bar{\lambda} \approx d$ problemele sunt ceva mai complicate.

8.6.1. Efuzia (difuzia prin orificii mici a gazelor rarefiate)

Să analizăm în primul rând ce modificări suferă fenomenul de difuzie când presiunea gazului scade. Evident că în situația când drumul liber mediu este mai mare decât dimensiunile vasului procesul de difuzie nu depinde numai de caracteristicile gazului, $\bar{\lambda}$ și \bar{v} ($D = \frac{1}{3} \bar{\lambda} \cdot \bar{v}$), ci și de dimensiunile vasului care limitează drumul liber al moleculelor. Să considerăm un vas separat în două compartimente printr-o membrană subțire, în care există o deschidere de arie S . Dacă presiunea gazului în cele două compartimente este diferită, de exemplu $P_1 > P_2$, gazul va difuza dintr-un compartiment în altul. Fenomenul se poate desfășura în moduri diferite funcție de aria S a deschiderii și de presiunea gazului. Dacă dimensiunile deschiderii sunt mai mari decât drumul liber mediu al moleculelor, fiecare molecule va suferi mai multe ciocniri cu alte molecule în timp ce traversează deschiderea. Are loc fenomenul de difuzie analizat mai sus și acesta se suprapune unei curgeri macroscopice a gazului prin deschiderea de arie S . Dacă diametrul deschiderii este mic în comparație cu drumul liber mediu, ceea ce se realizează printr-un diametru mic al deschiderii și o presiune redusă a gazului, atunci moleculele care trec prin deschidere nu vor suferi ciocniri cu alte molecule în timpul traversării deschiderii.

Pentru a evalua numărul de molecule care trec în unitatea de timp prin unitatea de arie a deschiderii dintre cele două compartimente, trebuie să facem diferența între numărul de molecule care lovesc, în unitatea de timp, suprafața de arie S dintr-o parte și din alta. Utilizând relația (8.10) avem

$$N_1 = \frac{1}{4} n_1 \bar{v} S \quad ; \quad N_2 = \frac{1}{4} n_2 \bar{v} S \quad și \quad N = N_1 - N_2 = \frac{\bar{v} S}{4} (n_1 - n_2)$$

și introducând presiunea din $p = nkT$ rezultă

$$(8.39) \quad N = \frac{1}{4} \frac{\bar{v} S}{k T} (p_1 - p_2).$$

$P_1 = n_1 kT$	$P_2 = n_2 kT$
A	B

Fig. 8.22

Deci și în cazul presiunilor reduse, în gaze rarefiate, pentru curgerea gazului printr-o deschidere mică este necesară o diferență de presiune. Acest proces de difuzie a gazelor prin orificii mici se numește *efuzie*.

Numărul de molecule care trece în unitatea de timp prin unitatea de arie se poate scrie și sub forma

$$(8.40) \quad \frac{N}{S} = \frac{1}{4} \frac{v}{kT} (p_1 - p_2) = \frac{p_1 - p_2}{4kT} \sqrt{\frac{8RT}{\pi\mu}},$$

ceea ce arată dependența de masa molară a gazului. La aceeași temperatură, un gaz ușor efuzează mai repede decât unul greu. Fenomenul stă la baza unei metode de separare a izotopului de uraniu ^{235}U . Uraniul natural este în majoritate ^{238}U , conținând ^{235}U numai în proporție de 0,7%. Pentru separarea celor doi izotopi se transformă uraniul în hexafluorură de uraniu, care este un gaz. Diferența de masă moleculară a celor doi izotopi fiind numai de 1%, o trecere a hexafluorurii de uraniu natural printr-o membrană poroasă duce la o creștere a concentrației izotopului ^{235}U de la 0,7% la 0,7035%, ceea ce arată că operația trebuie repetată de un număr mare de ori, pentru a obține o concentrație utilă.

8.6.2. Conductibilitatea termică

După cum rezultă din expresia coeficientului de conductibilitate termică ($K = \frac{1}{3} \rho \cdot \bar{v} \cdot \bar{\lambda} \cdot c_v$), la presiuni reduse gazele devin foarte buni izolatori termici. Densitatea lor scade, drumul liber mediu devine mai mic decât dimensiunile vasului și procesul de transmitere a căldurii nu mai poate fi interpretat ca un proces de ciocnire între molecule. Transmiterea căldurii se face fără gradient de temperatură, moleculele ciocnind succesiv pereții vasului. Cantitatea de căldură transmisă este proporțională cu numărul de particule care ciocnesc perețele, deci proporțional cu concentrația și în ultimă instanță cu presiunea gazului. Pe această constatare se bazează construcția vaselor "dewar" utilizate atât în laborator cât și în activitatea generală a oamenilor ca vase "termos". Aceste vase sunt foarte bune izolațioare termice datorită faptului că între pereții lor dubli se realizează un vid înaintat, iar pierderile de căldură prin radiație se limitează prin depunerea pe pereți a unui strat reflector.

Pe baza dependenței de presiune a conductivității termice a gazelor rarefiate se construiesc manometrele termoelectrice și cele cu rezistență. Temperatura unui fir încălzit cu un curent electric constant este determinată de pierderile de căldură prin mediul înconjurător. Dacă acesta este un gaz rarefiat, conductivitatea lui termică depinde de presiune, deci și temperatura firului va depinde de presiunea gazului. Măsurând această temperatură, prin variația rezistenței electrice sau cu un termocuplu, putem măsura presiunea gazului.

8.6.3. Fenomenul de viscozitate în gaze rarefiate

Viscozitatea, ca fenomen de frecare internă, își pierde sensul în cazul gazelor rarefiate, când nu există ciocniri între molecule. Moleculele transmit impulsul lor direct peceților și forțele de frecare apar doar la contactul cu peretele, nu și în interiorul gazului. O astfel de curgere se numește *curgere moleculară*.

Să considerăm două plăci plane, una fixă și una mobilă, între ele aflându-se un gaz la presiune redusă. Spre deosebire de cazul gazelor dense, în cazul gazelor rarefiate nu există un gradient de viteză pe direcția Oz (Fig. 8.23). O moleculă care a lovit placă fixă se deplasează fără ciocniri până la placă mobilă și apoi din nou spre cea fixă. Fiecare moleculă care pleacă de la placă fixă spre cea mobilă va străbate distanța dintre plăci cu o anumită viteză pe direcția Oz, dar având și o componentă ($-U_x$) a vitezei relative față de placă mobilă, și ca urmare, prin ciocnire, îi transferă plăcii mobile impulsul ($-m \cdot U_x$), frâñând-o. Același impuls este transferat și de moleculele care se deplasează oblic (cazurile b și c, Fig. 8.23). Impulsul transferat în unitatea de timp pe suprafața de arie S este dat de produsul între numărul de molecule care cad în unitatea de timp pe aria S și impulsul transferat de fiecare moleculă,

$$N \cdot m \cdot U_x = \frac{1}{4} n \cdot \bar{v} \cdot S \cdot m \cdot U_x.$$

Deci, forța de frânare a plăcii mobile are expresia

$$(8.41) \quad F = \frac{1}{4} n \cdot \bar{v} \cdot S \cdot m \cdot U_x \quad \text{sau} \quad \frac{F}{S} = \frac{1}{4} n \cdot m \cdot \bar{v} \cdot d \cdot \frac{U_x}{d}$$

și coincide cu legea lui Newton (8.32) dacă socotim că drumul liber mediu $\bar{\lambda}$ este egal cu distanța între plăci, pe care am notat-o cu d. Diferența constă în apariția factorului 1/4 în loc de 1/3. Deci forța de frecare depinde numai de viteza plăcii mobile și nu de distanța între plăci ($d < \bar{\lambda}$), căci nu există un gradient de viteză. Pe acest fenomen se bazează funcționarea pompelor moleculare (vezi § 8.7.1), și este luat în considerare la proiectarea conductorilor, a tuburilor de legătură, în instalațiile de vid.

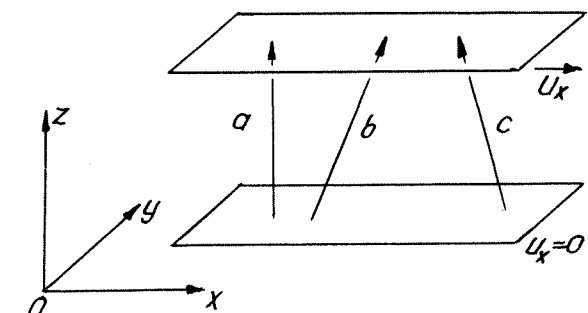


Fig. 8.23

8.6.4. Alte fenomene specifice gazelor rarefiate

a) *Efectul Knudsen sau efuzia termică.* Un gaz în stare de echilibru este caracterizat prin valori constante, în tot volumul, ale parametrilor intensivi, presiune și temperatură. Două volume de gaz în contact mecanic sunt la aceeași presiune, dar pot avea temperaturi diferite. Echilibrul termic se atinge când și temperaturile sunt egale. Acest proces se realizează prin intermediul ciocnirilor între molecule.

Să vedem ce se întâmplă în cazul gazelor rarefiate, în care nu există ciocniri între molecule. Să ne imaginăm un dispozitiv (Fig.8.24) format din

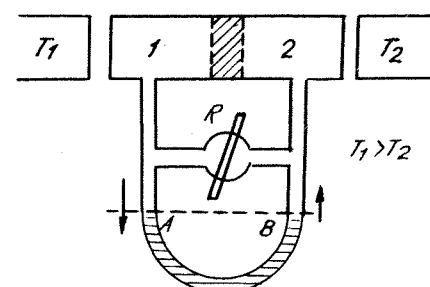


Fig. 8.24

două incinte, 1 și 2, separate printr-un perete poros cu dimensiunile porilor mai mici decât drumul liber mediu al moleculelor. Prin peretele poros are loc un proces de efuzie, dar nu datorită diferenței de presiune sau diferenței de masă moleculară, ci datorită diferenței de temperatură; $T_1 > T_2$. Inițial deschidem robinetul R pentru a egaliza presiunea în cele două incinte conținând același gaz. Deci $p_1 = p_2$ și $T_1 > T_2$. La închiderea robinetului se observă o ridicare a nivelului lichidului în ramura B (scăderea presiunii în incinta 2) și coborârea în ramura A (creșterea presiunii în incinta 1). Fenomenul se explică prin trecerea gazului, prin peretele poros, din incinta cu temperatură mai coborâtă în cea cu temperatură mai ridicată. Fenomenul este cunoscut ca *efectul Knudsen sau efuzie termică*. Starea de echilibru între cele două incinte se realizează când numărul de molecule care trec prin peretele poros, dintr-o parte și din alta, este același. Scriind acest lucru rezultă

$$\frac{1}{4} n_1 \bar{v}_1 S = \frac{1}{4} n_2 \bar{v}_2 S \text{ sau } \frac{P_1 \bar{v}_1}{kT_1} = \frac{P_2 \bar{v}_2}{kT_2}$$

și introducând vitezele medii ca funcții de temperatură rezultă

$$(8.42) \quad \frac{P_1}{\sqrt{T_1}} = \frac{P_2}{\sqrt{T_2}}$$

ceea ce arată că în incinta cu temperatură mai ridicată se va stabili și o presiune mai mare. Dacă robinetul R rămâne deschis se va stabili un curent de gaz prin peretele poros, curgând dinspre incinta rece spre cea caldă.

Efuzia termică joacă un rol important în fenomenul de "respirație" a solului. În timpul zilei stratul superficial se încălzește și aerul din straturile mai adânci și mai reci vine spre suprafață prin efuzie. Noaptea procesul se petrece în sens invers, asigurându-se astfel oxigenarea solului.

b) *Efectul radiometric* constă în faptul că un corp încălzit neuniform și scufundat într-un gaz rarefiat are tendința să se deplaseze în sensul descreșterii temperaturii. Fenomenul poate fi pus în evidență cu ajutorul *radiometrului lui Crookes* (1832-1919). Într-un balon de sticlă din care s-a scos aerul, pentru ca drumul liber mediu să fie mai mare decât diametrul balonului, se suspendă pe un acoperiș palete ușoare având o față lucioasă și o față înegrită (Fig.8.25) Sub acțiunea luminii cele două fețe se încălzeșc diferit și sistemul se pune în mișcare de rotație cu față lucioasă a paletelor înainte.

Moleculele care ciocnesc paletele, pe ambele fețe, vin spre acestea cu viteza corespunzătoare temperaturii peretelui balonului de sticlă de la care au plecat. După ciocnirea cu paletele se vor îndepărta de acestea cu viteza corespunzătoare temperaturii suprafetei (negre sau lucioase) cu care s-au ciocnit. Sub acțiunea luminii, suprafața neagră se încălzește mai mult și ca urmare moleculele care o lovestesc cu viteza $v_1 > v$. Impulsul inițial al sistemului paletă-molecular este $m\bar{v}$, paleta plecând din repaus. După ciocnire este $M \cdot V + m \cdot \bar{v}_1 = m \cdot \bar{v}$, ceea ce arată că paleta trebuie să capete o mișcare de sens contrar cu mișcarea moleculei după ciocnire. Deci sistemul se va rota cu față lucioasă înainte.

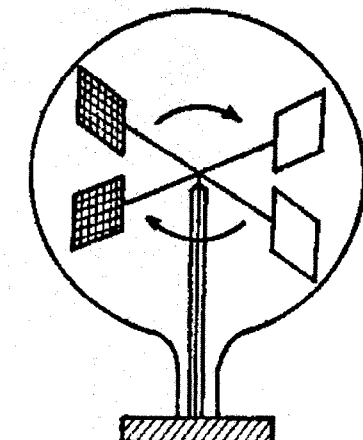


Fig. 8.25

8.7. Obținerea și măsurarea presiunilor joase

Am văzut că (§8.5) valorile coeficienților de transport în gaze au valori constante numai într-un anumit interval de presiuni. Dacă un gaz este comprimat la presiuni de câteva zeci sau sute de atmosfere, coeficientul de viscozitate η și cel de conductibilitate termică K încep să crească, iar la presiuni sub o sutime de atmosferă valorile acestor coeficienți încep să scadă. Proprietățile gazelor comprimate se apropie de cele ale lichidelor. La presiuni reduse gazele au comportare diferită față de cea cunoscută la presiuni medii ceea ce determină unele modificări și în fenomenele de transport. Reducerea presiunii gazelor se face cu ajutorul pompelor de vid. Când într-un recipient se realizează o stare de rarefiere a gazului se spune că se realizează o stare de vid sau vacuum. Termenul nu este adecvat deoarece chiar la presiuni reduse, de ordinul 10^{-14} torr, într-un centimetru cub se mai află încă 300-400 molecule.

8.7.1. Obținerea presiunilor joase

Pompele cele mai răspândite, în laboratoare și în industrie sunt pompele rotative cu ulei și pompele de difuzie cu ulei. Caracteristicile tehnice principale ale unei pompe de vid sunt:

- Presiunea inițială sau vidul preliminar de la care începe să funcționeze,
- presiunea limită sau vidul pe care îl poate realiza și
- viteza de pompări măsurată în metri cubi pe oră (la presiunea inițială).

În principiu, o *pompă rotativă cu ulei* constă dintr-o carcăsă (1. Fig. 8.26) în interiorul căreia se rotește excentric un rotor (2) care este traversat diametral de două palete presate pe carcăsă de un arc (3). La rotire, în sensul indicat pe figură, spațiul delimitat de rotor, palete și carcăsă (în legătură cu spațiul ce urmează a fi vidat) se mărește, gazul fiind expansibil îl ocupă, iar după o rotire cu 180° este separat de conducta de admisie (4) și apoi comprimat până la presiunea care permite deschiderea supapei (5) și evacuarea gazului prin conducta de evacuare (6). Pentru o bună funcționare trebuie să se realizeze o ungere abundantă, asigurând astfel etanșeitatea între rotor și carcăsă în regiunea de contact și între palete și carcăsă. Ungerea se asigură scufundând întregul ansamblu într-o baie de ulei.

Pompele rotative cu ulei funcționează începând de la presiunea atmosferică și realizează presiuni limită de 10^{-3} - 10^{-4} torr. Această performanță se realizează, de obicei, prin conectarea a două pompe în serie, plasate în aceeași baie de ulei. Viteza de rotire a acestor pompe este de 200-600 rot/minut și se pot realiza debite de 1 - 1000 m³/oră la presiunea atmosferică, depinzând de dimensiunile pompei.

Pompele de difuzie cu vaporii de ulei se bazează pe fenomenul de antrenare prin difuzie a moleculelor de gaz, din recipientul de vidat, într-un curent de vaporii de ulei, spre deschiderea de evacuare a pompei. Vaporii condensează pe peretele rece al pompei, iar gazul antrenat este evacuat de pompa rotativă racordată în serie cu pompa de difuzie. Deci

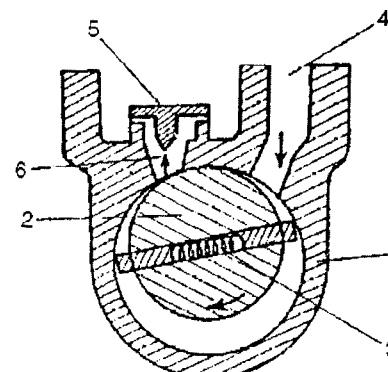


Fig. 8.26

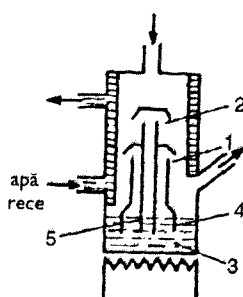


Fig. 8.27

pompele de difuzie au nevoie de un vid preliminar de aproximativ 10^{-2} torr pentru a intra în funcționare. Presiunea limită realizabilă este determinată de presiunea vaporilor și de gazele care se degajă în interiorul instalației de vidat, în timpul funcționării pompei. Obișnuit se ating presiuni de ordinul 10^{-6} torr. Viteza de pompări, la 10^{-7} torr, poate varia, după dimensiunile pompei, de la câțiva metri cubi pe oră până la 50 sau chiar 100 m³/h.

Neajunsul pompelor de difuzie cu vaporii de ulei constă în faptul că pe măsură ce funcționează, uleiul se îmbogățește în fracțiuni ușor volatile și aceasta duce la o înrăutățire a vidului limită. Evitarea acestui fenomen se realizează prin construirea pompelor de difuzie cu fracționare în faza lichidă sau în faza gazoasă. Schema unei pompe cu vaporii de ulei cu fracționare în faza lichidă este prezentată în figura 8.27. Vaporii de ulei care ies prin deschiderile (1) și (2) antrenează moleculele de gaz din incinta de vidat și apoi ajungând la peretele rece al pompei condensează scurgându-se în evaporatorul de la bază (3). Gazul este evacuat de pompa de vid preliminar. Uleiul ajuns în evaporator pătrunde sub clopotul (4) și se mișcă spre centru ajungând sub tubul (5). În acest timp uleiul este încalzit și fracțiunile cele mai volatile se evaporă sub clopotul (4) ieșind prin deschiderea (1), iar cele mai greu volatile se evaporă sub tubul (5) ieșind prin deschiderea (2). Astfel, în apropierea incintei de vidat (deschiderea 2) ajung numai fracțiunile greu volatile ceea ce permite atingerea unor presiuni limită mai joase.

Obținerea unor presiuni limită mai coborâte, de ordinul 10^{-9} torr se realizează cu ajutorul absorbanților. Avantajul metodei constă și în faptul că poate fi utilizată în incinte închise definitiv (tuburi electronice, tuburi cinescop, tuburi de raze X). Absorbantul (cărbune activ sau metal) reține prin absorbție sau reacție chimică urmele de gaz care se mai află în incintă, reducând presiunea de la 10^{-6} torr la 10^{-8} sau 10^{-9} torr. În instalații experimentale, nu prea voluminoase, presiunea poate fi redusă și mai mult prin răcire cu azot lichid (77 K) sau heliu lichid (4,2 K) ceea ce face ca urmele de gaz să condenseze pe peretele rece al vasului. Astfel se obține vidul ultraînalt de ordinul 10^{-14} torr.

8.7.2. Măsurarea presiunilor joase

Pentru a măsura, în valoare absolută, presiunea în interiorul unui fluid ar trebui să măsurăm forța care acționează asupra unității de suprafață. Pentru aceasta s-au construit diverse aparate numite manometre. *Manometrul cu mercur* indică direct presiunea prin diferența de nivel a mercurului în cele două ramuri ale unui tub în formă de U (Fig. 8.28). În spațiul de deasupra mercurului din ramura închisă nu există gaz ci numai vaporii de mercur a căror presiune la T = 293K este de 0,0013 torr, deci neglijabilă în raport cu presiunea cea mai mică (1 torr) căt se poate măsura cu aceste manometre.

Presiuni mai mari de 0,1 torr se pot măsura și cu *manometrele mecanice*, bazate pe deformarea unui tub elastic elicoidal, de secțiune ovală, în care pătrunde fluidul a cărui presiune dorim să o măsurăm. Gradul de deformare a tubului este măsurat pe cale mecanică sau optică. Presiunea indicată de aceste manometre este raportată la presiunea atmosferică, care se exercită pe partea exterioară a tubului curbat.

Pentru măsurarea presiunilor cuprinse între 10^{-6} torr și 10^{-1} torr se utilizează manometrul de compresie (Mac-Leod) bazat pe legea Boyle Mariotte. Un volum cunoscut de gaz la o presiune necunoscută se comprimă până la o presiune măsurabilă cu manometrul cu mercur (Fig. 8.29) este racordat prin tubul A la incinta în care se realizează presiunea redusă ce urmează să fie măsurată. Poziția rezervorului R trebuie să fie destul de joasă pentru ca nivelul mercurului să fie sub indicele K, încât în balonul B gazul să fie la presiunea de măsurat. Prin ridicarea rezervorului R, mercurul separă în balonul B un volum de gaz V, bine cunoscut, la presiunea necunoscută p_x . Prin ridicarea în continuare a rezervorului R, volumul gazului închis se reduce la v, cunoscut prin gradațiile de pe tub, și presiunea crește până la o valoare ce poate fi apreciată prin diferența de nivel h. Legea lui Boyle Mariotte ne permite să scriem $p_x V = (h + p_x)v$. Dar, cum $p_x < h$, rezultă $p_x V = h \cdot v$, ceea ce ne permite să calculăm imediat presiunea p_x dacă se cunoaște raportul v/V și citim pe h. Manometrul de compresie indică valoarea absolută a presiunii, dar nu măsoară presiunea vaporilor saturanți care pot condensa prin comprimare. Pe lângă acest neajuns se adaugă și faptul că este fragil și incomod, rămânând un manometru de laborator, pentru etalonări.

Manometrul termic este mult mai practic, permite înregistrarea continuă a presiunii, dar trebuie etalonat în raport cu un manometru de compresie. În principiu funcționarea manometrului termic se bazează pe faptul că la presiuni reduse, când $\lambda \gg d$, conductivitatea termică a gazului depinde de presiune. Deci, un filament de platină sau wolfram, încălzit cu un curent electric constant la temperatura de $100 - 150^\circ\text{C}$ se va încălzi la o

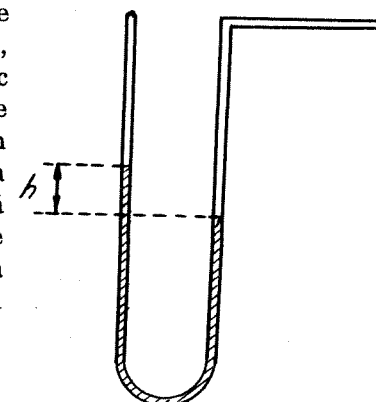


Fig. 8.28

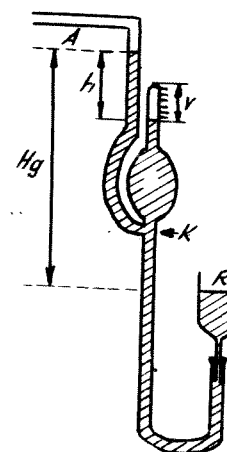


Fig. 8.29

temperatură mai mare când presiunea gazului din jurul lui este mai redusă și pierderile de căldură spre pereti sunt mai mici. Creșterea temperaturii se traduce printr-o creștere a rezistenței filamentului, pe care o măsurăm într-o punte Wheatstone, (Fig. 8.30). Reprezentând grafic indicațiile galvanometrului G funcție de presiunea corespunzătoare, măsurată cu un manometru de compresie, se obține o curbă ca aceea din figura 8.31. Cu acest tip de manometru se pot măsura presiuni între $0,1$ și 10^{-4} torr.

Pe același fenomen de variație a conductivității gazului cu presiunea se bazează și manometrele termoelectricre, numai că variația temperaturii filamentului încălzit cu un curent constant este înregistrată de variația tensiunii electromotoare a unui termocuplu.

Presiuni mai reduse, până la 10^{-6} torr (și chiar mai coborâte) se măsoară cu ajutorul manometrelor de ionizare. Funcționarea acestor manometre se bazează pe fenomenul de ionizare a gazului rarefiat de către electronii emiși de un filament F și accelerati de un câmp electric exterior, creat de grila g polarizată pozitiv. Ionii pozitivi formați sunt captăti de electrodul negativ K și înregistrați ca un curent indicat de microampmetrul μA . Dacă tensiunile și curentii de alimentare se mențin la valori constante, atunci intensitatea curentului de ionizare este proporțională cu numărul de molecule din unitatea de volum existente în balon, deci proporțională cu presiunea gazului.

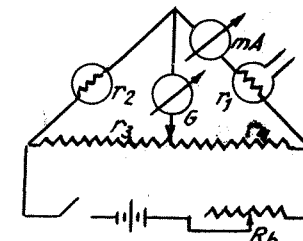


Fig. 8.30

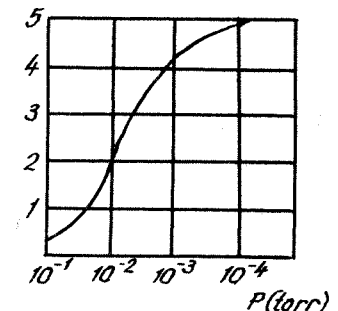


Fig. 8.31

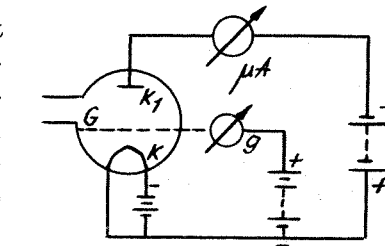


Fig. 8.32

CAPITOLUL 9

GAZE REALE

În capitolele anterioare am utilizat modelul gazului ideal pentru a explica proprietățile substanelor în stare gazoasă. Un asemenea model, simplificat la maximum, a condus la rezultate concordante cu datele experimentale numai în condițiile în care aspectele neglijate nu aveau o importanță preponderentă. O precizie mai bună în evaluările teoretice, privind comportarea gazelor reale, fără restricții în ce privește presiunea și temperatura, se poate obține luând în considerare volumul propriu al moleculelor și forțele de interacțiune ce se manifestă în intervalele de timp dintre ciocniri. În consecință, ecuația de stare a gazelor reale se va deosebi de ecuația de stare a gazului ideal prin niște coeficienți de corecție.

9.1. Interacțiuni moleculare

Existența forțelor de interacțiune moleculară este evidentă în cazul lichidelor, dar mai ales în cazul solidelor, acestea opunând o rezistență apreciabilă atât la întindere, cât și la comprimare. În cazul gazelor se pot evidenția interacțiunile moleculare prin analiza atentă a izotermelor, într-un interval de presiuni mai larg (sute de atmosfere).

9.1.1. Compresibilitatea izotermă a gazelor reale

Legile gazului ideal descriu cu suficientă precizie comportarea gazelor reale dacă acestea se află la presiuni reduse (până la câteva atmosfere). În general, comportarea gazelor reale se abate de la aceste legi, fapt reflectat în aspectul izotermelor și în fenomenul de lichefiere care nu există pentru gazul ideal.

În coordonate Clapeyron ($p = f(V)$) este mai greu să observăm abaterile de la legea Boyle-Mariotte, adică abaterea de la hiperbola echilateră, pe când în coordonatele introduse de E. Amagat ($pV = f(p)$), abaterile de la legea Boyle-Mariotte se traduc prin abateri de la reprezentarea grafică într-o dreaptă. Se observă că (Fig. 9.1) izotermele pentru un gaz real

rezintă un minim la o anumită presiune, care diferă de la o temperatură la alta. Acest minim se observă pentru toate gazele reale, dacă temperatura este suficient de coborâtă, fiind mai puțin accentuat la temperaturi mai înalte. Calitativ, variația produsului pV cu presiunea se explică în modul următor. Scăderea inițială se datoră existenței forțelor de atracție între molecule care determină o presiune internă suplimentară. La o creștere a presiunii externe corespunde o scădere a volumului mai mare decât aceea cerută de legea Boyle-Mariotte. Începând cu o anumită presiune, gazul real devine mai puțin compresibil; creșterea presiunii nu este însoțită de o scădere corespunzătoare a volumului, astfel încât produsul pV să rămână constant, deci se fac simțite forțele de respingere moleculară. Cu alte cuvinte, la presiuni (densități) mici sunt preponderente forțele de atracție între molecule, iar la presiuni (densități) mari sunt preponderente forțele de respingere între molecule. Minimul de pe izotermele Amagat corespund densității pentru care cele două acțiuni își fac echilibrul. Presiunea corespunzătoare minimului depinde de temperatură.

Cantitativ, cele două regiuni ale izotermelor Amagat pot fi caracterizate prin valoarea coeficientului de compresibilitate care este mai mare decât pentru gazul ideal, în regiunea cu pantă negativă, și mai mic, în regiunea cu pantă pozitivă. Într-adevăr, prin derivarea funcției pV în raport cu p , la temperatură constantă obținem,

$$(9.1) \quad \left(\frac{\partial(pV)}{\partial p} \right)_T = V + p \left(\frac{\partial V}{\partial p} \right)_T = pV \left[\frac{1}{p} + \frac{1}{V} \left(\frac{\partial V}{\partial p} \right)_T \right]$$

Observăm că pentru gazul ideal, coeficientul de compresibilitate definit prin $\kappa_T = -\frac{1}{V} \left(\frac{\partial V}{\partial p} \right)_T$ are expresia $\kappa_T^i = \frac{1}{p}$ și ca urmare putem scrie

$$(9.2) \quad \left(\frac{\partial(pV)}{\partial p} \right)_T = pV(\kappa_T^i - \kappa_T).$$

Minimul izotermei este indicat de anularea derivatei, când $\kappa_T^i - \kappa_T = 0$ deci coeficientul de compresibilitate izotermă al gazului real este egal cu coeficientul de compresibilitate izotermă al gazului ideal. La presiuni mai mici

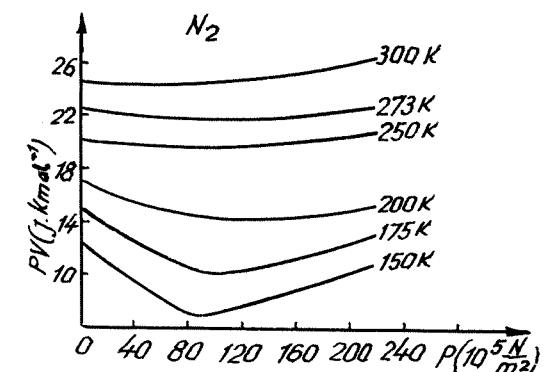


Fig. 9.1

vedem că panta curbei este negativă, deci $\frac{\partial(pV)}{\partial V} < 0$ și ca urmare $\kappa_T > \kappa_T^i$, ceea ce ne confirmă că gazul real are un coeficient de compresibilitate mai mare decât gazul ideal, la aceeași temperatură. La presiuni mai mari $\frac{\partial(pV)}{\partial p} > 0$ și ca urmare $\kappa_T < \kappa_T^i$, deci compresibilitatea gazului real este mai mică decât a gazului ideal. Minimele pe izotermele $pV = f(p)$ sunt caracteristice pentru toate gazele, diferența de la un gaz la altul constând numai în intervalul de temperaturi la care apar aceste minime. De exemplu în cazul hidrogenului se pot observa numai la temperaturi mai joase decât -160°C.

9.1.2. Natura forțelor de interacțiune moleculară

Studiul forțelor intermoleculare a înregistrat succese însemnante abia după ce s-a stabilit că moleculele sunt constituite din particule încărcate cu electricitate: nucleu atomice și electroni. Forțele de interacțiune moleculară sunt rezultatul interacțiunii sistemelor de sarcini electrice, deci sunt de natură electromagnetică. La distanțe intermoleculare mari, în comparație cu dimensiunile moleculelor, forțele de interacțiune sunt atractive. Dacă acestea scad sub o anumită valoare, forțele intermoleculare devin forțe repulsive. Aceasta se întâmplă când învelișurile electronice exterioare ale moleculelor încep să se întrepărundă.

Forțele de atracție între molecule neutre sunt numite forțe Van der Waals. Ele apar atât între molecule care au dipoli (cavdipoli) electrici permanenti, dând naștere la efectul de orientare, cât și între molecule cu dipoli sau multipoli induși.

a) *Forțele de orientare* apar între moleculele care au un moment electric permanent. (Prin definiție momentul electric \vec{p} este dat de $\vec{p} = \vec{l} \cdot \vec{q}$, în care l este distanța dintre "centrul" sarcinilor electrice pozitive (+q) și al celor negative (-q) din aceeași moleculă). Aceste forțe tend să orienteze moleculele cu momentele lor electrice paralele, dar agitația termică se opune acestei orientări cu atât mai mult cu cât temperatura T este mai înaltă. Energia potențială de interacțiune a două molecule identice, având un moment electric (dipolar) \vec{p} este dată de relația

$$(9.3) \quad E_{or} = -\frac{2p^4}{(4\pi\epsilon_0)^2 \cdot 3kT} \cdot \frac{1}{r^6}$$

în care ϵ_0 este permisivitatea vidului iar k este constanta lui Boltzmann. Relația este corectă la temperaturi mari și presiuni joase când distanța între dipoli este mult mai mare decât lungimea lor.

b) *Forțele de inducție* apar între molecule cu un grad înalt de polarizabilitate. Între aceste molecule, care nu au un dipol electric permanent, nu apar forțe de orientare, dar când o moleculă intră în câmpul altui molecule

vecine ea se polarizează căpătând un moment electric dipolar inducție. Cu cât molecula se polarizează mai ușor, cu atât momentul electric dipolar este mai mare. Energia potențială de interacțiune este proporțională cu pătratul momentului electric dipolar p și cu polarizabilitatea α a moleculei

$$(9.4) \quad E_i = \frac{-2\alpha p^2}{(4\pi\epsilon_0)^2} \cdot \frac{1}{r^6}$$

Orientarea moleculelor neavând importanță, energia potențială de interacțiune, de inducție, nu depinde de temperatură.

c) *Forțele de dispersie* apar ca rezultat al interacțiunii unor momente electrice dipolare momentane care apar datorită mișcării electronilor în moleculă. Prin existența forțelor de dispersie se explică și interacțiunile între atomii gazelor nobile (pot fi lichefiate) care sunt nepolare și greu polarizabile, păturile lor electronice fiind foarte rigide. În absența forțelor de orientare și a celor de inducție numai forțele de dispersie sunt responsabile de interacțiunile între aceste molecule. La un moment dat electronii dintr-o moleculă ajung într-o configurație în care molecula posedă un dipol electric instantaneu. Acesta induce un dipol electric în moleculă vecină. Din interacțiunea celor doi dipoli apare forță de atracție între cele două molecule. Forța de dispersie este tocmai forța medie de atracție între molecule, calculată pentru toate configurațiile electronice ale primei molecule considerate. Acest efect are caracter cuantic și se numește efect de dispersie deoarece oscilațiile sarcinilor electrice din moleculă produc dispersia luminii (refracția diferită a radiațiilor cu diferite frecvențe).

Energia potențială de interacțiune datorită forțelor de dispersie este dată, în primă aproximație, de relația

$$(9.5) \quad E_d = -\frac{3hv_0\alpha^2}{4(4\pi\epsilon_0)^2} \cdot \frac{1}{r^6}$$

în care h este constanta lui Planck, v_0 este frecvența oscilațiilor corespunzătoare energiei E_0 , adică la $T = 0$ ($E_0 = \frac{hv_0}{2}$) și α este polarizabilitatea moleculei.

TABELUL 9.1

Valoarea produsului $E \cdot r^6 \cdot 10^{80}$ ($J \cdot m^6$) caracterizând interacțiunile între două molecule de același fel

Tipul de molecule	$E_{or} \cdot r^6 \cdot 10^{80}$	$E_i \cdot r^6 \cdot 10^{80}$	$E_d \cdot r^6 \cdot 10^{80}$
CO	0,034	0,57	675
HCl	186,00	54	1050
HBr	62	40,5	1760
HI	3,5	16,8	3820
NH ₃	840	100	930
H ₂ O	1900	100	470

În tabelul 9.1 sunt date contribuțiile diferitelor tipuri de interacțiuni la apariția forțelor de atracție, de tip Van der Waals. Se observă că forțele de dispersie au o pondere însemnată pentru toate substanțele din tabel, dar mai ales pentru cele nepolare și pentru cele slab polare.

Forțele de orientare sunt preponderente în cazul moleculelor polare. Forțele de inducție au o contribuție mai slabă în raport cu celelalte două tipuri de interacțiuni.

Energia potențială totală datorită forțelor de atracție (forțele Van der Waals) este dată de suma celor trei energii

$$(9.6) \quad E_p^a = E_{or} + E_i + E_d = -\frac{B}{r^6}$$

și observăm că variază invers proporțional cu puterea a șasea a distanței dintre cele două molecule ce interacționează.

Când moleculele se apropiuie una de alta la distanțe mai mici ($r \leq 10^{-8}$ cm), forțele de respingere devin mai mari decât forțele de atracție. Existența forțelor de respingere este evidentă în cazul solidelor și lichidelor, care sunt puțin compresibile, dar se manifestă și în cazul gazelor dense. Explicarea apariției forțelor de respingere se poate da numai în mecanica cuantică, forțele intermoleculare de repulsie fiind în strânsă legătură cu forțele chimice de schimb care condiționează legătura covalentă. La distanțe intermoleculare mici păturile electronice ale celor două molecule vecine se suprapun parțial și aceasta duce la apariția forțelor de respingere. Calculele efectuate în acest sens conduc la stabilirea unei dependențe exponențiale a energiei potențiale de respingere de distanță intermoleculară. Pentru a ușura calculele, uneori se preferă o expresie a energiei potențiale de respingere de forma

$$(9.7) \quad E_p^r = \frac{A}{r^p}$$

în care A este o constantă, iar $p > 9$. Deci această energie potențială variază mult mai repede cu distanța.

Astfel energia potențială totală de interacțiune moleculară este dată de suma

$$(9.8) \quad E_p(r) = E_p^r + E_p^a = +\frac{A}{r^p} - \frac{B}{r^6}$$

primul termen reprezentând energia de respingere și al doilea energia de atracție. În figura 9.2. este prezentată dependența de distanță a acestor energii.

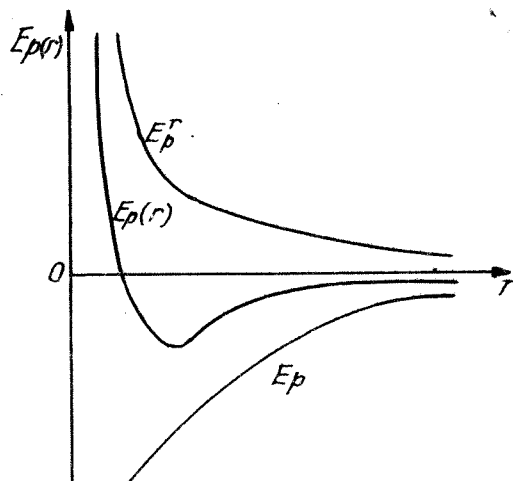


Fig. 9.2

9.1.3. Potențiale empirice de interacțiune moleculară

Expresiile rezultate din calcul pentru energia potențială de interacțiune (rel.9.3 - 9.5) conțin și mărimi moleculare, ca momentul electric sau polarizabilitatea, care sunt greu accesibile experienței. Ca urmare s-au propus, pentru a exprima dependența de distanță a energiei potențiale, diferite formule matematice empirice. Acestea trebuie să îndeplinească cel puțin două condiții: să conducă la rezultate cât mai corecte, verificabile experimental, și să nu prezinte dificultăți matematice prea mari în utilizarea lor concretă.

În cazul modelului sferelor rigide se presupune că cele două molecule considerate nu interacționează și distanța minimă la care se pot apropia centrele lor este egală cu diametrul molecular. În aceste condiții energia de interacțiune binară variază cu distanța conform relațiilor

$$(9.9) \quad \begin{aligned} E_p(r) &= \infty \text{ cind } r < d \\ E_p(r) &= 0 \text{ cind } r > d \end{aligned}$$

reprezentarea grafică fiind dată în figura 9.3.

Dacă presupunem că două molecule interacționează numai când centrele lor se află la o distanță cuprinsă între diametrul molecular d și αd , unde α este un coeficient ce urmează să fie determinat, reprezentarea grafică a dependenței energiei de interacțiune de distanță are aspectul unei gropi dreptunghiulare, de unde și denumirea de potențial de interacțiune în formă de groapă dreptunghiulară. Această depență poate fi exprimată prin

$$(9.10) \quad \begin{aligned} E_p(r) &= \infty \text{ cind } r < d \\ E_p(r) &= -\varepsilon \text{ cind } d < r < \alpha d \\ E_p(r) &= 0 \text{ cind } r > \alpha d. \end{aligned}$$

Evident, s-a presupus că în volumul de interacțiune, cuprins între sferele de rază d și αd , cele două molecule interacționează (se atrag) cu energia constantă ε . Având în vedere existența forțelor intermoleculare, atât de atracție cât și de respingere, și faptul că expresia acestui potențial conține parametri ajustabili, modelul sferelor rigide poate duce uneori la rezultate acceptabile chiar pentru molecule complexe.

În realitate, două molecule interacționează cu energii diferite la diferite distanțe, aşa cum se vede și în figura 9.3.c. Această curbă rezultă din concurența forțelor de atracție și a celor de respingere, în concordanță cu relația (9.8). O expresie de forma (9.8), pentru energia de interacțiune binară, este cunoscută ca *potențialul Lennard-Jones*, iar constantele A și B sunt exprimate ca funcții de diametrul molecular d (sau distanța de echilibru r_0) și de adâncimea gropii de potențial ε . Trecerea de la constantele A și

B la d și ε se face luând în considerare condițiile pe care trebuie să le îndeplinească $E_p(r)$.

- Pentru $r = d$, $E_p(r) = 0$ (vezi fig.9.3.c)
- Pentru $r = r_0$, $E_p(r) = -\epsilon$, iar prima derivată se anulează.

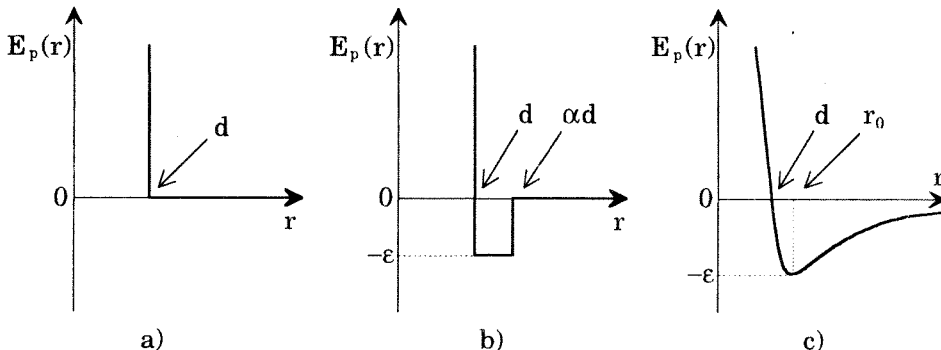


Fig. 9.3

Scriind expresia potențialului Lennard-Jones sub forma generală

$$(9.11) \quad E_p(r) = \frac{A}{r^p} - \frac{B}{r^q},$$

fără a preciza valoarea exponentilor p și q, și impunând prima condiție, se obține

$$(9.12) \quad \frac{A}{d^p} - \frac{B}{d^q} = 0 \quad \text{și} \quad B = A \frac{d^q}{d^p}$$

și astfel în expresia lui $E_p(r)$ apare o singură constantă, A.

$$(9.13) \quad E(r) = \frac{A}{d^p} \left[\left(\frac{d}{r} \right)^p - \left(\frac{d}{r} \right)^q \right].$$

Pentru a determina constanta A impunem cea de a doua condiție expresiei (9.13), obținând

$$(9.14) \quad \frac{dE(r)}{dr} = \frac{A}{d^p} \left[-p \frac{d^p}{r^{p+1}} + q \frac{d^q}{r^{q+1}} \right]$$

și prin anulare, pentru $r = r_0$ avem

$$(9.15) \quad \frac{d}{r_0} = \left(\frac{q}{p} \right) \frac{1}{p-q}.$$

Pe de altă parte, pentru $r = r_0$, $E(r) = -\epsilon$ și din relația (9.13) rezultă

$$(9.16) \quad E(r) = \frac{A}{d^p} \left[\left(\frac{d}{r_0} \right)^p - \left(\frac{d}{r_0} \right)^q \right] = -\epsilon$$

care combinată cu relația (9.15) ne permite să aflăm expresia constantei A

$$\frac{A}{d^p} \left[\left(\frac{q}{p} \right)^{p/(p-q)} - \left(\frac{q}{p} \right)^{q/(p-q)} \right] = \frac{A}{d^p} \left(\frac{q}{p} \right)^{q/(p-q)} \left[\left(\frac{q}{p} \right) - 1 \right] = -\epsilon$$

și în final

$$(9.17) \quad A = -\epsilon d^p \left(\frac{q}{p} \right)^{q/(q-p)} \cdot \frac{p}{q-p}.$$

Introducând această expresie în relația (9.13) obținem expresia energiei de interacție binară funcție de adâncimea gropii de potențial ε și diametrul molecular d

$$(9.18) \quad E(r) = \epsilon \left(\frac{q}{p} \right)^{q/(q-p)} \cdot \frac{p}{q-p} \left[\left(\frac{d}{r} \right)^p - \left(\frac{d}{r} \right)^q \right].$$

Alegerea valorilor exponentilor p și q este determinată de natura forțelor de interacție. Pentru forțele de tip Van der Waals q = 6, iar p trebuie să fie mai mare decât 9 și pentru ușurință unor calcule se alege p = 12. Astfel se obține cunoscutul potențial de interacție Lennard-Jones (6-12)

$$(9.19) \quad E(r) = 4\epsilon \left[\left(\frac{d}{r} \right)^{12} - \left(\frac{d}{r} \right)^6 \right].$$

Introducând în locul lui d pe r_0 ($r_0 = d \cdot \sqrt[6]{2} = 1,12 \cdot d$) se obține o altă expresie a aceluiași potențial

$$(9.20) \quad E(r) = \epsilon \left[\left(\frac{r_0}{r} \right)^{12} - 2 \left(\frac{r_0}{r} \right)^6 \right].$$

Forma relativ simplă a acestui potențial (expresia energiei de interacție binară funcție de distanță între molecule) asigură o formă destul de simplă și pentru derivele lui de ordin superior, facilitând multe calcule în diferite aplicații.

Problema concretă abordată ne impune alegerea relației (9.19) sau (9.20), diferența între d și r_0 fiind mică, ambele mărimi reprezentă cu o suficientă aproximare diametrul moleculelor ce interacționează. În cele ce urmează vom considera că interacțiunile sunt binare, neglijând efectele produse de prezența celorlalte molecule.

9.2. Ecuații de stare ale gazelor reale

După cum știm, ecuația de stare a unui sistem fizic omogen este o relație între parametrii de stare p, V și T ai sistemului în echilibru, la care se poate adăuga și masa sistemului, exprimată în moli. Cunoaștem ecuația de stare a gazului ideal care reprezintă o stare limită a oricărui gaz real. Ca urmare, ecuația de stare a gazelor reale va fi mai complexă, dar la limită,

pentru densități mici, trebuie să se reducă la ecuația de stare a gazului ideal. Aceasta justifică încercările de a modifica ecuația de stare a gazului ideal pentru a descrie starea gazelor reale. Încercările s-au făcut pe două direcții. Întâi s-a încercat utilizarea datelor experimentale în conformitate cu care să se stabilească o ecuație care să descrie cât mai corect comportarea gazelor. A doua cale este pur teoretică, urmărind calculul corecțiilor ce trebuie introduse pentru ca ecuația de stare a gazului ideal să devină ecuația de stare a gazelor reale. Riguros ar trebui să se utilizeze fizica statistică pentru un sistem de particule ce interacționează între ele.

9.2.1. Ecuația Van der Waals

Din analiza curbelor de compresibilitate izotermă a gazelor reale am văzut că abaterea de la legile gazului ideal poate fi explicată prin existența forțelor de respingere și a forțelor de atracție între molecule. Modul cel mai simplu de a lua în considerare forțele de respingere constă în a considera că moleculele nu sunt puncte materiale ci au dimensiuni și volumul ocupat de gaz nu poate fi redus la o valoare mai mică decât volumul ocupat de moleculele gazului când acestea sunt în contact unele cu altele, (modelul sferelor rigide). Notând cu b volumul minim pe care îl poate ocupa un mol de gaz, rezultă că volumul în care se pot mișca moleculele nu mai este V_μ ci $V_\mu - b$. Astfel am introdus o primă corecție în ecuația de stare a gazului ideal care devine

$$(9.21) \quad p = \frac{RT}{V_\mu - b}.$$

În această ecuație p reprezintă presiunea de echilibru cu care gazul acționează asupra pereților vasului. Dar, între moleculele gazului exercitându-se forțe de atracție înseamnă că moleculele de lângă pereții vasului vor fi atrase de moleculele din interior și presiunea exercitată de gaz asupra pereților va fi mai mică cu Δp , adică

$$(9.22) \quad p = \frac{RT}{V_\mu - b} - \Delta p.$$

Această scădere a presiunii este proporțională cu concentrația moleculelor din stratul de lângă perete, dar și cu concentrația moleculelor din interior, care este aceeași, notată cu n . Deci putem scrie $\Delta p \approx n^2$, iar $n = \frac{N_A}{V_\mu}$ și rezultă $\Delta p \approx \frac{1}{V_\mu^2}$ sau $\Delta p = \frac{a}{V_\mu^2}$. Cu această a doua corecție ecuația de stare a gazului ideal devine ecuația de stare Van der Waals, pentru un mol de gaz real

$$(9.23) \quad \left(p + \frac{a}{V_\mu^2} \right) (V_\mu - b) = RT.$$

Această deducere, pe cale empirică, a ecuației Van der Waals nu ne permite nici o legătură între corecțiile a și b , pe de o parte, și caracteristicile moleculare ale gazului, pe de altă parte. Pentru aceasta vom utiliza a două cale, menționată în introducerea acestui paragraf, care deși nu este cea mai riguroasă, ne va permite să dăm o interpretare mai riguroasă, mai profundă, corecțiilor a și b .

În primul rând vom observa că ecuația de stare a gazului ideal se poate stabili și plecând de la formula fundamentală a teoriei cinetice, în care presiunea este exprimată prin energia cinetică medie a moleculelor

$$(9.24) \quad p = \frac{2}{3} n \cdot \frac{mv^2}{2} = \frac{2}{3} \frac{1}{V} \overline{E_c}.$$

Evident că în cazul gazelor reale expresia presiunii va cuprinde și un termen în care intervine energia potențială de interacție a moleculelor. Riguros vorbind, ar trebui să evaluăm expresia energiei libere $F = U - TS$ și apoi cu ajutorul relației termodinamice $p = -\left(\frac{\partial F}{\partial V}\right)_T$ (vezi cap. 5) să calculăm presiunea. Operația necesită cunoștințe de fizică statistică ce depășesc nivelul propus pentru această lucrare și ca urmare ne vom mulțumi cu o aproximare. La energia cinetică, din ecuația de stare a gazului ideal vom adăuga, fără alte justificări, energia potențială de interacție a moleculelor dintr-un mol de substanță, E_p , adică

$$(9.25) \quad pV = \frac{2}{3} \overline{E_c} + E_p = vRT + E_p.$$

În acest fel totul se reduce la evaluarea energiei potențiale de interacție E_p . Pentru evaluarea energiei potențiale de interacție suntem nevoiți să facem unele aproximări simplificatoare. Vom adopta modelul sferelor rigide și vom presupune că moleculele interacționează (se atrag) numai când centrele lor se află la distanță r cuprinsă între d și αd , conform relațiilor (9.10) care definesc potențialul "groapă dreptunghiulară". Aceasta înseamnă că două molecule interacționează cu energia ε când centrul uneia se află în volumul de interacție al celeilalte. Volumul de interacție V_i este mărginit de cele două sfere concentrice, una de rază αd și cealaltă de rază d , adică

$$(9.26) \quad V_i = \frac{4\pi}{3} (\alpha d)^3 - \frac{4\pi}{3} d^3 = \frac{4\pi}{3} d^3 (\alpha^3 - 1).$$

Pentru determinarea coeficientului α punem condiția ca integrala de volum a energiei potențiale în cazul potențialului de interacție Lennard-Jones

$$(9.27) \quad \int_d^\infty E(r) \cdot 4\pi r^2 dr$$

să aibă aceeași valoare cu integrala de volum a energiei potențiale evaluată în cazul gropii dreptunghiulare de potențial

$$(9.28) \quad -\varepsilon \cdot \frac{4\pi}{3} d^3 (\alpha^3 - 1).$$

Prin egalarea acestor expresii

$$(9.29) \quad \int_d^\infty 4\varepsilon \left[\left(\frac{d}{r} \right)^{12} - \left(\frac{d}{r} \right)^6 \right] 4\pi r^2 dr = -\varepsilon \cdot \frac{4\pi}{3} d^3 (\alpha^3 - 1)$$

și evaluarea integralei se obține

$$(9.30) \quad \alpha^3 - 1 = \frac{8}{3}, \quad \text{adică } \alpha = 1,54.$$

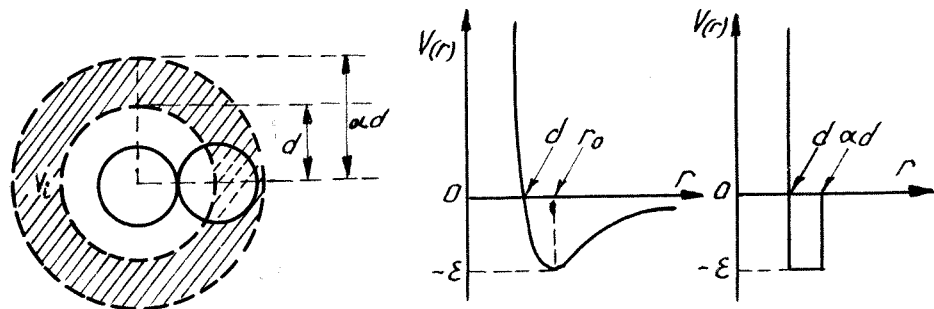


Fig. 9.4

În felul acesta am exprimat volumul de interacțiune funcție de diametrul molecular

$$(9.31) \quad V_i = \frac{4\pi}{3} d^3 \cdot \frac{8}{3}$$

sau funcție de volumul propriu al unei molecule V_0

$$(9.32) \quad V_i = 8V_0(\alpha^3 - 1) = 8V_0 \frac{8}{3},$$

în care $V_0 = \frac{4\pi}{3} \left(\frac{d}{2} \right)^3$.

Acum putem să evaluăm energia medie de interacțiune E_p a ansamblului de particule. Dacă notăm cu V volumul ocupat de gaz, și ne referim la două molecule oarecare, probabilitatea ca una să se afle în volumul de interacțiune (să interacționeze) al celeilalte este dată de raportul V/V . Energia potențială de interacțiune a acestei perechi de molecule este în medie $(-\varepsilon \frac{V_i}{V})$. Dacă în tot sistemul există N molecule, atunci se pot forma $\frac{1}{2} N(N-1) \approx \frac{1}{2} N^2$ perechi de molecule. Deci energia potențială de interacțiune a tuturor moleculelor va fi dată de energia unei perechi înmulțită cu numărul acestora

$$(9.33) \quad E_p = -\varepsilon \frac{V_i}{V} \cdot \frac{1}{2} N^2 = -\frac{1}{2} v^2 N_A^2 \frac{V_i}{V} \cdot \varepsilon$$

Introducând această expresie a energiei potențiale în relația (9.25) obținem

$$(9.34) \quad pV = vRT - \frac{1}{2} v^2 N_A^2 \frac{V_i}{V} \cdot \varepsilon$$

sau făcând notația

$$(9.35) \quad a = \frac{1}{2} N_A^2 \cdot V_i \cdot \varepsilon$$

putem scrie o relație asemănătoare cu relația (9.22)

$$(9.36) \quad pV = vRT - \frac{v^2 a}{V}.$$

Prin aceasta corecția a , care se introduce pentru a lua în considerare efectul forțelor de atracție, este exprimată prin mărimi moleculare: volumul de interacțiune V_i și adâncimea gropii de potențial ε .

Volumul V din expresiile (9.34) - (9.36) este de fapt volumul vasului în care se află gazul, dar o moleculă nu poate să se deplaseze în orice punct din acest volum deoarece ea nu poate ocupa locul ocupat de altă moleculă. Deci moleculele gazului real vor avea la dispoziție, pentru mișcare, un volum mai mic. Din volumul V se scade volumul ocupat de molecule. Pentru a evalua acest volum inaccesibil vom proceda în modul următor.

Vom considera un vas cubic de volum V în care se introduc una căte una moleculele gazului. Centrul primei molecule este liber să se miște în volumul $(\sqrt[3]{V} - d)^3$ deoarece nu se poate apropiă de peretei vasului decât până la distanța $d/2$. Centrul moleculei următoare introdusă în vas dispune pentru mișcare numai de volumul $(\sqrt[3]{V} - d)^3 - \frac{4\pi}{3} d^3$, deoarece nu se poate apropiă la o distanță mai mică decât d de centrul primei molecule. Prin introducerea primei molecule în vas, volumul blocat, sau inaccesibil celorlalte molecule, este $\frac{4\pi}{3} d^3$, după introducerea celei de a două molecule volumul inaccesibil este $2 \cdot \frac{4\pi}{3} d^3$, iar după ce au fost introduse toate cele N molecule volumul inaccesibil este $N \cdot \frac{4\pi}{3} d^3$, și volumul disponibil pentru mișcare este $(\sqrt[3]{V} - d)^3 - N \cdot \frac{4\pi}{3} d^3$.

De fapt la fiecare ciocnire participă două molecule (prezența a 3 sau mai multe molecule este puțin probabilă). Pentru fiecare din cele două molecule contează numai jumătate din zona

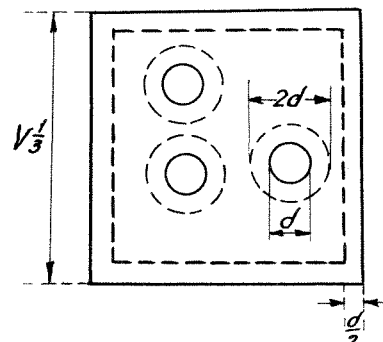


Fig. 9.5

(volumul) inaccesibilă a celei de a două. Ca urmare, pentru fiecare molecule din cele N existente în sistem, volumul inaccesibil va fi de două ori mai mic ($\frac{1}{2} N \frac{4\pi}{3} d^3$), iar volumul disponibil capătă expresia

$$(9.37) \quad V_{\text{disp}} = \left(\sqrt[3]{V} - d \right)^3 - \frac{1}{2} N \frac{4\pi}{3} d^3.$$

Având în vedere că $\sqrt[3]{V} \gg d$ putem neglijă pe d și introducând volumul propriu al unei molecule $V_0 = \frac{4\pi}{3} \left(\frac{d}{2} \right)^3$ rezultă pentru volumul disponibil expresia

$$(9.38) \quad V_{\text{disp}} = V - \frac{1}{2} v N_A \frac{4\pi}{3} \left(\frac{d}{2} \right)^3 \cdot 2^3$$

în care introducem corecția $b = 4N_A V_0$ numită covolum, încât

$$(9.39) \quad V_{\text{disp}} = V - vb.$$

Înlocuind în relația (9.36) volumul vasului cu volumul disponibil mișcării moleculelor obținem

$$(9.40) \quad p(V - vb) = vRT - \frac{v^2 a}{V - vb}$$

sau

$$(9.41) \quad p = \frac{vRT}{V - vb} - \frac{v^2 a}{(V - vb)^2}.$$

Termenul al doilea din membrul drept fiind un termen corectiv, putem neglijă corecția de volum vb față de volumul vasului și obținem ecuația

$$(9.42) \quad p = \frac{vRT}{V - vb} - \frac{v^2 a}{V^2}$$

care poartă numele fizicianului olandez Van der Waals (1837-1923) care a formulat-o prima dată în 1873.

Corecția $\frac{v^2 a}{V^2}$ are semnificația unei presiuni, presiunea internă, iar corecția b este covolumul și reprezintă volumul minim până la care poate fi comprimat un mol de gaz real. Coeficienții a și b nu depind numai de natura gazului ci și de presiunea și temperatura acestuia. Aceasta se explică în primul rând prin faptul că atât diametrul d al moleculelor cât și volumul lor de interacțiune V_i au fost definite prin procesele de interacțiune și acestea la rândul lor sunt influențate de presiune și temperatură. Ca urmare, conform relațiilor (9.35) și (9.39) corecțiile a și b variază cu presiunea și cu temperatura. De exemplu, pentru bioxid de carbon la 40°C , valorile constantelor a și b scad cu 50% când presiunea crește de la o atmosferă la 100 atmosfere.

Determinarea corecțiilor a și b se poate face experimental, prin măsurarea coeficientului de variație a presiunii cu temperatura β , care

împreună cu coeficientul de dilatare ϵ și coeficientul de compresibilitate κ determină starea gazului respectiv. Din ecuația Van der Waals, prin derivare, obținem

$$(9.43) \quad \left(\frac{\partial p}{\partial T} \right)_V = \frac{vR}{V - vb}$$

care ne permite să calculăm valoarea lui b

$$(9.44) \quad b = \frac{V}{v} - \frac{R}{\beta \cdot p}.$$

Coefficientul a se calculează din relația

$$T \left(\frac{\partial p}{\partial T} \right)_V = \frac{vRT}{V - vb} = p + \frac{v^2 a}{V^2}$$

care conduce la

$$(9.45) \quad a = \frac{V^2}{v^2} \left[T \left(\frac{\partial p}{\partial T} \right)_V - p \right] = \frac{V^2}{v^2} p [T \cdot \beta - 1].$$

Deci, trasând izocorele $p = p(T)$ putem evalua pe β și apoi corecțiile a și b .

9.2.2. Izotermele Van der Waals. Parametri critici

Presupunând că se cunosc valorile constantelor a și b , putem reprezenta grafic ecuația Van der Waals în coordonatele p și V (la $T = \text{constant}$), obținând astfel izotermele Van der Waals. Pentru aceasta observăm, mai întâi, că ecuația Van der Waals este o ecuație de gradul trei în V

$$(9.46) \quad pV^3 - (pb + RT)vV^2 + v^2 aV - v^3 ab = 0,$$

deci la o presiune dată gazul poate avea trei volume diferite. Izobara $p = p_1$ intersectează izoterma T_1 în punctele G, C, L (Fig. 9.6). Între aceste puncte izoterma prezintă un maxim în A și un minim în B. Pe izotermele experimentale (Andrews) aceste maxime și minime lipsesc, presiunea rămânând constantă între punctele G, C și L. Evident că porțiunea BCA de pe izotermele Van der Waals nu poate avea semnificație fizică deoarece, la temperatură constantă, nu pot crește în același timp și presiunea și volumul gazului. În schimb segmentele GA și LB

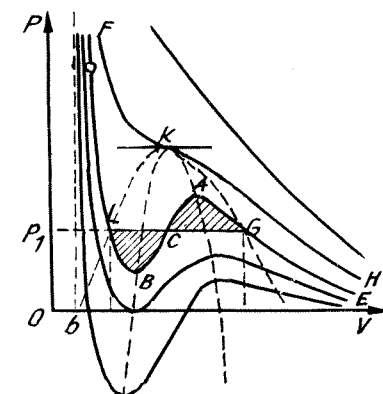


Fig. 9.6

descriu starea vaporilor suprasaturați și a lichidului supraîncălzit, stări metastabile despre care vom discuta într-un paragraf următor.

La temperaturi mari aspectul izotermelor se schimbă. Dacă T este atât de mare încât putem neglija termenul $\frac{v^2 a}{V^2}$ în raport cu $\frac{vRT}{V-vb}$, atunci ecuația Van der Waals devine

$$(9.47) \quad p = \frac{vRT}{V-vb}$$

și izotermele devin hiperbole echilatere având ca asymptote izobara $p = 0$ și izocora $V = vb$. Trecerea de la izotermele care prezintă maxime și minime la izotermele cu variație monotonă, fără maxime și minime, este marcată prin izoterma critică HKF, care prezintă un punct de inflexiune în K. Experimental se constată că la temperaturi mai mici decât temperatura critică T_c , prin comprimare gazul condensează, formând picături de lichid, la o presiune care rămâne constantă (presiunea vaporilor saturați) până când toată substanța trece în stare de lichid. Deasupra temperaturii critice gazul poate fi comprimat până ce densitatea lui devine egală sau mai mare decât a stării lichide, dar nu se observă formarea picăturilor de lichid, nu apare condensarea.

Poziția maximelor și minimelor de pe izotermele Van der Waals, precum și poziția punctului de inflexiune, poate fi determinată prin anularea derivatelor funcției $p = p(V)$. Anularea simultană a derivei de ordinul întâi și a celei de ordinul al doilea ne permite să aflăm coordonatele punctului de inflexiune, punctul K. Într-adevăr, din relația (9.42) obținem imediat derivele

$$(9.48) \quad \left(\frac{\partial p}{\partial V} \right)_T = -\frac{vRT}{(V-vb)^2} + \frac{2v^2a}{V^3}$$

$$(9.49) \quad \left(\frac{\partial^2 p}{\partial V^2} \right)_T = \frac{2vRT}{(V-vb)^3} - \frac{6v^2a}{V^4}.$$

Coordonatele punctului de inflexiune, punctul critic, le notăm cu P_c , V_c și T_c , și punând condiția de anulare a celor două derive obținem

$$(9.50) \quad \frac{vRT}{(V-vb)^2} = \frac{2v^2a}{V^3}$$

$$(9.51) \quad \frac{2vRT}{(V-vb)^3} = \frac{6v^2a}{V^4}.$$

Făcând raportul acestor ecuații obținem volumul critic

$$(9.52) \quad V_c = 3vb.$$

Înlocuind această expresie în relația (9.50) obținem temperatura critică

$$(9.53) \quad T_c = \frac{8a}{27Rb}$$

iar din ecuația Van der Waals obținem și presiunea critică

$$(9.54) \quad p_c = \frac{a}{27b^2}.$$

Astfel am exprimat parametrii critici, coordonatele punctului critic, prin cele trei constante ce intervin în ecuația Van der Waals: constanta universală a gazelor R și corecțiile a și b . Evident, parametrii critici sunt caracteristici fiecărui (material) gaz, ca și corecțiile a și b (vezi tabelul 9.2).

TABELUL 9.2.
Valorile parametrilor critici pentru câteva gaze

Gazul	T_c (K)	$p_c \cdot 10^{-5}$ (N/m ²)	$V_c \cdot 10^3$ (m ³ /kg)	ρ_c (g/cm ³)
He	5,3	2,29	14,43	0,069
H ₂	33,2	13,2	32,26	0,031
Ne	44,3	26,23	2,06	0,485
Ar	150,7	48,6	1,88	0,531
Xe	289,7	58,2	0,86	1,155
O ₂	154,3	50,3	2,32	0,430
N ₂	126,0	33,5	3,22	0,311
CO	134,1	34,6	3,21	0,311
CO ₂	304,2	73,9	2,17	0,460
SO ₂	430,1	77,7	1,94	0,513
CH ₄	120,2	45,6	6,17	0,162
NH ₃	405,6	112,94	4,26	0,234
H ₂ O	647,2	220,5	2,5	7,2

Cu ajutorul relațiilor (9.52 - 9.54) putem calcula coeficienții a și b , plecând de la datele experimentale din tabelul 9.2, și apoi să calculăm mărimile moleculare ϵ și d . Relațiile între mărimile moleculare caracteristice gazului și parametrii critici ne permit o înțelegere mai profundă a semnificației fizice a acestora. De exemplu, exprimând temperatura critică funcție de constantele a și b , iar acestea la rândul lor prin mărimile moleculare ϵ și d obținem

$$(9.55) \quad T_c = \frac{8a}{27Rb} = \frac{8}{27R} \frac{\frac{1}{2} N_A^2 V_i \epsilon}{4N_A V_0}$$

și utilizând relația (9.32) exprimăm temperatura critică funcție de energia de legătură ϵ

$$(9.56) \quad T_c = \frac{64}{81} \frac{\epsilon}{k} = 0,79 \frac{\epsilon}{k}.$$

Deci în primă aproximare, la temperatura critică este satisfăcută relația $kT_c \approx \epsilon$, adică energia termică exprimată prin produsul kT este de același

ordin de mărime cu energia de interacțiune binară ε . La temperaturi superioare temperaturii critice energia termică este mai mare decât energia de legătură și ca urmare gazul nu poate fi lichesiat prin comprimare, aşa cum se întâmplă sub temperatura critică.

Dată fiind importanța parametrilor critici, să descriem și metodele experimentale de determinare a lor.

a) Metoda izotermelor (Andrews, 1869) constă în trasarea familiei de izoterme (Fig.9.6) din care se alege izoterna pe care partea liniară, orizontală, se reduce la un punct. Aceasta este izoterna critică, iar coordonatele punctului de inflexiune de pe izoterna critică sunt tocmai presiunea și volumul critic.

b) Metoda miniscului constă în determinarea temperaturii la care dispare suprafața de separație dintre lichid și vaporii săi. Un tub de sticlă umplut cu lichidul de studiat (aproximativ pe jumătate) și închis, este încălzit într-un cupor. Prin creșterea temperaturii lichidul se dilată și o parte se evaporă crescând astfel presiunea vaporilor. Densitatea lichidului scade, iar a vaporilor crește, până ce devin egale, la temperatura critică. Pe măsură ce temperatura lichidului se apropie de temperatura critică, scade coeficientul de tensiune superficială și ca urmare scade curbura suprafeței, până ce devine plană. La temperatura critică dispare diferența dintre lichid și vaporii, deci nu mai există o suprafață de separație. Acest fenomen are loc numai dacă volumul tubului de sticlă închis este egal cu volumul critic corespunzător cantității de substanță conținută în el. În caz contrar, prin încălzire, sistemul poate să nu treacă prin punctul corespunzător stării critice.

Să presupunem că volumul tubului de sticlă V_1 este mai mare decât volumul critic, adică s-a introdus mai puțină substanță în el. Atunci, la temperatura t_1 (Fig.9.7) tubul va conține atât lichid cât și vaporii aceleiași substanțe. Prin creșterea temperaturii lichidul trece în stare de vapor, procesul încheindu-se (pct.A) la temperatura t_2 , înainte de atingerea temperaturii critice. Dacă se introduce mai multă substanță în tub, adică volumul V_2 al tubului este mai mic decât volumul critic, atunci prin încălzire de la temperatura t_1 la temperatura t_2 presiunea vaporilor crește atât de mult încât substanța trece în întregime în fază lichidă, la o temperatură inferioară temperaturii critice. Pentru a determina temperatura critică trebuie să utilizăm mai multe tuburi identice umplute în diferite proporții cu lichidul de studiat. Prin încălzirea lor simultană, diferenția suprafeței de separație va avea loc la diferite temperaturi; cea mai înaltă va fi tocmai temperatura critică.

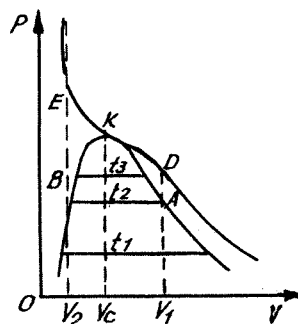


Fig. 9.7

c) Pentru a determina volumul critic se determină densitatea critică utilizând metoda diametru-liniar, care constă în determinarea densității lichidului și a vaporilor, cele două faze fiind în echilibru. În figura 9.8 este reprezentată dependența densității de temperatură pentru hidrogen. Punctul în care se racordează cele două curbe, reprezentând densitatea lichidului și a vaporilor, are drept coordonate densitatea critică și temperatura critică. Aflarea acestui punct se face trasând dreapta

ce reprezintă densitatea medie a celor două fluide $\left(\frac{\rho_l + \rho_v}{2}\right)$ și punctul de intersecție cu cele două curbe racordate este tocmai punctul căutat.

Starea substanței în punctul critic are unele caracteristici specifice. În primul rând, chiar definirea temperaturii critice necesită unele precizări. Se pare că temperatura la care apare punctul de inflexiune pe izotermă poate dифeри de temperatura la care dispare meniscul (suprafața de separare) și ambele pot fi dифerite de temperatura la care proprietățile ambelor faze sunt identice. Astfel, într-un interval îngust de temperatură, fluidul poate exista într-un tub formând două straturi de diferite densități, cu toate că nu există o suprafață de separație netă între ele.

Pe de altă parte, se știe că proprietățile lichidelor și vaporilor la punctul critic sunt puternic influențate de prezența chiar și a unor mici urme de impurități și ca urmare este greu de precizat dacă observațiile sunt semnificative pentru înțelegerea proceselor de condensare sau sunt rezultatul unor procese întâmplătoare. Fenomenul de "opalescență critică" reliefiază unele idei interesante. Un lichid care în condiții normale este incolor, la punctul critic difuzează lumina apărând alb lăptos, ca un nor care umple tubul. Dacă se dă o mică variație temperaturii (peste sau sub T_c) dispare "opalescența critică", gazul sau lichidul devenind incolor. Apariția unei difuzii puternice a luminii este o dovadă că fluidul în stare critică nu este omogen. Dacă neomogeneitățile se produc pe distanțe comparabile cu lungimea de undă a radiațiilor incidente, atunci acele lungimi de undă sunt difuzate. (Tot așa se explică și culoarea albastră a cerului, ca și utilizarea farurilor cu lumina galbenă pentru iluminatul pe timp cu ceată). Într-un lichid sau gaz comprimat, la temperatura critică, moleculele prezintă și o ordine locală, destul de regulată, peste care se suprapune dezordinea la distanță, astfel apărând neomogeneitățile, ceea ce explică apariția "opalescenței critice".

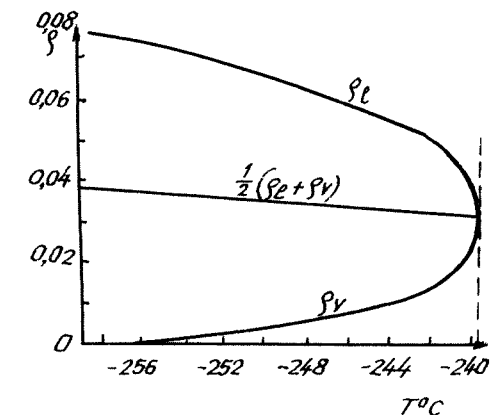


Fig. 9.8

9.2.3. Ecuația Van der Waals în coordonate reduse. Teorema stărilor corespondente

Dacă alegem ca unități de măsură pentru volum, presiune și temperatură tocmai valorile parametrilor critici ai gazului, atunci putem scrie ecuația Van der Waals ca o relație între parametrii de stare adimensionali (reduși):

$$(9.56) \quad V_r = \frac{V}{V_c}, \quad P_r = \frac{P}{P_c}, \quad T_r = \frac{T}{T_c}.$$

Ecuația Van der Waals scrisă în aceste variabile poartă denumirea de ecuația de stare redusă. Având în vedere expresiile parametrilor critici V_c , P_c și T_c obținem

$$(9.57) \quad \frac{V}{V_r} = 3vb; \quad \frac{P}{P_r} = \frac{a}{27b^2}; \quad \frac{T}{T_r} = \frac{8a}{27Rb}$$

și introducând expresiile parametrilor p, T și V din aceste relații în ecuația Van der Waals, obținem ecuația de stare redusă

$$(9.58) \quad \left(P_r + \frac{3}{V_r^2} \right) \left(V_r - \frac{1}{3} \right) = \frac{8}{3} T_r.$$

Această ecuație neconținând constante specifice unui anumit gaz este mai generală, permitând efectuarea unei comparații între două gaze diferite. Comparația este posibilă între gazele aflate la punctul critic sau într-o stare la depărtare relativă egală de punctul critic, deci în stări descrise prin aceeași parametri reduși P_r , V_r și T_r . Aceste stări se numesc stări corespondente.

Teorema stărilor corespondente afirmă că dacă două gaze diferite se află în stări caracterizate prin câte doi parametri reduși egali (ex. P_r și T_r) atunci și al treilea parametru redus (V_r) va avea aceeași valoare pentru ambele gaze. Acest lucru este evident pentru ecuația Van der Waals, dar este valabil în general pentru orice ecuație de stare care conține un număr de constante egal cu numărul parametrilor critici. (Ecuația Van der Waals conține constantele a , b și R).

În coordonate reduse izotermele pentru diferite gaze trebuie să coincidă. Experimental s-a constatat că ele coincid numai pentru gaze din aceeași grupă, cu structuri asemănătoare ale moleculelor constitutive. În interiorul unei astfel de grupe, teorema stărilor corespondente se verifică cu o precizie suficient de bună.

9.2.4. Ecuația Van der Waals și concordanța cu datele experimentale

Din punct de vedere calitativ, ecuația Van der Waals descrie suficient de bine starea gazelor reale, prezicând și existența stărilor metastabile

(lichidul supraîncălzit sau vaporii suprasaturanți). Din punct de vedere cantitativ concordanța cu experiența nu mai este atât de bună. La această neconcordanță contribuie și faptul că nu am luat în considerare dependența coeficientilor a și b de temperatură (de exemplu pentru argon la $T = 424$ K, $a = 0,192 \frac{\text{kg} \cdot \text{m}^5}{\text{mol}^2 \cdot \text{s}^2}$ și $b = 61 \cdot 10^{-6} \frac{\text{m}^3}{\text{mol}}$ iar la $T = 526$ K, $a = 0,147 \frac{\text{kg} \cdot \text{m}^5}{\text{mol}^2 \cdot \text{s}^2}$ și $b = 43 \cdot 10^{-6} \frac{\text{m}^3}{\text{mol}}$). Această neconcordanță între teorie și experiență se poate observa dacă evaluăm coeficientul critic $\frac{RT_c}{P_c V_c}$ a cărui valoare teoretică este $8/3$, deci aproximativ 2,67, dar valoarea experimentală este 3,75. De asemenea, din ecuația Van der Waals rezultă $v_b = \frac{V_c}{3}$, în timp ce experiența conduce la $v_b \approx \frac{V_c}{4}$.

Cu scopul de a obține o aproximare mai bună în descrierea stării gazelor reale, chiar și numai pe un interval restrâns de presiune și temperatură, s-au propus diferite ecuații de stare conținând mai mulți coeficienți. Toate au caracter semiempiric și de aceea nu vom reda modul de deducere.

Ecuația lui Berthelot are forma

$$(9.59) \quad \left(p + \frac{a}{TV^2} \right) (V - b) = RT,$$

în care constantele a , b și R se exprimă funcție de parametrii critici prin relațiile

$$a = \frac{16}{3} \frac{P_c V_c^2}{T_c}; \quad b = \frac{V_c}{4}; \quad R = \frac{32}{9} \frac{P_c V_c}{T_c}.$$

Această ecuație constituie o îmbunătățire empirică a ecuației Van der Waals, dar nici în acest mod nu s-a obținut o concordanță cu experiența mult mai bună. Ea devine din ce în ce mai inexactă pe măsură ce ne apropiem de punctul critic, unde conduce la o absurditate.

Ecuația lui Dieterici este de asemenea o îmbunătățire empirică a ecuației Van der Waals, având forma

$$(9.60) \quad \left(p + \frac{a}{V^{5/3}} \right) (V - b) = RT$$

dar cu $p_c = \frac{a}{4(4b)^{5/3}}$, conducând la o valoare a coeficientului critic în acord cu experiența: $\frac{RT_c}{P_c V_c} = \frac{15}{4} = 3,75$.

Ecuația lui Clausius conține patru constante

$$(9.61) \quad \left(p + \frac{a}{T(V+c)^2} \right) (V - b) = RT$$

Ecuarea lui Wohl introduce tot patru constante, dar în alt mod și cu alte semnificații

$$(9.62) \quad p = \frac{RT}{V-b} - \frac{a}{TV(V-b)} + \frac{c}{T^2 V^3}.$$

Beattie și Bridgeman, introducând șase constante, au micșorat diferența între valorile experimentale și cele teoretice până la 0,5%. Ecuarea lor are forma

$$(9.63) \quad p = \frac{RT(1-c')}{V^2}(V+B') - \frac{A'}{V^2}$$

în care $A' = A_0 \left(1 - \frac{a}{V}\right)$; $B' = B_0 \left(1 - \frac{b}{V}\right)$ și $c' = \frac{c}{VT^3}$ iar A_0 , B_0 , a , b și c sunt constante.

Kamerlingh Onnes (1853-1926; premiul Nobel 1913) scrie ecuația de stare sub formă virială (latină, vis, pl. vires - putere, tărie; la pl. mijloace posibilități) permitând astfel introducerea unui număr nelimitat de termeni corectivi

$$(9.64) \quad \frac{pV}{vRT} = 1 + \frac{B(T)}{V} + \frac{C(T)}{V^2} + \dots$$

funcțiile $B(T)$, $C(T)$, $D(T)$, ... fiind cunoscute ca al doilea, al treilea, ... coeficient virial.

Din reprezentarea grafică a acestei ecuații (Fig.9.9) putem deduce semnificația celui de al doilea coeficient virial $B(T)$. Observăm că aceste curbe sunt asemănătoare cu cele din figura 9.1. diferența constând în faptul că pe abscisă în loc de presiune am luat inversul volumului, $p \approx \frac{1}{V}$, ceea ce în aproximarea gazului ideal este riguros corect. Observăm că la presiuni mici, sau la volume mari, putem neglijă termenii ce conțin pe $\frac{1}{V^2}$ și următorii, ecuația (9.64) reducându-se la

$$(9.65) \quad \frac{pV}{vRT} = 1 + \frac{B(T)}{V}.$$

De aici deducem că al doilea coeficient virial $B(T)$ este tangenta la curba $\frac{pV}{vRT} = f\left(\frac{1}{V}\right)$, când $\frac{1}{V}$ tinde spre zero. Dar, din figura 9.9 se vede că panta în

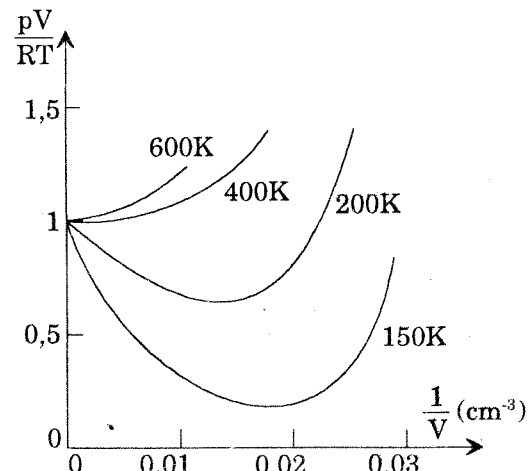


Fig. 9.9

origine, ca și coeficientul $B(T)$, depinde de temperatură, putând fi pozitivă sau negativă. Temperatura pentru care panta în origine este zero se numește temperatură Boyle, notată T_B , și rezultă că $B(T_B) = 0$. Pentru argon, (Fig.9.9) $T_B = 410$ K. La temperaturi mai înalte al doilea coeficient virial este pozitiv și tinde spre o constantă. La temperatura Boyle gazul real se comportă ca gazul ideal într-un domeniu larg de presiuni, în timp ce la alte temperaturi deviația este însemnată chiar la presiuni mici.

Reprezentând pV funcție de p la diferite temperaturi se obțin izotermele din figura 9.10. Izoterma pentru care panta în origine este zero corespunde temperaturii Boyle. Unind punctele de pe fiecare izotermă, în care panta este zero, la diferite presiuni se obține curba punctată care se numește curba Boyle.

Ecuarea acestei curbe se obține din condiția $\frac{\partial(pV)}{\partial p} = 0$.

Și ecuația Van der Waals se poate scrie sub formă virială ceea ce ne permite o nouă confruntare între datele teoretice și cele experimentale. Pentru aceasta, din ecuația Van der Waals scrisă sub formă

$$(9.66) \quad p = \frac{vRT}{V-vb} - \frac{v^2 a}{V^2}$$

prin înmulțire cu V și împărțire cu vRT obținem

$$(9.67) \quad \frac{pV}{vRT} = \frac{V}{V-vb} - \frac{v^2 a V}{vRT V^2} = \frac{1}{1-\frac{vb}{V}} - \frac{va}{RTV}.$$

Având în vedere egalitatea $\frac{1}{1-x} = 1+x+x^2+\dots$, valabilă pentru $x \ll 1$, o utilizăm și în cazul nostru deoarece $\frac{vb}{V} \ll 1$ și scriem

$$(9.68) \quad \frac{pV}{vRT} = 1 + \left(b - \frac{a}{RT}\right) \frac{v}{V} + \frac{v^2 b^2}{V^2} + \dots$$

Prin comparație cu ecuația (9.64) vedem că al doilea coeficient virial are expresia

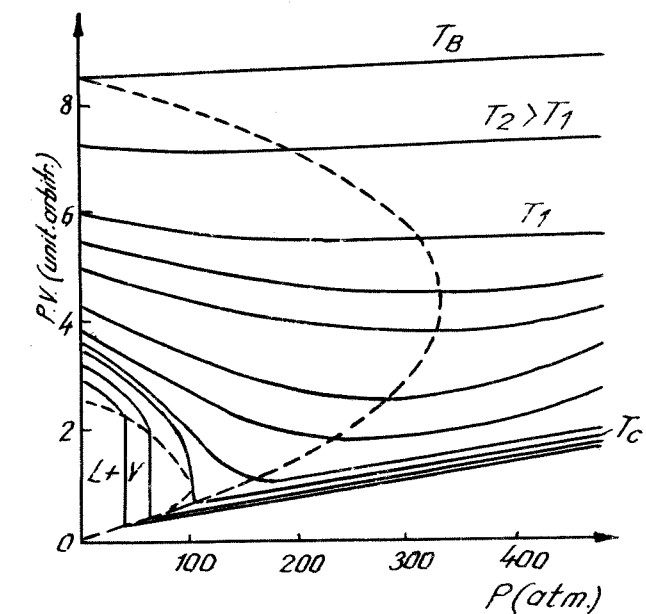


Fig. 9.10

$$(9.69) \quad B(T) = \left(b - \frac{a}{RT} \right) v$$

Deci al doilea coeficient virial al ecuației Van der Waals are valori mari și negative la temperaturi joase și valori pozitive, tînând spre vb, la temperaturi înalte. Când panta izotermei este zero în origine (la $\frac{1}{V} = 0$), al doilea coeficient virial se anulează, permitînd determinarea temperaturii Boyle

$$(9.70) \quad \left(b - \frac{a}{RT_B} \right) v = 0 \quad \text{sau} \quad T_B = \frac{a}{Rb}.$$

Concordanța dintre valoarea teoretică și cea experimentală a coefficientului $B(T)$ pentru argon este destul de bună dacă în calcule se utilizează corecțiile $b = 42 \cdot 10^{-6} \frac{\text{m}^3}{\text{mol}}$ și $a = 0,142 \frac{\text{kg} \cdot \text{m}^5}{\text{mol}^2 \cdot \text{s}^2}$. Valoarea rezultată pentru temperatură Boyle este apropiată de valoarea măsurată, 410 K. Corelând temperatura Boyle cu parametrii critici ai gazului obținem o relație generală între temperatura Boyle și temperatura critică

$$(9.71) \quad T_{(B)} = \frac{27}{8} T_c = 3,37 T_c,$$

dar concordanța cu datele experimentale nu este satisfăcătoare, fiindcă experimental se constată $T_B \approx 2,67 T_c$. Pentru argon temperatura critică fiind 150 K, rezultă o temperatură Boyle teoretică de 508 K, în loc de $150 \times 2,67 = 383$ K, valoare mult mai apropiată de cea experimentală, 410 K.

Cu toate că pentru argon se obțin date concordante cu observațiile experimentale, ecuația Van der Waals nu descrie corect din punct de vedere cantitativ comportarea tuturor gazelor. Una dintre cauzele neconcordanței poate fi și neluarea în considerație a unor fenomene ca formarea de perechi moleculare (dimeri). În general, doi atomi (molecule) când se întâlnesc se apropie până la o anumită distanță, la care energia lor potențială este comparabilă cu energia de legătură (ϵ) și apoi se îndepărtează din nou. În anumite condiții, când ciocnirea a doi atomi are loc în prezența unui alt treilea atom (moleculă) este posibil ca primele două particule (atomi sau molecule) să rămână împreună pentru un timp, nu legate printr-o forță cvasielastică și oscilând unul față de altul, ci rotindu-se în jurul centrului de masă comun (ca o stea dublă). Ciocnirea cu un alt atom (sau moleculă) îi desparte. În timpul existenței lor, perechile de atomi (sau molecule), numite dimeri, contribuie la energia potențială a gazului. La temperaturi înalte contribuția este mai mică, având un timp de viață mai scurt, dar la temperaturi joase contribuția lor la energia potențială a gazului poate fi atât de însemnată încât să predomine în al doilea coeficient virial $B(T)$. Dimerii au fost puși în evidență cu ajutorul spectrografiei de masă, în gazele monoatomice, unde sunt mai frecvenți.

9.3. Energia internă a gazelor reale

În principiu, calculul energiei interne a unui sistem omogen se poate face pe două căi: fie evaluând direct energia cinetică și energia potențială a tuturor particulelor constitutive, fie utilizând ecuația de stare a sistemului și relațiile generale din termodinamică. Prima metodă, directă, se lovește de insuficiența cunoașterea a forțelor de interacție moleculară și a dependenței lor de distanță. A doua metodă utilizează ecuații de stare, teoretice sau semiempirice, mai mult sau mai puțin în concordanță cu datele experimentale într-un anumit interval de temperatură și presiune. Cu cât ecuația de stare descrie mai corect starea sistemului cu atât rezultatele obținute vor fi mai aproape de realitate. Rezultatele privind căldura specifică, și alte caracteristici ale gazelor decurgând din valoarea energiei interne, vor fi afectate de erorile sau simplificările voite pe care le vom face în evaluarea energiei interne.

9.3.1. Energia internă a gazului Van der Waals. Calculul diferenței $C_p - C_v$

Un gaz real ale cărui proprietăți sunt descrise riguros de ecuația Van der Waals se mai numește și *gaz Van der Waals*, înțelegând prin aceasta o idealizare în sensul unei concordanțe perfecte între ecuația de stare și comportarea gazului. Energia internă a gazului Van der Waals, formată din energia cinetică și energia potențială de interacție a tuturor (particulelor) moleculelor poate fi evaluată ușor din expresia ecuației de stare, utilizând relațiile termodinamice stabilite anterior.

Plecând de la expresia energiei interne ca funcție de T și V (rel.5.48)

$$(9.72) \quad U(T, V) = \int v C_v dT + \int \left[T \left(\frac{\partial p}{\partial T} \right)_v - p \right] dV + U_0$$

și utilizând ecuația Van der Waals pentru calculul derivatei de sub integrală obținem

$$(9.73) \quad U(T, V) = \int v C_v dT + \int \frac{v^2 a}{V^2} dV + U_0.$$

Expresia diferențială a energiei interne a gazului Van der Waals rezultă imediat

$$(9.74) \quad dU(T, V) = v C_v dT + \frac{v^2 a}{V^2} dV$$

și prin identificare cu expresia generală

$$(9.75) \quad dU(T, V) = \left(\frac{\partial U}{\partial T} \right)_v dT + \left(\frac{\partial U}{\partial V} \right)_T dV$$

obținem expresiile derivatelor parțiale

$$(9.76) \quad vC_v = \left(\frac{\partial U}{\partial T} \right)_V \text{ și } \frac{v^2 a}{V^2} = \left(\frac{\partial U}{\partial V} \right)_T.$$

Observăm că la volum constant energia internă a gazului real este formată din energia cinetică variabilă cu temperatură și energia potențială care nu depinde de temperatură și care este constantă la volum constant. Ca urmare căldura molară la volum constant pentru gazul real este aceeași ca și pentru gazul ideal, de exemplu $C_v = \frac{3}{2}R$ pentru un gaz monoatomic. În schimb, spre deosebire de gazul ideal, la temperatură constantă energia internă a gazelor reale variază cu volumul, ceea ce determină o altă valoare a căldurii molare la presiune constantă. Pentru dilatarea gazelor reale este necesară o energie suplimentară cheltuită pentru a înginge și forțele de atracție între molecule, nu numai forțele (presiunea) exterioare, ca în cazul gazului ideal.

Pentru a pune în evidență acest lucru să calculăm diferența $C_p - C_v$. Introducând în principiul I expresia lui dU din relația (9.75) obținem expresia cantității de căldură

$$dQ = \left(\frac{\partial U}{\partial T} \right)_V dT + \left(\frac{\partial U}{\partial V} \right)_T dV + pdV,$$

iar prin împărțire cu dT la presiune constantă obținem relația cunoscută din termodinamică

$$(9.77) \quad vC_p - vC_v = \left[\left(\frac{\partial U}{\partial V} \right)_T + p \right] \left(\frac{dV}{dT} \right)_p.$$

În cazul gazului ideal $\left(\frac{\partial U}{\partial V} \right)_T = 0$ și rezultă imediat relația lui Robert Maier, $C_p - C_v = R$. În cazul gazului Van der Waals $\left(\frac{\partial U}{\partial V} \right)_T = \frac{v^2 a}{V^2}$ este dată de relația a doua (9.76), iar derivata volumului în raport cu temperatura o calculăm prin diferențierea ecuației de stare

$$(9.78) \quad \left(\frac{dV}{dT} \right)_p = \frac{vR}{\frac{vRT}{V-vb} - 2 \frac{v^2 a}{V^2} + 2 \frac{v^3 ab}{V^3}}.$$

Introducând expresia (9.78) în relația (9.77) și neglijând termenii în $1/V^2$, $1/V^3, \dots$, obținem relația căutată

$$(9.79) \quad vC_p - vC_v = vR \frac{1}{1 - \frac{2va}{RTV}}.$$

Pentru o interpretare mai ușoară vom neglija termenul în $1/V^2$ și pe baza aproximăției $\frac{1}{1-x} \approx 1+x$ putem scrie

$$(9.80) \quad vC_p - vC_v \approx vR \left(1 + \frac{2va}{RTV} \right).$$

Deci, căldura molară la presiune constantă are valoare mai mare pentru gazul Van der Waals decât pentru gazul ideal. În cazul unui gaz real monoatomic

$$(9.81) \quad C_v = \frac{3}{2}R; \quad C_p = \frac{3}{2}R + R + \frac{2va}{TV}; \quad \gamma = \frac{C_p}{C_v} = \frac{5}{3} + \frac{4}{3} \frac{va}{RTV}.$$

Rezultă că raportul γ nu mai este o constantă pentru gazele reale chiar dacă legea echipartitionei energiei pe grade de libertate este valabilă. Relația de mai sus arată că măsurarea lui γ permite determinarea constantei a din ecuația Van der Waals.

9.3.2. Efectul Joule-Thomson

În paragraful 3.4.2. a fost descris experimentul lui Joule privind destinderea unui gaz în vid și experimentul Joule și Thomson în care gazul se destinde într-un proces staționar. În acest experiment se constantă o variație a temperaturii gazului (efectul Joule-Thomson) când destinderea are loc la presiuni mari (gaz real). Evaluarea cantitativă a acestui efect se face prin raportul dintre variația temperaturii $\Delta T = T_2 - T_1$ și variația presiunii $\Delta p = p_2 - p_1$ utilizând ecuația de stare și constatărea că procesul Joule-Thomson are loc la entalpie constantă (vezi § 3.4.2.).

Deoarece entalpia este o funcție de stare, variația ei este o diferențială totală exactă și faptul că entalpia rămâne constantă se exprimă prin

$$(9.82) \quad dH = \left(\frac{\partial H}{\partial T} \right)_p dT + \left(\frac{\partial H}{\partial p} \right)_T dp = 0.$$

Sau, folosind expresia diferențialei entalpiei, stabilită în paragraful 5.2.3

$$(9.83) \quad dH = vC_p dT + \left[-T \left(\frac{\partial V}{\partial T} \right)_p + V \right] dp = 0$$

obținem expresia diferențială a efectului Joule-Thomson

$$(9.84) \quad \left(\frac{dT}{dp} \right)_H = \frac{T \left(\frac{\partial V}{\partial T} \right)_p - V}{vC_p}.$$

Dacă utilizăm ecuația de stare a gazului ideal pentru calculul numărătorului acestei expresii obținem $\left(\frac{dT}{dp} \right)_H = 0$. Rezultatul este în concordanță cu constatarea experimentală că în cazul gazelor foarte rarefiate nu apare efectul Joule-Thomson, la destinderea prin orificiul de laminare (sau dop

poros) nu se observă o modificare a temperaturii. Deoarece variația de presiune este negativă, scăderea presiunii, efectul Joule-Thomson este considerat pozitiv când temperatura scade și ca urmare $\left(\frac{dT}{dp}\right)_H > 0$. În caz contrar efectul este negativ.

Valoarea efectului Joule-Thomson pentru un gaz Van der Waals se poate calcula utilizând ecuația de stare pentru calculul derivatei de la numărătorul relației (9.84).

Un calcul simplu, aproximativ, se poate face utilizând forma virială a ecuației Van der Waals (rel. 9.68)

$$(9.85) \quad \frac{pV}{vRT} = 1 + \frac{v}{V} \left(b - \frac{a}{RT} \right)$$

în care am neglijat termenii în $1/V^2$ și următorii, ceea ce este permis pentru $p < 100\text{-}200$ atm. Din această ecuație explicităm volumul

$$(9.86) \quad V = \frac{vRT}{p} + \frac{v^2RT}{pV} \left(b - \frac{a}{RT} \right)$$

sau aproximând, în termenul corectiv, $vRT = pV$ avem

$$(9.87) \quad V \approx \frac{vRT}{p} + v \left(b - \frac{a}{RT} \right)$$

și de aici derivata volumului în raport cu temperatura

$$(9.88) \quad \left(\frac{dV}{dT} \right)_p = \frac{vR}{p} + \frac{va}{RT^2}.$$

Introducând această expresie, și cea a volumului (rel.9.87), în relația (9.84) obținem expresia finală a efectului Joule-Thomson

$$(9.89) \quad \left(\frac{dT}{dp} \right)_H = \frac{\frac{2av}{RT} - vb}{vC_p} = \frac{\frac{2a}{RT} - b}{C_p}.$$

Se observă imediat că atunci când $\frac{2a}{RT} - b > 0$ efectul Joule-Thomson este pozitiv, $\left(\frac{dT}{dp} \right)_H > 0$; gazul se răcește prin destindere. Dacă $\frac{2a}{RT} - b < 0$ rezultă că efectul Joule-Thomson este negativ, gazul încălzindu-se prin destindere. Schimbarea de semn are loc chiar pentru același gaz, răcirea având loc la temperaturi joase când $\frac{2a}{RT} > b$, în timp ce la temperaturi înalte gazul se încălzește. Temperatura la care are loc schimbarea de semn a efectului Joule-Thomson se numește temperatură de inversiune T_i și rezultă din

$$(9.90) \quad \frac{2a}{RT_i} = b = 0 \quad \text{sau} \quad T_i = \frac{2a}{Rb} = 2T_B.$$

Răcirea gazului se explică prin faptul că o parte din energia internă (cinetică), în procesul de destindere adiabatică, se transformă în lucru mecanic cheltuit pentru învingerea forțelor de atracție între molecule. A doua egalitate din relația (9.90) este verificată suficient de bine pentru argon, la presiuni nu prea mari: $T_B = 410$ K și $T_i = 785$ K, deci $T_i \approx 1,9 T_B$. Din tabelul 9.2. vedem că pentru hidrogen $T_B \approx 3T_c \approx 100$ K și ca urmare $T_i \approx 200$ K, iar pentru heliu $T_B \approx 3T_c \approx 20$ K și $T_i \approx 40$ K. Deci pentru a răci aceste gaze prin efect Joule - Thomson ele trebuie, mai întâi, să fie răcite cu altă metodă sub temperatura de inversiune, adică sub ~ 200 K pentru hidrogen și sub ~ 40 K pentru heliu. Dacă hidrogenul este lăsat să se destindă printr-un orificiu îngust la temperatura camerei, gazul se poate încălzi atât de mult încât se poate aprinde în contact cu aerul (poate face explozie).

Pentru practică este mai important să evaluăm efectul Joule-Thomson integral, definit prin relația

$$(9.91) \quad T_2 - T_1 = \int_{p_1}^{p_2} \left(\frac{dT}{dp} \right)_H dp$$

exprimând faptul că gazul suferă variații de presiune de sute de atmosfere și în consecință variația de temperatură este mult mai mare. Să presupunem că inițial gazul are volumul V și în final ajunge la volumul V' suficient de mare pentru a se apropia de starea gazului ideal. Procesul Joule-Thomson fiind izentalpic, putem scrie egalitatea entalpiilor în cele două stări $H = H'$, adică

$$(9.92) \quad vC_v T - \frac{v^2 a}{V} + pV = vC_v T' + p'V'.$$

Am notat cu T și T' temperatura gazului în starea inițială și respectiv în starea finală considerată gaz ideal. Produsul pV se evaluează din ecuația Van der Waals, iar produsul $p'V'$ din ecuația de stare a gazului ideal. Deci

$$(9.93) \quad vC_v T - \frac{v^2 a}{V} + \frac{vRTV}{V-vb} - \frac{v^2 a}{V'} = vC_v T' + vRT'.$$

Scăzând și adunând în primul membru al relației (9.93) cantitatea $\frac{v^2 RTb}{V-vb}$ se obține

$$(9.94) \quad vC_v T - \frac{2v^2 a}{V} + vRT + \frac{v^2 RTb}{V-vb} = vC_v T' + vRT'$$

ceea ce ne permite să calculăm variația de temperatură $\Delta T = T - T'$

$$(9.95) \quad (T - T')(R + C_v) = \frac{2va}{V} - \frac{vRTb}{V-vb}.$$

Variația de temperatură va fi zero (efect Joule-Thomson zero) când temperatura inițială a gazului va fi egală cu temperatura de inversiune, adică

$$(9.96) \quad \frac{2va}{V} - \frac{vRT_i b}{V-vb} = 0$$

de unde obținem expresia temperaturii de inversiune

$$(9.97) \quad T_i = \frac{2a}{Rb} \left(1 - \frac{vb}{V} \right).$$

Din această relație se vede că temperatura de inversiune depinde de starea gazului. La densități mari (V mic), temperatura de inversiune devine mai mică. La volume mari și densități mici, T_i se apropie de valoarea găsită în cazul efectului Joule-Thomson diferențial (rel.9.90). Reprezentarea grafică a acestei dependențe este dată în figura 9.11.

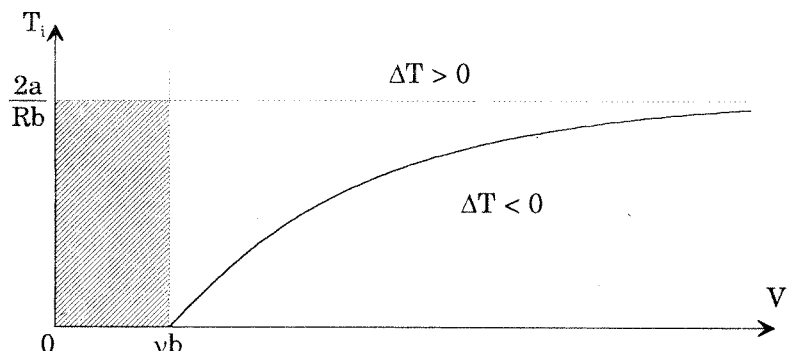


Fig. 9.11

9.3.3. Obținerea temperaturilor joase. Lichefierea gazelor

Dacă analizăm izotermele Andrews (§9.2.2.) observăm că toate gazele pot fi lichefiate dacă sunt răcite sub temperatură critică și apoi sunt comprimate. Unele gaze pot fi lichefiate chiar la temperatură camerei (ambiantă) deoarece au temperatură critică superioară acesteia (31°C pentru bioxid de carbon, 132°C pentru amoniac, 144°C pentru clor), dar altele, ca heliul și hidrogenul, trebuie răcite foarte mult pentru a ajunge sub temperatura lor critică (5,2 K pentru heliu și 33,2 K pentru hidrogen). Aceste gaze au fost considerate, mult timp, gaze permanente deoarece nu puteau fi lichefiate.

Pentru a trece un gaz, ca heliul sau hidrogenul, din starea gazoasă în starea lichidă trebuie să avem posibilitatea să realizăm temperaturi foarte coborâte și presiuni înalte. Dar manipularea și utilizarea gazelor lichefiate se face la presiunea atmosferică, ceea ce impune o răcire mai accentuată a gazului până la temperatura la care se află în echilibru cu vaporii săi la presiunea atmosferică. La această temperatură lichidul se poate păstra în vase deschise, dar izolate termic.

În tehnică se utilizează, de obicei, trei metode de obținere a temperaturilor joase: evaporarea forțată a lichidelor, destinderea adiabatică reversibilă cu efectuare de lucru mecanic și destinderea sau curgerea cu

efect Joule-Thomson. Dar, temperaturi nu prea joase (~200 K) se pot obține și cu ajutorul unor amestecuri frigorifice (vezi tabelul 9.3). Amestecând sare de bucătărie cu zăpadă se poate atinge -20°C, dar amestecând cloroform sau eter cu zăpadă carbonică (bioxid de carbon solid) se ajunge la -78°C.

TABELUL 9.3
Amestecuri de răcire

Componentele amestecului	Raportul componentelor (în greutate)	Temperatura înainte de amestec	Temperatura minimă la care se ajunge
H_2O (apă) cu NH_4NO_3	1/1	+10°C	-15°C
H_2O (zăpadă) cu $NaCl$	3/1	-1°C	-21°C
H_2O (zăpadă) cu H_2SO_4	3/2	0°C	-30°C
H_2O (zăpadă) cu HCl	8/5	0°C	-33°C
CO_2 (zăpadă carbonică) cu eter sulfuric	CO_2 (solid) în exces	< 0°C	-78°C
CO_2 (zăpadă carbonică) cu acetonă	CO_2 (solid) în exces	< 0°C	-86°C

Evaporarea forțată a lichidelor se utilizează în construcția frigiderelor fără compresor. Cu această metodă nu se poate obține o temperatură destul de coborâtă încât să permită lichefierea gazelor, în plus tehnica de lucru este destul de complicată. De exemplu, propanul, având temperatură critică superioară temperaturii ambiante, poate fi lichefiat dacă este comprimat până la 10 atmosfere, la temperatura de 300 K. Prin destinderea fluidului astfel obținut el fierbe sub presiune redusă ajungând la temperatura de 85 K. Metoda este folosită și la temperaturi foarte joase, sub 4,2 K. Evaporând forțat, la presiune redusă, heliul lichid, acesta se răcește sub temperatura lui de fierbere la presiune normală, putându-se atinge 0,7 K.

Instalațiile industriale utilizate pentru lichefierea gazelor se bazează pe celelalte două metode menționate mai sus: destindere cu efect Joule-Thomson și destindere cu efectuare de lucru mecanic în exterior. Destinderea cu efect Joule-Thomson poate fi utilizată numai dacă gazul se află la o temperatură inferioară temperaturii de inversiune (de exemplu pentru oxigen $T_i = 893$ K și $T_c = 154,36$ K). Răcirea hidrogenului sau heliului cu această metodă necesită o răcire prealabilă cu o altă metodă.

Răcirea prin destindere adiabatică cu efectuare de lucru mecanic este mai eficientă decât răcirea prin destindere cu efect Joule-Thomson. Lucrul mecanic se efectuează pe seama energiei interne a gazului conținând

la scăderea temperaturii acestuia. Eficiența răcirei prin destindere adiabatică cu efectuare de lucru mecanic se evaluează prin randamentul mașinii frigorifice (vezi § 3.4.6.). În mașinile frigorifice, industriale sau de uz casnic, substanța de lucru este amoniacul sau freonul (CCl_2F_2). În mașinile pentru lichefieră gazelor substanța de lucru este chiar gazul ce urmează să fie lichefiat.

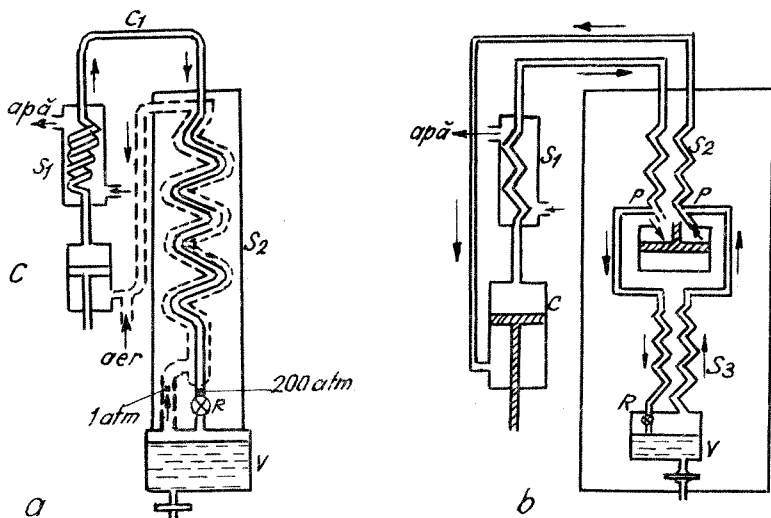


Fig. 9.12

Prima mașină destinată lichefierii aerului a utilizat efectul Joule-Thomson atât pentru răcirea gazului sub temperatură critică precum și pentru răcirea ulterioară pînă la lichefie. În principiu această mașină, prezentată schematic în figura 9.12.a funcționează în modul următor. Aerul intră în compresorul C care îl comprimă pînă la 200 atmosfere, forțându-l să treacă prin conducta C_1 . Deoarece prin comprimare gazul se încălzește, el este răcit în schimbătorul de căldură S_1 , prin care circulă apă la temperatura mediului ambient. Prin conducta C_1 gazul ajunge la schimbătorul de căldură S_2 și apoi la dispozitivul de laminare, cu deschidere mică, prin care se destinde cu efect Joule-Thomson, de la 200 atmosfere la 1 o atmosferă. Gazul astfel răcit se întoarce în schimbătorul de căldură S_2 răcind gazul care se află sub presiune înainte de destindere. Acest procedeu de răcire în schimbătoare de căldură cu contra-current este utilizat în toate mașinile moderne de lichefie a gazelor. La ieșirea din schimbătorul de căldură S_2 gazul este din nou comprimat pînă la 200 atmosfere și reintrodus în circuit. Ca urmare la dispozitivul de laminare va ajunge o masă de gaz din ce în ce mai rece și în final, prin destindere cu efect Joule-Thomson, se va lichefia acumulându-se în vasul V, de unde poate fi transferat în vase Dewar pentru

păstrare. Temperaturile atinse într-o astfel de mașină care funcționează în regim permanent sunt următoarele: 293 K la intrare în schimbătorul de căldură S_2 , 170 K la ieșirea din schimbătorul S_2 și 80 K după destinderea cu efect Joule-Thomson. Utilizarea unei astfel de mașini pentru lichefiearea hidrogenului necesită răcirea gazului sub punctul de inversiune cu ajutorul azotului lichid (heliu trebuie răcit cu hidrogen lichid). Mai avantajos este să utilizăm destinderea cu efectuare de lucru mecanic pentru răcirea inițială a gazului de lichefiat. Mașinile de acest tip (prima construită de Claude în anul 1902) s-au răspândit foarte repede datorită randamentului și siguranței în funcționare. Schema de principiu este prezentată în figura 9.12.b. Gazul este comprimat cu ajutorul compresorului C și apoi răcit pînă la temperatura lui inițială, în schimbătorul de căldură S_1 . De aici trece prin schimbătorul de căldură S_2 și în punctul P este divizat în doi curenti. Primul, aproximativ 20%, intră în schimbătorul de căldură S_3 și apoi se destinde prin supapa R, cu efect Joule-Thomson, ajungând în vasul V. Al doilea curent, 80% din fluxul total, se ramifică spre un cilindru cu piston căt și cel destins cu efectuare de lucru mecanic și ca urmare se răcește. Gazul astfel răcit se întoarce în schimbătorul de căldură S_2 și răcește gazul care vine de la compresor. Atât gazul destins în cilindrul cu piston căt și cel destins cu efectuare de efect Joule-Thomson se întorc, la o temperatură din ce în ce mai joasă, la compresorul care le introduce din nou în circuit. Din cele de mai sus este clar că metoda Claude utilizează răcirea gazului prin destindere cu efectuare de lucru mecanic drept prerăcire pentru a-l aduce sub temperatură de inversiune, unde este posibilă răcirea prin efect Joule-Thomson.

Gazele lichefiate se păstrează în vase Dewar deschise. Pentru azot este suficient un vas Dewar metalic sau din sticlă (vas pentru "termos") în care azotul lichid este izolat termic de mediul exterior pentru ca viteza de evaporare să fie cât mai mică. În condiții normale de presiune, temperatura de fierbere a azotului lichid este de 77,32 K. În aceste condiții, azotul lichid poate fi păstrat timp de câteva zile, cantitatea scăzând mereu prin vaporizare.

Heliul lichid, care fierbe la 4,2 K, la presiune normală se păstrează tot în vase Dewar deschișe, dar introduse într-un alt vas Dewar plin cu azot lichid (Fig. 9.13). Astfel se reduce transferul de căldură de la exterior spre interior și viteza de vaporizare a heliului este micșorată. Vasul Dewar în care se păstrează heliul lichid este închis și la partea superioară, ceea ce permite recuperarea vaporilor de heliu și, eventual, pomparea lor forțată pentru a răci lichidul sub temperatura de fierbere în condiții normale (4,2 K), ajungându-se la 0,7 K. Temperaturi mai coborâte nu

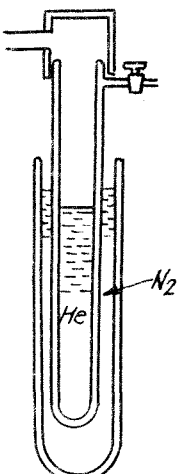


Fig. 9.13

se pot obține cu acest procedeu deoarece presiunea vaporilor de heliu este foarte mică ($2,2 \cdot 10^{-3}$ mmHg la 0,7 K și $1,6 \cdot 10^{-5}$ mmHg la 0,5 K) și pompele de vid nu pot atinge un debit atât de mare la presiuni atât de joase. În plus heliul lichid are căldura latentă de vaporizare foarte mică, deci se evaporă foarte ușor.

La temperaturi foarte joase, obținute cu ajutorul heliului lichid, mișcarea de agitație termică devine atât de slabă încât permite observarea unor fenomene produse de interacțiunile atomilor și moleculelor, ceea ce nu este posibil la temperaturi mai mari. Interacțiunile atomice și moleculare fiind guvernate de legile mecanicii cuantice rezultă că la temperaturi joase vor apărea unele fenomene care evidențiază unele caracteristici cuantice ale substanței.

TABELUL 9.4.
Caracteristicile termodinamice ale gazelor lichefiate

	O ₂	N ₂	H ₂	He
T _{fierb.} la 1 atm., în K	90,1	77,3	20,3	4,2
T _{solidif.} la 1 atm., în K	54,3	63,1	14	nu se solidifică
Densitatea la T _{fierb.} , în kg·m ⁻³	1150	800	71	125
Densitatea în stare solidă	1425	1026	80	—
Căldura latentă de vaporizare la T _{fierb.} , în kJ·kg ⁻¹	212,8	200	456,2	23

Proprietățile lichidelor la temperaturi joase, în apropiere de temperatura de solidificare, se modifică în sensul creșterii coeficientului de tensiune superficială și a creșterii coeficientului de viscozitate. Heliul face excepție. Nu se solidifică la presiunea atmosferică ci abia la 25 atmosfere sau mai mult. La temperaturi suficient de joase, sub 2,2 K și presiunea atmosferică, heliul prezintă și alte caracteristici specifice printre care se observă că devine suprafluid. În starea I (vezi fig. 9.14) heliul are coeficientul de viscozitate $\eta_1 = 2 \cdot 10^{-6}$ daP (N·s·m⁻² sau kg·s·m),

iar în starea II, $\eta_{II} = 10^{-12}$ daP. Pentru comparație amintim că $\eta_{H_2O} = 10^{-3}$ daP. Pentru heliul II, legea lui Poiseuille nu se aplică la curgerea prin tuburi foarte înguste (10^{-4} - 10^{-5} cm). Viteza de curgere crește cu creșterea razei tubului capilar. În tuburi largi (10^{-3} cm) nu mai există o viteză critică (deasupra căreia să apară forțe de frecare), dar legea de curgere este alta (nu legea lui Poiseuille).

Suprafluiditatea heliului lichid se poate explica dacă se admite că la temperaturi mai mici de 2,2 K (heliu II), atomii de heliu se află într-o stare în care nu-și pot modifica impulsul prin ciocniri cu alți atomi sau cu peretei vasului. Lipsa transportului de impuls ar explica lipsa viscozității.

Și în unele substanțe solide la temperaturi joase se observă fenomene determinate de caracteristicile cuantice. Așa este supraconductibilitatea electrică (pierderea bruscă a rezistenței electrice când substanța este răcită sub o anumită temperatură).

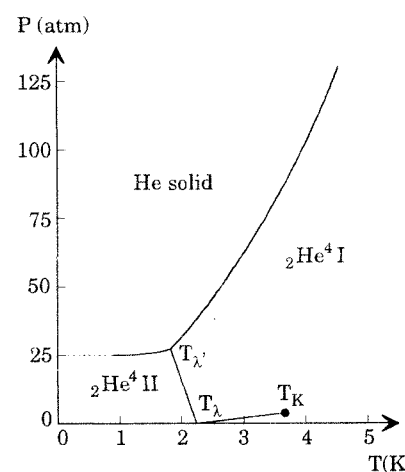


Fig. 9.14

CAPITOLUL 10

STAREA SOLIDĂ

10.1. Noțiuni generale

În natură există o foarte mare diversitate de substanțe în stare solidă: minerale și roci, metale și aliaje metalice, compuși organici, substanțe biologice, toate acestea fiind constituite din atomii elementelor chimice cuprinse în tabelul periodic al elementelor.

S-au prezentat în § 6.1. caracteristicile macroscopice ale solidelor, comparativ cu celelalte stări de agregare, corelându-se calitativ aceste proprietăți cu structura lor moleculară.

Drept criteriu de diferențiere între stările de agregare se utilizează în mod curent constanța volumului și a formei corporilor. Totuși, utilizând acest criteriu, este dificil să încadrăm corpori cum ar fi cauciucul, plastilina, plumbul, care își schimbă foarte ușor forma, sau ca mercurul în picături, care își păstrează formă în absența forțelor deformatoare. Un criteriu de sistematizare mai general trebuie să se refere la modul de aranjare a particulelor individuale. Astfel, ansamblul de particule ce constituie un corp solid se caracterizează printr-un grad mare de ordonare, de simetrie, prin aranjarea periodică regulată a particulelor constitutive, factorul principal ce conduce la formarea acestei structuri regulate fiind forțele de legătură între particule.

Materia poate exista în stare solidă numai datorită prezenței unor forțe de interacțiune puternice între particulele structurale constitutive ale solidului, forțe ce acționează la distanțe mici între particule. În timp ce în gaze interacțiunile între molecule sunt cu mult mai slabe decât mișcarea dezordonată de agitație termică, în solide energia potențială corespunzătoare forțelor intermoleculare de interacțiune predomină față de energia cinetică a particulelor.

Clasificarea solidelor se poate face fie pornind de la gradul de ordonare a particulelor, deci de la simetria rețelei cristaline, fie pe baza naturii forțelor de legătură între particule.

Solidele amorf prezintă o omogenitate statistică a structurii interne, care implică distribuirea haotică în ansamblu a particulelor și izotropia

spațială a proprietăților fizice. Solidele amorf au totuși *ordine locală*, adică prezintă zone cu o dispunere ordonată a particulelor, având dimensiuni comparabile cu câteva diametre moleculare.

Temperaturile de topire ale solidelor amorf nu sunt bine precizate, trecerea din stare solidă în stare lichidă realizându-se prin fămuirea treptată a solidului amorf. Astfel se comportă sticla, diferite rășini, materialele plastice (termoplastice), aliajele amorfice solidificate ultrarapid.

Solidele cristaline au particulele distribuite ordonat în nodurile rețelei cristaline, adică prezintă *ordine la distanță* (ordine de rază lungă), ordinea locală repetându-se în tot volumul corpului. Solidele cristaline se caracterizează prin anizotropia proprietăților fizice și în stare pură prezintă punct fix de topire.

Majoritatea corporilor solide sunt cristaline, reprezentând ansambluri de particule (atomi, ioni, molecule) grupate în rețele cristaline.

Din punct de vedere termodinamic, starea cristalină reprezintă o stare stabilă de echilibru, caracterizată printr-un minim absolut al energiei libere de configurație.

Acest echilibru se atinge numai pentru o distribuție reciprocă a particulelor vecine (atomi, ioni, molecule) foarte bine determinate. Această condiție trebuie să fie îndeplinită în întreg volumul solidului respectiv și de aceea distribuția particulelor vecine se repetă periodic, luând naștere o structură cristalină sau un cristal.

Starea amorfă este o stare de echilibru metastabil a unui solid. În timp, sau în condiții speciale, unele substanțe amorfice pot trece în stare cristalină; solidele amorfice sunt considerate uneori ca fiind lichide foarte vâscoase, subrăcite.

În general, creșterea diferitelor cristale din topitură sau din soluție se face neregulat, sub formă de conglomerate policristaline sau *policristale*, alcătuite din mici unități cristaline numite *cristalite*. Cristalele sau grăunții cristalini nu au forme geometrice regulate, deoarece în timpul solidificării procesul de creștere a unui cristal este întrerupt de creșterea cristalitelor vecine. Multe corpori solide, îndeosebi metalele și rocile sunt policristale.

În condiții speciale de creștere, întâlnite fie în natură, fie în creșterea artificială, cu precauții experimentale deosebite, se pot obține *monocristale*. Macroscopic, monocristalele se prezintă sub formă de poliedre limitate de fețe plane ce se intersectează după anumite unghiuri. Această formă geometrică regulată reflectă proprietățile interne ale monocristalului, apropriate de cele ale unui *cristal ideal*. Un cristal ideal este constituit prin repetarea regulată a unei structuri elementare în întreg spațiul.

Așa după cum studiul gazelor s-a început prin introducerea modelului de *gaz ideal*, ca stare limită pentru comportarea gazelor reale, în studiul solidelor cristaline se va utiliza modelul de *solid ideal* (monocristal ideal), conceput ca o stare limită pentru solidele reale.

Din punct de vedere al distribuției particulelor constitutive, corpurile întâlnite în natură (gaze, lichide, solide) se situează deci între starea de dezordine perfectă caracteristică gazului ideal și starea de ordine perfectă din solidul ideal.

10.2. Solid ideal. Rețea cristalină

Pentru a descrie structura internă ordonată a cristalelor se folosesc noțiunile de rețea cristalină, sau rețea spațială a cristalului. În analiza teoretică a structurii cristaline se presupune că monocristalele ideale au dimensiuni infinite, eliminându-se astfel influența suprafețelor.

Se poate descrie matematic aranjarea periodică a unor puncte în spațiu cu ajutorul unei operații de translație. Figura 10.1 prezintă o rețea obținută prin translarea unei particule situate în punctul 0 în lungul a trei axe: OX, la distanțele a , $2a$, $3a, \dots, ma, \dots;$ OY, la distanțele b , $2b$, $3b, \dots, nb, \dots;$ OZ la distanțele c , $2c$, $3c, \dots, pc, \dots,$ unde m, n, p reprezintă numere întregi. Poziția unei particule într-o astfel de rețea este descrisă prin vectorul

$$(10.1) \quad \vec{r} = m\vec{a} + n\vec{b} + p\vec{c}.$$

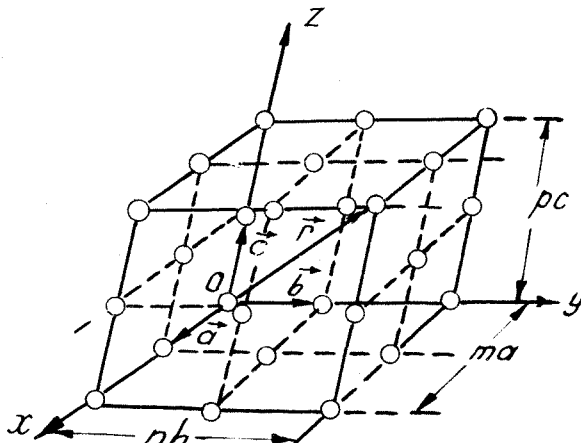


Fig. 10.1

Vectorii $\vec{a}, \vec{b}, \vec{c}$ (necoplanari) sunt numiți *vectori de translație fundamentali*, vectori de bază sau vectori de translație, iar lungimile lor, a, b, c , adică perioadele de translație, poartă numele de *constante ale rețelei*, putând fi considerate ca unități de măsură naturale după axele respective.

Mulțimea punctelor definite prin extremitatea vectorului \vec{r} din relația (10.1), pentru toate valorile numerelor întregi m, n, p egale cu $0, \pm 1, \pm 2, \dots$, reprezintă o *rețea cristalină*.

Un cristal ideal simplu (de exemplu un monocrystal de Au, Cu, Ag etc.) conține câte un singur atom în fiecare nod de rețea, dar există cristale mai complexe constituite din mai multe elemente chimice sau din grupuri

asociate de atomi diferenți. În acest caz structura lor poate fi descrisă considerând o singură rețea periodică de puncte în spațiu căreia i se atașează în fiecare punct nodal câte un grup de atomi, numit *bază*.

Pentru a reprezenta o structură cristalină ideală este deci necesar ca, pe lângă definirea rețelei cristaline, să precizăm baza, adică să indicăm particula sau particulele ce sunt situate în fiecare nod al rețelei; cu alte cuvinte, o *structură cristalină* este formată dintr-o *rețea cristalină* și o *bază*.

Rețeaua construită prin translarea unui singur nod de rețea în lungul a trei direcții diferite se numește *rețea Bravais* sau rețea de translație. Cel mai mic paralelipiped construit pe vectorii $\vec{a}, \vec{b}, \vec{c}$ este numit *celulă elementară* a cristalului (Fig.10.2); dacă acest paralelipiped se repetă periodic în spațiu în direcțiile celor trei axe cristalografice (OX, OY, OZ), se poate reproduce întreaga rețea cristalină. Pentru a descrie o celulă elementară se utilizează șase mărimi, numite *parametrii rețelei*: cele trei muchii ale celulei (a, b, c) care dău valorile constantelor de rețea și cele trei unghiuri între acestea (α, β, γ). Forma și volumul tuturor celulelor elementare cuprinse în rețea sunt identice. De asemenea, sunt echivalente toate vîrfurile celulelor elementare, fiind ocupate de atomi de același fel sau de grupe de atomi identice.

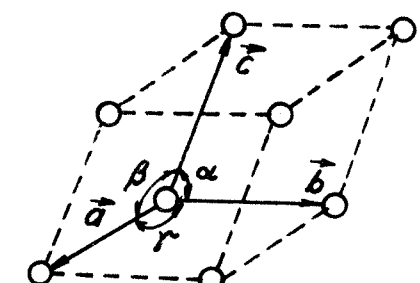


Fig. 10.2

Vectorii de translație fundamentali, $\vec{a}, \vec{b}, \vec{c}$, se pot selecta în diferite moduri. În modelul de rețea bidimensională reprezentat în Fig.10.3, sunt ilustrate câteva moduri de alegere a acestora. Dacă se pot defini pozițiile tuturor nodurilor din rețeaua spațială cu ajutorul vectorilor fundamentali aleși, această nedeterminare nu este esențială (se face alegerea cea mai convenabilă sau mai simplă). Dacă se aleg vectorii $\vec{a}, \vec{b}, \vec{c}$ astfel ca modulul lor să reprezinte distanța minimă de periodicitate în direcția respectivă, aceștia se numesc *vectori primitivi (fundamentali)*, iar ansamblul lor definește rețeaua de bază (primitivă).

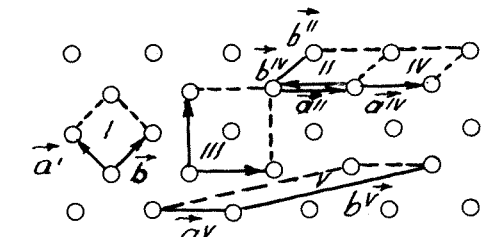


Fig. 10.3

După cum se vede în exemplul ilustrativ de rețea plană din Fig.10.3. se pot obține celulele elementare plane I, II, III, IV etc. celulele I și II fiind

primitive. În celulele elementare I și II fiecare atom aparține la patru celule vecine, deci revine un singur atom pentru o celulă, deoarece fiecare vârf contribuie cu o părțime de atom. Într-o rețea tridimensională celula elementară are forma paralelipipedică, atomul din vârful unei celule aparținând la 8 celule elementare, deci într-o celulă se consideră prezentă numai 1/8 din acel atom. Considerând că toate vârfurile unei celule paralelipipedice contribuie cu o optime de atom, celula va poseda deci în total $8 \cdot (1/8) = 1$ atom.

Celula elementară căreia îi revine o singură particulă se numește *celulă primitivă*; în interiorul unei celule primitive nu există noduri. Celula elementară III (Fig. 10.3) conține doi atomi (un atom în centru și un atom corespunzător vârfurilor celulei) și este o celulă elementară nesimplă, la fel ca și celula IV.

În cazul simetriei de translație a unui cristal ideal, vectorul de translație cristalină

$$(10.2) \quad \vec{T} = m \vec{a} + n \vec{b} + p \vec{c} \quad \text{sau} \quad \vec{T} = n_1 \vec{a}_1 + n_2 \vec{a}_2 + n_3 \vec{a}_3$$

(în notație cristalografică) definește operația de translație prin care rețeaua spațială se transformă în ea însăși. Două noduri oarecare ale rețelei sunt separate între ele printr-un vector \vec{T} .

Se poate deduce ușor că volumul unei celule elementare definite prin vectorii de translație fundamentali $\vec{a}_1, \vec{a}_2, \vec{a}_3$ este dat de produsul mixt

$$(10.3) \quad V = \left| \left[\vec{a}_1 \times \vec{a}_2 \right] \cdot \vec{a}_3 \right|$$

Nu orice tip de rețea poate fi obținută prin translarea unui singur nod. De exemplu, în Fig. 10.4 s-a reprezentat o rețea cristalină bidimensională cu o bază formată din 2 atomi. O astfel de rețea poate fi imaginată ca fiind formată din două rețele Bravais, subrețelele 1 și 2, fiecare determinată prin vectorii de translație \vec{a} și \vec{b} și inserate una în alta.

Deplasarea relativă a acestor subrețele este descrisă cu ajutorul unui vector-bază \vec{A} . Numărul vectorilor-bază pentru descrierea unei rețele cristaline complexe

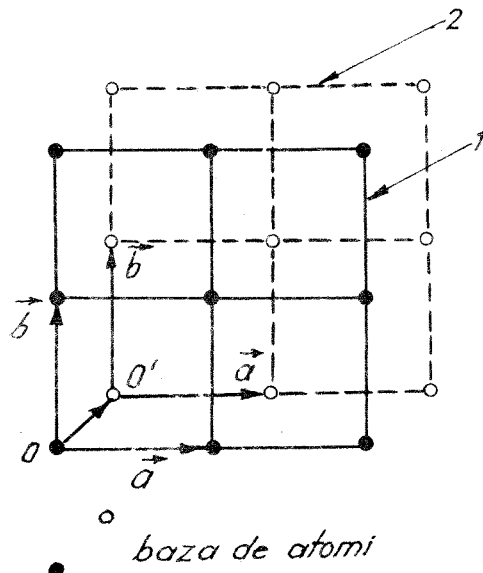


Fig. 10.4

poate fi destul de mare; se cunosc structuri cristaline pentru care numărul de atomi ce formează baza depășește 1000 (pentru unele substanțe organice biologice). Pentru a obține rețeaua cristalină se transleză de această dată întreaga bază, definită prin totalitatea vectorilor-bază.

10.3. Sisteme cristalografice

În afară de simetria de translație, prin care o rețea spațială se transformă în ea însăși prin operația de translație (definită prin relația 10.2), transformarea rețelei în ea însăși se poate obține și prin alte operații, cum ar fi rotațiile cu diferite unghiuri, inversiunea, reflexia în anumite plane.

Fiecare rețea posedă un centru de simetrie, care poate să fie orice nod al celulei primitive, sau mijlocul unei muchii sau centrul unei fețe. De asemenea, o rețea poate avea un plan de simetrie (prin reflexie într-un astfel de plan rețeaua se transformă în ea însăși), sau o axă de simetrie (prin rotirea rețelei în jurul acestei axe se poate obține tot o transformare a rețelei în ea însăși).

Vom numi operație de simetrie orice deplasare care, efectuată asupra rețelei cristaline, face să se suprapună elementele identice ale acesteia.

Elementele de simetrie care presupun efectuarea unei singure operații de simetrie se numesc simple, iar cele care rezultă prin combinarea a două operații simple se numesc compuse sau complexe (de exemplu: rotație + reflexie, translație + rotație și.a.).

Aceste operații de simetrie simple sunt puse în evidență în exemplele din Fig. 10.5.

Centrul de simetrie (sau de inversiune) notat simbolic C sau T, se definește prin operația de inversiune care constă în schimbarea semnului tuturor coordonatelor unui punct în raport cu un sistem de axe de coordinate, așa după cum se vede în schema (a) din Fig. 10.5, pentru o rețea plană.

Planul de simetrie (oglindire, reflexie) notat simbolic π , m, reprezintă un plan care împarte un cristal în două părți egale, iar cele două jumătăți corespund între ele ca un corp față de imaginea sa în oglindă. Elementele geometrice simetrice prin oglindire nu se pot obține, în general, prin suprapunerea prin rotație (Fig. 10.5.b).

Axă de simetrie (de rotație), notată C_n , sau A^n , reprezintă o direcție în jurul căreia, rotind rețeaua cu $360^\circ/n$, aceasta revine de n ori într-o poziție identică cu cea inițială; n se numește ordinul axei. Axele de simetrie simple sunt exemplificate schematic în Fig. 10.5.c.

Un poliedru cristalin poate avea mai multe axe și plane de simetrie și un centru de simetrie.

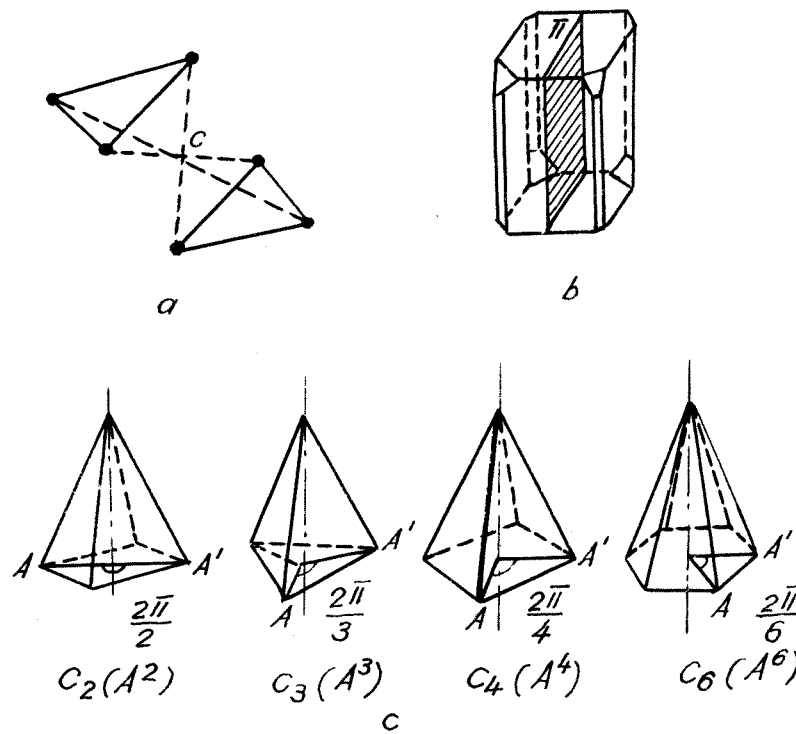


Fig. 10.5

Pentru a determina ordinul posibil al axelor de rotație sau de inversiune într-o rețea, să considerăm atomii ce ocupă un plan cristalin oarecare. Ei fac parte dintr-o rețea cristalină plană ale cărei noduri formează un sistem de poligoane regulate care pot trece prin rotație unul în altul și prin urmare pot acoperi toată suprafața, fără a lăsa intervale libere între ele. Fie un nod 0 al unei astfel de rețele bidimensionale, nod în care se întâlnesc p muchii ale poligoanelor regulate (având n laturi fiecare) ce constituie celule elementare, aşa după cum se vede în Fig. 10.6.a.

Unghiul $2\pi/p$ între două muchii ce se întâlnesc în 0 trebuie să fie egal cu unghiul $\pi(n-2)/n$ al poligonului regulat, deci

$$(10.4) \quad \frac{2\pi}{p} = \frac{\pi(n-2)}{n}$$

Rezolvarea acestei ecuații pentru toate valorile numerelor întregi n și p, ne dă ca posibile soluțiile n = 3, n = 4, n = 6. Într-adevăr, să observăm că orice suprafață poate fi acoperită complet, fără a se lăsa spații libere

numai prin triunghiuri echilaterale, prin patrate sau prin hexagoane regulate (Fig. 10.6.b-d). Nu există alte poligoane regulate cu care să se poată acoperi complet o suprafață, fără a lăsa spații neocupate.

Este de asemenea posibilă și valoarea n=2, corespunzător reflexiei în plan și valoarea trivială n = 1, corespunzătoare unui unghi de rotație 2π .

Rezultă astfel că în rețeaua cristalină pot exista numai axe de rotație de ordinul 1, 2, 3, 4 și 6, cărora le corespund, respectiv, rotații de 2π , $\frac{2\pi}{2}$, $\frac{2\pi}{3}$, $\frac{2\pi}{4}$ și $\frac{2\pi}{6}$ radiani și multipli întregi ai acestor unghiuri, numărul simetriilor posibile fiind finit. Se poate că simetria unei rețele în ansamblul ei să fie diferită de simetria celulei elementare, aşa după cum se poate observa și în exemplul din Fig. 10.3, celula elementară putând fi aleasă arbitrar, în diverse moduri. De aceea, când se vorbește de simetria rețelei se înțelege simetria rețelei însăși și nu simetria celulei ei elementare. Se poate însă găsi totdeauna o celulă primitivă care să aibă aceleași elemente de simetrie ca și rețeaua în ansamblu (cu excepția rețelei hexagonale, pentru care celula primitivă nu conține toate elementele de simetrie pe care le are rețeaua în ansamblu).

Întrucât o rețea cristalină complexă constă din mai multe rețele Bravais (ca de exemplu cea din fig. 10.4), clasificarea cristalelor se face ținând cont în primul rând de simetria rețelei Bravais. Cristalografia utilizează această clasificare deoarece majoritatea rețelelor reale pot fi înscrise în aceste tipuri fundamentale de rețele Bravais (fac excepție de exemplu unele substanțe organice).

După proprietățile lor de simetrie cristalele se împart în 7 sisteme cristalografice (singonii sau clase). Pe baza acestor singonii se pot construi 14 tipuri de celule elementare primitive, rezultând 14 tipuri de rețele spațiale de translație sau rețele Bravais.

Ansamblul nodurilor echivalente ale rețelei care nu pot fi făcute să coincidă decât prin translație formează o rețea Bravais.

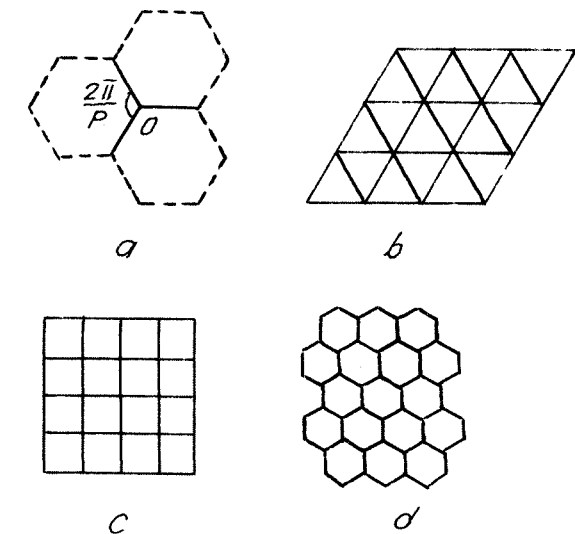


Fig. 10.6

Cea mai mică dintre celulele primitive care include în ea toate elementele de simetrie ale rețelei se numește *celulă convențională* sau *paralelipiped Bravais* (celulă Bravais).

Cele 7 sisteme cristalografice (și paralelipipedul Bravais corespunzător) sunt: *triclinic* (paralelipiped oarecare), *monoclinic* (paralelipiped înclinat cu baza dreptunghi), *rombic* sau *ortogonal* (paralelipiped dreptunghic cu laturi neegale), *romboedric* sau *trigonal* (paralelipiped cu laturi egale și cu unghiuri egale dar diferite de 90° , adică cu toate fețele romburi), *pătratic* sau *tetragonal* (paralelipiped dreptunghic cu baza pătrată), *hexagonal* (paralelipiped drept cu baza romb cu unghiuri de 120°) și *cubic* (cub), ceea ce s-a reprezentat sintetic în tabelul 10.1 și în fig. 10.7.

TABELUL 10.1.
Sisteme cristalografice și caracteristicile lor

Nr. crt.	Sistemul cristalografic (singonia)	Celula convențională	Tipul rețelei	Simbolul rețelei	Numărul de rețele în sistem
I	Triclinic	$a \neq b \neq c$ $\alpha \neq \beta \neq \gamma$	simplă	P	1
II	Monoclinic	$a \neq b \neq c$ $\alpha = \beta = 90^\circ$ $\gamma \neq 90^\circ$	simplă cu baza centrată	P C	2
III	Ortrombic sau ortogonal	$a \neq b \neq c$ $\alpha = \beta = \gamma = 90^\circ$	simplă cu baza centrată cu volum centrat cu fețe centrate	P C I F	4
IV	Romboedric sau trigonal	$a = b = c$ $\alpha = \beta = \gamma \neq 90^\circ$ $\alpha = \beta = \gamma < 120^\circ$	simplă	R	1
V	Pătratic sau tetragonal	$a = b \neq c$ $\alpha = \beta = \gamma \neq 90^\circ$	simplă cu volum centrat	P I	2
VI	Cubic	$a = b = c$ $\alpha = \beta = \gamma = 90^\circ$	simplă cu volum centrat cu fețe centrate	P(c-s) I(c-v-c) F(c-f-c)	
VII	Hexagonal	$a = b \neq c$ $\alpha = 120^\circ$ $\beta = \gamma = 90^\circ$	simplă	P	1

Sunt indicate de asemenea în tabel tipurile de rețele Bravais ce aparțin celor șapte sisteme cristalografice și restricțiile ce se impun pentru parametrii de rețea, folosind notațiile din fig. 10.2.

În figura 10.7 sunt reprezentate cele 14 paralelipipede Bravais elementare. În fiecare sistem, cu excepția celui hexagonal, se arată mai întâi paralelipipedul Bravais convențional și apoi sunt reprezentate rețelele ce se obțin prin centrarea acestuia în volum, pe baze sau pe fețele laterale. Această operație nu schimbă simetria rețelei, dar celulele primitive ale noii rețele nu mai coincid cu paralelipipedul Bravais și au simetria diferită de simetria rețelei.

Sistemul triclinic este reprezentat printr-un singur tip de rețea, *rețeaua triclinică simplă*, notată simbolic cu P. Celula elementară este un paralelipiped oblic cu baza un paralelogram (fig. 10.7.1), cu lungimile laturilor a, b, c diferite între ele și cu unghiurile $\alpha \neq \beta \neq \gamma \neq 90^\circ$. Această rețea,

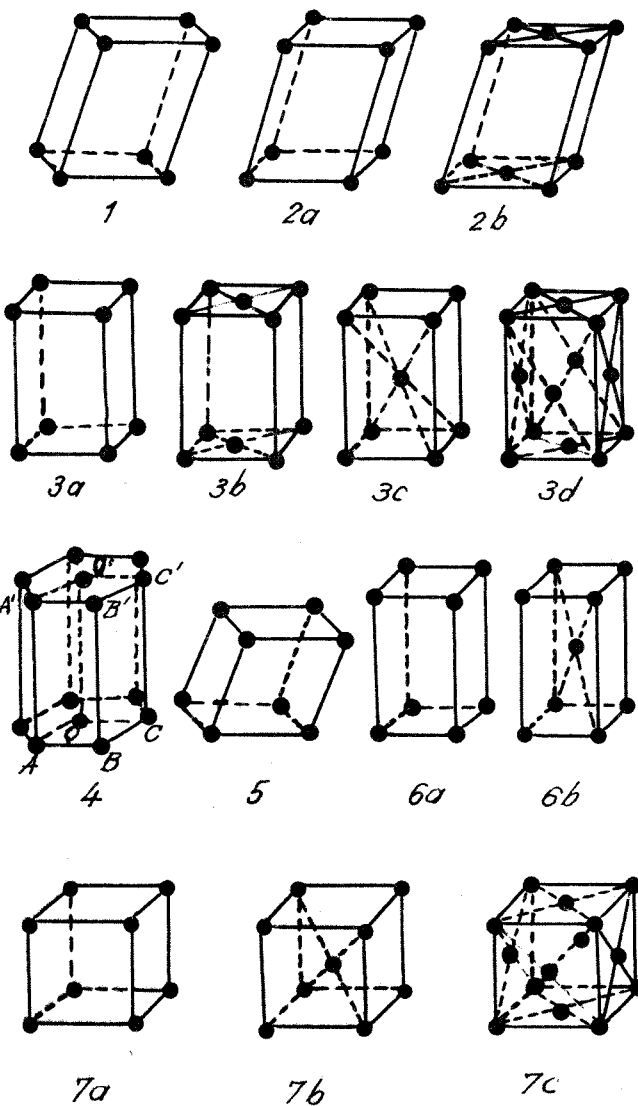


Fig. 10.7

care are cel mai mic grad de simetrie, se întâlnește foarte rar în natură și prezintă interes mai mult ca o rețea de maximă generalitate.

În *sistemul monoclinic* există două tipuri de rețele Bravais: rețeaua *monoclinică simplă* (2a) notată simbolic P și rețeaua *monoclinică cu baze centrate* (2b) cu simbolul C, pentru care paralelipipedul Bravais (celula convențională) nu coincide cu celula primitivă. Planele de bază ale paralelipipedului au câte un atom în centru (2b). Se poate arăta că rețeaua monoclinică cu baze centrate este echivalentă cu o rețea monoclinică cu volum central.

Sistemul ortorombic (ortogonal sau rombic) are ca celulă convențională un paralelipiped drept, cu baza dreptunghi și conține patru tipuri de rețele Bravais: *simplă* (P), având particule numai în vârfurile celulei, *cu bazele centrate* (C), având particule în vârfurile celulei și în centrele bazelor (pe două fețe opuse), *centrată în volum* (I), cu particule în colțurile și în centrul celulei și *centrată pe fețe* (F), cu particule în vârfuri și pe centrele tuturor fețelor, rețele reprezentate în figura 10.7 (3a - 3d). Laturile paralelipipedului sunt diferite între ele, dar unghiiurile sunt toate de 90° .

Sistemul romboedric (trigononal) are celula primitivă un romboedru, figură geometrică ce se poate obține prin alungirea sau prin comprimarea unui cub de-a lungul unei diagonale spațiale. Sistemul conține o singură rețea Bravais - *trigononală simplă* (R) - figura 10.7 - (4).

Sistemul tetragonal (pătratic) conține două tipuri de rețea: *simplă* (P) pentru care celula elementară coincide cu paralelipipedul Bravais (5a) și este o prismă dreaptă cu baze un pătrat și cu *volum central* (I), pentru care celula convențională Bravais (5b) este tot o prismă dreaptă dar centrată în volum. Toate unghiiurile sunt de 90° , iar înălțimea este diferită de latura pătratului de bază.

Sistemul cubic conține trei tipuri de rețele Bravais: cubică simplă (P sau c.s.), cubică cu *volum central* (I sau c.v.c.) și cubică centrată pe fețe (F sau c.f.c.), reprezentate în Figura 10-7 (6a - 6c).

Pentru rețeaua cubică simplă celula convențională este și celula primitivă, deoarece conține doar un atom (fiecare din cele 8 particule din vârfurile cubului este comună la alte opt celule). Rețelele de tipul I conțin două particule: una corespunzătoare vârfurilor celulei și o particulă în centru. Înținând cont că o față este comună la două celule vecine, rețelele de tipul C și F vor conține $8 \times \frac{1}{8} + 2 \times \frac{1}{2} = 2$ particule și respectiv $8 \times \frac{1}{8} + 6 \times \frac{1}{2} = 4$ particule.

Sistemul hexagonal conține o singură rețea, notată cu P, a cărei celula convențională este o prismă hexagonală dreaptă. Celula primitivă este o prismă dreaptă (notată OABCO'A'B'C' în Fig. 10.7.4), având drept bază un romb cu unghiiurile de 60° și 120° . Celula primitivă astfel aleasă are simetria rețelei Bravais, trei celule constituind prisma hexagonală.

Se poate construi, totuși, o celulă elementară a cristalului hexagonal care să aibă simetria rețelei Bravais, numită *celulă simetrică* sau *celulă elementară Wigner-Seitz*. Ea reprezintă un volum poliedric limitat de planele mediatoare ale segmentelor ce unesc un nod al rețelei cu vecinii săi cei mai apropiati.

În Fig. 10.8.a se reprezintă celula primitivă (1) și celula Wigner-Seitz (2) ale unei rețele hexagonale plane. Se poate demonstra că suprafețele acestor celule bidimensionale sunt egale.

Celule Wigner-Seitz se pot construi pentru toate rețelele Bravais, volumul acestora fiind egal cu volumul celulei primitive. Astfel, pentru rețeaua cubică simplă având constanta de rețea a , celula Wigner-Seitz este tot un cub, cu aceeași muchie a și conține un singur nod în centru (Fig.10.8.b).

În general, simetria totală a unei rețele cristaline, adică simetria de poziție a atomilor ce compun rețeaua respectivă, implică combinarea simetriei de translație cu celelalte elemente de simetrie legate de rotații și de reflexii. Ansamblul tuturor elementelor de simetrie pe care le posedă o anumită rețea cristalină se numește *grupul spațial* al acelei rețele.

Pentru a indica grupul spațial al unei rețele cristaline se indică rețeaua Bravais și elementele de simetrie legate de rotații și reflexii, adică poziția planelor și axelor de simetrie.

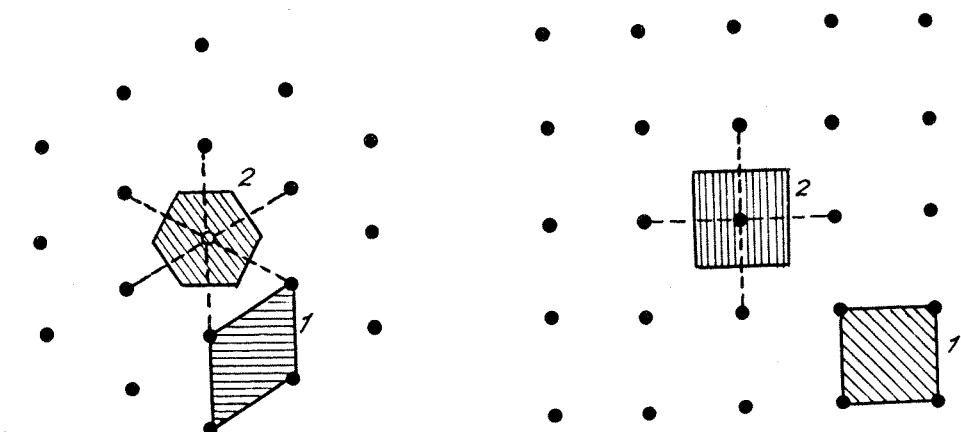


Fig. 10.8

Deducerea matematică a combinațiilor posibile ale elementelor de simetrie compatibile cu o anumită rețea a fost făcută de E.S. Fedorov (1890), Schoenflies, Brålow. S-a demonstrat că există 230 grupuri spațiale repartizate în 32 clase cristaline sau grupuri punctuale ce fac parte din cele 7 singonii (sau sisteme de simetrie) menționate în tabelul 10.1.

10.4. Direcții și plane cristaline în rețele Bravais

Deoarece proprietățile fizice ale unui cristal depind de direcția în care sunt măsurate (anizotropie cristalină), este necesar să indicăm aceste direcții sau planele perpendiculare pe ele.

Notățiile convenționale ce se utilizează pentru a descrie nodurile, direcții și planele într-o rețea cristalină sunt denumite *indici Miller*.

Se alege în mod convenabil un sistem de coordonate cu originea într-un nod al rețelei și având axele paralele cu axe de simetrie a cristalului sau perpendiculare pe planele de simetrie.

Indicii nodurilor. Poziția unui nod de rețea față de sistemul de coordonate ales se definește prin cele trei coordinate ale sale x , y , z . Aceste coordinate pot fi exprimate sub forma:

$$(10.4) \quad x = ma, y = nb, z = pc,$$

unde a , b , c sunt parametrii de rețea și m , n , p sunt numere întregi. Dacă se folosesc ca unități de măsură a lungimii în lungul axelor constantele de rețea (parametrii de rețea), coordonatele unui nod se scriu sub forma $[[mnp]]$. Aceste numere se numesc indicii Miller ai nodului. Pentru un indice negativ, semnul minus se scrie deasupra indicelui. De exemplu, pentru un nod ce are coordonatele $x = a$, $y = -2b$, $z = -4c$ indicii se scriu sub forma $[[1\bar{2}\bar{4}]]$.

Indicii direcțiilor. În general, o direcție în spațiu poate fi descrisă prin proiecțiile pe cele trei axe ale unui vector oarecare paralel cu ea. O direcție cristalină este determinată de o dreaptă ce conține cel puțin două noduri ale rețelei. De obicei se ducă o dreaptă ce trece prin origine; poziția

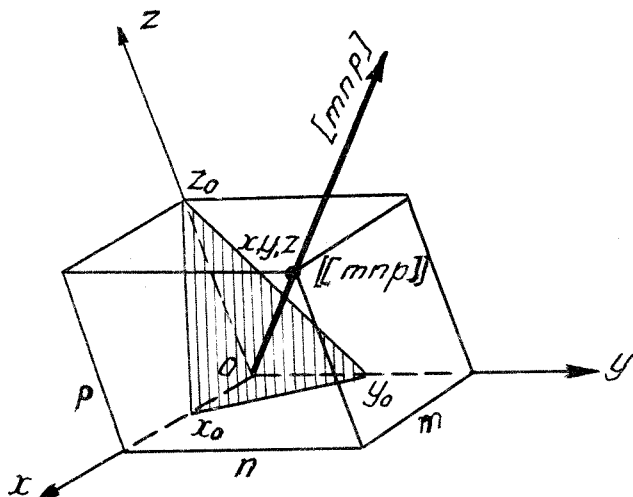


Fig. 10.9

acesteia este definită unic prin indicii nodului cel mai apropiat de origine situat pe direcția respectivă. Deci, indicii acestui nod sunt în același timp și indicii direcției.

Notăția obișnuită pentru o direcție este $[m n p]$. Indicii direcției sunt, prin definiție, cei mai mici întregi care descriu poziția nodului cel mai apropiat de origine care se găsește pe direcția dată. De exemplu, indicii direcției care trece prin origine și prin nodul $[[253]]$ sunt $[253]$, iar un nod având indicii $[[\bar{4}, 2, 4]]$ se găsește pe direcția $[[\bar{2}, 1, 2]]$ față de axe de coordonate (direcția se obține prin simplificare prin divizorul comun 2).

Direcțiile echivalente în rețea se notează $\langle m n p \rangle$. De exemplu, diagonalele fețelor unui cub formează mulțimea de 24 direcții echivalente, notate $\langle 110 \rangle$, diagonalele cubului formează mulțimea direcțiilor echivalente notate $\langle 111 \rangle$. În figura 10.10 se reprezintă unele dintre principalele direcții cristalografice într-un cristal cubic și indicii Miller corespunzători.

Indexarea planelor

Poziția unui plan se definește prin valorile coordonatelor punctelor de intersecție cu cele trei axe cristalografice. De exemplu, fie că planul cristalin să intersecteze axele în punctele de coordonate x_0 , y_0 , z_0 , măsurate în unități egale cu constantele de rețea pe direcțiile respective (Fig. 10.9). Cele mai mici numere întregi h , k , l care se găsesc între ele în același raport ca și mărimele $\frac{1}{x_0}$, $\frac{1}{y_0}$, $\frac{1}{z_0}$ poartă numele de indici Miller ai planului considerat; este deci îndeplinită condiția

$$(10.5) \quad h : k : l = \frac{1}{x_0} : \frac{1}{y_0} : \frac{1}{z_0}.$$

Dacă planul nu intersectează una din axe, fiind paralel cu ea, indiciile Miller respectiv va fi zero (de exemplu, pentru un plan paralel cu axa Ox, punctul de intersecție x_0 este la infinit). Planul caracterizat de indicii Miller h , k , l se notează (h, k, l) .

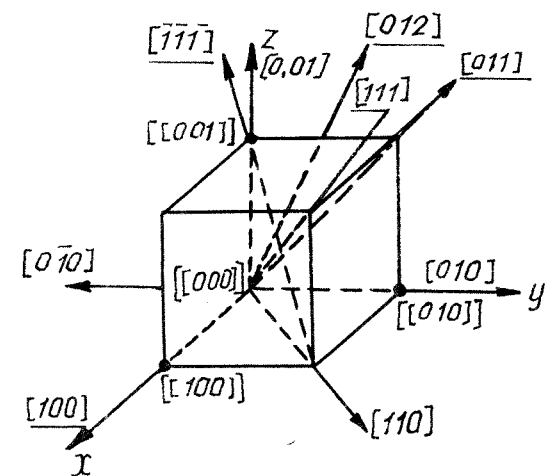


Fig. 10.10

Să determinăm, de exemplu, indicii Miller ai planului pentru care $x_0 = 2$, $y_0 = 1$, $z_0 = 4$. Se iau inversele acestor mărimi: $1/2$, $1/1$, $1/4$, se aduc la același numitor: $2/4$, $4/4$, $1/4$. Rezultă condiția

$$h : k : l = \frac{2}{4} : \frac{4}{4} : \frac{1}{4} = 2 : 4 : 1,$$

adică $h = 2$, $k = 4$, $l = 1$ și planul se notează $(2, 4, 1)$.

Dacă intersecțiile unui alt plan cu axele sunt $x_0 = -\frac{1}{3}$, $y_0 = 1$, $z_0 = \infty$, rezultă $1/x_0 = -3$, $1/y_0 = 1$, $1/z_0 = 0$; numerele -3 , 1 , 0 sunt întregi și nu admit divizor comun, deci: $h : k : l = -3 : 1 : 0$ și planul se notează $(\bar{3}, 1, 0)$.

În Figura 10.11 se exemplifică notarea diverselor plane cristaline într-o rețea Bravais cubică.

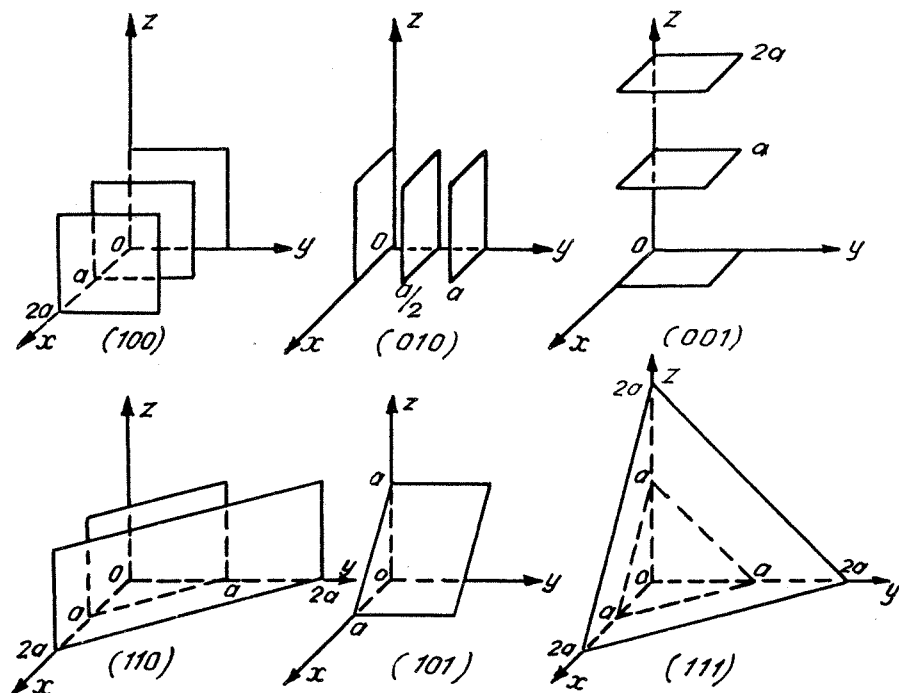


Fig. 10.11

Se observă că planele cristaline paralele între ele au aceiași indici Miller. Indicii Miller ($h k l$) descriu o întreagă familie de plane cristaline paralele între ele, familie care va cuprinde toate nodurile rețelei. Se poate

demonstra ușor că într-un cristal cubic distanțele dintre planele alăturate ce fac parte dintr-o familie dată pot fi exprimate sub forma

$$(10.6) \quad d = \frac{a}{\sqrt{h^2 + k^2 + l^2}},$$

unde a este parametrul rețelei. Atunci când indicii Miller ai planului sunt mari, distanța între plane se micșorează (conform relației 10.6). În exprimarea distanțelor se pot utiliza și alte relații cunoscute din geometria analitică.

Pentru a nota planele într-un cristal hexagonal se folosesc de obicei un sistem de referință cu patru axe de coordonate, așa după cum se exemplifică în Figura 10.12. Trei axe (a_1 , a_2 , a_3), formând între ele unghiuri de 120° fac parte din baza prismei hexagonale (Fig. 10.12), iar cea de a patra axă (c) este perpendiculară pe planul bazei. Fiecare plan cristalografic se notează prin patru indici Miller (h , k , i , l), numiți indici Miller hexagonalni exprimați în unități de constantă de rețea (a pentru axele a_1 , a_2 , a_3 și c pentru axa c), aplicându-se aceleași reguli prezentate mai înainte pentru rețeaua cubică.

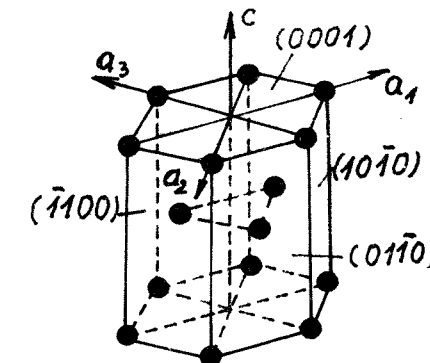


Fig. 10.12

10.5 Legătura cristalină. Tipuri de legături

Materia poate exista în stare solidă numai datorită faptului că între particulele sale componente, atunci când acestea sunt suficient de apropiate între ele, se stabilesc forțe de interacțiune. Pentru ca solidul să aibă o structură stabilă, forțele de interacțiune între particule trebuie să fie de două tipuri: de atracție, pentru a preveni îndepărțarea particulelor una de alta și de repulsie, pentru a nu permite particulelor să fuzioneze.

Legătura cristalină (coeziunea solidelor) se realizează, în general, prin atracția electrostatică dintre sarcinile negative ale electronilor și cele pozitive ale nucleelor atomice, concomitent cu respingerea electrostatică dintre electroni sau dintre nucleu și cu interacțiunea dintre spinii, de natură cuantică. Forțele magnetice au doar un efect slab asupra legăturii cristaline,

iar cele gravitaționale sunt neglijabile (de cca 10^{30} ori mai mici decât forțele electrostatice).

Natura particulelor constituente (atomi, ioni, molecule) situate în nodurile rețelei cristaline condiționează interacțiunile ce se stabilesc între ele, adică natura legăturii cristaline.

Într-un solid acționează simultan mai multe tipuri de interacțiuni, totuși există câteva cazuri limită în funcție de care se definesc principalele tipuri de legătură cristalină, din care se formează următoarele categorii principale de rețele cristaline:

1. *rețele moleculare*, în care sunt prezente legătura van der Waals, legătura de hidrogen și legătura dipol-dipol;
2. *rețele ionice*, în care predomină legătura ionică;
3. *rețele atomice*, în care se manifestă legătura covalentă (homeopolară);
4. *rețele metalice* cu legătură metalică între particulele din nodurile rețelei cristaline.

În multe cazuri coeziunea unui solid este asigurată de acțiunea simultană a mai multor tipuri de forțe de legătură între particule. Există astfel: structuri homodesmice, care conțin un singur fel de legătură cristalină și structuri heterodesmice în care sunt prezente mai multe tipuri de legături.

Noțiunile de bază privind legăturile chimice ce acționează între particulele constituente ale diferitelor substanțe au fost studiate în liceu. Vom reveni în § 10.9 cu unele date privind energia de coeziune a solidelor în cazul principalelor tipuri de legături cristaline.

10.6 Împachetarea particulelor în cristal

Structura unui cristal este determinată de numărul și dimensiunile particulelor din celula elementară, de natura acestora și de natura legăturilor chimice, a interacțiunilor ce se stabilesc între ele.

Făcând abstracție de existența interacțiunilor între particule ce vor fi tratate în paragraful 10.9, ne putem imagina o particulă situată într-un nod de rețea printr-un model geometric simplu: acela al unei sfere rigide cu volum determinat. Admițând ipoteza că structurile cristaline simple sunt redată în primă aproximație prin modelul sferelor rigide, în care în nodurile rețelei cristaline se găsesc particule sferice tangente între ele, astfel încât distanța dintre centrele de masă ale particulelor nodale este egală cu suma razelor sferelor tangente, se obține o destul de bună concordanță între acest model și determinările experimentale privind razele atomice și ionice (în special pentru rețele moleculare și ionice).

Printre primele determinări experimentale și evaluări ale razelor atomice și ionice sunt cele făcute de Landé - 1920, Vasastjerna - 1923, Goldschmidt - 1926, Pauling - 1927 și alții.

Aceste determinări ilustrează o serie de regularități importante privind dependența dintre dimensiunea sferelor nodale rigide și sarcina ionică și poziția elementului respectiv în tabelul periodic. Astfel:

- în cadrul unei grupe din tabelul periodic, razele ionice și atomice cresc odată cu creșterea numărului de ordine;
- dacă un element prezintă mai multe stări de oxidare, razele cresc odată cu creșterea sarcinii negative;
- razele ionilor pozitivi scad în cadrul unei perioade odată cu creșterea numărului de ordine;
- razele ionilor pozitivi sunt în general mai mici decât razele ionilor negativi.

Reprezentarea particulelor din nodurile unei rețele cristaline prin sfere rigide cu o dimensiune constantă și caracteristică elementului respectiv, deși nu reflectă complexitatea structurii solidelor, redă corect un fapt important și anume acela că cristalele se formează ținând cont de factori geometrici, după principiul celei mai compacte împachetări a unor sfere rigide. Măsura gradului de compactitate se apreciază prin coeficientul de compactitate, egal cu raportul dintre volumul particulelor din rețea și volumul total al rețelei.

Dacă ne imaginăm particulele din nodurile cristalului ca pe niște "bile de biliard", ne putem da seama ușor că stabilitatea geometrică a unei construcții din astfel de bile se poate obține numai cu condiția așezării lor compacte, orice gol prea mare între sfere ducând la "dărâmarea" edificiului.

Dispunerea compactă presupune ca toate sferele dintr-un plan oarecare să fie în contact între ele, adică sfera situată în centrul unui poliedru să fie în contact direct cu toate sferele din vîrfurile acestui poliedru, care sunt la rîndul lor tangente între ele.

De exemplu, pentru aranjarea într-un plan a unor sfere identice există două posibilități, ilustrate în figura 10.13. În primul aranjament (a), o sferă oarecare A are patru puncte de contact cu patru vecini. Între sferele din diferite șiruri se formează goluri de formă pătratică. Dacă se unesc între ele centrele sferelor vecine se obține celula elementară pentru aranjamentul a, ce conține cîte o pătrime din fiecare sferă, din cele patru sfere vecine tangente între ele; deci revine o particulă pe celulă. Translația celulei elementare în cele două direcții O_x, O_y ale planului permite obținerea întregii structuri a planului cristalin.

Dacă deplasăm spre dreapta șirul al doilea de sfere, cu o distanță egală cu raza unei sfere, se obține aranjamentul reprezentat în Figura 10.13.b, în care o sferă B vine în contact cu 6 vecini și golurile dintre sfere

sunt triunghiulare. Celula elementară este un romb format din două triunghiuri alăturate. Fiecare vîrf al rombului este comun la patru romburi, deci un romb conține o sferă întreagă, constituind o celulă primitivă.

Aranjamentul *b* este mai compact decât *a* deoarece suprafața a două goluri triunghiulare este mai mică decât a golului pătratic dintre sferele din aranjamentul plan *a* (interstițiile triunghiulare sunt de două ori mai numeroase decât cele pătratice).

Dacă se suprapun peste aceste structuri plane, pe verticală, în diferite moduri, aranjamente de tip *a* sau *b*, se obțin structuri spațiale. Pentru a obține o rețea cristalină este necesar ca după un număr oarecare de straturi poziția sferelor în strat să se repete. De exemplu, dacă stratul al 8-lea este identic cu primul, al 9-lea cu al doilea și.a.m.d., aceasta înseamnă că în finalitate celula este formată din șapte straturi.

În cazul când deasupra primului strat de sfere, aranjate ca în Figura 10.13.a, se suprapune pe verticală un al doilea strat cu aceeași distribuție, astfel încât proiecțiile sferelor pe plan orizontal să se suprapună, această succesiune repetându-se și la straturile următoare, se obține o *structură cubică simplă*. Golurile dintre sfere sunt octaedrice.

Dacă se pleacă de la aranjamentul *b* în plan orizontal și se suprapune pe verticală un strat cu un aranjament de același tip, astfel încât fiecare sferă dintr-un strat să se sprijine pe câte o singură sferă din stratul inferior, se obține *structura hexagonală simplă* (cu baze centrate). Volumul intersticial este tot de formă octaedrică.

Într-o anumită structură cristalină, între o particulă și toate celelalte ce o înconjoară se stabilesc anumite relații de poziție care se pot reprezenta prin totalitatea vectorilor de poziție (sau de legătură) care pleacă de la particula dată spre alte particule, adică prin "imagină de vecinătate" a particulei considerate.

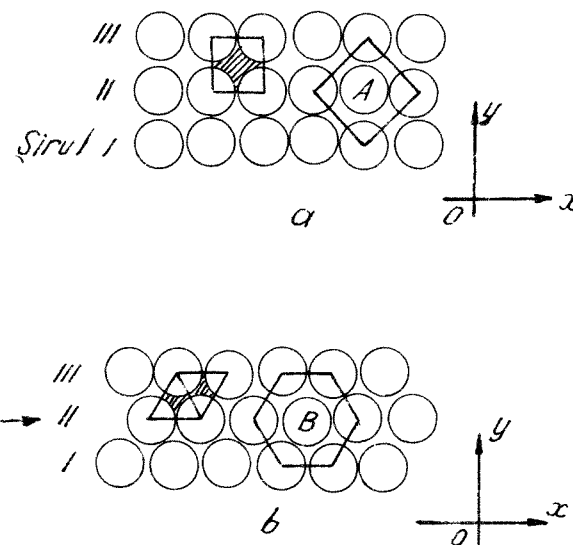


Fig. 10.13

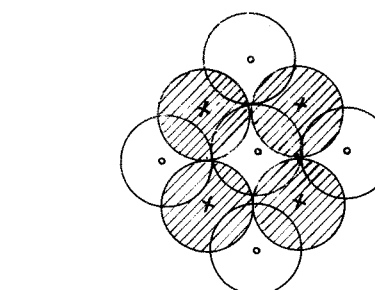
Toate particulele vecine unei particule date, spre care duc vectori de legătură de aceeași lungime se află pe o sferă numită sferă de coordonată. Vecinii cei mai apropiati de particula dată se află pe prima sferă de coordonată, a cărei rază este egală cu distanța între acești vecini și particulă. La distanțe ceva mai mari se află particule situate în a doua, a treia și.a.m.d. sferă de coordonată. De exemplu, primele trei distanțe dintre particule într-o rețea cubică simplă sunt egale, respectiv, cu muchia cubului, cu diagonală feței și cu diagonală cubului, acestea constituind razele primelor trei sfere de coordonată.

Dacă sfera de coordonată *n* cuprinde *m* particule (adică pe sferă cu rază egală cu al *n*-lea vector de legătură se află *m* particule), spunem că particula dată are cifra de coordonată *m* în sferă *n*.

Revenind la exemplu din Figura 10.13.a, pe baza căruia s-a obținut structura cubică simplă, fiecare sferă rigidă nodală ajunge în contact cu șase vecini, dintre care patru în planul orizontal și doi pe verticală, deci pe prima sferă de coordonată cifra de coordonată este 6.

Pentru structura hexagonală simplă generată pe baza aranjamentului *b*, cifra de coordonată în prima sferă este 8 deoarece fiecare sferă are 6 vecini în plan orizontal și doi pe verticală.

În cazul în care peste stratul de bază de tip *a* se aşează un al doilea strat de același tip, dar astfel încât sferele din acest strat să ocupe loc deasupra golurilor pătratice și să se sprijine fiecare pe câte patru sfere din stratul inferior și se suprapun în continuare straturi pe distanțe de câte o rază de sferă, se obține un aranjament *cubic compact* (sau *cub cu fețe centrate*), așa ca în Figura 10.14. Stratul al treilea îl repetă pe verticală pe primul, al patrulea pe al doilea și.a.m.d. În acest aranjament o sferă are patru vecini în planul stratului său, alți patru vecini în stratul superior și patru vecini în cel inferior, așa încât cifra de coordonată pe prima sferă este 12.



Stratul I, III, ...



Stratul II, IV, ...

Dacă plecăm de la un aranjament de tip *b* în primul strat, centrele particulelor fiind marcate cu 1 în Figura 10.15 și suprapunem peste acesta un strat de același tip, deplasat astfel încât centrele sferelor din stratul al

doilea să se suprapună în golurile interstițiale ale căror centre sunt marcate prin cifra 2, iar stratul al treilea îl repetă pe primul, obținem o structură hexagonală compactă (h.c.).

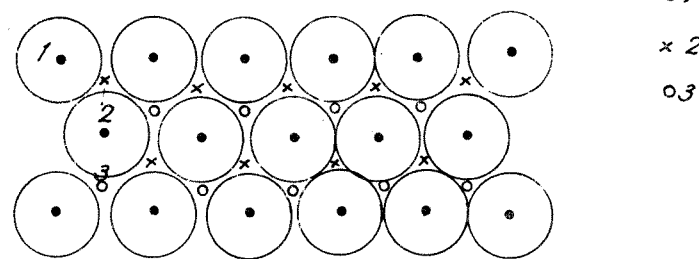


Fig. 10.15

Sferele din două straturi alternative au centrele pe aceeași verticală în structura hexagonală compactă, după cum se vede în reprezentarea spațială din Figura 10.16.a. Celula elementară nu este o celulă Bravais, fiind de forma unei prime hexagonale cu bazele centrate ce conține în interior trei noduri așezate pe axe ternare la cota $c/2$.

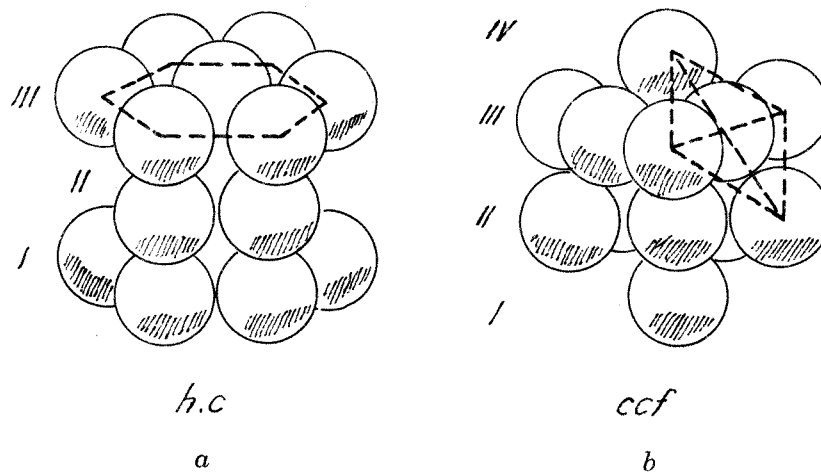


Fig. 10.16

Dacă peste primul strat compact de sfere cu centrele marcate prin 1 se așează al doilea strat cu centrele marcate prin cifra 2 în Figura 10.15 și în continuare stratul al treilea se așează astfel încât centrele sferelor din stratul al treilea să fie în punctele 3, se obține o structură cubică cu fețe centrate (c.c.f.), dar în care planul cristalin reprezentat în desen este planul diagonal (111) al cristalului, planul cu cea mai compactă împachetare a

sferelor. Reprezentarea spațială a acestei structuri c.c.f este ilustrată în Figura 10.16.b, în care s-a reprezentat schematic și una dintre fețele centrate ale cubului; primul și al patrulea strat sunt reprezentate printr-o singură particulă. După cum am văzut, aceeași structură se poate obține și prin suprapunerea de straturi mai puțin compacte, ce conțin goluri pătratice (Fig. 10.14), obținându-se în acest caz planul (111), diagonal, cu cea mai compactă îngărmădire a particulelor.

În structura h.c. cifra de coordonată este 12, fiecare sferă având 6 vecini în planul orizontal și câte 3 în planul inferior și în cel superior. Magneziul, zincul, cadmiul, cobaltul, heliul solid cristalizează formând structura h.c. Multe metale trec ușor, la o temperatură adecvată, de la structura c.c.f la h.c., deoarece numărul de coordonată este același și energia implicată în tranziție este mică. Există și alte posibilități de suprapunere a straturilor, cu periodicitatea mai mare decât trei.

În tabelul 10.2 se dau câteva exemple privind structura unor metale, indicându-se coeficientul de compactitate și numărul de coordonată.

TABELUL 10.2
Compactitatea rețelelor cristaline

Structura	Coefficient de compactitate	Număr de coordonată	Exemple
Hexagonal compact	74,04%	12	Zn, Be, Mg, Cd, Ti, β Co, Rb, Os
Cubic cu fețe centrate (cubic compact)	74,04%	12	Ca, Sr, Al, Th, Fe, α Co, Ni, Cu, Ag, Au, Pt, Pb
Cubic centrat (cu volum central)	68,1%	8	Li, Na, K, Cs, Cr, Mo, W, U
Cubic simplu	52,3%	6	Po
Cubic de tip diamant	34%	4	C, Si, Ge, Sn

În cazul în care particulele nodale ale cristalului sunt de natură diferită, sferele au diametre diferite și modelul structurii prin împachetarea compactă a sferelor este mai complicat.

De exemplu, pentru a introduce o sferă în golul dintre sferele nodale ale celulei cubice simple fără a modifica dimensiunile inițiale ale cubului, deci pentru a obține un cub centrat intern, este necesar ca sfera centrată să aibă diametrul mai mic decât sferele nodale. Dacă considerăm latura l a celulei cubice egală cu diametrul sferelor din colțurile cubului, diagonala cubului este $\sqrt{3} l$ și în golul interior va încăpea o sferă cu diametrul de cel

mult 0,73 l. În rețea, sferă cu diametrul 0,73 l va fi într-un cub ce conține în centru o sferă cu diametrul 1. Dacă se consideră drept unitate diametrul sferei mici ($d = 0,73$ l), se va obține pentru muchia celulei cubice formate din sferele mari valoarea limită 1,37 d. Datele experimentale confirmă într-adevăr că pentru celula cubică simplă (cifra de coordinație 8) se menține stabilitatea structurii numai când raportul diametrelor particulelor sferice este cuprins între 0,73 și 1,37.

În cristale există tendință ca particulele să se orienteze una față de celală astfel încât volumul unei celule elementare să fie minim, adică împachetarea să fie cât mai compactă. De exemplu, în cristalele de clorură de sodiu se formează o structură compactă din trei straturi formate din ioni de Cl (sfere albe în Figura 10.17) și ioni de Na (sfere negre), care ocupă compact spațiul. Fiecare atom de Na e înconjurat de 6 atomi de Cl (cifra de coordinație 6 în structura c.v.c.).

Modelul împachetării compacte a sferelor rigide are semnificație fizică în simetria sferică a norului de electroni din jurul particulelor. Aproximarea unei particule nodale printr-o sferă rigidă este cu atât mai apropiată de realitate cu cât este mai ridicată simetria distribuției de sarcină din jurul ei și aceasta se realizează cu atât mai mult cu cât este mai mare cifra de coordinație. În ipoteza sferelor rigide razele particulelor vor depinde de cifra de coordinație.

Reprezentarea particulelor unui cristal sub formă sferică are semnificație fizică reală în cazul cristalelor ionice și al celor moleculare. O astfel de reprezentare este mai puțin semnificativă în cazul cristalelor covalente (în care atomii sunt foarte apropiati unul de altul, având regiuni în care se mișcă în comun electronii din legăturile homeopolare), precum și în cazul cristalelor metalice (în care electronii de valență formează aşa-numitul "gaz" electronic, comun întregii rețele).

10.7. Solide reale. Defecțiile cristaline

În solidele cristaline reale nu se observă ordinea perfectă și periodicitatea riguroasă a disperșiilor atomilor, caracteristică solidului ideal. Modelul solidului ideal, cu geometrie rigidă, bine determinată, reprezintă un model limită al structurilor cristaline reale.

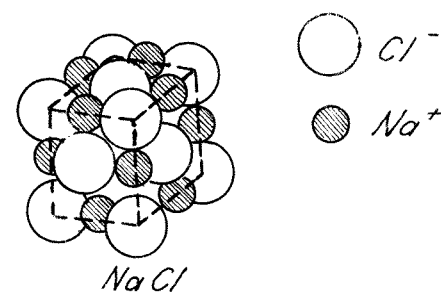


Fig. 10.17

Chiar dacă un monocrystal ar avea o structură regulată perfectă, agitația termică conduce la distrugerea periodicității riguroase a rețelei, datorită oscilațiilor particulelor în jurul poziției de echilibru din nodurile rețelei cristaline. Agitația termică fiind dezordonată, la un moment dat atomii nu se găsesc la aceeași distanță față de poziția de echilibru și cum amplitudinea oscilațiilor termice poate atinge câteva procente din distanța interatomică, rezultă o abatere destul de mare față de rețeaua periodică ideală. Această abatere de la periodicitatea perfectă variază cu temperatura.

De aceea, proprietățile fizice și chimice ale solidelor depind într-o măsură mai mare sau mai mică de temperatură. Numai la 0 K un cristal poate să devină perfect ordonat, particulele sale încetând să oscileze în jurul pozițiilor de echilibru din nodurile rețelei. Starea de echilibru perfect devine posibilă la temperatura 0 K, dar numai în cazul în care cristalul nu mai are și alte defecți cristaline.

Prin defecțiile de structură sau defecți cristaline vom înțelege toate abaterile de la structura ideală, dedusă din ipoteze strict geometrice.

Aceste defecți, care nu se reduc odată cu scăderea agitației termice sunt practic inevitabile, ele influențează proprietățile cristalelor.

Defecțiile de structură (după Kleber) pot fi:

- defecți macroscopice, cu dimensiunile liniare peste 10^{-3} cm, inclusiv defecți grosolană ale materialelor, fisuri, incluziuni,
- defecți microscopice (între 10^{-5} și 10^{-3} cm), ce se pot pune în evidență prin microscopie optică obișnuită și
- defecți submicroscopice, cu dimensiuni liniare sub 10^{-5} cm, ce se pot pune în evidență prin ultramicroscopie sau pe cale roentgenografică.

După geometria lor, defecțiile cristaline se împart în:

- defecți punctiforme sau defecți de structură de dimensiune zero (vacanțe reticulare, atomi în interstiții, atomi în locuri greșite, impurități), reprezentând domenii din monocrystal cu defecți de dimensiuni atomice,
- defecți liniari (dislocații sau defecți unidimensionale),
- defecți superficiale (bidimensionale), reprezentând domenii de pe suprafața monocristalelor sau a granulelor cristaline unde structura este defectă, domenii având grosimea de dimensiune atomică,
- defecți de volum (fisuri, incluziuni ale altor faze).

În rețelele cristaline unele particule pot părași pozițiile din nodurile rețelei, caracterizate prin valori minime ale energiei potențiale, dând naștere la două tipuri de defecți punctiforme: defecți de tip Schottky și defecți de tip Frenkel.

Defecțiile de tip Schottky sunt constituite din noduri neocupate ale rețelei, numite vacanțe sau goluri. Uneori acestea se marchează grafic prin pătrate așa ca în rețeaua plană din Fig. 10.18.a. Absența atomilor din unele noduri ale rețelei conduce la deplasarea atomilor vecini din poziția lor normală, producând o perturbare pronunțată a structurii regulate a rețelei în vecinătatea unui loc vacant.

Defecțe de tip Schottky pot lua naștere de exemplu prin deplasarea unor particule (atomi, ioni, molecule) din pozițiile nodale spre suprafața cristalelor, printr-un fenomen de evaporare internă, cu absorbție de energie termică.

Defecțele de tip Frenkel sunt constituite din particule deplasate din pozițiile lor normale în poziții interstițiale (Fig. 10.18.b).

În acest fel se pot forma defecțe punctiforme pereche "gol-interstițial", care perturbă regularitatea structurii rețelei. Astfel de defecțe se întâlnesc frecvent în cristalele ionice.

Un alt tip de defecțe punctiforme prezente în structura cristalelor reale îl constituie impuritățile. Metodele moderne de obținere a monocristalelor nu permit obținerea acestora în stare absolut pură; chiar cele mai pure materiale conțin până la 10^{-9} procente de impurități, ceea ce corespunde unei concentrații de aproximativ 10^{17} atomi de impuritate pentru 1 m^3 de material.

Atomii de impuritate pot ocupa poziții interstițiale, între atomii cristalului, formând *impurități interstițiale* (Fig. 10.19.a) sau pot să substituie unii atomi din nodurile rețelei cristaline, formând *impurități de substituție* (Fig. 10.19.b).

Datorită naturii fizice diferențiate și a diferenței de dimensiuni a atomilor de impuritate față de atomii cristalului respectiv, prezența impurităților conduce la deformarea rețelei cristaline. Caracteristic pentru defecțele punctiforme este faptul că ele distrug doar ordinea locală a cristalelor, neafectând ordinea la distanță.

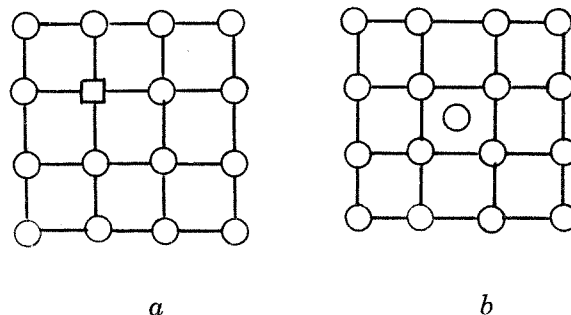


Fig. 10.18

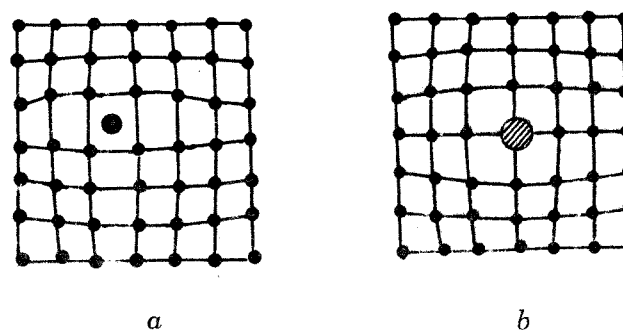


Fig. 10.19

Defecțele de structură conduc uneori la transformări puternice ale proprietăților chimice, optice, electrice, magnetice și mecanice ale cristalelor. Astfel un monocrystal de siliciu perfect pur ar trebui să aibă o rezistență calculată de ordinul a $2000\text{ ohm}\cdot\text{m}$, în timp ce, dacă el conține impurități active într-o concentrație de numai 10^{-9} procente, rezistența devine de câteva unități.

Un alt exemplu îl constituie germaniul care se comportă ca un metal atunci când este tehnic pur, având rezistența de același ordin de mărime ca și metalele; numai prin utilizarea unor metode foarte perfecționate de preparare, care permit obținerea unor probe de Ge cu concentrații de impurități de 10^{-7} - 10^{-8} procente, acesta se comportă ca un semiconductor tipic.

Unele fenomene fizice cum ar fi conductivitatea ionică și fenomenul de difuzie în solide se pot explica numai dacă se ține cont de existența defectelor de structură. În cazul semiconducțoarelor, proprietățile materialului sunt determinate în mare măsură tocmai prin prezența impurităților și vacanțelor. Puritatea materialelor prezintă o importanță deosebită în microelectronică și în alte ramuri industriale în care se utilizează materiale cristaline în stare ultrapură sau cu puritate controlată. Aceste materiale sunt nu numai foarte greu de produs, dar și foarte greu de menținut în această stare.

Printre defectele geometrice de structură cristalină se numără și defectele liniare sau dislocațiile.

Dislocațiile reprezintă perturbații ale distribuției regulate a planelor cristaline. Dislocațiile pot fi de două feluri: liniare (sau marginale) și elicoidale.

O *dislocație liniară* poate fi reprezentată ca fiind produsă prin introducerea unui plan atomic suplimentar într-o poziune a cristalului (în cea superioară în figura 10.20.a). Acest plan atomic suplimentar - AA', perpendicular pe secțiunea din cristal figurată în desen produce distorsiuni în rețea, atomii din partea de sus a cristalului fiind comprimați, iar cei din partea de jos fiind extinși. Regiunea de perturbare puternică a regularității cristalului nu depășește, în general, câteva distanțe interatomice. Lucrurile se petrec ca și cum

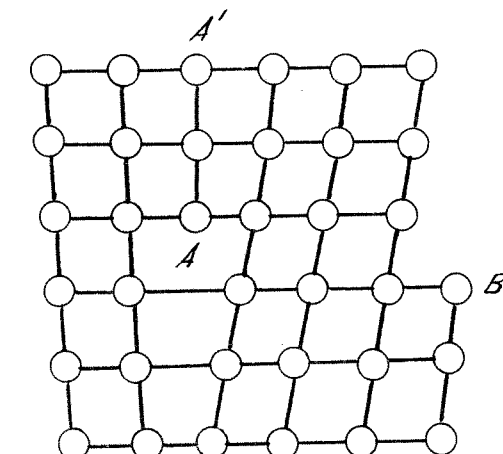


Fig. 10.20 (a)

partea superioară a cristalului, figurată începând de la marginea acestuia în figura 10.20.b, este deplasată spre stânga prin alunecare de-a lungul planului ABCD, partea de jos a cristalului rămânând nedeplasată. Frontiera dintre cele două regiuni se numește dislocație, linia AD fiind linia de dislocație marginală ce se întinde indefinit în planul de alunecare ABCD.

Dislocația elicoidală se formează ca rezultat al deplasării a două semiplane atomice, unul față de celălalt, cu o perioadă de rețea, începând de la o linie oarecare (AD în figura 10.20). Ne imaginăm producerea acestui tip de dislocație prin secționarea parțială a cristalului din figură prin tăiere în planul ABCD și deplasarea în sus, prin forfecare, a porțiunii din stânga. O dislocație elicoidală poate fi considerată ca fiind o aranjare elicoidală a planelor reticulare, astfel încât planele cristaline se schimbă atunci când înconjurăm complet linia de dislocație AD.

La o dislocație elicoidală linia de dislocație și direcția de luncare sunt paralele, în timp ce la o dislocație liniară acestea sunt perpendiculare între ele.

Dislocațiile influențează foarte mult proprietățile mecanice ale solidelor, în special plasticitatea.

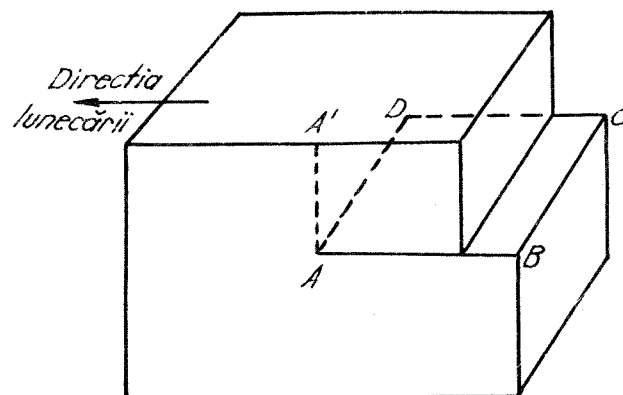


Fig. 10.20 (b)

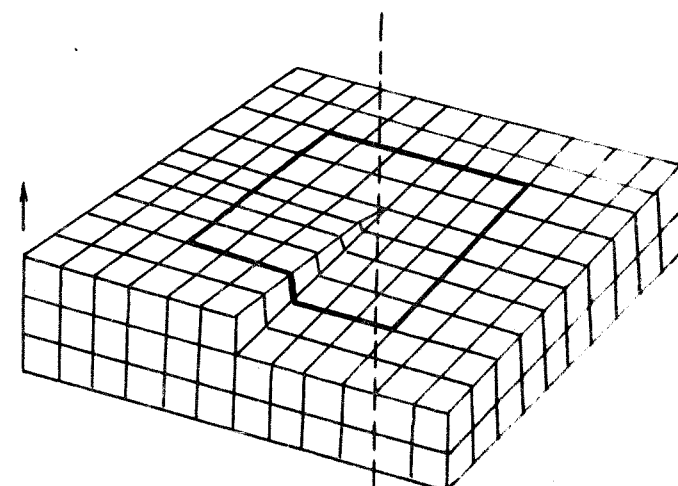


Fig. 10.21

Prezența dislocațiilor conduce la micșorarea rezistenței mecanice a solidelor. De asemenea, formarea dislocațiilor exercită o foarte mare influență în procesul de creștere a cristalelor.

Numărul dislocațiilor este foarte mare chiar în cristalele de bună calitate, putând crește în urma unor solicitări mecanice. Densitatea dislocațiilor, reprezentând numărul liniilor de dislocație care intersectează unitatea de arie dintr-un cristal variază în limite largi: de la $10^2 - 10^3$ dislocații/ cm^2 în monocristale semiconductoare, la 10^6 dislocații/ cm^2 în monocristale metalice, până la 10^{12} dislocații/ cm^2 în cristalele metalice puternic deformate.

Densitatea dislocațiilor se pune în evidență experimental prin microscopie electronică, prin reflexia razelor X, dar și prin microscopie optică, după o corodare chimică adecvată a probelor.

Dislocațiile sunt în general distribuite la întâmplare în cristal. Uneori se pot reuni între ele, formând un perete de dislocații. Acesta este un defect bidimensional, constituind interfață de separare între două domenii cristaline diferite (sau macle, cristalite) în care rețeaua cristalină diferă ca orientare.

Cristalele reale au o structură "de mozaic", fiind formate din blocuri cu rețele cristaline regulate care sunt numai aproximativ paralele între ele. Dimensiunile blocurilor variază de la 10^{-6} m la 10^{-8} m și unghiurile între ele de la câteva secunde până la zeci de minute. Din cauza orientării diferite a blocurilor adiacente există un strat de tranziție între ele, în care rețeaua își schimbă gradat orientarea. Într-un astfel de strat rețeaua este deformată în comparație cu cea a unui cristal ideal.

Suprafețele care separă două părți ale cristalului cu orientări diferite constituie defecți de suprafață (bidimensionale). Suprafața însăși a cristalului constituie un astfel de defect.

Deformările rețelei cristaline sunt și mai mari în apropierea frontierelor între cristalite (granule sau grăunți cristalini) într-un policristal, întrucât orientarea acestora poate să difere cu zeci de grade.

Frontierele între grăunții cristalini și între blocurile structurii de mozaic poartă un exces de energie liberă ceea ce crește viteza de desfășurare a unor fenomene ca reacțiile chimice, difuzia, transformările polimorfice.

În solide există și defecți tridimensionale, în formă de pori, fisuri, incluziuni ale altor faze cristaline.

Deși numărul defectelor de structură în solide este foarte mare, totuși numărul particulelor așezate corect în rețea între două defecți de structură este cu mult mai mare, ordinea de rază lungă păstrându-se în solidele cristaline, aşa după cum indică observațiile experimentale ale structurii cristaline.

10.8 Studiul experimental al structurii cristaline

Structura cristalină a substanțelor se poate cerceta experimental prin:

- analiză structurală cu raze X (prin difracția razelor X de către cristale),
- difracția neutronilor (neutronografie),
- difracția electronilor (electronografie).

Prezentarea detaliată a acestor metodeiese din cadrul preocupărilor noastre. Vom indica sumar numai unele elemente privind prima metodă.

Analiza structurală cu raze X

Un cristal se comportă ca o rețea de difracție tridimensională. Pentru a se produce difracția este necesar ca lungimea de undă a radiației respective să fie comparabilă cu constanța rețelei de difracție, adică de același ordin de mărime cu distanța interatomică.

Să reprezentăm un cristal prin succesiunea de plane reticulare P_1, P_2, P_3, \dots , separate între ele prin distanța d , așa ca în figura 10.22.

Presupunem că un fascicul incident paralel de raze X cade pe cristal sub un unghi 0 măsurat față de planul reticular. Razele incidente SA, SA' sunt difractate pe plane reticulare diferite.

Pentru a obține un maxim de difracție este necesar ca diferența de drum să fie egală cu un număr întreg n de lungimi de undă λ , adică

$$(10.7) \quad BA' + A'B = n\lambda$$

și exprimând diferența de drum din condiții geometrice, $BA' = A'B = d \sin\theta$, obținem relația

$$(10.8) \quad 2d \sin\theta = n\lambda \quad n = 1, 2, 3, \dots,$$

care poartă numele de *legea lui Bragg*.

Interferența constructivă a radiației X reflectate de planele reticulare succesive, adică realizarea imaginii ca urmare a difracției pe centrii atomici se obține numai dacă se respectă condiția (10.8).

Numărul n poartă numele de ordinul reflexiei, iar unghiiurile θ pentru care au loc reflexii se numesc unghiiuri Bragg.

Planele pe care se realizează reflexia radiației X nu reprezintă planele superficiale ce mărginesc proba cristalină respectivă, deoarece radiațiile pătrund în interiorul cristalului.

În figura 10.23 este reprezentată o secțiune plană printr-o rețea cubică simplă, în care planele reticulare sunt marcate cu ajutorul indicilor Miller. Se observă că distanța între două plane parallele tinde să scadă pe măsură ce cresc indicii Miller ai planelor, deci reflexiile cu indice mare se produc pentru lungimi de undă mai mici.

Tinând cont că distanțele interatomice în cristale sunt de ordinul 10^{-8} cm, rezultă că pentru a fi îndeplinită condiția Bragg trebuie ca lungimea de undă să îndeplinească condiția $\lambda \leq 2d/n$, adică $\lambda \leq 10^{-8}$ cm. De aceea se pot folosi în analiza structurală razele X, electronii și neutronii de anumite energii.

Razele X pătrund în solide și sunt împărtăsite de electronii păturilor atomilor conținuți în planele cristaline. Din acest motiv se obțin rezultate mai bune când se studiază difracția de raze X la elementele mai grele, cu electroni mai mulți. Prin difracție de raze X se pot determina: tipul structurii cristaline, fazele cristaline, distanțele între planele cristaline, constanțele rețelei, mărimea și orientarea cristalitelor în materiale policristaline, etc.

Pentru studiul experimental al structurii cristaline prin difracție de raze X se pot folosi mai multe metode: metoda Laue (a cristalului fix), metoda cristalului rotitor, metoda cristalului oscilant și metoda pulberilor cristaline.

În *metoda Laue*, proba monocristalină este iradiată cu raze X având un spectru continuu. Monocristalul este fixat pe un suport goniometric care permite orientarea lui sub diferite unghiiuri față de fasciculul incident. Figura de difracție apare sub formă unor pete (maxime de difracție) situate pe elipse cu axa mare comună și se înregistrează pe o placă fotografică. Cristalul selectează și difractă din spectrul continuu al radiației incidente

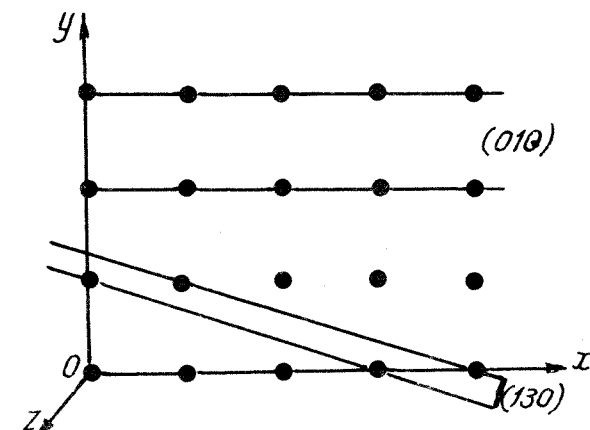


Fig. 10.23

numai valorile lui λ pentru care există plane cu distanță d și cu unghiul de incidență 0 satisfăcând condiția Bragg (10.8). Simetria figurii de difracție păstrează simetria rețelei.

În metoda cristalului rotitor se utilizează o radiație X monocromatică ce cade pe un monocristal ce este rotit în jurul unei axe perpendiculare pe fascicul incident. Camera de difracție este cilindrică, în figura 10.24.a fiind schițată o secțiune în cameră într-un plan paralel cu baza cilindrului.

Fascicul incident de raze X se obține prin reflexie pe un cristal monocromator (de exemplu din fluorură de calciu) ce selectează un spectru îngust de radiații, aproape monocromatic.

Imaginea de difracție este înregistrată pe un film aplicat pe pereții cilindrului. Monocristalul se rotește și pe film se înregistrează pete de difracție corespunzătoare diferitelor unghiuri de rotire (figura 10.24.b).

Variarea unghiului θ prin rotirea cristalului aduce diferitele plane atomice în poziția în care se realizează reflexia Bragg. Dacă se cunoaște lungimea de undă λ a radiației incidente, unghiul de rotație și ordinul n al reflexiei, ce se identifică după intensitatea petei pe difractogramă, din (10.8) se poate determina constanta rețelei cristaline.

Fasciculele difractate ce provin de la planele cristaline parallele cu axa de rotație a monocristalului dă imagine în plan orizontal. Pe film vor apărea și pete de difracție situate deasupra și dedesubtul planului orizontal ce provin din reflexiile pe planele cristaline cu o altă orientare.

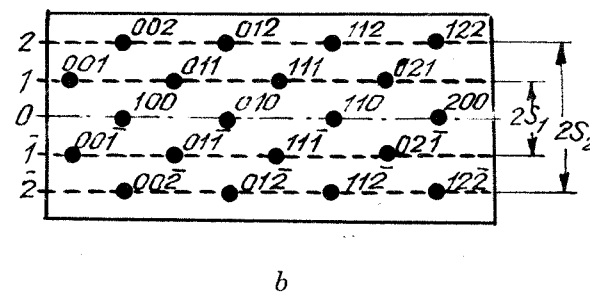
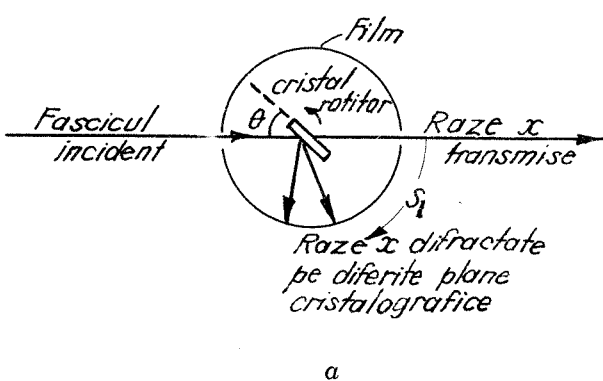


Fig. 10.24

Metoda cristalului oscilant este o variantă a metodei cristalului rotitor în care cristalul oscilează într-un anumit interval unghiular. Intervalul unghiular fiind limitat se micșorează posibilitatea de suprapunere a unor reflexii.

Metoda pulberilor (Debye-Scherrer) este frecvent utilizată deoarece nu necesită monocristale ci se pot folosi eșantioane sub formă de pulbere fină sau policristale, camera de difracție având o construcție asemănătoare celei din metoda cristalului rotitor.

Mersul razelor în metoda pulberilor este prezentat schematic în figura 10.25.a. Radiația X monocromatică cade pe o probă în care cristalitele sunt orientate haotic, așa încât pentru orice unghi de rotație vor exister anumite plane cristalografice ce îndeplinesc condiția Bragg. Același plan, caracterizat de anumiți indici Miller se va găsi într-o mulțime de cristale situate în jurul razei incidente. Razele difractate vor fi deci situate pe generatoarele unor conuri concentrice cu fascicul primar și vor intersecta filmul fixat pe pereții camerei sub forma unor inele simetrice față de pata centrală ce corespunde radiației nedifractate transmise (figura 10.25.b).

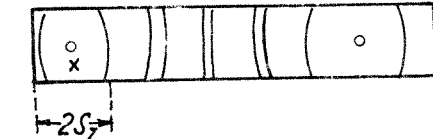
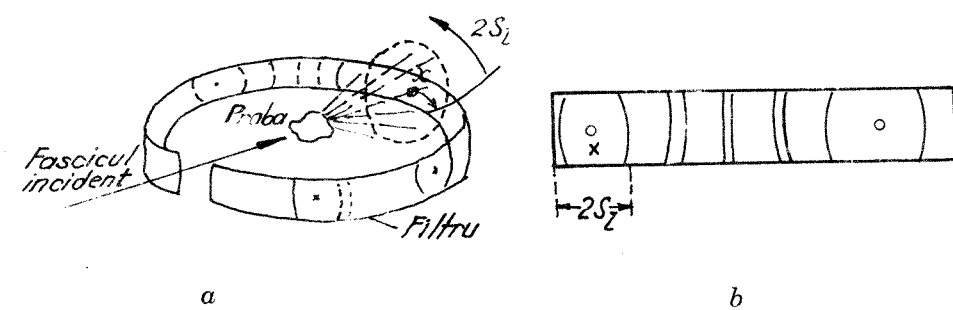


Fig. 10.25

În locul înregistrării fotografice, în difractometrele de raze X se pot folosi contoare Geiger-Müller sau cu scintilație. Proba se rotește odată cu contorul, acționarea fiind automată. Semnalul dat de contor se înregistrează sub formă unor maxime înguste de difracție, la anumite unghiuri, ce se pot indexa cu ajutorul tabelelor sau prin utilizarea unui calculator, determinându-se astfel structura probei respective.

În afară de difracția de raze X, în studiile de structură se utilizează și difracția de electroni și de neutroni. Ca și în cazul difractogramelor de raze X imaginea obținută prin difracția electronilor depinde de gradul de cristalinitate al probei. Pentru monocristale se obțin pete de difracție distribuite în funcție de simetria probei, pentru policristale se obțin imagini sub formă unor inele concentrice continue cu diferențe intensități, iar pentru substanțe amorfice imaginile sunt urme difuze.

Neutronii interacționează cu nucleele solidului astfel că difracția de neutroni dă rezultate bune și în studiul elementelor ușoare sau al celor cu numere atomice apropiate, spre deosebire de difracția de raze X (prin care se obțin date mai bune pentru elementele grele).

În substanțele magnetice neutronii interacționează cu momentele magnetice ale particulelor din cristal, așa încât difracția de neutroni permite studiul ordinii magnetice.

10.9. Energia de coeziune a solidelor

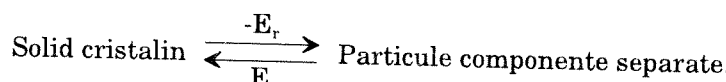
10.9.1. Semnificația fizică a energiei de coeziune (de rețea)

Unele proprietăți ale solidelor, cum ar fi rezistența la comprimare sau la întindere, duritatea, sunt determinate în principal de mărimea forțelor de interacție între particulele din nodurile rețelei cristaline, deci de energia lor de coeziune sau de legătură.

Energia de coeziune sau energia de rețea (E_r) se definește ca energia necesară pentru separarea la infinit a particulelor ce compun un kmol de cristal, la 0K. Ea este egală cu diferența dintre energia totală a unui kmol de solid (E_s) și energia particulelor constitutive ale rețelei (E_0) situate la distanțe foarte mari între ele, în stare gazoasă, astfel încât energia de interacție între particule să poată fi neglijată ($E_0 = 0$):

$$(10.9) \quad E_r = E_s - E_0 = E_s.$$

Totodată, această energie de rețea este egală cu variația de energie internă (la 0K) necesară pentru formarea cristalului din particulele componente, conform schemei simbolice.



Energia de coeziune este negativă ($E_r < 0$), fiind datorată atracției particulelor între ele.

La o anumită temperatură T trebuie să se țină cont și de energia cinetică legată de încălzirea sistemului de particule. Dacă temperatura este suficient de coborâtă se poate neglija energia cinetică a particulelor în raport cu cea potențială. Valoarea temperaturii sub care se poate face această aproximare este diferită de la o substanță la alta.

Rezultă că există două posibilități de calcul a energiei de coeziune: prima se bazează pe calculul potențialului de interacție între particule, iar cea de a doua pe calculul termodynamic ce ține cont de efectele termice

ce au loc la formarea sau la disocierea compusului respectiv (sublimare, vaporizare).

Există de asemenea și posibilitatea de evaluare a energiei de coeziune din date experimentale referitoare la un anumit compus chimic. Experimental, E_r se poate estima fie din căldura de sublimare fie din datele privind modulul de compresibilitate în volum al solidului respectiv.

Vom indica sumar în cele ce urmează cum se poate evalua experimental energia de coeziune și calculul acesteia în cazul unor cristale de diferite tipuri, urmărind concordanța acestor două categorii de date.

10.9.2. Energia de coeziune și căldura de sublimare

Energia de coeziune sau energia de legătură între particulele rețelei cristaline poate fi aproximată cu energia necesară pentru ruperea acestor legături, deci cu căldura latentă de sublimare a solidului sau cu căldura de disociere a compusului respectiv.

În cazul cristalelor cu rețele moleculare sau atomice, particulele componente sunt molecule sau atomi, iar starea de referință constituță din particulele separate la infinit (conform relației 10.9) corespunde vaporilor moleculari sau atomici. Energia de coeziune este în acest caz egală cu căldura de sublimare, considerând valoarea ei maximă, măsurată la temperaturi joase (λ_0)

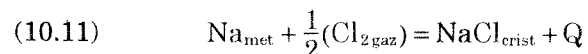
$$(10.10) \quad E_r = \lambda_0.$$

Dacă nu se poate determina experimental direct căldura de sublimare (λ_{subl}), se utilizează căldura latentă de vaporizare (λ_{vap}) și cea de topire (λ_{top}), ținând cont că în condiții izobare acestea se compun aditiv

$$\lambda_{\text{subl}} = \lambda_{\text{top}} + \lambda_{\text{vap}},$$

deoarece efectele termice izobare nu depind de drumul urmat de sistemul termodinamic între starea inițială (solid) și cea finală (gaz).

În cazul cristalelor ionice, pentru calculul energiei de rețea se consideră drept stare finală starea ipotetică a unui gaz rarefiat ionizat, conținând ioni pozitivi și negativi izolați și se pot calcula căldurile de formare a compușilor chimici, corespunzător unor condiții normale de presiune și temperatură. De exemplu, compoziția reacției termochimice de formare a clorurii de sodiu sunt sodiul metalic și clorul molecular:



Q fiind căldura de formare a cristalului NaCl.

Energia de coeziune a cristalelor ionice diferă de căldura de formare a cristalului ($E_r \neq Q$), dar poate fi evaluată din Q .

În cazul moleculelor biatomice homeopolare (covalente), energia de coeziune este egală cu energia de disociere a moleculei raportată la 0 K și se poate determina din date spectroscopice și termochimice. La evaluarea energiilor de rețea ale moleculelor mai complicate se consideră aditive energiile legăturilor și se neglijă interacțiunile între ele.

Din energia de coeziune se poate estima și energia de legătură între două particule, ϵ , ce intervine în expresia potențialelor empirice de interacțiune (v. § 9.1.3.). Utilizând relația (10.10) se poate stabili o legătură directă între căldura latentă molară de sublimare și ϵ :

$$(10.12) \quad \lambda_0 = \epsilon \cdot \mathcal{N}$$

unde \mathcal{N} reprezintă numărul perechilor de particule ce interacționează în solidul respectiv.

Dacă energia potențială de interacțiune scade destul de repede cu distanța între particule, aşa cum indică de exemplu curba din figura 9.2, putem considera că interacțiunile se manifestă numai între primii vecini, al căror număr z este dat de numărul de coordinație pentru structura respectivă (pentru o structură cu împachetare densă $z = 12$ pentru celelalte structuri z este mai mic; $z = 10$ sau 6).

Într-o structură cristalină cu numărul de coordinație z , formată dintr-un ansamblu de N atomi există $\frac{1}{2} z \cdot N$ perechi de atomi vecini (factorul 1/2 apare pentru a evita numărarea de două ori a fiecărei perechi de atomi). Deci

$$(10.13) \quad \lambda_0 = \frac{1}{2} z \cdot N \cdot \epsilon.$$

Cunoscând pe λ_0 din determinări experimentale, putem calcula în primă aproximare valoarea lui ϵ .

10.9.3 Energia de coeziune și modulul de compresibilitate

Prin definiție modulul de compresibilitate în volum, K , este

$$(10.14) \quad K = -V \frac{dP}{dV}$$

în care P este presiunea și V – volumul solidului. Mărimea inversă $1/K = -\frac{1}{V} \frac{dV}{dP}$ se numește coeficient de compresibilitate.

În condiții adiabatice, din principiul întâi al termodinamicii rezultă că

$$(10.15) \quad dU = -PdV \quad și \quad P = -\frac{dU}{dV}.$$

La temperaturi joase, condiție pe care ne-am impus-o pentru calculul energiei de rețea, diferența între K_{adiab} și K_{izoterm} nu este însemnată, aşa încât

nu vom face distincție între aceste două mărimi, operând numai cu modulul de compresibilitate în volum, K . Înținând cont de (10.15) expresia lui K devine:

$$(10.16) \quad K = V \frac{d^2U}{dV^2}.$$

Energia internă U poate fi exprimată în funcție de distanța r între particulele constitutive ale solidului, aşa încât

$$(10.17) \quad \frac{dU}{dV} = \frac{dU}{dr} \cdot \frac{dr}{dV} \quad și$$

$$\frac{d^2U}{dV^2} = \frac{d}{dV} \left(\frac{dU}{dr} \cdot \frac{dr}{dV} \right) = \frac{d^2U}{dr^2} \left(\frac{dr}{dV} \right)^2 + \frac{dU}{dr} \cdot \frac{d^2r}{dV^2}.$$

Dacă N este numărul de particule din cristalul de volum V și dacă diametrul atomului (aproximat printr-un cub cu latura r) este considerat egal cu distanța interatomică r , atunci $V = Nr^3$ și

$$(10.18) \quad \frac{dV}{dr} = 3Nr^2.$$

Înținând cont numai de interacțiunile între vecinii cei mai apropiati și considerând că deformarea solidului este mică, putem aproxima $r = r_0$, unde r_0 este distanța dintre atomi în echilibru static, pentru care energia potențială este minimă, deci $\left(\frac{dU}{dr} \right)_{r=r_0} = 0$. În aceste condiții termenul al doilea din expresia (10.17) este zero și avem:

$$(10.19) \quad \left(\frac{d^2U}{dV^2} \right)_{r=r_0} = \left(\frac{d^2U}{dr^2} \right)_{r=r_0} \cdot \frac{1}{9N^2 r_0^4}$$

$$și \quad K = \left(\frac{d^2U}{dr^2} \right)_{r=r_0} \cdot \frac{1}{9Nr_0}.$$

Pentru a calcula energia de rețea e necesar să calculăm energia internă a corpului, corelând-o cu energia potențială a unei perechi de atomi. Presupunem că temperatura cristalului este suficient de coborâtă și astfel se poate neglija energia cinetică în raport cu energia potențială a particulelor din nodurile rețelei, $V(r)$.

Dacă un atom din cristal are z vecini de prim ordin energia potențială a cristalului (egală cu E_r) este

$$(10.20) \quad U = \frac{1}{2} z N \cdot V(r)$$

și ca urmare modulul de compresibilitate în volum capătă expresia

$$(10.21) \quad K = \frac{1}{2} z N \left(\frac{d^2V(r)}{dr^2} \right)_{r=r_0} \cdot \frac{1}{9Nr_0}$$

Această expresie este valabilă indiferent de forma pe care o are potențialul de interacțiune $V(r)$.

Determinând experimental K și cunoscând distanțele interatomice și forma lui $V(r)$ din datele asupra fazei gazoase, se poate estima mărimea energiei de rețea, care este diferită de la un tip de cristal la altul. Ca urmare trebuie să discutăm separat unele situații tipice.

10.9.4 Calculul energiei de rețea a cristalelor moleculare

Cristalele moleculare pot avea baza formată din molecule monoatomice, proprii gazelor inerte, sau din molecule biatomice - ca H_2 , O_2 , HCl ori din molecule organice. Aceste molecule, distribuite în nodurile unor rețele cristaline cu împachetare densă, au configurații electronice stabile și de aceea coeziunea lor în solid se realizează doar prin interacțiuni slabe de tip Van der Waals. O caracteristică esențială a cristalelor moleculare este împachetarea densă; de exemplu, gazele inerte cristalizează în sistemul cubic centrat pe fețe, hidrogenul molecular în rețea hexagonală compactă.

Cristalele moleculare au temperaturi de topire și de fierbere coborâte, ceea ce arată că energiile de legătură dintre particule au valori mici (2 - 12,5 kJ/mol). În Tabelul 10.3 sunt prezentate unele caracteristici ale unor cristale moleculare, în stare solidă, la temperaturi apropiate de 0 K și la presiuni mici ($P \rightarrow 0$).

TABELUL 10.3

Cristalul	Distanța între vecinii cei mai apropiati (\AA)	Temperatura de topire (K)	Valoarea experimentală a energiei de coeziune (kJ/mol)	Căldura de sublimare
Ar	3,96	84	7,74	8,84

Să calculăm energia de rețea pentru *cristale cubice cu fețe centrate*, care reprezintă forme de cristalizare ale gazelor inerte și ale unor molecule simetrice (ca de exemplu cele de tipul CR_4 , unde $R = H, Cl, CH_3$). Într-o astfel de rețea fiecare particulă (din vârful cubului, de exemplu) este înconjurată de 12 particule imediat vecine (pe centrele fețelor). În figura 10.26 sunt reprezentate primele trei distanțe r_1 , r_2 , r_3 dintre particulele unei rețele c.f.c. Rezultă, din considerante geometrice, că $r_1 = 1 \cdot r_1$, $r_2 = \sqrt{2} \cdot r_1$, $r_3 = \sqrt{3} \cdot r_1 \dots r_n = \sqrt{n} \cdot r_1$.

Particulele se dispun în rețea astfel încât în jurul unei particule date se găsesc z_1 particule la distanța r_1 , z_2 la distanța r_2 , z_3 la distanța r_3 s.a.m.d. Deoarece legăturile dintre ele sunt de tip Van der Waals, pentru calculul

energiei de coeziune se poate utiliza un potențial Lennard-Jones. (9.11). Astfel, energia de interacțiune dintre o particulă de referință și celelalte particule din rețea este

$$(10.22) \quad V_{1\infty} = \sum_i z_i \frac{A}{r_i^m} - \sum_i z_i \frac{B}{r_i^n}, \quad i = 1, 2, 3, \dots$$

Energia totală de interacțiune pentru un kmol se obține prin înmulțire cu numărul de perechi de atomi ($N_A/2$):

$$(10.23) \quad U = \frac{N_A}{2} \left(\sum_i z_i \frac{A}{r_i^m} - \sum_i z_i \frac{B}{r_i^n} \right)$$

și reprezintă energia care se degăză pentru formarea unui kmol de solid din particulele componente separate inițial la infinit. Deci, conform definiției (10.9) energia de rețea este

$$(10.24) \quad E_r = \frac{N_A}{2} \left(\sum_i z_i \frac{B}{r_i^n} - \sum_i z_i \frac{A}{r_i^m} \right).$$

Explicitând sumele din paranteză pentru o rețea c.f.c (cu $z_1 = 12$, $z_2 = 6$, $z_3 = 24$), obținem

$$(10.25) \quad E_r = \frac{N_A}{2} \left\{ B \left[\frac{12}{(r_1 \sqrt{1})^n} + \frac{6}{(r_1 \sqrt{2})^n} + \frac{24}{(r_1 \sqrt{3})^n} + \dots \right] - A \left[\frac{12}{(r_1 \sqrt{1})^m} + \frac{6}{(r_1 \sqrt{2})^m} + \frac{24}{(r_1 \sqrt{3})^m} + \dots \right] \right\}$$

Notăm

$$(10.26) \quad C_n = 12 + \frac{6}{(\sqrt{2})^n} + \frac{24}{(\sqrt{3})^n} + \dots, \quad C_m = 12 + \frac{6}{(\sqrt{2})^m} + \frac{24}{(\sqrt{3})^m} + \dots$$

și rezultă

$$(10.27) \quad E_r = \frac{N_A}{2} \left(\frac{C_n B}{r_1^n} - \frac{C_m A}{r_1^m} \right)$$

Constantele C_n , calculate pentru diferite valori ale lui n, se găsesc în tabele. Astfel: $C_6 = 14,454$ (pentru $n = 6$), $C_8 = 12,802$, $C_{10} = 12,311$, $C_{12} = 12,131$. Serile C_n sunt rapid convergente și pentru $n \rightarrow \infty$, $C_\infty = 12,000$.

În cazul cristalelor moleculare cu rețea c.f.c, ținând cont că interacțiunile între particule sunt de tip Van der Waals, vom utiliza $n = 6$ și $m = 12$, așa încât:

$$(10.28) \quad E_r = \frac{N_A}{2} \left(\frac{14,454}{r_1^6} \cdot B - \frac{12,131}{r_1^{12}} A \right)$$

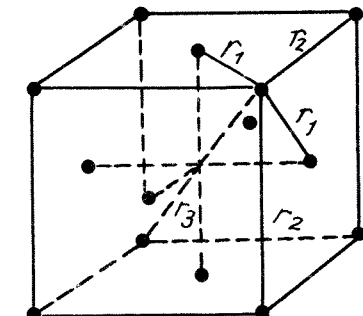


Fig. 10.26

Dacă se calculează în același mod energia de coeziune pentru cristale cu rețea hexagonală compactă, se obține aceeași formă generală (10.27) pentru E_r , cu constantele $C_6 = 14,455$ și $C_{12} = 12,132$. Pentru a determina constantele A și B ținem cont că distanța $r = r_1 = r_0$ corespunde unui extremum al energiei de interacțiune între particule, fiind o distanță la care se realizează stabilitatea maximă a rețelei, adică $(dE_r/dr)_{r=r_0} = 0$; se utilizează în calcule și alte mărimi moleculare.

Evaluarea energiei de coeziune în acest mod nu diferă prea mult de rezultatele obținute în modelul simplificat în care se iau în considerație numai interacțiunile între vecinii cei mai apropiati din cristalul c.f.c ($z=12$), presupunând că atomii se află în stare de echilibru la distanța r_0 . Utilizând forma empirică (9.20) a potențialului Lennard-Jones, obținem energia de rețea la temperaturi joase

$$(10.29) \quad E_r = \frac{N_A}{2} \cdot z \cdot \varepsilon \left[2\left(\frac{r_0}{r}\right)^6 - \left(\frac{r_0}{r}\right)^{12} \right],$$

în care $(-\varepsilon)$ este adâncimea gropii de potențial.

O valoare aproximativă a lui r_0 se poate obține din expresia $r_0^3 = V_\mu / N_A$, în care volumul molar este dat de $V_\mu = \mu/\rho$, masa molară μ și densitatea ρ fiind caracteristici cunoscute. Estimarea valorii lui r_0 se poate face și prin studiul fenomenelor de transport în gaze, din care se determină valoarea secțiunii efective de ciocnire $\sigma = \pi(2r_0)^2$.

Valoarea energiei de legătură între doi atomi $(-\varepsilon)$ se poate evalua prin măsurarea corecției a din ecuația Van der Waals.

În sistemul c.f.c., presupunând că atomii se află în stare de echilibru ($r = r_0$), când energia de interacțiune a unei perechi de atomi este $(-\varepsilon)$, obținem energia de coeziune

$$(10.30) \quad E_r(r_0) = \frac{1}{2} \cdot 12 \cdot N_A (-\varepsilon)$$

în destul de bună concordanță cu rezultatul prezentat anterior (rel. 10.13) pentru căldura latentă molară de sublimare.

Pentru un mol de argon $N = N_A = 6,023 \cdot 10^{23}$ mol⁻¹, iar $\varepsilon = 167 \cdot 10^{-23}$ J, de unde rezultă că $E_r(r_0) \approx 6$ kJ/mol, valoare apropiată de valoarea experimentală de 8 kJ/mol rezultată din căldura latentă de sublimare (tabelul 10.1). Având în vedere aproximările ce s-au făcut pe parcurs, concordanța calitativă este bună, ordinul de mărime fiind același.

Pe baza acelorași date, utilizând un potențial de interacțiune de formă cunoscută, putem calcula și modulul de compresibilitate în volum. Compararea rezultatului calculat în acest mod cu datele experimentale poate constitui o altă verificare a teoriei.

Astfel, interacțiunile într-un cristal molecular sunt exprimate prin potențialul Lennard-Jones (9.20):

$$(10.31) \quad V(r) = \varepsilon \left[\left(\frac{r_0}{r}\right)^{12} - 2\left(\frac{r_0}{r}\right)^6 \right] = \varepsilon r_0^6 \left(\frac{r_0^6}{r^{12}} - 2 \cdot \frac{1}{r^6} \right).$$

Pentru a calcula valoarea lui K trebuie să calculăm derivata de ordinul al doilea a funcției $V(r)$ (vezi 10.21)

$$\begin{aligned} \frac{dV(r)}{dr} &= \varepsilon r_0^6 \left(-12 \frac{r_0^6}{r^{13}} + 12 \cdot \frac{1}{r^7} \right) \\ \frac{d^2V(r)}{dr^2} &= 12 \varepsilon r_0^6 \left(13 \frac{r_0^6}{r^{14}} - 7 \cdot \frac{1}{r^8} \right) \\ \text{și când } r &= r_0 \end{aligned}$$

$$(10.32) \quad \left(\frac{d^2V(r)}{dr^2} \right)_{r=r_0} = 12 \varepsilon \left(13 \frac{r_0^{12}}{r_0^{14}} - 7 \cdot \frac{r_0^6}{r_0^8} \right) = \frac{72}{r_0^2} \varepsilon.$$

Deci modulul de compresibilitate în volum este

$$(10.33) \quad K = \frac{1}{2} z \cdot N \cdot \frac{1}{9Nr_0} \cdot \frac{72}{r_0^2} \cdot \varepsilon = \frac{4ze}{r_0^3}.$$

Să ne referim din nou la cazul argonului, pentru care cunoaștem deja unele date: $z = 12$, $\varepsilon = 167 \cdot 10^{-23}$ J și parametrul celulei cubice $l = 5,31 \cdot 10^{-10}$ m. Volumul ce revine unui atom în rețeaua c.f.c. este $r_0^3 = l^3/4$ (conform § 10.2, fiecare vârf al celulei elementare contribuie cu 1/8 atom și cei 6 atomi din centrele fețelor cubului contribuie cu 1/2 atom, deci celula elementară conține $8 \cdot \frac{1}{8} + 6 \cdot \frac{1}{2} = 4$ atomi) și $r_0^3 = (5,31 \cdot 10^{-10})^3 \text{ m}^3 = 1,49 \cdot 10^{-28} \text{ m}^3$. Din relația (10.26) se calculează modulul de compresibilitate $K = 0,53 \cdot 10^9 \text{ J/m}^3$, în concordanță cu valoarea experimentală $K = 0,6 \cdot 10^9 \text{ N/m}^2 = 0,6 \cdot 10^9 \text{ J/m}^3$.

O tratare mai riguroasă se face aducând și corecțiile datorită efectelor cuantice; se obțin rezultate teoretice în bună concordanță cu datele experimentale pentru Ne, Ar, Kr și Xe în stare solidă.

10.9.5 Energia de rețea a cristalelor ionice

Cristalele ionice sunt formate din ioni pozitivi și negativi alternând în rețeaua spațială și legați între ei prin forțe electrostatice (legături heteropolare). Ca exemple tipice de substanțe ce formează cristalele ionice sunt: halogenurile metalelor alcaline (Na Cl, Cs Cl, Li F, etc.), unii oxizi metalici, sulfurile, carburile și.a.

Energia de coeziune a acestor cristale este de ordinul $10^5 - 10^6 \text{ J/mol}$, iar temperatura lor de topire este ridicată.

Pentru evaluarea energiei de coeziune a cristalelor ionice nu putem utiliza potențialul de interacțiune folosit în cazul cristalelor moleculare,

deoarece în cristalele ionice sunt preponderente forțele de natură electrostatică.

Energia de interacțiune atractivă a doi ioni separați prin distanță r este

$$(10.34) \quad V_a = -\frac{q^2}{4\pi\epsilon_0 r},$$

unde q este sarcina ionilor; dependența $V_a = f(r)$ este reprezentată prin curba 1 din figura 10.27. Forța de atracție tinde să apropie cât mai mult ionii între ei, dar la distanțe mici cresc forțele de repulsie dintre păturile electronice interne ale ionilor. Energia de repulsie, reprezentată prin curba 2 din figura 10.27 depinde de distanța dintre ioni după o lege de forma

$$(10.35) \quad V_r = \frac{A}{r^p},$$

A și p fiind constante, $p = 9 - 12$.

Energia rezultantă de interacțiune a doi ioni,

$$(10.36) \quad V(r) = \frac{A}{r^p} - \frac{q^2}{4\pi\epsilon_0 r}$$

este reprezentată în figură prin curba 3, care are un minim la $r = r_0$; adâncimea acestui minim determină energia de legătură ε .

Din analiza dependenței energiei potențiale de distanță, observăm că termenul repulsiv variază invers proporțional cu r^p ($p = 9 - 12$), deci acționează la distanțe foarte mici, în timp ce termenul coulombian, ce depinde invers proporțional de r , acționează și la distanțe relativ mari. În aceste condiții trebuie să se ia în considerare atât interacțiunile între vecinii de prim ordin cât și cele cu vecinii de ordin superior. Pentru potențialul de interacțiune, în cazul ionilor monovalenți se va utiliza expresia

$$(10.36) \quad V(r) = \frac{A}{r^p} \pm \frac{e^2}{4\pi\epsilon_0 r},$$

în care semnul (+) corespunde interacțiunii a doi ioni de același semn, iar semnul (-) corespunde interacțiunii ionilor de semne contrare.

Să calculăm mai întâi energia de interacțiune coulombiană pentru un sir liniar de ioni, fiecare având sarcina electrică e , ionii vecini fiind de semne contrare (fig.10.28). Energia de interacțiune electrostatică a unui ion cu cei doi vecini ai lui (care au sarcini de semn contrar cu sarcina ionului considerat) este

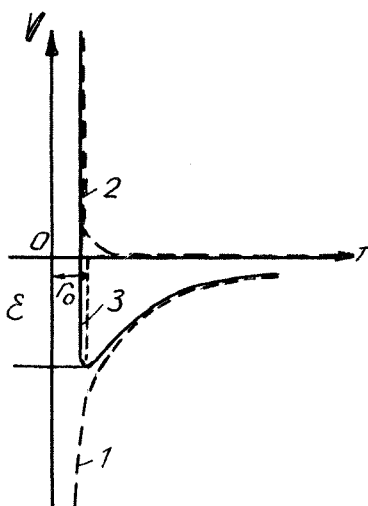


Fig. 10.27

$$V'_{el} = -2 \frac{e^2}{4\pi\epsilon_0 r},$$

r fiind distanța între cei doi ioni vecini de ordinul I.

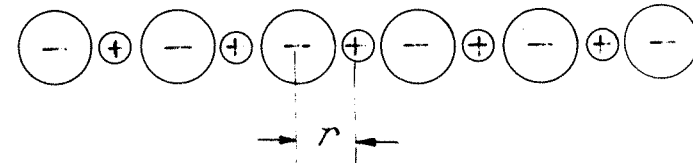


Fig. 10.28

Energia de interacțiune cu cei doi vecini de ordinul II, care au sarcini de același semn cu ionul considerat și se află la distanța $2r$ față de acesta, are expresia

$$V''_{el} = +2 \frac{e^2}{4\pi\epsilon_0 2r}$$

Energia de interacțiune cu vecinii de ordinul III, aflați la distanța $3r$ față de ionul considerat este

$$V'''_{el} = -2 \frac{e^2}{4\pi\epsilon_0 3r}$$

și așa mai departe, până la distanța la care acționează forțele electrostatice. Ca urmare, energia potențială a unui singur ion într-un sir liniar infinit de ioni este dată de expresia

$$(10.37) \quad V_{1el} = \frac{-e^2}{4\pi\epsilon_0 r} \left[2 \left(1 - \frac{1}{2} + \frac{1}{3} - \frac{1}{4} + \dots \right) \right].$$

Seria din paranteză este convergentă, dar suma acesteia poartă numele de *constantă lui Madelung*.

Relația (10.31) se poate pune deci sub forma

$$(10.38) \quad V_{1el} = -\frac{e^2\alpha}{4\pi\epsilon_0 r}$$

în care prin α s-a notat constanta lui Madelung. Pentru sirul liniar infinit de atomi, α se poate calcula cu ajutorul relației $\ln(1+x) = x - \frac{x^2}{2} + \frac{x^3}{3} + \dots$,

încât $\left(1 - \frac{1}{2} + \frac{1}{3} - \frac{1}{4} + \dots \right) = \ln(1+1) = \ln 2 = 0,69$. Constanta lui Madelung pentru un sir liniar de atomi este deci: $\alpha = 2 \ln 2 = 1,38$. Dacă se calculează constanta lui Madelung pentru rețea spațială a clorurii de sodiu se obține $\alpha = 1,75$, valoare ce nu diferă prea mult de 1,38; pentru clorura de cesiu (Cs Cl) $\alpha = 1,76$, iar pentru sulfura de zinc (Zn S, cubică) $\alpha = 1,6$. Putem trage concluzia că valoarea constantei lui Madelung pentru rețele simple cu ioni pozitivi și negativi dispuși succesiv este de ordinul unității. Acest fapt se explică prin aceea că efectul unui ion pozitiv este compensat parțial de

efectul ionului negativ următor și compensarea este aproape completă dacă distanța față de ionul central luat în considerare este destul de mare. În consecință, cu toate că interacțiunile se exercită la distanță, putem considera că termenul coulombian al energiei potențiale a unui ion într-o rețea este dat, în primă aproximație, de energia de interacție cu primii atomi vecini, înmulțită cu constanta lui Madelung (relația 10.38).

Pentru a calcula energia de interacție electrostatică a unui mol de compus ionic, E_{el} , trebuie să avem în vedere că un mol de compus ionic conține N_A perechi de ioni (N_A ioni pozitivi și N_A ioni negativi). Deci

$$(10.39) \quad E_{el} = -\frac{N_A e^2 \alpha}{4\pi\epsilon_0 r}$$

unde r este distanța între ionii vecini de ordinul I.

Energia potențială totală de interacție se obține așa ca în relația (10.37), în care se ține cont și de repulsia dintre păturile electronice interne ale ionilor:

$$(10.40) \quad U(r) = -\frac{N_A e^2}{4\pi\epsilon_0 r} \alpha + \frac{\lambda}{r^p}.$$

La temperaturi joase și în absența unor forțe exterioare ionii se află în poziții de echilibru și $r = r_0$.

De exemplu, pentru Cl Na, distanța interatomică este $r_0 = 2,8 \cdot 10^{-10}$ m (determinată cu ajutorul razelor X) și dacă neglijăm termenul repulsiv din (10.40) rezultă

$$(10.41) \quad U(r_0) = -\frac{N_A e^2}{4\pi\epsilon_0 r_0} \alpha = -\frac{6,023 \cdot 10^{23} \cdot 1,75 \cdot (1,6)^2 \cdot 10^{-38}}{9 \cdot 10^9 \cdot 2,8 \cdot 10^{-10}} = -867 \cdot 10^3 \text{ J/mol.}$$

Valoarea determinată experimental a energiei de coeziune în cazul clorurii de sodiu este 765 kJ/mol, dar având în vedere că în evaluarea teoretică s-a neglijat termenul repulsiv, ce trebuia scăzut din valoarea lui $V(r_0)$, concordanța rezultatului teoretic cu datele experimentale este satisfăcătoare. Calculul riguros al energiei de coeziune elimină această diferență de ~13%, conducând la o concordanță bună cu datele experimentale.

Modulul de compresibilitate în volum pentru cristale ionice se calculează plecând de la expresia lui K dată de relațiile (10.16) și (10.17), urmărind să calculăm $(d^2U/dr^2)_{r=r_0}$. De această dată nu mai putem neglija termenul repulsiv din potențialul de interacție (10.40), deoarece acesta este esențial în determinarea rezistenței la compresiune a cristalului.

Pentru a determina constanta λ din relația (10.40), se ține seama de faptul că distanța r_0 este o distanță de stabilitate maximă a rețelei, așa încât

$$(10.42) \quad \left(\frac{dU}{dr}\right)_{r=r_0} = \frac{N_A \cdot e^2 \cdot \alpha}{4\pi\epsilon_0} \cdot \frac{1}{r_0^2} - \frac{\lambda \cdot p}{r_0^{p+1}} = 0$$

de unde rezultă

$$(10.43) \quad \lambda = \frac{N_A \cdot \alpha \cdot e^2}{4\pi\epsilon_0 p} \cdot r_0^{p-1}.$$

Calculăm și derivata de ordinul doi în raport cu r a potențialului de interacție

$$(10.44) \quad \frac{d^2U}{dr^2} = -\frac{N_A \cdot e^2 \cdot \alpha}{4\pi\epsilon_0} \cdot \frac{2}{r^3} + \frac{p(p+1)\lambda}{r^{p+2}}$$

și utilizând λ dat de (10.37) obținem

$$(10.45) \quad \left(\frac{d^2U}{dr^2}\right)_{r=r_0} = \frac{N_A \cdot e^2 \cdot \alpha}{4\pi\epsilon_0 r_0^3} (p-1).$$

Volumul ocupat de N_A perechi de ioni pozitivi și negativi dintr-un cristal ionic este $V = 2N_A \cdot r_0^3$, iar $(dV/dr)_{r=r_0} = 6N_A \cdot r_0^2$.

Cu aceleași ipoteze simplificatoare ca și cele folosite la deducerea relației (10.19), se poate exprima modulul de compresibilitate în cazul cristalelor ionice:

$$(10.46) \quad K = V \left(\frac{d^2U}{dV^2} \right)_{r=r_0} = 2N_A r_0^3 \left(\frac{d^2U}{dr^2} \right)_{r=r_0} \cdot \left(\frac{dV}{dr} \right)^2 = \frac{1}{18N_A r_0} \left(\frac{d^2U}{dr^2} \right)_{r=r_0},$$

de unde, ținând cont de (10.39) rezultă

$$(10.47) \quad K = \frac{e^2 \cdot \alpha(p-1)}{4\pi\epsilon_0 \cdot 18r_0^4}.$$

Această relație exprimă o legătură între exponentul p ce determină interacțiunea de repulsie din potențialul de interacție (10.40) și modulul de compresibilitate K . Deci, din datele asupra compresibilității se poate calcula exponentul de repulsie din potențialul de interacție. Astfel, cu datele cunoscute pentru clorura de sodiu, folosind $K = 3 \cdot 10^{10}$ N/m² și $r_0 = 2,8 \text{ \AA}$, determinate experimental, se obține

$$(10.48) \quad p = 1 + \frac{4\pi\epsilon_0 \cdot 18r_0^4 \cdot K}{e^2 \cdot \alpha} = 9,4.$$

Acum se poate calcula mai exact energia de coeziune, ținând cont și de contribuția termenului repulsiv λ/r^p cu $p = 9,4$, din relațiile (10.40) și (10.43):

$$(10.49) \quad U(r_0) = -\frac{N_A \cdot e^2 \alpha}{4\pi\epsilon_0 r} + \frac{r^{p-1}}{r^p} \frac{N_A \cdot e^2 \alpha}{4\pi\epsilon_0 p} = -\frac{N_A \cdot e^2 \alpha}{4\pi\epsilon_0 r} \left(1 - \frac{1}{p} \right)$$

Pentru Cl Na:

$$(10.50) \quad E_r(r_0) = -\frac{N_A e^2 \alpha}{4\pi\epsilon_0 r} \left(1 - \frac{1}{9,4} \right) = 771,6 \text{ kJ/mol},$$

ceea ce concordă bine cu valoarea experimentală de 765 kJ/mol.

10.9.6. Energia de rețea a cristalelor covalente

Legătura covalentă (homeopolară sau prin perechi de electroni) este întâlnită în molecule ca H_2 , O_2 , N_2 , în moleculele unor substanțe organice, precum și în cristalele atomice de tipul diamantului (C, Ge, Si, Te, etc.).

Legătura covalentă se formează între atomi de același fel, neutri, care nu pot forma ioni cu sarcini opuse prin schimbarea distribuției electronilor de valență, așa ca în cazul cristalelor ionice. Ea este comparabilă ca intensitate cu legătura ionică, dar mult mai puternică decât legătura Van der Waals; pentru compușii covalenți rolul forțelor Van der Waals este acela al unei mici corecții la legătura principală covalentă.

De obicei, legătura covalentă se realizează printr-o pereche de electroni, câte unul de la fiecare atom ce participă la legătura. Să exemplificăm natura acestei legături folosind ca model molecula de hidrogen. În figura 10.29.a se reprezintă schematic atomii A și B, formati fiecare din nucleele a și b și, respectiv, din electronii 1 și 2. Sunt notate cu: r_{a1} , r_{b2} - distanțele electronilor față de nucleul propriu, r - distanța între nucleee, r_{12} - distanța între electroni, r_{a2} - distanța dintre electronul 2 și nucleul a și r_{b1} - distanța dintre electronul 1 și nucleul b. Dacă cei doi atomi de hidrogen sunt la distanță mare unul de altul, ei pot fi priviți ca atomi izolați, deoarece densitatea norului electronic ce descrie starea electronului într-un atom scade foarte rapid pe măsură ce crește distanța față de nucleu și devin foarte mici probabilitățile de a găsi electronul 1 în apropierea nucleului b și electronul 2 în apropierea nucleului a. Această situație este ilustrată calitativ în figura 10.29.b, în care se reprezintă distribuția densității electronice în atomii de H izolați, în funcție de distanța dintre ei (ψ este funcția de undă asociată electronului iar $|\psi|^2 \cdot dr$ reprezintă probabilitatea de a găsi particula respectivă în intervalul de distanțe r , $r + dr$ sau distribuția densității electronice, așa după cum se arată în mecanica cuantică).

Când atomii se apropie unul de altul, probabilitatea ca un electron să se găsească deasupra celuilalt nucleu și nu deasupra nucleului propriu crește foarte mult. Dacă atomii sunt aduși foarte aproape unul de altul ($r < 2 \text{ \AA}$, de exemplu), frecvența schimbării electronilor între cei doi atomi crește atât de mult, încât se poate considera că electronii se găsesc într-o nouă stare, în care aparțin simultan ambelor nucleee, cu alte cuvinte sunt colectivizați, sunt puși în comun. Colectivizarea electronilor de către cei doi atomi vecini conduce la creșterea pronunțată a densității norului electronic în spațiul dintre cele două nucleee, ca și cum electronii ar fi constrânsi să rămână în spațiul dintre nucleee (situație ilustrată în figura 10.29.c prin curba 3, curbele 1 și 2 reprezentând densitățile electronice pentru atomii de hidrogen considerați ca fiind izolați).

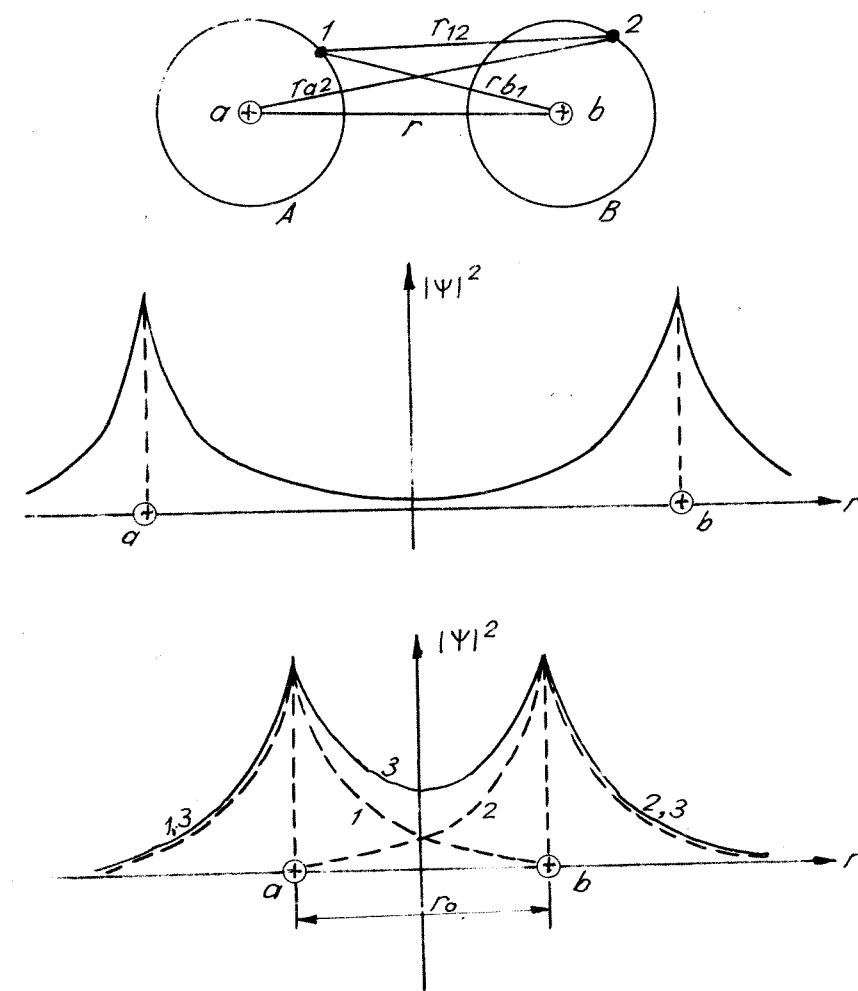


Fig. 10.29

Apariția stării cu un nor de electroni de densitate crescută în spațiul dintre nucleee are ca rezultat o descreștere a energiei sistemului și apariția unor forțe de atracție între atomi, numite forțe ale interacției de schimb. Energia de legătură depinde de orientarea relativă a spinilor, respectându-se principiul de excludiție al lui Pauli, fiind mai puternică atunci când spinii sunt orientați antiparalel.

În acest mod se dă o explicație calitativă a formării legăturii covalente; explicația riguroasă a fost dată de W.H. Heitler și F. London în 1927, energia de legătură, numită energie de schimb, evaluându-se pe baza mecanicii cuantice.

Astfel, energia de legătură pentru H - H este de 4,5 eV, ceea ce corespunde la $435 \cdot 10^3$ J/mol.

Pentru a calcula energia de rețea a unui cristal covalent se ține cont de energia fiecărei legături. De exemplu, în rețeaua diamantului fiecare atom de carbon, C, este înconjurat de alți patru atomi de carbon (figura 10.30.a), distribuiți în vârfurile unui tetraedru regulat ABDE, așa încât

$$E_r \text{ diamant} = \frac{4 E_{c-c}}{2}$$

E_{c-c} fiind energia de legătură corespunzătoare unei perechi de atomi de carbon calculată pentru 1 mol de substanță (factorul 1/2 se introduce pentru a nu lua de două ori în calcul interacțiunea între perechile de atomi).

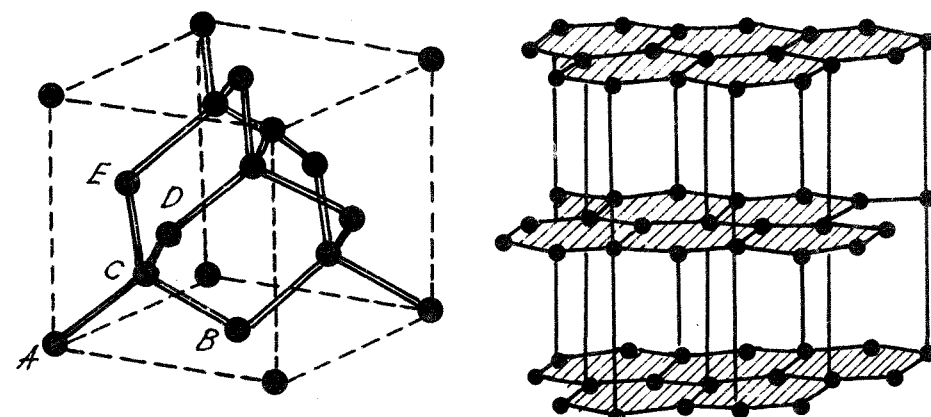


Fig. 10.30

Cunoscând $E_{c-c} = 244,8$ J/mol din determinări experimentale ale căldurii latente de vaporizare a unor hidrocarburi alifatice, ce prezintă același mod de legare a atomilor de carbon, se estimează energia de rețea pentru diamant: $E_r \text{ diamant} = 489,6$ kJ/mol.

Grafitul prezintă o structură stratificată, atomii de carbon formând o rețea hexagonală repartizată în straturi (figura 10.30.b). Fiecare atom de carbon este legat în plan de alți atomi de C prin legături de aceeași tărzie cu cele din ciclurile hidrocarburilor aromatici ($E_{c-c} = 337$ kJ/mol). Între diferite straturi se exercită legături mult mai slabe (distanțele între atomi fiind mai mari), ce se pot neglija în calculul energiei de rețea a grafitului. În aceste ipoteze, rezultă $E_r \text{ grafit} = 3 E_{c-c}/2 = 506 \cdot 10^3$ J/mol, valoare destul de apropiată de aceea a căldurii latente de sublimare a grafitului ($\lambda = 523 \cdot 10^3$ J/mol).

10.9.7 Energia de rețea a cristalelor metalice

Legătura metalică se întâlnește în metale, elemente situate la începutul fiecărei perioade din tabelul elementelor, în aliaje și în compuși intermetalici. Natura acestei legături poate fi înțeleasă dacă se urmărește formarea cristalului metalic plecând din faza de gaz a elementului respectiv, prin micșorarea temperaturii.

La o temperatură ridicată, dar inferioară temperaturii de ionizare termică, vaporii de metal sunt formați din atomi neutri din punct de vedere electric și nu prezintă conductibilitate electrică. În vaporii unui metal nu există electroni liberi. Atomii fiind situati la distanțe mari unii de alții, forțele de interacțiune sunt de tip Van der Waals și fiecare electron de valență aparține atomului propriu.

Când temperatura scade, agitația termică e mai mică și în consecință, în metalele lichide și solide este posibil ca atomii să se apropie unii de alții până la distanțe suficient de mici. Păturile electronice exterioare ale atomilor se deformă și fiind incomplete permit o suprapunere parțială, însăși de colectivizarea electronilor de valență. Odată cu scăderea distanței interatomice cresc forțele repulsive între ionii încărcăti pozitiv și se realizează astfel un echilibru între acestea și forțele cu care interacționează gazul electronilor liberi colectivizați asupra ionilor pozitivi (tinzând să apropie ionii între ei).

Legătura metalică este întrucâtva similară cu legătura covalentă, ambele bazându-se pe colectivizarea electronilor din păturile exterioare. Totuși, în cazul legăturii covalente electronii sunt puși în comun numai pentru perechi de atomi vecini, electronii respectivi rămânând localizați între acești atomi, pe când în metale toți atomii cristalului iau parte la "colectivizarea" electronilor, care nu mai sunt localizați în apropierea atomilor respectivi ci se pot mișca liber între nodurile rețelei cristaline.

De exemplu, în rețeaua cristalină a Cu, fiecare atom este înconjurat de 12 vecini - atomi de Cu, cu care este legat prin legături metalice.

Calculul energiei potențiale de interacțiune între particule în rețeaua cristalină a metalelor se face ținând cont de interacțiunile electrostatice și de cele de schimb, dar problema este foarte dificilă din cauza electronilor liberi care se pot redistribui când distanța medie dintre ioni se schimbă.

În primă aproximare, energia de rețea a cristalelor metalice se poate calcula pe baza modelului ionic (F. Haber, J. J. Thomson) conform căruia rețeaua metalică este o rețea de ioni, în care ionii negativi sunt înlocuiți prin electroni. Energia de rețea reprezintă deci energia per mol necesară separării la infinit a ionilor metalici față de electronii respectivi. Pentru metalele monovalente se poate aplica relația (10.49):

$$(10.51) \quad E_r = \frac{Ne^2\alpha}{4\pi\epsilon_0 \cdot r_0} \left(1 - \frac{1}{m} \right)$$

în care r_0 este raza atomului, iar coeficientul de repulsie $m = 3$ se calculează pe baza datelor de compresibilitate. Pentru cupru, se obține în acest model o concordanță calitativă a valorii calculate $E_r,_{calc} = 447 \cdot 10^3$ J/mol, cu valoarea experimentală a căldurii latente de sublimare $\lambda = 344 \cdot 10^3$ J/mol, în timp ce în cazul metalelor alcaline concordanța datelor este mult mai bună (pentru potasiu $E_r,_{calc} = 88,3 \cdot 10^3$ J/mol și $\lambda = 90,8 \cdot 10^3$ J/mol).

Legătura metalică între atomi și existența unui număr mare de electroni liberi, numiți electroni de conducție, de obicei unul sau doi pe atom, explică marea conductivitate electrică a metalelor și alte proprietăți ale acestora, ca maleabilitatea, ductilitatea, luciu metalic.

10.9.8 Legătura de hidrogen

Acest tip de legătură se formează între un atom de hidrogen legat covalent de un atom electronegativ și un alt atom, puternic electronegativ și cu volum atomic mic (O, F, N, Cl) și se întâlnește în cristalele de gheată, HF, etc. Pentru a forma această legătură, atomul de hidrogen care a cedat parțial electronul unui atom din moleculă proprie devințind ionizat pozitiv interacționează electrostatic cu un alt ion negativ dintr-o moleculă vecină sau din altă parte a moleculei proprii, formând legătura de hidrogen.

Ca exemplu tipic putem cita legătura de hidrogen între moleculele apei. În molecula de apă (reprezentată schematic în figura 10.31.a), fiecare dintre cei doi atomi de hidrogen pune în comun cu atomul de oxigen o pereche de electroni, prin suprapunerea orbitalilor 1s ai atomilor de

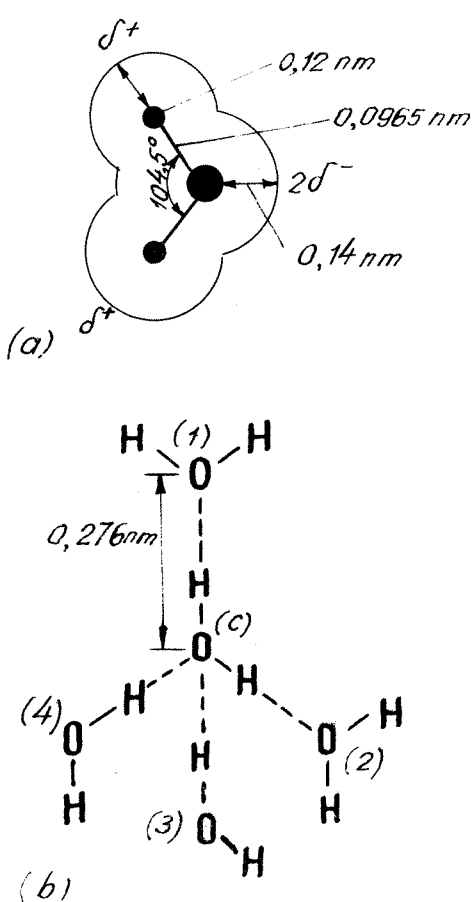


Fig. 10.31

hidrogen cu doi orbitali hibrizi sp^3 ai atomului de oxigen, unghiul legăturii H-O-H fiind de $104,5^\circ$, iar lungimea legăturii covalente fiind $0,0965$ nm.

Aranjamentul electronilor din molecula de apă face ca aceasta să fie asimetrică electric, fiecare dintre cei doi atomi de hidrogen având o încărcare locală fracționară pozitivă (δ^+), iar atomul de oxigen având o încărcare locală parțial negativă (δ^-), localizată în zona orbitalilor nepuși în comun. Molecula de apă se comportă deci ca un dipol electric.

Când două molecule de apă se apropie una de alta, se produce atracția electrostatică între atomul de oxigen al unei molecule și un atom de hidrogen al celeilalte molecule și se produce o redistribuire a sarcinilor electrice în ambele molecule în sensul accentuării asimetriei electrice. Această asociere electrostatică complexă se numește legătură (punte) de hidrogen.

Energia de legătură în puntea de hidrogen, de $\sim 18,8 - 21$ kJ/mol, este mai mică decât energia legăturii covalente H-O din molecula de apă (~ 460 kJ/mol), dar, datorită distribuției lor geometrice specifice, aceste legături sunt cooperative, adică își amplifică acțiunea pe măsură ce se formează un număr mai mare de legături de hidrogen.

În figura 10.31.b este reprezentată schematic aranjarea moleculelor din forma cristalină cea mai obișnuită a gheții (gheată I): fiecare moleculă este legată prin legături de hidrogen cu patru molecule vecine, formând o rețea regulată, astfel încât distanța medie oxigen - oxigen este $r = 0,276$ nm. În spațiu moleculele ocupă vîrfurile unui tetraedru regulat: molecula 1, 2 și molecula C din centrul figurii sunt în același plan, molecula 3 deasupra moleculii C, iar molecula 4 se află sub planul figurii. Combinarea unor astfel de tetraedre formează structura cristalină a gheții, foarte afânată, cu o densitate anomală de mică. În urma topirii, aproximativ 15% dintre legăturile de hidrogen se distrug și densitatea de împachetare a moleculelor de apă crește. La presiune normală, la 0°C , densitatea gheții este $916,8 \text{ kg/m}^3$, iar a apei este $999,87 \text{ kg/m}^3$.

Datorită existenței legăturilor de hidrogen, apa prezintă coeziune internă mare și valori mari ale căldurii de evaporare, ale constantei dielectrice, ale viscozității și ale tensiunii superficiale, în comparație cu cele mai multe dintre lichide, sau cu alte hidruri ($\text{H}_2\text{S}, \text{NH}_3$).

Între 0°C și 4°C densitatea apei crește, se distrug o parte dintre asociile moleculare complexe formate prin legătura de hidrogen, în care distanța între molecule este mare ($0,276$ nm). Deasupra temperaturii de 4°C crește agitația termică a moleculelor, devenind preponderentă, însotită de dilatare termică și de descreșterea densității, iar comportarea apei este asemănătoare lichidelor normale.

Deși slabă, legătura de hidrogen este frecvent întâlnită în natură, având un rol foarte important în formarea compușilor biologici (molecule de proteine, ADN, etc.).

10.9.9 Clasificarea solidelor

Schema de clasificare a solidelor bazată pe natura forțelor de interacțiune între particule este sintetizată în tabelul 10.4. Se indică în paranteze și reprezentanții tipici ai clasei respective, iar cifrele din fiecare rubrică reprezintă energia de rețea (în kJ/mol) corespunzătoare primului cristal citat în clasa respectivă. În solidele reale se întâlnesc mai rar tipurile de legături simple. Practic, există totdeauna o suprapunere a două sau mai multe tipuri de legături, una dintre ele jucând, de regulă, rolul preponderent ce determină structura și proprietățile solidului. De exemplu, elementele ca Si și Ge ocupă o poziție intermediară între metale și cristalele de valență; la 0 K se comportă la fel cu cristalele valență tipice, dar dacă temperatura crește legătura covalentă este treptat distrusă și cristalele încep să prezinte proprietăți metalice.

TABELUL 10.4

RETELE ATOMICE

Cristale de valență (diamant) 489

SiO₂
SiC

RETELE METALICE

Aliaje (NiCu, CuAu) 450

(Mg₃Sb₂)

RETELE IONICE

Cristale ionice (NaCl) 763

FeS
TiO₂

RETELE MOLECULARE

- Cristale Van der Waals (Ar, CH₄)
- Legături hidrogen (H₂O)_n, (HF)_n
- Legături dipol-dipol

8,73

Metale monoatomice (K, Ag, Cu) 90

(Ge, Si)
(Be)

Se
S₈

10.10 Proprietăți termice ale solidelor

10.10.1 Aspecte fenomenologice

Dintre proprietăile fizice generale ale solidelor, unele pot fi descrise prin mărimi fizice scalare (de exemplu: densitatea, capacitatea termică), în timp ce altele sunt determinate prin specificarea valorilor ce le caracterizează în cele trei direcții ale axelor cristalografice principale (conducția termică, rezistența electrică). Solidele au însă și proprietăți ce se exprimă prin mărimi fizice tensoriale, determinate prin specificarea valorii lor în mai mult decât trei direcții în cristal (de exemplu: proprietăile elastice, permeabilitatea magnetică permitivitatea electrică relativă).

Cea mai importantă dintre mărimele fizice ce caracterizează proprietățile termice de echilibru ale unui solid cristalin este capacitatea calorică la volum constant, C_v .

Principalele rezultate experimentale obținute pentru capacitatea calorică a solidelor, pe care ne propunem să le explicăm cinetico-molecular, sunt următoarele:

a) La temperaturi înalte, pentru toate solidele monoatomice, căldura atomică (necesată pentru a ridica cu un grad temperatura unui atom gram) la volum constant tinde către valoarea

$$(10.52) \quad \bar{C}_v \equiv 3N_A \cdot k = 3R \equiv 6 \text{ cal/mol} \cdot \text{grd} \equiv 25 \text{ J/mol} \cdot \text{K.}$$

conform legii Dulong si Petit (1819).

În cazul compușilor chimici solizi și al elementelor ce au molecule formate din a atomi, căldura molară tinde, la temperaturi înalte, spre valoarea

$$(10.53) \quad \bar{C}_v \equiv 3\mathbf{a} \cdot \mathbf{R} \equiv 6\mathbf{a} \text{ cal/mol} \cdot \text{grd} \equiv 25\mathbf{a} \text{ J/mol} \cdot \text{K}$$

conform regulii Neumann (1831) și Kopp (1864)

b) La temperaturi medii, capacitatea calorică a solidelor scade nelinier odată cu micșorarea temperaturii.

c) La temperaturi foarte mici ($0 - 15$ K), capacitatea calorică a solidelor izolatoare scade cu temperatura, proporțional cu T^3 , tinzând la 0 când T tinde la 0 K. Pentru metale dependența lui C_v de temperatură este liniară, iar dacă acestea devin supraconductoare scăderea lui C_v odată cu scăderea temperaturii este mai rapidă.

The graph illustrates the experimental results regarding the dependence of specific heat capacity C_v on temperature T for different metals. The y-axis represents C_v , and the x-axis represents temperature T in Kelvin (K). A horizontal dashed line at $C_v = 3R$ indicates the Dulong-Petit limit. The curves for Lead (Pb), Bismuth (Bi), Aluminum (Al), Silicon (Si), and Graphite (Grafit) all start at the origin (0,0) and approach the $3R$ line as T increases, with higher melting point metals like Pb and Bi reaching the limit faster than lower melting point metals like Al and Si.

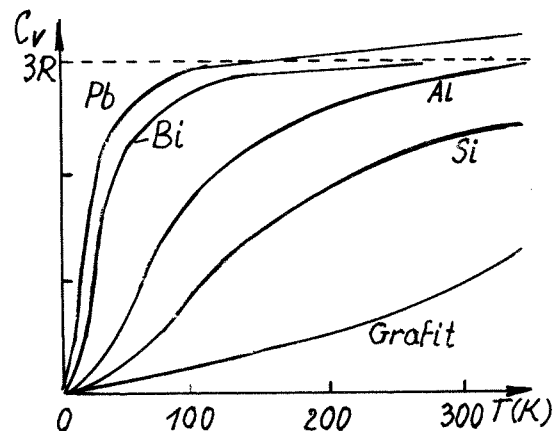


Fig. 10.32

temperaturi mult mai înalte decât temperatura camerei C_v tinde la valoarea constantă 3R.

Datele din tabelul 10.5 arată că, într-adevăr, majoritatea substanțelor solide monoatomice cu masa atomică mare au, la temperatura camerei, căldura molară în concordanță cu legea Dulong-Petit, ceea ce a făcut ca mult timp aceasta să fie considerată o lege generală, comportarea unor substanțe ca Be, B, Si, grafitul, diamantul, constituind o excepție de la lege.

TABELUL 10.5
Capacitatea calorică a solidelor (între 15-100 °C)

Simbol	Masă atomică	Temperatura de topire (°C)	C _v (cal/mol·K)	C _v (kJ/mol·K)
Li	9,94	186	5,5	23,02
Be	9,02	1350	3,85	16,11
B	10,82	2300	3,35	14,02
C	12	3527	1,45	6,06
Na	2,3	97,5	6,8	28,46
Al	26,97	660	5,75	24,06
Si	28,06	1420	4,95	20,72
Fe	55,84	1535	5,95	24,90
Zn	65,38	419	6,00	25,11
Mo	96,0	2620	6,2	25,95
Sn	118,7	232	6,4	26,79
Au	197,0	1063	6,15	25,74
Pb	207,2	327	6,35	26,58
Pt	195,23	1773,5	6,11	25,57
U	238,07	1689	6,47	27,08

Solidele magnetice prezintă valori mai mari ale capacității calorice în jurul temperaturii la care apare ordonarea momentelor magnetice (temperatura Curie). Această ordonare conduce la o variație de entropie, ceea ce explică valorile ridicate ale capacității calorice în jurul temperaturii de tranziție de fază magnetică.

10.10.2 Oscilațiile termice ale atomilor în rețea

Particulele unui solid, legate între ele prin forțe de interacțiune ce depind de distanțele interatomice, nu pot efectua datorită agitației termice decât oscilații slabe în jurul unei poziții oarecare de echilibru din nodurile rețelei cristaline. Numai dacă amplitudinea oscilațiilor depășește o anumită

valoare, atomul se poate deplasa, printr-un salt, într-o nouă poziție de echilibru. În solidele cristaline agitația termică nu poate distruga rețeaua cristalină decât la temperaturi ridicate, spre deosebire de gaze, în care energiile de interacțiune între particule sunt mult mai mici decât energia medie a mișcării termice, kT. Putem presupune că oscilațiile termice ale atomilor sunt complet dezordonate ca direcție și că se aplică și în cazul solidelor legea echipartitionei energiei pe grade de libertate.

Teoretic, cea mai simplă evaluare a capacității calorice a corpuri solide se face pe baza teoremei echipartitionei energiei pe grade de libertate. Corpul solid se consideră un ansamblu de particule în oscilație sau de oscilatori. Comunicând solidului căldură, aceasta este utilizată pentru creșterea energiei oscilatorilor, compusă din energie cinetică de oscilație și energie potențială. Dacă se consideră oscilatorii ideali, efectuând oscilații armonice, cele două părți ale energiei totale sunt egale. În solidul real însă, în timpul unei perioade de vibrație un atom descrie o curbă complexă în jurul poziției de echilibru, datorită interacțiunilor cu atomii vecini.

Să descompunem mișcarea de oscilație în trei componente, după cele trei direcții ale axelor de coordonate, energia corespunzătoare unui grad de libertate în mișcarea de oscilație fiind $(kT/2 + kT/2) = kT$. Fiecare oscilator are trei grade de libertate, deci energia unui oscilator este 3 kT și energia internă a unui kmol de solid este

$$U = N_A \cdot 3kT = 3RT$$

Dacă se comunică solidului căldură în condițiile unui volum constant, toată căldura este utilizată pentru creșterea energiei interne, aşa încât

$$(10.54) \quad C_v = \left(\frac{\partial U}{\partial T} \right)_v = 3R \equiv 6 \text{ cal/mol} \cdot \text{K} \equiv 25,12 \text{ J/mol} \cdot \text{K},$$

respectându-se legea Dulong-Petit. Această valoare este dublul căldurii molare a unui gaz ideal, ceea ce se explică prin aceea că pentru a încălzi un solid se comunică o cantitate de căldură, necesară pentru a crește atât energia cinetică a particulelor ce oscilează, cât și pe cea potențială.

Legea Dulong-Petit apare deci ca un corolar al legii echipartitionei energiei pe grade de libertate. Faptul că solidele nu respectă această lege la temperaturi joase arată că ipoteza distribuției uniforme a energiei pe grade de libertate nu este decât o aproximație în cazul corpului solid, fiind necesară o altă teorie care să poată explica această comportare.

În studiul mișcării de agitație termică în solide ar trebui să luăm în considerare atât mișcarea nucleelor cât și mișcarea electronilor. Având în vedere însă că masa nucleelor este mult mai mare decât masa electronilor, mișcarea nucleelor este destul de lentă, încât electronii, care se mișcă rapid, au timp suficient pentru a urmări îndeaproape mișcarea nucleelor. În

continuare vom folosi *aproximația adiabatică*, în care se va considera mișcarea termică a atomului în ansamblu, ca un întreg (atât în metale cât și în dielectrici), fără a ține cont de mișcarea electronilor (de mișcarea electronilor trebuie să se țină cont în fenomenele de conductibilitate electrică, termică, etc.).

La o temperatură oarecare, diferită de zero, atomii dintr-o rețea cristalină participă la două tipuri de oscilații: oscilații termice și oscilații de zero, de natură cuantică. Oscilațiile termice dispar la temperatura 0 K, dar oscilațiile de zero persistă și la această temperatură. Caracterul oscilațiilor termice depinde de temperatură. La temperaturi apropiate de temperatura de topire ($T \leq T_{top}$), atomii oscilează în jurul poziției lor de echilibru, dar oscilațiile lor nu sunt coordonate, nu sunt în aceeași fază. Pe măsură ce temperatura scade, mișcarea atomilor devine mai coordonată și la temperaturi destul de joase, oscilațiile atomilor sunt în fază, încât solidul poate fi considerat un mediu continuu. La aceste temperaturi, pozițiile de echilibru în jurul căroror oscilează atomii sunt și ele în mișcare de oscilație, cu o frecvență mai joasă.

Diferențierea celor două tipuri de oscilații termice, corespunzătoare temperaturilor înalte și temperaturilor joase, se poate face comparând energia de legătură $E_{leg} = \epsilon$ cu energia termică kT . La temperaturi înalte, unde $kT \sim E_{leg}$, cu condiția $T < T_{top}$, în decursul unor intervale de timp mai mici de 10^{-13} secunde atomii nu au un aranjament periodic în rețea. Dacă s-ar putea efectua o "fotografie" instantanee, s-ar observa o aranjare haotică a atomilor. Această lipsă a periodicității nu are importanță pentru procese lente (cu timp caracteristic $>> 10^{-13}$ s) în care, ca efect al medierii, rețeaua apare perfect periodică.

La temperaturi joase, unde $kT \ll E_{leg}$, atomii sunt atât de puternic legați unul de altul, încât deplasarea unuia antrenează și deplasarea atomului vecin în aceeași direcție. În aceste condiții apare mișcarea coordonată a atomilor vecini, asemănătoare cu mișcarea care are loc în procesul de propagare a undelor elastice în solide. Temperatura ce separă cele două intervale de temperaturi se numește temperatură Debye, notată cu θ_D . În raport cu temperatura Debye cele două intervale de temperatură, în care natura oscilațiilor termice este calitativ diferită, se pot defini prin inegalitățile:

$$T \ll \theta_D \text{ și } \theta_D < T < T_{top}$$

Temperatura Debye, deși nu poate fi determinată exact în cazul general, este o mărime fizică importantă atât pentru probleme aplicative (alegerea intervalor de temperatură pentru tratamentele termice ale unor metale) cât și pentru aspecte pur teoretice, intervenind în expresia căldurii specifice, a conductivității termice a solidelor, etc.

10.10.3 Oscilații armonice. Călduri specifice

Între atomii unui corp solid există interacțiuni multiple și de aceea problema vibrațiilor termice ale rețelei cristaline nu se poate rezolva decât prin metode aproximative de calcul și implicit calculul căldurii specifice a solidelor.

a) Aproximația armonică

În modelul de solid ideal utilizat în aproximația armonică se presupune că forțele ce acționează între doi atomi vecini sunt forțe cvasielastice.

Astfel, să considerăm un atom central A care vibrează, fiind deplasat la un moment dat cu o distanță $s(x, y, z)$ față de poziția de echilibru din nodul rețelei cristaline. Presupunem că atomii vecini cu atomul A sunt în repaus. În figura 10.33 se reprezintă simbolic această situație, în care atomul A interacționează prin forțe cvasielastice cu vecinii săi cei mai apropiati în cristal. Dacă este scos din poziția de echilibru atomul A vibrează cu frecvența

$$(10.55) \quad v = \frac{1}{2\pi} \sqrt{\frac{\alpha}{m}}$$

unde m este masa atomului și α - coeficientul de elasticitate rezultant. Pentru o celulă elementară din cristal, aleasă sub forma unui cub cu latura d egală cu constanta rețelei cristaline, din legea lui Hooke

$$(10.56) \quad \frac{x}{d} = \frac{1}{E} \cdot \frac{F}{d^2} = \frac{1}{E} \cdot \frac{\alpha X}{d^2},$$

deducem că

$$(10.57) \quad \alpha = E \cdot d$$

E fiind modulul de elasticitate (Young).

Într-adevăr, pentru aluminiu de exemplu: $d = 2,86 \text{ \AA}$, $E = 7 \cdot 10^{10} \text{ N/m}^2$ și $m = 4,5 \cdot 10^{-26} \text{ kg}$, de unde rezultă $\alpha = 20 \text{ N/m}$. Frecvența de vibrație estimată în acest mod (din 10.55) este $v = 3,4 \cdot 10^{12} \text{ Hz}$ în concordanță calitativă cu valoarea experimentală $v_{exp} = 6,4 \cdot 10^{12} \text{ Hz}$. Dacă se consideră energia medie a oscilatorului armonic ca fiind de ordinul de mărime al energiei termice ($\bar{\epsilon} = \alpha A^2 / 2 = kT$), la $T = 300 \text{ K}$ se estimează că amplitudinea

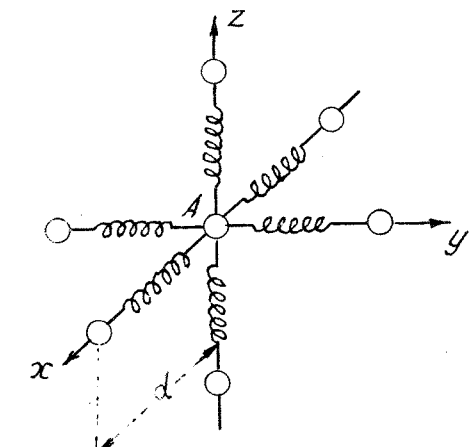


Fig. 10.33

vibrațiilor termice $A = \sqrt{2kT/\alpha} \approx 0.2\text{\AA}$, reprezintă aproximativ 7% din constanta rețelei; rezultă că, în primă aproximație forța de interacție dintre atomi este proporțională cu deplasarea s ($F = -\alpha \cdot s$) și cei N atomi din cristal execută o mișcare oscilatorie armonică, respectându-se ecuațiile

$$(10.58) \quad m \ddot{s}_i = F_i, \quad \text{cu } i = 1, 2, \dots, 3N,$$

unde $3N$ reprezintă numărul gradelor de libertate ale tuturor particulelor din cristal. Rezolvarea sistemului de ecuații (10.58) nu este posibilă, datorită valorii mari a lui N și în locul descrierii mișcării oscilatorii pentru fiecare particulă se încearcă studierea mișcării colective de oscilație a particulelor ce formează cristalul.

b) *Frecvența mișcării de oscilație a atomilor* în aproximația armonică se poate calcula dacă se cunoaște energia potențială de interacție $V(r)$ a atomilor din rețea.

Pentru un oscilator armonic ce oscilează după direcția X cu frecvența v dată de relația (10.55), considerând că energia potențială este zero în poziția de echilibru, pentru $x = x_0$, rezultă că energia potențială într-o poziție oarecare, la distanța x de poziția de echilibru, are expresia

$$(10.59) \quad V(x) = \frac{1}{2} \alpha \cdot x^2.$$

Deci sistemul se află într-o groapă de potențial parabolică (figura 10.34). Aceasta ar putea constitui o primă aproximație pentru o groapă de potențial neparabolică (de exemplu potențialul Lennard-Jones sau alt potențial), dar numai într-o porțiune restrânsă în jurul poziției de echilibru (figura 10.35).

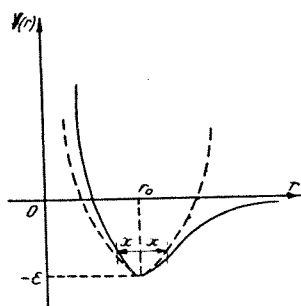


Fig. 10.34

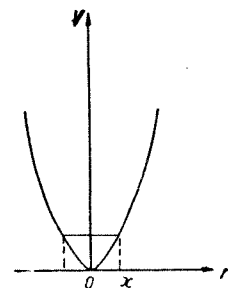


Fig. 10.35

În matematică se definește curbura în orice punct al unei curbe ca inversul razei de curbură R , în acel punct. Pentru o curbă exprimată prin ecuația $y = f(x)$ curbura are expresia

$$(10.60) \quad \frac{1}{R} = \frac{\frac{d^2y}{dx^2}}{1 + \left[\left(\frac{dy}{dx} \right)^2 \right]^{3/2}}.$$

În cazul când curba prezintă un minim, în acel punct $\frac{dy}{dx} = 0$ și curbura capătă expresia

$$(10.61) \quad \frac{1}{R} = \left(\frac{d^2y}{dx^2} \right)_{x=x_0}.$$

Pentru funcția $V(x)$ dată de relația (10.59), curbura în punctul minim este

$$(10.62) \quad \frac{1}{R} = \left[\frac{d^2V(x)}{dx^2} \right]_{x=x_0} = \alpha.$$

Limitându-ne la regiunea de minim a curbei $V(r)$ reprezentată în figura (10.35), putem spune că într-o primă aproximație, orice curbă reprezentând energia potențială de interacție și trecând printr-un minim poate fi aproximată printr-un arc de parabolă (în regiunea restrânsă a minimului). Ca urmare, dacă amplitudinea oscilațiilor este mică, în jurul valorii de echilibru r_0 , se pot considera oscilațiile atomilor ca fiind armonice, frecvența oscilațiilor fiind aceeași ca și pentru o *oscilație armonică simplă*:

$$(10.63) \quad v = \frac{1}{2\pi} \sqrt{\frac{\alpha}{m}} = \frac{1}{2\pi} \left[\frac{1}{m} \cdot \left(\frac{d^2V(r)}{dr^2} \right)_{r=r_0} \right]^{1/2}.$$

Această relație este valabilă pentru un singur atom care oscilează unidirecțional în jurul unei poziții de echilibru, în raport cu un singur atom vecin fix. Să ne imaginăm că într-un cristal toți atomii sunt imobili în nodurile rețelei cristaline, cu excepția unuia care poate să vibreze. Separăm acest atom împreună cu doi atomi vecini, de o parte și de alta, pe direcția în care are loc oscilația (figura 10.36).

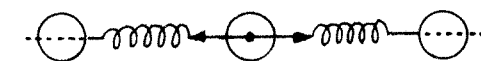


Fig. 10.36

Potențialul de interacție al sistemului, exprimat printr-o groapă de potențial, poate deci să fie aproxiimat printr-un arc de parabolă simetrică, iar energia potențială va avea o valoare dublă față de cea calculată în ipoteza interacțiunii cu un singur vecin. Acest lucru rezultă din faptul că asupra atomului care oscilează acționează o forță elastică dublă, $F' = 2F = -2\alpha x$, deci $V(x) = \frac{1}{2} \cdot 2\alpha x^2$, iar derivata de ordinul al doilea devine

$$(10.64) \quad \frac{d^2V(x)}{dx^2} = 2\alpha.$$

Aproximăm groapa de potențial în imediata vecinătate a minimului cu un arc de parabolă. Utilizând expresia potențialului Lennard-Jones (6 - 12) calculată pentru cristale moleculare, valabilă și în aproximarea adiabatică,

$$(10.65) \quad V(r) = (2\epsilon) \cdot \left[\left(\frac{r_0}{r} \right)^{12} - 2 \left(\frac{r_0}{r} \right)^6 \right],$$

vom obține derivata a doua a lui $V(r)$, ca în § 10.9.4, care în punctul de echilibru are valoarea

$$(10.66) \quad \frac{d^2V(r)}{dr^2} \Big|_{r_0} = 144 \frac{\epsilon}{r_0^2} = \frac{72}{r_0^2} \cdot 2\epsilon.$$

Introducând acest rezultat în expresia (10.63) am putea calcula valoarea frecvenței, dar nici această aproximare nu este suficientă. Un atom ce oscilează este înconjurat de z (numărul de coordinație) atomi vecini de prim ordin, cu care interacționează. Ca urmare, adâncimea gropii de potențial nu mai este ϵ ca în cazul unui singur vecin, nici 2ϵ ca în cazul a 2 vecini, ci $\frac{1}{3}(ze)$ deoarece într-o direcție cristalografică există în medie $z/3$ vecini de prim ordin. Deci relația (10.66) devine

$$(10.67) \quad \left(\frac{d^2V(r)}{dr^2} \right)_{r=r_0} = \frac{72}{r_0^2} \cdot \frac{z}{3} \cdot \epsilon = \frac{24z\epsilon}{r_0^2}.$$

Înlocuind această expresie în (10.63) obținem frecvența (maximă) de oscilație

$$(10.68) \quad v_E = \frac{1}{2\pi} \sqrt{\frac{24z\epsilon}{mr_0^2}},$$

numită *frecvență Einstein*.

Calculele de mai sus reprezintă doar o primă aproximare deoarece și ceilalți atomi sunt în mișcare în același timp și energia potențială a unui atom este funcție de poziția atomilor vecini. Pe de altă parte, s-a considerat că toate particulele vibrează cu aceeași frecvență. Cu toate acestea, am obținut un ordin de mărime corect pentru frecvența Einstein. Observând că viteza sunetului depinde de modulul de elasticitate și de densitate

$$(10.69) \quad v_s = \sqrt{\frac{E}{\rho}} \approx \sqrt{\frac{K}{\rho}},$$

deci în ultimă instanță tot de $(d^2V(r)/dr^2)_{r=r_0}$ (rel. 10.21 și 10.33), ca și frecvența Einstein, aceasta ne permite să calculăm lungimea de undă corespunzătoare undei sonore cu frecvența v_E . Această dependență de

$(d^2V(r)/dr^2)_{r=r_0}$, atât a vitezei sunetului v_s cât și a frecvenței v_E , nu este întâmplătoare. Ambele fenomene sunt determinate de proprietățile elastice ale cristalului.

Pentru argon putem efectua acest calcul folosind expresia modulului de elasticitate în volum (10.33). Lungimea de undă λ_E a sunetului cu frecvență v_E se poate calcula din relația $\lambda_E = v_s/v_E$ în care înlocuim expresiile acestor mărimi rel. 10.69 și 10.68:

$$(10.70) \quad \lambda_E = \frac{\sqrt{\frac{K}{\rho}}}{\frac{1}{2\pi} \sqrt{\frac{24z\epsilon}{mr_0^2}}} = 2\pi \sqrt{\frac{4z\epsilon}{\rho r_0^3}} \cdot \sqrt{\frac{mr_0^2}{24z\epsilon}} = 2\pi \sqrt{\frac{m}{6\rho r_0}}.$$

Având în vedere că

$$\frac{m}{\rho} = \frac{m \cdot N_A}{N_A \rho} = \frac{\mu}{N_A \rho} = \frac{V_\mu}{N_A} \approx r_0^3,$$

rezultă

$$(10.71) \quad \lambda_E = 2\pi \sqrt{\frac{r_0^3}{6r_0}} = \frac{2\pi}{\sqrt{6}} \cdot r_0 = 2,5 r_0 \approx 2r_0.$$

Deci, lungimea de undă corespunzătoare undei sonore cu frecvență Einstein este aproximativ egală cu dublul distanței interatomice. Ordinul de mărime al frecvenței Einstein este de $10^{12} - 10^{13}$ Hz, după cum rezultă din măsurători ale vitezei sunetului sau din calcule, pe baza relației (10.68), în care introducem valorile cunoscute, pentru argon, ale energiei de rețea $E_r = \frac{1}{2} N_A z\epsilon \approx 8700$ J/mol, masa moleculară $\mu = mN_A = 40$ kg/kmol, iar $r_0 = 3,76 \cdot 10^{-10}$ m. (v. tabelul 10.3).

c) O analiză riguroasă a mișcării de oscilație a atomilor în cristal conduce la concluzia că nu toți atomii oscilează cu aceeași frecvență și că *frecvența Einstein* este frecvența maximă cu care pot oscila unii atomi. Existența unui întreg spectru de frecvențe a fost evidențiată de neconcordanța rezultatelor teoretice privind căldura specifică a corpuriilor solide, cu datele experimentale.

După cum am vazut, măsurătorile de compresibilitate și de căldură latentă ne dau informații asupra modului cum interacționează atomii în cristal. Și măsurătorile de călduri specifice ne pot da informații asupra modului de mișcare a atomilor în cristal. Pentru aceasta trebuie să stabilim o relație între mărimele macroscopice (căldura specifică) și mărimele microscopice (energia cinetică) caracteristice atomilor din rețea cristalină.

Din punct de vedere macroscopic trebuie să precizăm că și în cazul solidelor ne bazăm pe aceleași definiții ale căldurii specifice c și ale căldurii

molare C , mărimile C_p , C_v având același înțeles ca și la gaze (§ 2.1). Subliniem doar faptul că diferența $C_p - C_v$ este dată de relația generală stabilită în cadrul termodinamicii (rel. 3.45 și 3.43):

$$(10.72) \quad v(C_p - C_v) = -T \left(\frac{\partial V}{\partial T} \right)_p^2 \cdot \left(\frac{\partial P}{\partial V} \right)_T = -T \left(-\frac{1}{V} \cdot \frac{\partial V}{\partial T} \right)_p^2 \cdot V^2 \left(\frac{\partial P}{\partial V} \right)_T.$$

Această relație devine (vezi rel. 5.85) pentru $v = 1$ mol:

$$(10.73) \quad C_p - C_v = T \cdot \alpha^2 \cdot V_\mu \cdot K_{iz},$$

în care α este coeficientul de dilatare, V_μ - volumul molar, iar $K_{iz} = 1/k_T$, este modulul de compresibilitate în volum. Este evident că diferența $C_p - C_v$ crește cu T , dar scade rapid pentru substanțele care au coeficientul de dilatare mic. De exemplu pentru argint la $T = 300$ K, înlocuind în relația (10.73) valorile: $\alpha = 5,5 \cdot 10^{-6}$ K⁻¹, $K_{iz} = 10^{11}$ N/m² și $V_\mu = \frac{\mu}{P} = \frac{107 \text{ kg}/\text{kmol}}{10^3 \text{ kg}/\text{m}^3} = 10,7 \cdot 10^{-3} \text{ m}^3/\text{kmol}$, obținem

$$(10.74) \quad C_p - C_v = 1130 \frac{J}{\text{kmol} \cdot K} \approx 0,13 \cdot R.$$

Rezultă că pentru solide (concluzia este valabilă și pentru lichide) diferența $C_p - C_v$ este mult mai mică decât R și nu este o mărime constantă ci depinde de temperatură, după cum se vede din rel. 10.73 și din tabelul 10.6 în care sunt prezentate valorile experimentale ale raportului $(C_p - C_v)/R$ pentru câteva substanțe

TABELUL 10.6
Valorile expresiei $(C_p - C_v)/R$ pentru diferite substanțe solide la diferite temperaturi

Substanță	Diamant	Bor	Cupru	Plumb
T(K)	300 900 1173	473 873 1173	87 290 450	23 200 409
$\frac{C_p - C_v}{R} \cdot 10^3$	1 3 38	25 84 131	10 75 110	5 110 231

Măsurările de călduri specifice la solide se fac de obicei la presiune constantă deoarece pentru a menține volumul constant sunt necesare presiuni foarte mari. Măsurând C_p se poate calcula C_v cu ajutorul relației (10.73), dacă se cunoaște α și K_{iz} .

În teoria clasică nu poate fi explicată comportarea solidelor la temperaturi medii și joase. Un calcul mai riguros al căldurilor specifice nu se poate face decât în cadrul mecanicii cuantice, sau cel puțin introducând condiția de cuantificare a energiei.

d) Teoria cuantică a căldurilor specifice (Einstein)

Pentru a depăși dificultățile întâmpinate în cadrul teoriei clasice, Einstein a elaborat o teorie cuantică, utilizând același model de solid cristalin ca și cel din teoria clasică și bazându-se pe următoarele ipoteze.

1 - Atomii (moleculele) solidului sunt echivalenți cu niște oscilatori armonici ce execută oscilații în jurul poziției lor de echilibru fără a se influența reciproc. Fiecare atom are trei grade de libertate de oscilație, corespunzătoare celor trei direcții în spațiu după care poate oscila. Deci N atomi ai cristalului sunt echivalenți cu $3N$ oscilatori armonici.

2 - Toate particulele oscilează cu aceeași frecvență, dar amplitudinile pot fi diferite. Oscilatorii sunt independenti unul față de altul, nu se influențează reciproc.

3 - Energia termică transmisă sistemului de oscilatori se distribuie în cuante de energie, astfel încât unii oscilatori vor primi câte o cuantă $\varepsilon_1 = hv$, alții câte două $\varepsilon_2 = 2hv$, alții câte trei $\varepsilon_3 = 3hv$, s.a.m.d. Deci, energia fiecărui oscilator este cuantificată și nu se mai respectă echipartiția energiei. Distribuția oscilatorilor după energii este dată de legea de distribuție a lui Boltzmann (6.22):

$$(10.75) \quad N_i = N_0 \cdot \exp \left(-\frac{\varepsilon_i}{kT} \right),$$

care ne dă numărul de oscilatori N_i (din totalul de $3N$ oscilatori) care primesc energie $\varepsilon_i = ihv$, h fiind constanta lui Planck ($h = 6,62 \cdot 10^{-34}$ J·s), v frecvența oscilatorilor (aceeași pentru toți, conform ipotezei simplificatoare a lui Einstein), iar i este un număr întreg, inclusiv zero (căci pot exista și oscilatori care nu primesc nici o cantă de energie). Conform relației lui Boltzmann (10.75), va exista un număr mai mare de oscilatori cu energie mică (cu un număr mic de cuante hv) decât numărul oscilatorilor cu energie mare. Deci, s-a presupus că: N_0 oscilatori au energie 0, N_1 oscilatori primesc energie $\varepsilon_1 = hv$, N_2 primesc energie $\varepsilon_2 = 2hv$, ..., N_i oscilatori primesc $\varepsilon_i = ihv$.

Să calculăm energia medie a unui oscilator $\bar{\varepsilon}$, făcând suma produselor dintre numărul oscilatorilor ce oscilează cu o anumită energie și energia lor, pe care o împărțim la numărul total al oscilatorilor:

$$(10.76) \quad \bar{\varepsilon} = \frac{\sum_i N_i \cdot \varepsilon_i}{\sum_i N_i} = \frac{\sum_{i=0}^{\infty} N_0 \cdot ihv \cdot e^{-ihv/kT}}{\sum_{i=0}^{\infty} N_0 \cdot e^{-ihv/kT}} = \frac{\sum_{i=0}^{\infty} ihv \cdot e^{-ihv/kT}}{\sum_{i=0}^{\infty} e^{-ihv/kT}}.$$

Energia fiind distribuită în cuante hv , având deci o variație discretă, s-a trecut în relația (10.76) de la integrale la sume. Limita superioară a acestor sume se consideră ∞ deoarece exponențiala scade foarte repede odată cu creșterea lui i și contribuția termenilor cu i foarte mare la suma totală este neglijabilă.

Dacă notăm $\frac{1}{kT} = x$ și observăm că

$$\frac{\partial}{\partial x} \ln(e^{-ihv}) = \frac{1}{e^{-ihv}} \cdot \frac{\partial}{\partial x}(e^{-ihv}) = \frac{-ihve^{-ihvx}}{e^{-ihvx}}$$

putem scrie $\bar{\epsilon}$ sub forma

$$(10.77) \quad \begin{aligned} \bar{\epsilon} &= \frac{hv \sum_{i=0}^{\infty} i \cdot e^{-ihvx}}{\sum_{i=0}^{\infty} e^{-ihvx}} = \frac{-\partial}{\partial x} \left[\ln \sum_{i=0}^{\infty} e^{-ihvx} \right] = \\ &= -\frac{\partial}{\partial x} [\ln(1 + e^{-hv} + e^{-2hv} + \dots)]. \end{aligned}$$

Trecând de la x la $1/kT$ obținem:

$$(10.78) \quad \bar{\epsilon} = -\frac{\partial}{\partial \left(\frac{1}{kT}\right)} \ln \sum_{i=0}^{\infty} e^{-ihv/kT} = -\frac{\partial}{\partial \left(\frac{1}{kT}\right)} \ln Z,$$

unde am notat

$$(10.79) \quad Z = \sum_{i=0}^{\infty} e^{-ihv/kT} = 1 + e^{-hv/kT} + e^{-2hv/kT} + \dots,$$

mărime fizică numită suma de stare. Deci (10.78) se mai poate scrie ca

$$(10.80) \quad \bar{\epsilon} = kT^2 \frac{\partial}{\partial T} (\ln Z).$$

Pentru a evalua $\bar{\epsilon}$ trebuie să calculăm Z din (10.79) ca fiind suma termenilor unei progresii geometrice cu rația $q = e^{-hv/kT}$. (Suma unui sir infinit de termeni $a_1, a_2, a_3, \dots, a_i$ ai unei progresii geometrice cu rația $q < 1$, este $\frac{a_1}{1-q}$). Deci

$$\sum_{i=0}^{\infty} e^{-ihv/kT} = \frac{1}{1 - e^{-hv/kT}}$$

și expresia energiei medii (10.78) devine

$$(10.81) \quad \bar{\epsilon} = -\frac{\partial}{\partial \left(\frac{1}{kT}\right)} \ln \frac{1}{1 - e^{-hv/kT}} = -\frac{\frac{\partial}{\partial \left(\frac{1}{kT}\right)} \cdot \left(\frac{1}{1 - e^{-hv/kT}}\right)}{\frac{1}{1 - e^{-hv/kT}}}.$$

Efectuând calculele, obținem energia medie a unui oscilator în teoria Einstein:

$$(10.82) \quad \bar{\epsilon} = \frac{hv}{e^{hv/kT} - 1}.$$

Reamintim că în teoria clasică $\bar{\epsilon} = kT$. Trebuie să menționăm de asemenea că energia medie (10.82) reprezintă numai energia de agitație termică și nu

cuprinde energia de zero, ϵ_0 , pe care o au toți oscilatorii la temperatură 0 K, având valoarea $\epsilon_0 = \frac{1}{2}hv$. Energia internă pentru un mol de substanță la 0 K este $U_0 = 3N_A \cdot \epsilon_0$, reprezentând energia de interacțiune a tuturor atomilor din sistem, aflată în poziția de echilibru din nodul rețelei cristaline, la 0 K. Această energie depinde numai de volumul specific al corpului și nu de temperatură lui, deci nu contribuie la căldura specifică.

Energia internă de agitație termică se calculează înmulțind energia medie a unui oscilator, cu numărul oscilatorilor ($3N$) cristalului. Într-un mol fiind N_A atomi, energia internă devine

$$(10.83) \quad U = 3N_A \cdot \bar{\epsilon} = \frac{3N_A \cdot hv}{e^{hv/kT} - 1}.$$

Observăm că la temperaturi mari, când $hv \ll kT$ și $e^{hv/kT} \approx 1 + hv/kT$, energia cinetică medie a unui oscilator devine $\bar{\epsilon} = kT$; deci capătă valoarea atribuită prin legea echipartiției energiei pe grade de libertate. La temperaturi înalte expresia cuantică (10.82) a lui $\bar{\epsilon}$ coincide deci cu cea clasică. Dacă introducem o temperatură caracteristică (Einstein) θ_E , ca limită inferioară a temperaturilor înalte, prin egalitatea $hv = k\theta_E$, obținem condiția analitică $T \gg \theta_E$ pentru aplicabilitatea echipartiției energiei pe grade de libertate.

Se poate calcula și căldura molară la volum constant prin derivarea expresiei energiei interne (10.83) în raport cu temperatura:

$$C_V = \left(\frac{\partial U}{\partial T} \right)_V = 3N_A \cdot hv \cdot (e^{hv/kT} - 1)^2 \cdot \left(\frac{hv}{kT^2} \right) \cdot e^{hv/kT} = 3N_A \cdot k \frac{\left(\frac{hv}{kT} \right)^2 \cdot e^{hv/kT}}{(e^{hv/kT} - 1)^2}$$

În final,

$$(10.84) \quad C_V = 3R \frac{e^{hv/kT}}{(e^{hv/kT} - 1)^2} \cdot \left(\frac{hv}{kT} \right)^2$$

și se obține relația lui Einstein pentru căldura molară a solidelor.

La temperaturi mari, când $hv \ll kT$ și ca urmare $e^{hv/kT} \approx 1 + \frac{hv}{kT}$, relația lui Einstein se reduce la $C_V = 3R$, incluzând astfel rezultatul teoriei clasice, în concordanță cu legea Dulong-Petit.

La temperaturi joase, când $T \rightarrow 0$, deci $hv \gg kT$, se poate neglija 1 în raport cu celălalt termen de la numitorul relației lui Einstein, care devine

$$(10.85) \quad C_V = 3R \cdot \left(\frac{hv}{kT} \right)^2 \cdot e^{-hv/kT}.$$

Deoarece exponențiala variază cu temperatura mai repede decât $1/T^2$, C_V tinde la zero când T tinde la zero, ceea ce este în concordanță cu experiența și cu principiul al III-lea al termodinamicii.

Cu toate acestea, relația lui Einstein dă numai o descriere calitativă a variației căldurii molare a solidelor cu temperatura. Teoria dă o variație exponențială la temperaturi joase, în timp ce experimental se constată o variație mai lentă. Conform teoriei, temperatura caracteristică θ_E este aceeași pentru toate solidele și la această temperatură toate solidele au aceeași căldură molară

$$(10.86) \quad C_{V(T=\theta_E)} = 3R \frac{\exp(\theta_E/T)}{[\exp(\theta_E/T - 1)]^2} \left(\frac{\theta_E}{T} \right)^2 = 2,78 R.$$

În realitate, căldura molară atinge valoarea $3R$ la diferite temperaturi pentru diferite substanțe, ceea ce arată că temperatura caracteristică Einstein θ_E nu este aceeași pentru toate substanțele.

Deoarece $\theta_E = hv/k$, relația lui Einstein se mai poate scrie astfel

$$(10.87) \quad C_V = 3R \frac{\exp\left(\frac{\theta_E}{T}\right)}{\exp\left(\frac{\theta_E}{T} - 1\right)^2} \cdot \left(\frac{\theta_E}{T}\right)^2 = 3R \cdot f\left(\frac{\theta_E}{T}\right),$$

ceea ce arată că C_V crește cu θ_E , deci cu v , iar frecvența de oscilație este cu atât mai mare cu cât energia de legătură este mai mare și masa atomică mai mică (rel. 10.68). Ne explicăm astfel, calitativ, variația căldurii molare de la un element la altul.

Neajunsurile teoriei lui Einstein se datorează ipotezei simplificătoare că oscilatorii nu interacționează între ei și oscilează toți cu aceeași frecvență. Valoarea acestei frecvențe se alege astfel încât căldura molară calculată după relația (10.84) să fie în concordanță cu datele experimentale. Debye a perfecționat teoria lui Einstein păstrând ideea principală, dar admitând existența unui spectru de frecvențe cu care oscilează atomii în rețea. Deoarece numărul atomilor este finit, iar numărul frecvențelor posibile este infinit, Debye admite că spectrul de frecvențe al oscilatorilor dintr-un solid este limitat de o *frecvență maximă* v_m . În raport cu această frecvență limită se definește temperatura Debye θ_D prin relația

$$(10.88) \quad k \cdot \theta_D = hv_m.$$

Temperatura Debye delimită domeniul temperaturilor înalte de domeniul temperaturilor joase, pentru o substanță dată. În tabelul 10.7 sunt indicate câteva valori ale temperaturilor Debye pentru unele substanțe.

TABELUL 10.7
Temperaturi Debye ale unor elemente

Elementul chimic	Pb	Na	Cu	Fe	Al	C (diamant)	Be	Mo
v_D (K)	95	161	340	360	375	1850	1200	425

Faptul că anumite elemente nu satisfac legea Dulong-Petit la temperatură ambientă se explică prin aceea că această temperatură este joasă în comparație cu θ_D pentru substanța respectivă.

Teoria lui Debye redă mai bine variația căldurii specifice a solidelor funcție de temperatură, inclusiv diferențele ce există între diferite substanțe.

Cu titlu informativ, indicăm expresia energiei interne pentru un kmol de substanță cristalină:

$$(10.89) \quad U = 9R \left(\frac{T^4}{\theta_D^3} \right) \int_0^{\theta_D/T} \frac{y^3 \cdot dy}{e^y - 1}$$

unde $y = \frac{hv}{kT}$. Această integrală nu poate fi rezolvată analitic și este tabelată. Pentru temperaturi mult mai mari decât θ_D , formula (10.89) se reduce la cazul clasic. Contribuția electronilor la căldura specifică și la energia internă a solidului se ia în considerație prin termeni suplimentari în relațiile (10.87, 10.89).

Temperatura Debye θ_D este acea temperatură la care pot fi excitate toate oscilațiile normale ale rețelei cristaline, inclusiv cea cu frecvență v_{max} . Mărind temperatura cristalului peste valoarea θ nu apar noi frecvențe de oscilație în cristal, ci crește numai energia medie a oscilațiilor normale deja existente în cristal.

Măsurarea capacitatii calorice și a dependenței ei de temperatură sunt deosebit de importante în studiul solidelor, deoarece dau informații asupra naturii oscilațiilor atomilor în rețea și asupra unor transformări de fază ce au loc în cristale și care sunt însoțite de diferite anomalii ale căldurii specifice.

10.10.4. Oscilații anarmonice. Dilatarea solidelor

La temperaturi suficient de joase, oscilațiile atomilor în rețea sunt de amplitudine mică și ca urmare sunt oscilații armonice (§ 10.10.3). Să vedem ce se întâmplă când temperatura este ridicată, apropiindu-se de temperatura de topire.

a) Să încercăm mai întâi o estimare a amplitudinii oscilațiilor atomilor în solide la temperaturi ridicate. Pentru simplificare, presupunem că sistemul considerat (doi atomi vecini care

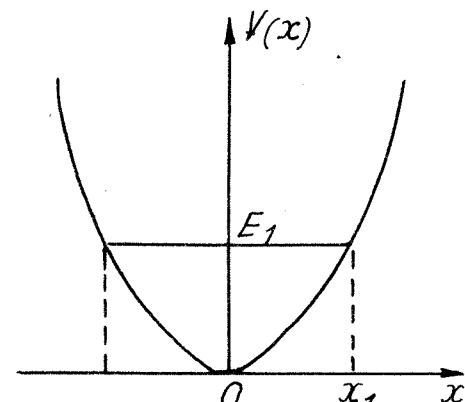


Fig. 10.37

interacționează numai între ei) are energia corespunzătoare unei gropi de potențial de formă parabolică. Luând axele de coordonate cu originea în punctul de minim, ecuația parabolei este $V(x) = \frac{1}{2}\alpha x^2$. Dacă sistemul are energia E_1 , atunci oscilează cu amplitudinea x_1 dată de relația $E_1 = \frac{1}{2}\alpha x_1^2$. Figura (10.37) ne indică modul grafic de a afla valoarea lui x_1 corespunzător energiei E_1 , bazându-ne pe faptul că la $x = x_1$ toată energia sistemului este în întregime energie potențială.

Referindu-ne la un atom într-un cristal, având z atomi vecini, iar energia lor de interacție fiind dată de potențialul Lennard-Jones de tip (6-12), groapa de potențial nu mai este perfect parabolică. S-a văzut (§ 10.10.1) că într-o regiune apropiată de minim, curba de variație a energiei potențiale poate fi aproximată cu o parabolă având curbura $24ze/r_0^2$, în care r_0 este distanța interatomică, iar z este numărul de coordinație. Având în vedere că în cazul unei gropi de potențial parabolice curbura este tocmai coeficientul α (vezi rel. 10.62), putem exprima energia potențială prin

$$(10.90) \quad V(x) = \frac{1}{2}\alpha \cdot x^2 = \frac{12ze}{r_0^2} \cdot x^2$$

unde x este depărtarea față de poziția de minim a energiei potențiale (poziția de echilibru a sistemului).

Pe baza acestei relații putem estima amplitudinea maximă de oscilație a unui atom într-un solid în condiții normale de presiune. Valoarea maximă a amplitudinii se atinge la temperaturi în apropierea punctului de topire.

În concepția clasică, la temperaturi joase, atomii din solid se află la fundul gropii de potențial (fig. 10.37). Când se află la temperatura T, energia medie a oscilatorului este kT . Atomul oscilează în interiorul gropii de potențial, dar din cauza interacțiunii cu atomii vecini, oscilațiile nu mai sunt strict armonice. Pentru a evalua valoarea lui x corespunzătoare unor temperaturi apropiate de cea de topire T_c , considerăm că la temperatura critică T_c energia termică medie este de același ordin de mărime cu energia potențială de legătură, $kT_c \sim \varepsilon$. Pe de altă parte, se constată experimental că temperatura de topire este apropiată de temperatura punctului triplu și este aproximativ egală cu 1/2 din temperatura critică.

Deci o estimare doar ca ordin de mărime ne conduce la relația

$$(10.91) \quad kT_t = \frac{1}{2}kT_c \approx \frac{1}{2}\varepsilon.$$

Utilizând expresia energiei medii din relația (10.91) obținem

$$(10.92) \quad 12Ze\left(\frac{x}{r_0}\right)^2 \approx \frac{1}{2}\varepsilon$$

și de aici, considerând $Z = 10$, putem evalua raportul $\frac{x}{r_0} \approx \sqrt{\frac{1}{240}} \approx 0,06$. Deci, pentru un cristal molecular, în care energia potențială de interacție este dată de un potențial Lennard-Jones de tip (6-12), amplitudinea maximă a oscilațiilor (în apropierea temperaturii de topire) este mai mică decât 1/10 din distanța interatomică ($x < \frac{1}{10} r_0$).

Pentru cristale ionice, covalente sau metalice, raportul dintre temperatura de topire (apropiată de temperatura punctului triplu) și mărimea ε/k nu mai este 1/2, ci 1/4 sau 1/5 (pentru metale). Dacă acest raport, $T_c/(\varepsilon/k)$, ar varia între 1 și 10, raportul x/r_0 ar varia între 1/10 și 1/35. Deci, amplitudinile cu care oscilează atomii într-un cristal sunt mici în comparație cu distanțele interatomice, chiar în apropierea temperaturii de topire, dar interacțiunea cu atomii vecini determină caracterul anarmonic al oscilațiilor. După cum vom arăta în cele ce urmează, anarmonicitatea oscilațiilor explică dilatarea termică a corpurilor.

b) Experimental se constată că prin încălzirea unui solid (sub formă de bară sau fir) de la temperatura T_0 până la temperatura T, acesta își mărește (sunt și excepții) lungimea de la l_0 la l, după legea

$$l = l_0[1 + \alpha(T - T_0)].$$

Notând $l - l_0 = \Delta l$ și $T - T_0 = \Delta T$ obținem expresia coeficientului de dilatare liniară α la presiune constantă (de obicei presiunea atmosferică)

$$(10.93) \quad \alpha = \frac{1}{l_0} \left(\frac{\Delta l}{\Delta T} \right)_p \quad \text{sau} \quad \alpha = \frac{1}{l} \left(\frac{\partial l}{\partial T} \right)_p$$

În cazul dilatării în volum se cunoaște expresia

$$(10.94) \quad V = V_0(1 + \alpha_V \cdot \Delta T)$$

în care

$$\alpha_V = \frac{1}{V} \left(\frac{\partial V}{\partial T} \right)_p$$

este coeficientul de dilatare în volum. Având în vedere faptul că în cazul unui solid în formă de cub $V_0 = l_0^3$ rezultă (neglijând termenii care conțin pe α^2) că $\alpha_V = 3\alpha$. Valorile experimentale cunoscute pentru α sunt de ordinul 10^{-5} - 10^{-3} K⁻¹. Pentru a explica fenomenul de dilatare termică să încercăm o corelare a coeficientului de dilatare cu expresia energiei potențiale de interacție $V(r)$.

De la început trebuie subliniat faptul că un solid în care atomii ar executa numai oscilații perfect armonice, într-o groapă de potențial parabolică, n-ar prezenta fenomene de dilatare termică. Creșterea amplitudinilor oscilațiilor n-ar duce la schimbarea poziției lor de repaus, din nodurile

rețelei cristaline. Dacă groapa de potențial este nesimetrică (fig.10.38.b), atunci o creștere a amplitudinii de oscilație duce la o creștere a distanței interatomice, deci la o dilatare a corpului. Nesimetria curbei $V(r)$ exprimă faptul că este mai greu să apropie doi atomi unul de altul, decât să-i faci să se îndepărteze.

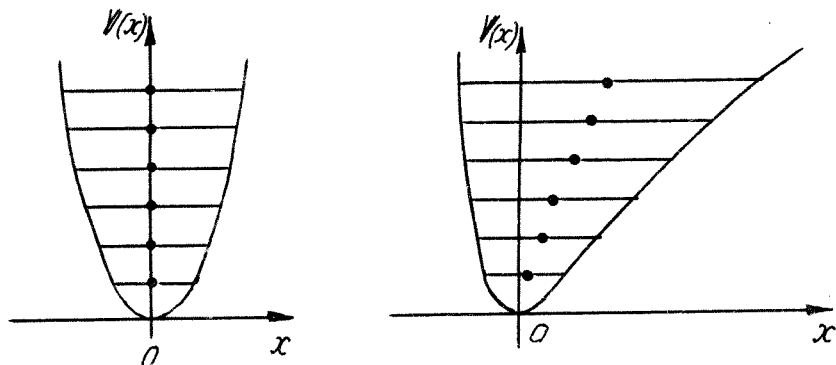


Fig. 10.38

Pentru a calcula valoarea coeficientului de dilatare liniară α (sau în volum $\alpha_v = 3\alpha$) trebuie să luăm în considerare tocmai nesimetria gropii de potențial, fapt neglijat până acum. Notând cu r_0 valoarea lui r corespunzătoare minimului curbei $V(r)$, aceasta înseamnă că r_0 reprezintă distanța între doi atomi vecini la temperatura $T = 0K$. Deplasarea față de poziția de echilibru o notăm cu $x = r - r_0$ și astfel putem reprezenta funcția $V(r)$ (fig.10.39) într-un sistem de axe cu originea în punctul de minim al curbei. Procedeul aplicat în continuare va fi următorul. Vom afla limitele lui x între care oscilează o pereche de atomi, când energia lor este dată, iar apoi

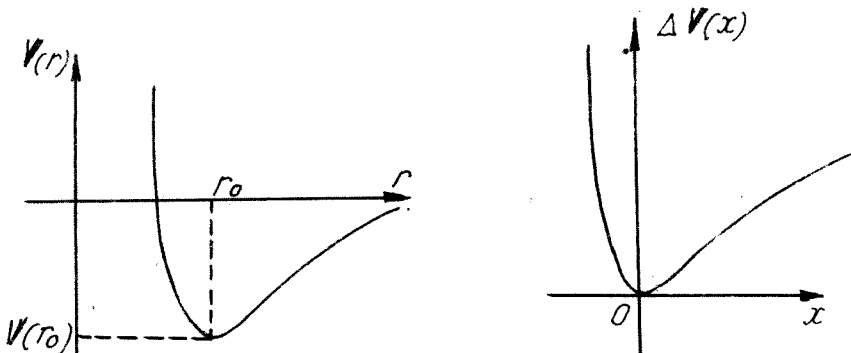


Fig. 10.39

vom calcula valoarea medie \bar{x} . Deoarece elongația pozitivă este mai mare decât cea negativă, valoarea medie \bar{x} va fi diferită de zero. Raportul \bar{x}/r_0 reprezintă tocmai dilatarea liniară totală ($\Delta l/l_0 = \alpha\Delta T$) între o pereche de atomi, când solidul este încălzit cu ΔT grade. Prin diferențiere în raport cu T vom obține coeficientul de dilatare liniară α . Procedeul este doar aproximativ deoarece nu ia în considerare prezența atomilor vecini, dar este suficient de bun pentru a prevedea ordinul de mărime al coeficientului de dilatare α .

Potențialul parabolic neputând furniza date privind dilatarea, vom utiliza un potențial Lennard-Jones de tip (6-12) care descrie suficient de bine interacțiunile din cristalele moleculare și dă o primă aproximație pentru interacțiunile din cristalele metalice, dar fără a avea o justificare fizică riguroasă pentru acest din urmă caz.

Ca să punem în evidență termenul armonic, proporțional cu x^2 (în coordonatele cu originea în punctul de minim al curbei de potențial din fig. 10.39.b) și termenul anarmonic suplimentar, proporțional cu x^3 , vom dezvolta în serie potențialul $V(r)$ în apropierea punctului de minim. După teorema lui Taylor, o funcție care în punctul $r = r_0$ are valoarea $V(r_0)$, într-un punct oarecare, apropiat, va avea valoarea

$$(10.95) \quad V(r) = V(r_0) + (r - r_0) \left(\frac{dV(r)}{dr} \right)_{r=r_0} + \frac{(r - r_0)^2}{2!} \left(\frac{d^2V(r)}{dr^2} \right)_{r=r_0} + \frac{(r - r_0)^3}{3!} \left(\frac{d^3V(r)}{dr^3} \right)_{r=r_0} + \dots$$

Dacă r_0 corespunde minimului lui $V(r)$, derivata de ordinul întâi se anulează și obținem

$$(10.96) \quad V(r) - V(r_0) = \frac{x^2}{2!} \left(\frac{d^2V(r)}{dr^2} \right)_{r=r_0} + \frac{x^3}{3!} \left(\frac{d^3V(r)}{dr^3} \right)_{r=r_0} + \dots$$

în care am notat, ca și mai sus, $r - r_0 = x$, pentru a trece în noul sistem de coordonate (fig.10.39.b).

Alegem pentru $V(r)$ expresia potențialului Lennard-Jones (6-12)

$$(10.97) \quad V(r) = 12\varepsilon \left[\frac{1}{12} \left(\frac{r_0}{r} \right)^{12} - \frac{1}{6} \left(\frac{r_0}{r} \right)^6 \right]$$

ale căruia derivate sunt (vezi § 10.9.4).

$$\frac{d^2V(r)}{dr^2} = \frac{12\varepsilon}{r_0^2} \left[13 \left(\frac{r_0}{r} \right)^{14} - 7 \left(\frac{r_0}{r} \right)^8 \right]$$

și

$$(10.98) \quad \left(\frac{d^3V(r)}{dr^3} \right)_{r=r_0} = \frac{72\varepsilon}{r_0^2}$$

iar

$$\frac{d^3V(r)}{dr^3} = -\frac{12\varepsilon}{r_0^3} \left[13 \cdot 14 \left(\frac{r_0}{r} \right)^{15} - 7 \cdot 8 \left(\frac{r_0}{r} \right)^9 \right]$$

$$(10.99) \quad \left(\frac{d^3V(r)}{dr^3} \right)_{r=r_0} = -\frac{1512\varepsilon}{r_0^3}.$$

Introducând aceste valori în expresia (10.96) obținem valoarea creșterii energiei potențiale interatomice în raport cu valoarea ei minimă:

$$(10.100) \quad V(r) - V(r_0) = \Delta V(x) = 36\varepsilon \left(\frac{x}{r_0} \right)^2 - 252\varepsilon \left(\frac{x}{r_0} \right)^3.$$

Chiar dacă neglijăm termenii la puteri mai mari de 3, aproximarea este suficient de bună când $x/r_0 \approx 0,1$. Amplitudinea x nu este mai mare nici în apropierea temperaturii de topire, după cum am arătat mai sus. Contribuția termenului anarmonic ($\text{în } x^3$) se vede clar și din reprezentarea grafică a expresiei lui $\Delta V(x)$ în funcție de (x/r_0) , din fig.(10.40). Să rezolvăm ecuația (10.100) în cazul când $\Delta V(x)$ are o valoare cunoscută E_1 , reprezentând energia totală, cinetică și potențială, a sistemului format din doi atomi. Deci

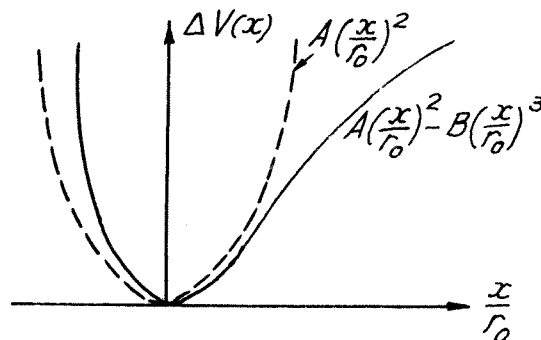


Fig. 10.40

$$(10.101) \quad E_1 = A \left(\frac{x}{r_0} \right)^2 - B \left(\frac{x}{r_0} \right)^3,$$

în care am introdus pentru ușurință scrierii, constantele $A = 36\varepsilon$ și $B = 252\varepsilon$. Putem rezolva această ecuație prin aproximări succesive. Întâi neglijăm complet termenul al doilea, $B\left(\frac{x}{r_0}\right)^3$, și obținem

$$(10.102) \quad \left(\frac{x}{r_0} \right)^2 = \frac{E_1}{A} \text{ sau } \left(\frac{x}{r_0} \right)_+ = +\sqrt{\frac{E_1}{A}} \quad \text{și} \quad \left(\frac{x}{r_0} \right)_- = -\sqrt{\frac{E_1}{A}}.$$

Acum putem utiliza această valoare aproximativă a lui x/r_0 pentru a calcula al doilea termen. Scriem ecuația completă sub forma

$$(10.103) \quad E_1 = A \left(\frac{x}{r_0} \right)^2 - B \left(\frac{x}{r_0} \right)^2 \left(\frac{X}{r_0} \right) = \left(\frac{x}{r_0} \right)^2 \left[A - B \left(\frac{X}{r_0} \right) \right].$$

De aici

$$\left(\frac{\mathbf{x}}{\mathbf{r}_0}\right)^2 = \frac{\mathbf{E}_1}{\mathbf{A} - \mathbf{B}\left(\frac{\mathbf{x}}{\mathbf{r}_0}\right)} = \frac{\mathbf{E}_1}{\mathbf{A} + \mathbf{B}\sqrt{\frac{\mathbf{E}_1}{\mathbf{A}}}}$$

și cele două soluții ale ecuației sunt

$$(10.104) \quad \left(\frac{x}{r_0} \right)_{1,2} = + \left(\frac{E_1}{A \mp B \sqrt{\frac{E_1}{A}}} \right)^{1/2} \quad \text{si} \quad \left(\frac{x}{r_0} \right)_{3,4} = \left(\frac{E_1}{A \mp B \sqrt{\frac{E_1}{A}}} \right)^{1/2}$$

Utilizând dezvoltarea în serie

$$\frac{1}{1 \pm x} = 1 \mp \frac{1}{2}x + \dots$$

rezultă

$$(10.105) \quad \left(\frac{x}{r_0} \right)_{1,2} = \left(\frac{E_1}{A} \right)^{1/2} \left(\frac{1}{1 + B \left(\frac{E_1}{A} \right)^{1/2}} \right)^{1/2} = \left(\frac{E_1}{A} \right)^{1/2} \frac{1}{\sqrt{1 + B \frac{E_1^{1/2}}{A^{3/2}}}} =$$

$$= \left(\frac{E_1}{A} \right)^{1/2} \left[1 \pm \frac{1}{2} B \frac{E_1^{1/2}}{A^{3/2}} + \dots \right]$$

și analog

$$(10.106) \quad \left(\frac{x}{r_0} \right)_{3,4} = - \left(\frac{E_1}{A} \right)^{1/2} \left[1 \pm \frac{1}{2} B \frac{E_1^{1/2}}{A^{3/2}} + \dots \right].$$

După cum se vede și din figura 10.40, ecuația (10.101) este satisfăcută numai de soluțiile

$$(10.107) \quad \left(\frac{x}{r_0} \right)_1 = \left(\frac{E_1}{A} \right)^{1/2} \left[1 + B \frac{1}{2} \frac{E_1^{1/2}}{A^{3/2}} + \dots \right] \text{ si}$$

$$(10.108) \quad \left(\frac{\mathbf{x}}{r_0}\right)_2 = -\left(\frac{E_1}{A}\right)^{1/2} \left[1 - B \frac{1}{2} \frac{E_1^{1/2}}{A^{3/2}} + \dots \right]$$

Valoarea lor medie se află prin adunare și împărțire la 2:

$$(10.109) \quad \left(\frac{\bar{x}}{r_0} \right) = \frac{1}{2} \left[\left(\frac{x}{r_0} \right)_1 + \left(\frac{x}{r_0} \right)_2 \right] = \frac{1}{2} \left[\left(\frac{E_1}{A} \right)^{1/2} \cdot \frac{B \cdot E_1^{1/2}}{A^{3/2}} \right] = \frac{B \cdot E_1}{2A^2}.$$

Introducând aici valorile lui A și B găsim pentru \bar{x} expresia

$$(10.110) \quad \left(\frac{\bar{x}}{r_0} \right) = \frac{252 \varepsilon E_1}{2(36\varepsilon)^2} = \frac{7}{72} \cdot \frac{E_1}{\varepsilon}.$$

Aceasta reprezintă, cum am mai precizat, dilatarea totală corespunzătoare energiei E_1 a atomilor care oscilează. Coeficientul de dilatare liniară α este dat de derivata în raport cu temperatura a acestei mărimi

$$(10.111) \quad \alpha = \frac{7}{72\epsilon} \cdot \frac{dE_1}{dT}.$$

Deoarece E_1 este energia unui singur atom care oscilează pe o singură direcție, iar căldura molară la presiune constantă C_p este $C_p = \frac{dE}{dT}$, în care E este energia medie a N_A atomi, care oscilează pe trei direcții, rezultă că $E_1 = \frac{E}{3N_A}$ și $C_p = 3N_A \frac{dE_1}{dT}$. Ca urmare coeficientul de dilatare capătă expresia

$$(10.112) \quad \alpha = \frac{7}{72\epsilon} \cdot \frac{C_p}{3N_A}.$$

Introducând valorile cunoscute ale lui ϵ și C_p , obținem pentru α o valoare de același ordin de mărime ca cele măsurate în cazul diferitelor substanțe solide. Într-adevăr, la temperaturi ridicate, unde este valabilă legea clasică a echipartiției energiei pe grade de libertate, căldura molară a corpuri solide este aproximativ egală cu $3R$ (legea Dulong-Petit), iar diferența dintre C_p și C_v este mică. Înlocuind valoarea lui $C_p \approx C_v \approx 3N_A \cdot k$, rezultă pentru α expresia

$$(10.113) \quad \alpha \approx \frac{7}{72\epsilon} \cdot \frac{3N_A k}{3N_A} \equiv \frac{7}{72} \cdot \frac{k}{\epsilon} \equiv \frac{1}{10} \frac{k}{\epsilon}.$$

Această relație este valabilă în cazul cristalelor moleculare, pentru care este valabil potențialul Lennard-Jones, dar și în cazul metalelor, deși nu avem o justificare în favoarea utilizării acestui tip de potențial. Erorile care se fac nu sunt prea mari dacă urmărim numai evaluarea ordinului de mărime pentru α . Am văzut că între raportul k/ϵ și temperatura de topire există relația empirică aproximativă, $k/\epsilon \approx 1/2T_g$, iar temperatura de topire pentru majoritatea metalelor este de ordinul 1000-2000 K, deci coeficientul de dilatare liniară este $\alpha \approx 10^{-5} K^{-1}$. Pentru argon $\frac{k}{\epsilon} \approx \frac{1}{150}$, de unde rezultă $\alpha \approx 10^{-3} K^{-1}$. Ambele valori ale lui α , pentru argon și pentru metale, concordă ca ordin de mărime cu valorile determinate experimental. Aceasta este o dovedă că am identificat corect mecanismul dilatării termice a solidelor. Pentru un calcul riguros trebuie însă luate în considerare și alte aspecte.

Datorită anizotropiei cristalelor, coeficientul de dilatare liniară α poate să varieze cu direcția cristalografică. Astfel, dacă unui monocristal i se dă formă de sferă, după încălzire el devine un elipsoid cu trei axe de simetrie care sunt determinate de axele principale ale cristalului. Coeficienții de dilatare termică după cele trei axe cristalografice se numesc

coeficienți principali de dilatare (α_1 , α_2 , α_3), iar coeficientul de dilatare în volum este $\gamma = \alpha_1 + \alpha_2 + \alpha_3$. În cazul cristalelor cu simetrie cubică, $\alpha_1 = \alpha_2 = \alpha_3 = \alpha$ și $\gamma = 3\alpha$.

Coeficienții de dilatare termică depind de temperatură în același mod ca și capacitatea calorică; la temperaturi joase α și γ scad cu micșorarea temperaturii proporțional cu T^3 și tind la zero dacă $T \rightarrow 0K$. Aceasta se explică prin faptul că atât dilatarea termică cât și capacitatea calorică se explică prin oscilațiile anarmonice ale atomilor.

Conform legii lui Grüneisen, pentru o anumită substanță raportul dintre coeficientul de dilatare termică și căldura atomică a solidului este o mărime constantă, ce nu depinde de temperatură

$$\frac{\gamma}{C} = \text{const.}$$

Cu titlu informativ, dăm câteva exemple de valori ale coeficientului de dilatare liniară: pentru Al, $\alpha = 26 \cdot 10^{-6} K^{-1}$, pentru Fe, $\alpha = 12 \cdot 10^{-6} K^{-1}$. Există și substanțe cu un coeficient de dilatare foarte mic (de exemplu pentru cuart, $\alpha = 0,5 \cdot 10^{-6} K^{-1}$ iar pentru aliajul invar (36% Ni-Fe), $\alpha = 1 \cdot 10^{-6} K^{-1}$.

10.11. Proprietăți mecanice ale solidelor

10.11.1. Generalități

Proprietățile mecanice - deformare, întindere, comprimare, duritate, ductilitate, rezistență la uzură - pot fi considerate cele mai caracteristice proprietăți ale solidelor. Aceste proprietăți sunt deosebit de importante în aplicații industriale, în construcții de clădiri, de instalații etc.; este semnificativ faptul că denumirea unora dintre perioadele de referință în istoria civilizației reflectă denumirea solidelor ale căror proprietăți mecanice au marcat un salt definitiv în dezvoltarea omenirii - epoca de piatră, epoca bronzului, epoca fierului.

Deformarea unui solid reprezintă schimbarea dimensiunilor sale și deci a volumului, însotită în cele mai multe cazuri și de o schimbare a formei, produsă de acțiuni mecanice exterioare (tractiune, comprimare, forfecare, lovire, torsion), de o schimbare a temperaturii corpului (dilatare, v. § 10.10), dar și de acțiuni electrice, magnetice (electrostrictiune, magnetostictiune), etc. În anumite situații (compresie triaxială sau hidrostatică) nu se schimbă forma corpului solid.

În timpul deformării, particulele din nodurile rețelei cristaline sunt deplasate din pozițiile de echilibru inițiale în noi poziții. Acestei deplasări î se opun forțele de interacțiune între particule; în corpul deformat se dezvoltă *forțe interne elastice* care echilibrează forțele externe aplicate corpului.

10.11.2. Elasticitatea solidelor. Legea lui Hooke

Sub acțiunea unor forțe exterioare corpurile solide suferă *deformații elastice*, care dispar după suprimarea forțelor care le-au produs și *deformații plastice*, care se mențin parțial și după suprimarea forțelor. Indiferent de modul cum sunt supuse solicitărilor corpurile solide cristaline, deformările care apar se pot reduce la două tipuri de deformații elementare: *tracțiune sau întindere (comprimare) și forfecare sau alunecare*, la care se pot reduce atât încovoierea cât și torsionea.

Tensiunea σ (*efortul unitar*) este mărimea fizică egală cu forța elastică \vec{F}_{el} pe unitatea de arie a secțiunii transversale S a corpului:

$$(11.114) \quad \sigma = \frac{dF_{el}}{dS},$$

iar dacă forța aplicată este constantă pe întreaga suprafață $\sigma = F/S$.

Tensiunea este numită *normală* dacă forța dF_{el} este perpendiculară pe suprafața dS și *tangențială* sau de *forfecare*, dacă forța este tangentă la suprafață.

De obicei deformarea se exprimă în unități relative,

$$(11.115) \quad \varepsilon = \frac{x_1 - x_0}{x_0} = \frac{\Delta x}{x_0},$$

deformația relativă (convențională) ε fiind definită aici în mod convențional ca raportul dintre deformația absolută Δx (alungirea unui fir de exemplu) și valoarea inițială x_0 (lungimea inițială a firului) ce caracterizează dimensiunile sau forma corpului.

Deformația reală se calculează luând la numitor nu valoarea inițială constantă x_0 ci mărimea variabilă x ce se modifică în timpul deformării:

$$(11.116) \quad e = \int_{x_0}^{x_1} \frac{dx}{x} = \ln \frac{x_1}{x_0} = \ln(1 + \varepsilon)$$

deoarece $x_1/x_0 = 1 + \varepsilon$. Pentru deformații relative mici

$$(11.117) \quad \ln(1 + \varepsilon) = \varepsilon - \frac{\varepsilon^2}{2} + \frac{\varepsilon^3}{3} - \dots \approx \varepsilon$$

deci în cazul deformațiilor mici se poate considera că $\varepsilon = e$.

Legea lui Hooke (Robert Hooke 1635-1703) arată că într-o deformare elastică tensiunea σ este proporțională cu alungirea relativă,

$$(11.118) \quad \sigma = K\varepsilon$$

unde K este modulul de elasticitate (sau constanta de rigiditate elastică), egal cu tensiunea ce se dezvoltă pentru o deformare relativă egală cu unitatea. Mărimea $a = 1/K$ se numește deformabilitatea corpului sau constanta de flexibilitate. Legea lui Hooke este valabilă numai între anumite limite definite (σ în interiorul domeniului de proporționalitate).

a. Întinderea (comprimarea)

În cazul întinderii, o bară de lungime inițială l_0 și secțiune transversală S_0 se va lungi cu $l = l_1 - l_0$ sub acțiunea unei forțe normale constante F , în direcția de acțiune a forței și se va contracta în direcție perpendiculară (fig.1). Alungirea relativă sau deformarea liniară specifică medie este prin convenție

$$(10.119) \quad \varepsilon = \frac{l_1 - l_0}{l_0} = \frac{1}{l_0} \int_{l_0}^l dl$$

dl fiind deformația elementară absolută.

Considerând axa de întindere Ox și $x_1 = l_1$, $x_0 = l_0$, $\varepsilon_x = \varepsilon$, legea lui Hooke se scrie:

$$(10.120) \quad \sigma_x = E \cdot \varepsilon_x,$$

unde E poartă numele de *modul de elasticitate longitudinal* sau *modulul lui Young*, dependent de natura materialului.

Alungirea barei pe direcția Ox este însoțită de contracția transversală a barei pe direcțiile perpendiculare Oy și Oz (Fig. 10.41). Raportul dintre contracția transversală ($\varepsilon_y = \varepsilon_z = \varepsilon_T$) și deformația longitudinală (ε_x) este o mărime constantă, μ , caracteristică materialului respectiv, numită *coeficientul lui Poisson* (coeficientul de contracție transversală):

$$(10.121) \quad \mu = \frac{\varepsilon_T}{\varepsilon_x} = \frac{\varepsilon_y}{\varepsilon_x} = \frac{\varepsilon_z}{\varepsilon_x}, \text{ iar } \varepsilon_y = \varepsilon_z = -\mu \varepsilon_x = -\mu \frac{\sigma_x}{E}$$

în cazul mediilor elastice și izotrope $\mu \approx 0,25$, pentru materiale metalice policristaline $\mu \approx 0,33$ etc. După cum se poate vedea din relația (10.121), în timpul întinderii unei bare, contracțiile transversale sunt proporționale cu alungirea relativă ε_x .

Deformarea volumică relativă a barei va fi

$$(10.122) \quad \varepsilon_v = \frac{x_1 y_1 z_1 - x_0 y_0 z_0}{x_0 y_0 z_0} = \frac{x_0 (1 + \varepsilon_x) y_0 (1 - \varepsilon_y) z_0 (1 - \varepsilon_z) - x_0 y_0 z_0}{x_0 y_0 z_0} = \\ = (1 + \varepsilon_x)(1 - \varepsilon_y)(1 - \varepsilon_z) - 1 = (1 + \varepsilon_x)(1 - \mu \varepsilon_x)^2 - 1,$$

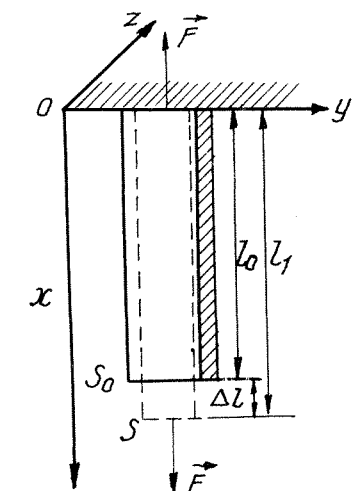


Fig. 10.41

unde s-a ținut cont de relațiile de definiție de forma (10.119) și de (10.121), iar x_1, y_1, z_1 , reprezintă dimensiunile barei solicitate la întindere și x_0, y_0, z_0 - dimensiunile inițiale ale barei nedeformate. Dacă ținem cont de faptul că $\varepsilon_x = \sigma/E$ este în general foarte mic (E are valori de ordinul 10^{11} N/m^2 la metale, după cum se vede din tabelul 10.8), putem neglijă puterile lui ε_x și obținem

$$(10.123) \quad \varepsilon_v \equiv \varepsilon_x(1 - 2\mu).$$

Volumul final al barei este

$$(10.124) \quad V_1 = V_0 + \varepsilon_v \cdot V_0 = V_0 + (1 - 2\mu) \cdot \frac{\sigma_x}{E} \cdot V_0 = V_0 + \Delta V,$$

fiind mai mare decât cel inițial deoarece $\mu < 0,5$ ceea ce se confirmă experimental.

TABELUL 10.8
Modulul de elasticitate la metale

Tipul de rețea	Metalul	Modul de elasticitate longitudinală $E(10^9 \text{ N/m}^2)$		Modul de elasticitate transversală $G(10^9 \text{ N/m}^2)$	
		Monocristale	Policristale	Monocristale	Policristale
c.f.c.	Aluminiu	75,537	70,632	28,449	26,487
	Cupru	190,314	118,701	75,537	43,164
c.v.c.	Fier	284,490	203,934	115,758	82,404
h.c.	Magneziu	50,423	44,143	17,850	17,658
	Zinc	123,900	98,100	48,755	26,297

b. *Deformația unghiulară, de forfecare sau de alunecare* se manifestă prin modificarea unghiurilor dintre elementele liniare ale unui corp (fig.10.42). Notând cu α (unghi de alunecare) valoarea unghiulară cu care se modifică unghiul drept, *lunecarea specifică* se definește prin relația

$$(10.125) \quad \gamma = \frac{\Delta l}{l_0} = \tan \alpha$$

Una dintre direcțiile de forfecare se consideră, prin convenție, pozitivă și cea opusă - negativă.

Pentru deformări mici $\tan \alpha \approx \alpha$ și legea lui Hooke se scrie

$$(10.126) \quad \tau = G \cdot \gamma,$$

unde G este modulul de forfecare iar τ este tensiunea aplicată. Deformația

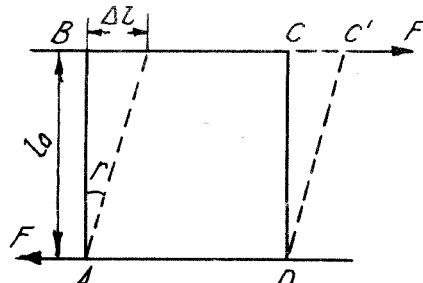


Fig. 10.42

de forfecare poate fi privită ca o întindere pe o diagonală (AC) și o comprimare pe celalătă, tensiunile de întindere și de comprimare fiind, respectiv $+\tau$ și $-\tau$; se pot aplica apoi legile prezentate în paragraful anterior. Proiecția forțelor F pe direcția AC este $2F \cdot \cos 45^\circ$, iar pe direcția BD este $(-2F \cdot \cos 45^\circ)$. Rezultanta lor este $\pm F\sqrt{2}$. Aria secțiunii diagonale la care se raportează aceste forțe este $S_0\sqrt{2}$, de unde rezultă

$$(10.127) \quad \sigma = \frac{\pm F\sqrt{2}}{S_0\sqrt{2}} = \pm \frac{F}{S_0} = \pm \tau.$$

Alungirea diagonalei AC este $\pm \Delta l \cdot \cos 45^\circ = \pm \Delta l \cdot \sqrt{2}/2$, iar alungirea ei relativă este:

$$(10.128) \quad \varepsilon_{AC} = \pm \frac{\Delta l \cdot \sqrt{2}/2}{l_0\sqrt{2}} = \pm \frac{\Delta l}{2l_0} = \pm \frac{\gamma}{2}.$$

Această alungire a diagonalei AC se compune din alungirea sub acțiunea efortului unitar $\sigma = \tau$ și din cea datorită comprimării transversale (Poisson) cu $\sigma = -\tau$ pe direcția BD, dată de relația

$$(10.129) \quad \frac{\Delta l_\perp}{l_{0\perp}} = -\mu \cdot \frac{\sigma}{E} = -\mu \cdot \frac{\tau}{E},$$

cu semn schimbat. Rezultă că alungirea relativă a diagonalei AC se poate scrie

$$\varepsilon_{AC} = \frac{\gamma}{2} = \frac{\tau}{E} + \frac{\mu\tau}{E} = (1 + \mu)\frac{\tau}{E}.$$

Întrucât $\tau = G\gamma$, rezultă că

$$(10.130) \quad \frac{\tau}{2G} = (1 + \mu)\frac{\tau}{E} \quad \text{sau} \quad G = \frac{E}{2(1 + \mu)}.$$

c. Întinderea sau comprimarea pe toate trei direcțiile

Această stare de deformare a solidelor se poate obține sub acțiunea unei presiuni hidrostatice. Admitem că în întreg corpul presiunea (compreziunea) este omogenă, toate părțile corpului fiind în echilibru static. Să alegem un punct 0 în interiorul solidului și să construim un cub infinit mic cu muchiile paralele cu trei axe reciproc perpendiculare (O_x, O_y, O_z), aşa că în figura 10.43. Să indicăm prin cifrele 1,2,3 axele sistemului de coordonate, pentru ușurința notășilor.

La echilibru, forțele ce se aplică fețelor opuse sunt egale, așa încât este suficient să examinăm forțele ce acționează în direcția celor trei axe de coordonate.

Putem descompune fiecare tensiune ce acționează asupra a trei fețe neparalele ale cubului într-o componentă normală și două tangențiale, adică situate în una din fețele considerate.

Notăm cu σ_{ij} componenta tensiunii aplicate în direcția i pe față perpendiculară la axa j . Mărurile $\sigma_{11}, \sigma_{22}, \sigma_{33}$ sunt tensiuni normale de întindere sau de compresie, iar cele de tipul $\sigma_{12}, \sigma_{21}, \sigma_{32}$ sunt tensiuni tangențiale (de alunecare). Astfel, într-un punct starea de tensiune e caracterizată prin 9 componente σ_{ij} , care sunt componentele unui tensor de ordinul doi, tensorul tensiunilor mecanice

$$(10.131) \quad T_0 = \begin{vmatrix} \sigma_{11} & \sigma_{12} & \sigma_{13} \\ \sigma_{21} & \sigma_{22} & \sigma_{23} \\ \sigma_{31} & \sigma_{32} & \sigma_{33} \end{vmatrix}$$

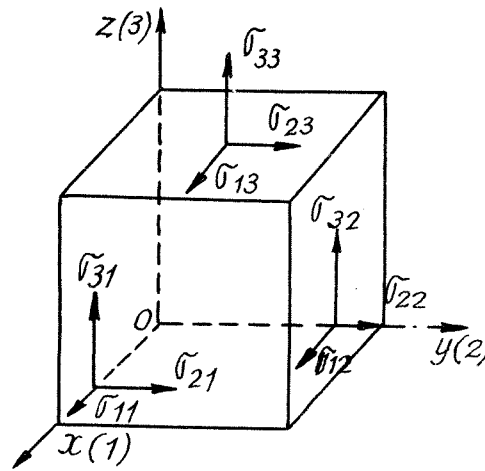


Fig. 10.43

Cubul elementar fiind în stare de echilibru și tensiunea fiind omogenă, examinând momentele de rotație în jurul unei axe oarecare se poate arăta că $\sigma_{23} = \sigma_{32}$, $\sigma_{31} = \sigma_{13}$ și $\sigma_{12} = \sigma_{21}$. Rezultă că din cele nouă componente numai șase sunt independente și deci tensorul este simetric, componente sale simetrice în raport cu diagonala principală fiind egale între ele ($\sigma_{ij} = \sigma_{ji}$).

Coeficientul de flexibilitate se definește ca fiind raportul între tensiunile tangențiale maxime și tensiunile normale maxime. Cu cât acest coeficient este mai mic, cu atât corpul e mai rigid.

Tensiunile transversale pot produce deformarea plastică, iar cele normale produc ruptura legăturilor interatomice, conducând la fragilitatea solidului.

10.11.3. Curbe tensiune - deformare

Comportarea unui material sub acțiunea unor forțe exterioare poate fi descrisă cu ajutorul curbelor tensiune-deformație, curbe caracteisticice care traduc relația ce există între efortul unitar (tensiunea unitară) ce apare în solid sub acțiunea unei forțe exterioare și deformația relativă ϵ .

În figura 10.44 se reprezintă o curbă tensiune-deformație obținută la tracțiunea uniaxială a unei epruvete sub formă de bară cilindrică.

Tensiunea corespunzătoare punctului A se numește *limită de proporționalitate*, σ_p și este tensiunea până la care între tensiune și deformație există proporționalitate, conform legii lui Hooke (10.120).

Tensiunea corespunzătoare punctului B se numește *limită de elasticitate*, σ_e , comportarea materialului până în acest punct fiind încă elastică. Limita de elasticitate admisă în tehnica corespunde unei deformații

permanente de 0,02% și se notează cu $\sigma_{0,02}$. În continuare, alungirea începe să crească foarte rapid chiar pentru creșteri mici ale efortului.

Punctul C îi corespunde tensiunea σ_c , la care practic începe deformarea plastică (curgerea) materialului; σ_c poartă numele de *tensiune de curgere* sau *limită de curgere aparentă* (σ_c se definește în tehnica prin tensiunea necesară pentru a produce o deformare permanentă egală cu 0,2%).

Între C și D (la materiale cum ar fi oțelurile cu conținut scăzut de carbon) curba caracteristică are un traseu aproape orizontal, uneori sinuos, portiunea CD fiind numită *palier de curgere* (zonă de fluiditate). Portiunea DE a curbei, crescătoare, se numește *zonă de întărire*. Tensiunea maximă σ_r corespunzătoare punctului E se numește *rezistență de rupere*. În această zonă epruveta se subțiază mult, se produce o gătitură a ei și apoi se rupe. La deformări mai mari decât cele corespunzătoare punctului E, se produce o scădere aparentă a efortului unitar, calculat în raport cu secțiunea inițială, S_0 a epruvei nedeformate. În realitate, în timpul întinderii epruvetei aceasta se subțiază și își micșorează aria secțiunii transversale. Dacă se calculează efortul unitar ($\sigma' = F/S'$) în funcție de noua secțiune (S') a epruvei, se obține curba punctată HG.

Când se aplică o forță de întindere mare, astfel încât efortul unitar să depășească limita de elasticitate a materialului respectiv ($\sigma > \sigma_e$), după încetarea acțiunii exterioare se produce o deformație plastică; epruveta nu revine în starea inițială urmând curba HCBAO și după dreapta HH' reprezentată punctat în figura 10.44, epruveta păstrând o alungire relativă remanentă $\Delta l/l_0 = |OH'|$.

În funcție de aspectul curbei tensiune-deformație există mai multe categorii de materiale: *materiale elastice* - în cazul cărora zona deformațiilor elastice este mare, *materiale plastice* - în care predomină regiunea deformațiilor plastice, *materiale ductile* sau tenace (cum ar fi cuprul, aluminiul,

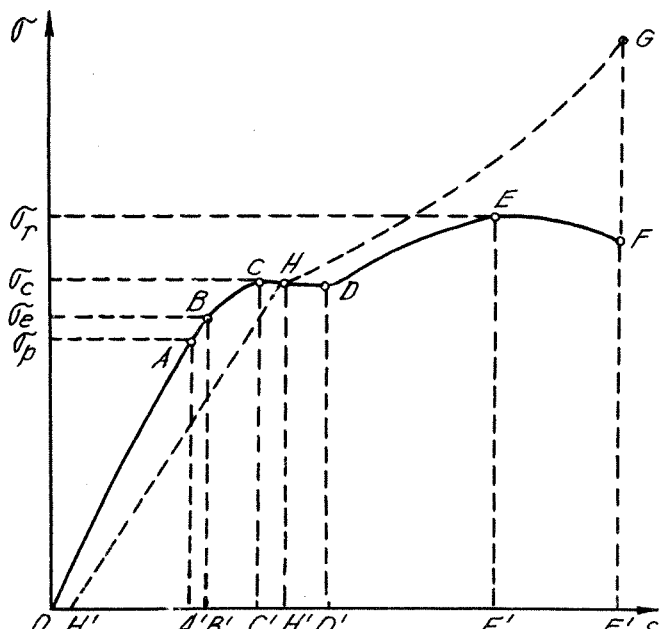


Fig. 10.44

oțelul) care prezintă deformații plastice mari înainte de rupere, *materiale fragile* sau casante (sticla, betonul, fonta) - la care deformația plastică ce precede ruperea este foarte mică, curba tensiune - deformație terminându-se în zona AB prin rupere, iar zona BE lipsind, *materiale vâscoase* - care prezintă o zonă mare de curgere (fluiditate) înainte de rupere, etc.

Proprietățile mecanice ale materialelor depind de natura materialului, de condițiile de preparare și de condițiile în care se fac determinările (presiune, temperatură etc.).

10.11.4. Interpretarea cinetico-moleculară a deformațiilor mecanice ale solidelor

Comportarea elastică sau plastică a unui solid este determinată de interacțiunea dintre atomii rețelei cristaline, situați la anumite distanțe în rețea. Când un cristal este supus unei tensiuni externe, distanțele dintre atomi devin mai mari și atomii se deplasează din pozițiile lor de echilibru din cristal. Aceasta distrug echilibrul dintre forțele de respingere și cele de atracție ce caracterizează starea de echilibru a atomilor în rețea și conduce la apariția unor forțe interne ce tend să readucă atomii spre pozițiile lor inițiale de echilibru. Valoarea acestor forțe, corespunzătoare unității de suprafață a secțiunii transversale a cristalului se numește efort unitar.

Să prezentăm în figura 10.45 energia de interacțiune $V(r)$ a două particule (A și B) din rețeaua cristalină a solidului în funcție de distanța r dintre ele. Când particula B este deplasată cu o distanță x față de poziția sa de echilibru, adică atunci când distanța dintre particule crește de la r_0 la $r = r_0 + x$, energia particulelor crește și ea. Se poate calcula modificarea energiei potențiale $V(x) = V(r) - V(r_0)$ dacă se dezvoltă $V(r)$ în serie Taylor de puteri ale lui x

$$(10.132) \quad V(x) = \left(\frac{\partial V}{\partial r}\right)_0 x + \frac{1}{2} \left(\frac{\partial^2 V}{\partial r^2}\right)_0 x^2 + \frac{1}{6} \left(\frac{\partial^3 V}{\partial r^3}\right)_0 x^3 + \dots$$

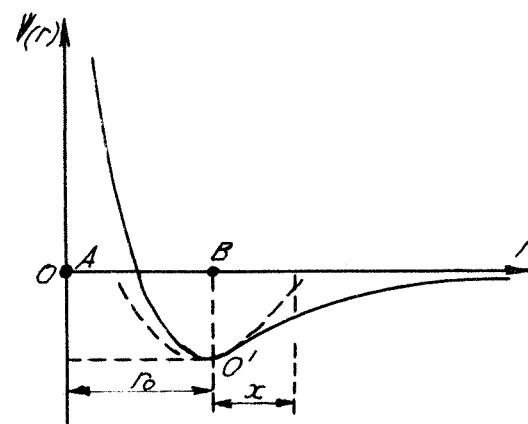


Fig. 10.45

Menținând numai termenul de ordinul doi al seriei și neglijându-i pe cei de ordin superior și ținând cont că în punctul O' (de minim al energiei potențiale) $(\partial V / \partial r)_0 = 0$, obținem:

$$(10.133) \quad V(x) \approx \frac{1}{2} \left(\frac{\partial^2 V}{\partial r^2}\right)_0 x^2 = \frac{1}{2} \beta x^2$$

unde β reprezintă rigiditatea corpului. Grafic, această dependență aproximativă, reprezentată de ecuația (10.133) este o parabolă, desenată punctat în fig. 10.45. Forța ce apare între particulele A și B atunci când distanța între ele se schimbă cu x (datorită deformării corpului) este

$$(10.134) \quad f = -\frac{\partial V(x)}{\partial x} = -\beta \cdot x.$$

Observăm că forța f depinde linear de x și este îndreptată către poziția de echilibru, după cum indică semnul -. Se știe că un corp care este supus acțiunii unei astfel de forțe oscilează armonic; o astfel de forță este numită armonică, iar relația (10.134) se numește aproximarea armonică.

Considerăm că o sarcină F se aplică unei bare cu secțiunea transversală S și lungimea L . Această forță schimbă cu x distanța dintre două plane atomice vecine A și B, producând deci o alungire a barei cu ΔL (fig. 10.46). Prin reacție, forța F va fi echilibrată de o forță internă

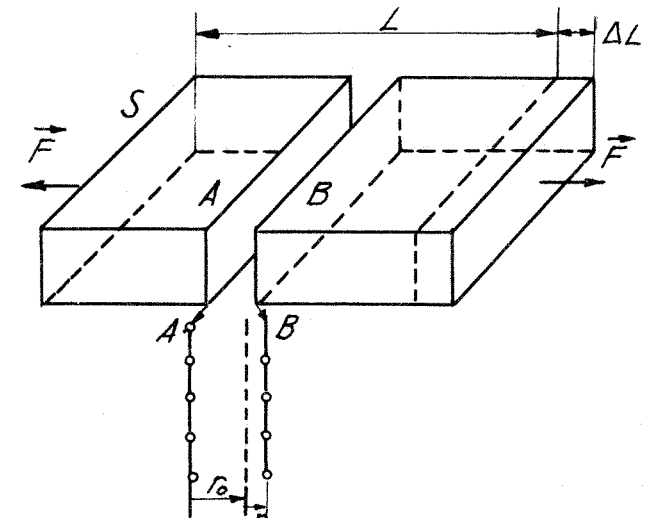


Fig. 10.46

$$(10.135) \quad F_{int} = Nf = N\beta x$$

unde N este numărul de particule din stratul atomic de aria S . Tensiunea care apare în bara alungită va fi $\sigma = F_{int}/S = N\beta x/S = cx$, unde $c = N\beta/S$. Înmulțind și împărțind partea dreaptă a acestei relații cu $r_0 =$ distanța între planele atomice, obținem

$$(10.136) \quad \sigma = c \cdot r_0 \frac{x_0}{r_0} = E \cdot \epsilon \quad \text{unde} \quad E = \frac{N}{S} \beta r_0.$$

În această relație E este modulul de elasticitate sau modulul Young, iar $\varepsilon = x/r_0$ reprezintă schimbarea relativă a parametrului rețelei cristaline în direcția forței externe \vec{F} . Notând cu N' - numărul de straturi atomice conținute în probă de lungime L , obținem:

$$(10.137) \quad \varepsilon = \frac{x}{r_0} \cdot \frac{N'}{N} = \frac{\Delta L}{L},$$

adică ε reprezintă și alungirea relativă a probei sub acțiunea unei tracțiuni externe.

Din forma (10.136) rezultă că atât timp cât rămâne valabilă aproximarea armonică (adică atât timp cât forțele ce acționează între particulele corpului ca rezultat al deformării român funcții liniare de distanță dintre particule), tensiunea σ ce apare în corp va rămâne proporțională cu deformarea relativă a corpului. Se respectă în aceste condiții legea Hooke, $\sigma = E \cdot \varepsilon$. Subliniem faptul că legea Hooke este valabilă numai atât timp cât este valabilă aproximarea armonică, adică numai pentru deformări relative destul de mici (v. și § 10.10.3).

Semnificația fizică a modulului de elasticitate este destul de evidentă din formula (10.136): modulul de elasticitate este numeric egal cu tensiunea care ar fi capabilă să producă o alungire $\Delta L = L$ a probei, cu condiția ca legea Hooke să rămână valabilă și proba să nu fie distrusă. De fapt, nici un material real, cu excepția cauciucului, nu poate suferi astfel de deformări.

Modulul de elasticitate al solidelor este totuși foarte mare (de ordinul 10^{10} - 10^{11} Pa) datorită faptului că forțele de legătură sunt foarte puternice în solide. Pentru unele cristale valoarea modulului de elasticitate depinde puternic de direcția în care este deformată rețeaua - spunem că aceste cristale sunt anizotrope.

În toate cazurile când tensiunile depășesc limita de proporționalitate, pot exista deformări reziduale ale cristalelor. Când planele atomice sunt trase destul de departe unele de altele, astfel încât forțele de coeziune să nu mai poată compensa tensiunea externă, cristalul se va rupe. Defectele cristaline ale rețelei favorizează acest efect, *ruperea* având loc în special în planele cu dislocații.

Deformarea plastică poate să rezulte numai în urma unor tensiuni de forfecare care sunt capabile să deplaseze unele părți ale cristalului în raport cu altele, fără a distruga legăturile dintre ele.

O astfel de deplasare a planelor cristaline, numită alunecare, stă la baza proceselor de deformare plastică (curgere) a materialelor cristaline. În Fig. 10.47 se arată schematic cum se poate produce deformarea reziduală a unei rețele cristaline plane sub acțiunea unei forțe de forfecare F . Atât timp cât limita de elasticitate nu este depășită (fig. 10.47.b) cristalul suferă deformări elastice, cu tensiunea tangențială τ crescând proporțional cu deformarea relativă de forfecare γ (conform relației $\tau = G \cdot \gamma$, G fiind modulul de

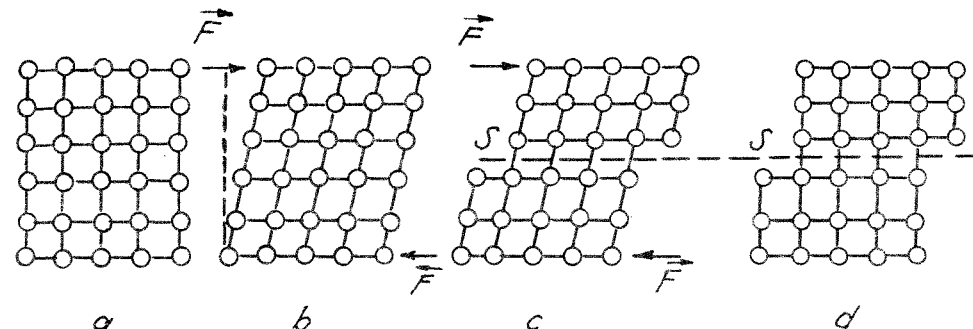


Fig. 10.47

forfecare). După ce cristalul este scos de sub acțiunea sarcinii externe atomii se reîntorc în pozițiile lor inițiale. Când se depășește limita de elasticitate, o parte a cristalului se deplasează în raport cu alta în lungul unor plane cristaline, S , numite plane de alunecare (aşa ca în fig. 10.47.c și d). Deplasarea se poate face cu mai multe constante de retea, aşa încât atunci când se înlătură sarcina externă, tensiunile elastice din retea nu mai pot reduce planele atomice în poziția inițială și o parte a cristalului rămâne deplasată în raport cu celalătă. Astfel de deplasări mici, ireversibile, care au loc în lungul a numeroase plane de alunecare se sumează și produc o deformare reziduală a cristalului în ansamblu.

10.12. Solide necristaline

10.12.1. Proprietăți generale și structura substanțelor amorf

Substanțele amorf nu au structură cristalină în stare condensată dar, spre deosebire de lichide, posedă elasticitate a formei (au modulul de forfecare diferit de zero). De exemplu sulful, sticla, glicerina, seleniul și mulți polimeri pot exista în stare amorfă.

Unele lichide pot trece în stare de solid amorf prin procesul de vitrificare; o astfel de tranziție a unei substanțe din stare de lichid în stare de solid amorf printre-o schimbare a temperaturii sau presiunii se numește *vitrificare structurală*. În timpul procesului de vitrificare se modifică volumul substanței, entalpia ca și alte proprietăți (mecanice, electrice).

Într-un lichid, fiecarei temperaturi îi corespunde o anumită structură moleculară de echilibru. Dacă se schimbă temperatura, structura lichidului se rearanjează și tinde la structura de echilibru corespunzătoare noii temperaturi. Viteza acestei rearanjări este determinată de timpul de

relaxare τ (v. și § 11.1.3). La temperaturi mari, τ este mic și structura lichidului nu diferă practic de structura de echilibru. Modificarea proprietăților (pentru moment, volumul) este dată de modificarea aranjării reciproce a particulelor și de schimbarea distanței între ele (porțiunea AA' din fig. 10.48). În timpul răcirii substanței cu o viteza oarecare finită, τ crește și schimbările structurale încep să rămână în urma schimbării temperaturii (să întârzie), structura nemaifiind o structură de echilibru. Temperatura T_2 (în fig. 10.48) este limita superioară a regiunii de vitrificare. Sub o anumită temperatură, timpul de relaxare devine atât de lung încât nu mai există nici o schimbare a structurii. Această temperatură T_1 este limita inferioară de vitrificare. Sub temperatură T_1 substanța este în stare solidă (C'B în fig. 10.48). Substanțele amorfice în stare solidă se numesc substanțe vitroase sau sticle.

Vitrificarea și înmuierea (tranzitia de la starea de solid amorf la cea de lichid prin creșterea temperaturii) au loc într-un domeniu de temperatură destul de larg, care se poate întinde pe câteva zeci de grade. În mod convențional se caracterizează tranzitia printr-o singură temperatură, numită *temperatură de vitrificare* T_g sau *temperatură de înmuiere* T_g , care se selectează în mod arbitrar din intervalul de tranzitie. În schimbările de volum cercetate, aceste temperaturi sunt în general determinate prin intersecția porțiunilor liniare (BD și CA în fig. 10.48); dacă se cercetează modificarea capacității termice cu temperatura se folosește punctul de inflexiune al curbei $C_p(T)$.

La răcirea unei substanțe amorfice, proprietățile ei depind numai de temperatură și de viteza de răcire. Viteza de răcire w determină poziția regiunii de vitrificare pe scara temperaturilor (cu cât este mai mare w , cu atât va fi mai mare T_g).

În timpul încălzirii unei substanțe, caracterul schimbării proprietăților sale în regiunea de înmuiere depinde de preistoria ei termică (tratamentele termice influențează proprietățile probei în aceeași măsură ca și în starea solidă, dar se manifestă în principal în regiunea de înmuiere). La o încălzire oarecare dată, proprietățile probei depind nu numai de viteza de încălzire ci și de structura existentă în probă, adică de viteza de răcire anterioară, întrucât aceasta determină fixarea (congelarea) unei structuri.

Cu cât diferă mai mult structura fixată față de cea de echilibru (la o temperatură dată) cu atât este mai mare schimbarea "anomală" a

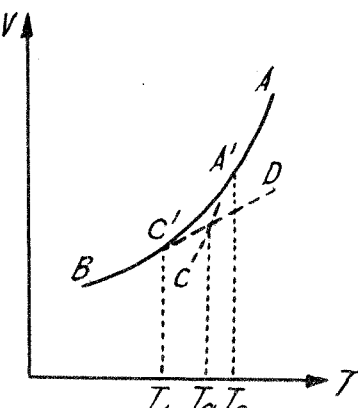


Fig. 10.48

proprietăților în regiunea de înmuiere. Dacă viteza de încălzire este mai mare decât viteza răciri anterioare a substanței, regiunea de înmuiere va fi mai mare decât regiunea de vitrificare. În regiunea de înmuiere proba are o structură mai densă decât cea de echilibru pentru temperatura dată. Relaxarea structurii conduce la existența mai multor particule slab legate, adică la o creștere pronunțată a volumului prin înmuiere.

10.12.2. Polimeri. Substanțe biologice

Un mare număr de substanțe organice sunt formate din molecule gigant care conțin mii de atomi, cu o structură particulară. De exemplu, moleculele materialelor plastice sau ale mătăsii artificiale constau în grupe identice de atomi aranjate într-un lanț (de unde și denumirea de "polimer liniar"). În interiorul unei molecule atomii au o anumită ordine de rază lungă.

Polimerii cu legături chimice laterale între lanțurile de molecule au proprietăți fizice complet diferite de cele ale polimerilor liniari, în care astfel de legături nu există. Polimerii cu legături chimice între lanțuri sunt sisteme rigide (de exemplu, materialele plastice utilizate pentru nasturi, ustensile de bucătărie etc.).

În timpul solidificării unei topituri sau direct în procesul de formare, lanțurile moleculare sunt aranjate paralel unele cu altele în grupe sau sisteme paralele; întrucât solidificarea începe simultan dintr-un număr foarte mare de centre, vor apărea numeroase astfel de grupe de molecule care se alipesc la un moment dat unele de altele. Apare astfel o îngreningătură de grupe de molecule gigant; semnificația lor poate fi înțeleasă prin analogie cu cristalitele ce le conține un solid policristalin. Totuși, există o deosebire mare între cele două tipuri de solide, întrucât gradul de ordine al unui astfel de grup de lanțuri paralele (constând din mii sau zeci de mii de lanțuri) poate să varieze foarte mult de la caz la caz. Există trei tipuri principale de ordine: a) de tip cristalin - în care axele lanțurilor de molecule formează o rețea perfectă și unghiurile azimutale sunt orientate, b) de tip cristalin dezordonat - în care axele lanțurilor formează o rețea, dar lanțurile nu sunt paralele ci orientate dezordonat și c) de tip amorf (sau lichid) - în care nu se formează o rețea și lipsește ordinea la distanță.

Cauciucul și polietilena sunt cei mai buni polimeri liniari cunoscuți. Alungirea sau întinderea foarte mare a acestora, cu extensiile de până la 1000% în unele polimeri naturali sau artificiali, se explică prin desfășurarea și alungirea grupelor de lanțuri moleculare.

Macromoleculele biologice sunt de asemenea molecule lineare, formate din sute de mii sau milioane de atomi, fiind responsabile pentru întreaga activitate vitală a organismelor vii. Nucleul unei celule conține molecula acidului desoxiribonucleic (ADN) care este purtător al eredității.

Aceste molecule există în forma de elice dublă. Radicalii moleculari (de patru tipuri) sunt fixați într-o ordine anumită la lanțul de bază în formă de elice. Informația genetică este codificată prin ordinea în care sunt fixați acești radicali în lungul lanțului de atomi; un astfel de lanț conține circa 10^6 radicali, numărul permutațiilor posibile fiind inimaginabil de mare. Este evident că o mare cantitate de informație este purtată în lungul unui lanț macromolecular și că nu numai particularitățile unei specii biologice dar și cele ale unui anumit individ pot fi codificate prin ordinea în care radicalii sunt fixați într-o moleculă ADN.

Molecula ADN este, în principiu, neordonată aşa încât structura ei nu poate fi pusă în evidență prin metode fizice (spectrale, tehnici de raze X), care pot pune în evidență doar grupe de atomi ordonate sau secvențe de atomi în structurile cristaline ordonate.

S-au putut evidenția deci numai principiile de bază ale construcției macromoleculelor biologice; dezvoltarea metodelor de stabilire a secvenței de radicali în ADN pentru un organism dat este încă o problemă de viitor.

Celula - unitate de bază a organismelor vii - poate fi asemănătă cu o "fabrică" ce produce moleculele proteinelor care îndeplinesc diferite funcții vitale. Moleculele proteinelor sunt construite din douăzeci de tipuri de aminoacizi, ordinea combinării lor, strict definită pentru o proteină de tip dat, fiind dictată de către molecula de ADN. Moleculele proteinelor se ating unele de altele doar printr-o mică parte a suprafeței, ceea mai mare parte a spațiilor intermoleculare fiind umplută cu apă. Aceste molecule pot fi extrase și, prin eliminarea apei, formează cristalele de proteine ce pot fi studiate prin analiză structurală cu raze X, prezentând o rețea cristalină cu o remarcabilă regularitate.

C A P I T O L U L 11

STAREA LICHIDĂ

11.1. Noțiuni generale

11.1.1. Proprietăți caracteristice ale lichidelor

Așa după cum s-a văzut în § 6.1.1., proprietățile lichidelor sunt intermediare între proprietățile gazelor și cele ale solidelor, existând o serie de caracteristici comune atât între gaze și lichide, cât și între solide și lichide.

Lipsa de rigiditate și fluiditatea constituie proprietățile comune ale lichidelor și gazelor; datorită lipsei de rigiditate, lichidele și gazele nu au formă proprie ci iau forma vasului, iar datorită fluidității, lichidele și gazele curg.

Dintre proprietățile comune ale lichidelor și solidelor, menționăm în primul rând *coezionea* puternică dintre particulele constitutive ce permite atât lichidelor, cât și solidelor să-și mențină un volum determinat și o suprafață liberă, în timp ce gazele ocupă întreg volumul ce li se pune la dispoziție. Ca o consecință a interacțiunilor puternice între particulele constitutive, lichidele și solidele au o *compresibilitate redusă* (coeficientul de compresibilitate variază între $2 \cdot 10^{-6}$ și $2 \cdot 10^{-4}$ atm $^{-1}$ la lichide, iar la solide este de ordinul a 10^{-6} atm $^{-1}$). Compresibilitatea mică a mediilor considerate se explică prin aceea că o micșorare a distanțelor intermoleculare, în general mici în aceste medii, conduce la apariția unor forțe intermoleculare de repulsie mari.

Densitățile lichidelor și solidelor sunt comparabile; la topire densitatea solidelor scade cu 5-30%, în timp ce la vaporizare densitatea descrește de 10^2 - 10^3 ori.

Lichidele nu au elasticitate a formei (nu posedă modul de forfecare), deși au un volum definit, ca și solidele.

Lichidele obișnuite sunt *izotrope*; fac excepție cristalele lichide, care sunt anizotrope relativ la unele proprietăți fizice, ceea ce se poate explica prin existența în diferite microvolume ale cristalului lichid, a unor grupe de molecule orientate spațial.

În lichide se observă o *ordine locală*, sau ordine de rază scurtă, limitată la moleculele imediat vecine unei molecule date, spre deosebire de solide, în care se observă ordine la distanță sau ordine de rază lungă (§10.2).

11.1.2. Clasificarea lichidelor

Clasificarea lichidelor se face în funcție de forțele de interacțiune între particulele componente. Există două clase principale: *lichide neasociate* sau *simple* și *lichide asociate* sau *complex*. Moleculele lichidelor simple nu au momente electrice dipolare, iar permitivitatea lor electrică (ϵ) este mică și independentă de temperatură. În lichidele asociate se formează complexe de molecule constând dintr-un număr considerabil de molecule cu momente dipolare diferite de zero și cu ϵ depinzând de temperatură.

Din prima categorie de lichide, neasociate, fac parte:

- lichide formate din molecule aproximativ sferice, între care se manifestă forțe de interacțiune de tip Van der Waals (de exemplu Ne, Ar, Kr, CH₄, C₆H₁₄, etc.);
- lichide cu molecule biatomice, de tipul H₂, N₂, O₂, cu forțe de interacțiune de tip Van der Waals și care pot avea momente electrice de cvasidipol,
- metale pure în stare lichidă (Hg) și metale topite, cu forțe de interacțiune de tip coulombian între particulele componente, precum și lichide ionice (de exemplu NaCl în stare lichidă).

Din categoria lichidelor asociate fac parte:

- lichide polare, care au molecule cu momente dipolare (de exemplu HBr)
- lichide asociate ale căror molecule au punți de hidrogen (apa)
- lichide formate din grupări mari de molecule, ale căror proprietăți sunt determinate de mișcarea internă a moleculelor (lichide organice, biologice etc.).

Valorile permitivității dielectrice ϵ a lichidelor variază între $\epsilon = 2$, pentru hidrocarburi nepolare și $\epsilon = 81$ pentru apă.

11.1.3. Modele de lichide. Mișcarea termică a moleculelor în lichide în modelul Frenkel

Pentru a explica proprietățile macroscopice ale lichidelor pornind de la constituția lor moleculară s-au construit câteva modele teoretice de lichid. În general, s-a dezvoltat teoria stării lichide în trei direcții distincte.

Pornind de la asemănarea dintre proprietățile lichidelor și cele ale gazelor, a apărut modelul lichidului ca gaz comprimat în care sunt prezente interacțiuni moleculare puternice sau modelul cinetic.

Theoria lichidelor pornind de la modelul de solid cristalin dezordonat a fost dezvoltată prin lucrările lui Zernike, Prins, Debye, Lenke (1927-1933). În prezent există mai multe variante ale acestui model în care teoria solidului se aplică la starea lichidă: modelul celular (Eyring, Lenard-Jones și Devonshire), modelul cellular cu clusteri, modelul cellular cu goluri etc.

O a treia direcție de dezvoltare a teoriei stării lichide este propria lichidelor, diferită atât de modelul kinetic cât și de modelul cristalin, dar păstrând unele dintre ipotezele de bază ale primelor modele și aplicându-se teoria funcțiilor de corelație (Hildebrand 1953).

Primul model ce încearcă explicarea proprietăților lichidelor este cel de Frenkel în 1925.

Vom prezenta sumar câteva aspecte privind mișcarea termică a particulelor în lichide, aşa cum rezultă din acest model.

S-a văzut în cap.10 că în solidele cristaline mișcarea termică a particulelor constă în mici oscilații în jurul unor poziții de echilibru fixe, situate în nodurile rețelei cristaline. La gaze, mișcarea termică a particulelor este perfect dezordonată (haotică), constând în principal din mișcări de translație; mișcarea de rotație și de oscilație din moleculele poliatomice nerigide adaugă grade de libertate suplimentare în calculul căldurilor specifice (§ 6.5.).

În lichide, particulele oscilează în jurul unor poziții de echilibru care nu sunt fixe, ca în solide, ci numai *fixate temporar*. Deci, moleculele lichidului execută oscilații termice față de o anumită poziție de echilibru, cu o frecvență medie v_0 , apropiată de frecvența de vibrație a particulelor în solid și cu amplitudinea determinată de "volumul liber" pe care îl pun la dispoziție particulele vecine. După ce o particulă efectuează oscilații termice în jurul unei poziții de echilibru un timp $\tau >> \tau_0$, $\tau_0 = 1/v_0$ fiind perioada vibrațiilor termice ale particulei (de ordinul 10^{-12} secunde), ea își schimbă poziția de echilibru în jurul căreia oscilează.

Timpul mediu $\bar{\tau}$ calculat pentru un număr foarte mare de molecule este numit timp de relaxare sau timp de "viață sedentară" a particulei și este cu câteva ordine de mărime mai mare decât τ_0 . El este o mărime caracteristică lichidului. Deplasările particulelor de lichid între două poziții de echilibru vecine situate la distanță δ de ordinul de mărime al distanței medii dintre moleculele vecine se fac într-un timp apropiat ca ordin de mărime de perioada vibrațiilor termice τ_0 (τ_0 e numit uneori sugestiv timp de "viață pribegie").

Dacă densitatea lichidului la o anumită temperatură este ρ , putem estima distanța medie între moleculele adiacente ca fiind

$$(11.1) \quad \delta = \left(\frac{V}{N_A} \right)^{1/3} = \left(\frac{\mu}{N_A \cdot \rho} \right)^{1/3}$$

unde μ este masa moleculară și N_A = numărul lui Avogadro. Pentru apă obținem $\delta \approx 3 \cdot 10^{-8}$ cm.

Mișcarea particulelor în lichide este deci compusă din *oscilații (vibrații) termice* în jurul unor centre instantanee de echilibru și *translații* ale centrelor.

Translațiile particulelor între diferite poziții fixate temporar nu au o natură continuă ci se fac în formă de salturi activate atunci când energia particulei depășește o anumită valoare (barieră de potențial). Energia de activare (E) pentru o tranziție elementară, necesară pentru depășirea barierelor de potențial, rezultă din interacțiunile între particula și moleculele vecine și este exprimată prin lucru mecanic ce trebuie cheltuit pentru a asigura particulei posibilitatea de a trece din poziția de echilibru inițială într-o poziție vecină. Energia de activare poate fi considerată ca un surplus de energie cinetică a particulei date, necesară acesteia pentru a părăsi particulele din vecinătatea sa, cu care interacționează și a pătrunde în golul vecin; E trebuie să fie de ordinul de mărime al căldurii latente de evaporare (per particulă).

Timpul de relaxare τ sau timpul de "viață sedentară" a particulei într-o poziție de echilibru temporară se micșorează odată cu creșterea temperaturii după o lege exponențială $\tau = \exp(-E/kT)$, unde k este constanta lui Boltzmann.

În general, observațiile asupra lichidelor se fac într-un timp macroscopic de observare t mult mai mare decât τ , așa încât în timpul t au loc un număr foarte mare de translații ale moleculelor și lichidul e percepțut ca un fluid. Dacă ar exista posibilitatea să observăm lichidul un timp foarte scurt (de ordinul lui τ), acesta ar fi percepțut ca un solid. Astfel, dacă se măsoară compresibilitatea adiabatică κ_s a unui lichid cu ajutorul ultrasunetelor, când durata impulsului ultrasonic este de cca 10^{-7} sec. κ_s are aceeași valoare la lichid ca și la solidul respectiv, în timp ce pentru perioade mai mari κ_s este același cu cel măsurat la lichid prin metode fizice directe (piezometric, de exemplu).

Cu ajutorul difracției razelor X se pune în evidență existența unei ordonări locale a particulelor în lichide.

11.2. Lichidele ca gaze comprimate

11.2.1. Prințipiu continuării stării de lichid și gaz. Ecuații de stare

Modelul cinetic-molecular al lichidelor pleacă de la teoria cineticomoleculară a gazelor reale comprimate și are la bază *prințipiu continuării*, dintre starea de gaz și cea de lichid, enunțat de Andrews (1876).

Din diagramele Andrews trasate pentru gaze reale (fig.9.6) rezultă posibilitatea trecerii continue de la starea gazoasă la cea lichidă, fără separarea fluidului în două faze diferite. Această trecere se poate face pe orice

drum care ocolește domeniul bifazic, situat sub curba de saturare. Întrucât trecerea de la gaz la lichid se poate face în mod continuu, limita de separație dintre două stări este arbitrară; ambele stări pot fi cuprinse sub denumirea unitară de "stare fluidă".

Conform teoriei Van der Waals (cap. 9.2), aceleași molecule care formează substanță în stare de gaz se găsesc și în starea lichidă. Continuitatea dintre cele două stări are la bază identitatea moleculelor constitutive, afirmație valabilă pentru lichidele simple (moleculare și metalice).

În lichidele ionice (halogenuri alcaline de exemplu) vaporii sunt formați din molecule, în timp ce lichidul (sărurile topite) este constituit din ioni. Studiul lichidelor ionice se va face mai ușor plecând de la principiul continuării dintre starea solidă și cea lichidă.

Pentru tratarea lichidelor simple ca gaze comprimate, vom considera valabile ipotezele din teoria cinetică a gazelor reale, pe baza cărora s-a dedus ecuația de stare a gazelor reale (§ 9.2.1.).

Moleculele de lichid asimilate cu sfere rigide, nedeformabile (indiferent dacă sunt mono- sau poliatomice), au diametre diferite, pentru a se putea marca diferența dintre substanțele individuale.

Se face abstracție de mișcarea de vibrație a moleculelor și atomilor și de rotația lor, reducându-se astfel mișcarea moleculelor la translație, ca și în gaze.

În virtutea principiului continuării dintre gaze și lichide, vom aplica ecuația Van der Waals la starea fluidă în totalitatea sa:

$$(11.2) \quad \left(P + \frac{v^2 a}{V^2} \right) (V - vb) = vRT.$$

Termenul $v^2 a/V^2$, datorat interacțiunilor între particulele componente, are valori mari în lichide, volumul molar V/v al acestora fiind mai mic decât la gaze.

Dacă se reprezintă (în coordonate PV) datele experimentale obținute pentru transformări izoterme la lichide și se compară cu rezultatele obținute prin calcul din ecuația (11.2) se constată că există abateri destul de mari ale curbelor teoretice față de cele trasate experimental, în cazul în care se păstrează aceleași valori ale constantelor a și b atât la starea lichidă, cât și la gaz.

În realitate, constantele a și b depind puternic de volumul molar (V/v). Datorită diferenței mari între volumele ocupate de aceeași cantitate de substanță în stare de gaz și în stare solidă ($V_{gaz} \gg V_{lichid}$) și constantele de corecție a și b vor fi diferite în cele două stări. Dacă corecțiile de presiune și de volum pentru un gaz sunt, respectiv, a și b , se obține o concordanță bună a teoriei cu rezultatele experimentale utilizând la lichide valorile $a/2$ și respectiv $b/4$.

La lichide trebuie să se țină seama și de variația mărimilor a și b cu temperatura. Din ecuația (11.2) scrisă pentru 1 kmol de lichid rezultă

$$(11.3) \quad P = \frac{RT}{V-b} - \frac{a}{V^2}, \quad \left(\frac{\partial P}{\partial T}\right)_V = \frac{R}{V-b}$$

de unde

$$(11.4) \quad b = V - \frac{R}{\left(\frac{\partial P}{\partial T}\right)_V} \quad \text{și} \quad \frac{db}{dT} = \frac{R \left(\frac{\partial^2 P}{\partial T^2}\right)_V}{\left(\frac{\partial P}{\partial T}\right)_V^2}.$$

Pentru corecția a obținem din (11.3) și (11.4):

$$(11.5) \quad a = \left[\left(\frac{\partial P}{\partial T}\right)_V \cdot T - P \right] V^2 \quad \text{și} \quad \frac{da}{dT} = T \left(\frac{\partial^2 P}{\partial T^2}\right)_V \cdot V^2.$$

Determinările experimentale arată că dependența lui b de temperatură este cu mult mai mică decât cea a corecției a , în conformitate cu formulele (11.4) și (11.5).

De exemplu, studiind transformarea izocoră a izopentanului la presiuni mari ($\approx 23000 - 27000$ torr), Reinganum și Young obțin următoarele valori pentru intervalul de temperatură $150 \div 220^\circ\text{C}$: $V_\mu = 0,72 \text{ m}^3/\text{kmol}$, $(\partial P/\partial T)_V = +140 \text{ torr/K}$, $(\partial^2 P/\partial T^2)_V = -0,365$ de unde rezultă $b = 0,35 \text{ m}^3/\text{kmol}$, $db/dT = -0,000161$, $a = 5,59 \cdot 10^{-4} \text{ N} \cdot \text{m}^4/\text{kmol}^2$ și $da/dT = -0,022 \cdot 10^{-4}$.

Se pot deduce și alte forme pentru ecuația de stare a lichidelor. Derivând în raport cu T expresia lui P obținută din (11.2), rezultă:

$$(11.6) \quad \left(\frac{\partial P}{\partial T}\right)_V = \frac{vR}{V-vb},$$

care reprezintă panta unei izocore în planul (T,p) . Din (11.6) și (11.2) obținem relația

$$(11.7) \quad T \left(\frac{\partial P}{\partial T}\right)_V = \frac{vRT}{V-vb} = P + \frac{v^2 a}{V^2}.$$

La presiuni mici (cca. 1 atm), se poate neglijă P față de termenul $v^2 a/V^2$ care reprezintă presiunea internă foarte mare existentă în lichide (v. § 11.3), așa încât se poate scrie

$$T \left(\frac{\partial P}{\partial T}\right)_V \approx \frac{v^2 a}{V^2}$$

sau

$$(11.8) \quad V^2 \cdot T \cdot \left(\frac{\partial P}{\partial T}\right)_V \approx v^2 a = \text{const},$$

care reprezintă o altă formă a ecuației de stare pentru lichide - ecuația Hildebrand. Aceasta se verifică în cazul a numeroase lichide, la presiuni mici, cu erori în limita a 1-2%.

11.2.2. Caracteristici volumetrice ale lichidelor

La lichide se observă unele particularități de comportare în ceea ce privește compresibilitatea, dilatarea termică, variația presiunii cu temperatura în transformări izocore, diferite de aceleași procese în gaze sau în solide.

Coefficientul de dilatare volumică (α), coefficientul de compresibilitate izotermă (κ_T) și coefficientul termic al presiunii (β) sunt definiți, respectiv, prin relațiile:

$$(11.9) \quad \alpha = \frac{1}{V} \left(\frac{\partial V}{\partial T}\right)_P, \quad \kappa_T = -\frac{1}{V} \left(\frac{\partial V}{\partial P}\right)_T \quad \text{și} \quad \beta = \frac{1}{P} \left(\frac{\partial P}{\partial T}\right)_V.$$

Variabilele termodinamice P, V, T nu sunt independente, fiind legate între ele printr-o ecuație de stare și între derivatele lor parțiale există relația:

$$(11.10) \quad \left(\frac{\partial V}{\partial T}\right)_P \cdot \left(\frac{\partial P}{\partial V}\right)_T \cdot \left(\frac{\partial T}{\partial P}\right)_V = -1,$$

care poate fi scrisă, ținând cont de (11.9) sub forma:

$$(11.11) \quad \beta = \frac{1}{P} \cdot \frac{\alpha}{\kappa_T} \quad \text{sau} \quad \alpha = \beta \cdot P \cdot \kappa_T$$

Coefficientul de dilatare are valori mult mai mici la lichide decât la gaze (pentru apă $\alpha = 1,5 \cdot 10^{-4} \text{ K}^{-1}$ la temperatura camerei, iar pentru un gaz ideal $\alpha = 1/T = 3,66 \cdot 10^{-3} \text{ K}^{-1}$, la temperatura $T = 273\text{K}$).

Coefficientul α se micșorează cu creșterea presiunii, care împiedică dilatarea și crește cu creșterea temperaturii, dar mai puțin decât la gaze.

Lichidele nu au formă proprie și de aceea, în determinările experimentale trebuie să se țină cont și de dilatarea vasului ce conține lichidul respectiv. Variația absolută a volumului lichidului se exprimă ca o sumă dintre variația de volum determinată experimental (variația aparentă) și dilatarea vasului:

$$(11.12) \quad \Delta V_{\text{abs}} = \Delta V_{\text{ap}} + \Delta V_{\text{vas}}.$$

Dacă se asociază fiecărei variații de volum un coefficient de dilatare

$$(11.13) \quad \Delta V_{\text{abs}} = V_0 \cdot \alpha \cdot \Delta t, \quad \Delta V_{\text{ap}} = V_0 \cdot \alpha_{\text{ap}} \cdot \Delta t \quad \text{și} \quad \Delta V_{\text{vas}} = V_0 \cdot \gamma_{\text{vas}} \cdot \Delta t$$

se obține

$$(11.14) \quad \alpha = \alpha_{\text{ap}} + \gamma_{\text{vas}},$$

α_{ap} fiind valoarea determinată experimental, de exemplu cu ajutorul unui dispozitiv de tipul celui prezentat în Fig.11.1, numit *dilatometru*.

Lichidul de studiat este conținut într-un vas A ce se termină printr-un tub capilar calibrat și se află la temperatura t_0 la nivelul inițial h_0 .

Acest vas este introdus într-un cuptor electric C, ce conține și un termometru T. Dacă temperatura lichidului crește cu $\Delta t = t - t_0$, aceasta urcă în tub cu $\Delta h = h - h_0$, cunoscut. Coeficientul de dilatare aparentă este

$$(11.15) \quad \alpha_{ap} = \frac{1}{V} \cdot \frac{S \Delta h}{\Delta t},$$

volumul inițial al lichidului $V_0 = M/\rho_0$ putându-se determina din masa și densitatea sa. Se determină apoi α_{abs} din relația (11.14), γ_{vas} fiind cunoscut ca o constantă a aparatului sau din experiențe suplimentare cu un lichid al cărui coeficient de dilatare este cunoscut.

Există și alte metode de determinare experimentală a coeficientului α la lichide. Mult utilizată este metoda Dulong-petit (descrisă la laborator), care se bazează pe echilibrul a două coloane de lichid aflate în vase comunicante, când temperaturile celor două coloane sunt diferite. Înălțimile lichidului în cele două ramuri sunt invers proporționale cu densitățile respective, ce depind de temperatura coloanei, nemaifiind necesare corecții asupra dilatării termice a vasului.

Spre deosebire de gaze, lichidele se comprimă puțin; pentru a produce o variație mică de volum este necesară o variație foarte mare a presiunii, așa după cum se poate vedea urmărind izotermele Andrews (fig.9.6). Totuși, coeficientul de compresibilitate al lichidelor ($\kappa_{ap} \sim 10^{-5} \text{ atm}^{-1}$) este aproape de o sută de ori mai mare decât la solide, dar este mult mai mic decât la gaze. Pentru un gaz ideal (§ 9.1.1), $\kappa = -1/p$, deci la presiuni de ordinul celei atmosferice este $\kappa = 1 \text{ atm}^{-1}$.

Coeficientul de compresibilitate depinde de presiunea exterioară P și de temperatura lichidului după o formulă empirică de forma

$$(11.16) \quad \kappa = \frac{A(T)}{V(P + v^2 a/V^2)},$$

unde A(t) este o funcție oarecare crescătoare cu temperatura, iar $v^2 a/V^2 = P_i$ reprezintă o presiune internă determinată de forțele de interacțiune de tip Van der Waals din lichid.

Când presiunea crește, pe măsură ce distanțele între molecule se micșorează datorită comprimării, forțele de respingere între ele cresc și coeficientul κ scade.

În cursul încălzirii volumul crește, distanțele intermoleculare se măresc, forțele de respingere între molecule se vor micșora și comprimarea

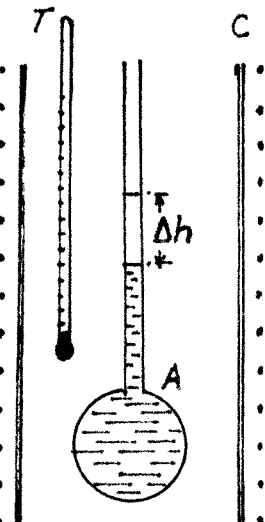


Fig. 11.1

lichidului se face mai ușor. Creșterea temperaturii produce un efect invers față de cel datorat creșterii presiunii, așa cum rezultă și din formula (11.16).

Pentru determinarea experimentală a coeficientului de compresibilitate la lichide se folosește piezometrul (fig.11.2), format dintr-un vas A ce conține lichidul de studiat ce umple complet tubul capilar. În incinta B se poate crea o presiune mare, ce poate fi determinată cu ajutorul unui manometru M. Datorită faptului că asupra pereților vasului A se exercită aceeași presiune din interior și din exterior, volumul său nu se schimbă sub acțiunea presiunii exterioare. Prin creșterea presiunii cu ΔP , volumul lichidului scade și nivelul în tubul capilar coboară cu Δh . Dacă se cunoaște secțiunea S a capilarului, variația de volum este $\Delta V = S \cdot \Delta h$ și se poate afla κ_t din formula de definiție (11.9).

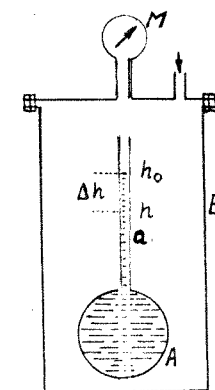


Fig. 11.2

Determinarea coeficientului termic al presiunii (în cazul unei transformări izocore) se poate face cu ajutorul unui dispozitiv de tipul celui reprezentat în Fig.11.3. Vasul A, ce conține lichidul de studiat și se termină prin tubul B, este introdus într-un cuptor C. Tubul B este legat la un balon ce conține gaz sub presiune (azot sau argon, pentru a nu reacționa chimic cu lichidul), presiune ce poate fi măsurată cu manometrul M.

Prin încălzire, nivelul lichidului în tubul B ar trebui să urce, datorită dilatării termice. Se compensează efectul dilatării lichidului, prin creșterea presiunii gazului deasupra coloanei de lichid, până când nivelul rămâne neschimbăt (la indicele I). Se măsoară cu ajutorul manometrului variația ΔP a presiunii care menține neschimbăt nivelul lichidului în tub, pentru o creștere ΔT a temperaturii și se calculează B din relația (11.9). Se fac corecții pentru dilatarea vasului.

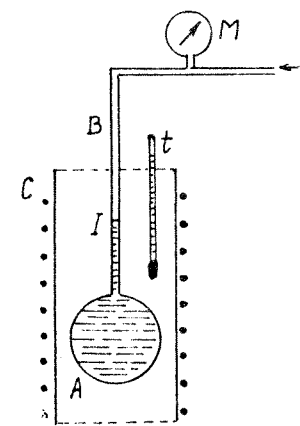


Fig. 11.3

11.2.3. Caracteristicile volumetrice anomale ale apei

La majoritatea corpurilor volumul crește prin încălzire iar densitatea se micșorează cu creșterea temperaturii. Apa, iodura de argint, soluția NaCl în apă și alte lichide prezintă o variație anomală a volumului cu temperatură, în anumite domenii de temperatură.

De exemplu, la trecerea prin punctul $T_0 = 4^\circ\text{C}$ și presiune atmosferică normală, panta curbei de dependență a volumului apei de temperatură își schimbă semnul (fig. 11.4):

Coefficientul de dilatare în condiții izobare, determinat din panta curbei experimentale din figura 11.4, satisfacă condițiile:

$$(11.17) \quad \begin{aligned} \frac{1}{V} \left(\frac{\partial V}{\partial T} \right)_P &> 0 & \text{pentru } T > 4^\circ\text{C} \\ \frac{1}{V} \left(\frac{\partial V}{\partial T} \right)_P &< 0 & \text{pentru } T < 4^\circ\text{C} \\ \text{și} \quad \alpha &= 0 & \text{pentru } T = 4^\circ\text{C}. \end{aligned}$$

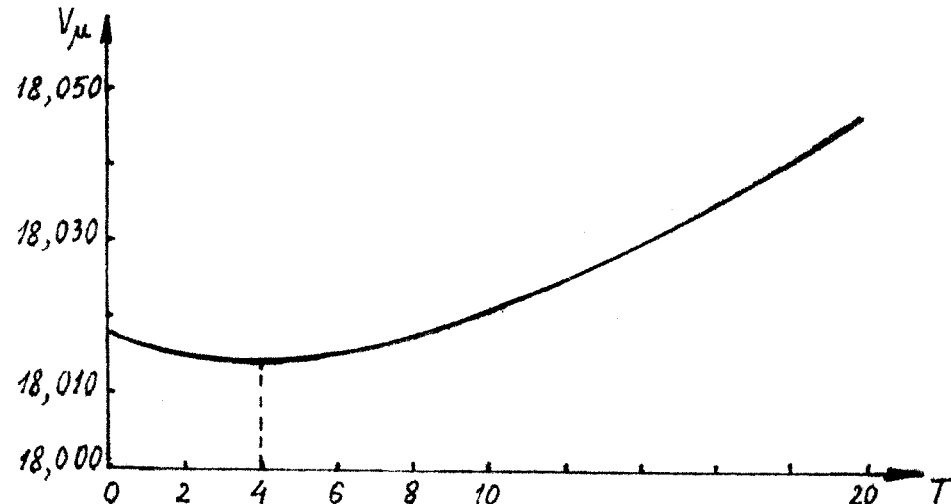


Fig. 11.4

Să prezentăm în planul (T, V) regiunea din imediata vecinătate a temperaturii $T_0 = 4^\circ\text{C}$ (fig. 11.5a). Reprezentăm izotermele corespunzătoare temperaturilor $T_1 > T_0$, T_0 și $T_2 < T_0$, izobarele $1 - 3$ ($P = \text{const.}$) și adiabatele $4 - 9$ ($S = \text{const.}$). În acest plan, panta unei izobare

$$(11.18) \quad \left(\frac{\partial T}{\partial V} \right)_P = \frac{1}{\left(\frac{\partial V}{\partial T} \right)_P}$$

este pozitivă deasupra liniei L , negativă sub această linie și tinde la $\pm\infty$ pentru $T = T_0$ (tangenta verticală la izobară). Linia L este locul geometric al punctelor în care volumul are valoarea minimă pentru o anumită presiune.

Panta unei adiabate se poate exprima prin

$$(11.19) \quad \left(\frac{\partial T}{\partial V} \right)_S = - \left(\frac{\partial P}{\partial S} \right)_V = \left(\frac{\partial P}{\partial V} \right)_T \cdot \left(\frac{\partial V}{\partial T} \right)_P \cdot \left(\frac{\partial T}{\partial S} \right)_V = \frac{T}{C_V} \cdot \left(\frac{\partial P}{\partial V} \right)_T \cdot \left(\frac{\partial V}{\partial T} \right)_P$$

Deoarece $(\partial P / \partial V)_T < 0$, panta adiabatelor este negativă deasupra liniei L (curbele 4, 5, 6 în fig. 11.5a și pozitivă dedesubtul ei (curbele 7-9). Linia L trebuie să fie o izotermă și în același timp, după cum rezultă din (11.19) reprezintă și o adiabată limită, a cărei pantă este zero.

În cazul temperaturilor din imediata vecinătate a temperaturii de 4°C , nu mai este respectată o corespondență biunivocă a punctelor din planele (T, V) cu cele din planul (P, V) .

De exemplu, în coordonate (P, V) , adiabata – izoterma L pentru $T_0 = 4^\circ\text{C}$ va fi reprezentată prin curba L' care divide planul (P, V) în două regiuni A și B (fig. 11.5b). Regiunea A nu are semnificație fizică întrucât nu există stări reale ale apei care să poată fi reprezentate prin puncte din această regiune. Din fig. 11.5a se poate vedea că pentru o anumită presiune P (corespunzătoare izobarei 1 de exemplu) există un volum minim V_1 corespunzător punctului de intersecție al izobarei

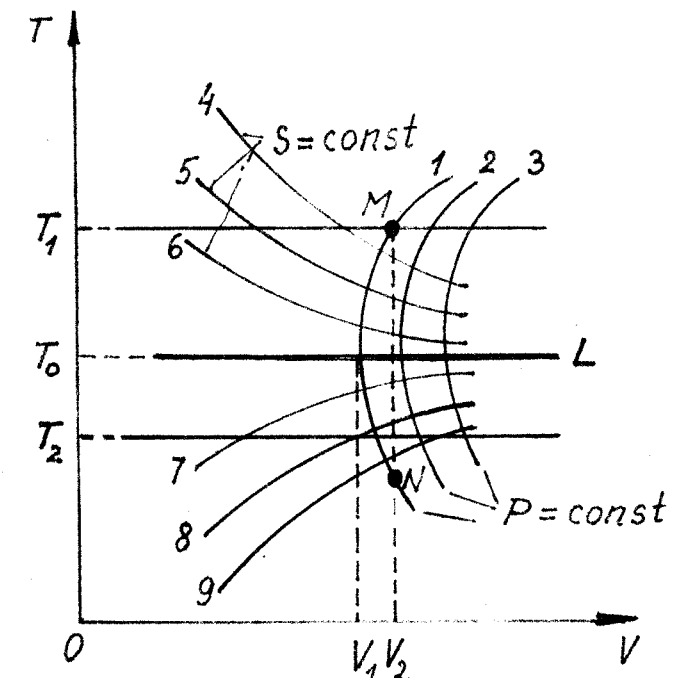


Fig. 11.5 a

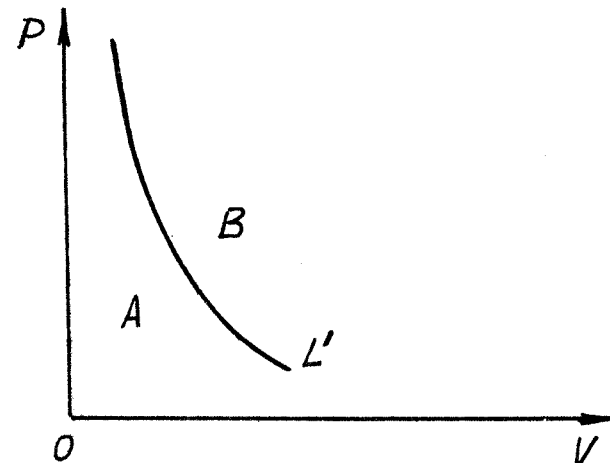


Fig. 11.5 b

cu izoterma L. În schimb, fiecare punct din regiunea B reprezintă două stări fizice diferite deoarece fiecare izocoră ($V_2 = \text{const}$) din fig. 11.5a intersecțează o izobară în două puncte, M și N, având ordonate diferite; în consecință, două puncte diferite din planul (T,V) sunt reprezentate printr-un singur punct din planul (P,V), în regiunea B.

În domeniul de temperaturi în care apa prezintă proprietăți volumetrice anomale studiul termodynamic se face în planul (T,V) și mai puțin în (P,V), (T,S), pentru că nu apare evidentă anomalie de volum.

Din punct de vedere al constituției moleculare, această anomalie se explică prin aceea că moleculele de apă se asociază parțial, adică constituie grupe de mai multe molecule asociate prin punți de hidrogen (v. § 10.9.8); volumul specific al moleculelor asociate H_2O , $(H_2O)_2$, $(H_2O)_3$ etc. este diferit, iar raportul concentrațiilor acestor grupe de molecule variază cu temperatura.

11.2.4. Capacitatea calorică a lichidelor

În cazul lichidelor, energia internă conține atât energia cinetică de agitație termică a particulelor cât și energia lor potențială de interacție, ceea ce face ca formulele simple de calcul pentru capacitatele calorice C_v și C_p obținute în teoria cinetico-moleculară a gazelor ideale să nu se mai poată aplica. De asemenea, din ecuația de stare Van der Waals nu se pot trage concluzii concordante cu experiența referitor la capacitatea calorică a lichidelor. Determinările experimentale se fac prin metode calorimetrice, descrise la laborator.

Utilizând relația termodynamică generală (5.76), se vede că pentru fazele condensate (lichid și solid) diferența $C_p - C_v$ depinde de coeficientul de dilatare α , de coeficientul de compresibilitate κ , de volumul V și de temperatură după o relație de forma (5.85):

$$(11.20) \quad C_p - C_v = \frac{1}{V} \cdot T \cdot \frac{V\alpha^2}{\kappa} \neq R.$$

Pentru lichide această diferență este în general mică (la apă, $C_p = 75748,5 \text{ J/kmol}\cdot\text{K}$, $C_v = 75706,6 \text{ J/kmol}\cdot\text{K}$ și $C_p - C_v = 41,9 \text{ J/kmol}\cdot\text{K}$ în cazul temperaturilor apropiate de 0°C , iar pentru mercur la 630°C , $C_p = 28123 \text{ J/kmol}\cdot\text{K}$, $C_v = 22138 \text{ J/kmol}\cdot\text{K}$, $C_p - C_v = 5985 \text{ J/kmol}\cdot\text{K}$).

Capacitatea calorică a lichidelor variază cu presiunea și cu temperatura. Dacă se diferențiază în raport cu T ecuația

$$(11.21) \quad \left(\frac{\partial S}{\partial P}\right)_T = -\left(\frac{\partial V}{\partial T}\right)_P$$

și se ține cont că $(\partial S/\partial T)_P = C_p/T$, rezultă pentru $V = 1 \text{ kmol}$:

$$(11.22) \quad \left(\frac{\partial C_p}{\partial P}\right)_T = -T\left(\frac{\partial^2 V}{\partial T^2}\right)_P = -T \cdot V_\mu \left[\frac{\partial \alpha}{\partial T} + \alpha^2 \right] \approx -T \cdot V_\mu \cdot \frac{\partial \alpha}{\partial T},$$

întrucât α fiind mic se poate neglijă α^2 în comparație cu $\partial \alpha/\partial T$. Astfel, variația lui C_p cu presiunea se poate determina studiind variația coeficientului de dilatare cu temperatura. Cum $\partial \alpha/\partial T > 0$, capacitatea termică la presiune constantă se micșorează odată cu creșterea presiunii.

Pentru variația cu volumul a mărimii C_v se obține:

$$(11.23) \quad \left(\frac{\partial C_v}{\partial V}\right)_T = T^2 \left(\frac{\partial^2 P}{\partial T^2}\right)_V = T \cdot P \left[\left(\frac{\partial \beta}{\partial T}\right)_V + \beta^2 \right] \approx T \cdot P \left(\frac{\partial \beta}{\partial T}\right)_V,$$

expresie asemănătoare cu (11.22).

11.3. Presiunea internă în lichide

În lichide se manifestă forțe puternice de coeziune între particulele constitutive, ceea ce explică menținerea volumului propriu și existența unei presiuni interne, îndreptate de la suprafață spre interiorul lichidului.

Forțele de interacție între particule sunt de același tip cu cele din gazele reale (§ 9.1.2). Potențialele empirice de interacție moleculară ce pot fi utilizate în studiul lichidelor sunt cele prezentate în § 9.1.3.

Să considerăm o porțiune din suprafață liberă a unui lichid, reprezentată în fig. 11.6 prin dreapta AB. Forțele de atracție exercitate de o moleculă asupra celor vecine acționează până la distanțe de câteva diametre moleculare și au simetrie sferică. Vom numi sferă de atracție moleculară, sferă în centrul căreia se găsește molecula considerată, de rază egală cu rază de atracție moleculară R , adică cu distanța până la care se exercită forță de atracție a moleculei considerate; în exteriorul sferei de atracție moleculară se poate neglija atracția exercitată de o moleculă asupra celorlalte. În cazul unei molecule M_1 din interiorul lichidului, în sferă ei de atracție moleculară se găsesc molecule de lichid distribuite uniform și simetric; acțiunile lor asupra moleculei M_1 își fac reciproc echilibru și molecula M_1 se poate mișca în lichid, ca și într-un gaz ideal.

Numim presiune termică (P_t) presiunea datorată mișcării libere a moleculelor din interiorul lichidului.

Presupunând că moleculele de lichid nu se pot mișca decât într-un volum liber ($V_\mu - b$), unde b reprezintă covolumul (§ 9.1.1), se poate evalua presiunea termică aplicând ecuația

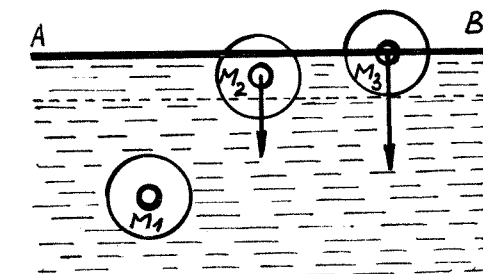


Fig. 11.6

$$(11.24) \quad P_t \cdot (V - vb) = vRT \quad \text{sau} \quad P_t = \frac{vRT}{V - vb}.$$

Moleculele M_2 și M_3 din stratul superficial (de grosime R) suferă o atracție mai mare din partea moleculelor de lichid decât din partea moleculelor de gaz, datorită diferenței de densitate între lichid și gaz. Ca urmare, atracția exercitată de moleculele din calota sferică inferioară este necompensată de acțiunea celor de gaz din calota sferică superioară și moleculele M_2 , M_3 sunt supuse unor forțe rezultante perpendiculare pe suprafața lichidului și orientate spre interiorul acestuia.

Rezultanta acestor forțe de coeziune moleculară, exercitată asupra moleculelor cuprinse într-o unitate de suprafață din stratul superficial al unui lichid reprezintă presiunea internă (P_i).

Stratul superficial are grosimea de ordinul de mărime al razei sferei de atracție moleculară și poate fi o suprafață plană sau curbă (de exemplu în cazul picăturilor sau în tuburile capilare).

Notând cu P - presiunea externă exercitată de gazul de deasupra lichidului, în condiții de echilibru se poate scrie că

$$(11.25) \quad P_t = P + P_i.$$

În general, forțele de interacție între molecule depind de distanțele intermoleculare și deci se modifică atunci când variază volumul fluidului.

Ca și la gazele reale, presiunea internă depinde la lichide de variația energiei interne cu volumul.

Din (9.76) și (5.44) rezultă că

$$(11.26) \quad P_i = \left(\frac{\partial U}{\partial V} \right)_T = T \left(\frac{\partial P}{\partial T} \right)_V - P \quad \text{sau} \quad P + \left(\frac{\partial U}{\partial V} \right)_T = T \left(\frac{\partial P}{\partial T} \right)_V.$$

Comparând între ele relațiile (11.26) și (11.25) rezultă presiunea termică

$$(11.27) \quad P_t = T \left(\frac{\partial P}{\partial T} \right)_V,$$

pe care o putem exprima în funcție de coeficienții volumetrici ai lichidului:

$$(11.28) \quad P_t = -T \frac{\left(\frac{\partial V}{\partial T} \right)_P}{\left(\frac{\partial V}{\partial P} \right)_T} = -T \frac{\alpha}{\kappa_T},$$

relație ce poartă numele de ecuația lui Lewis.

Există mai multe metode de evaluare a presiunii interne la lichide. De exemplu, determinând experimental coeficienții α și κ_T se poate calcula presiunea termică din (11.28) și apoi se determină presiunea internă

$P_i = P_t - P$ din (11.25). Se poate utiliza, de asemenea, ecuația Van der Waals pentru calculul presiunii interne, exprimată prin termenul $v^2 a / V^2 = P_i$.

Un alt mod de a calcula P_i are la bază presupunerea că, pentru a părăsi lichidul în cursul procesului de vaporizare, moleculele de lichid trebuie să efectueze un lucru mecanic contra presiunii interne (pentru învingerea coeziunii) și acesta poate fi exprimat prin căldura latentă de vaporizare. Pentru 1 kmol de lichid cu volumul molar V se poate scrie $P_i V_\mu = \lambda$, unde λ reprezintă căldura latentă molară de vaporizare, deci $P_i = \lambda / V_\mu$.

Presiunea internă a lichidelor se poate evalua și prin relația $P_i = \pi \cdot \sigma / d$, dată de N. Bărbulescu în 1936, în care σ reprezintă coeficientul tensiunei superficiale al lichidului, iar d - diametrul molecular.

Valorile lui P_i pentru lichide moleculare, obținute prin diferite metode experimentale, sunt comparabile între ele; dăm ca exemplu în Tabelul 11.1 astfel de valori determinate în condiții normale de temperatură și presiune exterioară.

TABELUL 11.1

Presiunea internă la $T = 0^\circ C$, $P = 1 \text{ atm}$

Lichidul	P_i (atm)
Br_2	4937
Hg	39190
C_6H_6	3420
$\text{C}_2\text{H}_5\text{Cl}$	3298
$(\text{C}_2\text{H}_5)_2\text{O}$	2889

TABELUL 11.2

Presiunea internă a oxigenului ($T = 80K$) și a alcoolului etilic ($T = 293K$) în funcție de presiunea exterioară

P (atm)	Oxigen	Alcool etilic
100	34	2900
200	135	2900
400	383	2900
800	745	2850
1500	1149	2780
2000	1286	2675

Formulele de calcul al presiunii interne trebuie corectate în cazul utilizării lor pentru calculul lui P_i la lichide ionice și metalice.

În Tabelul 11.2 se poate urmări dependența presiunii interne de presiunea exterioară ce acționează asupra lichidului.

11.4. Fenomene de suprafață. Tensiunea superficială și interfacială

11.4.1. Energia de coeziune și energia de suprafață la lichide

Observațiile experimentale arată că picăturile mici de lichid au o formă aproape sferică, comportându-se ca și cum ar fi înconjurate de o membrană elastică care are tendința de a se contracta. În sistemele formate dintr-un număr foarte mare de picături de dimensiuni mici (sisteme disperse, ceată, emulsii, aerosoli), ca și în sistemele bidimensionale (pelicule de lichid), efectele de suprafață devin importante în calculul energiei interne.

Să considerăm, spre exemplu, pelicula de lichid ce se formează între laturile unui cadru rigid de sărmă care are o latură MN mobilă (fig. 11.7). Atunci când se scoate cadrul de sărmă din vasul cu lichid, latura MN se deplasează pe o distanță Δx , datorită contractiei peliculei sub acțiunea forțelor de tensiune superficială ce acționează asupra laturii mobile.

Luând în considerare ambele fețe ale peliculei, lucrul mecanic necesar pentru a modifica suprafață cu $\Delta S = 2 \cdot l \cdot \Delta x$, este

$$(11.31) \quad \Delta L = \sigma \cdot \Delta S = \sigma \cdot 2l \Delta x = F \cdot \Delta x,$$

unde coeficientul de proporționalitate

$$(11.32) \quad \sigma = \frac{\Delta L}{\Delta S} = \frac{F}{\Delta x}$$

este coeficientul de tensiune superficială. Aceasta este egal cu lucrul mecanic consumat pentru mărirea suprafeței cu o unitate, sau cu forța de tensiune superficială exercitată pe unitatea de lungime a peliculei. Unitatea de măsură pentru σ în S.I. este $J/m^2 = N/m$.

Forțele de tensiune superficială sunt tangente la suprafața liberă a lichidului (în planul peliculei, în fig. 11.7) și sunt uniform distribuite pe întreg conturul, perpendicular pe el și tinzând să micșoreze suprafața liberă. Moleculele din interiorul lichidului sunt supuse forțelor de coeziune. Energia lor se compune din energia de agitație termică și din energia potențială datorată forțelor de interacțiune între particulele componente, numită energie de coeziune.

Energia moleculelor din stratul superficial este mai mare decât a celor din interiorul lichidului; pentru ca o moleculă din interiorul lichidului

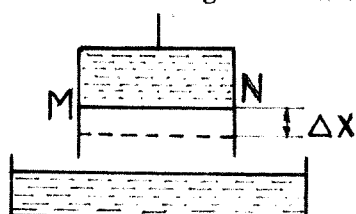


Fig. 11.7

să intre în stratul superficial trebuie să efectueze un lucru mecanic împotriva presiunii interne exercitată de moleculele din stratul superficial. Surplusul de energie a moleculelor de la suprafața lichidului față de cele din interior formează *energia de suprafață* a lichidului.

Conform relației (11.32) de definiție a lui σ , mărind suprafața unui lichid cu o unitate se efectuează un lucru mecanic egal în valoare cu σ , iar energia lichidului crește cu energia suprafeței de $1 m^2$, mărime pe care o notăm cu A și o numim constantă energie de suprafață. Energia totală de suprafață a lichidului este proporțională cu suprafața liberă a acestuia, constantă de proporționalitate fiind mărimea $A = \sigma$, ce depinde de natura lichidului și de presiunea sa internă.

Energia ΔE pe care trebuie să-o furnizăm unui lichid pentru a aduce molecule din interiorul lichidului în stratul superficial, mărind astfel cu ΔS suprafața, este

$$(11.33) \quad \Delta E = A \cdot \Delta S = \sigma \cdot \Delta S.$$

Deoarece starea cea mai stabilă a unui sistem termodinamic corespunde unui minim al energiei sale interne, volumul lichidului va adopta acea formă pentru care energia de suprafață este minimă, deci cea mai mică suprafață compatibilă cu volumul respectiv (forma sferică pentru picăturile de lichid).

Pentru a estima energia de suprafață, să ne imaginăm o coloană de lichid cu secțiunea transversală de o unitate care ar putea fi ruptă în două coloane, într-un mod oarecare. Suprafața lichidului crește astfel, deoarece la rupere apar două suprafețe noi de o unitate fiecare. Pentru a învinge coeziunea dintre moleculele situate de fiecare parte a coloanei rupte, trebuie să furnizăm o energie. Fie N numărul moleculelor cuprinse într-o unitate de suprafață. Dacă d este diametrul unei molecule putem estima $N = 1/d^2$.

După rupere, fiecare moleculă din stratul superficial nu mai e înconjurate de același număr z de vecini apropiati (numărul de coordinație), ci are în medie $\frac{1}{2} z$ vecini, situați într-o emisferă. Deci, pentru a realiza ruperea coloanei trebuie distruse $\frac{1}{2} zN$ interacțiuni între molecule, pentru aceasta fiind necesară energia $\frac{1}{2} zN\varepsilon$, unde ε reprezintă adâncimea gropii de potențial; se realizează astfel două unități de suprafață nouă.

Energia de suprafață necesară pentru a crea o unitate de suprafață (constantă energiei de suprafață) este deci

$$(11.34) \quad E_s = A = \frac{1}{4} z \sigma N \varepsilon = \sigma.$$

Pe baza acestei relații se poate estima adâncimea gropii de potențial. Astfel, în cazul azotului lichid, în condiții normale de presiune, la o

temperatură apropiată de cea de fierbere (77 K), densitatea azotului este $\rho = 0,81 \cdot 10^3 \text{ kg/m}^3$, $\sigma = 8,7 \cdot 10^{-3} \text{ N/m}$ și $\mu = 28$. Volumul molar este $V_0 = 25 \cdot 10^{-6} \text{ m}^3$ și diametrul moleculelor este de aproximativ $(V_0/N_A)^{1/3} \approx 3,9 \text{ Å}$. Rezultă că numărul moleculelor din unitatea de suprafață a stratului superficial este $\mathcal{N} = 1/d^2 \approx 6,7 \cdot 10^{18} \text{ molecule/m}^2$. Dacă considerăm $z = 10$, rezultă din (11.34) valoarea $\epsilon = 0,5 \cdot 10^{-21} \text{ J} = 0,003 \text{ eV}$.

Să încercăm să estimăm adâncimea gropii de potențial ținând cont de energia de coeziune a unui lichid. La temperaturi joase, energia de coeziune se poate calcula înmulțind numărul de perechi de particule imediat vecine, cu energia de interacțiune între două particule (egală cu adâncimea ϵ a gropii de potențial). Dacă z este numărul de coordinație, un ansamblu de N_A atomi sau molecule are $\frac{1}{2} z \cdot N_A$ perechi de vecini apropiati (de ordinul I); factorul 1/2 apare pentru a nu lua în considerație de două ori aceeași perche de particule în calculul energiei de coeziune.

Energia necesară pentru a învinge coeziunea între particulele unui kmol de lichid și a-l transforma în vaporii este aproximativ egală cu căldura latentă molară de vaporizare λ , adică $\frac{1}{2} z N_A \epsilon \approx \lambda$.

De exemplu, în cazul azotului lichid, căldura latentă molară de vaporizare determinată experimental este $\lambda \approx 5,8 \cdot 10^6 \text{ J/kmol}$, astfel încât se poate deduce pentru ϵ valoarea $\epsilon \approx 1,8 \cdot 10^{-21} \text{ J} \equiv 0,01 \text{ eV}$, într-o estimare grosieră.

Valorile lui ϵ obținute din calculul energiei de suprafață sunt concordante calitativ cu cele obținute pe baza energiei de coeziune (estimate cu ajutorul căldurii latente), ceea ce arată că, cel puțin din punct de vedere calitativ estimarea energiei de suprafață prin formula (11.34) este corectă.

Apar o serie de erori datorită faptului că în calculul energiei de coeziune se consideră că presiunea gazului ar fi zero atunci când atomii sunt separați la infinit, în timp ce experimental se măsoară λ la presiunea atmosferică. O altă sursă de erori este legată de faptul că λ depinde de temperatură (descrește cu T), în timp ce în calculele efectuate s-a considerat constant. În calculele mai precise se ține cont de aceste erori.

În tabelul 11.3. vom prezenta valori ale tensiunii superficiale, determinate experimental, în cazul unor lichide moleculare la temperatura camerei și pentru metale și săruri ionice în stare topită, la temperaturi apropiate de punctul de solidificare al substanței respective.

Coefficientul de tensiune superficială scade cu temperatura, anulându-se practic la temperatura critică.

Presiunea externă ce se exercită asupra unui lichid influențează tensiunea superficială în același sens în care acționează și presiunea internă. Deoarece presiunea internă în lichide are valori foarte mari, numai presiunile externe mari vor exercita o influență semnificativă asupra lui σ .

TABELUL 11.3.
Tensiunea superficială a unor lichide

Lichide molecolare			Lichide ionice			Metale lichide		
Lichidul	σ (10^{-3} N/m)	T (°C)	Lichidul	σ (10^{-3} N/m)	T (°C)	Lichidul	σ (10^{-3} N/m)	T (°C)
Apă	72,8	20	NaCl	111,53	802	Cupru	1280	1120
Benzen	28,88	20	KCl	98,88	770	Argint	920	970
Toluen	28,4	20	CsCl	92,46	646	Aur	1127	1070
Nitrobenzen	41,8	20	NaBr	99,55	750	Mercur	465	20
Acetonă	23,32	20	RbBr	100,73	685	Galiu	725	30
Alcool etilic	22,32	20	KI	79,37	681	Indiu	340	160
Alcool metilic	22,6	20	CsI	74,86	626	Wolfram	2310	3300

11.4.2. Noțiuni de termodinamica stratului superficial

În general, fiecare fază este conținută într-un anumit volum. Regiunea de separație ce desparte două faze volumice se numește *fază de interfață, fază de suprafață sau pătură superficială*.

În fază de suprafață sunt cuprinse toate moleculele aflate sub suprafață aparentă a fazei lichide până la o adâncime egală cu raza sferei de acțiune moleculară. Indiferent de starea de agregare a substanțelor, la contactul a două fază de volum apare o fază de interfață care, în cazul sistemelor disperse, este constituită din suprafețele tuturor particulelor componente.

Orice sistem termodinamic format din două faze de volum în contact se poate înlocui cu un sistem echivalent compus din două faze de volum omogene și o fază de interfață. Mărimile termodinamice ce caracterizează sistemul vor cuprinde contribuția fazelor de volum și contribuția fazei de interfață.

Gibbs a efectuat studiul termodinamic al fazelor de interfață ca fază de echilibru, considerând-o ca o suprafață de diviziune geometrică între cele două faze.

Să considerăm un sistem termodinamic format din două faze (subsisteme) separate printr-o suprafață de aria A. Lucrul mecanic elementar ce trebuie efectuat pentru a modifica cu dA aria suprafeței de separare este $dl = \sigma dA$. Aria A reprezintă parametrul extensiv care intră în ecuațiile termodinamice de echilibru atunci când ținem cont și de efectele de suprafață iar σ este parametrul intensiv conjugat cu A în raport cu energia internă U.

Să notăm cu indicei '(), ''() și ''()' mărimele termodinamice ce caracterizează, respectiv, cele două faze de volum și suprafața lor de separație, păstrând semnificația obișnuită a notațiilor din termodinamică.

Atunci când se studiază proprietățile sistemului termodinamic în ansamblu, trebuie să se calculeze funcțiile U, F, S referitoare la întregul sistem: $U = U' + U'' + U'''$, $F = F' + F'' + F'''$ etc. Diferențiala energiei interne a sistemului compus este

$$(11.35) \quad dU = dU' + dU'' + dU'''.$$

Energia internă a sistemului termodinamic unicompONENT va fi funcție și de numărul de kmoli n' , n'' , n''' din fiecare fază:

$$U = U(T, V, V'', A, n', n'', n''').$$

În timp ce energia internă a unei faze de volum depinde numai de volumul său propriu și de cantitatea de substanță (exprimată prin numărul de kmoli sau de particule) din fază respectivă, energia internă a suprafeței de separație, $U''' = U - (U' + U'')$, depinzând de U, va depinde și de variabilele ce determină starea fazelor de volum, așa încât:

$$(11.36) \quad U = U'(T, V, n') + U''(T, V', n'') + U'''(T, V, V'', A, n', n'', n''').$$

Se poate spune că fazele de volum sunt faze autonome, în timp ce fazele de suprafață sunt neautonome.

Să ne concentrăm acum atenția asupra fazei de suprafață și să vedem care sunt proprietățile funcțiilor caracteristice ale stratului superficial (U'' , F'' , G'').

În cazul când grosimea stratului superficial este mică în comparație cu raza de curbură a suprafeței și se pot neglija fenomenele de capilaritate și dacă este posibilă adsorbția de molecule din fazele de volum în fază de suprafață, variația energiei sale interne este, conform primului principiu al termodinamicii:

$$(11.37) \quad dU''' = T \cdot dS''' - PdV''' + \sigma \cdot dA + \mu'''dn'''$$

Termenul $\mu'''dn'''$ din această relație semnifică variația energiei interne a stratului superficial datorită modificării numărului de kmoli din strat prin adsorbție de molecule, μ''' fiind potențialul chimic al fazei de suprafață, același ca și al fazelor de volum în starea de echilibru termodinamic.

Coefficientul de tensiune superficială este un parametru de stare intensiv, analog presiunii dintr-o fază volumică, fiind definit prin relația:

$$(11.38) \quad \sigma = \left(\frac{\partial U'''}{\partial A} \right)_{S''', V''', n'''}$$

Energia liberă a stratului superficial este $F''' = U''' + T \cdot S'''$ iar diferențiala ei se poate calcula utilizând relația (11.37):

$$(11.39) \quad dF''' = dU''' - TdS''' - S'''dT = -S'''dT - PdV''' + \sigma dA + \mu'''dn'''$$

La temperatură constantă și volum constant, pentru un număr dat de kilomoli sau de particule în interfață, obținem:

$$(11.40) \quad \sigma = \left(\frac{\partial F'''}{\partial A} \right)_{T, V, n'''}$$

În aceste condiții, o contractie spontană a suprafeței cu (-da) va conduce la descreșterea lui F ($dF < 0$), dacă $\sigma > 0$. Întrucât, în general, suprafața unei faze lichide stabile tinde să-și micșoreze aria, comportându-se ca o membrană elastică, coeficientul de tensiune superficială va fi totdeauna pozitiv. Dacă notăm cu f energia liberă Helmholtz corespunzătoare unei unități de aria a suprafeței de separație a fazelor $f = F'''/A$ și $d(Af) = dF'''$. Înlocuind pe dF''' în ecuația (11.39) și considerând că volumul fazei de interfață și numărul de particule nu se modifică în condiții izoterme, rezultă

$$(11.41) \quad d(Af) = \sigma \cdot dA \quad și \quad \sigma = f + \left(\frac{\partial f}{\partial A} \right)_{A, T, n}$$

Într-un lichid unicompONENT, f depinde numai de configurația moleculelor de la suprafața lichidului și nu de aria, așa încât $(\partial f / \partial A)_{V, T, n} = 0$ și rezultă $\sigma = f$, coeficientul de tensiune superficială putând fi exprimat în acest caz prin energia liberă Helmholtz corespunzătoare unității de aria. În cazul sistemelor disperse (ceată, fum, suspensii coloidale), termenul al doilea din relația (11.41) este important.

Entalpia liberă a stratului superficial se definește prin relația

$$(11.42) \quad G''' = U''' - T \cdot S''' - \sigma A,$$

termenul $-\sigma A$ înlocuind termenul PV characteristic fazelor volumice. Diferențiala entalpiei libere a suprafeței este:

$$(11.43) \quad dG''' = -S'''dT - A \cdot d\sigma + \mu'''dn''' = dG'''(T, \sigma, n),$$

relație dedusă din (11.42) și (11.37), considerând că volumul peliculei superficiale nu variază.

Ecuațiile (11.37), (11.39) și (11.43) sunt similare celor din cazul sistemelor în care nu se ține cont de efectele de suprafață, cu deosebirea că suprafața A și tensiunea superficială σ înlocuiesc variabilele V și P, respectiv.

11.4.3. Presiunea internă sub o suprafață de lichid curbă. Formula Laplace

Dacă suprafața lichidului este curbă, pentru realizarea echilibrului mecanic al sistemului e necesar să ținem cont și de forțele de tensiune superficială.

Să considerăm mai întâi o porțiune de formă sferică a suprafeței de separație între două faze volumice, caracterizate prin presiunile p' și p'' (fig. 11.8.a). Presupunem că se poate neglija efectul gravitației. Forțele de tensiune superficială acționează pe întreg conturul bazei suprafeței de lichid, aflat în planul (AA') (în cazul tuburilor capilare acest contur reprezintă intersecția suprafeței lichidului cu pereții tubului).

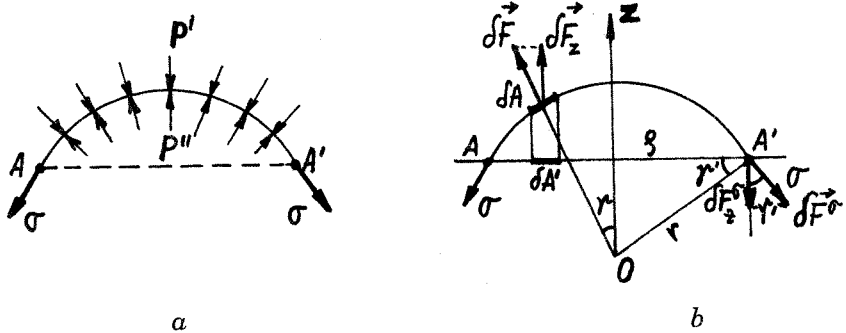


Fig. 11.8

Fie δA un element de suprafață și $\delta A'$ proiecția lui în planul (AA') (fig. 11.8b). Forța ce se exercită normal pe elementul de suprafață δA este $\delta F = (p'' - p')\delta A$, iar componenta acesteia în lungul axei Oz este

$$(11.44) \quad \delta F_z = (p'' - p')\delta A \cos \gamma = (p'' - p') \cdot \delta A'.$$

Suma tuturor componentelor forțelor ce acționează în direcția Oz este $(p'' - p')A' = (p'' - p')\pi r^2$, unde A' este aria cercului de rază r din planul (AA').

În același timp, tensiunea superficială exercitată o forță $\delta F^\sigma = \sigma \cdot \delta l$ pe fiecare element de contur δl al circumferinței bazei. Proiecția acestei forțe în lungul axei Oz este $\delta F_z^\sigma = (-\sigma \cos \gamma \cdot \delta l)$ și suma acestor proiecții este:

$$(11.45) \quad -\sigma \cos \gamma \int_0^{2\pi} \delta l = -\sigma \cdot \frac{r}{r} \cdot 2\pi r = -\frac{2\sigma}{r} \cdot \pi r^2.$$

Întrucât există o simetrie a sistemului față de axa Oz, toate forțele normale la această axă se vor compensa și rezultanta lor va fi zero. Pentru a se realizează echilibrul mecanic e necesar de asemenea ca rezultanta forțelor ce acționează în lungul axei Oz să se anuleze:

$$(p'' - p')\pi r^2 - \frac{2\sigma}{r} \cdot \pi r^2 = 0$$

sau

$$(11.46) \quad p'' - p' = \frac{2\sigma}{r}.$$

Această ecuație arată că, datorită tensiunii ei superficiale o suprafață sferică cu raza de curbură r poate menține echilibrul mecanic între două fluide având presiuni diferite p'' și p' . Faza dinspre partea concavă a suprafeței exercită o presiune p'' care este mai mare decât presiunea p' ce se exercită dinspre partea convexă (mărimile σ și r fiind pozitive). Reamintim că, în același timp, pentru realizarea echilibrului chimic al fazelor e necesar să fie îndeplinită și condiția $\mu' = \mu'' = \mu'''$ (v. § 11.4.2).

În cazul unei suprafețe plane ($r = \infty$) rezultă $p'' = p'$. Deci o suprafață de separație plană poate exista numai dacă presiunile fluidelor pe cele două fețe ale planului separator sunt egale.

Dacă se consideră o suprafață oarecare în locul celei sferice, condiția de echilibru mecanic în fiecare punct al suprafeței este dată de formula Laplace:

$$(11.47) \quad p'' - p' = p - p_i = \sigma \left(\frac{1}{r_1} + \frac{1}{r_2} \right)$$

unde r_1 și r_2 sunt cele două raze de curbură principale ale suprafeței în punctul considerat. Pentru a demonstra această formulă, să reprezentăm suprafața de separație a celor două faze sub forma unui dreptunghi curbiliniu (abcd) foarte mic (fig. 11.9), cu laturile δl_1 și δl_2 . Forța de tensiune superficială ce acționează asupra laturii bc este $\delta F_2 = \sigma \cdot \delta l_2$, iar proiecția ei pe direcția AC₁, $\delta F_2 \cdot \operatorname{tg} \rho_1$ este, în cazul unghiurilor ρ_1 mici:

$$(11.48) \quad \delta F'_2 = \delta F_2 \cdot \operatorname{tg} \rho_1 \approx \delta F_2 \cdot \rho_1 = \sigma \cdot \delta l_2 \cdot \frac{\delta l_1}{2r_1} = \frac{\sigma \cdot \delta S}{2r_1},$$

în care $\delta S = \delta l_1 \cdot \delta l_2$.

În mod analog, pe latura ab a dreptunghiului curbiliniu acționează forța

$$(11.49) \quad \delta F'_1 = \frac{\sigma \cdot \delta S}{2r_2}.$$

Proiecțiile forțelor de tensiune superficială pe direcția perpendiculară pe normala la suprafață δS , considerate câte două, pentru laturile opuse ale dreptunghiului abcd, sunt în echilibru. Rezultanta ΔF a tuturor forțelor de tensiune superficială se află pe direcția normalei PN, având sensul spre centrul de curbură și valoarea

$$(11.50) \quad \Delta F = 2\sigma \cdot \delta S \left(\frac{1}{2r_1} + \frac{1}{2r_2} \right) = \sigma \cdot \delta S \left(\frac{1}{r_1} + \frac{1}{r_2} \right)$$

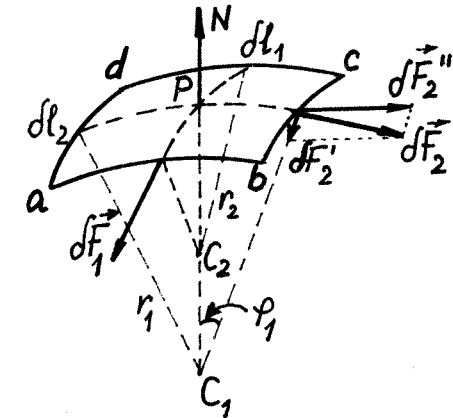


Fig. 11.9

Presiunea cu care apasă stratul superficial asupra lichidului (presiunea capilară), în cazul unei suprafețe de separație convexe este dată de formula lui Laplace:

$$(11.51) \quad P_c = \frac{\Delta F}{\delta S} = \sigma \cdot \left(\frac{1}{r_1} + \frac{1}{r_2} \right) = p'' - p'.$$

Această relație se mai poate scrie și sub forma:

$$(11.52) \quad p'' = p' + \sigma \left(\frac{1}{r_1} + \frac{1}{r_2} \right) = p' + \frac{2\sigma}{r}$$

dacă se ține cont că în geometria diferențială raza medie de curbură (r) a unei suprafețe se definește cu ajutorul razelor principale de curbură r_1 și r_2 prin relația $2/r = 1/r_1 + 1/r_2$. Generalizând, putem afirma că presiunile a două sisteme separate de o suprafață curbă nu sunt egale, diferența lor fiind determinată de coeficientul de tensiune superficială σ și de raza medie de curbură a suprafeței.

Formula Laplace dă numai diferența presiunilor în cele două faze de volum. Pentru a calcula presiunile p' și p'' se utilizează și ecuația ce exprimă egalitatea potențialelor chimice:

$$(11.53) \quad \mu'(T, p') = \mu''(T, p'')$$

Diferențind această relație obținem:

$$(11.54) \quad \left(\frac{\partial \mu'}{\partial T} \right)_{p'} dT + \left(\frac{\partial \mu'}{\partial p'} \right)_T dp' = \left(\frac{\partial \mu''}{\partial T} \right)_{p''} dT + \left(\frac{\partial \mu''}{\partial p''} \right)_T dp''$$

Utilizând expresia $d\mu = -sdT + vdp$ (s și v fiind, respectiv, entropia și volumul molar), în condiții de echilibru termic ($dT = 0$), din (11.54) avem

$$(11.55) \quad v'dp' = v''dp''$$

Cunoșcând și una dintre ecuațiile de stare ale fazelor volumice $v' = v'(p')$ sau $v'' = v''(p'')$, rezultă că din ecuațiile (11.52), (11.55) se pot determina presiunile $p'(T, r)$ și $p''(T, r)$.

11.4.4. Fenomene capilare. Ascensiunea și depresiunea capilară

Tensiunea superficială a lichidelor determină anumite fenomene specifice, numite fenomene capilare, în recipientele de dimensiuni mici (cu razele de curbură comparabile cu cele ale suprafețelor ce limitează volumul lichidului).

Din punct de vedere al aderenței lichidelor la suprafețele solide, există două tipuri de suprafețe solide: liofile și liofobe. Dacă un lichid udă suprafața unui solid spunem că aceasta este *liofilă* pentru lichidul respectiv (în cazul apei - hidrofilă), iar dacă suprafața solidului nu e udată de lichid, ea este *liofoabă* (hidrofobă).

La introducerea unui tub capilar perpendicular pe suprafața plană a lichidului dintr-un vas mare, se poate observa fie o *ascensiune capilară* a lichidului în cazul suprafețelor liofile (sticlă-apă, de exemplu), fie o *depresiune capilară* în cazul lichidelor ce nu udă solidul (sistemu sticlă-mercur), aşa ca în fig. 11.10.

În cazul ascensiunii în capilarul de rază r a unui lichid ce udă perfect tubul, se poate scrie condiția de echilibru între presiunea hidrostatică exercitată de coloana de lichid de înălțime h și presiunea Laplace

$$(11.56) \quad \rho gh = \frac{2\sigma}{r},$$

$$\text{de unde } h = \frac{2\sigma}{\rho gr}.$$

Dacă lichidul udă tubul dar nu-l udă perfect, unghiul de racord al suprafeței lichidului la peretele solid este $\theta \neq 0$ (așa ca în fig. 11.11.a). În acest caz, raza meniscului de lichid este $R = r/\cos \theta$, diferită de raza r a tubului capilar și ascensiunea lichidului în tub se determină cu relația lui Jurin

$$(11.57) \quad h = \frac{2\sigma}{\rho g R} = \frac{2\sigma \cos \theta}{\rho gr}.$$

În cazul lichidelor ce nu udă tubul capilar, unghiul de racord este obtuz $90^\circ < \theta < 180^\circ$ (situație reprezentată în fig. 11.11.b) și depresiunea capilară se exprimă tot prin formula lui Jurin (11.57), cu $\cos \theta < 0$.

Fenomenul de udare a solidelor prezintă foarte mare importanță în unele procese cum ar fi: curățirea suprafețelor, spălarea țesăturilor, flotația etc. Udarea

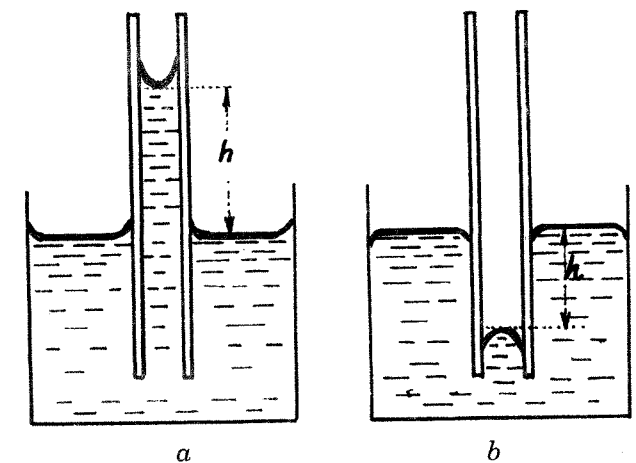


Fig. 11.10

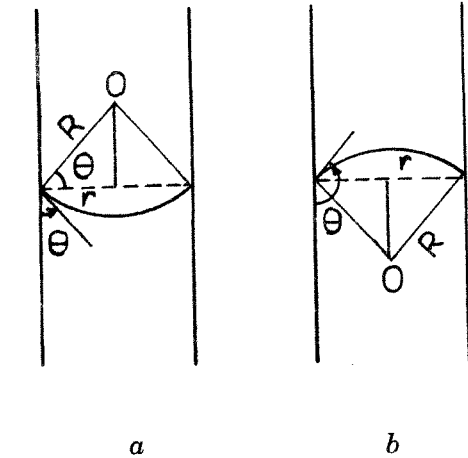


Fig. 11.11

se poate îmbunătăți dacă în lichid se adaugă substanțe care îi micșorează tensiunea superficială și unghiul de racord θ ; acestea se numesc substanțe tensioactive (de exemplu săpunul, detergentii, în apă).

11.4.5. Fenomene de contact la suprafața de separație a trei medii

Să considerăm trei medii diferențiate (trei faze volumice) separate între ele prin suprafețe distincte. Ca exemplu, să ne imaginăm o picătură de ulei pe suprafața apei, reprezentată în fig. 11.12.a în secțiune printr-un plan perpendicular pe suprafață.

Notăm cu σ_{12} , σ_{23} și σ_{13} coeficienții de tensiune superficială corespunzători, respectiv, suprafețelor de separație a către două dintre cele trei medii în contact. Forțele de tensiune superficială \vec{F}_{12} , \vec{F}_{23} și \vec{F}_{13} sunt orientate tangențial la suprafețele de separație; se obișnuiește notarea lor cu $\vec{\sigma}_{12}$, $\vec{\sigma}_{23}$ și $\vec{\sigma}_{13}$ atunci când sunt exprimate pentru unitatea de lungime a conturului curbei de separație între cele trei faze.

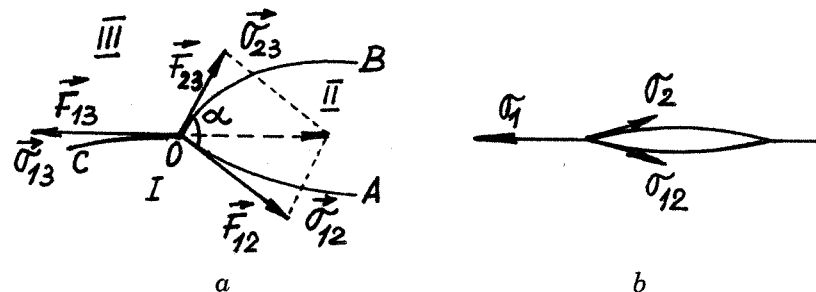


Fig. 11.12

La echilibru, suma vectorială a acestor forțe trebuie să fie zero și este satisfăcută relația

$$(11.58) \quad \sigma_{13}^2 = \sigma_{12}^2 + \sigma_{23}^2 + 2\sigma_{12} \cdot \sigma_{23} \cdot \cos \theta$$

denumită relația lui Neumann.

În cazul unei picături de formă lenticulară (turtită) din lichidul (II) nemiscibil cu primul lichid (mediul I în figura 11.12.b), unghiul de racord θ este foarte mic ($\theta \approx 0$). Relația Neumann devine

$$(11.59) \quad \sigma_{13} = \sigma_{12} + \sigma_{23} \quad \text{sau} \quad \sigma_{12} = \sigma_{13} - \sigma_{23}$$

ceea ce arată că se poate calcula coeficientul σ_{12} numit coeficient de *tensiune interfacială* la suprafața de separație dintre două faze lichide, făcând diferența între valorile coeficienților de tensiune superficială (σ_{13} și σ_{23}) ce

caracterizează cele două medii în raport cu unul al treilea mediu (de obicei aerul).

În majoritatea cazurilor, însă, lichidele nu sunt perfect nemiscibile, așa încât, după un timp oarecare, la suprafața lor de separație se formează soluții saturate ale unui lichid în celălalt; lichidele nu mai sunt pure și tensiunea interfacială se modifică.

Să mai luăm în discuție un exemplu; *contactul lichid-solid*. Ne imaginăm o picătură de lichid pe suprafața unui solid (hașurat, în fig. 11.13 a și b). Relația de echilibru a forțelor de tensiune superficială (11.58) devine:

$$(11.60) \quad \sigma_{13} = \sigma_{23} \cos \theta + \sigma_{12}$$

și se mai numește, în acest caz, ecuația Young. Se poate calcula unghiul de racord θ , dacă se cunosc coeficienții de tensiune superficială și interfacială, prin relația $\cos \theta = (\sigma_{13} - \sigma_{12})/\sigma_{23}$. Dacă $\theta = 0$, lichidul udă perfect solidul și picătura se întinde pe suprafața solidului, iar dacă $0 < \theta < \pi/2$, lichidul udă solidul (caz reprezentat în fig. 11.13.a). În fig. 11.13.b se reprezintă cazul în care lichidul nu udă solidul și $\pi > \theta > \pi/2$.

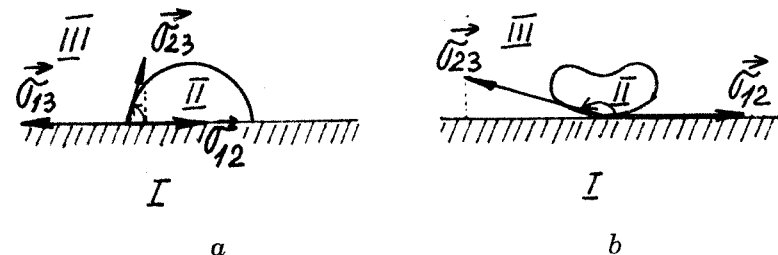


Fig. 11.13

Dacă suprafața de separație este un perete vertical al vasului în care e conținut lichidul, avem cazul obișnuit al aderenței lichidului la un perete solid, reprezentat schematic în figura 11.14.a pentru lichide ce udă vasul și în figura 11.14.b în cazul lichidelor ce nu udă solidul. Si în acest caz se aplică ecuația Young, sub forma (11.60).

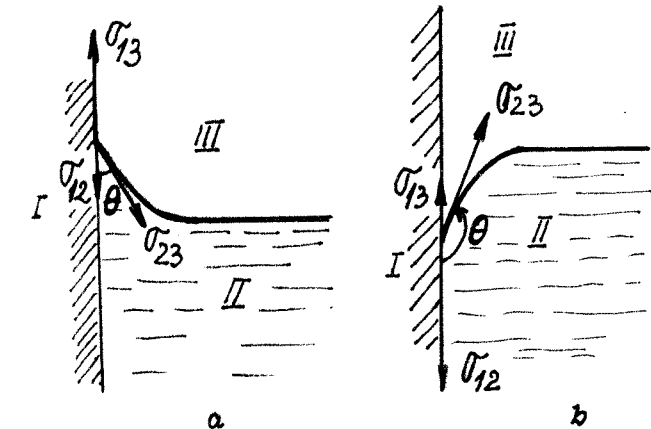


Fig. 11.14

Dacă suprafața solidului este rugoasă, ecuația Young se aplică fiecărui element al suprafeței, iar unghiul ce se observă între suprafața lichid/gaz și suprafața aparentă a solidului va varia în funcție de poziția liniei de contact. Unghiul de contact θ este afectat de asemenea de prezența moleculelor adsorbite pe suprafață (vezi, de exemplu, aderența apei pe peretele unui pahar care prezintă urme de grăsimi). Unghiul θ depinde și de "istoria" suprafeței, adică de faptul dacă a fost sau nu udată anterior de același lichid sau dacă frontieră de separație lichid / gaz / solid avansează sau regresează; spunem că există un fenomen de histerezis al unghiului de contact.

Dacă starea suprafeței este fixată (inclusiv "istoria" ei), atunci unghiul de contact are o valoare bine definită; constanța unghiului de contact într-un sistem dat (în anumite condiții) reprezintă a doua lege Laplace a capilarității.

11.5. Vaporizarea lichidelor

11.5.1. Aspecte fenomenologice privind vaporizarea

La orice temperatură, de la suprafața unui lichid se desprind o parte din molecule, formând vaporii deasupra lichidului, fenomen numit evaporare. Pentru a părăsi lichidul, moleculele ce se evaporă trebuie să învingă forțele de atracție ale celorlalte molecule din lichid și să învingă presiunea exterioară a vaporilor deja formați; deci o astfel de molecule trebuie să aibă o energie cinetică de agitație termică suficient de mare. Transformarea unei părți a moleculelor lichidului în vapori se face pe baza moleculelor mai rapide, ce părăsesc lichidul, ceea ce conduce la răcirea acestuia.

Simultan cu trecerea lichidului în fază de vapori are loc și trecerea inversă a unor molecule de vapori în lichid – fenomen numit condensare. Dacă un astfel de proces are loc într-un spațiu închis, se ajunge la o stare de echilibru dinamic. Acest fenomen se poate realiza în mai multe moduri distincte:

- vaporizarea în vid (în spațiu închis),
- vaporizarea în prezența altor gaze în spațiul de vaporizare,
- evaporarea (ce se realizează numai la suprafața lichidului) și
- fierberea, în care vaporizarea are loc în întreaga masă a lichidului, la temperatura critică de fierbere (T_c).

La această temperatură corpul se prezintă sub forma unui amestec de două faze (lichid și vaporii) în întreg volumul său. Temperatura de fierbere rămâne constantă până când toată substanța se transformă în vapori, energia absorbită de lichid de la sursa de căldură servind la învingerea forțelor de coeziune.

Primele trei tipuri de procese de vaporizare pot avea loc la orice temperatură; viteza de vaporizare este cu atât mai mare cu cât temperatura lichidului e mai mare.

În cazul vaporizării în vid, vaporii nesaturați respectă legile gazelor ideale; vaporii saturanți nu se supun acestor legi, iar când presiunea lor devine egală cu presiunea exterioară ($p_s = p_{ext}$), lichidul începe să fierbă.

Dacă mai există și alte gaze deasupra lichidului, presiunea vaporilor săi saturanți nu se modifică, dacă se respectă condiția ca să nu aibă loc reacții chimice între substanțele respective. Presiunea totală se calculează respectând legea Dalton pentru calculul presiunii unui amestec de gaze.

În cazul evaporării lichidului numai de la suprafață, viteza de evaporare vă exprimă prin masa vaporilor ce părăsesc lichidul în unitatea de timp (m/t) este dată de relația

$$(11.61) \quad v = A \cdot S \cdot \frac{P_m - P}{H},$$

în care S este suprafața liberă a lichidului, H – presiunea atmosferică, P_m – presiunea maximă a vaporilor saturanți corespunzătoare temperaturii la care se află lichidul, iar P este presiunea vaporilor nesaturanți existenți în atmosferă. Coeficientul A depinde de natura lichidului, fiind mai mare în cazul lichidelor ușor volatile decât în cazul celor ce se evaporă mai greu. Un lichid pur fierbe totdeauna la aceeași temperatură, dacă presiunea e aceeași. Temperatura de fierbere se menține constantă dacă presiunea este constantă.

Căldura latentă de vaporizare a unei mase m de lichid este $Q_v = \lambda_v \cdot m$, unde λ_v reprezintă căldura latentă specifică de vaporizare.

Fierberea este o tranziție de fază de ordinul întâi, pentru care se respectă ecuația Clapeyron-Clausius (relația 5.100), din care se poate afla cât este creșterea dT a temperaturii de fierbere a unui lichid atunci când presiunea crește cu dP :

$$(11.62) \quad dT = T_f \cdot \frac{V_v - V_1}{\lambda_v} \cdot dP,$$

unde V_v și V_1 reprezintă, respectiv, volumul molar în fază de vapori și V_1 – volumul molar al lichidului.

11.5.2. Explicația cinetică a fenomenului de vaporizare

Pentru a explica din punct de vedere cinetic vaporizarea lichidelor, se presupune valabilă o distribuție a vitezelor moleculelor de lichid de același tip ca și distribuția vitezelor moleculelor gazelor ideale (distribuția Maxwell).

Să considerăm lichidul format din molecule identice, de masă m , în echilibru termic la temperatura T . Pentru a putea părăsi lichidul, o

moleculă cu viteza v trebuie să aibă energie cinetică suficientă pentru a învinge atracția forțelor de coeziune între molecule:

$$(11.63) \quad \frac{mv^2}{2} \geq L,$$

unde L este lucrul mecanic al forțelor de coeziune. Componenta minimă a vitezei unei molecule, orientată perpendicular pe suprafața lichidului, trebuie să fie $v_0 = \sqrt{2L/m}$ pentru ca aceasta să poată ieși din lichid.

Dacă distribuția moleculelor după componente v_x, v_y, v_z ale vitezei este de tip Maxwell (§ 6.4.3), probabilitatea ca o moleculă să aibă componente vitezei în intervalele $[v_x, v_x + dv_x]$, $[v_y, v_y + dv_y]$ și $[v_z, v_z + dv_z]$ este dată de expresia (6.56).

Să calculăm numărul de molecule din unitatea de volum care au la un moment dat componenta v_z a vitezei în intervalul $[v_z, v_z + dv_z]$, independent de valorile celorlalte componente ale vitezei. Aceasta se obține prin integrare după componente v_x și v_y :

$$(11.64) \quad dn = n_1 \left(\frac{m}{2\pi kT} \right)^{3/2} \cdot e^{-mv_z^2/2kT} \cdot dv_z \int_{-\infty}^{+\infty} e^{-mv_y^2/2kT} \cdot dv_y \int_{-\infty}^{+\infty} e^{-mv_x^2/2kT} \cdot dv_x = \\ = n_1 \left(\frac{a}{\pi} \right)^{3/2} \cdot e^{-av_z^2} \cdot dv_z \left(\sqrt{\frac{\pi}{a}} \right)^2 = n_1 \left(\frac{a}{\pi} \right)^{1/2} \cdot e^{-av_z^2} \cdot dv_z$$

unde n_1 reprezintă numărul moleculelor de lichid din unitatea de volum și $a = m/2kT$.

Numărul de molecule dN_1 care părăsesc în unitatea de timp unitatea de arie din suprafața liberă a lichidului este cuprins într-un cilindru cu aria bazei egală cu o unitate și înălțimea v_z , adică de volum $v_z \times 1$ și poate fi exprimat prin relația

$$(11.65) \quad dN_1 = dn \cdot v_z = n_1 \cdot \left(\frac{a}{\pi} \right)^{1/2} \cdot e^{-av_z^2} \cdot v_z dv_z$$

Prin integrare, putem obține numărul moleculelor cu viteze mai mari decât v_0 , care părăsesc în unitatea de timp unitatea de suprafață a lichidului:

$$(11.66) \quad N_1 = n_1 \left(\frac{a}{\pi} \right)^{1/2} \int_{v_0}^{\infty} e^{-av_z^2} \cdot v_z dv_z = \frac{n_1}{2} \left(\frac{1}{\pi a} \right)^{1/2} e^{-av_0^2};$$

integrarea s-a efectuat cu ajutorul integralelor Poisson (Anexa A1).

Să calculăm numărul moleculelor de vaporii care, venind din toate direcțiile, intră în unitatea de timp prin unitatea de suprafață liberă a lichidului (condensează):

$$(11.67) \quad N_v = n_v \left(\frac{a}{\pi} \right)^{1/2} \int_0^{\infty} e^{-av_z^2} \cdot v_z dv_z = \frac{n_v}{2} \left(\frac{1}{\pi a} \right)^{1/2},$$

unde n_v este densitatea moleculară a vaporilor. Limitele de integrare se iau între 0 și ∞ deoarece condensarea vaporilor se poate produce independent de viteza lor cu condiția să atingă suprafața lichidului.

Dacă vaporizarea are loc într-un spațiu închis, se poate ajunge la o stare de echilibru dinamic pentru care $N_v = N_1$ și

$$(11.68) \quad n_v = n_1 \cdot e^{-av_0^2} = n_1 \cdot e^{-mv_0^2/2kT}.$$

Tinând cont că energia ce trebuie comunicată unui kmol de lichid pentru a se vaporiza, adică tocmai căldura latentă (unde λ = căldura latentă specifică) poate fi exprimată prin lucrul mecanic al forțelor de coeziune care împiedică vaporizarea lichidului ($\lambda \cdot \mu = N_A \cdot L$) și utilizând relația (11.63) putem scrie (11.68) sub formă:

$$(11.69) \quad n_v = n_1 \cdot e^{-\lambda \mu / RT}$$

Putem scrie această relație și în funcție de densitățile în faza lichidă ($\rho_1 = n_1 \cdot m$) și în cea de vaporii ($\rho_v = n_v \cdot m$), sub formă

$$(11.70) \quad \rho_v = \rho_1 \cdot e^{-\lambda \mu / RT},$$

de unde, prin logaritmare obținem:

$$(11.71) \quad \lambda = \frac{1}{\mu} RT \cdot \ln \frac{\rho_1}{\rho_v} = \frac{1}{\mu} RT \cdot \ln \frac{V_v}{V_1}$$

din care se poate calcula căldura latentă specifică de vaporizare cunoscând densitățile celor două faze sau volumele lor molare.

Să luăm acum în considerare și volumul propriu al moleculelor, de care nu am ținut cont până acum. În acest caz, volumul moleculelor este mai mic și relația (11.71) devine:

$$(11.72) \quad \lambda = \frac{1}{\mu} RT \cdot \ln \frac{V_v - b}{V_1 - b},$$

unde b este covolumul, a cărui semnificație fizică s-a văzut atunci când s-a studiat comportarea gazelor reale (§ 9.2.1).

11.5.3. Dependența de temperatură a presiunii vaporilor saturanți

Să exprimăm acum relația (11.69) în funcție de presiunea vaporilor ($p_v = n_v \cdot k \cdot T$) și de presiunea în faza lichidă ($p_1 = n_1 \cdot k \cdot T$), sub formă

$$(11.73) \quad P_v = P_1 \cdot e^{-\mu \lambda / RT} = n_1 \cdot kT \cdot e^{-\mu \lambda / RT}.$$

Observăm că presiunea vaporilor saturanți (adică a vaporilor ce sunt în stare de echilibru dinamic cu lichidul din care provin) depinde

exponențial de temperatură lichidului. Pentru intervale largi de temperatură, mărimile n_1 și λ depind la rândul lor de temperatură, dar pentru un interval mai îngust de variație a temperaturii ele se pot considera constante. Relația (11.73) se poate obține și plecând de la ecuația Clapeyron-Clausius valabilă pentru toate transformările de fază de ordinul I (§ 5.3.2).

În practică e mai ușor de utilizat (11.73) sub forma:

$$(11.74) \quad \ln P_v = -\frac{\mu\lambda}{RT} + \ln T + C,$$

unde $C = \ln(k \cdot n_1)$ este o constantă caracteristică fiecărui lichid. Termenul al doilea din (11.74) dă o variație lentă a lui P_v cu temperatura, așa încât, în primă aproximare el se poate considera constant și ecuația (11.74) ia forma:

$$(11.75) \quad \ln P_v = -\frac{\mu\lambda}{R} \cdot \frac{1}{T} + C_1.$$

Astfel, dependența presiunii vaporilor saturanți de temperatură poate fi reprezentată grafic în coordinate semilogaritmice $\ln P_v = f(1/T)$ așa ca în figura 11.15. Mărimile P_v și T se pot măsura experimental.

Calculând din acest grafic panta dreptei se poate determina căldura latentă de vaporizare a lichidului (din relația $R \cdot \operatorname{tg}\beta = -\mu\lambda$).

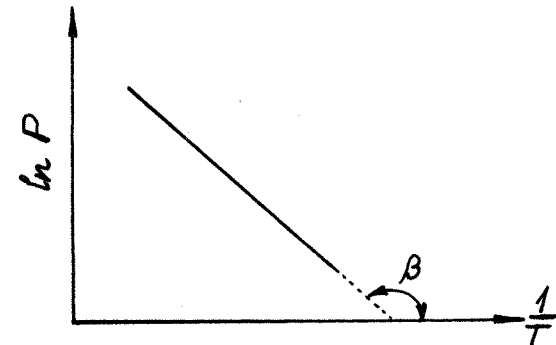


Fig. 11.15

11.5.4. Dependența presiunii vaporilor saturanți de curbura suprafeței lichidului

Să ne imaginăm o picătură sferică ce se evaporă. Pe măsura evaporării, raza picăturii scade și ca urmare se micșorează suprafața picăturii; energia superficială a lichidului din picătură se micșorează de asemenea.

Se știe că orice sistem termodinamic tinde să treacă într-o stare de echilibru în care energia să fie minimă. Datorită acestui fapt, dacă într-un vas închis se găsește un lichid cu suprafața plană și pe pereții vasului se află picături sferice din același lichid, pentru a se stabili echilibrul termodinamic picăturile se vor evapora complet și vaporii vor condensa pe suprafața plană a lichidului din vas. Aceasta înseamnă că presiunea vaporilor saturanți deasupra picăturilor mici de lichid (sau, în general, deasupra unei suprafețe convexe) este mai mare decât deasupra suprafeței plane a restului lichidului.

Energia superficială nu se modifică în timpul evaporării lichidului de pe o suprafață plană deoarece atât σ , cât și aria suprafeței nu se modifică prin evaporare.

Să încercăm să calculăm cu cât diferă presiunea vaporilor saturanți deasupra unei suprafețe curbe față de cea de deasupra unei suprafețe plane. Considerăm un vas închis ce conține un lichid în care este introdus parțial un tub capilar (ca în fig.11.16). Sub acțiunea forțelor capilare lichidul urcă în tub până la înălțimea $h = 2\sigma/\rho gr$, semnificația mărimilor fiind aceeași ca și în § 11.4.4. După stabilirea echilibrului termodinamic, vasul fiind închis, deasupra suprafeței lichidului din vas și din tubul capilar se vor găsi vaporii saturanți, în câmpul gravitațional terestru. Presiunea P a vaporilor saturanți la nivelul B deasupra suprafeței concave a lichidului din tub trebuie să fie mai mică decât presiunea P_0 la nivelul A de deasupra suprafeței plane. Utilizând formula barometrică, obținem:

$$P = P_0 \cdot e^{-\mu gh/RT} = P_0 \cdot e^{-\mu \cdot 2\sigma/\rho RT},$$

sau

$$(11.76) \quad \ln \frac{P}{P_0} = -\frac{\mu}{\rho RT} \cdot \frac{2\sigma}{r}$$

ρ fiind densitatea lichidului.

Se poate obține și o formulă aproximativă, mai simplă, pentru a exprima legătura între P , P_0 și raza de curbură a suprafeței. Astfel, diferența între presiunile vaporilor saturanți în punctele A și B poate fi considerată ca fiind egală aproximativ cu presiunea coloanei de vapori saturanți (cu densitatea ρ_0) de înălțime h :

$$(11.77) \quad P_A - P_B = P_0 - P = \rho_0 gh = \rho_0 g \cdot \frac{2\sigma}{\rho gr}, \text{ adică}$$

$$P = P_0 - \frac{\rho_0}{\rho} \cdot \frac{2\sigma}{r}.$$

Rezultă astfel că deasupra unei suprafețe concave de lichid presiunea este mai mică decât deasupra unei suprafețe plane, așa după cum se vede și din formula (11.76); deasupra suprafețelor convexe presiunea este mai mare decât deasupra celor plane.

Ca exemplu, să aplicăm relația (11.76) pentru o picătură sferică de apă la temperatura mediului înconjurător (300K). Cunoscând densitatea apei $\rho = 1000 \text{ kg/m}^3$ și masa molară $\mu = 18 \text{ kg/kmol}$ rezultă că pentru o picătură de ceată cu raza de $r \approx 10^{-5} \text{ m}$, raportul $P/P_0 = 1.01$, adică diferența de presiune între suprafața picăturii și suprafața plană este de ~1%. Pentru

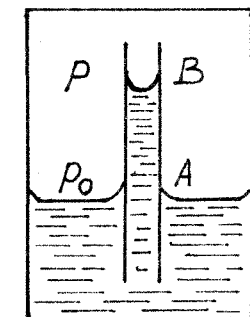


Fig. 11.16

o picătură cu raza $r \approx 10^{-9}$ m rezultă $P/P_0 = 3$, adică presiunea vaporilor deasupra picăturii devine triplă față de presiunea de deasupra suprafeței plane; aceste particularități joacă un rol deosebit în procesele de fierbere, de formare a picăturilor de ploaie și în fenomenele meteorologice.

11.6. Lichidele ca solide dezordonate

Multe proprietăți fizice ale lichidelor diferă numai cu puțin de aceleia ale solidelor. Astfel, de exemplu, la topire modificarea relativă a volumului este destul de mică (de aproximativ 10%). Astă înseamnă că prin tranziția de la starea solidă la cea lichidă distanțele între particulele substanței se schimbă foarte puțin. De asemenea, căldura molară a corpurilor solide rămâne aproape neschimbată în timpul topirii.

Prin analiza structurală cu raze X se constată că aranjarea particulelor în lichide la temperaturi apropiate de temperatura de solidificare nu este haotică. Difracțogramele de raze X ale lichidelor la temperaturi joase se aseamănă cu cele ale corpurilor solide policristaline.

Un lichid poate fi considerat ca un corp format dintr-un număr foarte mare de particule cristaline, neorientate, de mărime submicroscopică (numite regiuni cybotaxice). În intervalul fiecărei regiuni cybotaxice se menține un aranjament cristalin relativ regulat al atomilor sau moleculelor.

Pentru studiul stării lichide este la fel de importantă tratarea lichidelor ca solide dezordonate, alterate, în care ordinea la distanță dispără și tratarea lor plecând de la principiul continuității dintre starea gazoasă și cea lichidă.

11.6.1. Structura lichidelor. Modelul celular

Pornind de la similitudinea parțială dintre starea lichidă și cea solidă, au fost dezvoltate mai multe modele de structură pentru starea lichidă: modelul cellular, modelul cellular cu goluri, modelul tunel. Aceste modele asimilează lichidele cu o rețea cristalină ordonată, în care ordinea la distanță a fost distrusă; de aceea se mai numesc modele reticulare (sau de rețea) ale stării lichide.

În modelul cellular ipotezele de bază sunt următoarele:

- volumul lichidului poate fi considerat ca fiind format din celule identice, fiecare celulă conținând numai o particulă (atom, molecule, ion, în funcție de natura lichidului),
- centrele tuturor celulelor formează o rețea spațială regulată,
- particulele lichidului se mișcă în celulele lor, independent unele de altele.

Dacă notăm cu a distanța dintre centrele celulelor (aproximativ egală cu distanța dintre particulele vecine) și cu m masa unei particule,

atunci putem scrie densitatea lichidului ca $\rho = m/a^3$. Dacă notăm cu M masa unui kmol de lichid și cu N_A - numărul lui Avogadro, rezultă că $M = N_A \cdot \rho \cdot a^3$. Volumul unei celule este $v = a^3 = V/N_A$ (V este volumul molar).

Pentru a evalua volumul liber, în care se pot mișca moleculele, să considerăm că rețeaua spațială a lichidului este cubică simplă; aplicăm astfel cea de a doua ipoteză din modelul cellular. Să considerăm un sir de particule din lungul axei Ox din rețea (fig. 11.17.a). Particula mobilă din centru (hașurată) se poate mișca liber în direcția Ox pe distanță maximă:

$$(11.78) \quad 2v^{1/3} - 2\sigma = 2(v^{1/3} - \sigma),$$

unde σ reprezintă diametrul molecular.

Presupunem că în direcțiile Oy și Oz parcursul liber al unei particule este egal cu cel din direcția Ox. Volumul liber pentru mișcarea unei particule este

$$(11.79) \quad v_f = 8(v^{1/3} - \sigma)^3.$$

Să încercăm să exprimăm acest volum în funcție de covolumul b definit în același mod ca și pentru gazele reale ce se supun ecuației Van der Waals sub forma

$$(11.80) \quad b = 4 \cdot \frac{4\pi}{3} \left(\frac{\sigma}{2} \right)^3 \cdot N_A.$$

Din această relație rezultă că

$$(11.81) \quad \sigma = 2 \left(\frac{3b}{16\pi N_A} \right)^{1/3} = 0,7816 \left(\frac{b}{N_A} \right)^{1/3},$$

iar din (11.79) obținem

$$(11.82) \quad v_f = 8 \left[\left(\frac{V}{N_A} \right)^{1/3} - 0,7816 \left(\frac{b}{N_A} \right)^{1/3} \right]^3.$$

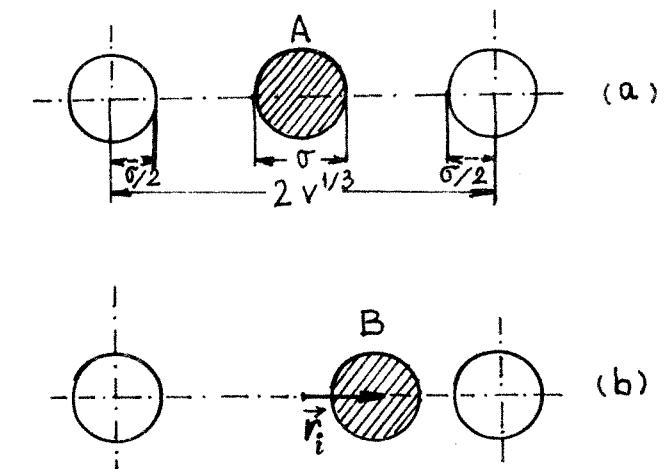


Fig. 11.17

Constanta $c = 0,7816$ depinde de tipul de rețea spațială ales ($0,7816$ - pentru rețeaua cubică simplă, $0,7163$ - pentru cub centrat în volum, $0,6962$ - pentru rețeaua c.f.c), depinzând astfel de natura lichidului.

Să evaluăm acum integrala de configurație sau integrala stărilor (funcția de partiție) definită în § 7.2.3, ce are în acest caz expresia

$$(11.83) \quad Z_N = \frac{1}{N!} \int \dots \int e^{-E(\vec{r})/kT} \cdot d\vec{r}_1 \cdot d\vec{r}_2 \dots d\vec{r}_N,$$

cu semnificația cunoscută a mărimilor; variabila \vec{r} are un caracter vectorial.

Conform celei de a treia ipoteze de bază a modelului celular, energia unei molecule nu depinde de poziția celorlalte molecule și mișcarea ei este independentă. Energia sistemului poate fi evaluată astfel, cu aproximare, printr-o sumă de termeni în care fiecare depinde de poziția unei singure molecule. Notăm cu $E(O)$ energia potențială a unui kmol de lichid când toate

particulele constituente ocupă centrele celulelor proprii și cu $[\Psi(\vec{r}_i) - \Psi(\vec{O})]$ variația energiei potențiale când molecula i se deplasează față de centrul celulei cu vectorul \vec{r}_i , restul particulelor fiind considerate în centrele celulelor proprii (în fig. 11.17.b, molecula din centru se află în poziția B). Energia sistemului este:

$$(11.84) \quad E = E(O) + \sum_i [\Psi(\vec{r}_i) - \Psi(\vec{O})].$$

Pentru fiecare particulă $\Psi(\vec{r}_i)$ depinde numai de vectorul \vec{r}_i ce reprezintă deplasarea față de centrul celulei și este independent față de mișcarea particulelor din celulele vecine (aproximația Einstein-Grüneisen).

Energia $E(O)$ poate fi dedusă din energia molară de vaporizare (egală cu $-E(O)$). În cazul lichidelor moleculare, Hildebrand a arătat că energia de vaporizare depinde de parametrii T și V printr-o funcție de forma

$$(11.85) \quad E(O) = -\frac{a(T)}{V},$$

în care a depinde de natura lichidului și de temperatura la care are loc vaporizarea.

Să calculăm integrala de configurație (11.83) utilizând volumul liber dat de relația (11.82) și energia $E(O)$ din (11.85); considerăm pentru calculul energiei că particulele se află în centrele celulelor, deci $\vec{r}_i = 0$ și $E(r) = E(O)$.

Obținem astfel

$$(11.86) \quad Z_N = 8^N \cdot e^{a/kTV} \left[\left(\frac{V}{N} \right)^{1/3} - 0,7816 \left(\frac{b}{N} \right)^{1/3} \right]^{3N}$$

Se calculează apoi energia liberă a sistemului (utilizând relația 7.37) $F = -kNT \ln Z_N$ și presiunea

$$(11.87) \quad P = - \left(\frac{\partial F}{\partial V} \right)_T = kT \left(\frac{\partial \ln Z_N}{\partial V} \right)_T.$$

Rezultă astfel

$$P = -\frac{a}{V^2} + \frac{RT}{V - 0,7816 b^{1/3} \cdot V^{2/3}},$$

relație care se poate scrie

$$(11.88) \quad \left(P + \frac{a}{V^2} \right) (V - 0,7816 b^{1/3} \cdot V^{2/3}) = RT.$$

Aceasta este ecuația de stare a lui Eyring, asemănătoare cu ecuația Van der Waals, de care diferă prin corecția de volum care depinde de volumul V al lichidului. Constanta c are valoarea 0,7816.

Ecuația de stare Eyring dă rezultate concordante cu datele experimentale în cazul lichidelor moleculare (eter etilic, tetrachlorură de carbon, benzen etc.).

J.E.Lennard-Jones și A.F.Devonshire dau o tratare mai riguroasă a teoriei lichidelor în modelul celular; prezentarea ei ieșe însă din cadrul lucrării de față.

Dilatarea lichidelor se explică satisfăcător în modelul cellular presupunând modificarea dimensiunilor celulelor prin încălzire. Modelul celular cu goluri dă o explicație bună atât pentru dilatarea termică, cât și pentru variația volumului lichidelor prin solidificare.

Se știe că volumul celor mai multe substanțe crește prin topire (excepție făcând apa, galu și bismutul). Din determinări de difracție de raze X și de neutroni rezultă că numărul particulelor celor mai apropiate de o particulă dată (indicele său de coordinație) descrește prin topire. Rezultă că prin topire cresc distanțele dintre particule și descrește numărul de vecini apropiati ai unei particule date. Aceasta sugerează prezența unor locuri vacante în rețeaua spațială a lichidului, neocupate de particulele constitutive, locuri numite *goluri* sau *vacanțe*.

Prezența celulelor vacante permite explicarea curgerii și difuziei lichidelor. În modelul celular cu goluri dilatarea termică poate fi explicată în principal prin creșterea numărului de goluri din rețea, la care se poate adăuga și o creștere a dimensiunilor celulelor. Se explică de asemenea tensiunea superficială și presiunea internă în lichide. Toate aceste aspecte au fost tratate teoretic de H. Eyring, D. Henderson, B.J.Stover și alții și s-au obținut rezultate în bună concordanță cu datele experimentale pentru lichidele ionice și moleculare.

11.6.2. Fenomene de transport în lichide

În lichide au loc fenomene de transport atunci când există o neomogenitate spațială (un gradient) de densitate, de temperatură sau de viteză ordonată a moleculelor. Aceste fenomene se supun același legi fizice ca și

cele exprimate prin ecuațiile diferențiale ale fenomenelor de transport în gaze (cap.8).

Expresiile deduse pentru coeficienții de transport în gaze nu sunt totuși aplicabile la lichide.

Viscozitatea lichidelor a fost mult studiată din punct de vedere experimental; s-a constatat că majoritatea lichidelor respectă legea Newton (8.32) și de aceea se numesc lichide newtoniene. Există însă și lichide ne-newtoniene (cum ar fi polimerii, anumite suspensii coloidale), care sunt studiate în cadrul reologiei.

La temperaturi înalte, în apropierea temperaturii critice de tranziție lichid-gaz, adică a punctului de inflexiune de pe izotermele Van der Waals, frecarea internă din lichide este explicată din punct de vedere cinetico-molecular prin transportul de impuls de către molecule.

La temperaturi joase, apropiate de punctul de solidificare, impulsul unei molecule variază în acord cu vibrațiile particulelor în jurul pozițiilor lor temporare de echilibru. În acest domeniu de temperaturi viscozitatea lichidelor variază după o lege exponentială dată de Arrhenius și De Guzmann:

$$(11.89) \quad \eta = A \cdot T \cdot e^{E_a/RT},$$

unde E_a este energia de activare pentru viscozitate iar A este un factor constant.

Valorile energiei de activare pot fi corelate cu anumite proprietăți ale lichidelor. În cazul lichidelor metalice, de exemplu, energia de activare este $E_a = 3RT_0$, unde R este constanta generală a gazelor și T_0 este temperatura de topire. Pentru lichide ionice energia de activare se estimează după relația lui Bockris: $E_a = 3,7 RT_0$.

La lichide viscozitatea crește destul de rapid cu creșterea temperaturii, conform relației (11.89). Reamintim că la gaze, coeficientul η crește proporțional cu \sqrt{T} (§ 8.4.2). Această comportare diferită se explică prin aceea că mecanismul cinetico-molecular al viscozității este diferit la lichide față de gaze; la lichide curgerea vâscoasă este un fenomen activat, ce necesită o energie de activare, iar la gaze se realizează prin schimb de impuls între diferite grupe de molecule.

La presiuni mari viscozitatea lichidelor crește rapid cu presiunea, ceea ce se explică prin creșterea energiei de activare și prin mărirea corespunzătoare a timpului de relaxare.

Fluiditatea lichidelor este mărimea fizică inversă a coeficientului de viscozitate $\rho = 1/\eta$.

Metodele de măsurare a viscozității lichidelor se bazează pe două relații ce se pot deduce în hidrodinamica clasică: relația Hagen-Poiseuille și relația Stokes, ale căror expresii le dăm în cele ce urmează. La curgerea unui lichid printr-un tub capilar de rază R și lungime L, sub acțiunea unei

presiuni hidrostatice P, debitul volumic al lichidului (V/t) depinde de viscozitate după relația Hagen-Poiseuille:

$$(11.90) \quad \frac{V}{t} = \frac{\pi \cdot R^4 \cdot P}{8\eta L}.$$

Conform relației Stokes, forța F_s care se opune deplasării unei sfere de rază r într-un mediu lichid depinde de raza sferei, de viteza de deplasare și de viscozitatea η :

$$(11.91) \quad F_s = 6\pi r \cdot \eta \cdot v.$$

În cazul amestecurilor de lichide viscozitatea amestecului depinde de viscozitățile componenților puri după relația

$$(11.92) \quad \frac{1}{\eta} = \frac{x_1}{\eta_1} + \frac{x_2}{\eta_2}$$

unde x_1 și x_2 sunt concentrațiile exprimate prin fracțiile molare, iar η_1 și η_2 sunt viscozitățile componenților în stare pură.

Teoria lui Eyring (modelul celular) explică din punct de vedere cinetico-molecular fenomenele de transport la lichide prin *mecanism de salt*. În modelul celular se presupune că moleculele vibrează în jurul pozițiilor de echilibru; aceste poziții nu sunt fixe (ci numai fixate temporar) și datorită fluctuațiilor termice pot să apară vacanțe în vecinătatea moleculei producându-se saltul în aceste vacanțe. Deoarece la lichide viscozitatea este mai mică și difuzia este mai intensă decât la solide, aceste salturi vor fi mai frecvente în lichide.

Utilizând ipotezele de bază ale modelului celular (§ 11.6.1), să considerăm două straturi adiacente de molecule dintr-un lichid, separate prin distanța λ_1 (așa ca în schița din fig. 11.18.a). Notăm cu λ_2 și λ_3 , respectiv, distanțele dintre moleculele vecine în celelalte direcții (perpendicular pe direcția de mișcare și paralel cu ea). Presupunem că un strat aluneca peste celălalt sub acțiunea unei forțe (de forfecare). Conform legii lui Newton, forța f pe unitatea de suprafață, care tinde să depleteze un strat în raport cu stratul adiacent este proporțională cu gradientul de viteză:

$$(11.93) \quad f = -\eta \frac{\Delta u}{\lambda_1},$$

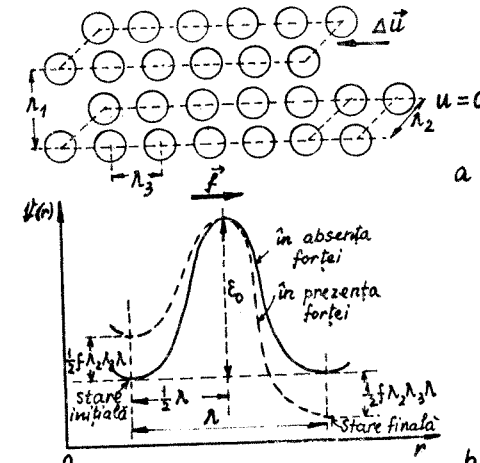


Fig. 11.18

unde Δu este diferența de viteza dintre cele două straturi adiacente. Mișcarea unui strat în raport cu altul implică saltul unei molecule dintr-o poziție de echilibru în alta vecină, din același strat. Acest salt se poate produce numai când există un gol neocupat; un astfel de gol (vacanță) se poate forma prin împingerea înainte a celorlalte molecule din strat, ceea ce necesită cheltuirea unei energii. Trecerea moleculelor dintr-o poziție de echilibru în poziția vecină poate fi asimilată cu trecerea sistemului peste o barieră de potențial.

Să reprezentăm energia potențială de interacțiune între o particulă și restul moleculelor din cele două straturi vecine (potențialul de interacțiune) în funcție de distanță (fig.11.18.b).

Să notăm cu λ distanța ce separă două poziții de echilibru vecine, în absența forței f , adică distanța dintre două minime ale potențialului de interacțiune separate printr-o barieră de energie de înălțime E_0 (energia de activare la 0 K pentru o particulă). Din motive de simetrie se consideră maximul de energie la mijlocul distanței dintre cele două minime ale energiei potențiale.

Forța totală ce acționează în direcția curgerii se aplică pe suprafața $\lambda_2\lambda_3$ și este $f \cdot \lambda_2\lambda_3$. În timpul unui salt în sens direct este necesară energia $(E_0 - \frac{1}{2}\lambda \cdot f \cdot \lambda_2\lambda_3)$, iar pentru un salt în sens invers, datorită forței de forfecare se produce o creștere a barierei până la valoarea $(E_0 + \frac{1}{2}\lambda \cdot f \cdot \lambda_2\lambda_3)$.

În urma calculului statistic al funcției de partitură moleculară, utilizând modelul celular și atribuind particulelor constitutive o mișcare de vibrație cu frecvență v se obține ecuația Eyring pentru coeficientul de viscozitate sub formă

$$(11.94) \quad \eta = \frac{RT}{\gamma V_\mu} \cdot \frac{1}{v} \cdot e^{E_n/RT} = A \cdot T \cdot e^{E_n/RT},$$

E_n fiind energia de activare corespunzătoare unui kmol de lichid.

Semnificația fizică a celorlalte mărimi din ecuația (11.94) este următoarea: V_μ = volumul molar, γ este un factor de structură, ce se poate deduce din condiția $a^3 = \gamma \cdot V_\mu / N_A$, a fiind parametrul rețelei cristaline. Rezultă de aici că valorile factorului γ sunt $\gamma = 1$ pentru structura cubică simplă, $\gamma = 3\sqrt{3}/4$ pentru cea cubică centrală în volum și $\sqrt{2}$ pentru o rețea c.f.c.

Frecvența medie v se deduce presupunând că particulele lichidului execută în agitația lor termică o mișcare oscilatorie armonică; în calcule se asimilează aceste particule cu câte trei oscilatori armonici fiecare, la fel ca și în teoria căldurilor specifice la solide. Frecvența v este foarte apropiată de frecvența particulelor în starea solidă și poate fi evaluată prin formula lui Lindemann

$$v = 2 \cdot 8 \cdot 10^{12} \cdot \sqrt{\frac{T_s}{\mu \cdot V_{\mu s}^{2/3}}}$$

unde T_s este temperatura de solidificare, μ - masa molară și $V_{\mu s}$ - volumul molar la temperatura T_s .

Dacă se cunoaște densitatea lichidului (ρ) și $V_\mu = \mu/\rho$, utilizând formula lui Lindemann se obține pentru coeficientul de viscozitate relația

$$(11.95) \quad \eta = \frac{R}{2 \cdot 8 \cdot 10^{12}} \cdot \frac{\rho T}{\mu^{1/6} \cdot \rho_s^{1/3} \cdot T_s^{1/2}} \cdot e^{E_n/RT},$$

în care ρ_s este densitatea lichidului în apropierea temperaturii de solidificare.

Valorile lui η calculate prin relația (11.95) sunt în bună concordanță cu datele experimentale obținute în cazul lichidelor ionice și moleculare. De exemplu, în cazul iodurii de rubidiu (RbI), coeficientul de viscozitate determinat experimental este $1,242 \cdot 10^{-2}$ Poise la temperatura $T = 969,2$ K, în timp ce valoarea calculată este $1,125 \cdot 10^{-2}$ Poise ($\mu = 212,37$; $\rho_s = 2895,9$ kg/m³, $T_s = 290$ K, $E_n = 21,5$ kJ).

Din relația (11.95) se poate afla energia de activare E_n , toate celelalte mărimi putându-se determina experimental sau fiind cunoscute.

Difuzia în lichide se supune același legi ca și fenomenul de difuzie în gaze. Conform legii lui Fick fluxul de autodifuzie, adică numărul de particule care difuzează într-o anumită direcție în unitatea de timp prin unitatea de suprafață perpendiculară pe direcția de transport este proporțional cu gradientul de concentrație

$$(11.96) \quad J = \frac{dN}{dSdt} = \frac{dn}{dt} = -D \frac{dn}{dz}.$$

Variația în timp a concentrației particulelor, în cazul unui flux de difuzie unidirecțional este dată de ecuația de difuzie:

$$(11.97) \quad \frac{dn}{dt} = D \cdot \frac{d^2n}{dz^2}.$$

În lichidele omogene din punct de vedere chimic, coeficientul de difuzie D crește rapid cu temperatura după o lege de formă:

$$(11.98) \quad D = D_0 \cdot e^{-E_D/RT} = b \cdot \frac{\bar{\lambda}^{-2}}{6\bar{\tau}} \cdot e^{-E_D/RT}$$

unde $\bar{\lambda}$ este distanța medie între moleculele de lichid $\bar{\tau} = 1/v$ este perioada medie a vibrației moleculelor în jurul poziției de echilibru, E_D - energia de activare pentru difuzie, iar D_0 și b_0 sunt constante de proporționalitate.

Ecuația (11.98) poate fi dedusă din teoria lui Eyring într-un mod asemănător cu cel prezentat în cazul fenomenului de viscozitate.

Creșterea lui D cu temperatură poate fi explicată prin scăderea abruptă a timpului $\bar{\tau}$ odată cu creșterea temperaturii și prin creșterea lui $\bar{\lambda}$. La temperaturi apropiate de valoarea critică, coeficienții de difuzie în lichide au valori apropiate de coeficientul de difuzie în gaze $D = \frac{1}{3} \bar{v} \cdot \bar{\lambda}$, unde $\bar{\lambda}$ este drumul liber mediu.

Fluxul de căldură ce apare în fenomenul de conductibilitate termică este dat și la lichide tot de legea Fourier (ca și la gaze):

$$(11.99) \quad J_Q = \frac{dQ}{dt \cdot dS} = -K \cdot \frac{dT}{dx} \quad \text{sau} \quad \vec{J}_Q = -K \vec{\text{grad}} T,$$

cu semnificația fizică a mărimilor cunoscută de la studiul fenomenelor de transport în gaze (§ 8.3). Coeficientul de conductivitate termică este o constantă de material și depinde în cazul lichidelor de temperatură (crește cu T).

Conductivitatea termică a lichidelor variază în limite foarte largi, fiind în general mult mai mare decât la gaze; de exemplu, apa lichidă are coeficientul de conductivitate termică $K = 0,6 \text{ J/(m}\cdot\text{s}\cdot\text{K)}$ iar la gaze K e cuprins între $0,014$ și $0,14 \text{ J/(m}\cdot\text{s}\cdot\text{K)}$. La solide, dăm ca exemplu un izolator termic - asbestul, cu $K = 0,11 \text{ J/(m}\cdot\text{s}\cdot\text{K)}$ și un bun conductor termic - grafitul având $K = 118,8 \text{ J/(m}\cdot\text{s}\cdot\text{K)}$.

Fenomenul de transport al sarcinilor electrice prin lichide conductori, deși înrudit cu celelalte fenomene de transport prezentate aici, se tratează în lucrări de electricitate și de chimie fizică.

11.7. Cristale lichide (Starea mezomorfă)

Starea mezomorfă, sau de cristal lichid, reprezintă starea materiei ce posedă simultan proprietățile unui solid cristalin (de exemplu anizotropia spațială a proprietăților fizice) și cele ale unui lichid (fluiditate, coalescență picăturilor prin contact etc.).

Cristalele lichide au fost observate pentru prima dată de F. Reinitzter, botanist austriac, în 1888, apoi de fizicianul german O. Lehmann (1904) și au primit denumirea de stare mezomorfă sau mezofază (Friedel).

Starea mezomorfă poate fi atinsă pentru unele materiale prin încălzire, iar pentru altele prin dizolvare într-un solvent cu molecule polare. În funcție de modul de obținere, cristalele lichide pot fi *termotrope* sau *liotrope*.

În substanțele termotrope, starea mezomorfă poate exista între două temperaturi T_1 și T_2 , denumite, respectiv, punct de topire și punct de limpezire. La încălzirea substanței solide termotrope, aceasta devine cristal lichid la temperatura T_1 și apoi trece în starea de lichid izotrop, la o temperatură $T_2 > T_1$.

Domeniul de existență al cristalelor lichide liotrope este limitat de două concentrații C_1 și C_2 , parametrul ce controlează proprietățile acestor substanțe fiind concentrația substanței dizolvate. Ca exemplu de substanță liotropă amintim: săpunurile în apă, unii polimeri în solvenți organici.

Substanțele termotrope au multe aplicații tehnologice, mai ales în dispozitive optoelectronice și din acest motiv ne vom referi pe scurt, în cele ce urmează, la proprietățile cristalelor lichide termotrope.

Moleculele cristalelor lichide termotrope au o formă foarte alungită (în formă de fus) și un dipol electric permanent situat fie în lungul axei longitudinale de simetrie, așa ca în fig. 11.19.a, fie perpendicular pe ea (fig. 11.19.b). Ca exemplu de astfel de substanță, să ne referim la p-azoxianisol, a cărui formulă chimică este

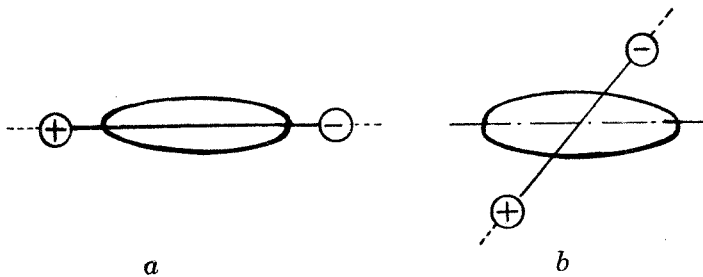
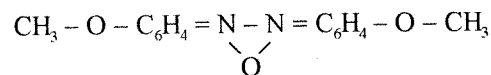


Fig. 11.19

În moleculele compușilor organici de acest tip, două molecule de benzen sunt legate între ele printr-o moleculă rigidă (X) și la cele două capete se află terminații flexibile (R și R').

Cristalele lichide se deosebesc prin proprietățile lor atât de cristalele solide, cât și de lichidul izotrop corespunzător. Dacă se încălzește un cristal solid de p-azoxianisol, la temperatura de $118,27^\circ\text{C}$ acesta se transformă într-un lichid tulbure, ușor și mobil, care reprezintă faza de cristal lichid. Reprezentăm în fig. 11.20.a presiunea de vaporii a acestei substanțe, în funcție de temperatură (diagrama de echilibru fazic). Dacă cristalul lichid se încălzește în continuare până la $135,85^\circ\text{C}$, se produce brusc limpezirea lui și transformarea într-un lichid limpede, izotrop. Atât temperatura de topire a cristalelor solide cât și temperatura de limpezire a mezofazei cresc cu presiunea.

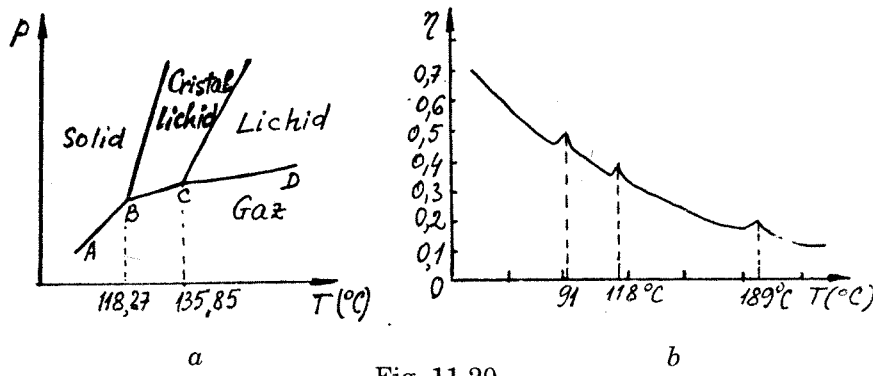


Fig. 11.20

Tranzitiiile de fază din faza de cristal solid în cea de cristal lichid și apoi în lichid izotrop, odată cu creșterea temperaturii, sunt însoțite de o variație discontinuă a celorlalte proprietăți fizice; densitate, viscozitate, căldură specifică, indice de refracție etc. Densitatea lichidului izotrop este mai mare decât cea a cristalului lichid. Viscozitatea depinde de temperatură după curba reprezentată în fig. 11.20.b; lichidul izotrop este mai puțin vâscos decât cristalul lichid. În prezența câmpurilor electrice și magnetice sau a altor cauze exterioare, viscozitatea devine o mărime fizică anizotropă, având valori diferite pe diferite direcții.

În starea mezomorfă se observă fenomenul de birefringență, iar în lumină polarizată convergentă se pot obține figuri de interferență, cristalul lichid comportându-se ca un cristal uniax.

În funcție de aranjarea moleculelor, se disting trei tipuri principale de cristale termotrope; cristale nematice, colesterice și smectice.

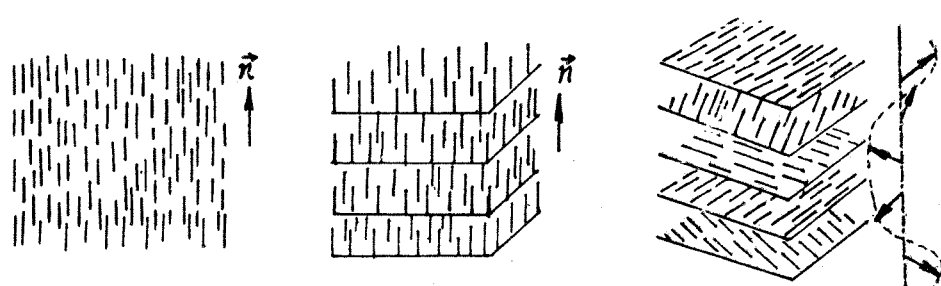


Fig. 11.21

Faza nematică este compusă din molecule alungite orientate paralel cu o direcție oarecare preferențială, dar cu centrele de greutate distribuite

la întâmplare (cu structura nestratificată și așezare moleculară paralelă). În figura 11.21.a este reprezentată schematic aranjarea moleculelor în cristale nematice. Direcția preferențială poate fi indicată printr-un vector \vec{n} numit vector director.

Cristalele nematice prezintă viscozitate mică și curgere normală. În 1968 Heilmeier observă în aceste cristale fenomenul de "împrăștiere sau difuzie dinamică" (dynamic scattering) care constă în inducerea unei difuzii prin acțiunea unui câmp electric asupra cristalului nematic.

Cristalele nematice sunt afectate de câmpurile electrice și magnetice și din acest motiv au aplicații numeroase în domeniul afișajului și a vizualizării unor semnale în optoelectronica. Aplicarea câmpului electric modifică ordonarea vectorului director \vec{n} și influențează astfel proprietățile optice. Câmpul electric poate induce de asemenea și alte efecte în cristalele nematice: efecte piezoelectrice, electrodinamice etc.

Faza colesterică este formată din molecule alungite aranjate în plane paralele și echidistante (fig.11.21.b). În fiecare plan, moleculele se aliniază paralel cu o anumită direcție preferențială și aceasta se rotește cu un unghi constant de la un plan la următorul, obținându-se astfel o configurație în formă de spirală când ne deplasăm pe un plan perpendicular la planele conținând moleculele. Pasul structurii spiralate, sau pasul colestericului (distanța ce corespunde rotirii vectorului \vec{n} cu unghiul 2π) este de ordinul miilor de Å, comparabil cu lungimea de undă a luminii; prin microscopie optică se poate deci observa aranjarea moleculelor în cristale lichide.

Cristalele colesterice prezintă proprietăți optice interesante: au activitate optică puternică și reflexie selectivă a radiațiilor luminoase din domeniul spectral ce corespunde pasului structurii spiralate. Încălzirea cristalului lichid produce modificarea pasului elicei, prin dilatare și aceasta se manifestă printr-o schimbare a proprietăților optice.

Ca o aplicație a reflexiei selective în domeniul spectral vizibil, cristalele colesterice se utilizează ca indicatori de temperatură (în medicină de exemplu). De asemenea se pot utiliza pentru producerea ecranelor de televiziune color, prin transformarea impulsurilor electrice în încălziri locale corespunzătoare.

Faza smectică are structura stratificată de formă plană, în care centrele de greutate ale moleculelor sunt repartizate la întâmplare în plane paralele și echidistante, reprezentată schematic în fig. 11.21.c.

Axa principală a moleculelor poate fi perpendiculară sau înclinată în raport cu planele conținând centrele de greutate ale moleculelor. Structura cristalelor smectice este deci formată dintr-o serie de plane suprapuse, distanța dintre plane fiind ceva mai mare decât lungimea moleculei. Există opt tipuri de faze smectice.

În lumină polarizată, substanțele smectice se comportă ca niște cristale uniaxe, ale căror însușiri nu sunt afectate de câmpurile magnetice.

Din punct de vedere cinetico-molecular, proprietățile substanțelor în starea mezomorfă sunt explicate în teoria lui Bose (teoria grupărilor - swarms). Trebuie să se țină cont că starea mezomorfă, deși este anizotropă, nu are totuși ordinea perfectă la distanță, caracteristică stării de cristal-solid.

Moleculele alungite ale substanțelor ce se pot afla în stare mezomorfă tind să se aranjeze în poziții paralele între ele și să formeze grupe de catene moleculare cu orientare determinată. Aranjamentul moleculelor dintr-o astfel de grupare nu este în mod necesar paralel cu aranjamentul moleculelor din alte grupări. Faza mezomorfă poate fi considerată ca fiind formată dintr-un număr de cristale mici distribuite haotic în masa cristalului lichid; în interiorul fiecărui cristalit, orientarea moleculelor este paralelă. Deci, grupările de molecule sunt comparabile cu cristalitele, având proprietăți similare cu cele ale solidului, fără a exista însă o aranjare rigidă a acestor grupări de molecule, care pot fi diferite ca dimensiuni.

La încălzire, grupările de molecule se micșorează din cauza intensificării agitației termice, iar la temperatura de limpezire grupările devin prea mici pentru a mai împrăștia lumina și proprietățile se apropie de cele ale gazului (dispare fenomenul de birefringență). Turbiditatea cristalelor lichide e în general atribuită împrăștierii lumini de către grupările de molecule.

11.8. Soluții

Soluțiile sunt sisteme fizice omogene, monofazice, formate din două sau mai multe substanțe componente (sistem policomponent) între care se face amestecarea la scară moleculară.

Componentul a cărui cantitate predomină în soluție se numește de obicei solvent (dizolvant), iar celelalte componente sunt solvite (dizolvate).

Cu toate că soluțiile reprezintă un amestec omogen, în general ele nu sunt un simplu amestec mecanic asemănător amestecului de gaze inerte care nu interacționează între ele. Procesul de dizolvare poate fi însotit de o degajare sau de absorbție de căldură. Între moleculele solventului și cele ale solvitului se exercită interacțiuni, care le apropie într-o anumită măsură de compușii chimici.

11.8.1. Clasificarea soluțiilor

Clasificarea soluțiilor se poate face după mai multe criterii: a) după starea de agregare a componentelor înainte de amestecare, b) după natura componentelor, c) după tipul interacțiunilor ce au loc între particule componente ale soluției și d) după criterii termodinamice.

Utilizând primul criteriu de clasificare, avem: soluții gaz în gaz, gaz în lichid, lichid în lichid, solid în lichid, gaz în solid, solid în solid. Soluțiile de tipul solid-solid sau soluțiile solide se obțin prin amestecarea substanțelor respective aduse prin topire în stare de lichid, urmată de solidificarea amestecului; aliajele metalice sunt cel mai cunoscut exemplu de soluții solide.

În funcție de natura componentelor există: soluții de neselectroliți (sau soluții moleculare), soluții de electroliți, soluții de polimeri, soluții metalice.

Plecând de la cel de al treilea criteriu de clasificare, există: soluții omodinamice (în care interacțiunile moleculare între compoziți sunt de același tip) și soluții eterodinamice (în care există deosebiri structurale mari între compoziți și ca urmare și interacțiunile între particule sunt de diferite tipuri). Dăm ca exemplu de soluții omodinamice soluțiile apă-alcool, acetona-benzen, amestecuri de metale topite și ca exemplu de soluții eterodinamice soluțiile apă-electroliți, în care sunt prezente atât interacțiuni dipol-dipol cât și forțe electrostatice între ioni.

Din punct de vedere termodinamic există: soluții ideale și soluții reale (neideale).

Soluțiile ideale sunt considerate ca un caz limită, pentru care sunt valabile relațiile termodinamice simple.

11.8.2. Soluții ideale

Pentru simplificarea tratării termodinamice a soluțiilor se utilizează modelul de soluție ideală ca un caz limită al soluțiilor reale (așa după cum s-au introdus și alte modele limită - cel al gazului ideal, cel al solidului ideal etc.).

Există două tipuri de soluții care au proprietăți apropiate de cele ale unei soluții ideale și anume:

a) soluțiile perfecte - la care legile termodinamice aplicate în cazul soluțiilor ideale sunt valabile pe întreg domeniul de concentrații și

b) soluțiile foarte diluate, în cazul cărora legile se aplică numai la concentrații mici.

Soluțiile perfecte sunt formate din compoziți cu o structură chimică foarte apropiată, ale căror molecule au aproximativ aceleași dimensiuni (de exemplu soluțiile de brombenzen, și clorbenzen). Formarea soluției are loc în acest caz fără modificări ale energiilor de interacțiune dintre molecule și funcțiile termodinamice în soluțiile perfecte nu sunt afectate de termeni de corecție ce s-ar datora interacțiunilor moleculare. Căldura de amestecare și entalpia de amestecare sunt nule ($\Delta Q_{T,P} = (\Delta H)_{T,P} = 0$, la fel și variația de volum la amestecare este zero: $(\Delta V)_{T,P} = 0$).

Să urmărim în continuare câteva aspecte legate de echilibrul soluție-solvent în soluții.

În cazul soluțiilor perfecte se aplică o ecuație empirică simplă (*legea Raoult*):

$$(11.100) \quad P_i/P'_i = x_i$$

unde P_i este presiunea de vaporii a componentului i deasupra soluției, P'_i – presiunea de vaporii a componentului i în stare pură și x_i este compoziția componentului i exprimată în fracții molare (adică prin raportul $x_i = n_i/n$ între numărul de moli n_i ai componentului i, $i = 1, \dots, f$, f fiind numărul de substanțe componente și numărul total n de moli din soluție).

În stare de echilibru termodinamic, potențialul chimic al componentului i în faza lichidă (în soluție) și în faza de vaporii trebuie să fie egale $\mu_i(\text{sol}) = \mu_i(v)$. Dacă considerăm vaporii ca un amestec de gaze ideale cu presiunile parțiale P_i , potențialul chimic al componentului i în faza de vaporii este

$$(11.101) \quad \mu_i(v) = \mu_i^0 + RT \ln P_i = \mu_i(\text{sol}),$$

unde μ_i^0 este potențialul chimic standard al aceluiași component în stare pură, la presiunea parțială, $P_i = 1 \text{ atm}$. La o altă presiune a componentului pur (P'_i), potențialul său chimic este:

$$(11.102) \quad \mu'_i(T, P'_i) = \mu_i^0 + RT \ln P'_i.$$

Când introducem în soluție un mol de component pur, variația potențialului chimic este

$$(11.103) \quad \mu_i(\text{sol}) - \mu'_i = RT \cdot \ln(P_i/P'_i)$$

și ținând cont de (11.100), rezultă că potențialul chimic al componentului i în soluție depinde de concentrația X_i :

$$(11.104) \quad \mu_i(\text{sol}) = \mu'_i + RT \ln X_i$$

și de potențialul chimic al componentului pur la presiunea respectivă. Soluțiile care satisfac condiția (11.104) se numesc soluții ideale. Să reprezentăm grafic potențialul chimic al unui component în funcție de concentrația X_i exprimată în fracții molare ($0 < X_i < 1$). Pentru soluții perfecte dependența e liniară, cu panta $RT = \tan \rho$ (fig. 11.22).

Principalele funcții termodinamice exprimate pentru un component al soluției se calculează în raport cu potențialul său chimic, urmând modul de calcul indicat în termodinamica gazelor. Pentru întreaga soluție funcțiile termodinamice se obțin prin însumarea funcțiilor respective corespunzătoare tuturor componentelor din sistem. Astfel, volumul V al soluției

se compune din toate volumele componentelor soluției; la fel, pentru entalpia H se respectă aceeași condiție de aditivitate a entalpiilor componentelor:

$$V = \sum_i X_i \cdot V_i$$

$$H = \sum_i X_i \cdot H_i$$

Tinând cont că potențialul chimic se definește prin entalpia liberă pentru 1 kmol din componentul respectiv ($\mu_i = g_i$), potențialul Gibbs al soluției se scrie:

$$(11.105) \quad G = \sum_i X_i g_i + RT \sum_i X_i \cdot \ln X_i.$$

În cazul soluțiilor ideale diluate (deci în care solventul are funcția molară $X_1 \rightarrow 1$ și celelalte substanțe componente au fracții molare $X_i \rightarrow 0$) se aplică o lege empirică dată de Henry

$$(11.106) \quad P_i = K_{H_i} \cdot X_i,$$

conform căreia presiunea de vaporii deasupra soluției depinde liniar de concentrația X_i a componentului i în soluție (K_{H_i} este constanta empirică Henry).

Dacă scriem condiția de echilibru a fazelor soluție-vaporii, $\mu_i(\text{sol}) = \mu_i(v)$, și utilizăm expresiile (11.104) și (11.101) pentru potențialele chimice ale celor două faze, în ipoteza că vaporii se comportă ca un amestec de gaze perfecte, rezultă

$$(11.107) \quad \mu_i^0(T, P) + RT \ln X_i = \mu_i^*(T) + RT \ln P'_i$$

unde X_i este fracția molară a componentului i în soluție și P'_i este presiunea parțială a vaporilor săi. Mărimile $\mu_i^0(T, P)$ și $\mu_i^*(T)$ se referă, respectiv, la lichidul pur și la gazul pur la presiunea egală cu o unitate. Relația (11.107) poate fi scrisă sub formă:

$$(11.108) \quad \frac{X_i}{P'_i} = \exp \left[\frac{\mu_i^*(T) - \mu_i^0(T, P)}{RT} \right] = \frac{1}{K_{H_i}}.$$

S-a obținut astfel expresia (11.106) a legii Henry.

Constanta K_{H_i} – este funcție de temperatură și de presiune, dar se poate arăta că la presiuni obișnuite K_{H_i} este practic independentă de presiune ($dK_{H_i}/dP \approx 10^{-3}$).

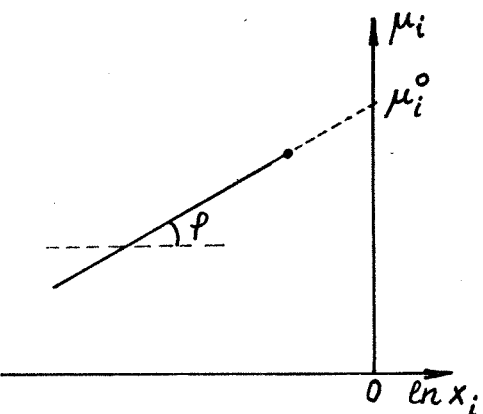


Fig. 11.22

11.8.3. Soluții reale

Soluțiile neideale (reale) pot fi considerate, la limită, fie soluții perfecte, care respectă legea Raoul, fie soluții diluate, când este valabilă o dependență $P_i = f(X_i)$ ce respectă legea Henry (domeniile de valabilitate ale acestor legi se numesc, respectiv, domeniul ideal Raoult și domeniul ideal Henry). Din figura 11.23 se poate vedea că în regiunea concentrațiilor medii, dependența $P_i(X_i)$ nu mai este liniară; o astfel de comportare o au de exemplu soluțiile apă-alcool.

Există și soluții reale pentru care abaterea de la legile soluțiilor ideale este negativă.

Tratarea termodinamică a soluțiilor reale se poate face prin introducerea unor funcții termodinamice specifice. De exemplu, concentrațiile X_i se pot înlocui cu o funcție $a_i(T, P, X_i)$ numită activitate termodinamică (definită de Lewis), funcție de temperatură, de presiune și de fracția molară a componentului i din soluție. Ecuția (11.104) se înlocuiește cu

$$(11.109) \quad \mu_i(T, P, X_i) = \mu_i^\circ(T, P) + RT \ln a_i(T, P, X_i),$$

unde $\mu_i^\circ(T, P)$ este potențialul chimic standard (egal cu entalpia liberă molară a componentului i în condiții normale de temperatură și presiune) și

$$a_i(T, P, X_i) = \gamma_i(T, P) \cdot X_i$$

este activitatea termodinamică. Raportul $\gamma_i = a_i/X_i$ caracterizează abaterea soluției reale de la comportarea ideală. Ecuția (11.109) devine:

$$(11.110) \quad \mu_i(T, P, X_i) = \mu_i^\circ(T, P) + RT \ln X_i + RT \ln \gamma_i.$$

Dacă $\gamma_i > 1$, $a_i > X_i$, soluția are abateri pozitive față de comportarea ideală, iar dacă $\gamma_i < 1$ și $a_i < X_i$, abaterile de la idealitate sunt negative.

Comparând ecuațiile (11.109) și (11.103), rezultă că $p_i/p_i' = a_i$, relație ce permite evaluarea activității termodinamice din valorile experimentale ale presiunii de vapori.

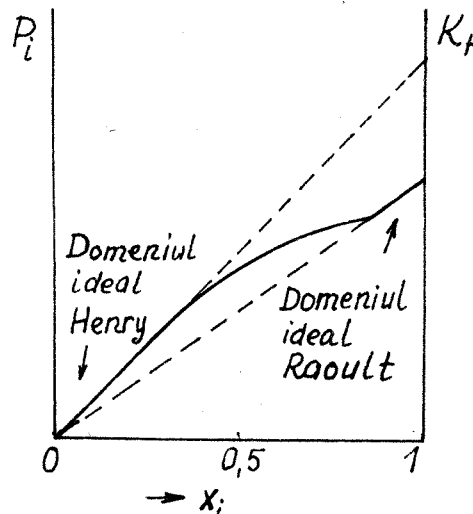


Fig. 11.23

11.8.4. Ebulioscopie. Crioscopie

Un lichid pur se transformă în vapori la o temperatură determinată: dacă se dizolvă în acest lichid o substanță nevolatilă, temperatura de fierbere a soluției (T_f) crește față de temperatura de fierbere a solventului pur (T_{of}). Reprezentăm în fig. 11.24 dependența de temperatură a presiunii vaporilor saturanți ai solventului pur (linie plină) și a unei soluții binare diluate formate din același solvent și un solvit nevolatil (linie întreruptă). În figură sunt reprezentate curbele de echilibru: vapori-solvent pur (AC), soluție-vapor (A'C'), solid-lichid pentru solventul pur (AB), solid-lichid pentru soluție (A'B') și sublimare (SA, SA'). Conform legii Raoult, la o anumită temperatură presiunea de vapori a soluției e mai mică decât a solventului, deci temperatura de fierbere a solventului (T_{of}) e mai mică decât temperatura de fierbere a soluției (T_f). Diferența $T_{eb} = T_f - T_{of}$ se numește creștere ebulioscopică.

Din curbele de topire pentru solvent și pentru soluție se vede că temperaturile de topire-solidificare se vor găsi la intersecția unei izobare (de exemplu cea de 1 atm.) cu cele două curbe de topire. Diferența $T_{cr} = T_{ot} - T_t$ se numește scădere crioscopică, unde T_{ot} este temperatura de topire a solventului pur și T_t – temperatura de topire a amestecului binar.

Să considerăm o soluție binară oarecare. Pentru coexistența fazelor pe o curbă de echilibru bifazic, de exemplu în cazul echilibrului soluție lichidă-vapor curba A'C'), este necesar ca potențialul chimic să satisfacă condițiile de echilibru termodinamic:

$$(11.111) \quad \mu_i(1) = \mu_i(v) \quad și \quad d\mu_i(1) = d\mu_i(v), \quad cu \quad i = 1, 2.$$

Tinând cont de expresia cunoscută a potențialului chimic ($d\mu = -SdT + VdP$) și aplicând condițiile (11.111) pentru componentul 1 al soluției (solvent), obținem:

$$(11.112) \quad [S_1(v) - S_1(1)]dT = [V_1(v) - V_1(1)]dP \quad sau$$

$$\Delta S_1 \cdot dT = \Delta V_1 \cdot dP,$$

unde $\Delta S_1 = S_1(v) - S_1(1)$ reprezintă diferența între entropiile molare corespunzătoare fazelor de vaporii și celei lichide, iar $\Delta V_1 = V_1(v) - V_1(1)$ = diferența între volumele molare ale celor două faze, considerate pentru solventul pur ($i = 1$).

În general volumul vaporilor este cu mult mai mare decât volumul de lichid din care provine, $V_1(v) \gg V_1(1)$ așa încât putem approxima $\Delta V_1 \approx V_1 = RT/P_0$, presupunând că vaporii se comportă ca un gaz ideal. Relația (11.112) devine

$$(11.113) \quad \frac{dT}{dP} = \frac{\Delta V_1}{\Delta S_1} = \frac{T \cdot V_1}{T \cdot \Delta S_1} = \frac{RT^2}{P_0 \cdot \lambda_1},$$

unde λ_1 este căldura latentă molară de vaporizare a solventului.

În cazul soluțiilor binare diluate, cu dizolvantul nevolatil, caz în care faza de vaporii e formată numai din vaporii solventului, legea Raoult se scrie sub forma $\Delta P/P_0 = X_2$, unde P este presiunea de vaporii a soluției, P_0 – presiunea de vaporii a solventului pur, $\Delta P = P_0 - P$ și X_2 – fracția molară a substanței dizolvate. Din (11.113) obținem

$$(11.114) \quad T = \frac{\Delta P}{P_0} \cdot \frac{RT^2}{\lambda_1} = \frac{RT^2}{\lambda_1} \cdot X_2 = K_{eb} \cdot X_2,$$

$K_{eb} = RT^2/\lambda_1$ fiind constanta ebulioscopică ce caracterizează solventul.

După cum reiese din această ecuație, creșterea temperaturii de fierbere a soluției într-un solvent dat depinde numai de fracția molară a substanței dizolvate (adică de numărul de moli de substanță dizolvată raportat la numărul total de moli ai soluției) și nu depinde de natura substanței dizolvate. Relația se aplică numai pentru dizolvarea moleculară; când substanța dizolvată disociază, trebuie să se țină cont de numărul total de particule existente în soluție (disociate și nedisociate).

Un fenomen similar celui ebulioscopic este fenomenul de crioscopie care constă în scăderea temperaturii de solidificare a soluțiilor în comparație cu solventul pur. În cazul dizolvării moleculare a substanțelor, aplicând ecuațiile de echilibru termodinamic (11.111) pentru curbele AB și A'B' (fig.11.13) obținem:

$$(11.115) \quad T_{cr} = \frac{RT^2}{\lambda_s} \cdot X_2 = K_{cr} \cdot X_2,$$

care arată cu cât coboară punctul de înghețare al soluției față de solventul pur. $K_{cr} = RT^2/\lambda_s$ este constanta crioscopică a solventului, iar λ_s - căldura latentă molară de solidificare.

Creșterea ebulioscopică a temperaturii de fierbere și scăderea crioscopică a temperaturii de înghețare au numeroase aplicații: determinarea maselor moleculare ale substanțelor prin aplicarea relațiilor (11.114) și (11.115), scăderea temperaturii de înghețare a apei, iarna, prin amestec de apă și sare, obținerea mai economică a fontei și a altor aliaje prin scăderea temperaturii de topire a Fe în prezența C sau a altor elemente de aliere etc.

11.8.5. Osmoza. Presiunea osmotică

Dacă într-un vas separat în două compartimente printr-un perete poros se pun două soluții ale aceluiași solvent, cu concentrații diferite, se constată că atât moleculele solventului cât și cele ale solvitului trec prin peretele poros, numit membrană sau *perete permeabil*, până când se ajunge la o stare de echilibru termodinamic între cele două soluții.

Există însă *membrane semipermeabile* care permit trecerea numai a moleculelor mici ale uneia din substanțe dar nu și trecerea moleculelor mai mari ale altor substanțe. De exemplu, dacă în tubul în formă de U din fig. 11.25 există un perete semipermeabil AB, punând inițial apă în ramura 1 și o soluție de apă cu zahăr sau zaharoză în ramura 2 (până la nivelul 00'), după câteva ore se constată că nivelul lichidului în ramura 2 crește, iar în ramura 1 scade.

Fenomenul de trecere spontană a moleculelor solventului în soluție prin membranele semipermeabile se numește *osmoză*. Membranele semipermeabile sunt în general de natură organică, membrane din intestine sau vezica animală (permeabile pentru apă); celofanul e o foarte bună membrană semipermeabilă ce poate fi utilizată pentru realizarea experienței din fig. 11.25. Prin membranele semipermeabile trec în general moleculele ale căror dimensiuni sunt mai mici decât porii membranei și sunt oprite celelalte molecule.

Osmoza se produce întotdeauna dinspre soluția mai diluată (sau dinspre solventul pur) spre soluția mai concentrată. Dacă aplicăm formula (11.104) pentru calculul potențialului chimic al soluției, ținând cont că $X_2 < 1$, rezultă $\mu(\text{soluție}) < \mu^\circ(\text{solvent})$ și pentru realizarea echilibrului termodinamic moleculele trec de la potențialul chimic mai mare spre zona cu potențial chimic mai mic. Deci, ori de câte ori există o diferență de potențial chimic între două regiuni ale unei soluții, separate printr-o membrană semipermeabilă, va apărea un flux de difuzie unidirecțional prin membrană.

Să considerăm că osmoza are loc în soluții diluate, în care moleculele solvante sunt depărtate unele de altele și interacționează slab, ansamblul lor putând fi asimilat cu un gaz ideal. Energia cinetică medie de agitație termică la o temperatură dată T este aceeași pentru moleculele solventului și ale substanței dizolvate; conform formulei pentru presiunea a teoriei cinetico-moleculare a gazelor ideale, presiunea osmotică este

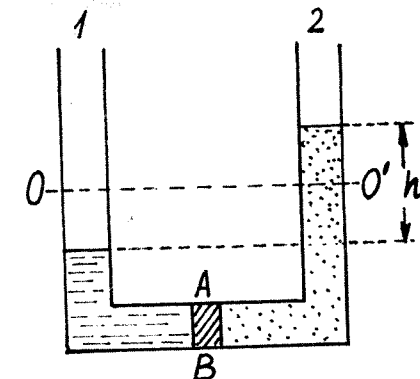


Fig. 11.25

$$P_0 = \frac{2}{3} \cdot n \cdot \frac{m \cdot v^2}{2} = n \cdot kT,$$

unde $n = N/V'$ este numărul de molecule solvite în unitatea de volum a soluției (V' = volumul soluției).

Dacă exprimăm concentrația soluției sub forma $c = M/V' (\text{kg}/\text{m}^3)$, M fiind masa de substanță dizolvată în volumul V' și aplicăm particulelor solvite ecuația de stare a gazelor ideale, $(P_0 \cdot V' = \frac{M}{\mu} RT)$, rezultă că presiunea osmotică este

$$(11.116) \quad P_0 = \frac{c}{\mu} RT$$

relație dată de Van't Hoff.

Presiunea osmotică poate fi determinată experimental cu un dispozitiv asemănător celui prezentat în fig. 11.25 (numit osmometru), măsurând denivelarea h a coloanelor de lichid, atunci când se realizează echilibrul termodinamic și este îndeplinită condiția de echilibrul a presiunilor.

$$(11.117) \quad P_0 = \frac{c}{\mu} RT = \rho_1 \cdot g \cdot h,$$

ρ_1 fiind densitatea soluției. Dacă se măsoară h se poate calcula, de asemenea, masa molară μ a substanței dizolvate.

În cazul soluțiilor de electroliți, presiunea osmotică e mai mare decât cea calculată prin formula (11.116) ceea ce se explică prin existența unui număr mai mare de particule datorită disocierii în ioni pozitivi și negativi.

Fenomenul de osmoză are numeroase aplicații în natură. Foarte multe procese biologice au ca explicație osmoza. Concentrațiile diferitelor substanțe în compartimentele diferite ale organismelor vii sunt diferite. De exemplu, celulele absorb din sânge și limfă glucoză și aminoacizi, concentrațiile acestora fiind mai mari în celule. Trecerea apei din țesutul conjunctiv în sânge și invers, eliminarea surplusului de apă sau de săruri prin rinichi implică mecanisme de osmoreglare.

În studiul soluțiilor ideale ne-am bazat pe o serie de legi limită: legea Raoult, legea ebullioscopică, legea crioscopică, legea Van't Hoff ce se referă, respectiv, la scăderea relativă a presiunii de vaporii în soluții, creșterea ebullioscopică, scăderea crioscopica a temperaturii de înghețare, presiunea osmotică. Toate aceste proprietăți nu depind de natura substanței dizolvate ci numai de concentrația ei și se numesc *proprietăți coligative*. Constantele (K_{eb} , K_{cr} , etc) depind de proprietățile solventului. Toate soluțiile diluate ale aceluiași solvent cu diferite substanțe dizolvate (cu aceeași concentrație) vor avea aceeași presiune de vaporii, aceeași temperatură de fierbere, aceeași temperatură de solidificare și aceeași presiune osmotică.

11.9. Transformări de fază

Ne-am ocupat până acum, în principal, de studiul cinetic-molecular al unor sisteme omogene aflate în stare lichidă, solidă, de gaz sau de cristal lichid, arătând sumar și modul în care se poate realiza trecerea de la o stare de agregare la alta, sau de la o fază la alta (§ 5.3.2, § 9.3.3, § 11.5).

O parte omogenă a unui sistem termodinamic, caracterizată prin proprietăți termodinamice identice (sau care se schimbă continuu de la punct la punct) și care este separată de alte părți ale sistemului prin suprafețe bine definite poartă denumirea de *fază*. Un sistem format dintr-o singură fază este omogen, iar unul compus din mai multe faze este eterogen (de exemplu, zăpada la 0°C conține două faze – solidă și lichidă). Într-un sistem eterogen ale cărui faze sunt în echilibru termodinamic, o mică variație a condițiilor exterioare (de exemplu absorbtia sau cedarea unei cantități de căldură) este urmată de trecerea unei cantități de substanță dintr-o fază în alta (v. § 5.3.2).

La trecerea unui sistem dintr-o fază în alta, adică atunci când are loc o *tranzitie de fază*, se observă o serie de discontinuități ale mărimilor fizice exprimate prin derivele parțiale de ordinul I sau de ordinul al doilea ale potențialelor termodinamice. Apar astfel discontinuități ale entropiei (ce se manifestă prin existența unei călduri latente de tranzitie), sau discontinuități de volum, de polarizare electrică, de magnetizare a mediului, în cazul substanțelor dielectrice, respectiv magnetice.

Am văzut că o tranzitie de fază de ordinul I este însoțită totdeauna de căldură latentă de transformare. Tranzitiiile de fază de ordinul al doilea (fără căldură latentă de transformare) prezintă discontinuități ale mărimilor fizice legate de derivele parțiale de ordinul al doilea ale potențialelor termodinamice (călduri specifice, coeficienți de dilatare și de compresibilitate, susceptibilitate electrică, magnetică, etc.). De exemplu, trecerea substanțelor din stare feromagnetică în stare paramagnetică, prin încălzire deasupra unei temperaturi critice numite temperatură Curie, este o tranzitie de fază de ordinul al doilea; de asemenea, trecerea unor substanțe din stare normală în stare supraconductoare (la temperaturi scăzute, în absența câmpului magnetic).

Studiul unor astfel de transformări de fază, ca și studiul în detaliu al transformărilor de stare de agregare, constituie însă un capitol de sine stătător al fizicii, care va fi tratat într-o lucrare viitoare.

ANEXA I

Evaluarea integralelor de forma: $I_n = \int_0^{\infty} x^n e^{-ax^2} dx$

Să evaluăm mai întâi integrala lui Poisson, definită ca

$$(A.1) \quad I = \int_{-\infty}^{+\infty} e^{-x^2} dx,$$

ce poate fi scrisă și în funcție de variabila y:

$$(A.2) \quad I = \int_{-\infty}^{+\infty} e^{-y^2} dy.$$

Înmultind aceste două relații, obținem:

$$(A.3) \quad I^2 = \int_{-\infty}^{+\infty} e^{-x^2} dx \int_{-\infty}^{+\infty} e^{-y^2} dy = \int_{-\infty}^{+\infty} \int_{-\infty}^{+\infty} e^{-(x^2+y^2)} dx dy$$

integrala dublă extinzându-se la întreg planul xy . Dacă transformăm coordinatele carteziene (x,y) , în coordonate polare, (r,ρ) , ținând cont că $x^2 + y^2 = r^2$ și $dS = r \cdot d\rho \cdot dr$, relația (A.3) devine:

$$(A.4) \quad I^2 = \int_0^\infty \int_0^{2\pi} e^{-r^2} r dr d\phi = 2\pi \int_0^\infty e^{-r^2} r dr = -\pi \int_0^\infty d(e^{-r^2}) = \pi$$

de unde

$$(A.5) \quad I = \int_{-\infty}^{+\infty} e^{-x^2} dx = \sqrt{\pi}$$

Deoarece e^{-x^2} este o funcție pară de x, rezultă că

$$(A.6) \quad \int_0^{\infty} e^{-x^2} dx = \frac{\sqrt{\pi}}{2}$$

Să evaluăm acum integralele I_n . Utilizând substituția $y = x\sqrt{a}$, obținem $x = y/\sqrt{a}$, $dx = dy/\sqrt{a}$ și pentru $n = 0$, rezultă:

$$(A.7) \quad I_0 = \frac{1}{\sqrt{\pi}} \int_0^{\infty} e^{-y^2} dy = \frac{1}{2} \sqrt{\frac{\pi}{a}}$$

În același mod, pentru $n = 1$, obținem:

$$(A.8) \quad I_1 = \frac{1}{a} \int_0^{\infty} y e^{-y^2} dy = \frac{1}{2a}$$

În continuare, toate celelalte integrale I_n , pentru orice $n \in \mathbb{Z}$, se calculează integrând succesiv prin părți și exprimându-le prin I_0 și I_1 . Astfel,

$$(A.9) \quad \int_0^{\infty} x^n e^{-ax^2} dx = -\frac{1}{2a} \int_0^{\infty} d(e^{-ax^2}) x^{n-1} = -\frac{1}{2a} [e^{-ax^2} x^{n-1}]_0^{\infty} + \\ + \frac{n-1}{2a} \int_0^{\infty} x^{n-2} \cdot e^{-ax^2} dx = \left(\frac{n-1}{2a} \right) I_{n-2} = I_n$$

care poate constitui o formulă de recurență pentru I.

Un alt procedeu pentru evaluarea integralelor I_n se poate obține dacă observăm că:

$$(A.10) \quad I_2 = -\frac{dI_0}{da} = \frac{1}{4} \left(\frac{\pi}{a^3} \right)^{1/2}$$

$$I_3 = -\frac{dI_1}{da} = \frac{1}{2a^2}$$

$$I_4 = -\frac{dI_2}{da} = \frac{3}{8} \left(\frac{\pi}{a^5} \right)^{1/2}$$

$$I_{n+2} = -\frac{dI_n}{da}$$

Din (A.9) sau (A.10) putem calcula integralele

$$(A.11) \quad I_n = \int_0^{\infty} x^n e^{-ax^2} dx \quad \text{si} \quad I'_n = \int_{-\infty}^{+\infty} x^n e^{-ax^2} dx$$

pentru orice valoare a lui n – număr întreg ($n \geq 2$)

Dăm în continuare, ca exemplu, câteva dintre valorile acestor integrale, mult utilizate în fizica statistică:

$$\begin{aligned}
 I_0 &= \int_0^{\infty} e^{-ax^2} dx = \frac{1}{2} \left(\frac{\pi}{a} \right)^{1/2} & I'_0 &= \int_{-\infty}^{+\infty} e^{-ax^2} dx = \left(\frac{\pi}{a} \right)^{1/2} \\
 I_1 &= \int_0^{\infty} x e^{-ax^2} dx = \frac{1}{2a} & I'_1 &= \int_{-\infty}^{+\infty} x e^{-ax^2} dx = 0 \\
 I_2 &= \int_0^{\infty} x^2 e^{-ax^2} dx = \frac{1}{4} \left(\frac{\pi}{a^3} \right)^{1/2} & I'_2 &= \int_{-\infty}^{+\infty} x^2 e^{-ax^2} dx = \frac{1}{2} \left(\frac{\pi}{a^3} \right)^{1/2} \\
 I_3 &= \int_0^{\infty} x^3 e^{-ax^2} dx = \frac{1}{2a^2} & I'_3 &= \int_{-\infty}^{+\infty} x^3 e^{-ax^2} dx = 0 \\
 I_4 &= \int_0^{\infty} x^4 e^{-ax^2} dx = \frac{3}{8} \left(\frac{\pi}{a^5} \right)^{1/2} & I'_4 &= \int_{-\infty}^{+\infty} x^4 e^{-ax^2} dx = \frac{3}{4} \left(\frac{\pi}{a^5} \right)^{1/2}
 \end{aligned}$$

A N E X A II

Constante fizice

Denumire	Simbol	Valoare numerică
Numărul lui Avogadro	N_A	$6,02252 \times 10^{23} \text{ mol}^{-1}$
Numărul lui Loschmidt	N_L	$2,686754 \times 10^{25} \text{ m}^{-3}$
Constanta universală a gazelor perfecte	R	$8,3144 \text{ J/(mol}\cdot\text{K)}$
Constanta lui Boltzmann	k	$1,380662 \times 10^{-23} \text{ J/K}$
Constanta lui Planck	h	$6,6261 \times 10^{-34} \text{ J}\cdot\text{s}$
Unitatea atomică de masă	u.a.m.	$1,66056 \times 10^{-27} \text{ kg}$
Constanta Stefan-Boltzmann	σ	$5,67032 \times 10^{-8} \text{ Wm}^{-2}\text{K}^{-4}$
Sarcina electrică elementară	e	$1,6021892 \times 10^{-19} \text{ C}$
Masa de repaus a electronului	m_e	$9,109534 \times 10^{-31} \text{ kg}$
Masa de repaus a protonului	m_p	$1,6726485 \times 10^{-27} \text{ kg}$
Masa de repaus a neutronului	m_n	$1,6749543 \times 10^{-27} \text{ kg}$

Condiții normale pentru gazul ideal:

- Presiunea	P_0	$1 \text{ atm} = 760 \text{ Torr} = 1,01325 \times 10^5 \text{ Pa}$
- Temperatura	T_0	$0^\circ\text{C} = 273,15 \text{ K}$
- Volumul molar	V_0	$22,41383 \times 10^{-3} \text{ m}^3/\text{mol.}$

Factori de conversie a unor unități de măsură

Energie, căldură

$$1 \text{ J} = 10^7 \text{ erg} = 0,239006 \text{ cal} = 0,6241 \times 10^{19} \text{ eV}$$

$$1 \text{ erg} = 10^{-7} \text{ J} = 0,239006 \times 10^{-7} \text{ cal} = 0,6241 \times 10^{12} \text{ eV}$$

$$1 \text{ cal} = 4,184 \text{ J} = 4,184 \times 10^7 \text{ erg} = 2,611162 \times 10^{19} \text{ eV}$$

$$1 \text{ eV} = 1,60207 \times 10^{-19} \text{ J} = 1,60207 \times 10^{-12} \text{ erg} = 0,382904 \times 10^{-19} \text{ cal}$$

Presiune

$$1 \text{ N/m}^2 = 10^{-5} \text{ bar} = 1,01972 \times 10^{-5} \text{ at} = 9,86923 \times 10^{-6} \text{ atm} = \\ = 7,50062 \times 10^{-3} \text{ mm Hg} = 0,101972 \text{ mm H}_2\text{O}$$

$$1 \text{ bar} = 10^5 \text{ N/m}^2$$

$$1 \text{ at} = 1 \text{ kgf/cm}^2 = 9,80665 \times 10^5 \text{ N/m}^2$$

$$1 \text{ atm} = 1,01325 \times 10^5 \text{ N/m}^2$$

$$1 \text{ mm Hg} = 1 \text{ Torr} = 1,33322 \times 10^2 \text{ N/m}^2$$

$$1 \text{ mm H}_2\text{O} = 9,80665 \text{ N/m}^2$$

B I B L I O G R A F I E

Pentru a veni în ajutorul celor ce doresc să aprofundeze studiul fizicii moleculare, după fiecare referință bibliografică vom indica (între paranteze) tipul lucrării și, eventual, la ce capitole din lucrarea de față se referă. Vom utiliza următoarele abrevieri:

- T. - Termodinamică - lucrări monografice
- S. - Fizică statistică - lucrări monografice
- F.M. - Fizică moleculară - lucrări monografice
- A. - În cazul lucrărilor monografice, această abreviere va indica - tratare avansată, pentru fizicieni și chimici
- C.U. - Cursuri universitare
- M. - Manuale, utile pentru începători
- Cap. - Lucrări recomandate pentru aprofundarea studiului unor capitole (numerotarea capitolelor conform lucrării de față)
- Apl. - Lucrări ce tratează probleme aplicative (cu referire la un anumit capitol)
- Ist. - Unele dintre primele lucrări de termodinamică apărute la noi în țară; se pot găsi indicații privind istoria constituirii termodinamicii și a fizicii statisticice ca domenii de sine stătătoare ale fizicii.

1. R. Balian, From Microphysics to Macrophysics, 2 vol., Springer-Verlag, Berlin, Heidelberg, 1991 (S.A.)
2. D. Balla, R.V.Deutsch, Introducere în fizica temperaturilor joase, Editura Academiei, București, 1970 (Cap. 9)
3. I.P. Bazarov, Termodynamika, Gosizdat, Moskva, 1961 (T.)
4. N. Bărbulescu și colab., Teoria cinetico-moleculară a gazelor, Editura Științifică, București, 1972 (F.M.)
5. N. Bărbulescu, Fizică moleculară și căldură, Editura Didactică și Pedagogică, București, 1970 (C.U.)
6. P. Bogdan, Metodele termodinamice, Iași, 1924 (Ist.).
7. A.F. Brown, Statistical Physics, University Press, Edinburgh, 1968 (S.)

8. G. Bruhat, Cours de Physique générale. Thermodinamique, Masson et Cie, Paris, 1968 (C.U.)
9. S.G. Brush, Kinetische Theorie, Band 1,2, Springer-Verlag, Berlin, 1970 (F.M.A.)
10. Gh. Ciobanu, O. Gherman, L. Saliu, Fizică moleculară, termodinamică și fizică statistică pentru perfecționarea profesorilor, Editura Didactică și Pedagogică, București, 1983 (C.U.A.)
11. Gh. Ciobanu, Curs de termodinamică și fizică statistică, 3 vol., curs multiplicat, Universitatea București, 1982 (C.U.)
12. J.T. Davies, E.K. Rideal, Interfacial Phenomena, Academic Press, New York - London, 1963 (cap.11)
13. R. Defay, I. Prigogine, A. Bellemans, D.H. Everett, Surface Tension and Adsorption, Longmans, Green & Co LTD, London, 1966 (Cap. 11)
14. G. Dévoré, R. Annequin, Cours de Physique. Thermodynamique et chaleur, Librairie Vuibert, Paris, 1966 (C.U.)
15. F.P. Durham, Thermodynamics, Prentice-Hall, Inc. Englewood Cliffs, N.J., 1965 (C.U.)
16. F.X. Eder, Moderne Messmethoden der Physik, Teil 2, Deutscher Verlag der Wissenschaften, Berlin, 1956 (Cap.1,2,8).
17. E. Fermi, Termodinamica, Editura Științifică, București, 1969 (T)
18. R.P. Feynman, Fizică modernă, vol. I, Editura Tehnică, București, 1969 (C.U.)
19. B.H. Flowers, E. Mendoza, Properties of Matter, John Wiley & Sons LTD, London, 1970 (S)
20. Z. Găbos, Termodinamica fenomenologică, Editura Academiei, București, 1959 (C.U.)
21. Z. Găbos, O. Gherman, Termodinamica și Fizica statistică, Editura Didactică și Pedagogică, București, 1964 (C.U.)
22. N. Georgescu-Roegen, Legea entropiei și procesul economic, Editura Politică, București, 1979 (Apl.Cap.4)
23. O. Gherman, L. Saliu, Fizică Statistică, Editura Tehnică, București 1977 (C.U.)
24. E.A. Guggenheim, Thermodynamics, North-Holland Publishing Company, Amsterdam, 1967 (T.A.)
25. K. Gumiński, Termodinamica proceselor ireversibile, Editura Academiei, București, 1964 (Apl.)
26. D. Halliday, R. Resnick, Fizica, vol. 1, Editura Didactică și Pedagogică, București, 1975 (M.)
27. M. Ignat, Curs de termodinamică și fizică statistică, Partea I, curs multiplicat, Universitatea "Al.I.Cuza", Iași, 1981 (C.U.)
28. A. Kikoïne, I. Kikoïne, Physique Moléculaire, Editions MIR, Moscou, 1979 (F.M.)
29. V.A. Kirillin, V.V. Sîcev, A.E. Seindlin, Termodinamica (traducere din limba rusă), Editura Științifică și Enciclopedică, București, 1985 (T.)
30. C. Kittel, Thermal Physics, John Wiley & Sons, Inc., New York, London, 1969 (T.A.)
31. C. Kittel, Introducere în Fizica corpului solid, traducere din limba engleză, Editura Tehnică, București, 1972 (cap.10)
32. R. Kubo, Statistical Mechanics, Amsterdam, 1965 (S.A.)
33. R. Kubo, Thermodynamics, North-Holland Publishing Company, Amsterdam, 1968 (T.A.)
34. T. Landau, E.M. Lifchitz, Physique statistique, Editions MIR, Moscou, 1967 (S.A.)
35. L.D. Landau, E.M. Lifshît, Fizica statistică, traducere din limba rusă, Editura Tehnică, București, 1988 (S.A.)
36. V.G. Levici, Introducere în fizica statistică, traducere din limba rusă, Editura Tehnică, București, 1957 (S.)
37. R.B. Lindsay, Introduction to physical statistics, Dover Publ. Inc., New York, 1968 (S.)
38. F. Mandl, Statistical Physics, John Wiley & Sons. LTD., London, 1971 (S.)
39. D.I. Marchidan, M. Ciopec, Temperatură - scări, metode și mijloace de măsurare, Editura Științifică și Enciclopedică, București, 1977 (Apl.cap.1)
40. A.N. Matveev, Molekulaarnaia Fizika, Izdatel'stvo Vîsšaia Schola, 1987 (C.U.)
41. A. Mohier, Thermodynamique, Libr. Delagrave, Paris, 1965 (T.)
42. C. Moisil, Termodinamica, Editura Academiei RSR, București, 1988 (T.A.)
43. A. Münster, Statistical Thermodynamics, 2 vol., Springer-Verlag, Berlin, Heidelberg, 1969 (S.A.)
44. I.G. Murgulescu, E. Segal, Introducere în Chimia Fizică, vol. II, 1 (Teoria molecular-cinetică a materiei), Editura Academiei RSR, București, 1979 (F.M.A.)
45. I.G. Murgulescu, R. Vilcu, Introducere în Chimia Fizică, vol. III, (Termodinamică chimică), Editura Academiei RSR, București, 1982 (T.A.)
46. S. Petrescu, V. Petrescu, Irreversibilitate, entropie, timp..., Editura Tehnică, București, 1982 (Apl.cap.4)
47. C.N. Plăvițu, Fizica fenomenelor termice, Partea I-a - a III-a, Editura Hyperion XXI, București, 1992 - 1994 (C.U.)

48. I. Pop, Fizică moleculară și termodinamică, Editura Didactică și Pedagogică, București, 1975 (C.U.)
49. I.M. Popescu, Fizica, Editura Didactică și Pedagogică, București, 1982, (C.U.)
50. I. Prigogine, Introduction à la thermodynamique des processus irreversibles, Dunod, Paris, 1968 (T.A.)
51. I. Prigogine, De la existență la devenire, Editura Științifică, București, 1992 (Apl.Cap.4)
52. Șt. Procopiu, Termodinamica, Editura Laboratorului de Chimie Organică, Universitatea din Iași, 1948 (Ist.)
53. F. Reif, Fizică statistică, Cursul de Fizică Berkeley, vol. V, Editura Didactică și Pedagogică, București, 1983 (C.U.)
54. Y. Rocard, Thermodynamique, Masson et Cie, Editeurs, Paris, 1967 (T.)
55. Yu.B. Rumer, M.Sh.Ryvkin, Thermodynamics, Statistical Physics, and Kinetics, Mir Publishers, Moscow, 1980 (T.S.)
56. M. Rusu, Fizică moleculară, vol. I, II, curs multiplicat, Universitatea "Al.I.Cuza" Iași, 1986 (C.U.)
57. C. Sălceanu, Căldură și Termodinamică, Editura Didactică și Pedagogică, București, 1968 (C.U.)
58. R.C. Seagrave, Biomedical Applications of Heat and Mass Transfer, The Iowa State University Press, 1971 (Apl. Cap.8)
59. F.W. Sears, M.W. Zemansky, H.D. Young, Fizică, Editura Didactică și Pedagogică, București, 1983 (C.U.)
60. V.V. Sicev, Sisteme termodinamice complexe, traducere din limba rusă, Editura Științifică și Enciclopedică, București, 1982 (T.A.)
61. D.V. Sivuhin, Obșcii Kurs Fiziki, Tom II, Izdatel'stvo Nauka, Moskva, 1975 (C.U.)
62. S. Sternberg, O. Landauer, C. Mateescu, D. Geana, T. Vișan, Chimie fizică, Editura Didactică și Pedagogică, București, 1981 (C.U.)
63. S. Tițeica, Elemente de Mecanică Statistică, Editura Tehnică, București, 1956 (Cap.7)
64. S. Tițeica, Termodinamică, Editura Academiei București, 1982 (C.U.)
65. R. Vîlcu, Termodinamică chimică, Editura Tehnică, București, 1975 (Apl.cap.11)
66. R. Vîlcu, A. Dobrescu, Termodinamica proceselor ireversibile, Editura Tehnică, București, 1982 (S.A.)
67. K. Wark, Thermodynamics, McGraw-Hill Book Company, 1983 (T.)
68. M. Zemansky, Heat and Thermodynamics, McGraw-Hill, London, 1957 (T.).